



NTNU

Det skapende universitet

Brytningsmekanismer ved TBM-boring i hardt fjell Amund Bruland

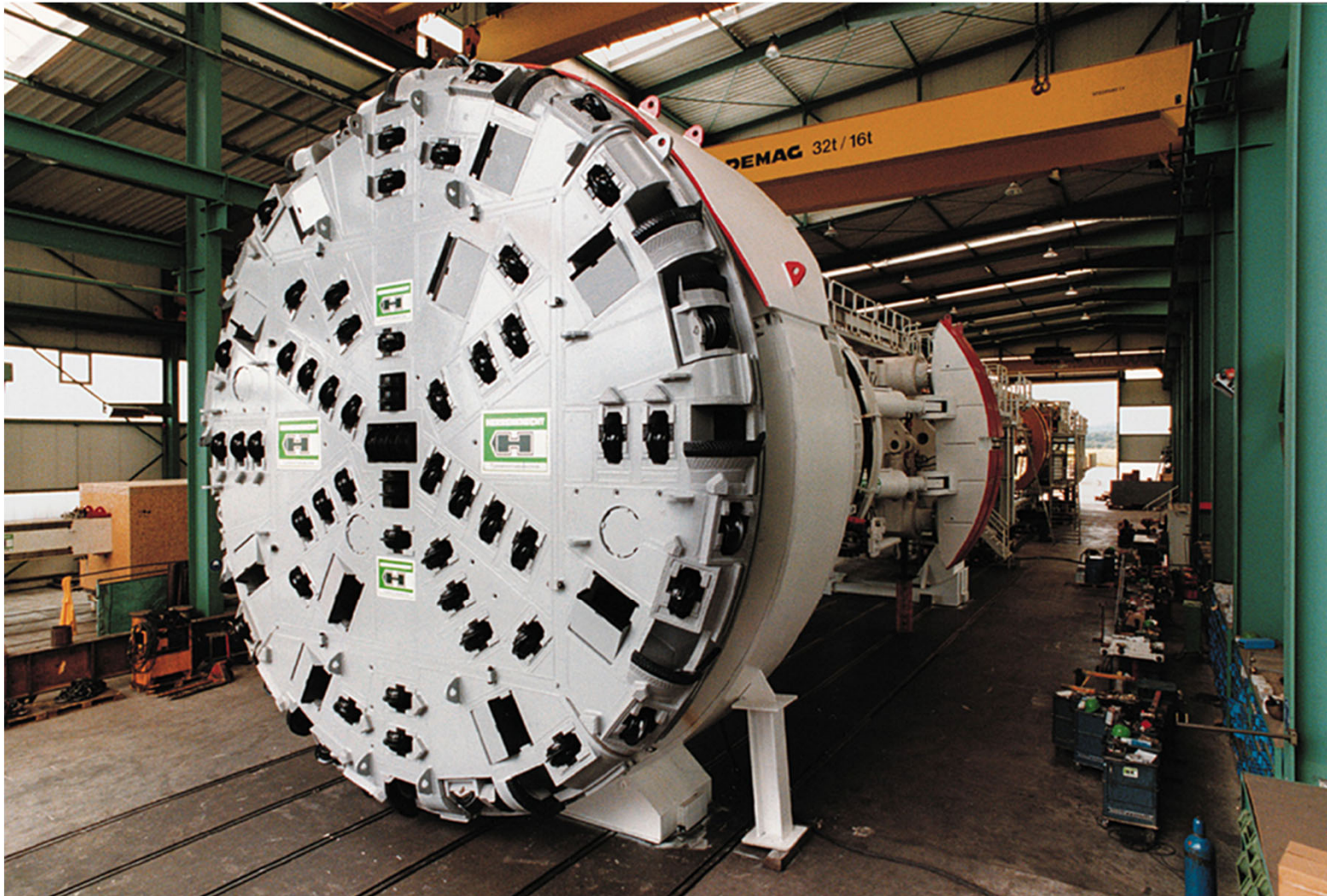
NGB-kurs

Bergteknikk for TBM-boring i hardt fjell

Innhold

1. TBM og kuttere
2. Brytning av berg under en kutter
3. Design og bruk av TBM

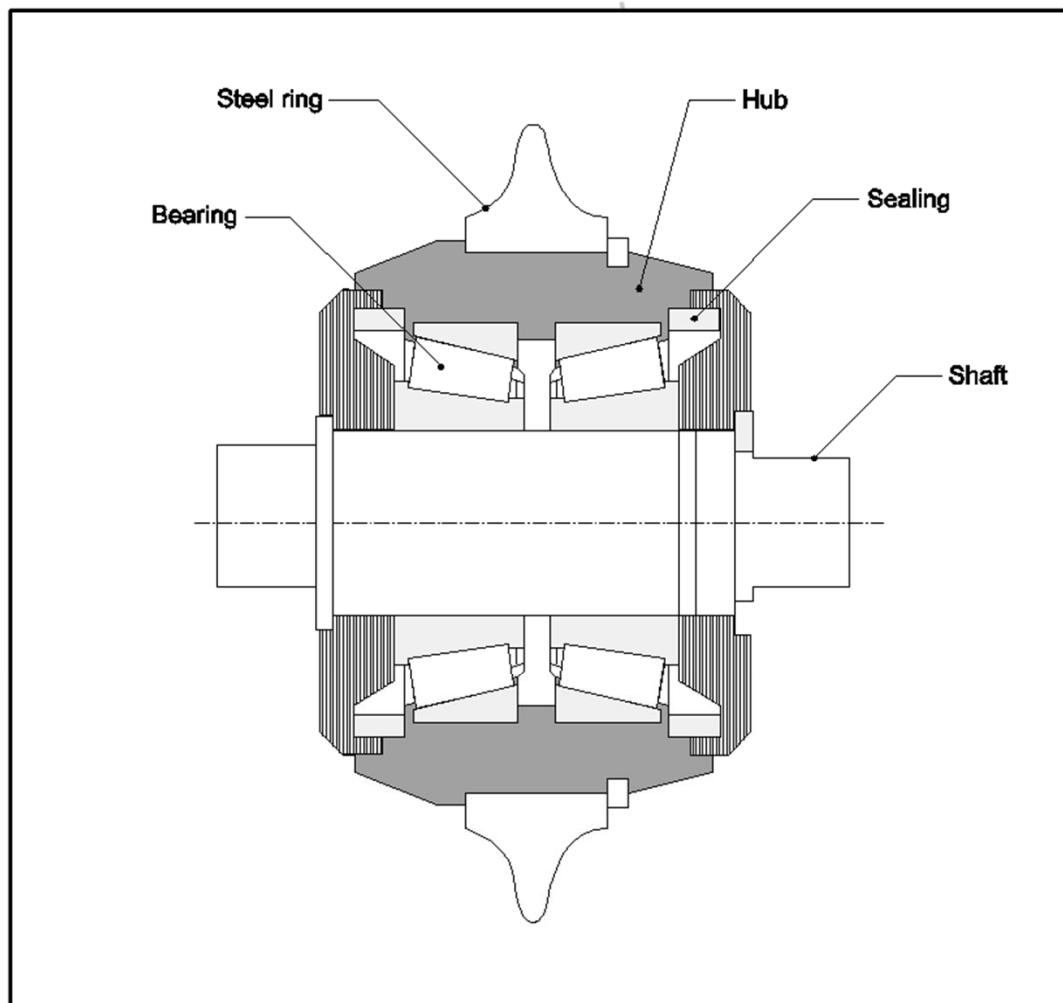
TBM Cutters (gripper TBM)



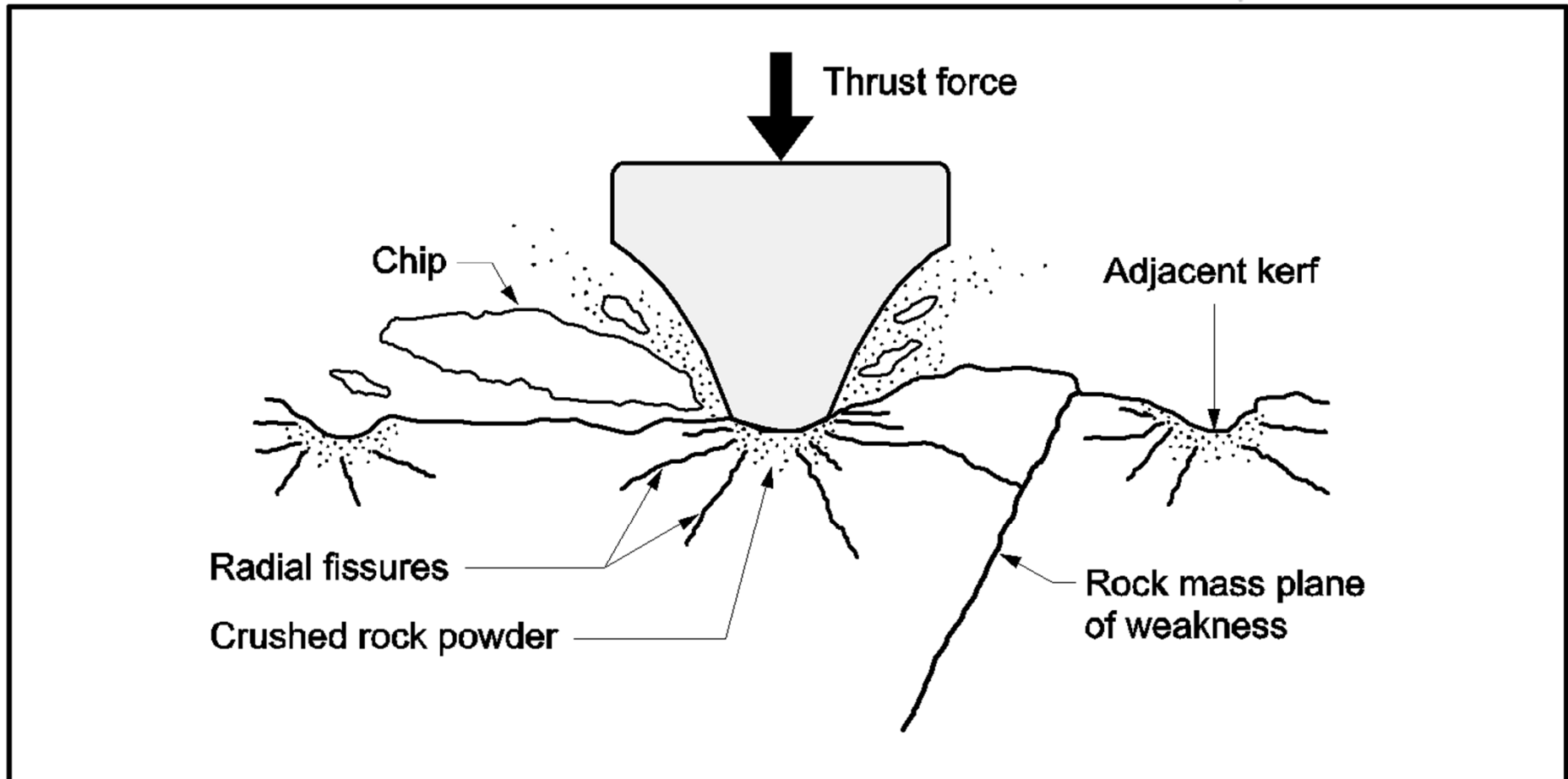
TBMs for Hard Rock (gripper TBMs)



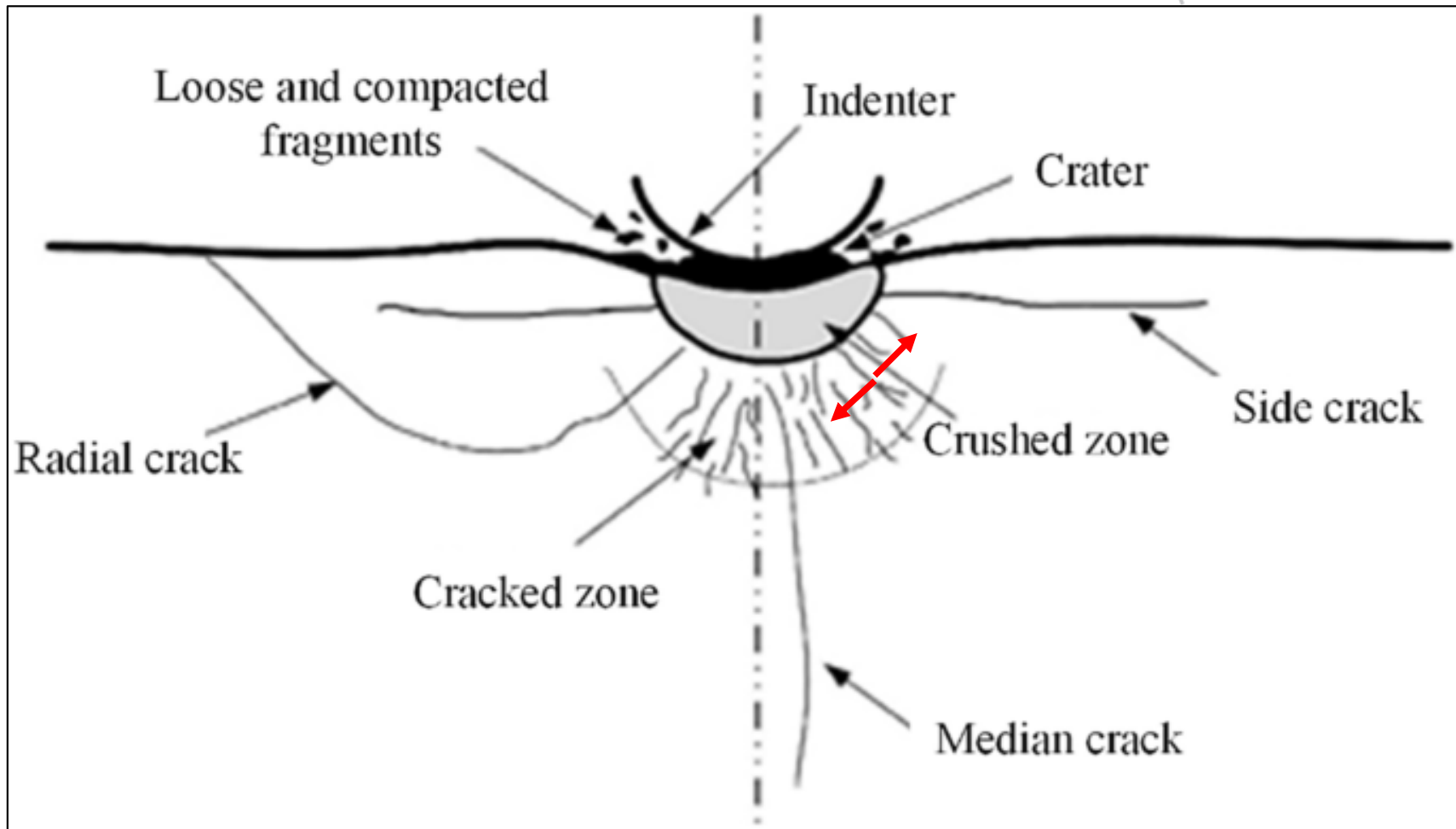
TBM disk-kutter



Brytning under kuttereggen (chipping, kaksbrytning)



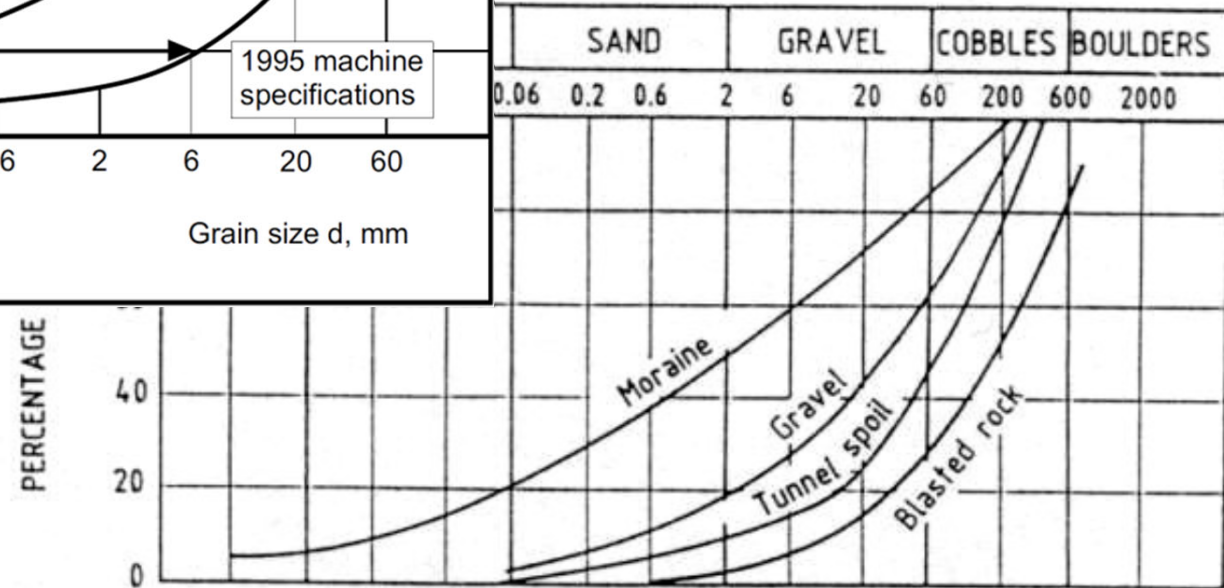
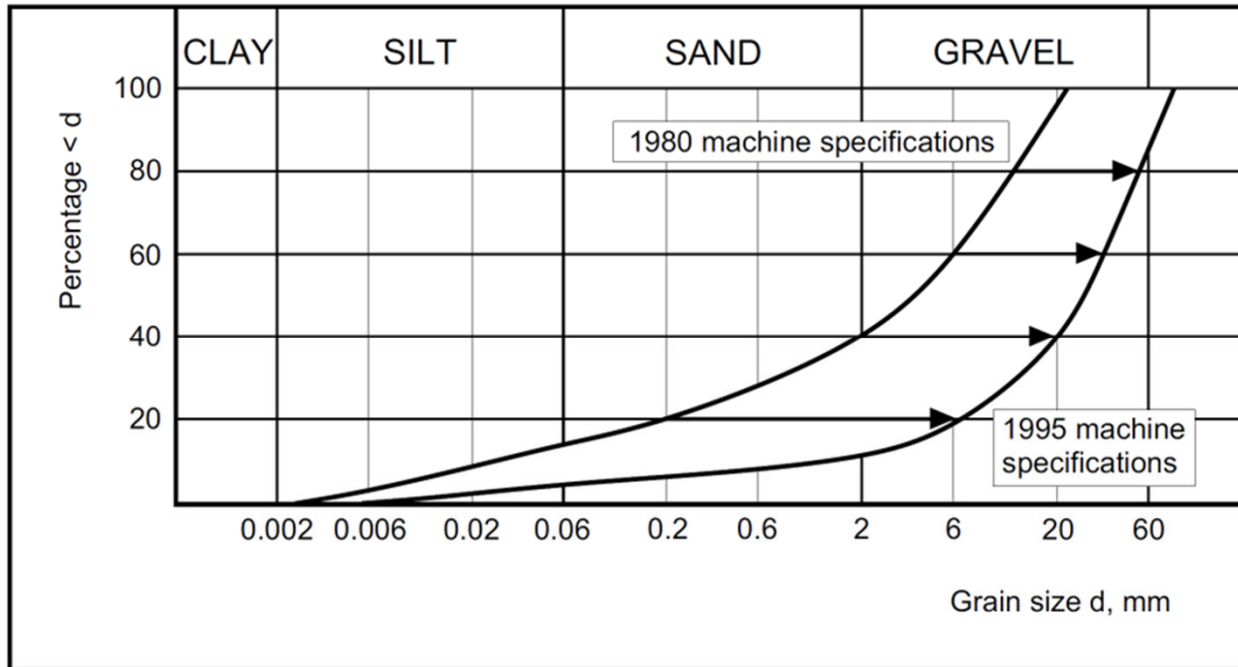
Spenninger under kutteren (inkl. Poisson's ratio)



Siktekurve



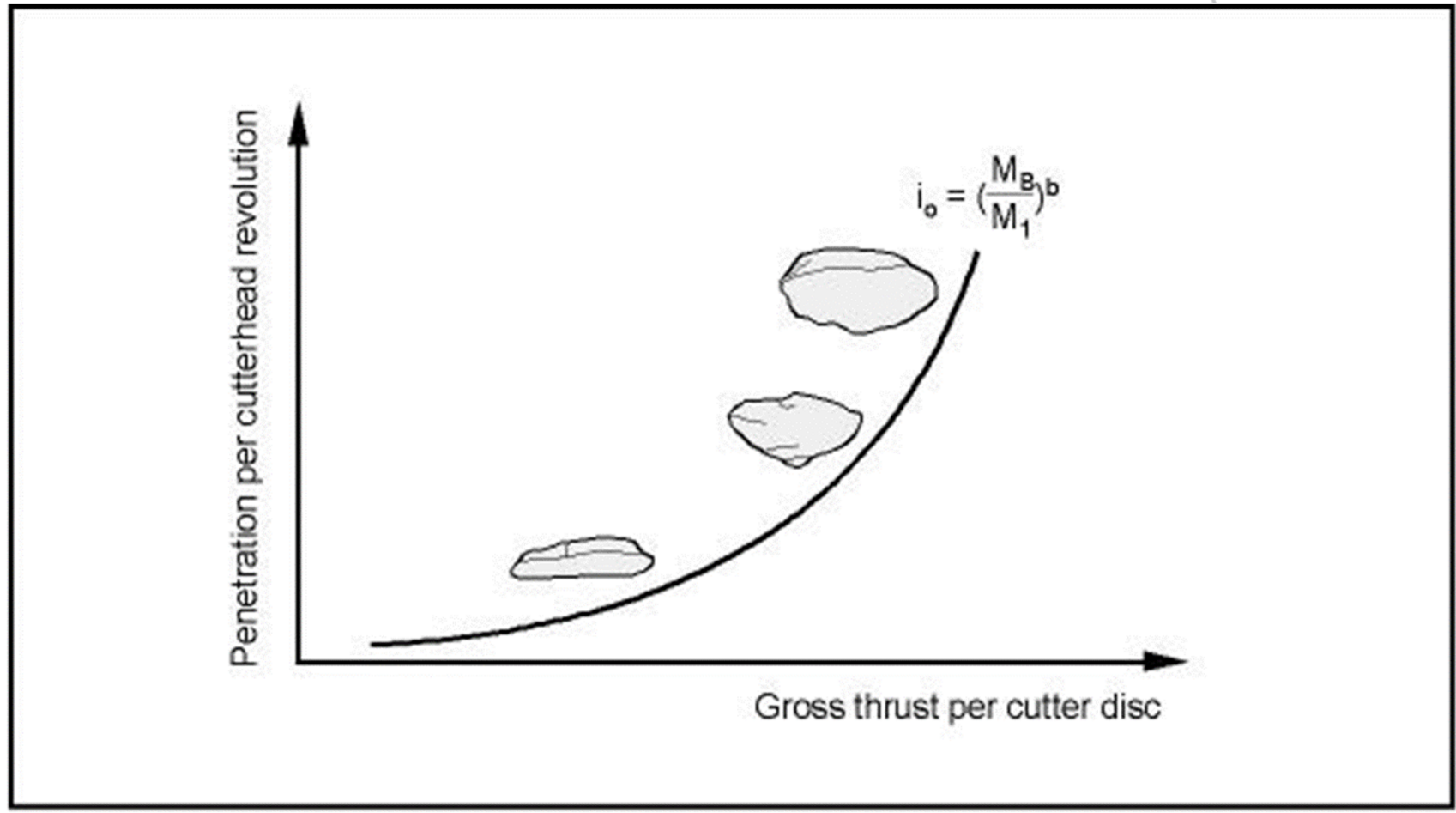
Siktekurve



NTNU

Det skapende universitet

Inntrengningskurve – effektiv brytning



Effektiv kaksbrytning?

“Costly experience due to high cutter wear and low penetration rate”



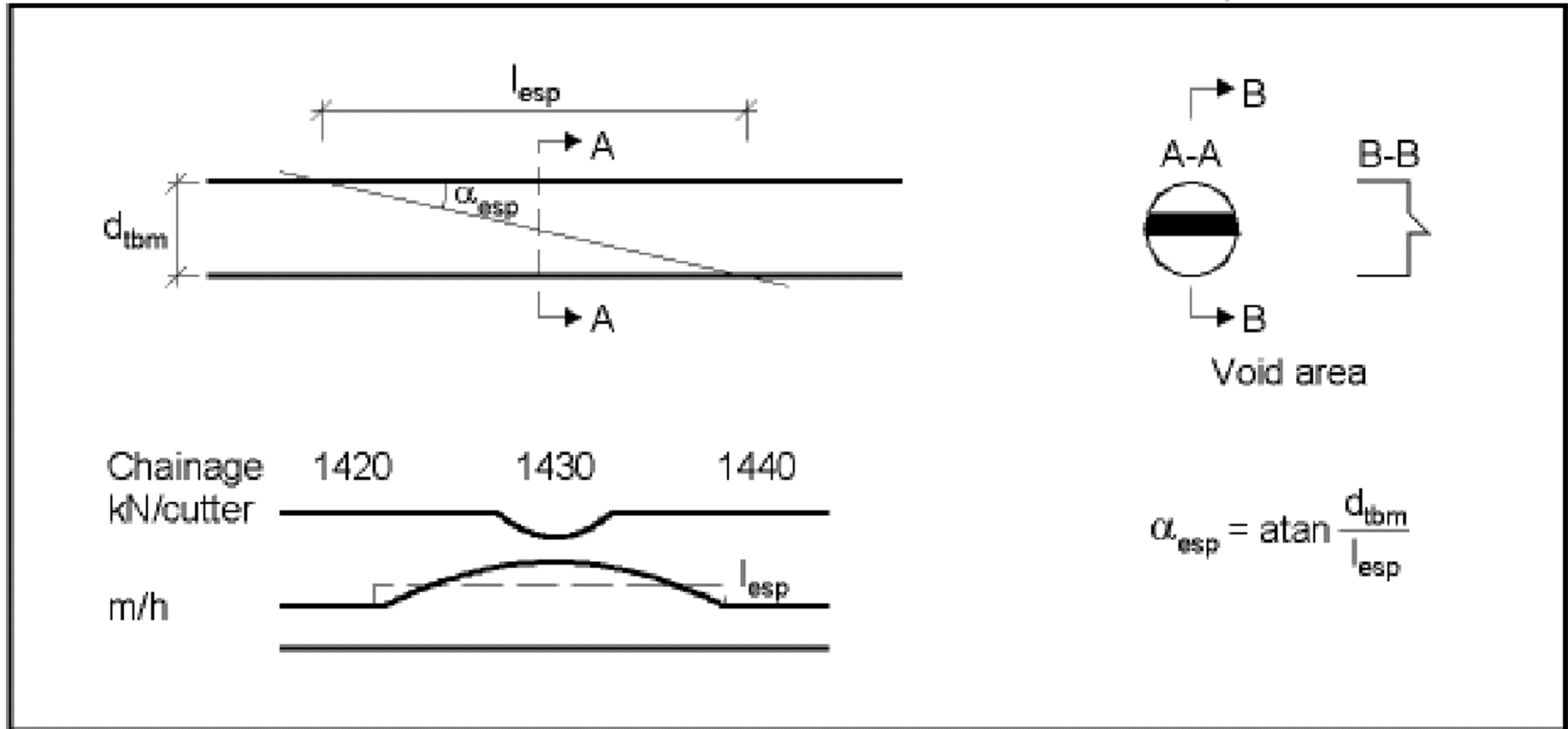
Inndriftsparametre (mm/omdreining)

Rock Mass Parameters	Machine Parameters
<ul style="list-style-type: none">• Fracturing; frequency and orientation• Drilling Rate Index, DRI• Porosity	<ul style="list-style-type: none">• Cutter thrust• Cutterhead rpm• Cutter spacing• Cutter size and shape• Installed cutterhead power

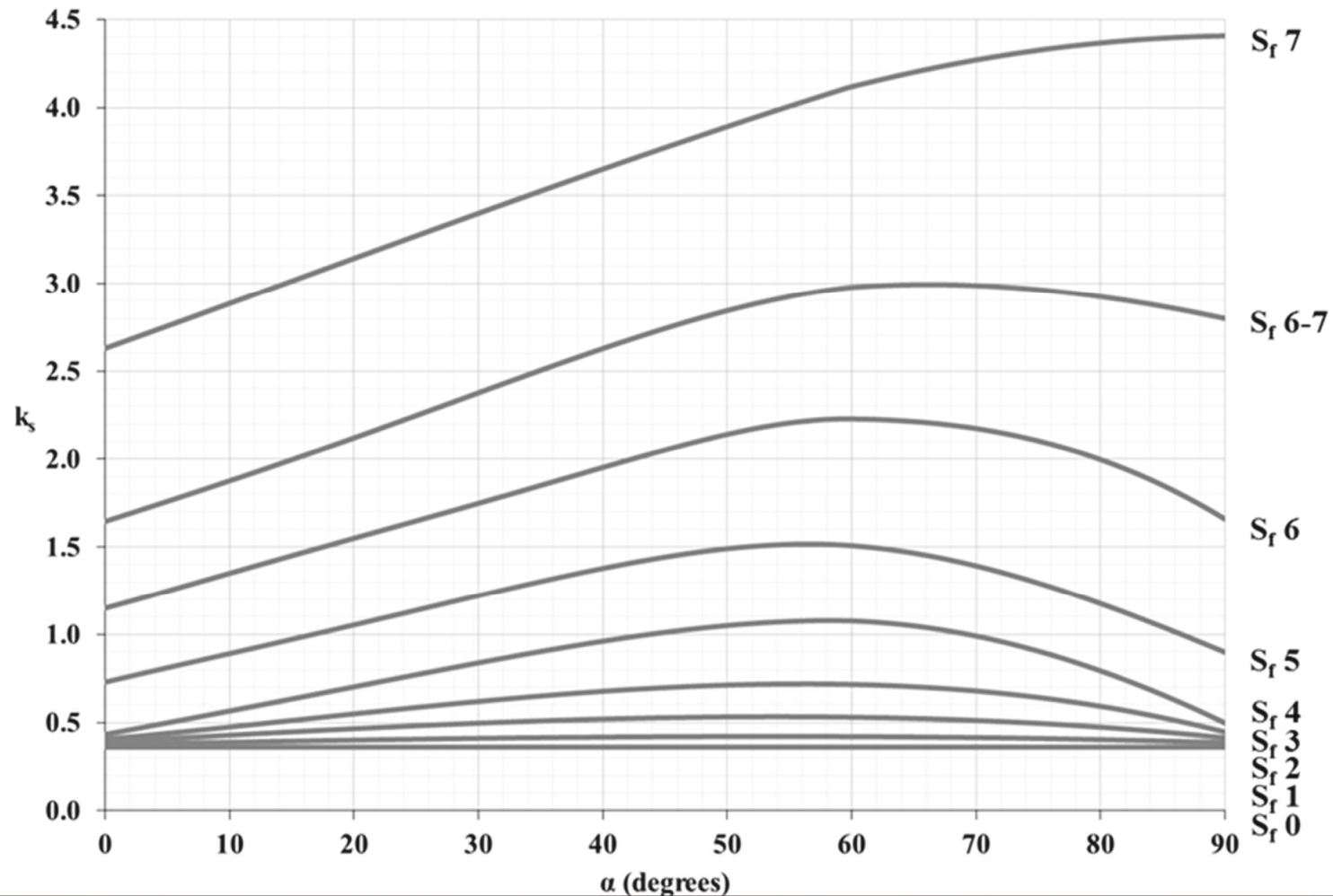
Tomromsareal i stoff → kraftdynamikk



Boring gjennom en svakhetsflate



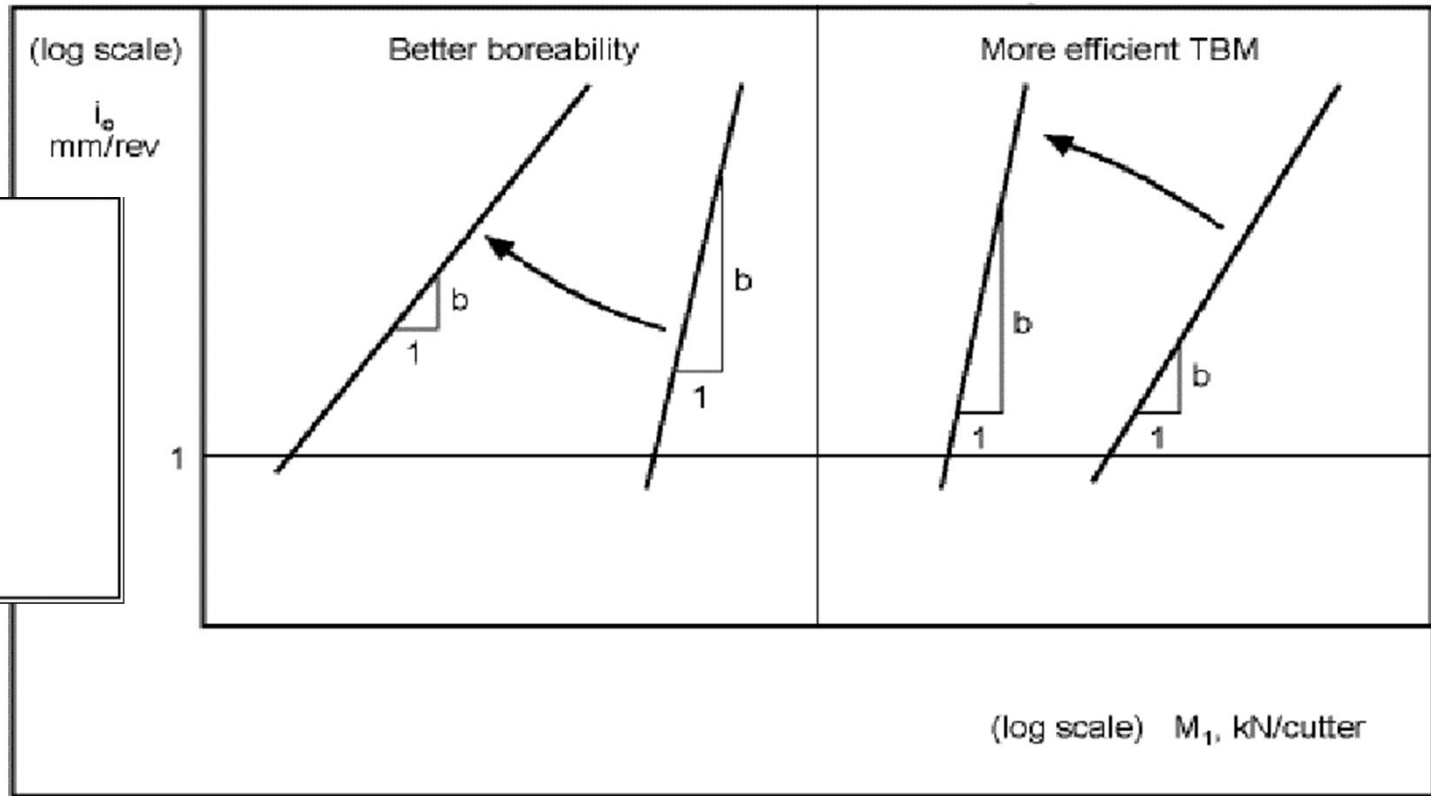
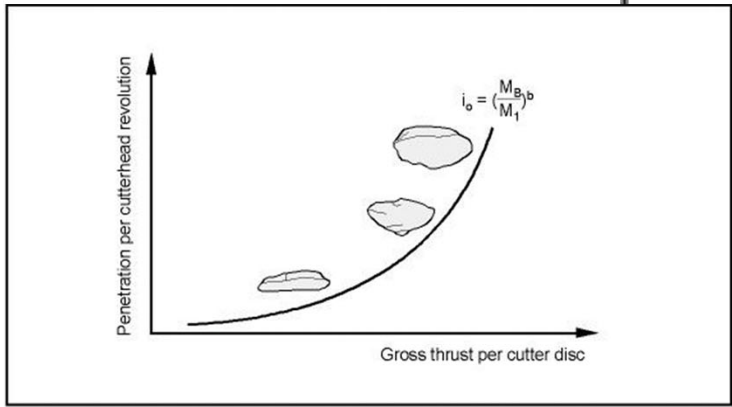
Effekten av systematisk oppsprukket bergmasse



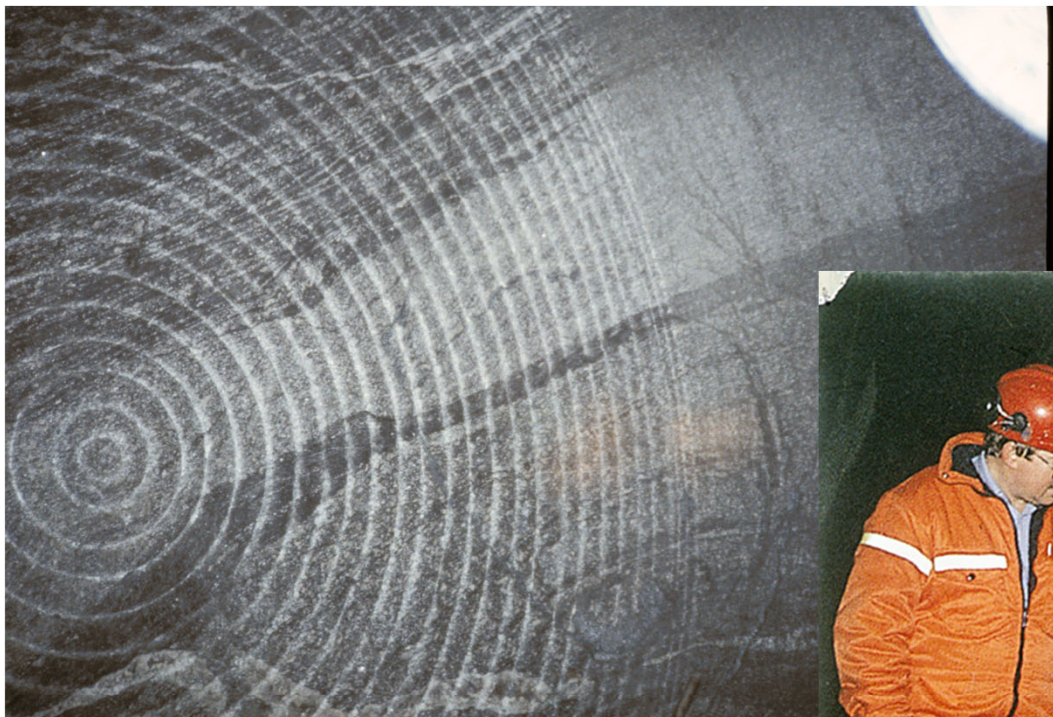
NTNU

Det skapende universitet

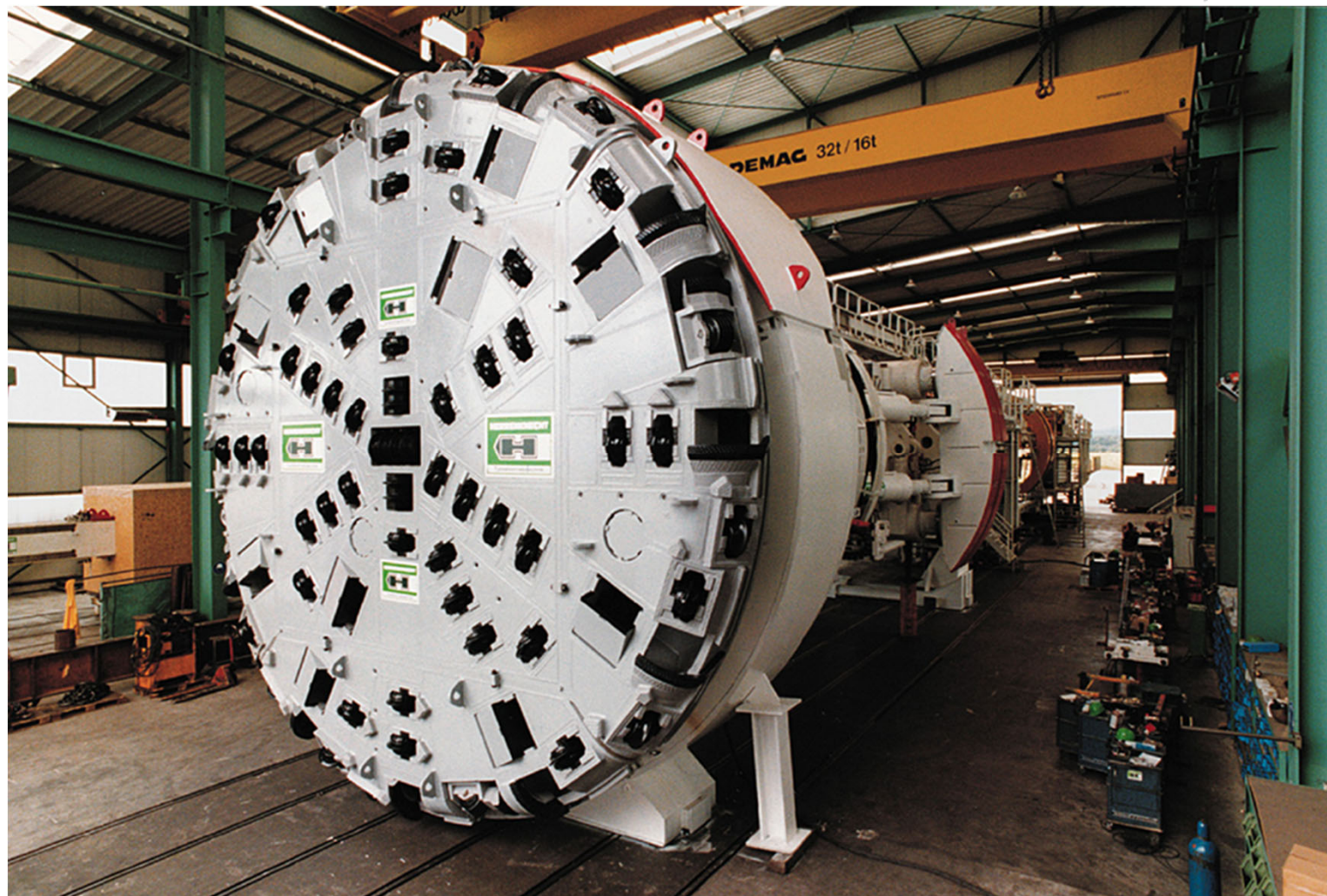
Hvordan øke ytelsen for TBMen?



Bergmassekvalitet ved kontraktskriving?



TBM-design ved kontraktskriving?



Takk for oppmerksomheten!



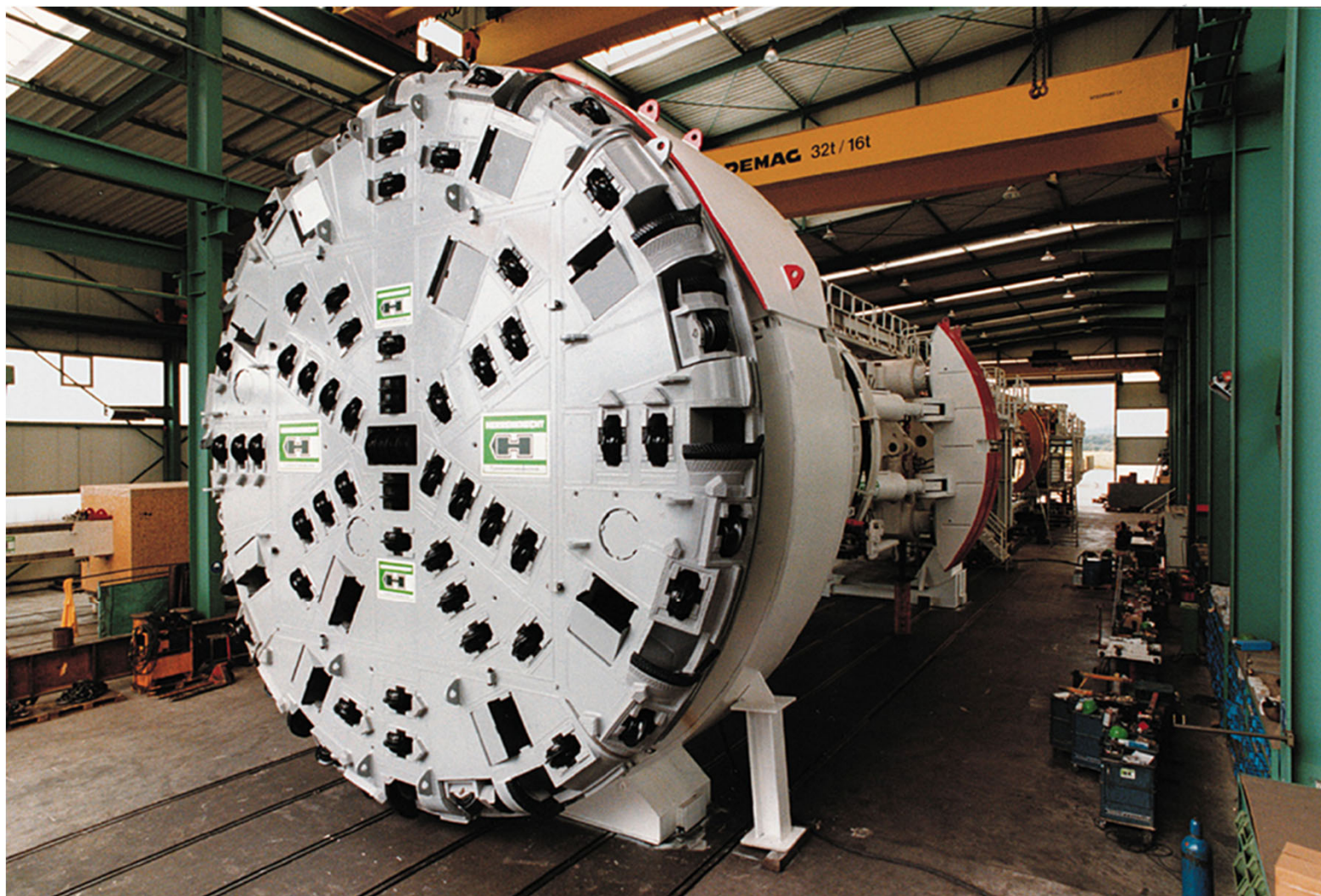
NTNU

Det skapende universitet

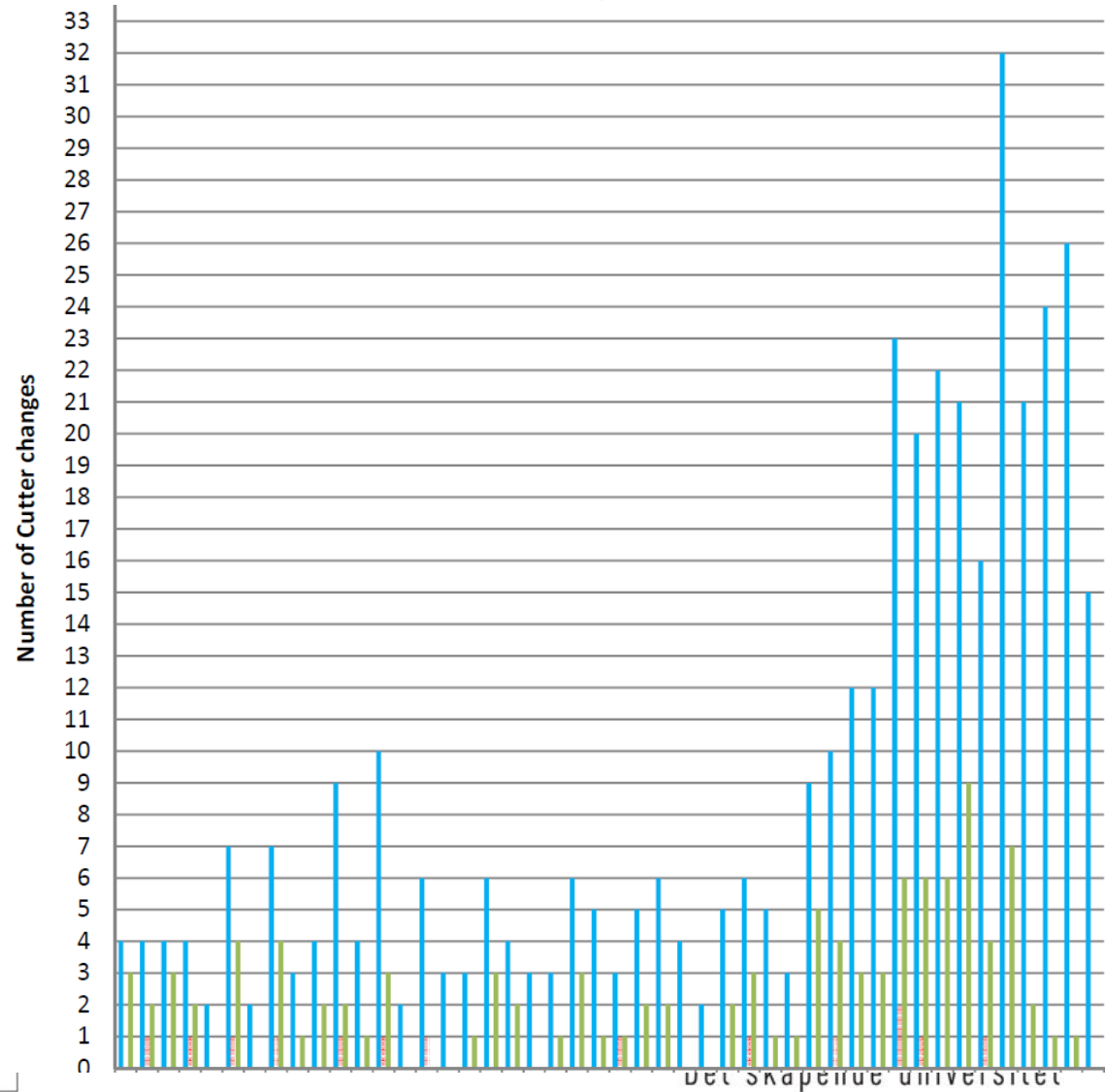
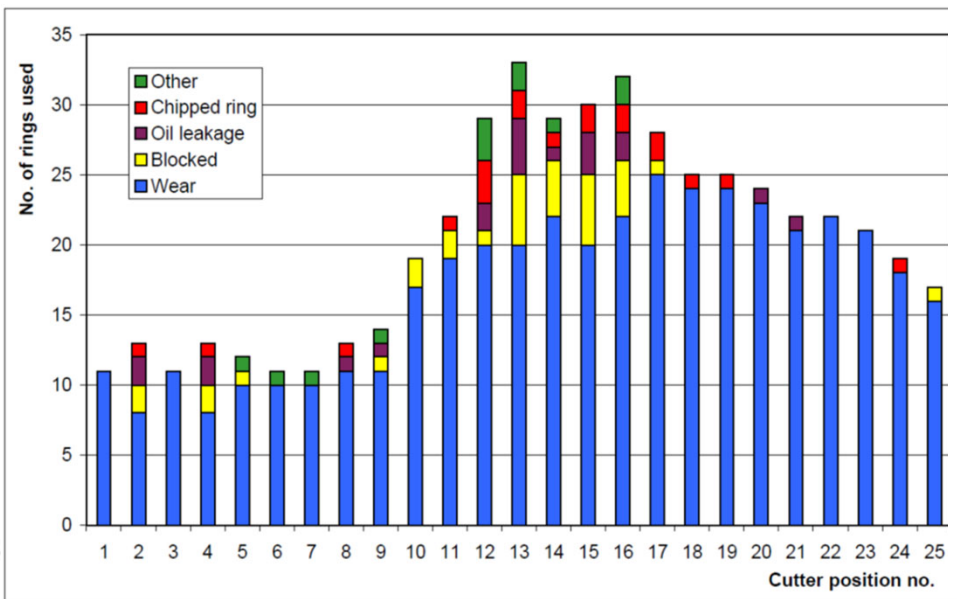
Kutterslitasje - kutteringlevetid
Amund Bruland

NGB-kurs
Bergteknikk for TBM-boring i hardt fjell

Borhodedesign påvirker kutterlevetid



Cutter Layout Pattern

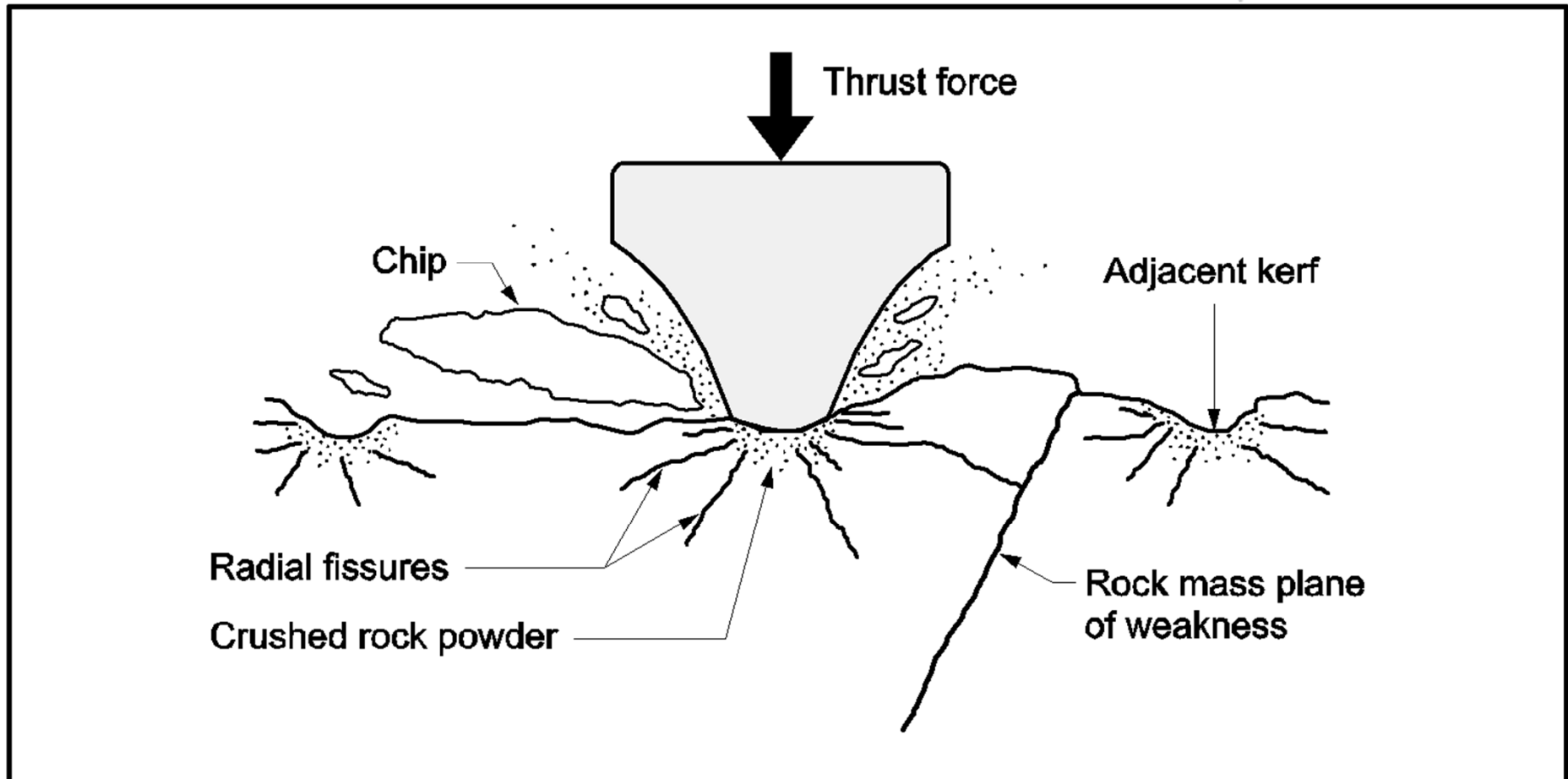


Det skapende universitet

Bergmassen påvirker kutterlevetid

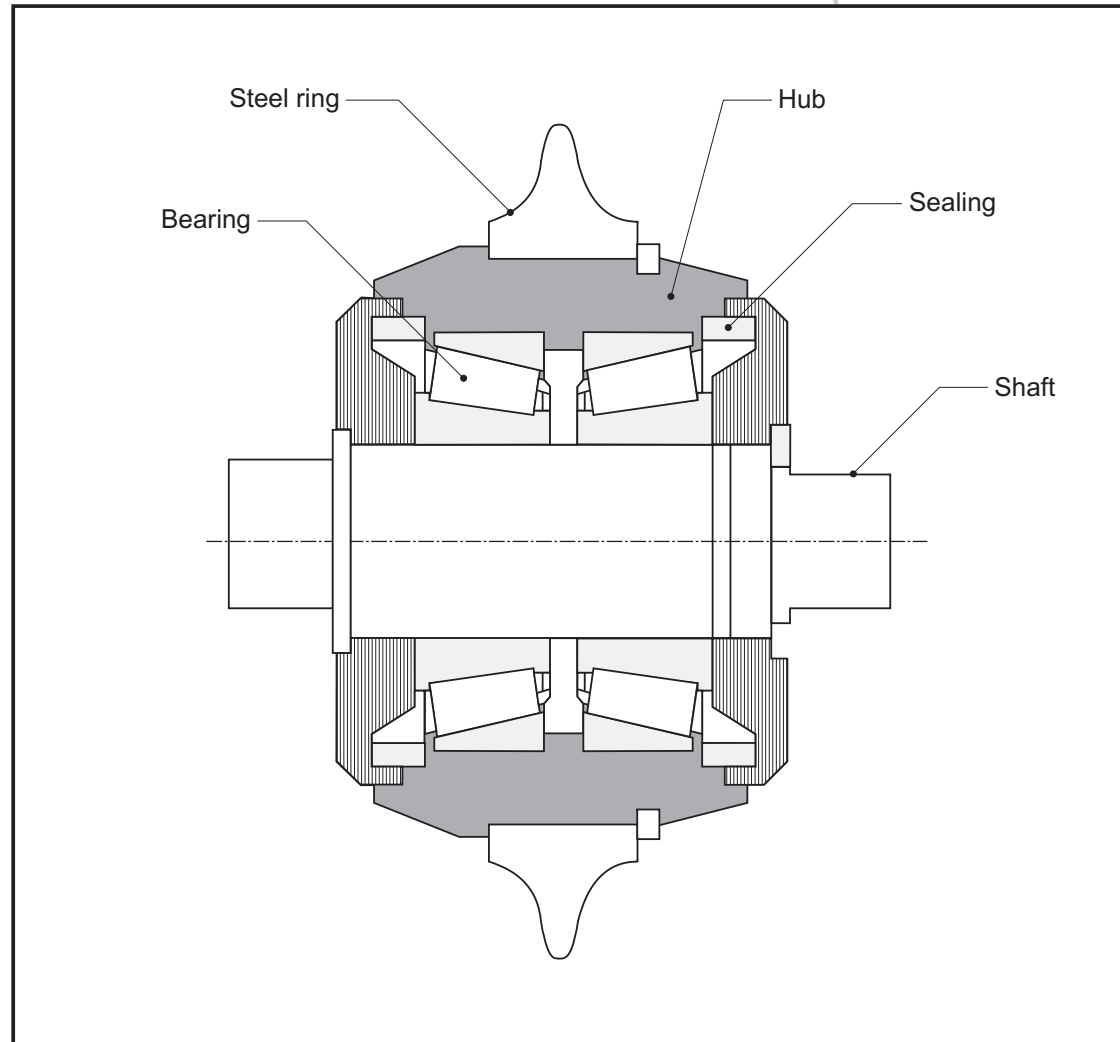


Slitasje av kutterringeren under boring



Kutterslitasje

- Ring
- Lager
- Hub
- Aksling



Kutterringslitasje ved høy matekraft



Det skapende universitet

Kutteringslitasje (destruktiv) ved dårlig ringkvalitet



NU

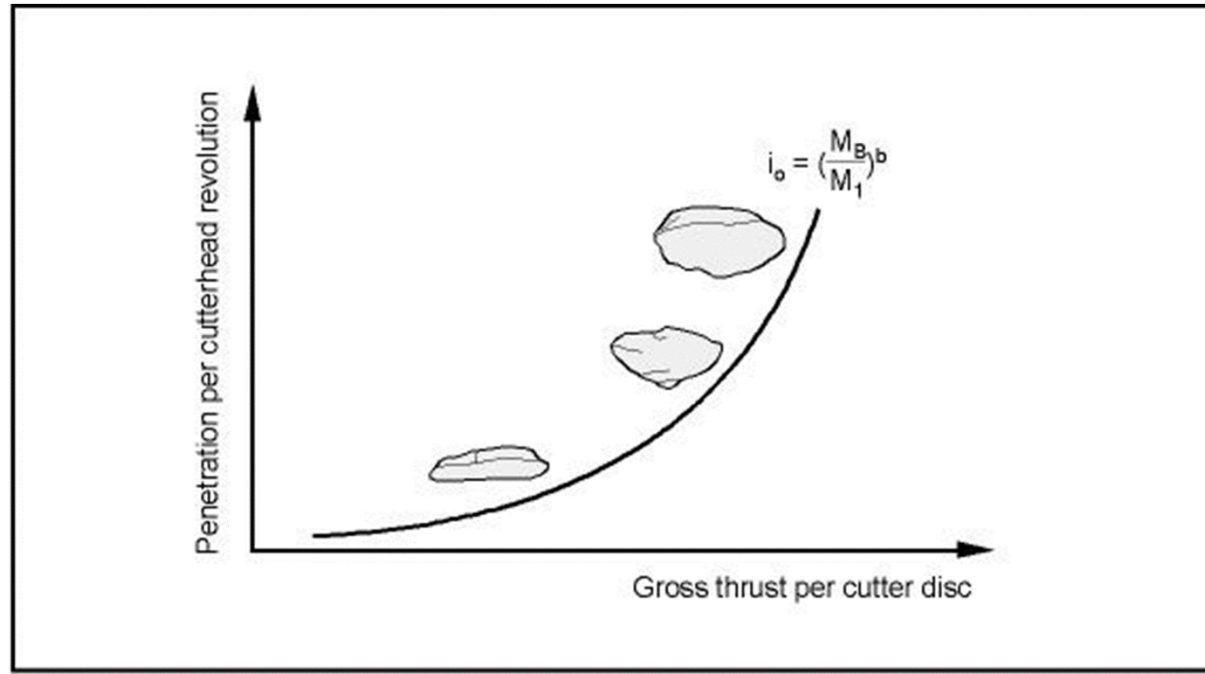
Det skapende universitet

Hvordan måle kutteringlevetid?

- Meter tunnel boret pr. utslitt kutterring
- Kubikkmeter utboret volum pr. utslitt kutterring
- Timer pr. kutterring er ikke et godt mål, bør bare brukes for å gå over fra
 - laboratorietester som måler slitasje over tid
 - kutterbyttelogger ved tilbakeregning av levetid

Inntrengningskurven er overproporsjonal

- Bruke så høy matekraft som mulig uten for mye destruktiv slitasje



Tomromsareal i stuff → kraftdynamikk
→ borhodet må tåle høye vibrasjoner

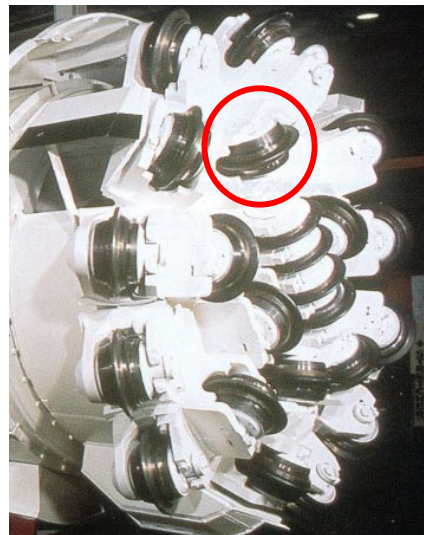
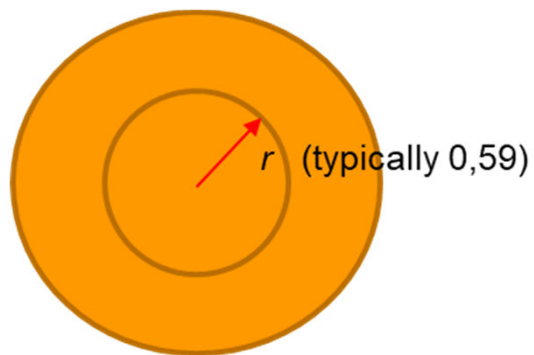


Levetidsparametre etter NTNUs modell

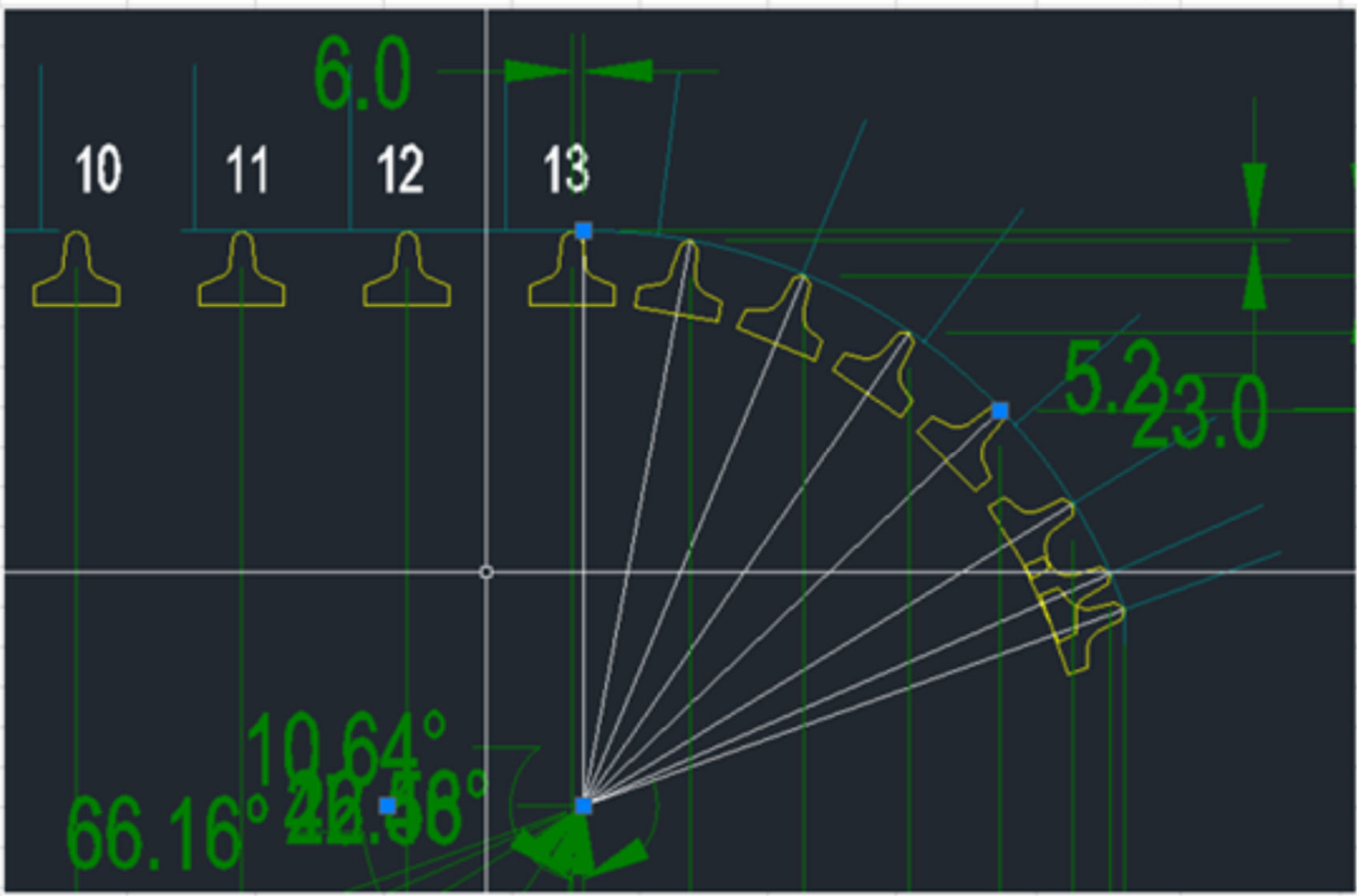
Rock Mass Parameters	Machine Parameters
<ul style="list-style-type: none">• Cutter Life Index, CLI• Content of abrasive minerals	<ul style="list-style-type: none">• Cutter diameter• Cutter type and quality• Cutterhead diameter and shape• Cutterhead rpm• Number of cutters on the cutterhead

Levetidsparametre etter NTNUs modell

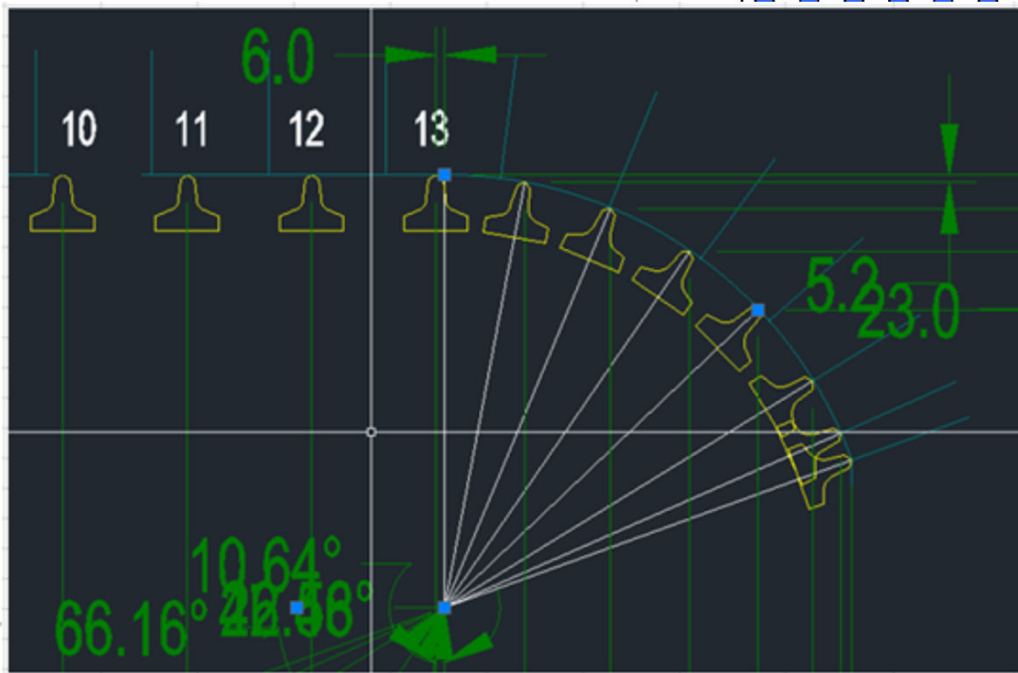
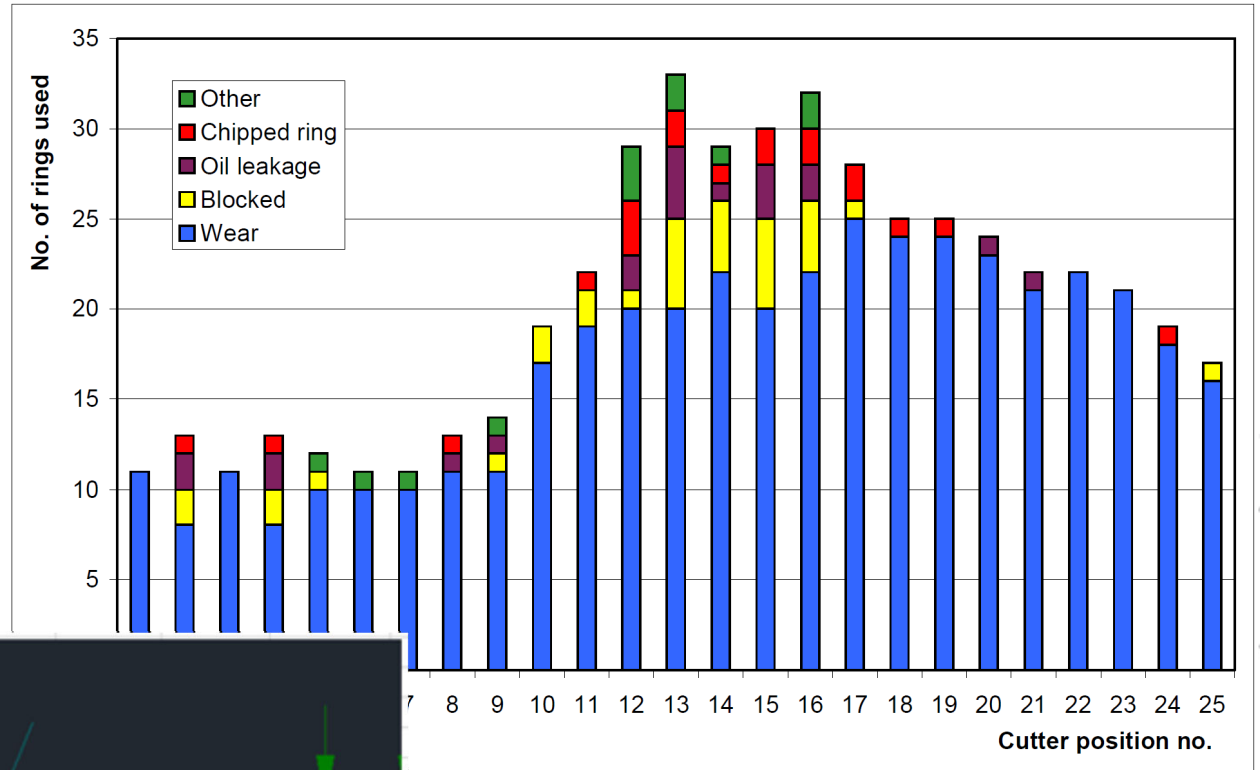
- Kutteringlevetid estimeres i boretimer pr. kutterring, for en midlere kutterposisjon.
- En individuell kutterring i midlere posisjon kan ha en levetid på f.eks. 200 h.
- For en TBM med 50 kuttere, vil den totale slitasjen (og dermed kutterbytte) være en kutterring pr. 4 boretimer.



Borhodeprofil



Borhodeprofil

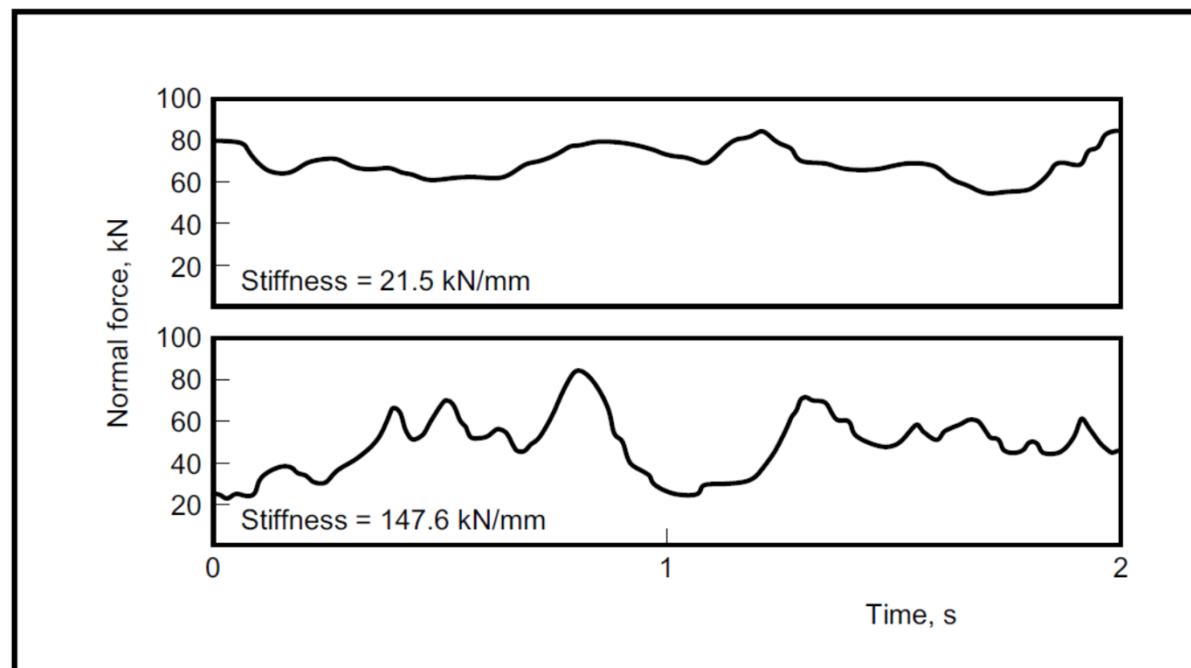


Noen andre levetidsparametre

- TBM-diameter: Senter- og periferikuttere har lavere levetid enn strossekutterne. For store TBM-diametere, utgjør strossekutterne en større andel av totalt antall kuttere på borhodet.
- Borhodets omdreiningstall: Levetiden er tilnærmet proporsjonal med rullet distanse for en kutterring.
- Antall kuttere på borhodet: Dess flere kutter, dess mer stål slites pr. tid.

Noen andre levetidsparametre

- TBM-stivhet (hydraulisk og strukturell) (LCM-testing)
- begge systemer har samme mm/omdreining



Noen andre levetidsparametre

- Kapasitet og diameter hovedlager
- Midlere last og topplast på kutterne øker med økende posisjonsradius (pga. økt rullehastighet)
- 50 % av brytningen er utenfor $0,7 \cdot$ radius
- Større hovedlager vil redusere fleksing av borhode i periferi
- Større hovedlager vil også gi mulighet for flere kuttere på borhodet.

Noen andre levetidsparametre

- Borhodets vekt
- Større ståldimensjoner vil gi mindre fleksing av borhodet
- Mer vekt i borhodet vil gi mindre vibrasjoner og lavere topplaster

Takk for oppmerksomheten!



Geologiske forundersøkelser for TBM-boring i hardt berg

Pal.jakobsen@ngi.no

NBG TBM seminar januar 2024

Innhold

- ↗ Hvorfor utføre forundersøkelser
- ↗ Regelverk, veiledninger, håndbøker og annen formalia
- ↗ Forundersøkelser
 - Typer undersøkelser
 - Tetthet av undersøkelser
- ↗ Noen prosjekteksempler
- ↗ Kost/nytte ved undersøkelser

Hvorfor undersøkelser

➤ Gi input til større ting som:

- Tekniske og økonomiske valg for trasé, byggemetode o.l
- Alterantivsvurderinger
- Identifisere risiko, og evt. avbøtende tiltak
- Avdekke påvirkning på naboer, infrastruktur nært prosjektet
- Bruk, deponering, avfallshåndtering av masser
- Estimat på kapasitet, fremdrift og kostnader
- Internasjonalt: Geotechnical baseline (referanseforhold for anbud)

➤ I tillegg:

- SVV N500 og BaneNOR TRV stiller krav til undersøkelser for ulike prosjektstadier

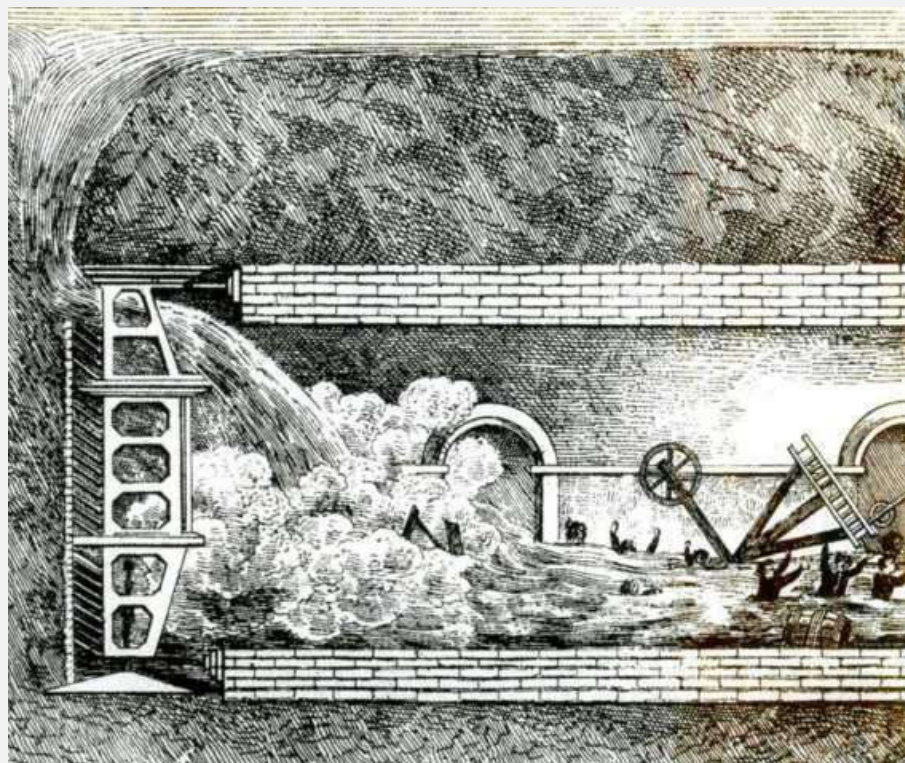
Hvorfor undersøkelser: Hvilke masser skal drives tunnel i

Eksempler på forhold som kan være utfordrende med TBM



(photo: tunneltalk.com)

Kollaps av stoff (Thames tunnel 1800 tallet). Ødelagt element som følge av påkjenninger fra jord/berg)



Kollaps over tunnel (Porto metro ca. 2006)



(photo: Babendererde engineers)

SVV N500 (myntet på boring og sprengning – men brukes som håndbok I Norge)

- Referer til ulike planstadier og omfang av undersøkelser
- Til reguleringsplan nivå skal kostnadsanslag være på $\pm 20\%$ som betyr at trase, valg, grunnforhold må være relativt kjent

Krav 2.6—5 **SKAL**

Gjeldende fra 31.03.2022

Faktadelen i geologisk rapport for reguleringsplan skal inneholde:

- Oversiktskart med tunneltrasé(er) og profilnummer for hvert tunnellop.
- Beskrivelse av bergarter, foliasjon, strukturer og andre geologiske observasjoner.
- Analyse av sprekke tetthet og sprekkeorientering. Sprekkerose og stereoplott.
- Resultater fra utførte forundersøkelser:
 - Grunnboringer (bergkontroll, totalsondering, annen sondering).
 - Kjerneboringer.
 - Geofysiske undersøkelser.
 - Kvalitetsanalyser av steinmaterialer.
 - Miljøgeologiske undersøkelser.
- Beskrivelse av spesielle lokale hensyn.
- Oppsummering og konklusjon.
- Referanseliste (geologiske rapporter og annet som denne rapporten bygger på).

Krav 2.6—6 **SKAL**

Gjeldende fra 31.03.2022

Tolkningsdelen i geologisk rapport til reguleringsplan skal inneholde:

- Tolkning av de geologiske forholdene langs tunneltraséen: bergartsgrenser, bruddstrukturer og svakhetssoner og lokalisering i tunnelnivå.
- Vurdering av usikkerhet i bergoverdekning og ved påhugg.
- Bergmasseklassifisering med Q-verdier fra feltkartlegging estimert i tunnelnivå og presentert langs traséen med sikringsestimater i henhold til [Tabell 7.5—1](#).
- Omtale av løsmasser og geotekniske forhold. Konsekvenser for skredfare, setninger og miljø.
- Omtale av hydrogeologiske forhold, eventuelle brønner og vannmagasiner.
- Vurdering av sannsynligheten for å få vann som skaper driveproblemer.
- Anbefaling om maksimal innlekkasje for å unngå skadelig poretrykksenkning.
- Vurdering av omfanget av injeksjonsarbeider.
- Påpekning av eventuelle forhold som kan ha betydning for boring og sprengning (boreavvik, ladevansker o.a.).
- Vurdering av sannsynlighet for å påtreffte høye/lave bergspenninger.
- Påpekning av usikkerheter eller spesielle risikomomenter.

Spesielle eller lokale forhold kan medføre at tolkningsdelen utvides med flere punkt. ⁸

Anslagsmodellen (Håndbok R764, SVV)

- Konseptvalgutredning: erfaringer og erfaringskostnader til sammenlignbare prosjekter. Kostnader \pm 30 – 50 %
- Kommunedelplan: Kostnader \pm 20 – 30 %
- Reguleringsplan: ... skal være ført så langt frem at det omfatter gode mengdeoverslag og en god og grundig beskrivelse av prosjektet. Kostnadsoverslaget skal være en del av grunnlaget for vedtak av reguleringsplan. Nivå på usikkerhet: 10-20 %.
- DVS. alle forundersøkelser bør/skal/må være utført i/før reguleringsplan om man skal følge dette. Undersøkelser under byggeplan og bygging er for validering/justering /dokumentasjon.



Publikasjon 101, SVV. Riktig omgang av undersøkelser.

4.4.3 Ingeniørgeologiske rapporter for anbud

Ved inngivelse av anbud på underjordsarbeider ønsker entreprenøren størst mulig kunnskap om følgende forhold:

- Hvilke bergarter påtreffes?
- Opptreden av mulige knusningssoner og kryssende bergartsgrenser
- Børsynk og brytning
- Mulige strekninger med bore- og ladevansker
- Sannsynligheten for å påtreffe vann som skaper driftsproblemer og økte sprengstoffkostnader
- Krav til lekkasje og omfang av injeksjonsarbeider
- Omfang av fjellbolter, sprøytebetong og utstøping.

DWA-125-A (2008): Stiller anbefaler beskrivelse av alle disse parameterne for hver 50. m tunnel!

Soil and rock	
Maximum and minimum groundwater level, hydrograph curves	
Contamination level of soil, soil gas and groundwater	
Disposal advice according to legislation	
Concentration of abrasive minerals and quartz content to determine abrasiveness	
Deformation module	
Aggressive reaction of soil and groundwater	
Swelling behaviour	
Weathering resistance of the rock and/or change when confronted with air or water/supporting fluids	
Sticking potential	
Borehole logs	
Weight per unit volume	
Fault zones, cavities	
Soil	Rock
Particle size distribution, particle shape	Weathering level
Water permeability coefficient	Framework of discontinuities and stratum thickness of rock plates, rock fragments (RQD) and areal orientation
Compactness	Hardness
Plastic limits, water content	Rock and rock mass strength, excavatability
Shear parameter, friction angle and cohesion	Cleavage strength
Earth pressure coefficient	Abrasiveness (Cerchar Abrasiveness Index)
Cobble size and cobble proportion, uniaxial compressive strengths	Water inflow, permeability, strata water flow conditions
Water content and water pressure	Karst manifestation, cleavages, gaps
Organic components, lime content	
Tendency towards liquefaction	



Hvilke undersøkelser (generell ingeniørgeologi)

- ↖ Geologi (bergartsgrenser, løsmasser, svakhetssoner etc.)
- Innhenting av eksisterende geologisk informasjon (kart, naboprojekter, bergblotninger)
 - Supplerende geologisk kartlegging
 - Eks. Q metode, RMR, Rmi (også sikring)
 - Boringer og geofysiske undersøkelser
 - Kjerneboring
 - Totalsonderboring
 - Seismikk
 - Evt. optisk televisering
 - Overvåkning/dokumentasjon
 - Poretrykk
 - Setninger
 - Dokumentasjon (MWD data sonderboring, TBM data, kartleggingsdata fra drift)

Kommune-
delplan /
mulighets-
studie

Tid

bygging

Hvilke undersøkelser (TBM)

- Borbarhet / bergmekanikk (egne tema av Sindre Log og Javier Macias, Nick Barton)
 - Drilling Rate Index™, Enaksiell trykkfasthet, Brazilian Tensile Strength
 - Abrasivitet: Cutter Life Index™, kvartsinnhold, mineralogi, (LCPC, Cerchar Abrasivity)
 - Oppsprekking (avstand mellom sprekker påvirker bergmassens borbarhet, men også orientering)

- Undersøkelsene utføres tidlig i (reguleringsplansnivå), men også til dokumentasjon, tvister, endringer under bygging.

Eksempel undersøkelser oppsprekkingsgrad bergmasse (Bruland 1998)

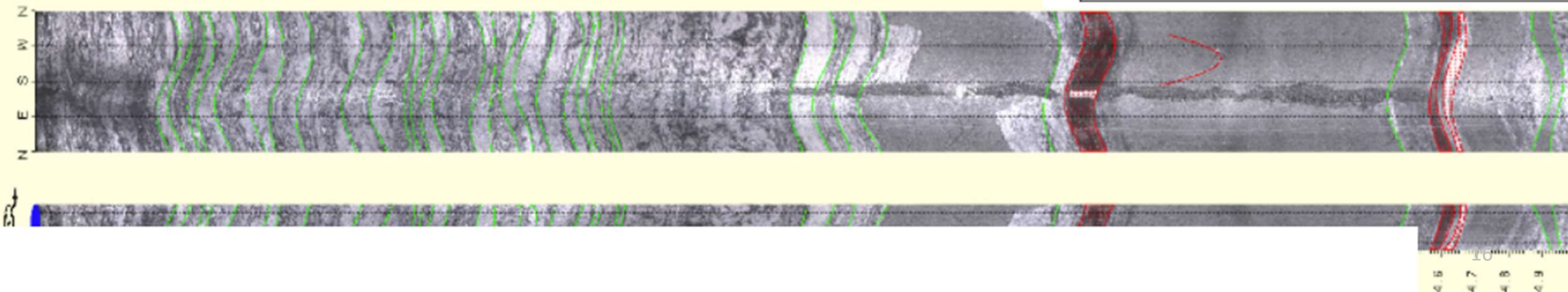
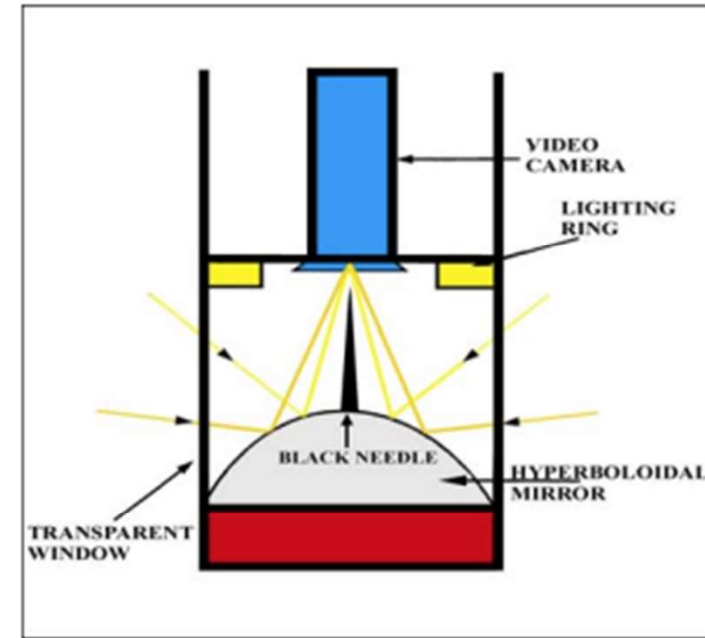


Oppsprekkingsklasse (Sprekker = Sp / Stikk = St)	Midlere avstand mellom svakhetsflater [cm]
0	-
0-I	160
I-	80
I	40
II	20
III	10
IV	5

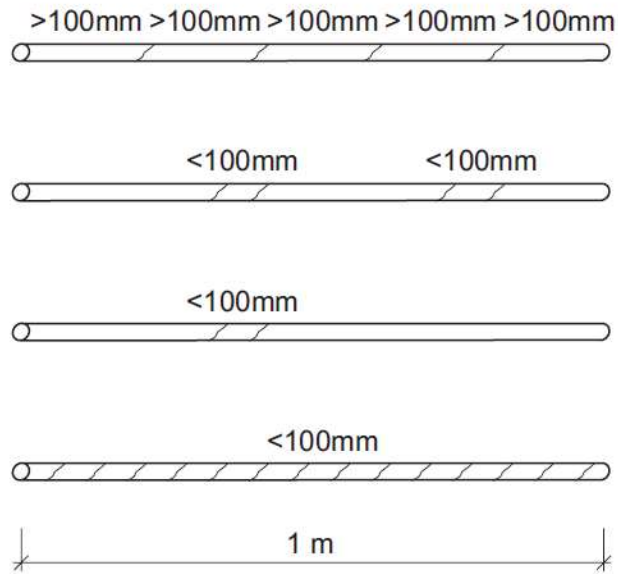


Optisk televiering (NGU)

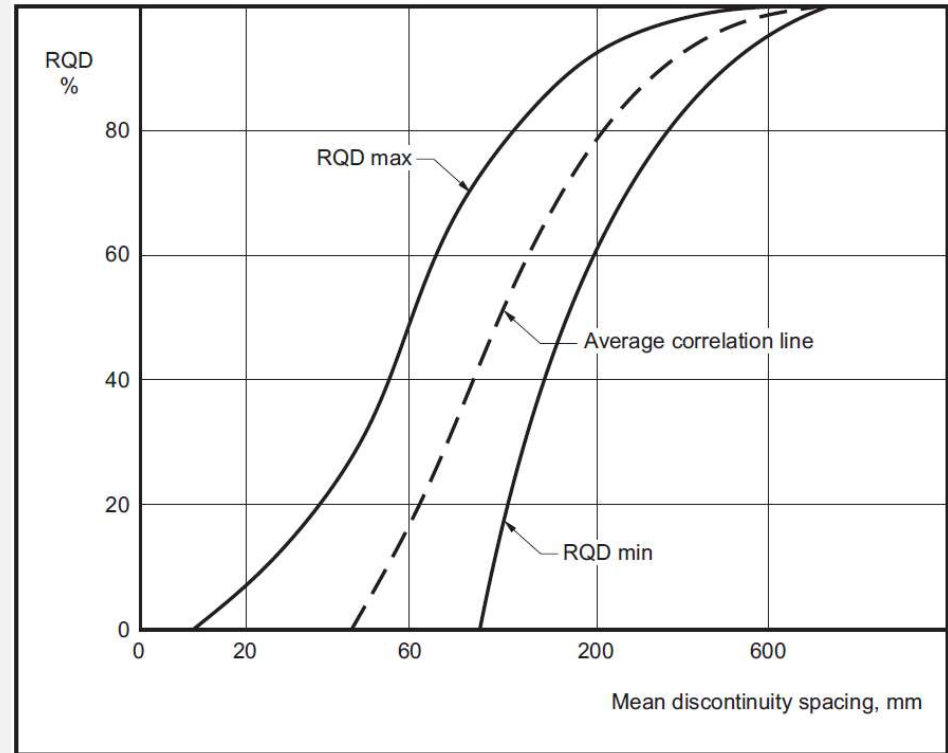
- Instrument for borhull 70-160 mm diam.
- Digital kamera som filmer mot et hyperbolisk speil
- Kamera filmer da borhullsveggen vinkelrett



Eksempel undersøkelser oppsprekkingsgrad bergmasse (Fra Bruland 1998)



RQD	Fissure Class
100	≈ St II
≈ 80	≈ St II
≈ 90	≈ St I
≈ 0	≈ St III-IV



Refraksjonsseismikk (NGU)

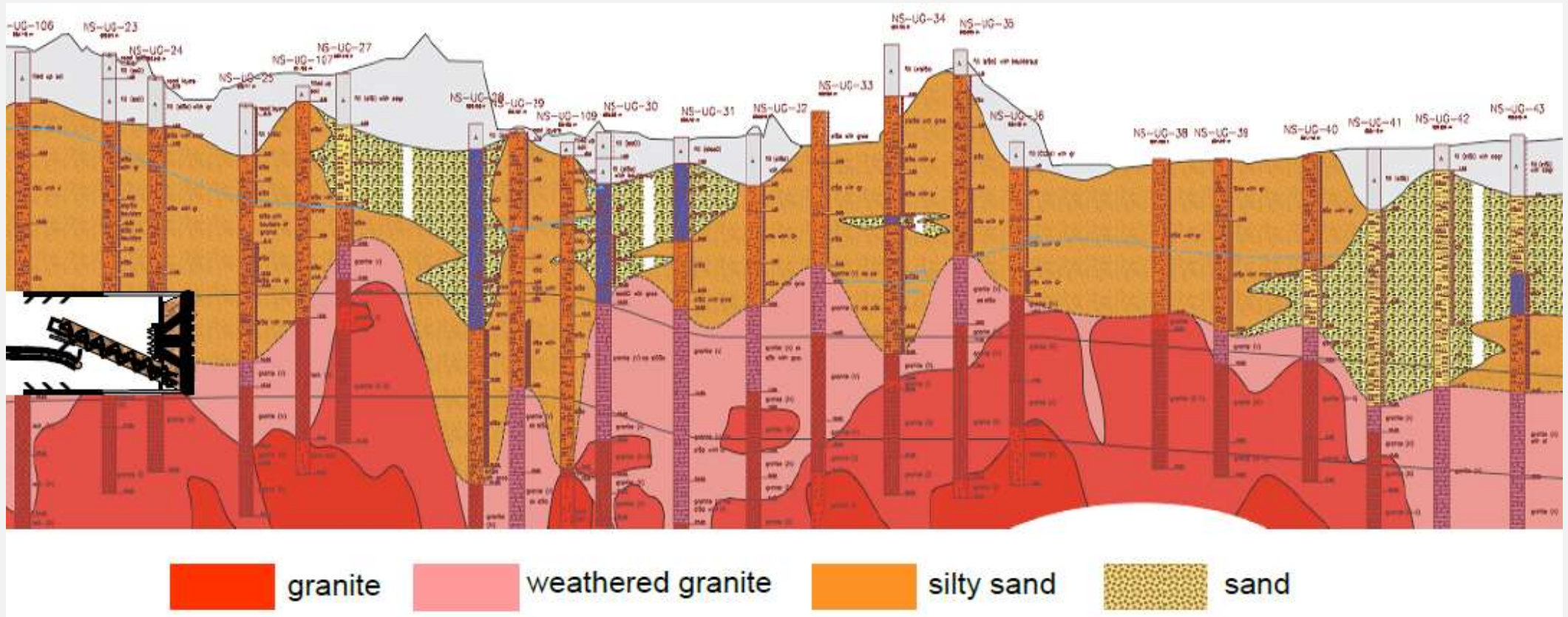
- Lydens forplantningshastighet endrer seg med massens elastiske egenskaper.
- Geofoner (land) eller hydrofoner (sjø) + seismograf måler refraksjon etter energikilde (slegge eller sprengstoff).

Jordarter	P-bølgehastighet (m/s)	Bergarter, ikke oppsprukket	P-bølgehastighet (m/s)
Torv	150 – 500	Sandstein	3000 – 3500
Leire (tørr)	600 – 1200	Kalkstein	4000 – 6000
Sand (tørr)	400 – 900	Dolomitt	2500 – 6500
Grus (tørr)	400 – 1000	Kvartsitt	5500 – 6000
Morene (tørr)	400 – 1600	Granitt	4800 – 5500
Leire (vannmettet)	1200 – 1600	Gneis	4700 – 5800
Sand (vannmettet)	1400 – 1800	Diabas	5700 – 6500
Grus (vannmettet)	1400 – 1900	Gabbro	6200 – 6700
Morene (løs)	1500 – 1900	Ultramafisk	6500 – 7500
Morene (hard)	1900 – 2800		

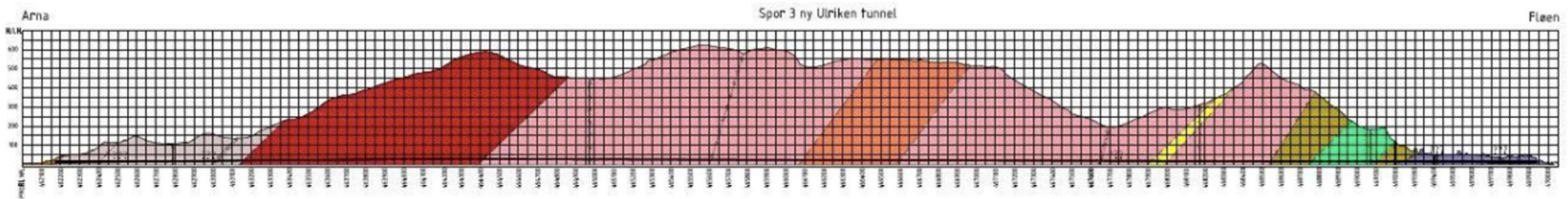
Hvilke undersøkelser, hydrogeologi

- Funksjonskrav for tillatt innlekkasje bestemmende (tema for Karl Gunnar Holter og Martin Stormoen)
 - Sensitive vannmettede løsmasser ?
 - Tetthetsmål for tunnelen
 - Identifisering av mulig lekkajser som kan hinder/forsinke TBM inndrift
- Hydrogeologi (som for boring og sprengning)
 - Vanntapsmålinger / Lugeon
 - Evt. brønnovervåkninger
 - Poretrykksmålinger
 - Berggrunnsgeologisk analyse: identifisere spesielt permeable bergarter eller sprekkesystemer

Eksempel metro tunnel i Singapore. > 20 kjerneborhull på strekning på < 1000 m.



Eksempel Nye Ulriken. (ingen boringer?) men parallell tunnel, samt nært UIB









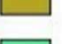


TEGNFORKLARING

Berggrunnsgeologisk kart

Berggrunn

(Angitt i rekkefølge slik bergartene først forekommer fra Arna mot Bergen)

-  Granittiske, syenittiske og monzonittiske dypbergarter, for det meste charnockitter/granulitter
-  Anortositt, stedvis også metagabbro
-  Hovedsakelig granittisk gneis, stedvis med basiske bånd og linser, gjennomført av granittiske ganger
-  Kvartsitt, kvartsittskifer, lokalt kvartsittkonglomerat

-  Øyegneis og båndgneis, omdannet migmatittgneis
-  Migmatitt og migmatittgneis, stedvis omdannet til øye- og båndgneis
-  Amphibolitt, omdannet og sterkt deformert gabbro og grønnstein med bånd av trondhemitt
-  Amphibol-granatglimmerskifer, stedvis med lag av amphibolitt, grønnstein og kiselstein og ganger av trondhemitt
-  Mylonittgneis, for det meste granittisk

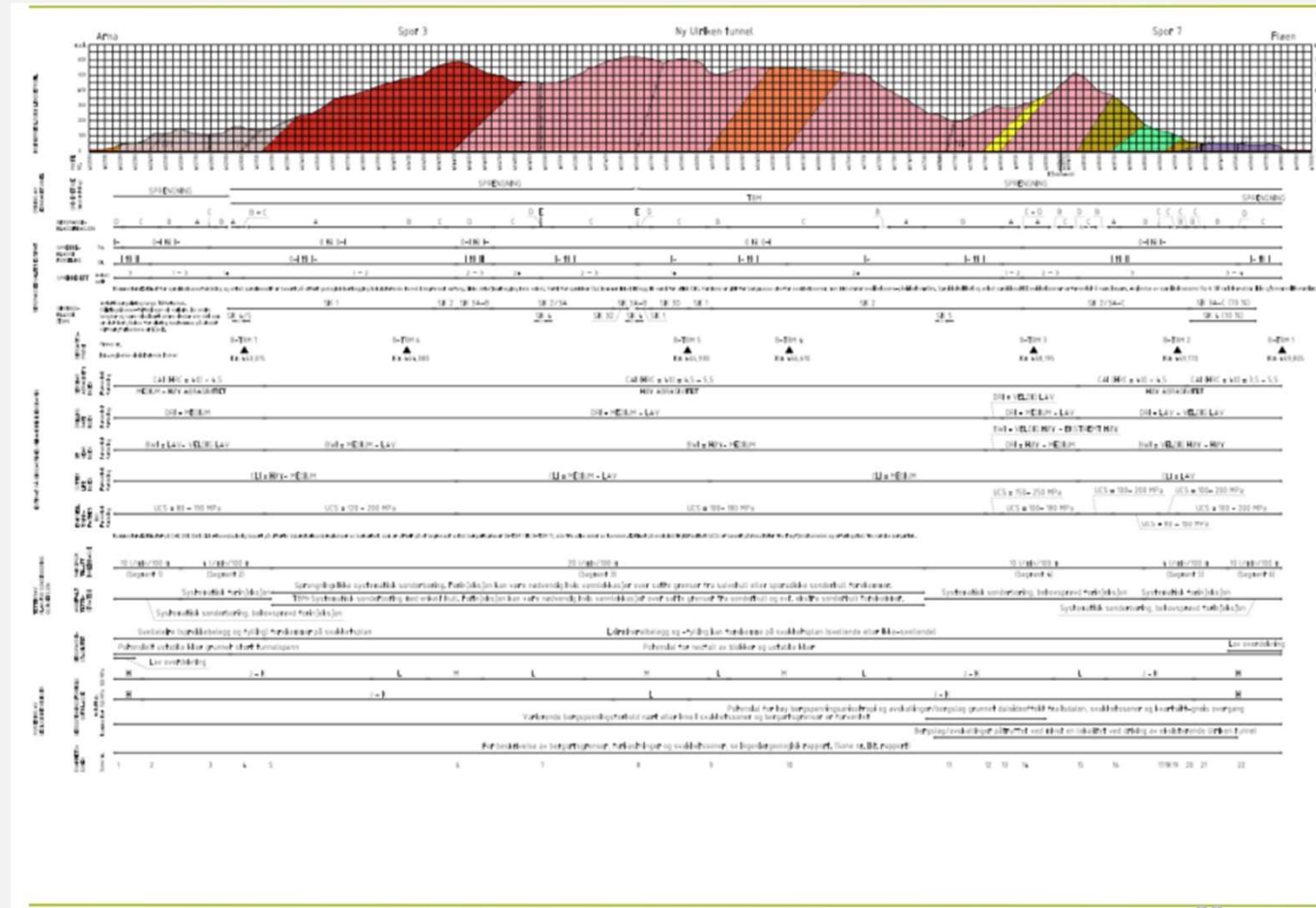
Antatt forløp av geologiske grenser og strukturer

-  Skyveforkastning
-  Bergartsgrense
-  Liten svakhetssone
-  Middels svakhetssone
-  Stor svakhetssone

Ulriken med tolkninger og målinger i legend

(Ongstad)

- Spenn av
 - DRI
 - CLI/CAI
 - UCS
 - Avstand sprekker/
stikk
 - Q-Verdi
 - Kvartsinnhold
 - Boreklasse TBM



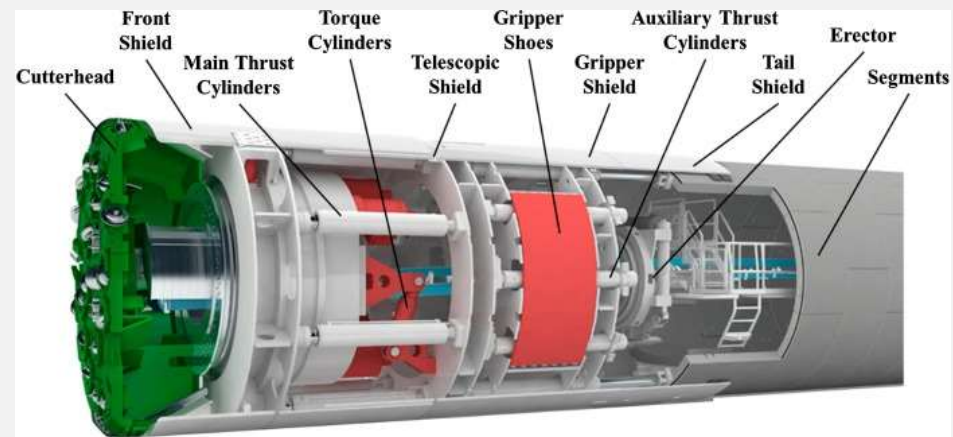
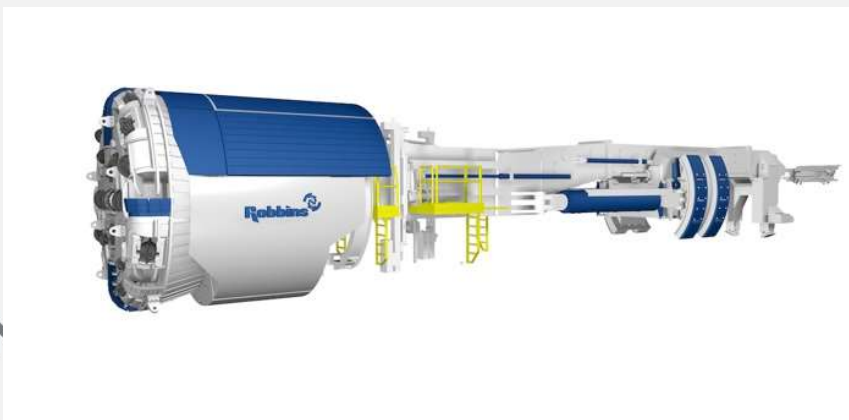
For Ulriken og åpne TBM-er (etter Ongstad)

➤ Risikobergarter

- Mekanisk svake bergarter – stivhet til grippere

➤ Bergmassestabilitet

- Detaljstabilitet med blokker og kiler
- Total stabilitet med større kiler og evt. lav overdekning
- Svakhetssonre, orienteering, karakter, lengde og plassering
- Svellingpotensiale

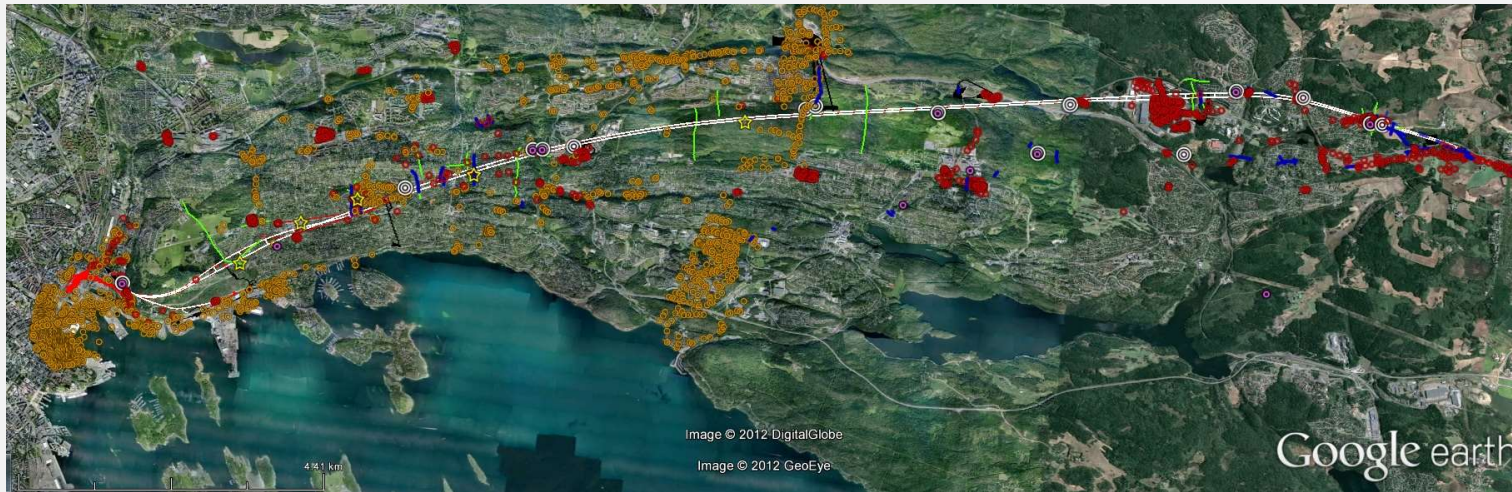


Fløyfjelltunnelen. Boret heng og sprengte vegger

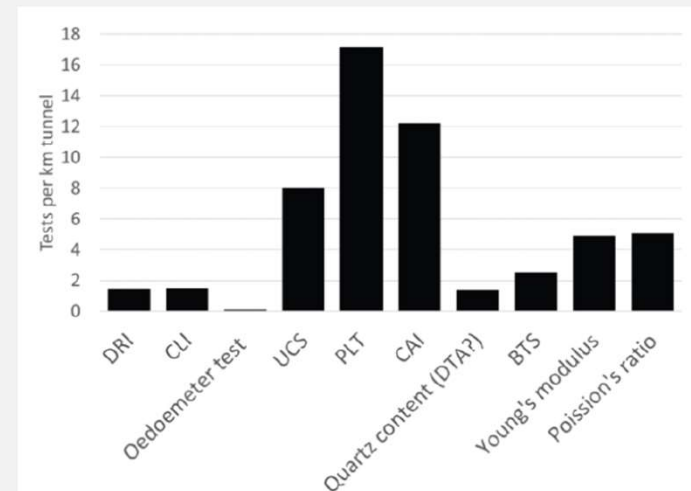
- Boring gir pen kontur
- Vanskeligere ingeniørgeologisk kartlegging under driving, enn for b&s



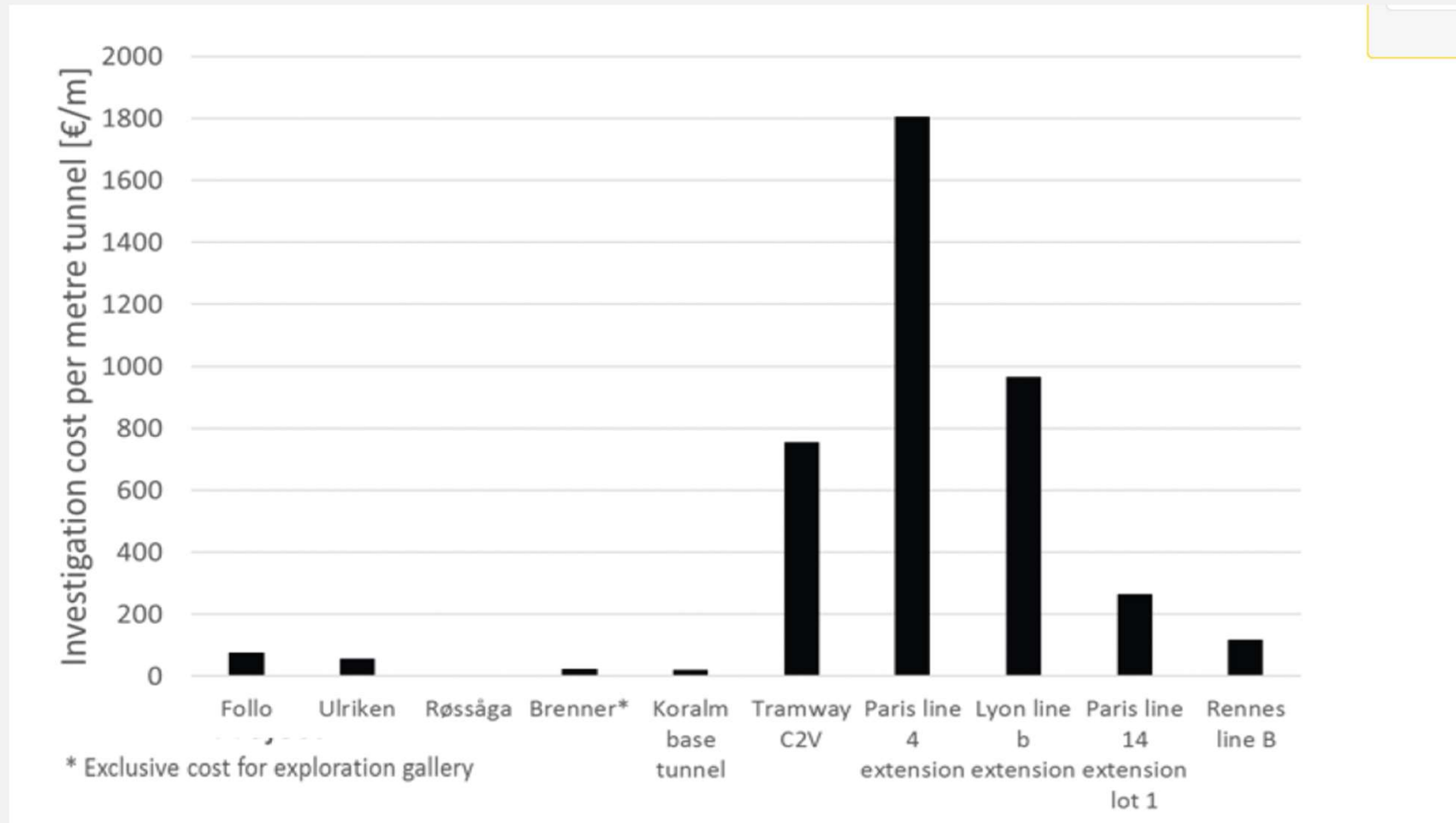
Follobanen (etter Gammelsæter)



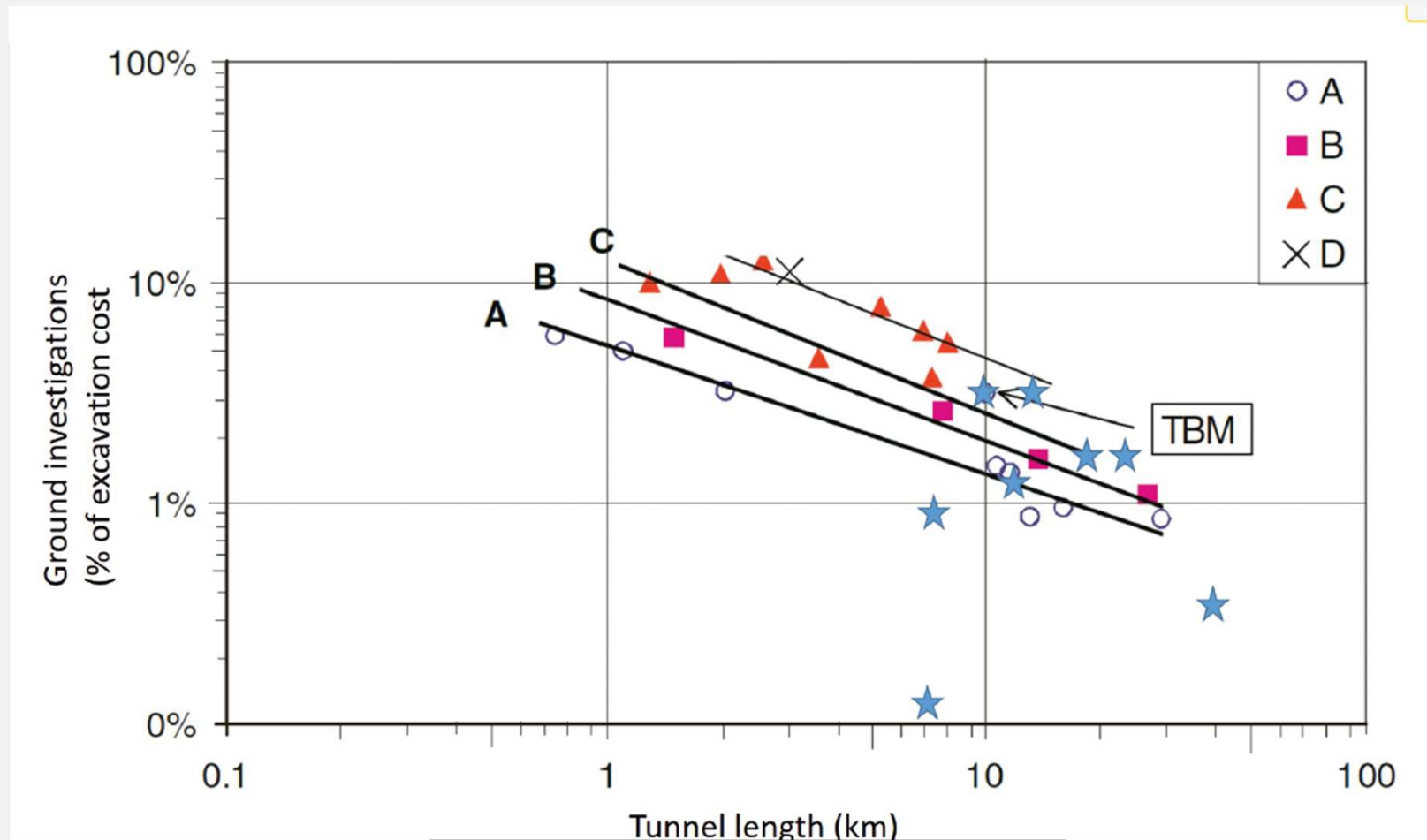
Farge	Type	Antall	Kommentar
	Grunnundersøkelser		
Red	For Follobanen	420	Totalsonderinger og fjellkontrollboringer
Yellow	Fra andre prosjekt	712	Sonderboringer (trykk/drei/dreie-trykk/enkel), fjellkontrollboringer, skovboringer, prøvesjaktinger og totalsonderinger
Pink	Bergprøver	32	Fra håndprøver og kjerneborhull
Yellow	Bergbrønner	14	
	Kjerneborhull	20	
Blue	Seismikkprofil	59	
Green	Resistivitetsprofiler	19	



Jakobsen & Babendererde 2017 og ITA 2015.



SVV var tydelig på Verdi/innvestering av undersøkelser (SVV publikasjon 101)



AFTES er tydelig på verdien av undersøkelser

- Trendlinje som viser at økte undersøkelseskostnader gir lavere kostnadsoverskridelser
- Grafen er basert på underjordsprosjekter (TBM i berg, løsmasser – men også cut&cover og boring og sprengning).

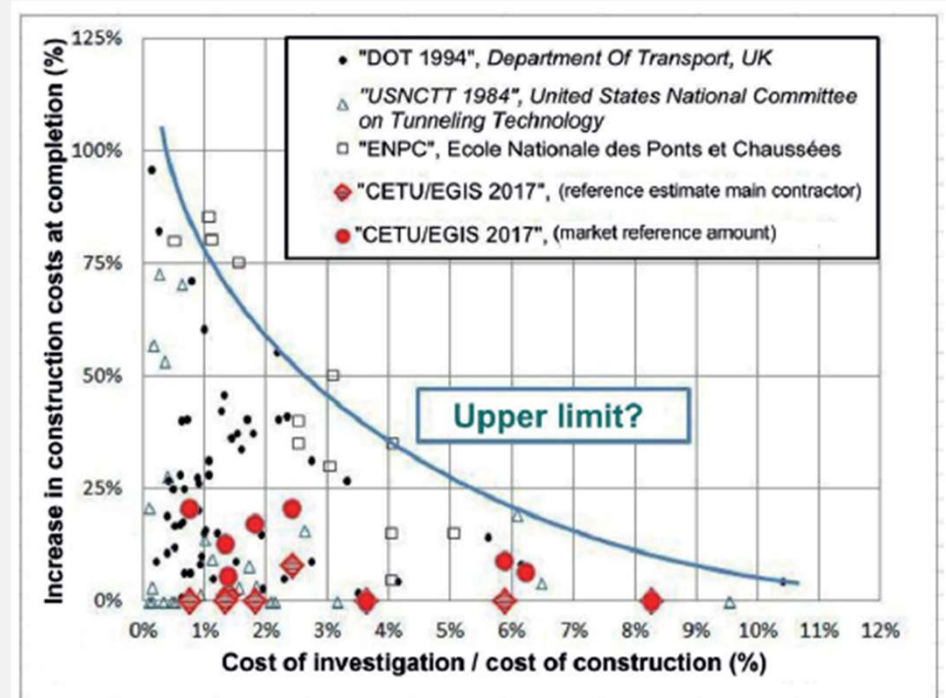
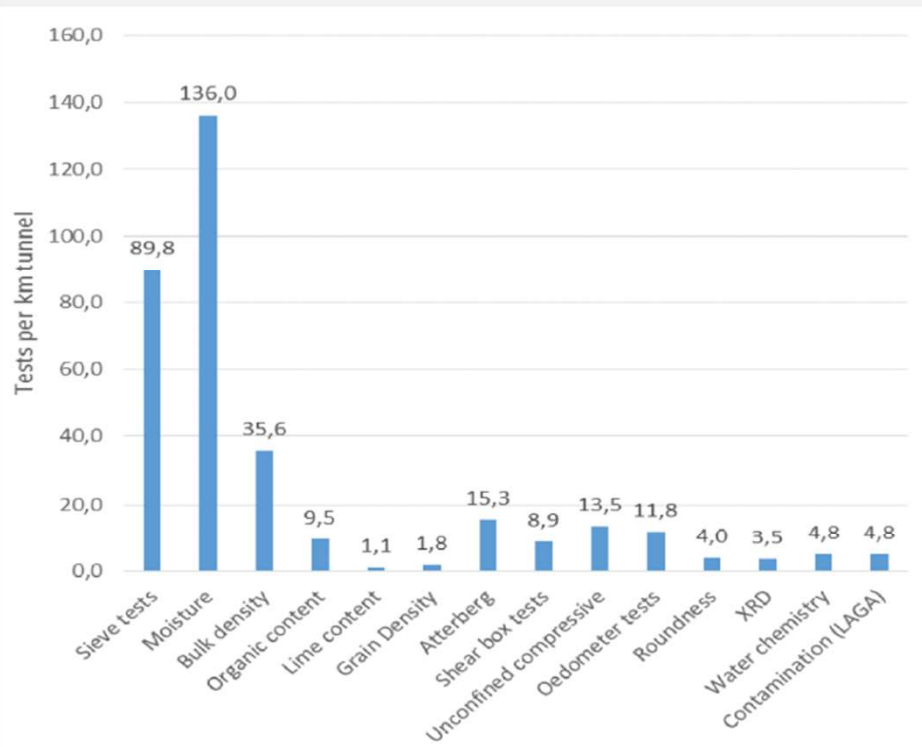


Figure 2: Relationship between construction cost overruns and investigation works.
Source: Robert A. et al. (2017)

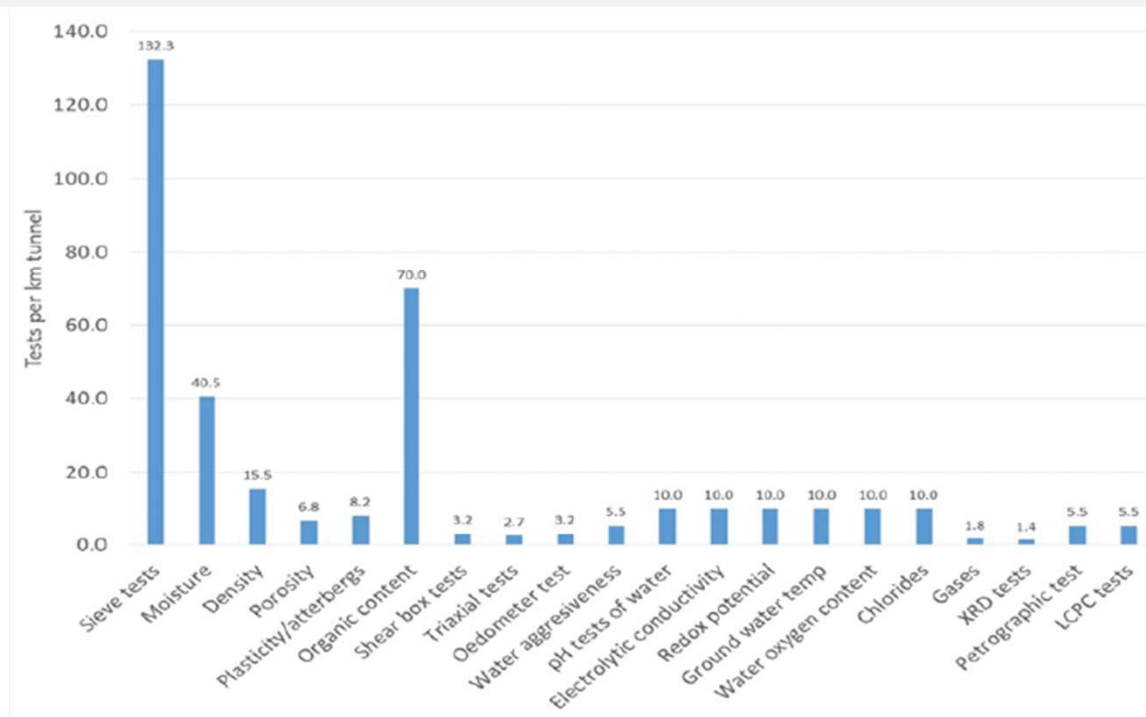
AFTES har ekvivalenttider / kapasiteter for ulike forundersøkelser

Surveys	Average rate of advance (8-hour shift)	Notes on rates of advance
Probing		
Conventional rotary coring	10-12 m per day	Range from 2-20 m per day
Percussion coring	6-8 m per day	
Vibrating coring	8-12 m per day	
Wireline coring	12-16 m per day	Up to 25-30 m per day
Sonic drilling	30-40 m per day	
Destructive drilling	40-60 m per day	
Field tests		
Installation of piezometer tubes + gravel pack	100 m per day	Excluding drilling
PVC tube injection sealing	80-100 m per day	
Pressure meter testing (standard test at 5 MPa)	8-12 m per day 8-12 tests per day	Core boreholes and tests
Cone penetrometer test	50-200 m per day	
Field vane shear test	10-12 tests per day	
Phicometer shear test	2 to 4 u per day	
Dilatometer test (Jack test)	2-3 tests per day	3-4 hours per test
Lugeon water pressure test	2-3 tests per day	
Lefranc water permeability test in open-hole borehole	2-3 tests per day	
Pumping tests	24-96 hours	depending on objective
Geophysical measurements		
Refraction seismic - 50 m system (weight drop)	5-8 systems per day	
Refraction seismic - 115 m system (explosive)	4 systems per day	24 traces
Refraction seismic - 235 m system		

Tunneler i løsmasser – til sammenligning



Number of laboratory tests at A20 soft ground project in Germany.



Number of laboratory tests at the Wistula soft ground project in Poland.

Oppsummering (mitt skjønn)

- ↗ Byggherrer må utføre tilstrekkelige undersøkelser til
 - Å kunne velge drivemetode (boring/sprengning, eller ulike varianter av TBM)
 - Undersøkelser må være tilstrekkelig for å gi tilbydere tilstrekkelig grunnlag til å prise mht. Inndrift/tid.
 - Evt. kan inndrift/tid oppgjøres basert på målinger/observasjoner under bygging
 - Vanskelig med lining tunneler
 - TBM-er som måleinstrument – vær klar over TBM-ens påvirkningsmuligheter på geologi
 - Utførelsesentepriiser vs. totalentepriiser
- Teknisk burde byggherrer utføre undersøkelser så tidlig så mulig i planfase. I konflikt med tildelinger ?
- Tetthet av undersøkelser: Ulike horisonter av bergmasser bør være beskrevet mht. borbarhet. I tillegg generelle ingeniørgeologiske vurderinger (overdekning, spesielt svake bergartslag/soner) bør være beskrevet.

Referanser

- ↗ Bruland 1998. 1B-98, 1F-98
- ↗ Ongstad, A., Geologisk rapport og konkurransegrunnlag for TBM-tunneler. https://bergmekanikk.no/wp-content/uploads/2015/02/TBM-for-dummies_4-Geologirapport-og-konkurransegrunnlag-for-TBM.pdf
- ↗ ITA 2015. Working group 2 Research. Strategy for site investigation of tunnelling. ITA-AITES.
- ↗ Geological, Hydrogeological and Geotechnical Investigations of Underground Structures. French Tunnelling and Underground Association, AFTES. GT23R3AI 2023.
- ↗ Håndbok N500 Vegtunneler 2024
- ↗ Håndbok R764 Anslagsmetoden, 2021.
- ↗ Bane NOR TRV
- ↗ Jakobsen & Babendererede- Pre-investigations for TBM tunnelling. WTC 2017, Bergen.



#påsikkergrunn

NORGES GEOTEKNISKE INSTITUTT
NGI.NO



NTNU

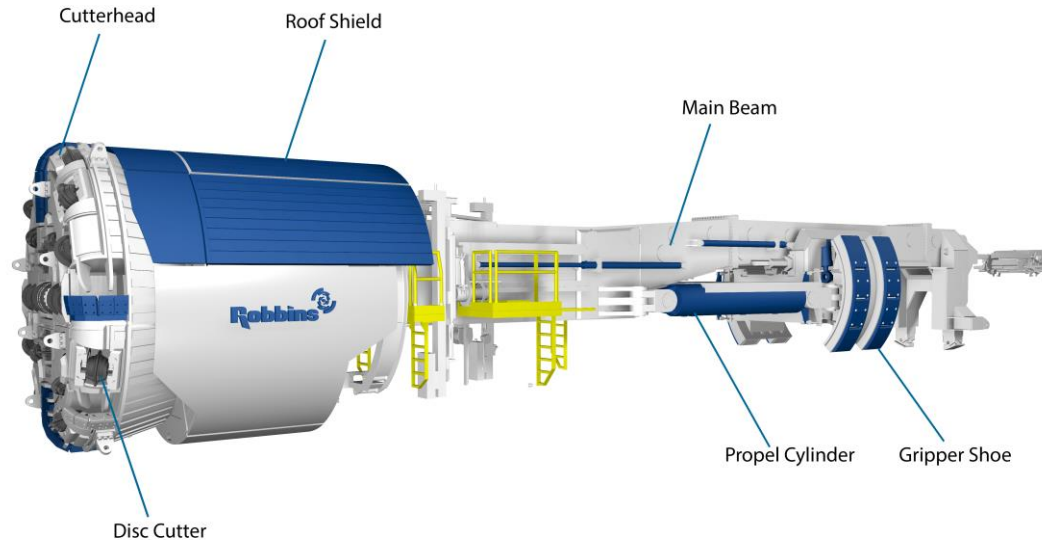
| Kunnskap for en bedre verden

Introduksjon til prognose modeller for TBM-boring

Amund Bruland, NTNU/ Helge-Ivar Frostad, NTNU

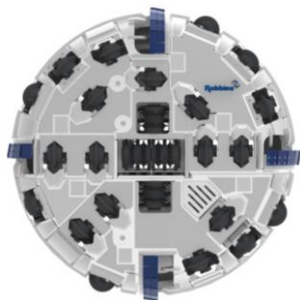
Introduksjon til prognose modeller for TBM-boring

- En TBM (Tunnel Bore Maskin) benyttes i fullprofilprosjekter for driving av tunneler med varierende geologiske forutsetninger.

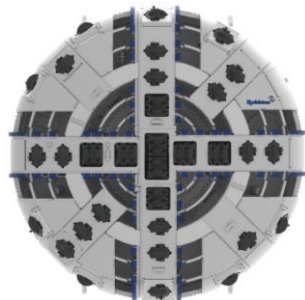


[1]. <https://www.robbinstbm.com/products/tunnel-boring-machines/main-beam/main-beam-detail/>

Det er derfor utviklet flere typer tunnelboringsmaskiner innen tunnelboringsindustrien



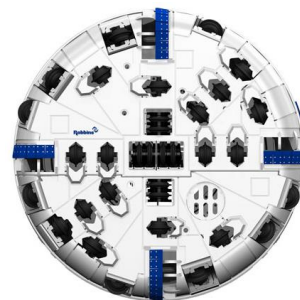
Main Beam
hard rock



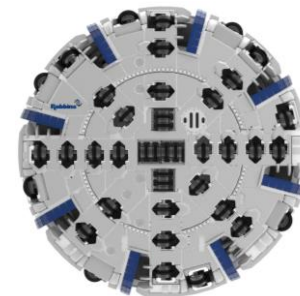
EPBM
soft ground



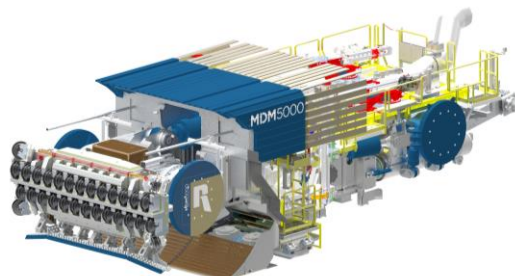
Crossover
variable geology



Double Shield
fractured hard rock



Single Shield
massively fractured rock



MDM5000
access tunnels and long drifts

[2]. <https://www.robbinstbm.com/>

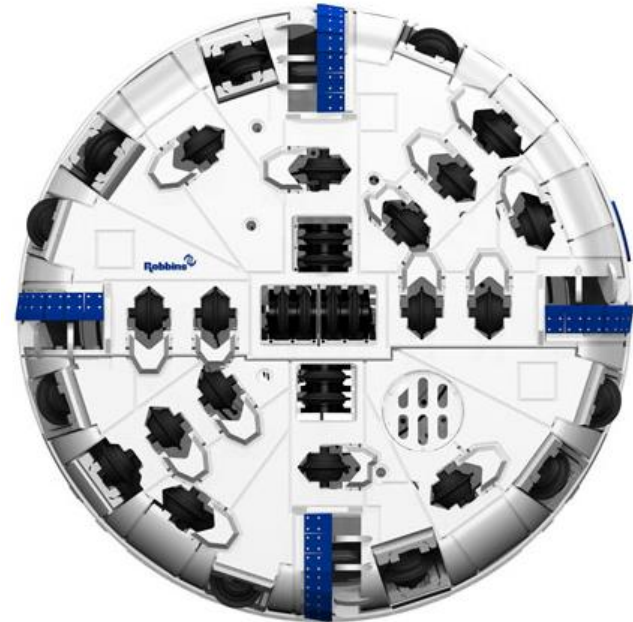
Prognosemodeller for TBM-boring

- Kostnadsestimater og ytelsesprognoser har stor innflytelse på planlegging og risikostyring i TBM prosjekter.
- Nøyaktige og pålitelige prognosemodeller kan bidra til å redusere risiko, forsinkelser og økonomiske prosjektoverskridelser.
- Det er blitt utviklet flere prognosemodeller for beregning av ytelsesestimer og kutterslitasje i f.eks. hardt berg de seneste tiårene.

Prognosemodeller for TBM-boring i hardt berg

Noen av disse er f.eks.:

- [3]. Gehring (1995)
- [4]. Colorado School of Mines (CSM) (1993, 1997)
- [5]. NTNU model (2000, 2016)
- [6]. Q_{TBM} (1999, 2000)
- [7]. RME (Bieniawski et al., 2006)
- [8]. MCSM Model (2002, 2014)
- [9]. Alpine model (2015, 2016)
- [10]. Farrokh et al. (2012)
- [11]. Hassanpour et al. (2011, 2016)
- [12]. Maidl (2008)
- [13]. Frenzel (2011)



[14]. <https://www.robbinstbm.com/products/tunnel-boring-machines/double-shield/>

Prognosemodeller i hardt berg

- Generelt for prognosemodeller:
 - Inndata: Geologi/berg – og maskin parametere
 - Utdata: Inndrift- og produksjonsframdrift i tillegg til kutterlevetid
 - Noen modeller er imidlertid utviklet spesifikt for estimering av kutterlevetid
- De forskjellige modellene benytter forskjellige tilnærminger spesielt i forbindelse med inndataparametere som geologi/berg egenskaper. Ved sammenligning av modeller kan dette utgjøre en utfordring.

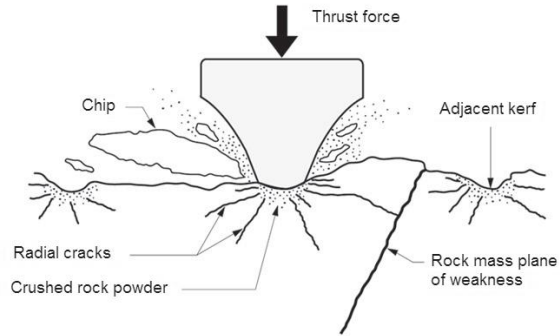
Prognosemodeller i hardt berg

Eksempler på forskjellige tilnærminger i inndataparametere:

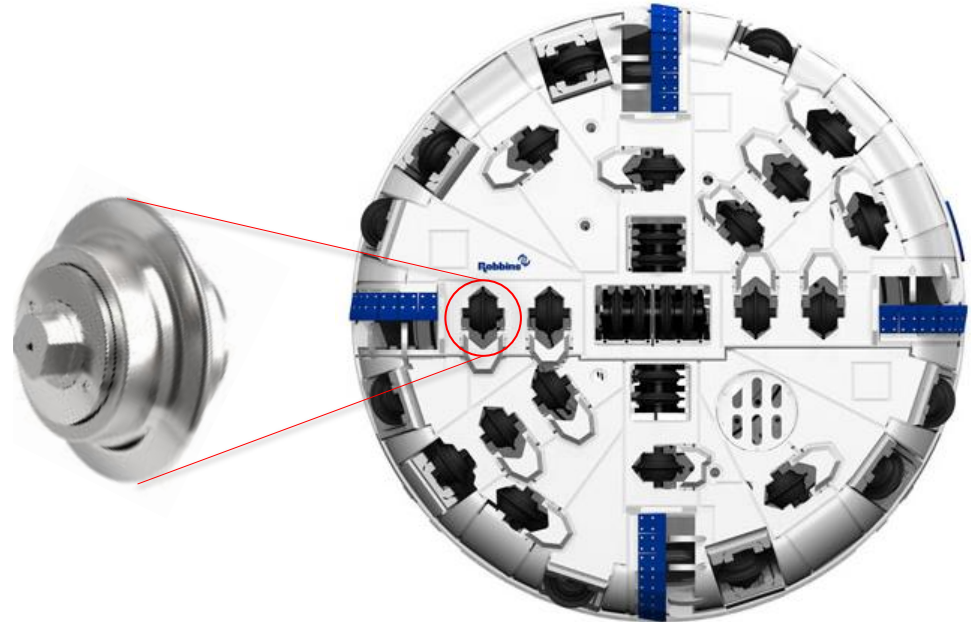
- Gehring (1995): UCS, rock mass fabric.
- Colorado School of Mines (CSM) (1993, 1997): UCS, BTS.
- NTNU model (2000, 2016): DRI, porosity, degree of fracturing, orientation, CLI, quartz content.
- QTBM (1999, 2000): Q-value (with RQDo), rock strength (UCS, PLT), density, porosity CLI, quartz content, induced biaxial stress on tunnel face.
- RME (Bieniawski et al., 2006): RMR parameters, DRI.
- MCSM Model (2002, 2014): UCS, BTS.
- Alpine model (2015, 2016): UCS, rock mass fabric, LCPC breakability, BTS, 'y-intercept BTS or LBC approach'.
- Farrokh et al. (2012): UCS, BTS.
- Hassanpour et al. (2011, 2016): UCS, BTS.

Prognosemodeller i hardt berg

➤ Disk kuttere



[15]. Chip formation principle under a disc cutter (Modified from NTH, 1983) in (Macias, 2016) .



[16] [14]. <https://www.robbinstbm.com/products/tunnel-boring-machines/double-shield/>

Prognosemodeller i hardt berg

- Eksempler på utdata:
 - NPR (m/h)
 - AR (m/week)
 - Cutter ring life (h/c)
 - Cutter ring life (sm³/c)
 - Total tunnel time (weeks)
 - Delays
 - Total cost

Prognosemodeller i hardt berg

Beregningseksempel

➤ Inndata parametere TBM:

TBM diameter (m): 10.5

Cutter diameter (mm; inch): 483; 19

T (mm): 19.05

Numbers of cutters (N_o): 74

RPM (rev/min): 4.51

Thrust (kN): 20720

Torque (kNm): 5744.2

Installed power (kW): 4438.6

Cutter spacing (mm): 70.9

Inndata geologi/berg egenskaper:

Tunnel length (m): 9500

Overburden (m): 600

σ_u (Mpa): 150

σ_t (BTS) (Mpa): 6.40

Fracture spacing (average cm): 40

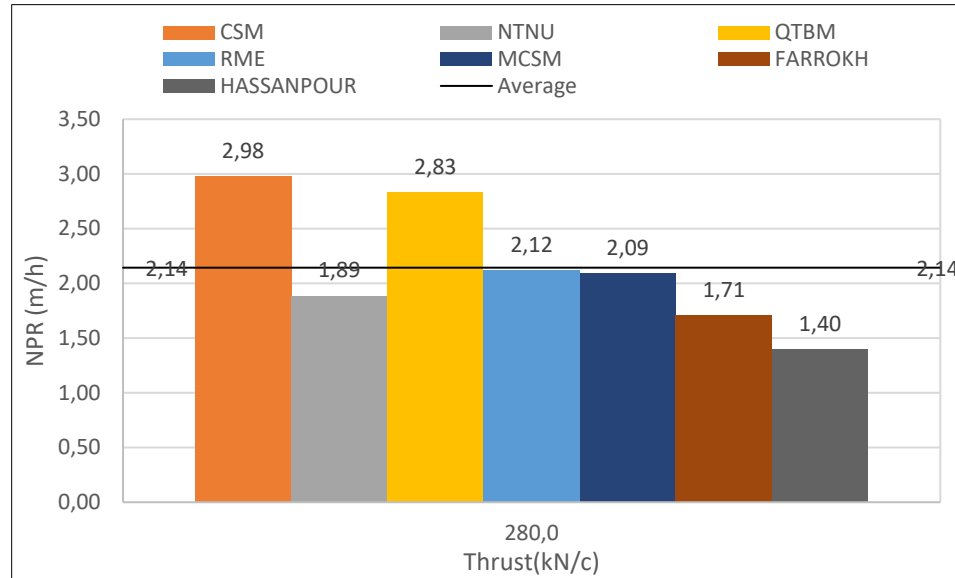
Quartz (%): 25

Cerschar Abrasivity Index (CAI): 4.60

Prognosemodeller i hardt berg

Beregningseksempel

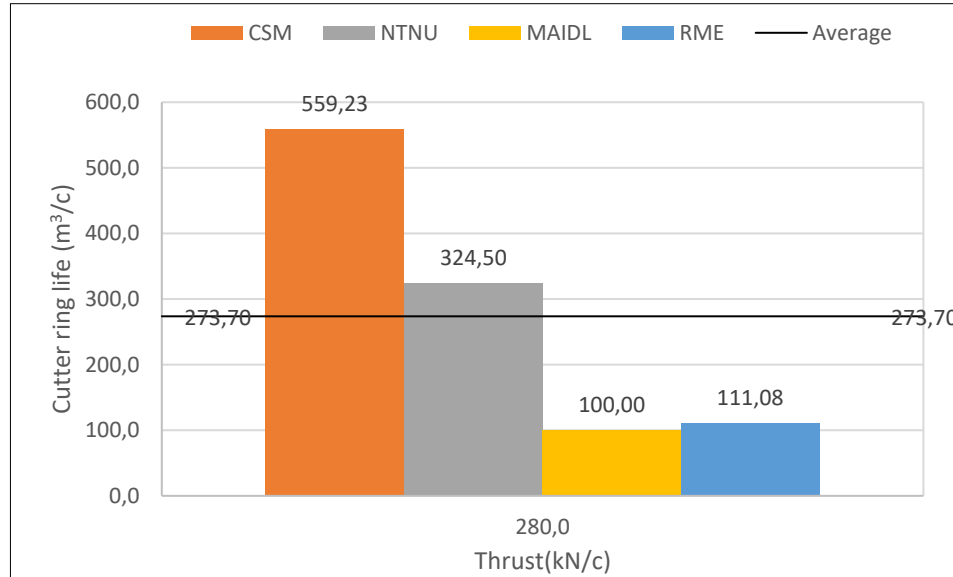
➤ Utdata:



Prognosemodeller i hardt berg

Beregningseksempel

➤ Utdata:



Modell differensiering

Penetration rate model	Output parameters
Gehring model	PR (m/h)
CSM model	PR (m/h)
NTNU model	NPR (m/h), AR (m/week)
Q_{TBM} model	PR (m/h), AR (m/week)
RME	PR (m/h), (m/week)
MCSM model	PR (m/h)
Alpine model	PR (m/h)
Farrokh	PR (m/h)
Hassanpour	PR (m/h)

NTNU
DRI, porosity,
degree of fracturing,
orientation,
CLI, quartz content

QTBM
Q-value (with RQDo),
rock strength (UCS,
PLT), density,
porosity, CLI, quartz
content, induced
biaxial stress on
tunnel face

RME
RMR parameters,
DRI

Cutter ring life model	Output parameters
Gehring model	(fm ³ /ring)
CSM model	(m ³ /c)
NTNU	(h/c), (sm ³ /c)
Maidl	(m ³ /ring)
RME	(m ³ /c)
Frenzel	(m ³ /c)

Oppsummering

- TBM teknologien utvikler seg kontinuerlig noe som bør være en viktig driver for kontinuerlig oppdatering av ytelsesprediksjoner og kutterlevetidsvurderinger.
- Resultater fra forskning resulterer i en bedre forståelse av tunnelboreprosessen som kan benyttes til videreutvikling og revisjon av eksisterende prognosemodeller.

Referanser

- [1]. <https://www.robbinstbm.com/products/tunnel-boring-machines/main-beam/main-beam-detail/>
- [2]. <https://www.robbinstbm.com/>
- [3]. GEHRING, K. 1995. Leistungs- und Verschleißprognose im maschinellen Tunnelbau. – Felsbau Magazin, 13 (6): 493-448.
- [4]. ROSTAMI, J. & OZDEMIR, L. 1993. A new model for performance prediction of hard rock TBMs. . Proceedings, rapid Excavation and Tunnelling Conference (RETC 1993), Boston, Massachusetts, USA (1993), pp 793-809.
ROSTAMI, J. 1997. Development of a force estimation model for rock fragmentation with disc cutters through theoretical modelling and physical measurement of crushed zone pressure, PhD Thesis. . Colorado School of Mines, Golden, Colorado, USA (1997).
- [5]. BRULAND, A. 2000b. Hard rock tunnel boring. 1998:81, Vol.1–10., Norwegian University of Science and Technology, Department of Building and Construction Engineering.
MACIAS, F. J. 2016. Hard rock tunnel boring: performance predictions and cutter life assessment. 2016:350, Norwegian University of Science and Technology, Faculty of Engineering Science and Technology, Department of Civil and Transport Engineering.
- [6]. BARTON, N. 1999. TBM performance in rock using QTBM. Tunnels & Tunnelling International Vol. 31 (1999), pp 41 -48.
BARTON, N. 2000. TBM tunnelling in jointed and faulted rock. A.A. Balkema, Rotterdam (2000).
- [7]. BIENIAWSKI, Z. T., CELADA TAMAMES, B., GALERA FERNÁNDEZ, J. M. & ÁLVAREZ HERNÁNDEZ, M. 2006. Rock mass excavability indicator: New way to selecting the optimum tunnel construction method. Tunnelling and Underground Space Technology, 21, 237.
BIENIAWSKI, Z. T., CELADA, C. B., GALERA, J. M. AND TARDAGUILA, I. G. 2009. Prediction of Cutter Wear using RME. Proceedings ITA-ITAES World Tunnel Congress, Budapest, Hungary (2009).
- [8]. YAGIZ, S. 2009a. Assessment of brittleness using rock strength and density with punch penetration test. Tunnelling and Underground Space Technology, 24, 66-74.
YAGIZ, S. 2009b. Geotechnical considerations on TBM tunneling in rock mass. 2nd International Conference on New Developments in Soil Mechanics and Geotechnical Engineering, 28-30 May 2009, Near East University, Nicosia, North Cyprus
YAGIZ, S. 2014. Modified CSM Model for Predicting TBM Performance in Rock Mass, 252p.
- [9]. WILFING, L. 2016. The Influence of Geotechnical Parameters on penetration Prediction in TBM Tunneling in Hard Rock. PhD Thesis., Technical University of Munich, Munich, Germany (2016).
- [10]. FARROKH, E., ROSTAMI, J. & AND LAUGHTON, C. 2012. Study of various models for estimation of penetration rate of hard rock TBMs. Tunnelling and Underground Space Technology Vol. 30 (2012), pp 110-123.

Referanser

- [11]. HASSANPOUR, J., ROSTAMI, J. & ZHAO, J. 2011. A new hard rock TBM performance prediction model for project planning. *Tunnelling and Underground Space Technology*, 26, 595-603.
- HASSANPOUR, J., VANANI, A. A. G., ROSTAMI, J. & AND CHESHOMI, A. 2016. Evaluation of common TBM performance prediction models based on field data from the second lot of Zagros water conveyance tunnel (ZWCT2). *Tunnelling and Underground Space Technology* Vol. 52 (2016), pp 147-156.
- [12]. MAIDL, B., SCHMID, L. AND HERRENKNECHT, M. 2008. *Hard rock Tunnel Boring Machines.*, Ernst & Sohn (2008), ISBN 978-3-433-01676-3.
- [13]. FRENZEL, C. 2011. *Disc Cutter Wear Phenomenology and their Implications on Disc Cutter Consumption for TBM.* Colorado School of Mines, Golden, CO, USA. ARMA 11-211. Copyright 2011 ARMA, American Rock Mechanics Association. This paper was prepared for presentation at the 45th US Rock Mechanics / Geomechanics Symposium held in San Francisco, CA, June 26–29, 2011.
- [14]. <https://www.robbinstbm.com/products/tunnel-boring-machines/double-shield/>
- [15]. NTH (1983). *Hard Rock Tunnel Boring, Project Report 1-83.* Norwegian Institute Technology, Div. of Construction Engineering, Trondheim, Norway (1983) in MACIAS, F. J. 2016. *Hard rock tunnel boring: performance predictions and cutter life assessment.* 2016:350, Norwegian University of Science and Technology, Faculty of Engineering Science and Technology, Department of Civil and Transport Engineering.
- [16]. <https://www.robbinstbm.com/products/tunnel-boring-machines/double-shield/>

Gelogisk Risiko i TBM-tunneler

Javier Macias, PhD

Rock Engineering Consultant and Researcher

JMConsulting-Rock Engineering AS

Bergteknikk for TBM - Boring i hardt fjell

10.01.2024, Oslo



NORSK BERGMEKANIKKGRUPPE

Outline

- What is Risk?
- Geological Risk in hard rock TBMs
- Geological risk mitigations
 - Design
 - Construction
- Takeaways

Outline

- What is Risk?
- Geological Risk in hard rock TBMs
- Geological risk mitigations
 - Design
 - Construction
- Takeaways

Risk

- “The possibility of something bad happening”
(Cambridge Dictionary)
- “Risk is what is left when you think you have
thought of everything” (GoodReads - Carl Richards)

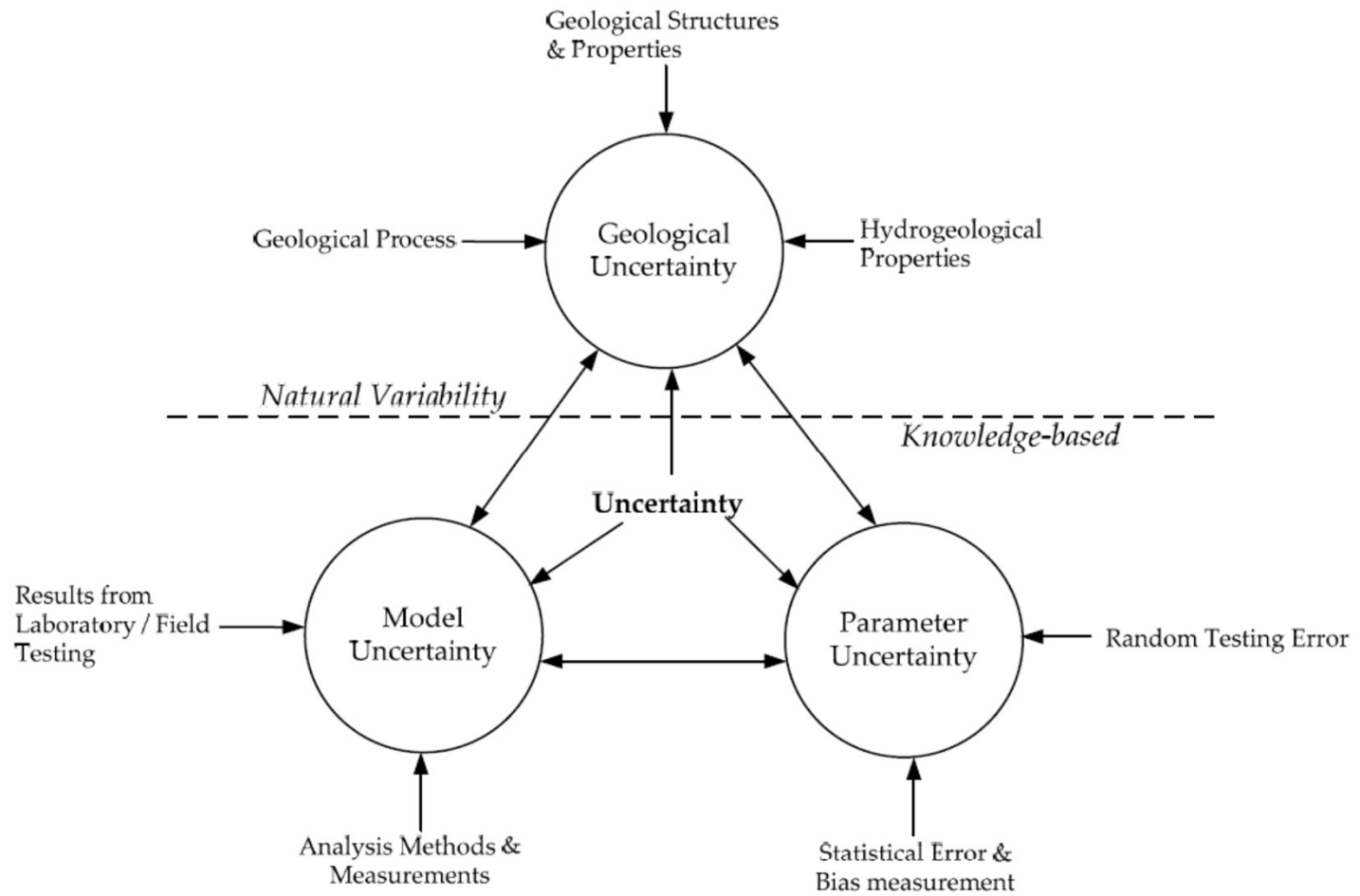
Risk

- Risk is always involved in rock tunnels
- Geology is the main source of uncertainty in geotechnical engineering (Wood, 1994)
- *“Uncertainty is a situation in which something is not known, or something that is not known or certain”* (Cambridge dictionary)

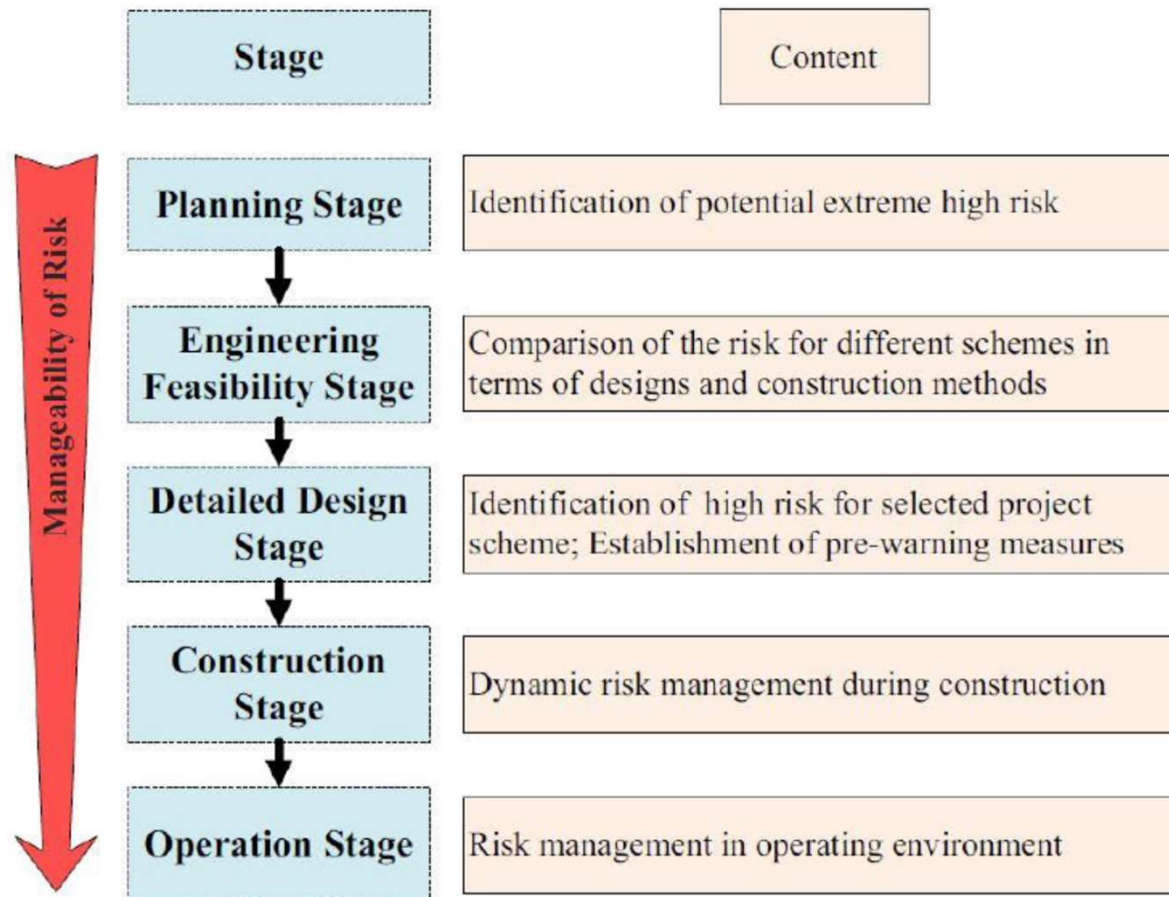
Risk

- **Uncertainty:**
 - **Aleatoric uncertainty** (natural variability)
 - Cannot be reduced
 - Only quantified
 - **Epistemic uncertainty** (“lack of knowledge”)
 - Reduced by means of obtaining more information
 - More investigations

Risk



Risk

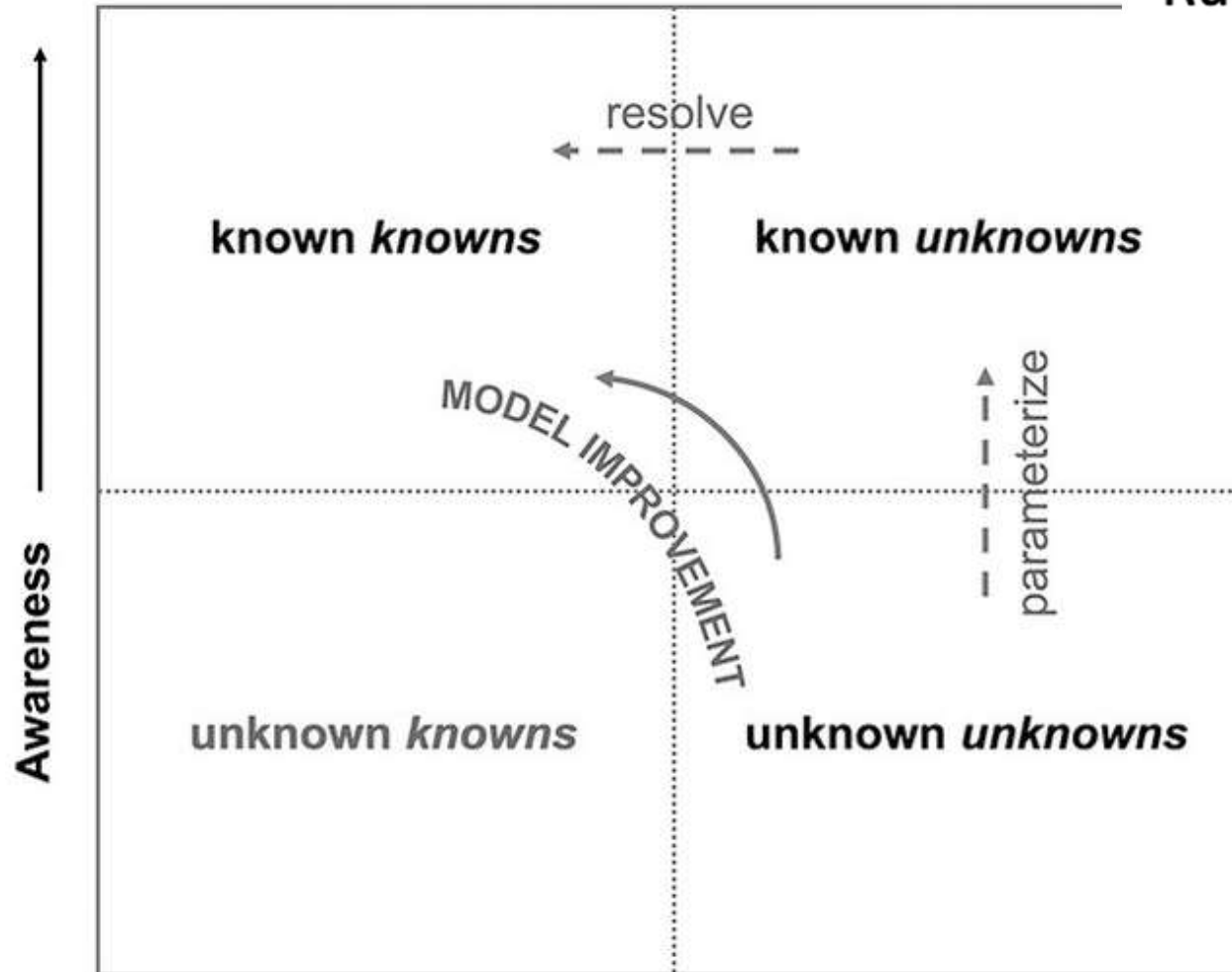


Risk

FACTS ←

Accuracy

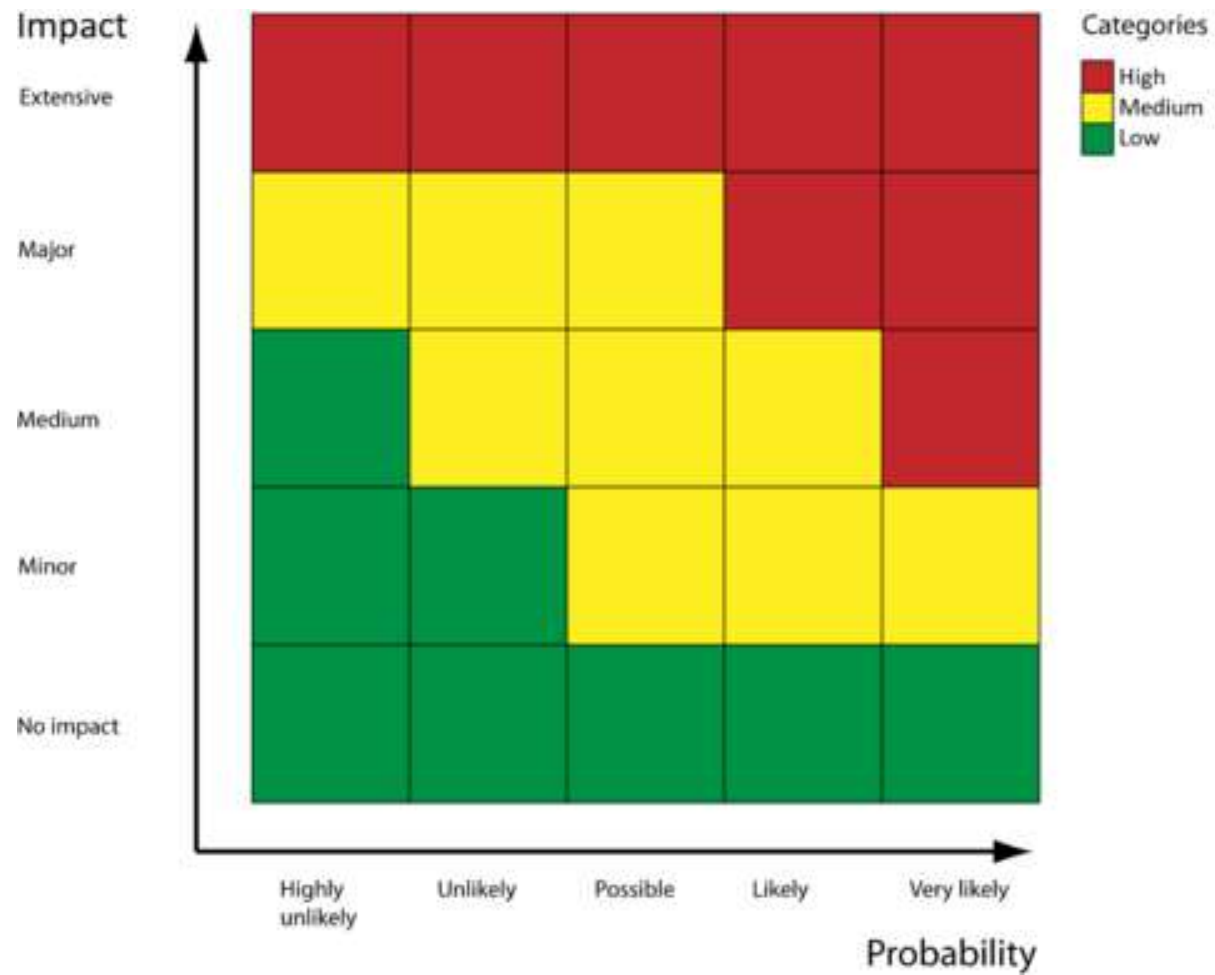
Rumsfeld Knowledge Matrix



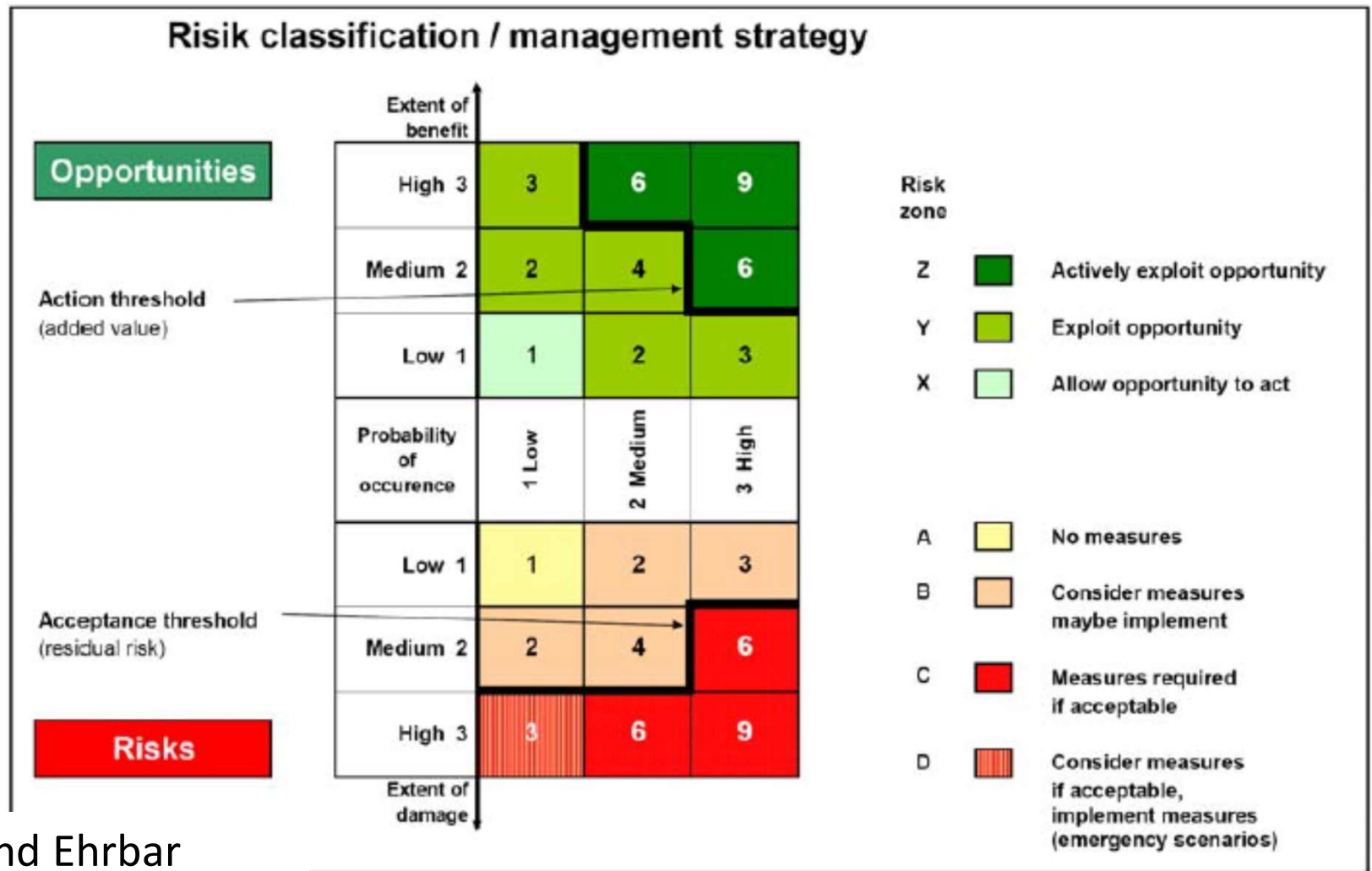
*“As we know, there are **known knowns**; there are things we know we know. We also know there are **known unknowns**; that is to say we know there are some things we do not know. But there are also **unknown unknowns**—the ones we don’t know we don’t know.”*

- Donald Rumsfeld, Former US Secretary of Defense

Risk



Risk



Outline

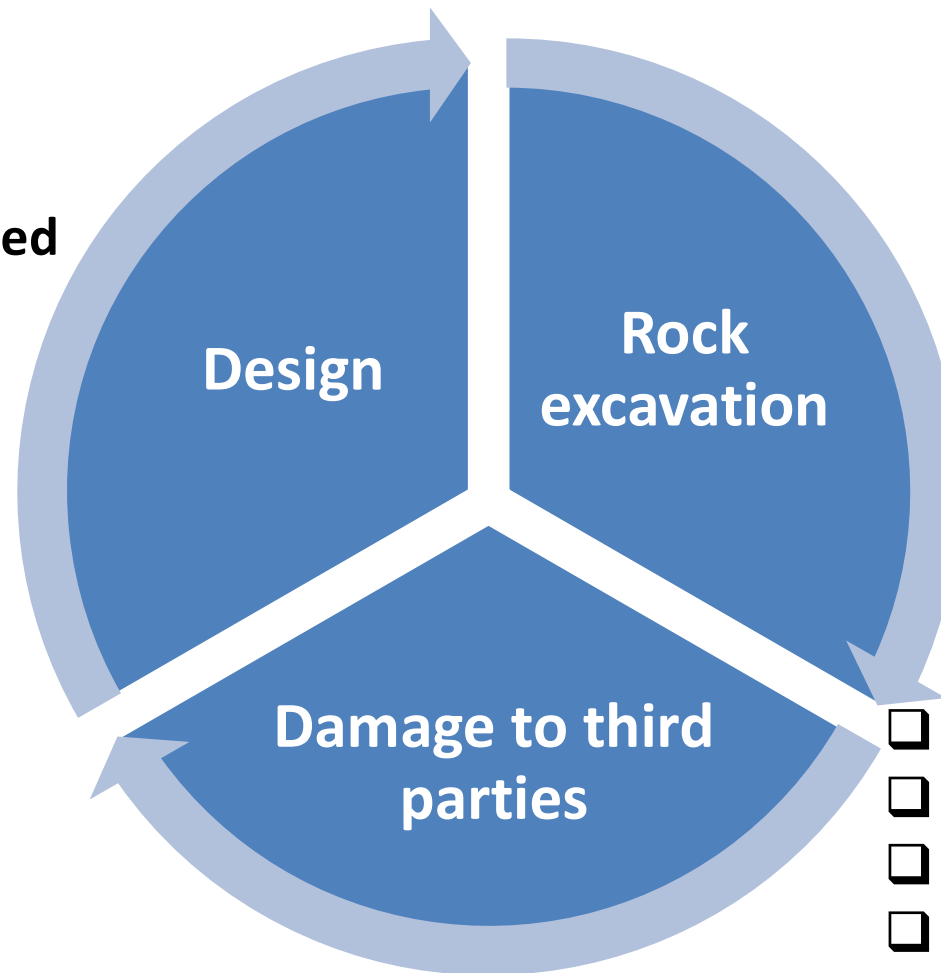
- What is Risk?
- Geological Risk in hard rock TBMs
- Geological risk mitigations
 - Design
 - Construction
- Takeaways

Geological uncertainties

- Gravity driven
- Stress induced
- Water influenced

- Drillability
- Energy to break up rock
- Stand-up time
- Initial support
- Ground water conditions

Schedule
and cost



- Damage to other structures
- Environmental/social impact
- Workers safety
- Long term stability

Geological Risk in hard rock TBMs

Type	Event	Risk Factor	Probability Score
A. Geological Factors	A1	Squeezing/Swelling ground	4
	A2	High rock stresses and unanticipated rock material behavior	5
	A3	Mudstone/shale rock units softening more than anticipated	4
	A4	Massive Sandstone/Siltstone rock units bedding	4
	A5	Crossing of fault zones or mix ground conditions	5
	A6	Large water inflows, and/or higher pressures, than anticipated	5
	A7	Encountering unexpected large aquifer	5
	A8	Insufficient geological data	4
	A9	Overbreak or block detachment in front of cutter head	3
	A10	High abrasivity of Rock Mass	3
	A11	Unexpected muck characteristics	4
	A12	Encountering big rocks in soft rock matrix	4
	A13	Excess strain energy buildup in strong, stiff/brittle rock	5
	A14	Ground Contains large amount of quartz	5
B. Construction Management Factors	B2	Lack of coordination with supplier/ higher consumption of spare parts	4
	B3	Improper assembly and/or maintenance	3
	B4	O&M and Fuel supply from Power Plant	4
	B5	Conveyor disposal point is too congested due to insufficient capacity	4
	B6	Lack of communication	3
	B7	Additional Rock Support suggested by Geologist at Site	4
	B8	Improper/unsuitable procedures, materials, equipment, or crew	4
	B9	Lack of training and indoctrination	3
	B10	Equipment not properly calibrated or inexperienced operators	4
	B11	Lack of maintenance of the main bearing	3
	B12	Survey control errors	4
	B13	Not following manufacturer's guidelines	4
	C. Design Factors	C1	Machine under-designed and/or underpowered; higher stresses than anticipated
C2		Design is overly conservative	3
C3		Selection of TBM Machine	5
C4		Incomplete factory acceptance test	4
C5		Improper Rock support design	4
C6		Design of cutter head	5
C7		Design of cutter size, torque, thrust force	5
C8		Improper Excavation Span	5

Geological Risk in hard rock TBMs

- **Faulted rock**
- **Large water inflows**
- **High stress**
 - **Squeezing/spalling**
- **Low to very low rock boreability**
- **High abrasivity rock**
- **MFC/Blocky rock mass**

Geological Risk in hard rock TBMs

- **Faulted rock**
- **High stress**
 - Squeezing/spalling
- **Large water inflows**
- **MFC/Blocky rock mass**
- Low to very low rock boreability
- High abrasivity rock

TBMs in faulted rock

Significant impact of faulted rock on hard rock TBMs

Why?

- Low flexibility of the method
- Very sensitive to changes in geology
- High cost

TBMs in faulted rock

Some additional geotechnical problems for hard rock TBMs in faulted rock:

- Cutterhead jamming
- Large water inflow/chimney formation
- Removal of overbreak
- Cutter and cutterhead damages
- ...

Water inflow / erosion of faulted rock



Tobias Andersson

Bolting and rock "straps"



Photo: Tobias Andersson

Blocky ground



Bolting and rock "straps"



Bolting and wire mesh



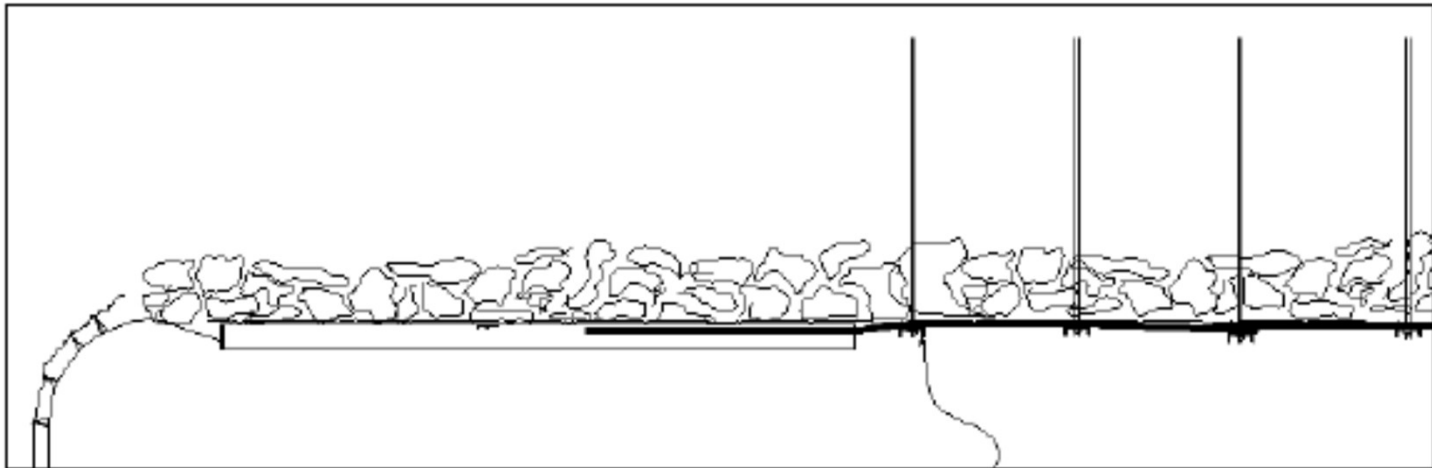
New Civil Engineer



Photo: Leon Eide

26.09.2016 18:59

Mc-Nally support system



Steel ribs and wire mesh

And sprayed concrete?

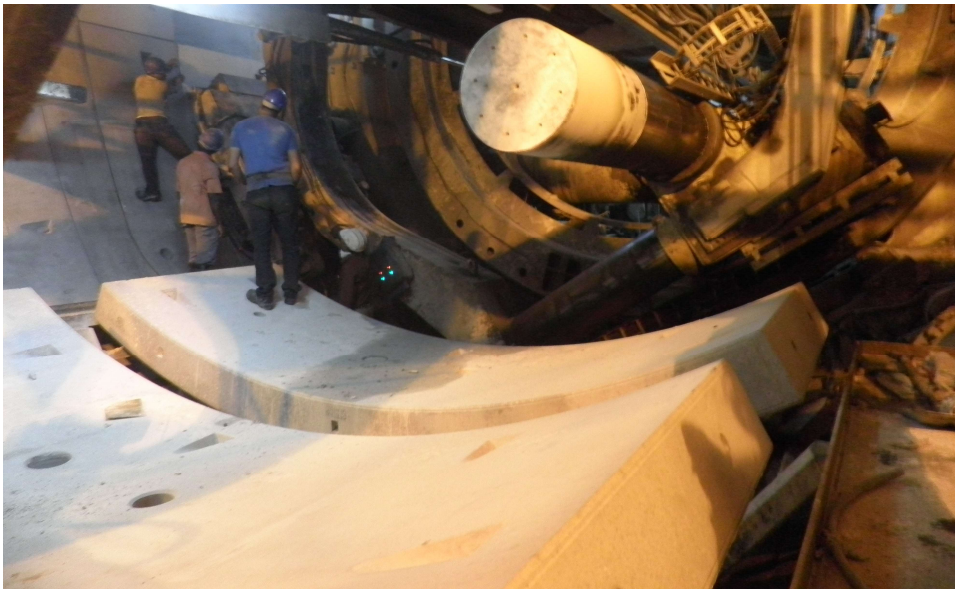


Tjelmeland (2016)

15.10.2016 18:59

Pre-cast segmental lining

- Reinforced concrete segments
- Shield machines



Tunneltalk (2016)

Shield machines in faulted rock

Introduction
Stability problems D&B
TBMs in faulted rock
Conclusive remarks

- General advantages
- Risk to become 'trapped'
 - with blocky rock and squeezing conditions
- Specially with Double Shield TBMs and faulted rock with short stand-up time

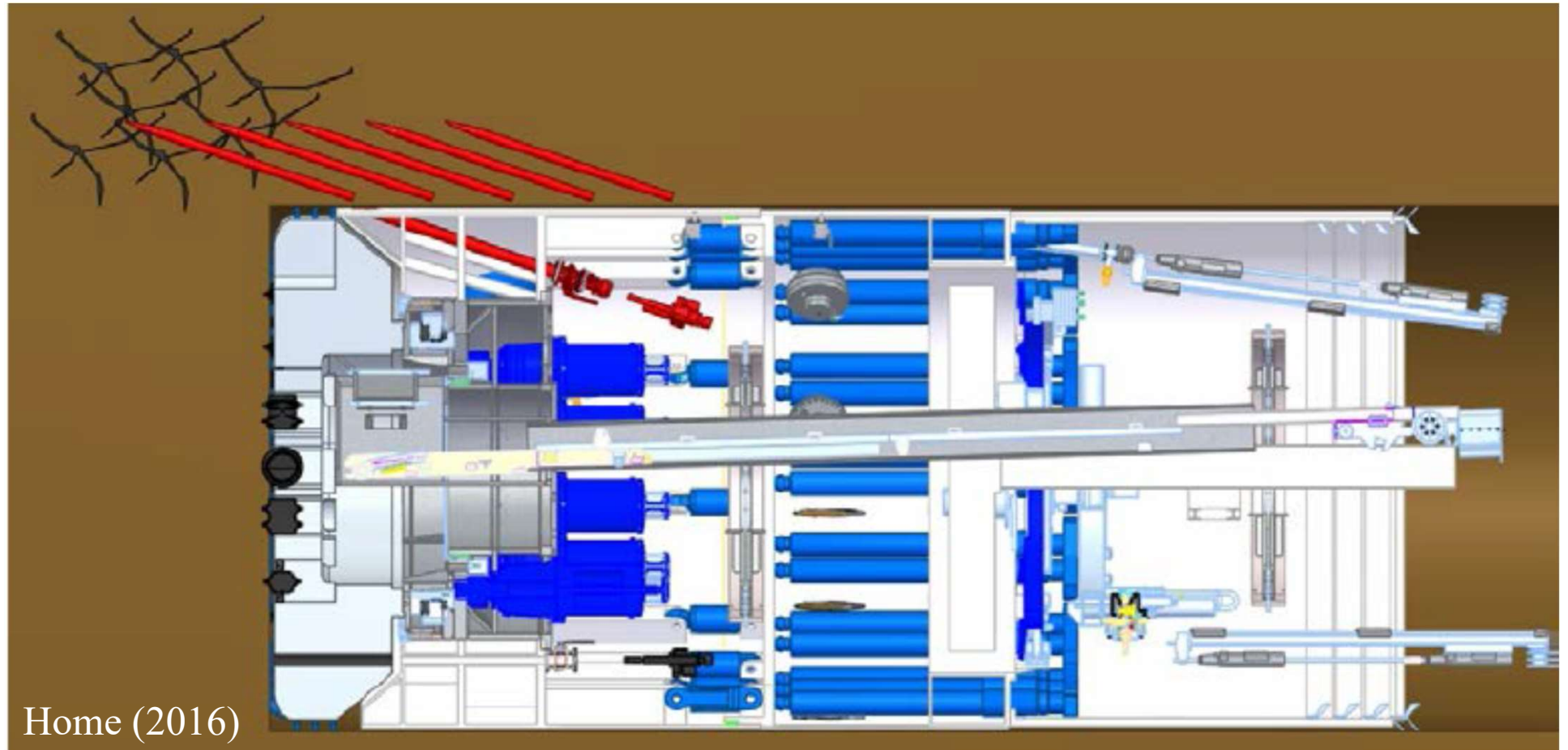


Summary of 'new' TBM systems

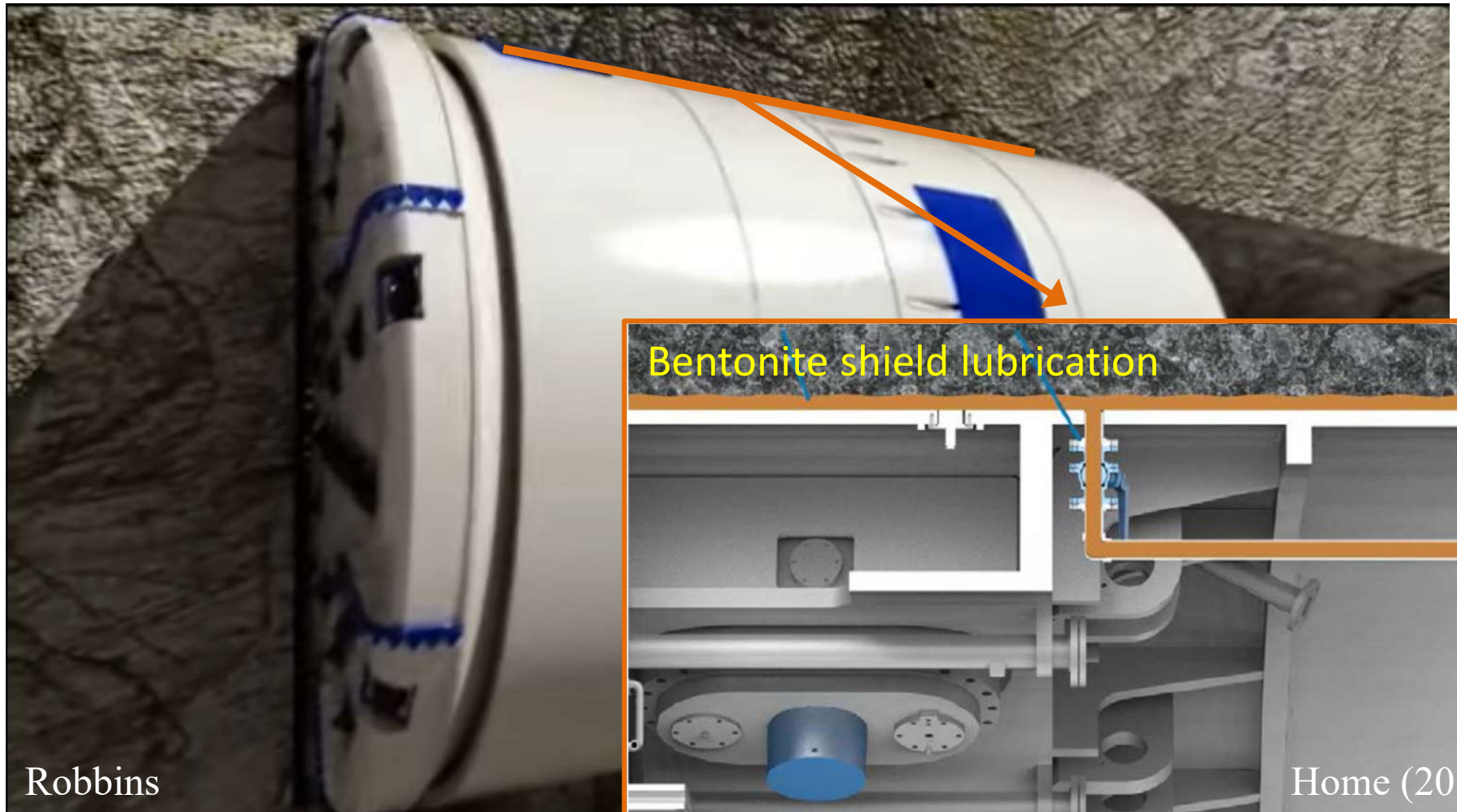
In addition to the "traditional":

- Multi-speed cutterhead drives
- Shield design for continuous advance
- Convergence measuring system
- Cutterhead inspection camera
- Improve ground detection (e.g. probe drilling, seismic...)
- Improvement in ground treatment ahead

Spiling and pipe umbrella in TBMs



Shield machines in faulted rock



Geological Risk in hard rock TBMs

- Faulted rock
- High stress
 - Squeezing/spalling
- Large water inflows
- MFC/Blocky rock mass
- **Low rock boreability**
- **High abrasivity rock**

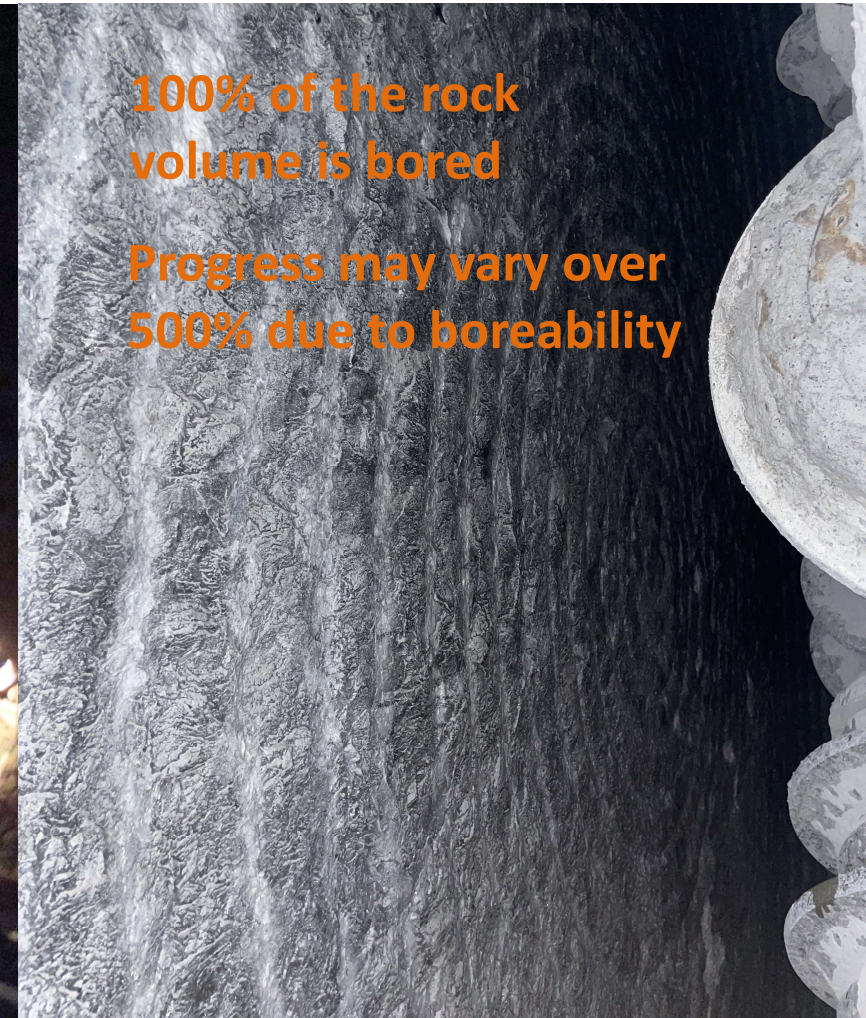
Geological Risk in hard rock TBMs

0.2 – 1.0 % of the rock volume is drilled

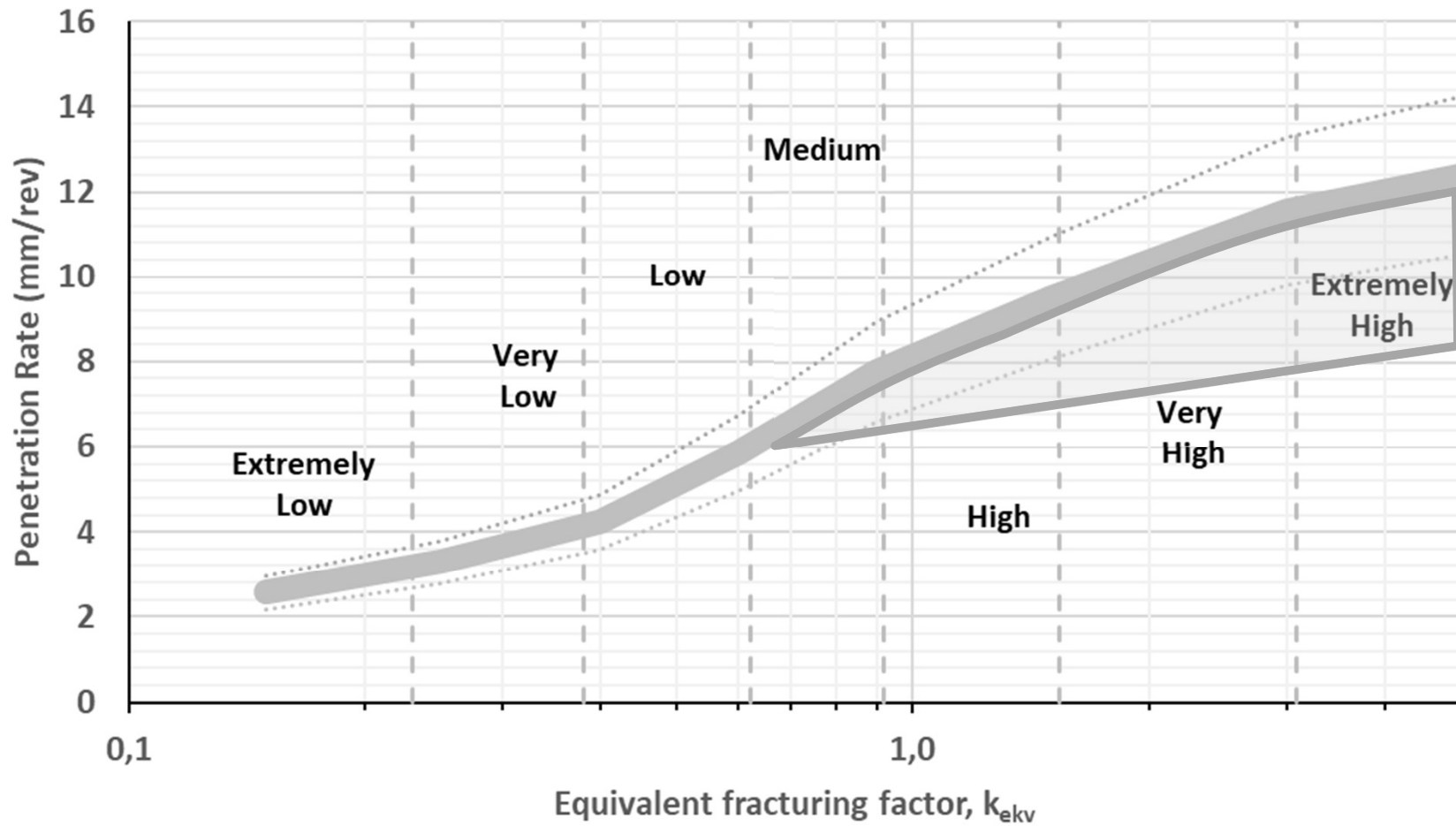
Progress may vary over 20% due to drillability

100% of the rock volume is bored

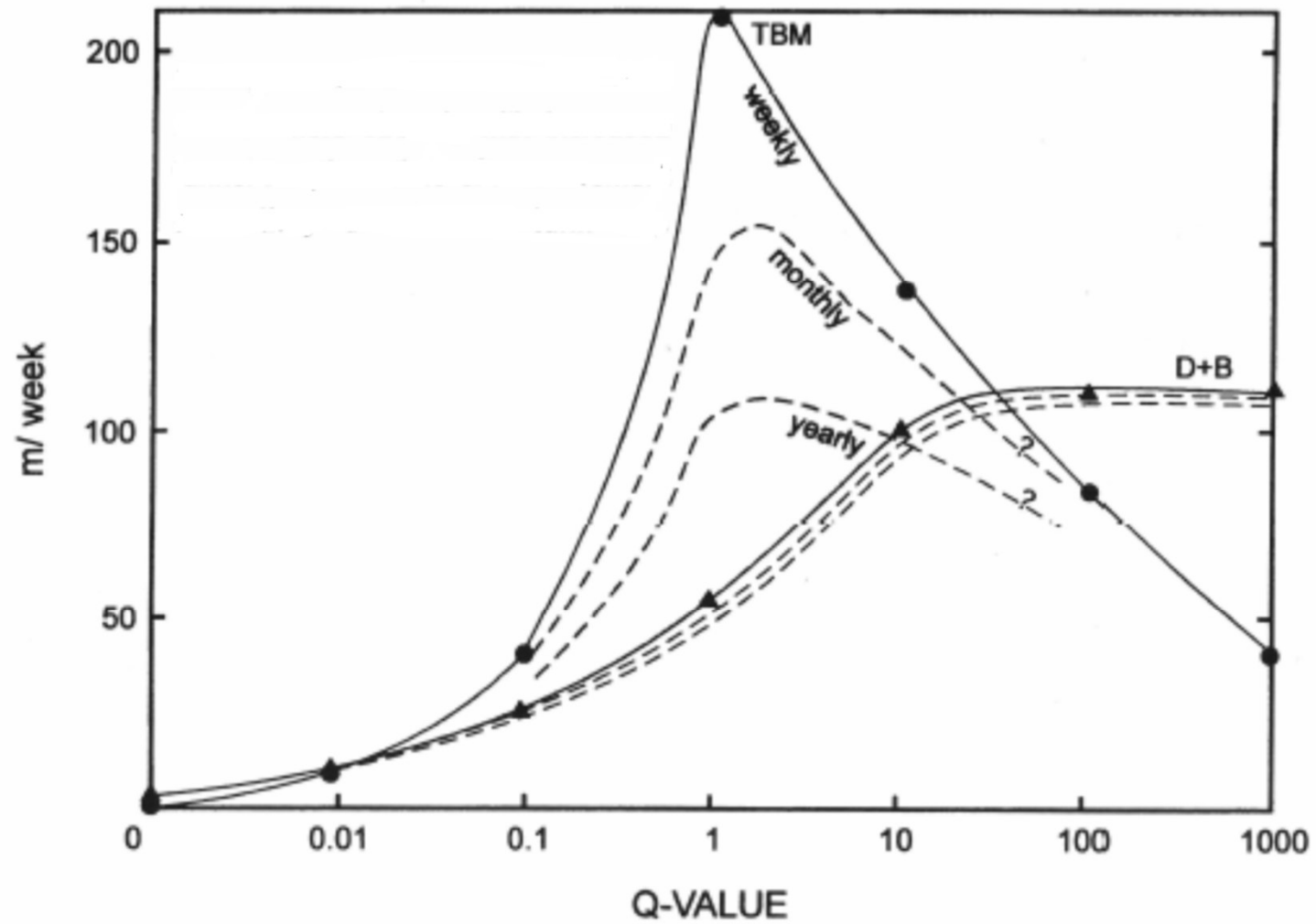
Progress may vary over 500% due to boreability



Low Rock Boreability

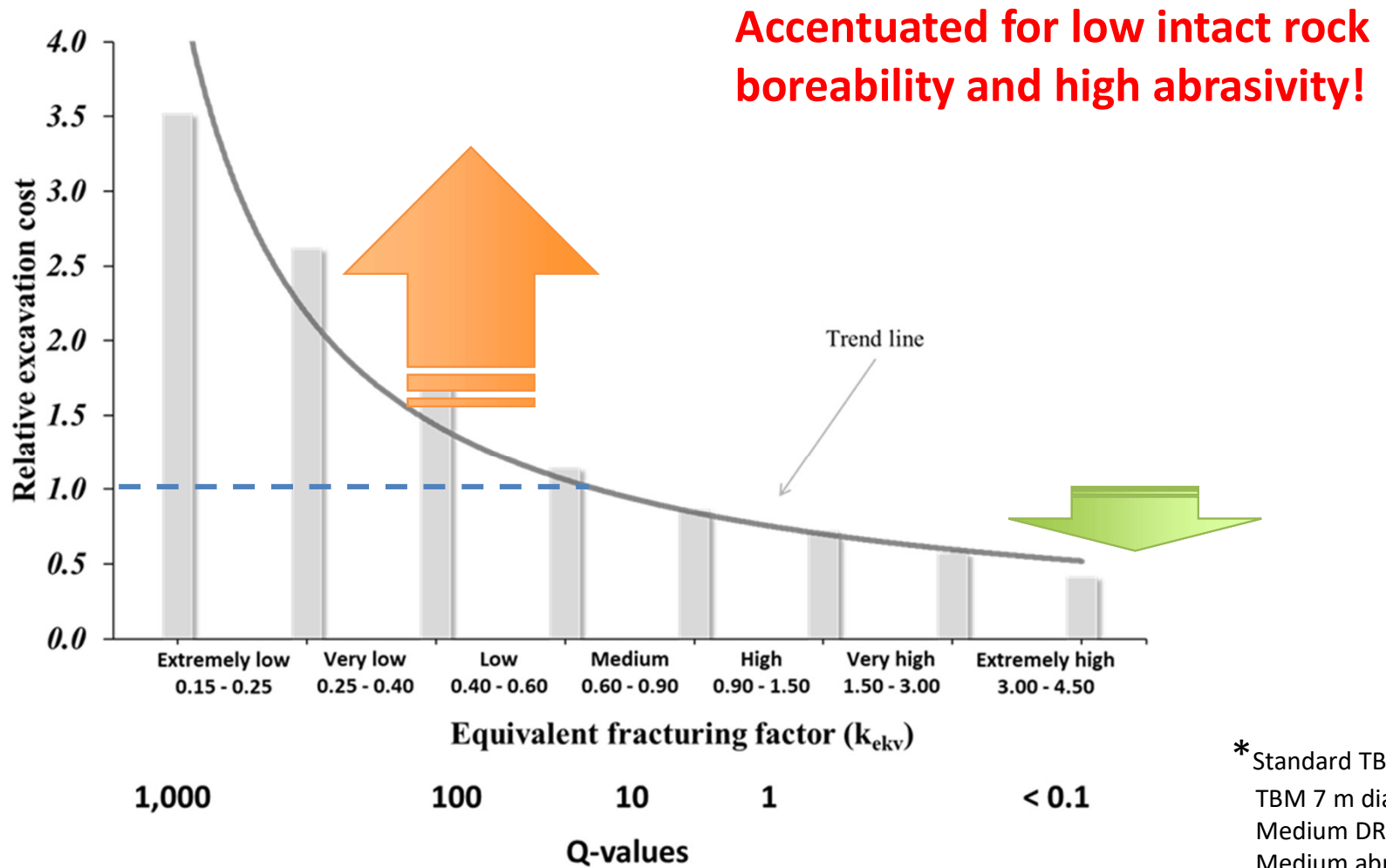


TBM in faulted rock



Barton (2000)

Low Rock Boreability



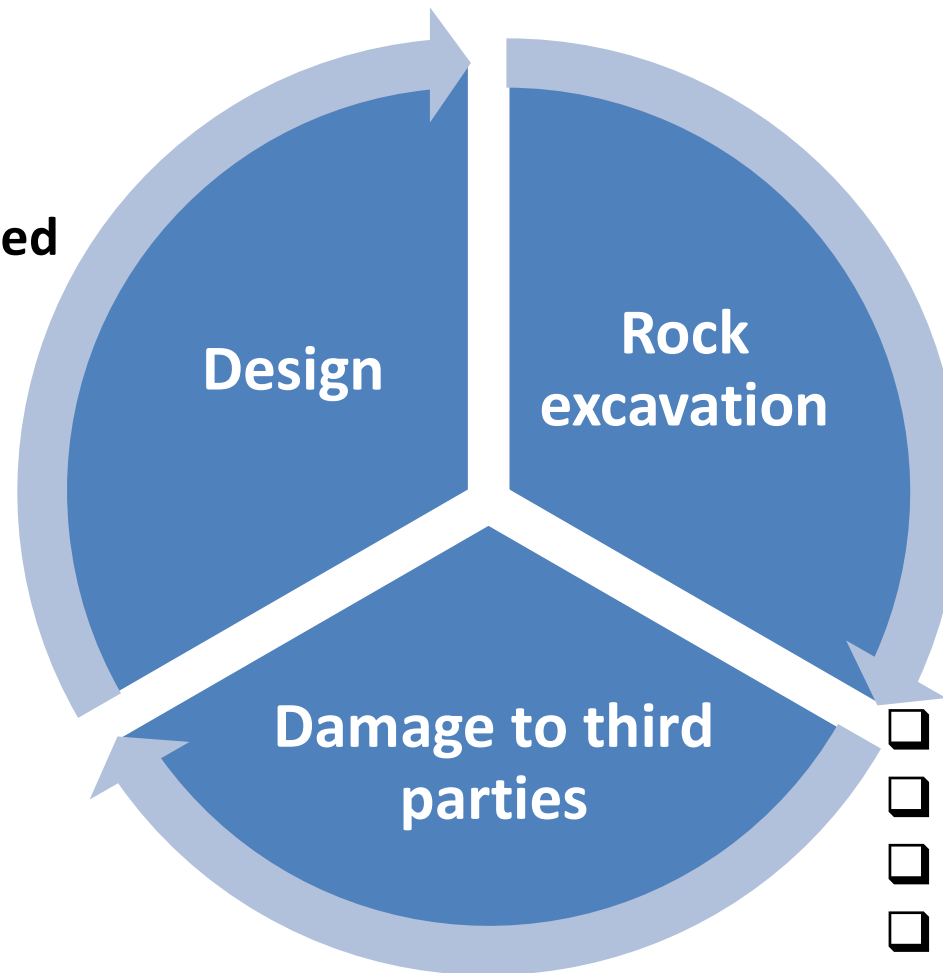
* Standard TBM spec.
TBM 7 m diameter
Medium DRI
Medium abrasivity

Geological risk in hard rock TBMs

- Gravity driven
- Stress induced
- Water influenced

























- Drillability
- Energy to break up rock
- Stand-up time
- Initial support
- Ground water conditions

Schedule
and cost



- Damage to other structures
- Environmental/social impact
- Workers safety
- Long term stability

Geological risk in hard rock TBMs

GEOLOGICAL RISK	TUNNEL FINAL DESIGN	ROCK EXCAVATION	SCHEDULE/ COST	Others: SHA Environment
Faulted rock				
Large water inflows				
Low Boreability				
High abrasivity				
High rock stress				
MFC/blocky rock mass				

Outline

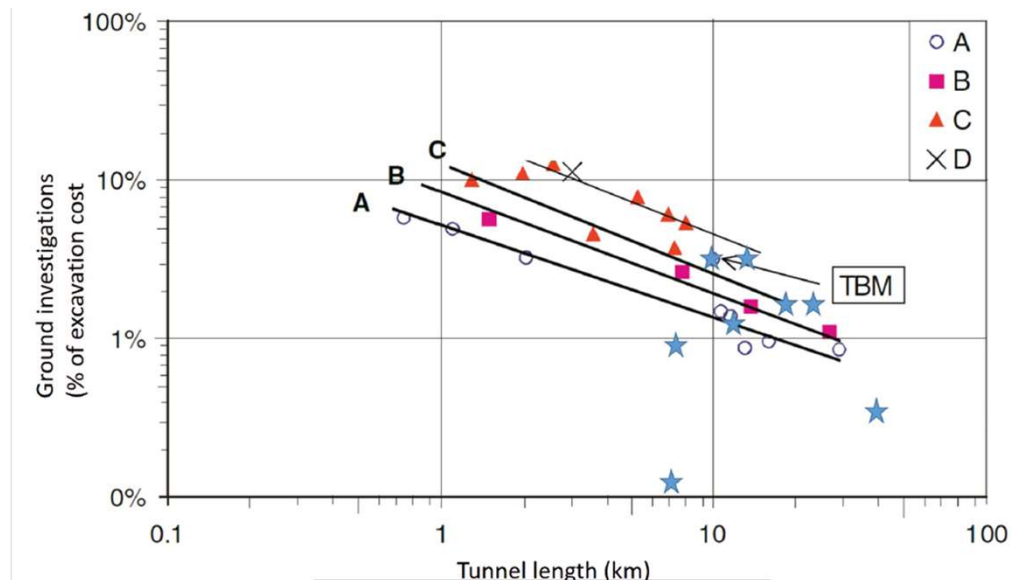
- What is Risk?
- Geological Risk in hard rock TBMs
- **Geological risk mitigations**
 - Design
 - Construction
- Takeaways

Geological risk mitigation

- Geological risk mitigation during **design**:
 - Identification and evaluation of the geological risks
 - Good level of geological investigation
 - Reduce uncertainty and Increase precision
 - Extra evaluation to try to find **Unknown Unknowns**
 - Some of the most common in hard rock TBMs:
 - Faulted rock
 - Large water inflows
 - High stress
 - MFC/Blocky rock mass
 - Low to very low rock boreability
 - High abrasivity rock

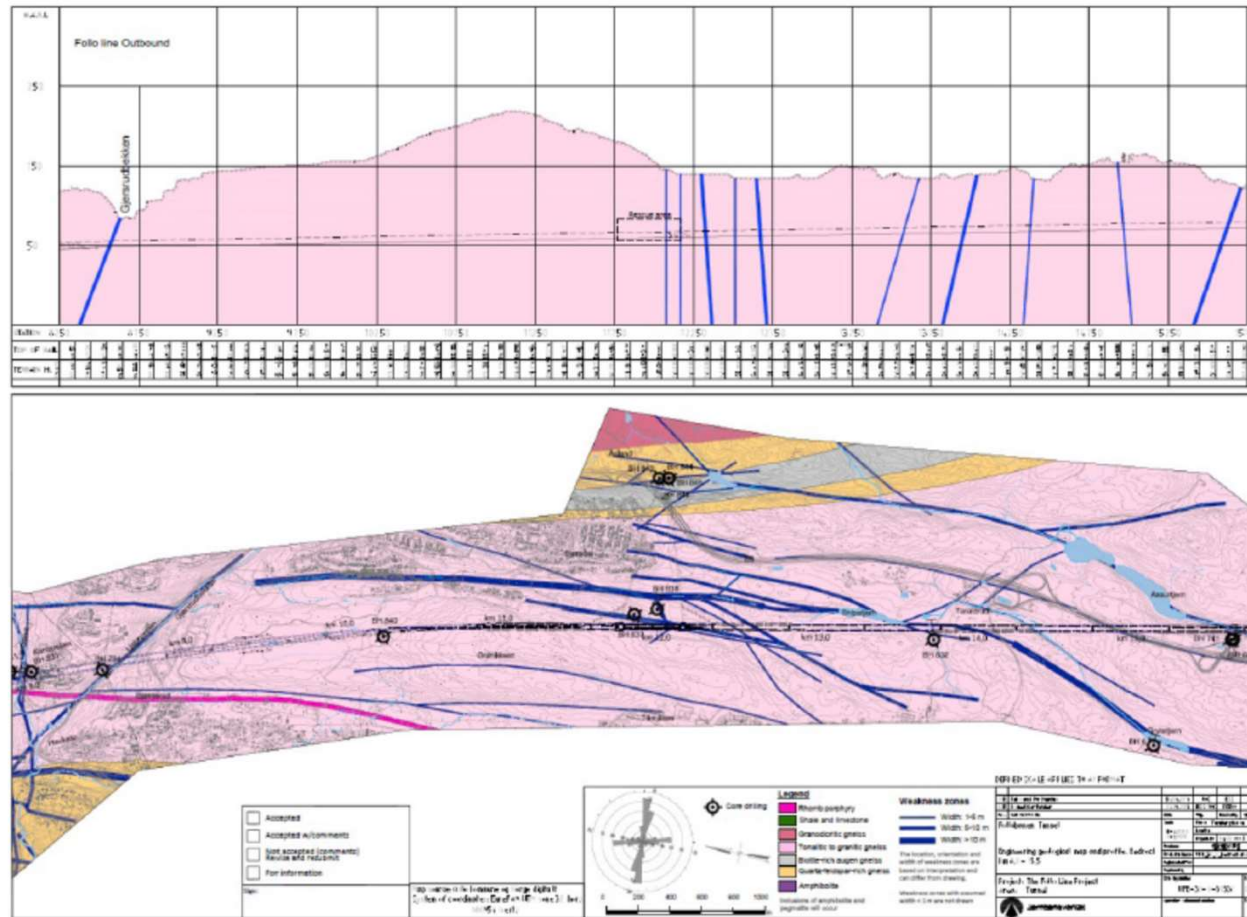
Geological risk mitigation

- Geological risk mitigation during design:
 - Appropriate investigation
 - In hard rock, more emphasis on the (lack of) rock mass fracturing outside highly fractured and/or fault zones



Geological risk mitigation

- Geological risk mitigation during design:



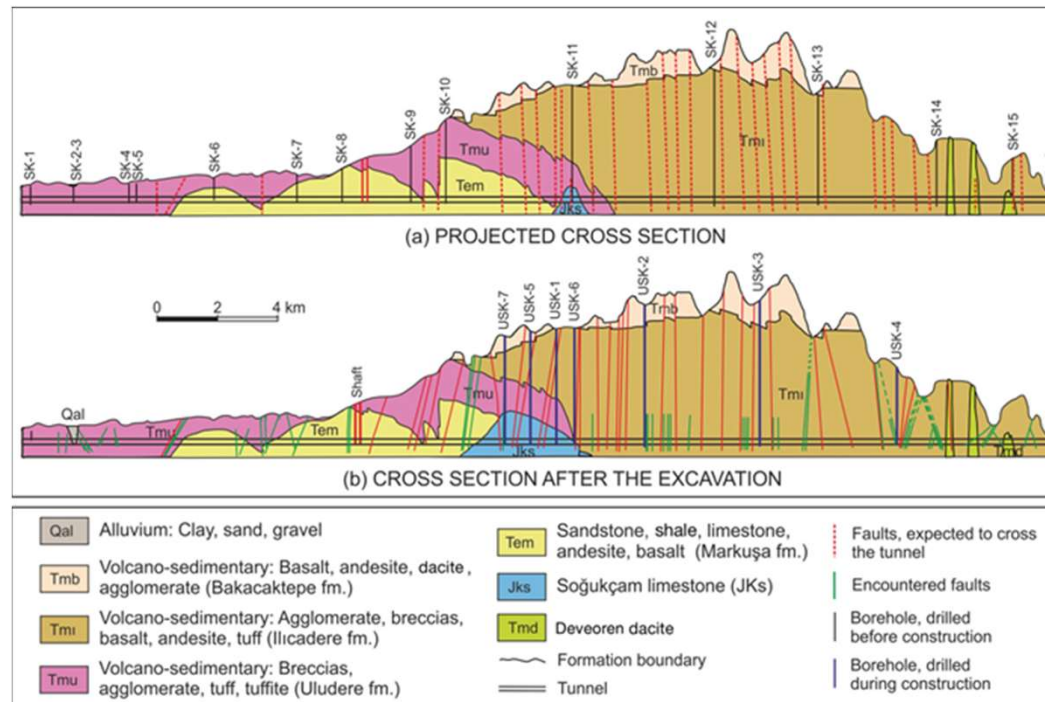
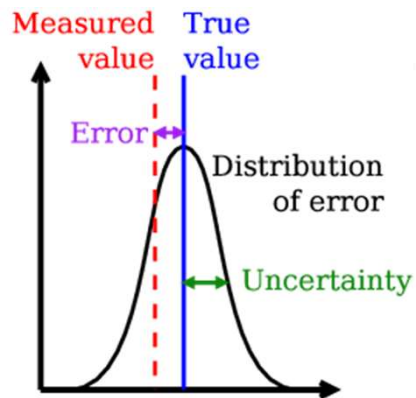
Gammelsæter
and
Grasbakken
(2021)

Geological risk mitigation

- Geological risk mitigation during **design**:
 - Selection of the machine from design phase
 - Machine designed to comply to the most challenging rock mass conditions at the project
 - Cutterhead and cutter design/quality
 - Robust main bearing
 - Machine specifications (i.e., power, torque...)
 - TBM system
 - Proper equipment (i.e., probe drilling, grouting, rock support...)
 - ...

Geological risk mitigation

- Geological risk mitigation during excavation:
 - *It is not possible to make an exact model of the geology along the tunnel through pre-investigations*



Geological risk mitigation

- Geological risk mitigation during excavation:
 - *It is not possible to make an exact model of the geology along the tunnel through pre-investigations*

The contracts must contain tools to handle variations in the rock mass properties (excavation time and cost)

Geological risk mitigation

Example of risk sharing methodologies:

- **Compensation system** for (only) ‘adverse’ deviations from the baseline:
 - Based on deviations from rock properties (intact and rock mass)
 - only adverse;
 - Based on TBM prediction systems: ‘Model to model comparison’.
- **Unit price** systems:
 - Based on rock parameters;
 - Field penetration tests - boreability classes
 - Actual data – boring hours, cutter changes, grouting,...

Geological risk mitigation

- Geological risk mitigation during excavation:
 - Continuous pre-investigation ahead the face
 - Continuous probe drilling
 - Televiewing
 - Water control/Pre-treatment
 - «Post grouting will not solve a poor pre-grouting»
 - Optimal machine operation
 - Optimal machine maintenance
 - Optimal cutter management

Outline

- What is Risk?
- Geological Risk in hard rock TBMs
- Geological risk mitigations
 - Design
 - Construction
- **Takeaways**

Takeaways

- TBM tunnelling in hard rock involves much higher geological risk than D&B tunnelling
- Predictions (time and cost) should include the potential impact of the geological risks
- Uncertainty is inherent to geology
 - We can reduce uncertainty but not eliminate it

Takeaways

- It is not possible to make an exact model of the geology along the tunnel through pre-investigations
- The contracts must contain tools to handle variations in the rock mass properties (excavation time and cost)

Thank you!
Questions?

Javier.Macias@JMC-RockEng.com



Forinjeksjon og vannkontroll for TBM-boring i hardt berg

Karl Gunnar Holter

Teknisk ekspert ingeniørgeologi og bergteknikk

kgh@ngi.no

NBG, Bergteknikk for TBM i harde bergmasser

10. januar 2024

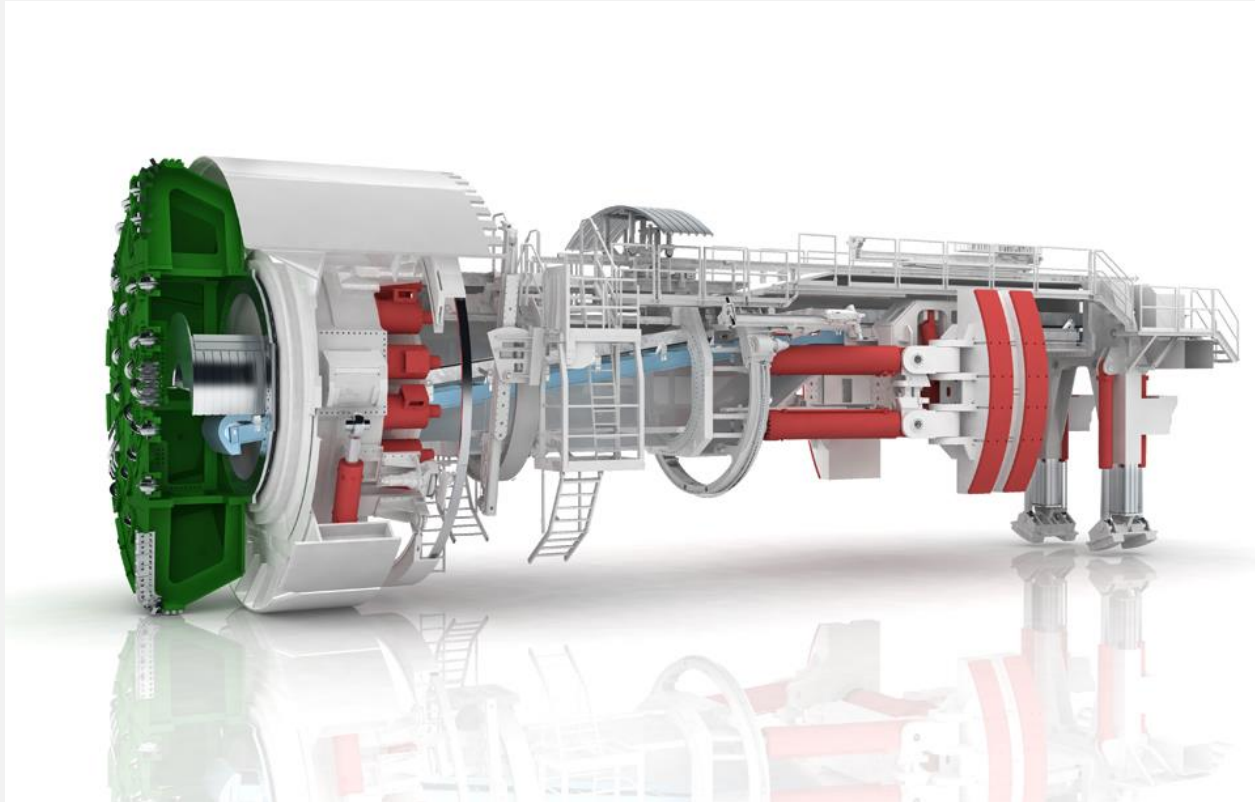
Innhold

- Vannkontroll i TBM borede tunneler – hovedtyper av tekniske løsninger
 - Drenerte tunnelkonstruksjoner med en kontrollert vanninnlekkasje
 - Helt vanntette og udrenerte tunnelkonstruksjoner
- Forinjeksjon i TBM-borede tunneler
 - Spesielle forhold og utfordringer sammenliknet med B&S
 - Tekniske løsninger
- Vannkontroll med tett udrenert betongelementkledning
 - Oppbygning av kledning og metodikk for utførelse
 - Spesielle utfordringer i hardt berg
- Noen eksempler fra utførte prosjekter
- Oppsummering

To hovedtyper tunnelkonstruksjoner med tanke på vannkontroll

1a: **Drenert tunnel**, med kontrollert innlekkasje av vann

Åpen gripper TBM med bergsikring med bergbolter og sprøytebetong



To hovedtyper tunnelkonstruksjoner med tanke på vannkontroll

1a: **Drenert tunnel**, med kontrollert innlekkasje av vann

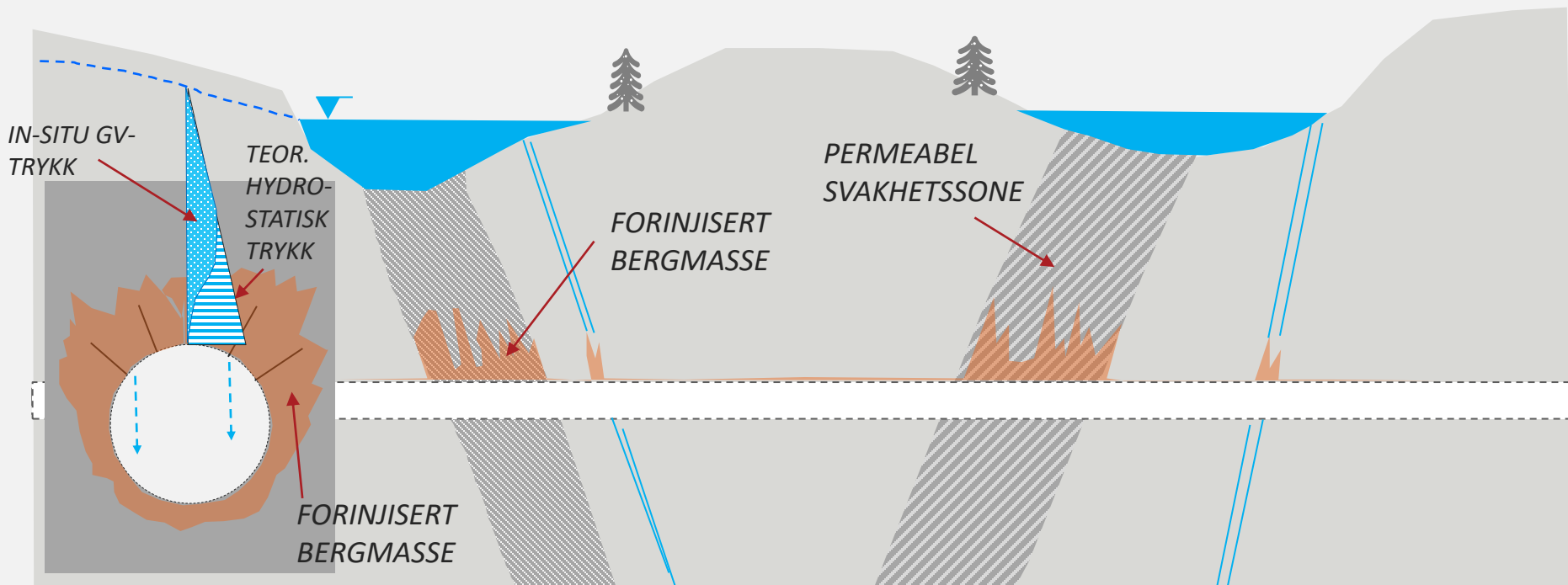
Åpen gripper TBM med bergsikring med bergbolter og sprøytebetong



To hovedtyper tunnelkonstruksjoner med tanke på vannkontroll

1a: Drenert tunnel, med kontrollert innlekkasje av vann

Åpen gripper TBM med bergsikring med bergbolter og sprøytebetong



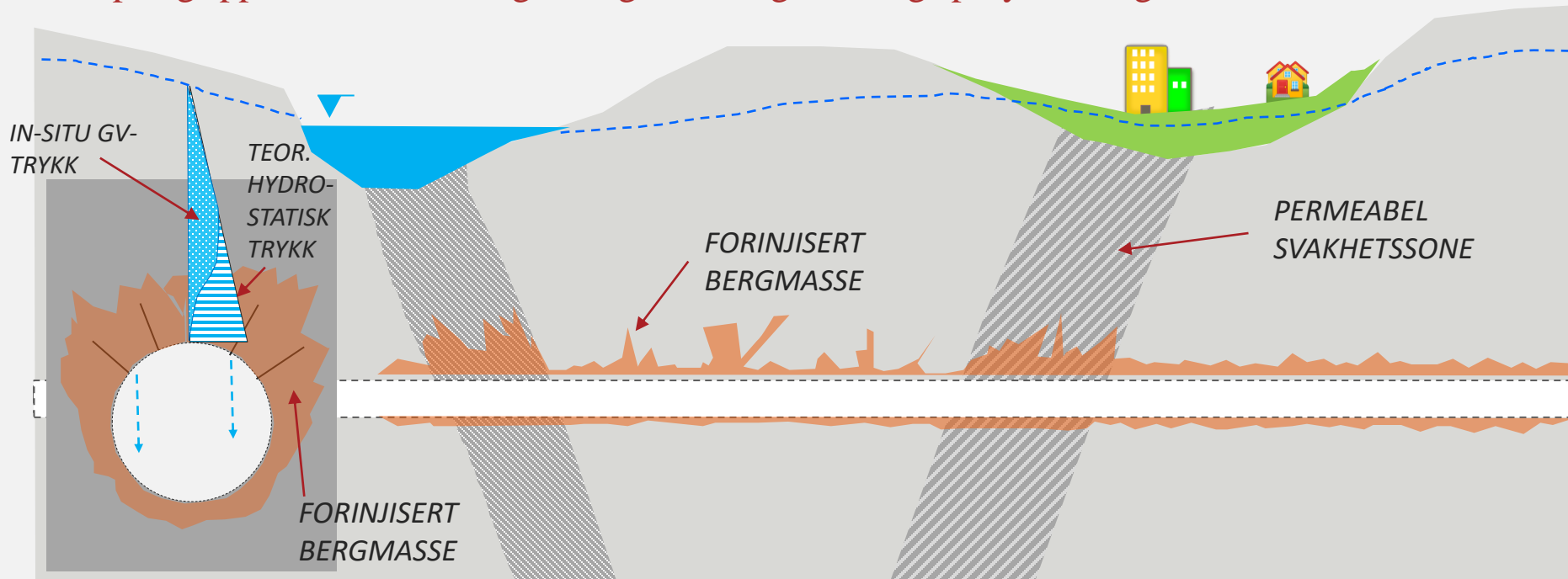
Kontrollert innlekkasje av vann:

- Akvifer har lav sensitivitet for skadekonsekvenser. Tettemålet fastsettes for å unngå store vanninnlekkasjer
- Behovsprøvd forinjeksjon for å tette partier i bergmassen med høy permeabilitet

To hovedtyper tunnelkonstruksjoner med tanke på vannkontroll

1b: Drenert tunnel, med kontrollert innlekkasje av vann

Åpen gripper TBM med bergsikring med bergbolter og sprøytebetong

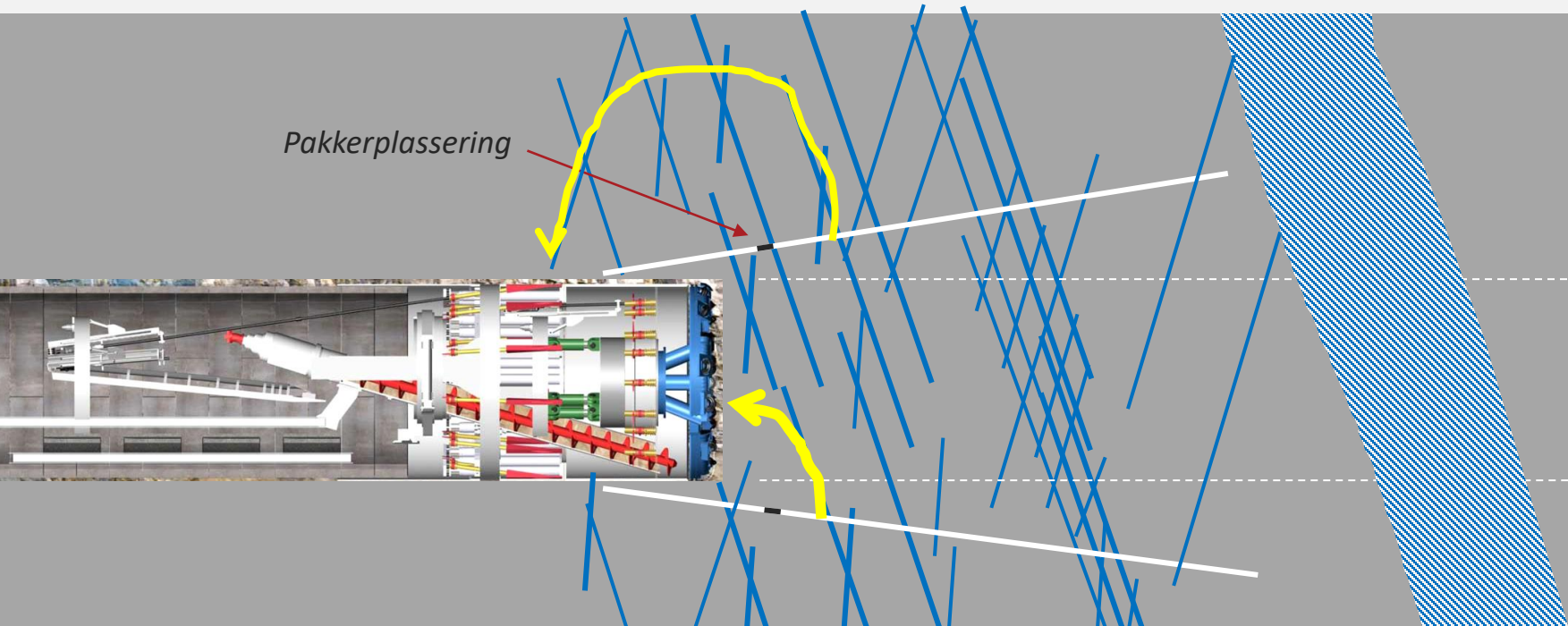


Kontrollert innlekkasje av vann:

- Forinjeksjon med tettemål for å opprettholde poretrykk i løsmasseavsetninger
- Systematisk injeksjon

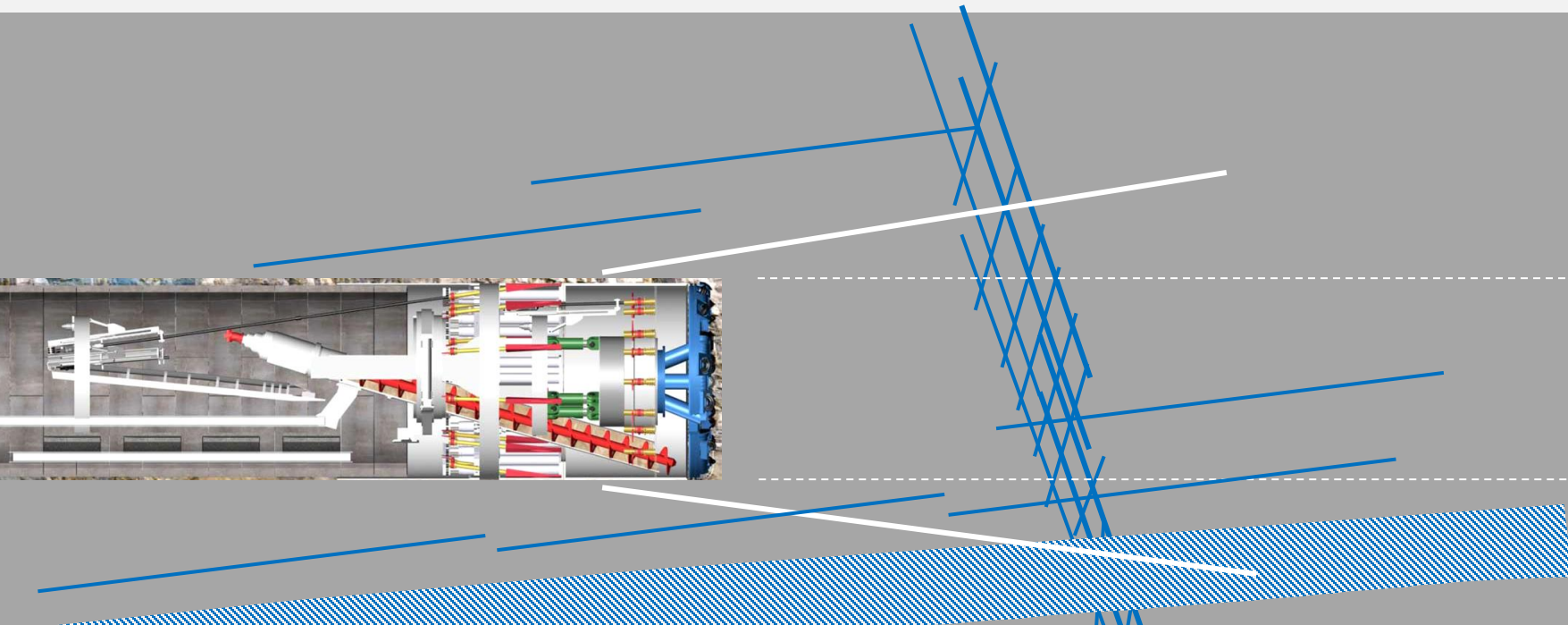
Spesielle utfordringer med forinjeksjon foran TBM

- Borhullsansett
- Logistikk
- Redusert fleksibilitet: redusert sikt og mulighet for rask håndtering av **utganger** av injeksjonsmasse
- Spesielt krevende å bore injeksjonshull i såle
- Forinjeksjon på tidskritisk linje: Svært kostbar nedetid



Spesielle utfordringer med forinjeksjon foran TBM

- Borhullsansett
- Logistikk
- Redusert fleksibilitet: redusert sikt og mulighet for rask håndtering av utganger av injeksjonsmasse
- Spesielt krevende å bore injeksjonshull i såle, viktig ved **flattliggende svakhetssoner**
- Forinjeksjon på tidskritisk linje: Svært kostbar nedetid



Spesielle utfordringer, forinjeksjon foran TBM

- ↗ Borhullsansett
 - Ansett ca 4-6 m bak stuff
 - Som oftest låste posisjoner
 - Spiss vinkel til bergkontur, lett å få “skrens” med borkrone ved ansett
 - Fast/last vinkel/retning for boring
- ↗ Logistikk, praktisk arrangement
 - Pakkerstaver må skyves betydelige lengre inn sammenliknet med B&S
 - Større avstand (=stor slangelengde) fra injeksjonsrigg til injeksjonspunkt
- ↗ Redusert fleksibilitet
 - Det går noe tid før en utgang blir oppdaget
 - Injeksjonsmasse kan grise til og kontaminere TBM borhode
 - Hullposisjoner kan bli “oppbrukt”, TBM må bores noen m frem for å kunne foreta oppfølgende injeksjon
 - Ofte hensiktsmessig å bore lengre hull enn i B&S, 35 – 40 m hullengder
- ↗ Injeksjonsboring i såle
 - Borkaks fra lanhhulls-boring samler seg i sale og blokkerer hull, vansker med utspyling under boring og plassering av pakkere
 - TBM kaks som samler seg i såle
- ↗ Tidskritisk, svært dyr stopptid
 - Betydelig høyere stopptidskostnad sammenliknet med B&S

Løsninger på spesielle utfordringer, forinjeksjon foran TBM, må forberedes/spesifiseres:

- ↗ Borhullsansett og boring
 - Porter/ansestrør gjennom TBM skjold
 - Borustrustning: styrestenger, stivere borustrustning, høy ytelse på bormaskiner
 - Stangsiftautomatikk og mulighet for effektiv boring av lange hull (ca 40 m)
 - Teleskopisk forlengelse av portrør gjennom skjoldet
- ↗ Logistikk, praktisk arrangement
 - Tilrettelagte praktiske løsninger med staver og pakkere for raskest mulig betjening
 - Forbedret kommunikasjon fra injeksjonsrigg til injeksjonspunkt
- ↗ Redusert fleksibilitet
 - Helhetlig metodikk, sekvens av boring og injeksjon
 - Injeksjonsmasse med relativt rask settingtid
- ↗ Injeksjonsboring i såle
 - Teleskopisk forlengelse av portrør i sale, sug/spyleutrustning ved
 - Boring og injeksjon av sålehull før resten av skjermen bores opp
- ↗ Tidskritisk, svært dyr stopptid TBM
 - Helhetlig metodikk
 - **Fokus på reduksjon av nedetid TBM**
 - Oppgjørform som insentiverer entreprenøren for effektiv og helhetlig tilnærming

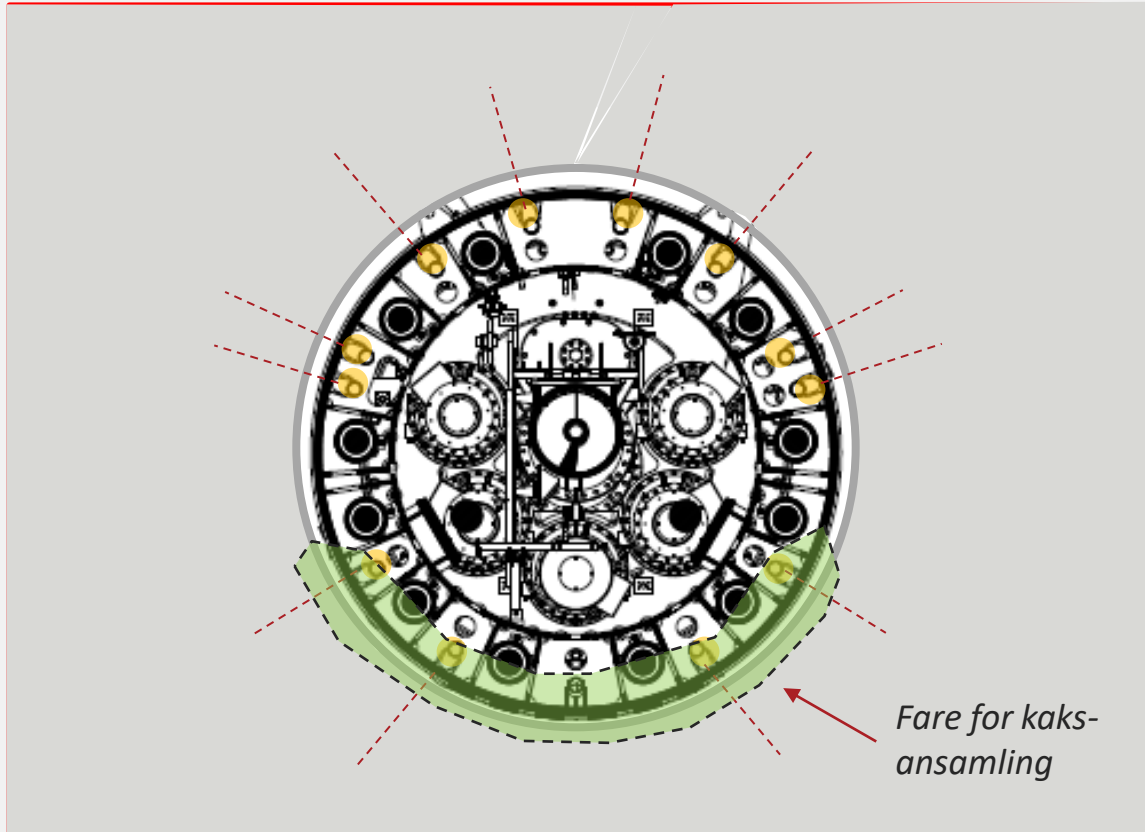
Viktig utfordring som må løses

Injeksjonsboring i såle

- Kaks-ansamling i nedre del av tunnelkonturen
- Teleskopisk forlengelse av portrør i sale, sug/spyleutrustning ved
- Boring og injeksjon av sålehull før resten av skjermen bores opp



Vannkontroll med tett og udrenert betongelementkledning

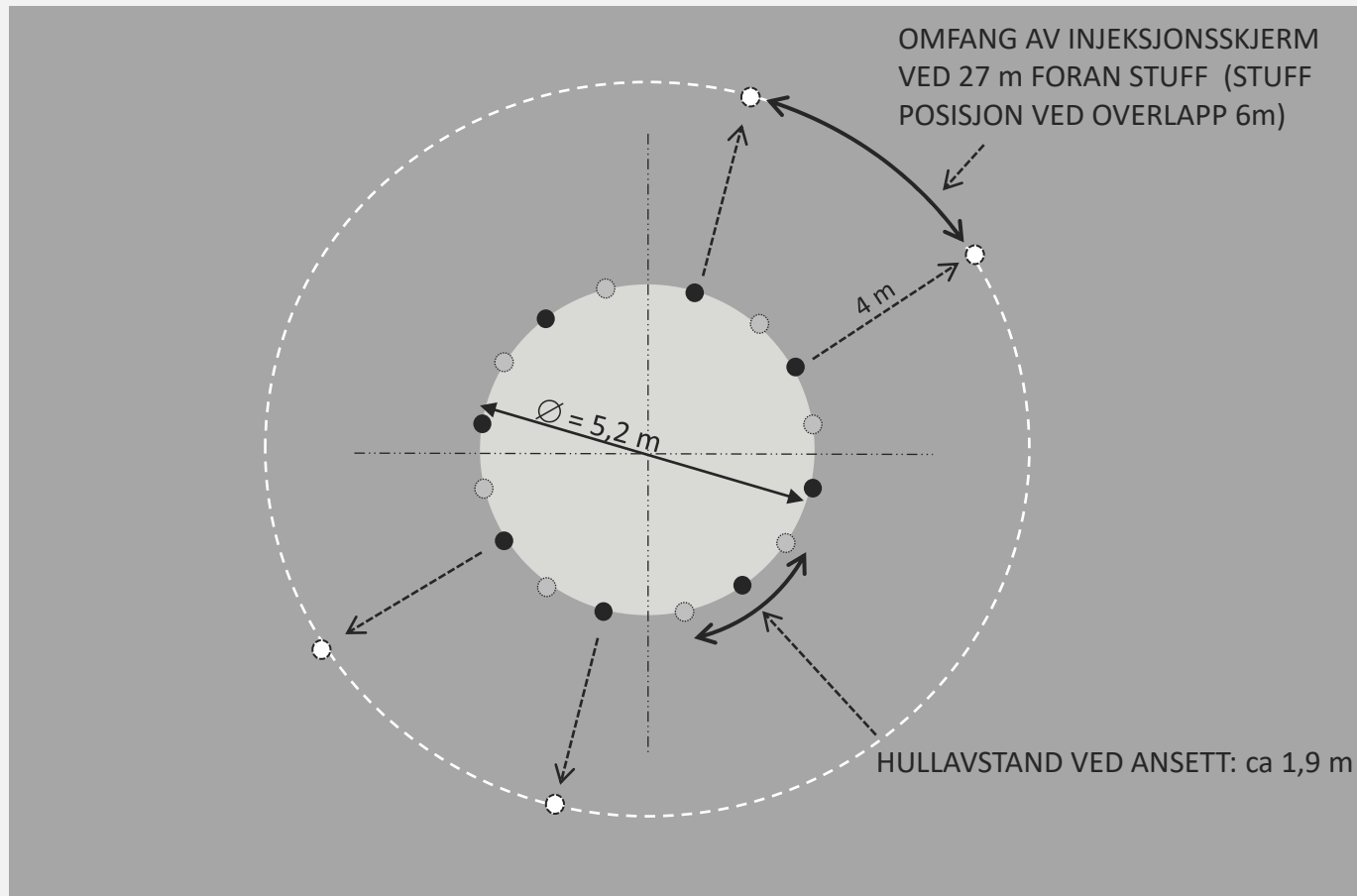


Injeksjonsmetodikk

- ↗ Viktig å definere tettemål:
 - Permanent tetting ved forinjeksjon ?
 - Midlertidig tettebehov ved forinjeksjon
 - Ved midlertidig tetting ved forinjeksjon: fokus på behovsprøving **“hvor tett er godt nok”**
- ↗ Fokus på redusere stopptid så mye mye som mulig
 - Bruke oppdeling av skjermer når det er hensiktsmessig (primær + sekundærskjermer) spesielt ved større lekkasjer og komplisert hydrogeologi
 - Minst mulig injeksjonsboring og minst mulig masseforbruk for å oppnå planlagt tetteresultat

Injeksjonsmetodikk med oppdeling av skjerm

Eksempel fra
Oslo VAV, E5
råvannstunnelen



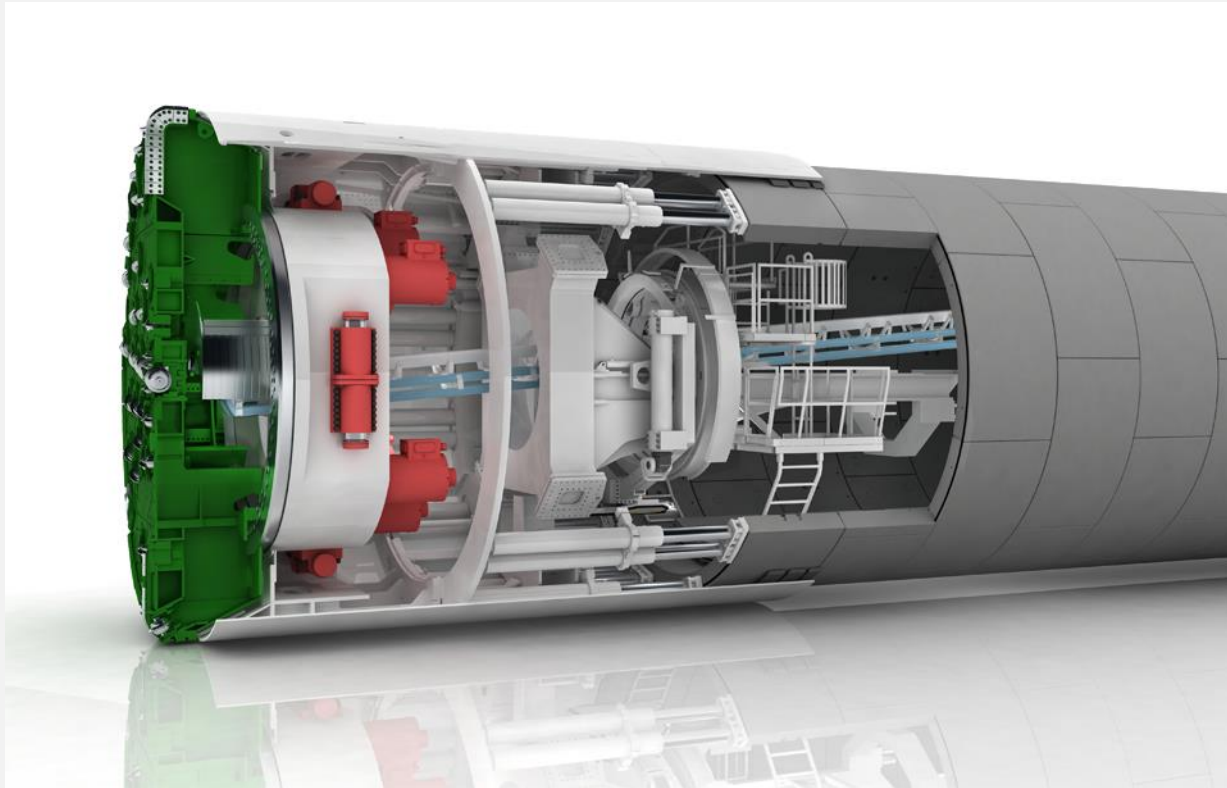
Injeksjonsblandinger

- ↗ Fokus på å oppnå tettemål så raskt som mulig
- ↗ Teknisk ytelse spesielt viktig
 - Herdetid: rask, men lenge nok “åpen” til at 100-150 m pumpelengde er mulig
 - Herdetid 2-4 timer ofte meget fordelaktig
 - **Spesifikasjon av injeksjonsblandinger og materialer** som gir god nok tetting, og rask herding
 - Raskere herding enn det som har vært tradisjonelt forlangt i Statens Vegvesens og Bane NORs prosesskoder

To hovedtyper tunnelkonstruksjoner med tanke på vannkontroll

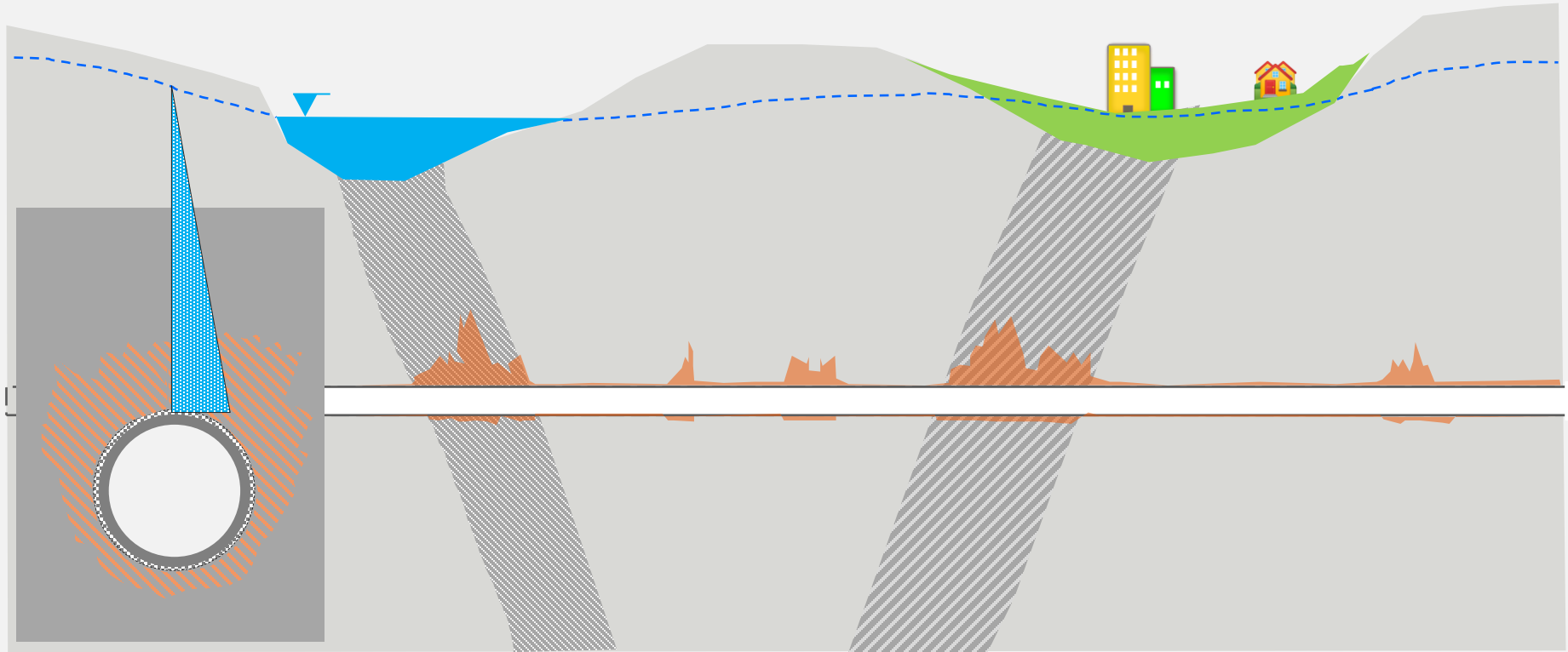
1c: **Drenert tunnel med betongelementkledning**, med kontrollert innlekkasje av vann

Skjold-TBM med betongelementkledning som punkteres med hull for å tillate en kontrollert innlekkasje



To hovedtyper tunnelkonstruksjoner med tanke på vannkontroll

2: **Vanntett og udrenert tunnel**, med ingen innlekkasje av vann



Ingen innlekkasje av vann i permanent tilstand:

- Behovsprøvd forinjeksjon for å midlertidig tette partier bergmassen med høy permeabilitet
- Endelig tetting av av tunnelen med vanntett betongelementkledning

To hovedtyper tunnelkonstruksjoner med tanke på vannkontroll

2: **Vanntett og udrenert tunnel**, med ingen innlekkasje av vann



Blix tunnelen. Kilde: Bane NOR

Betongelementkledning, oppbygning og montasje



Betongelementkledning, produksjon av elementer



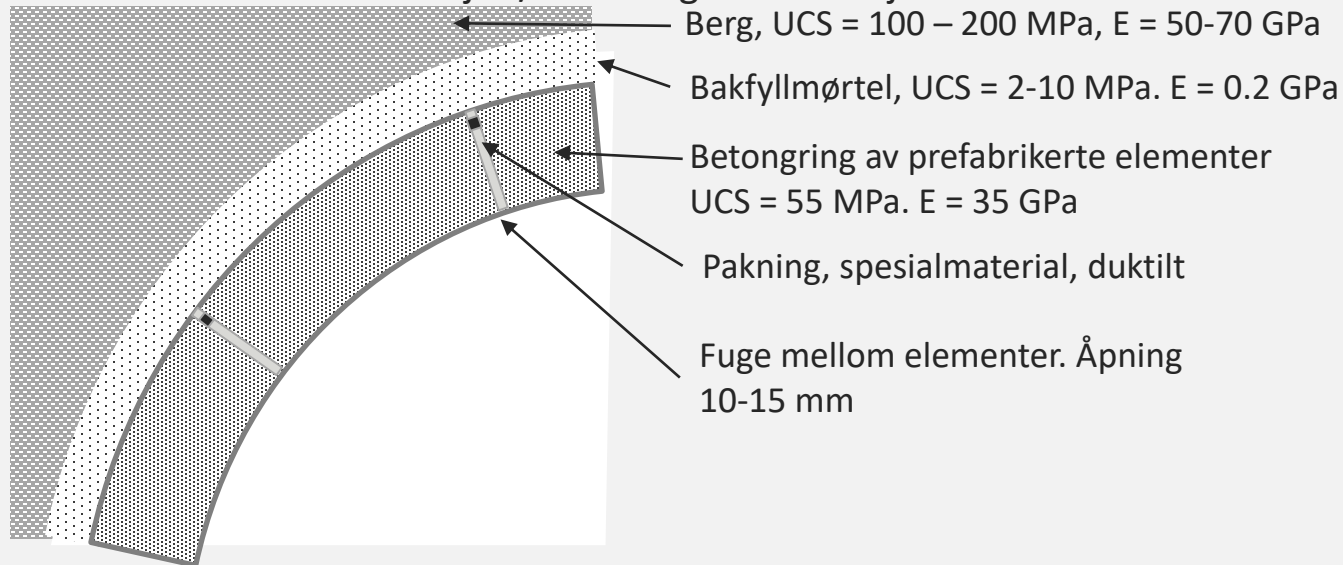
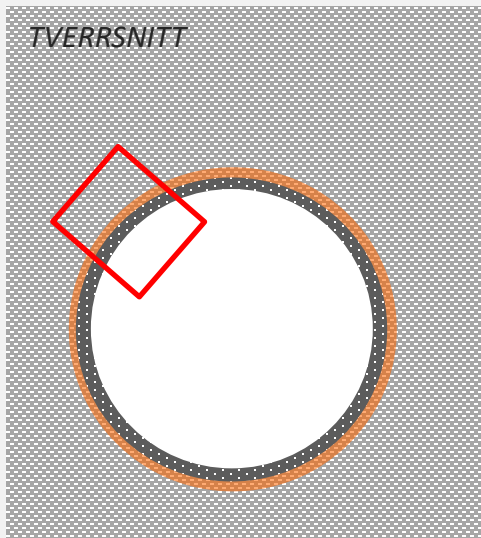
Betongelementkledning, oppbygning

Oppbygning of funksjon

- Betongelementring, statisk og hydrostatisk bærende, vanntett
- Tetningspakninger mellom ringelementene, vanntetting
- Bakfyllmørtel, holder betongringen i stabil posisjon i utboret profil

Potensielle utfordringer

- Betongelementring, stiv konstruksjon, forutsetter tette fuger med noe deformerbarhet
- Krever presis montering av ringene, sårbart for lekkasjer, spesielt ved høyt hydrostatisk trykk
- To-komponent system for bakfyllmørtel mest benyttet: lav fasthet og emodul, sårbart for erosjon/utvasking ved lekkasjer



Vanntett og udrenert betongelementkledning i hardt berg, utfordring:

Blixunnelen, Bane NOR

*Lekkasjer gjennom
utettheter i pakningene
mellom
betongelementene
kombinert med
frostbelastning*

*Lekkasjene ble tettet i
byggefasesen med
etterinjeksjon*



Blixunnelen, februar 2021

Kilde for bilde: Aftenposten april 2021

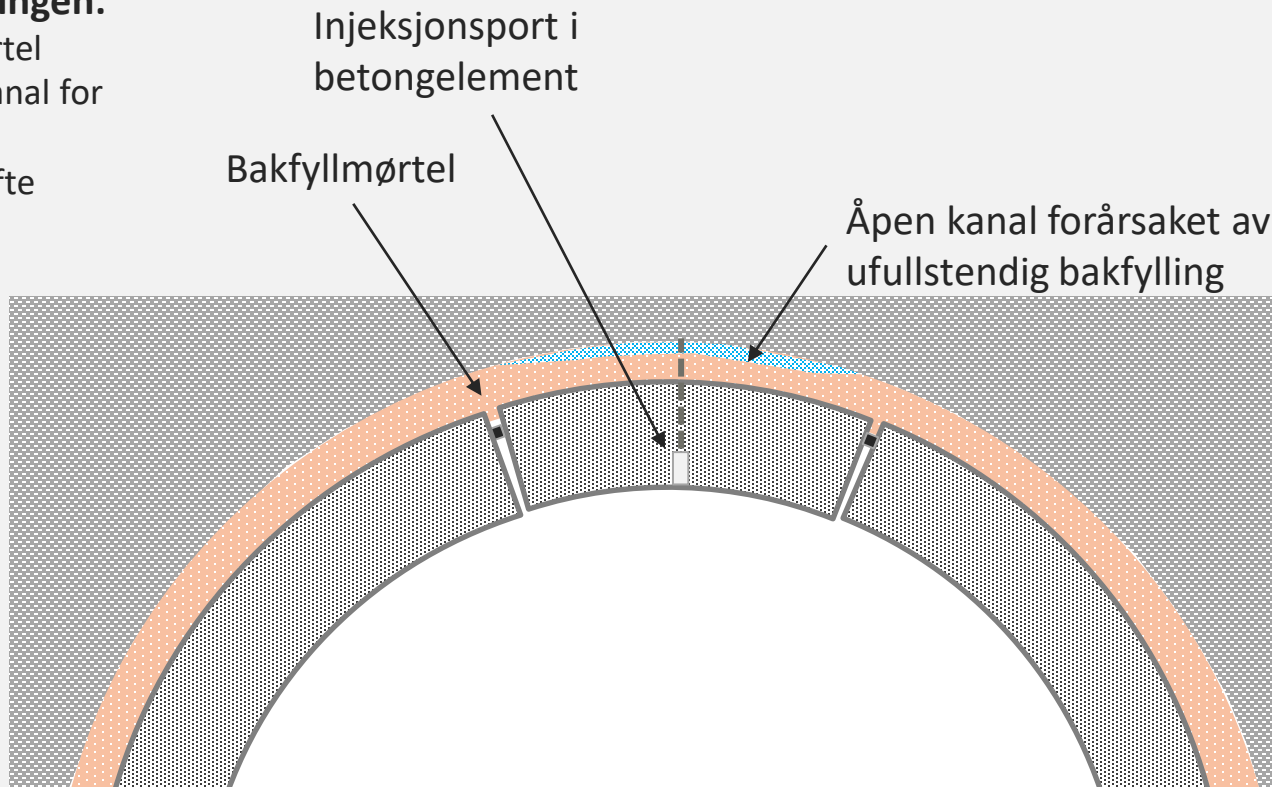
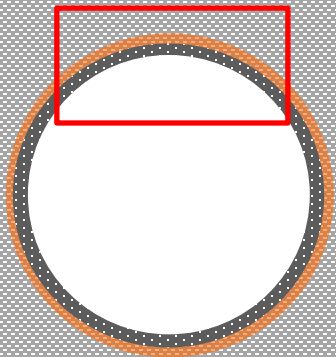
Utfordring: ufullstendig bakfylling av elementkledningen

Områder som krever spesielt fokus:

Hengområde bak betongringen:

- Ufullstendig fylling av mørtel
- Representerer en mulig kanal for vannstrøm
- Tertiær injeksjonsrunde ofte nødvendig

CROSS SECTION



Utfordring: ufullstendig bakfylling av elementkledningen

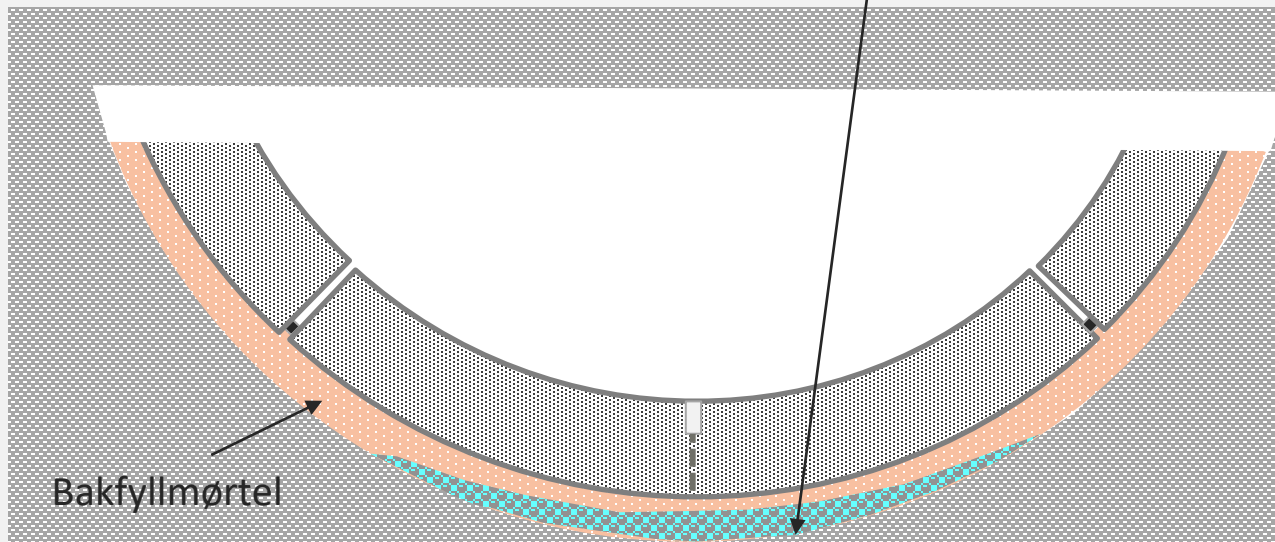
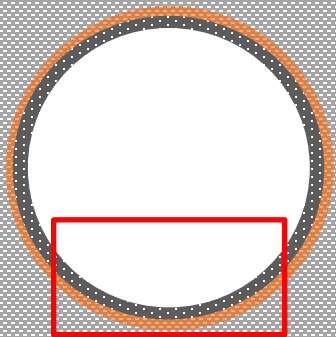
Områder som krever spesielt fokus:

Såleområdet:

- Kaks fra injeksjonsboring = permeabelt lag
- En potensiell kanal for langsgående lekkasje
- Tertiær injeksjonsrunde kan være nødvendig

Kaks fra injeksjonsboring
Kan forårsake ufullstendig
fylling av mørtel

TVERRSNITT

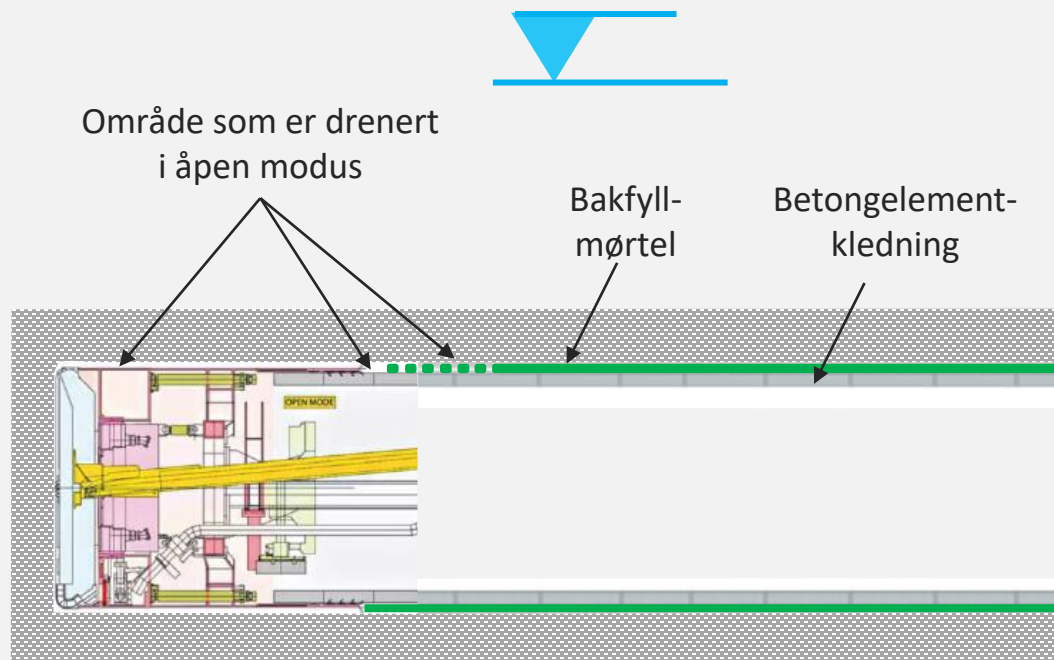


Hvorfor behov for forinjeksjon når det bygges tett kledning

Skjold TBM i åpen modus

= midlertidig drenert

- TBM borhode og fremre del av kledning drenert
- Boring og bygging av elementkledning skjer i drenert situasjon
- Drenert situasjon strekker seg bakover langs kledning helt til fullstendig bakfylling er oppnådd
- Hydrostatisk trykk kan gi en trykkgradient og forårsake en vannstrøm i bakfyllingen langs tunnelen fremover mot TBM
- Derfor: behov for å redusere innlekkasjer for å vannstrøm langs tunnelkledning



Kilde for grafikk: Herrenknecht AG

Hvorfor behov for forinjeksjon når det bygges tett kledning

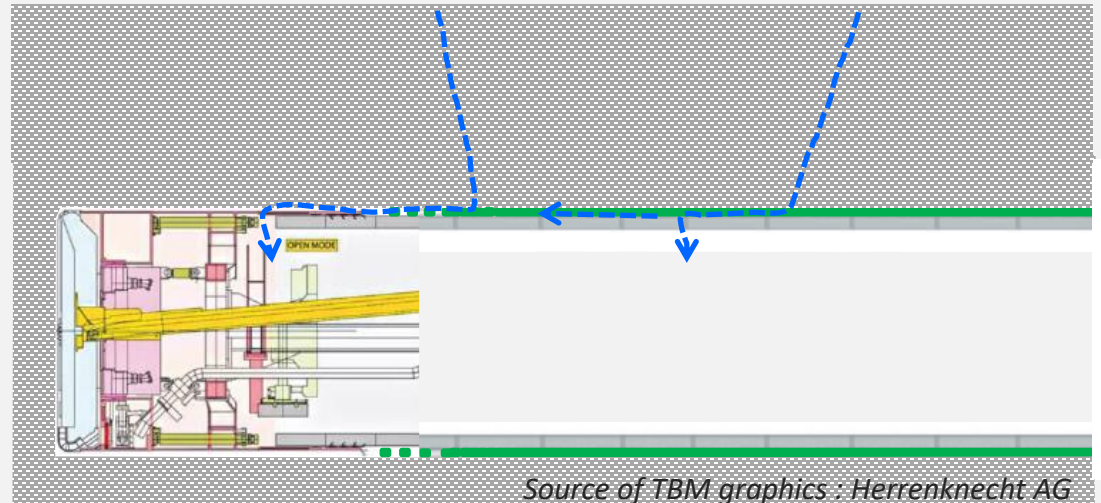
Skjold TBM i åpen modus = midlertidig drenert

- Svært viktig å lykkes med fullstendig bakfylling
- Metoder for å løse utfordringene må være på plass



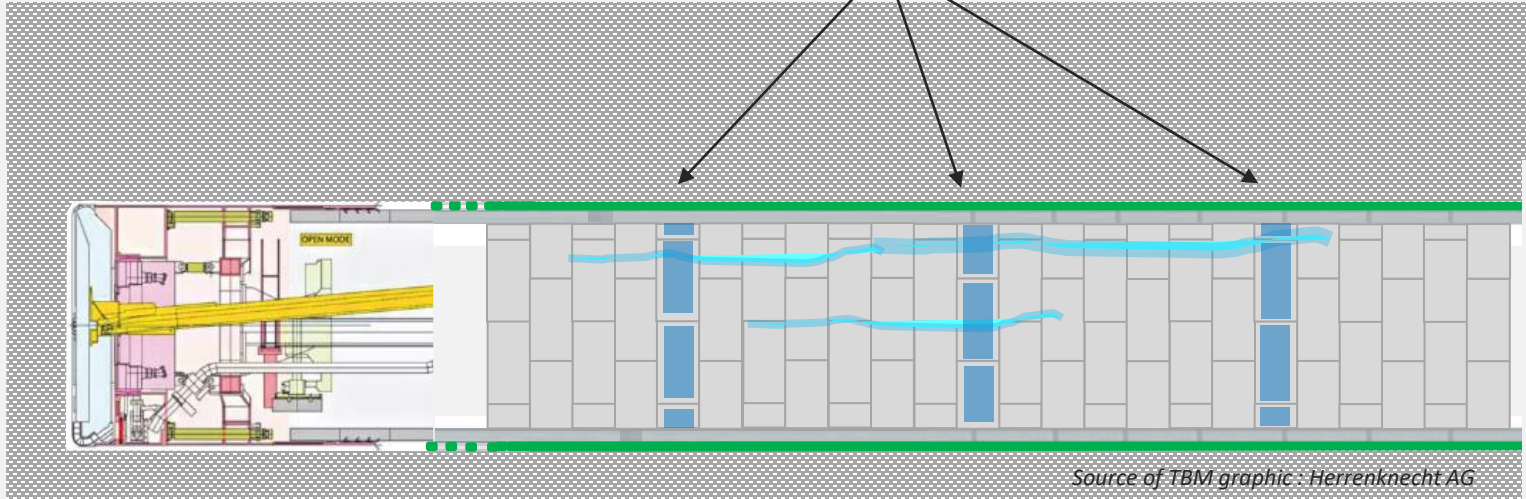
Vannlekkasje forårsaket av trykkgradienten fra akviferen inn mot den drenerte TBMen

Ved ufullstendig bakfylling: erosjon/utvasking av bakfyllmørtelen



TBM betongelementkledning, redusere vannstrøm bak betongringen

BullFlex ekspanderbare puter som
fylles, «blåses opp» med en
injeksjonsmørtel

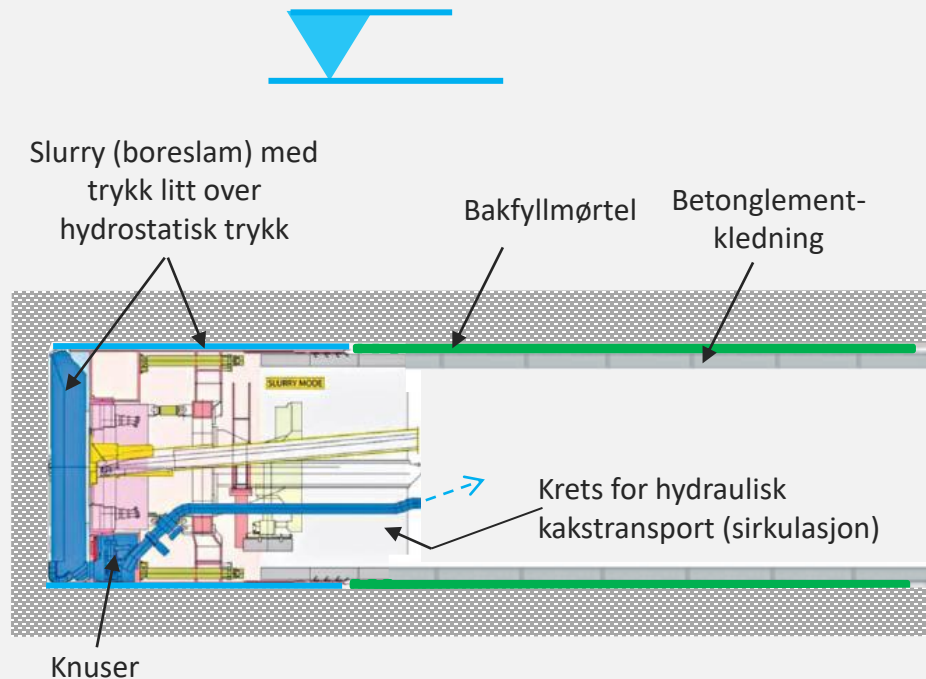


Slurry TBM: boring i likevekt med hydrostatisk trykk.

Intet midlertidig tettebehov under boring og betongelementbygging

Lukket modus

- Borhodet er konstruert for operere med et borslam som fyller hele fremre del av borhodet og utsiden av skjoldet
- Pumpingen av bakfyllmørtel skjer i trykkliekevkt med borslammet
- Hele TBM-systemet står derfor under et hydraulisk trykk som hindrer en drenering rundt borholdet
- Grunnvannsakviferen påvirkes ikke, ingen trykkgradient, ingen vannstrøm langs betongkledningen



Kilde TBM grafikk: Herrenknecht AG

TBM in unstable ground:

Unfavorable conditions may lead to collapse over shield and formation of a void

Grouting for void filling and temporary stabilisation

Void filling over TBM

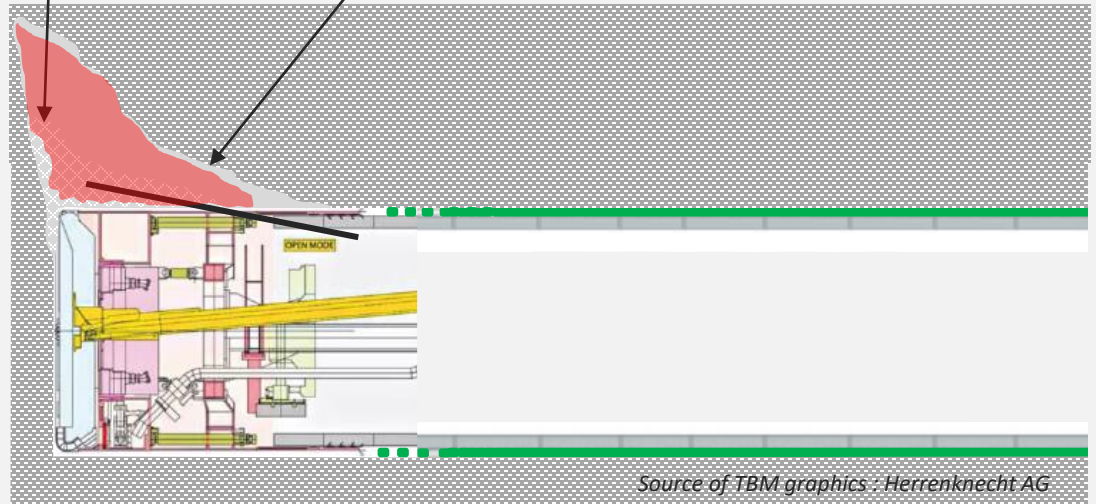
- Might be necessary as a temporary stabilisation solution over the TBM shield
- Purpose : void the void and prevent further collapse
- Temporarily increase the stability of the collapsed debris in order to enable the further advance of the TBM

Injection material technology:

- Cementitious and PU grouts tend to form too high mechanical strength and may cause jamming of parts in the TBM cutterhead
- Mineral based foam (polyureasilicate) will form low enough strength too avoid difficulties in the TBM
- Strength is high enough to provide halting of the collapse and sufficient consolidation of the debris to enable TBM advance

Void with collapsed ground debris

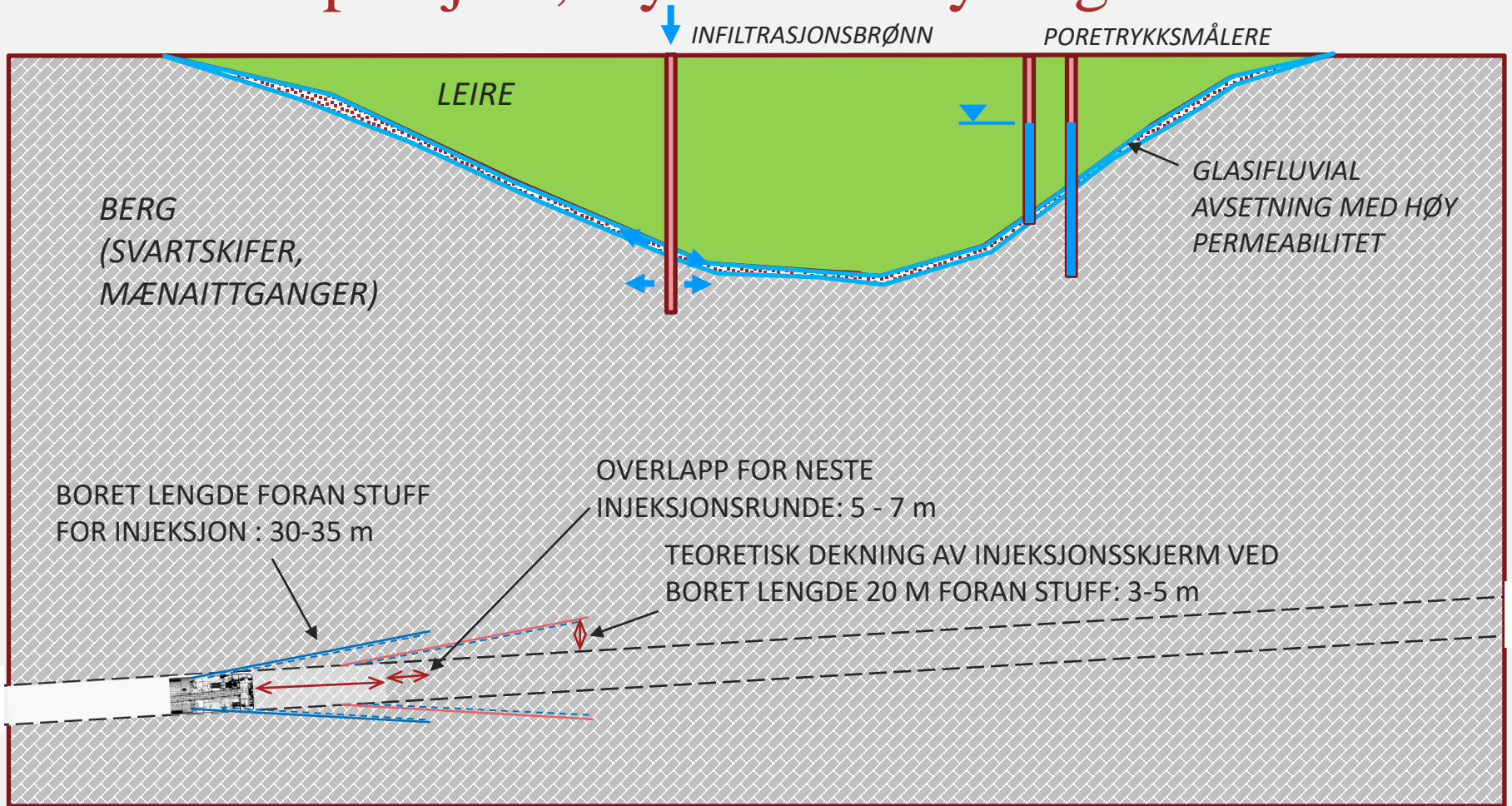
Grouting of void area with a mineral expanding foam (polyureasilicate foam ideal)



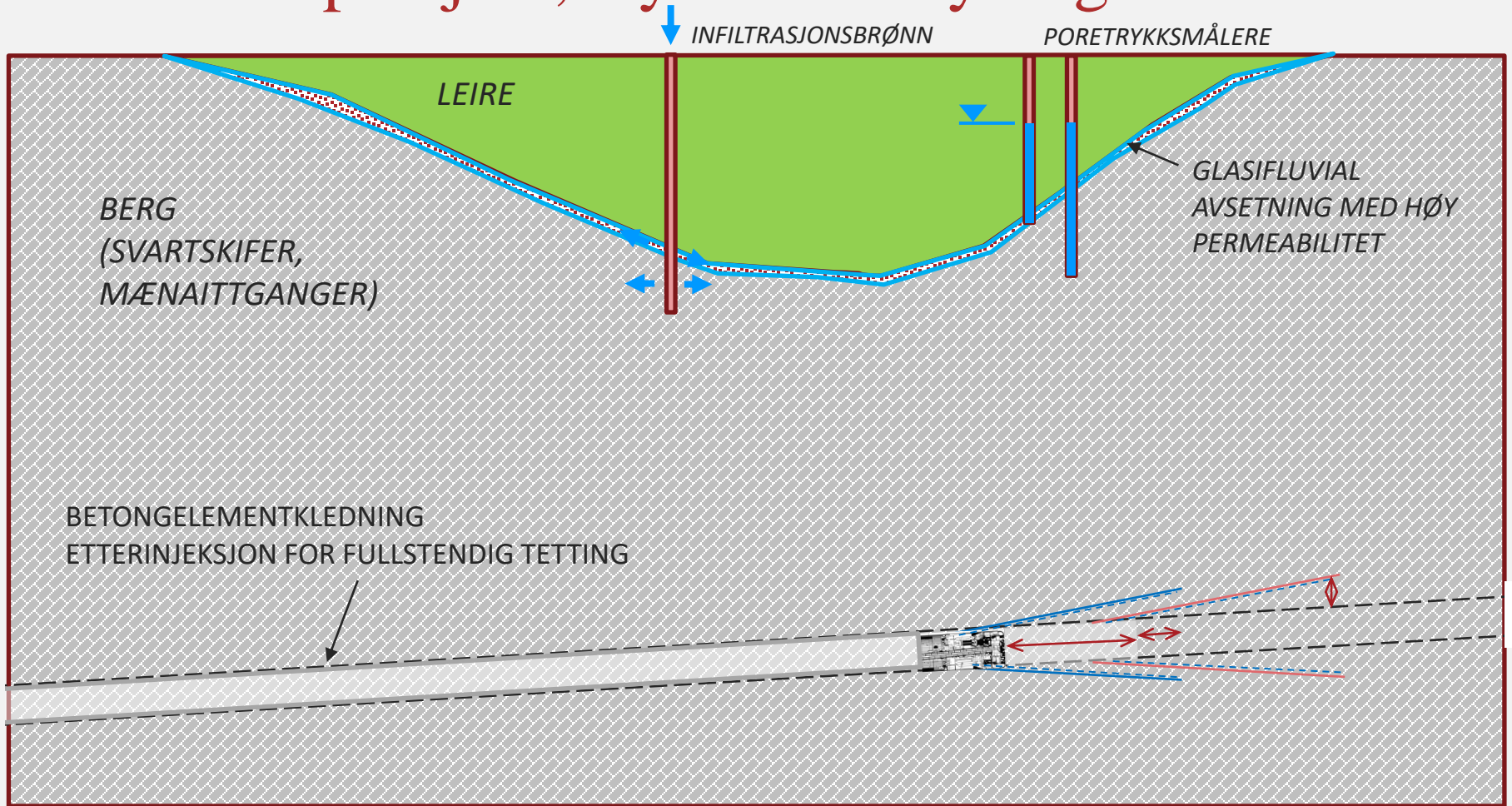
Noen utvalgte referanseprosjekter

- ↗ VEAS avløpstunneler Oslo, 1977-1979
- ↗ Kárahnjúkar HEPP vannoverføringstunneler, Island, 2005-2009
- ↗ Arrowhead vannoverføringstunnel, California USA, 2008-2009
- ↗ Vanntunnel, Ny Vannforsyning Oslo, 2023-2027

Referanseprosjekt, Ny Vannforsyning Oslo

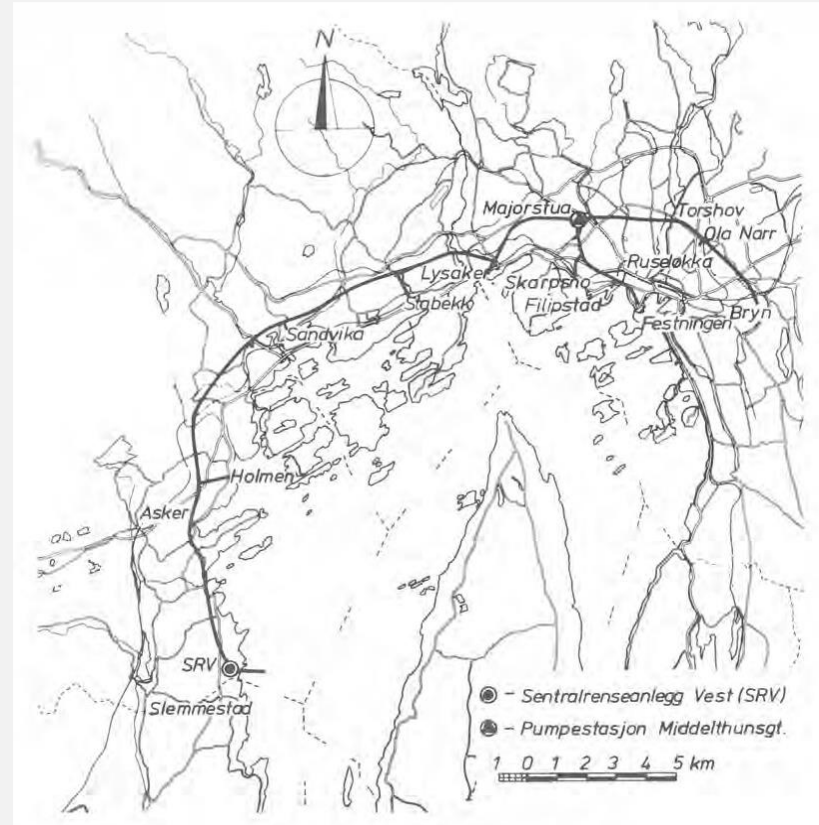


Referanseprosjekt, Ny Vannforsyning Oslo



Referanseprosjekt VEAS avløpstunneler Oslo, 1977-1979

- Viktig pilotprosjekt for TBM boring i sensitive urbane strøk med omfattende forinjeksjon
- Flere store enterpriser
- Meget gode erfaringer med forinjeksjon
- Kombinasjon normaltsement og kjemisk (silikat-baserte injeksjonsmaterialer)
- Noe etterinjeksjon nødvendig
- Endelige lekkasjer 1-2 l/min/100m



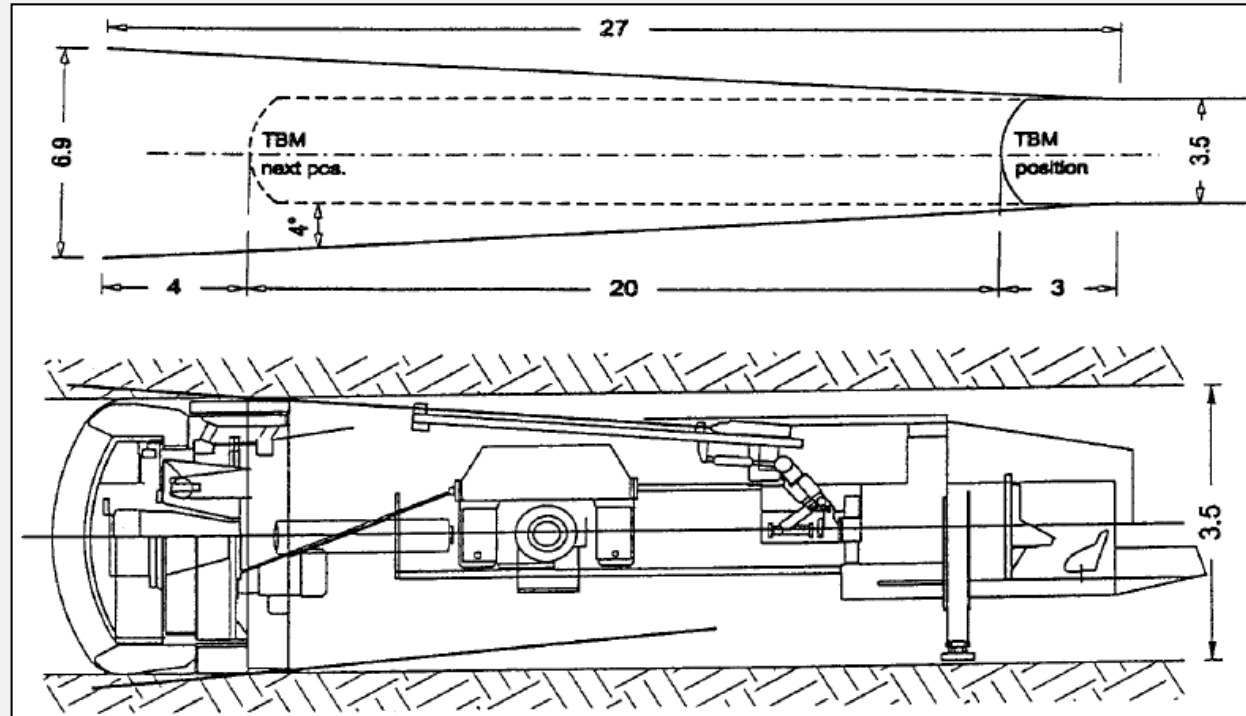
Referanseprosjekt VEAS avløpstunneler Oslo, 1977-1979

➤ Flere store enterpriser

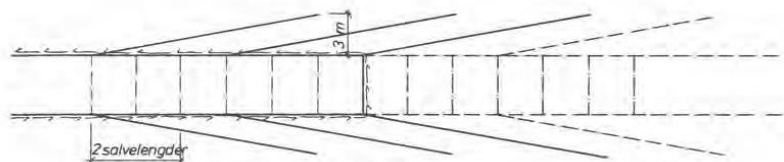
Entreprise	Utsprengte tunneler	Borede tunneler	
		Type TBM	Tunnel-lengder
FESTNINGEN FILIPSTAD Entreprenør: Astrup & Aubert	1360 m		
OSLO SENTRUM Entreprenør: Astrup & Aubert U. entreprenør injeksjonsarb.: Entreprenørservice A/S	510 m	2 stk. Bouygues D = 3,0 m	10770 m
MAJORSTUA – FRANTZEBRÅTEN Entreprenør: Dipl. ing. Kaare Backer A/S & Co.	670 m	Robbins D = 3,15 m	4180 m
LYSAKER – SANDVIKA Entreprenør: A/F Høyer- Ellefsen/Murer	230 m	Wirth D = 3,35 m Atlas Midifaser 2,1x3,14m	8510 m 1000 m
SANDVIKA – SRV Entreprenør: A/F Furuholmen/ Prader	800 m	2 stk. Robbins D = 3,5 m	14200 m
Samlede tunnellengder	3570 m		37660 m

Referanseprosjekt VEAS avløpstunneler Oslo, 1977-1979

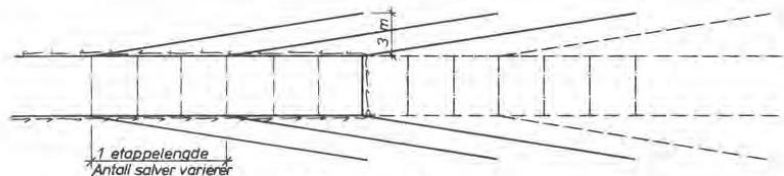
- Konfigurasjon av Robbins TBM , Prader-Furuholmen



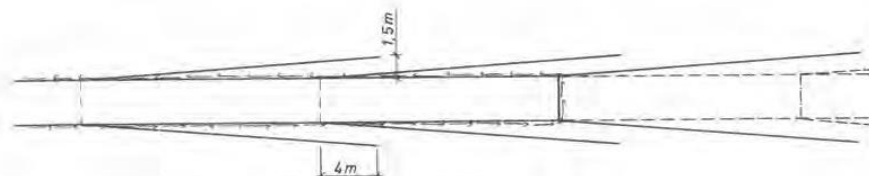
Referanseprosjekt VEAS avløpstunneler Oslo, 1977-1979



*Oslo Sentrum
Sandvika - Lysaker*



*SRV - Sandvika
Festningen - Filipstad*



Ordinært injeksjonsopplegg



*Injeksjonsopplegg med „dobbel“ skjerm
Entreprise Oslo Sentrum*

Asting et. al 1980

Konfigurasjon av injeksjonsskjermer for
sprengte tunneler

Konfigurasjon av injeksjonsskjermer for
TBM borede tunneler

Referanseprosjekt VEAS avløpstunneler Oslo, 1977-1979



Fra inspeksjon i VEAS tunneler i 2022

Foto: M. Stormoen, Oslo VAV

Referanseprosjekt Kárahnjúkar HEPP, Island 2005 - 2009

- Ca 60 km vannoverføringstunneler
- 3 stk Robbins gripper TBM diam ca 7 m
- Hovedentreprenør Impregilo (Italia)
- Kinesisk arbeidskraft på tunnelarbeider
- TBMer var forberedt for forinjeksjon med porter gjennom takskjold, utrustning for langhullsboring ble montert og injeksjonsrigg montert på vagg



Referanseprosjekt Kárahnjúkar HEPP, Island 2005 - 2009

- ↗ Vann påtruffet i betydelig omfang,
- ↗ Punktlekkasjer på opptil 50 l/s
- ↗ Entreprenør ikke insentivert til å utføre effektiv forinjeksjon
- ↗ Uenighet mellom byggherren Landsvirkjún og hovedentreprenøren Impregilo om håndtering av vann
- ↗ Entreprenør prioriterte fremdrift, og drev gjennom lekkasjene uten å injisere tilstrekkelig



Referanseprosjekt Kárahnjúkar HEPP, Island 2005 - 2009

- Betydelig etterinjeksjonsjobb med PU
- Lekkasje kun delvis redusert
- Byggherren fikk merkostnaden

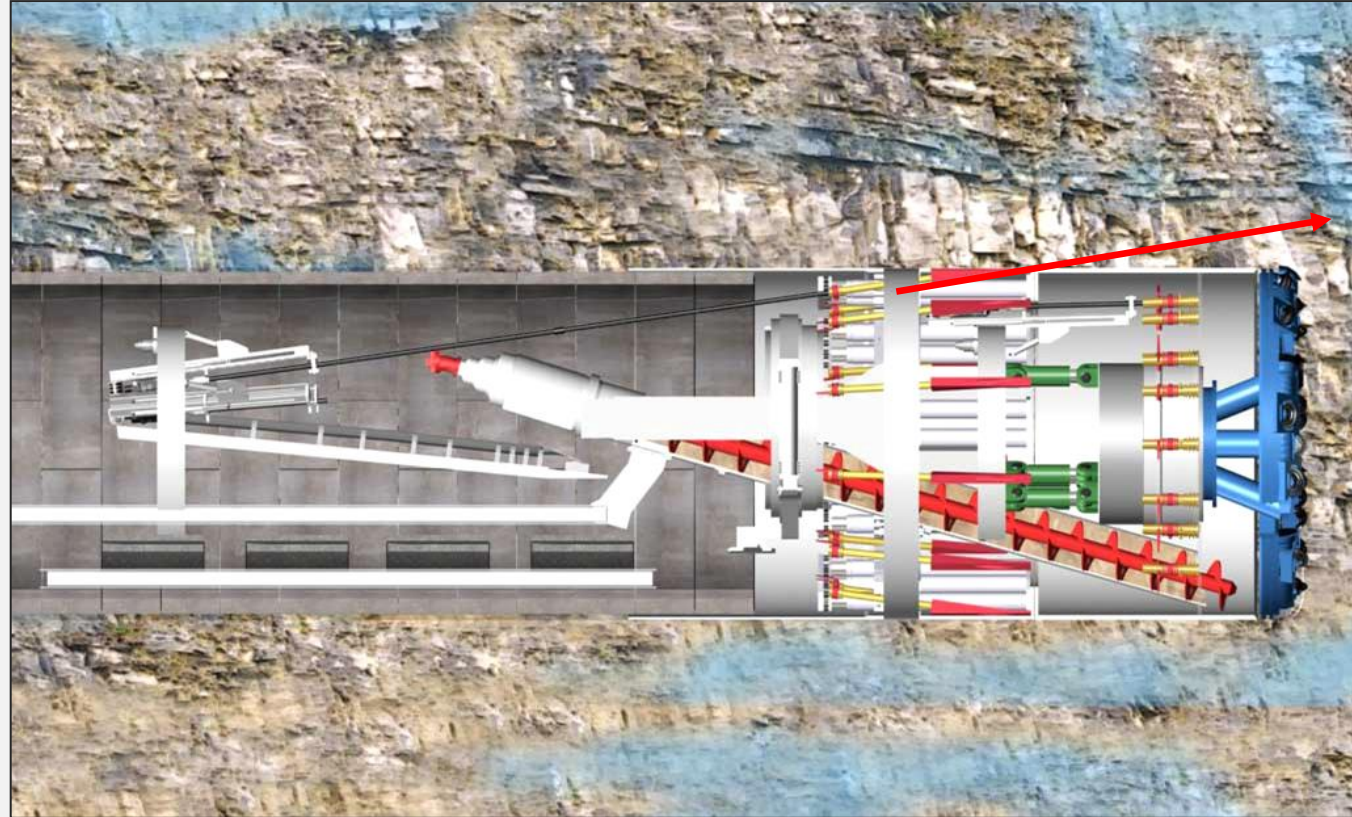


Foto: Impregilo S.p.A.

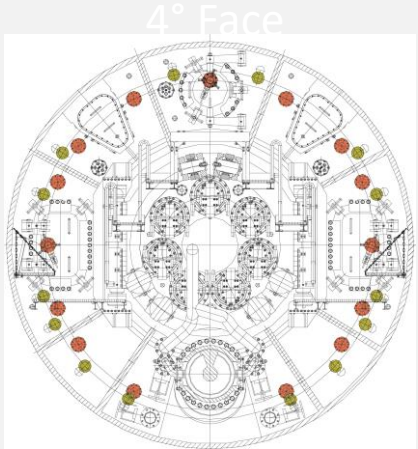
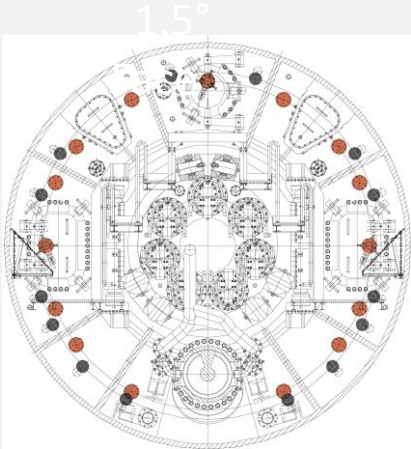
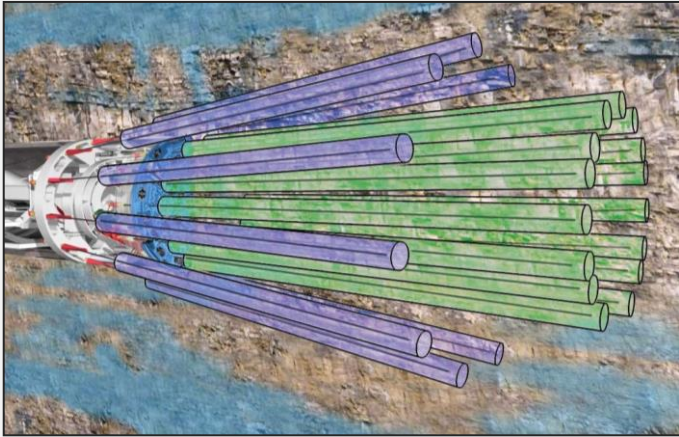


Arrowhead water tunnel, San Bernardino, CA

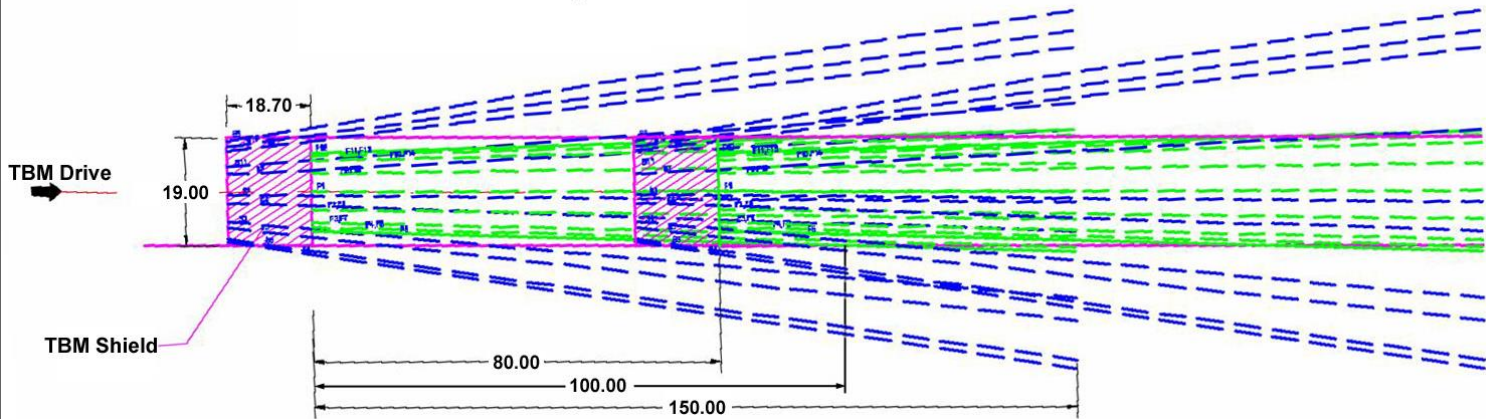
- ↗ Vann i bergmassen forventet i stort omfang
- ↗ Sedimentære bergarter med horisonter av permeabel sandstein
- ↗ “Running ground” i sandstein med hydraulisk grunnbrudd
- ↗ Inj opplegget måtte tilpasses
- ↗ Suksessfaktor: samarbeid entreprenør - byggherre



Arrowhead water tunnel, San Bernardino, CA

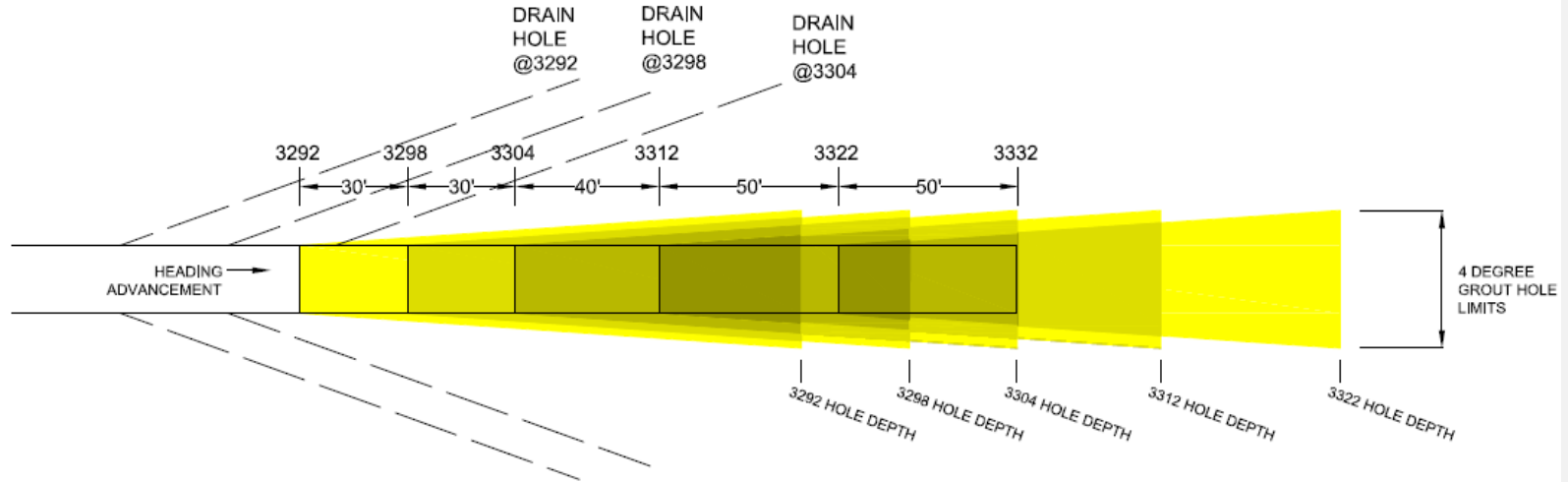


Shield and Rib-Holes Layout Arrowhead Tunnels



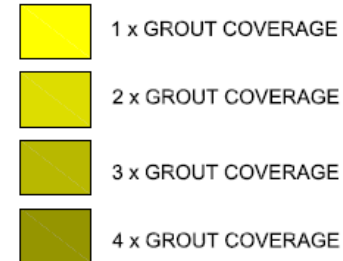
Arrowhead water tunnel, San Bernardino, CA

ARROWHEAD EAST TUNNEL PRE-EXCAVATION GROUTING RINGS 3292 TO 3322



K. Garshol

Ring	3292	3298	3304	3312	3322
Max. Hole Inflow (gpm)	220	20	38	32	42
Max. Backpressure (psi)	275	200	160	120	140
No. of grout holes	17	6	14	8	11
Hole Depth (ft)	140-150	140	140	140	140
Footage Drilled (incl. re-drill)	11,158	1,055	2,360	1,120	2,076
Cement Grout (lb)	358,979	5,746	26,051	2,735	4,777
Colloidal Silicate (gal)	19,125	24,759	14,663	11,255	12,565
Number of Drain Holes	2	2	1	0	0
Time (days)	22 (4 cs only)	6	5.5	4	3



Arrowhead water tunnel, San Bernardino, CA

- ↗ Kreativ praktisk løsning for instøpte foringsrør av PVC i svak ustabil bergmasse
- ↗ “Bagpacker” foringsrør
- ↗ Entreprenørens praktiske kreativitet



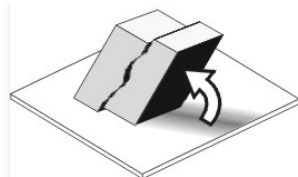
Oppsummering

- Konseptet for midlertidig og permanent vannkontroll må defineres nøye
- Forinjeksjonsarbeider er mer kompliserte og betydelig dyrere i TBM-sammenheng enn sammenliknet med B&S
- Fokus på behovsprøving og effektiv metodikk for å bruke minst mulig tid og ressurser på injeksjon
- Samarbeid og konstruktiv dialog mellom byggherre og entreprenør helt vesentlig for å lykkes



Time, tunnel length, geology – therefore Q_{tbm}

Nick Barton



Nick Barton & Associates Rock Engineering
www.nickbarton.com

1. PARAMETERS: *PR*, *AR*, *U*, *T* and links to *Q*
2. CUTTER FORCE VERSUS ROCK MASS STRENGTH
3. CASE-RECORD SURVEY for (mostly) OPEN-GRIPPER
4. WORLD-RECORD TBM PERFORMANCES
5. TBM DELAYS IN FAULT ZONES
6. DECELERATION (-m) ACCENTUATED IN FAULT ZONES
7. IS IT CORRECT TO USE TBM: '*BECAUSE the TUNNEL IS SO LONG*'?
8. IS IT CORRECT TO USE TBM: '*BECAUSE CONDITIONS WILL BE BAD*'?
9. QTBM PROGNOSIS DEVELOPMENT: Q WITH MACHINE-ROCK INTERACTION
10. APPLICATION OF Q_{TBM} AT FOLLOBANEN (2009) and 2018

1. PARAMETERS: *PR*, *AR*, *U*, *T* and links to *Q*

PR m/hr, *PENETRATION RATE* with continuous boring

AR is actual TBM *ADVANCE RATE*

e.g. m/week, m/month, m/year. (24hours not so interesting)

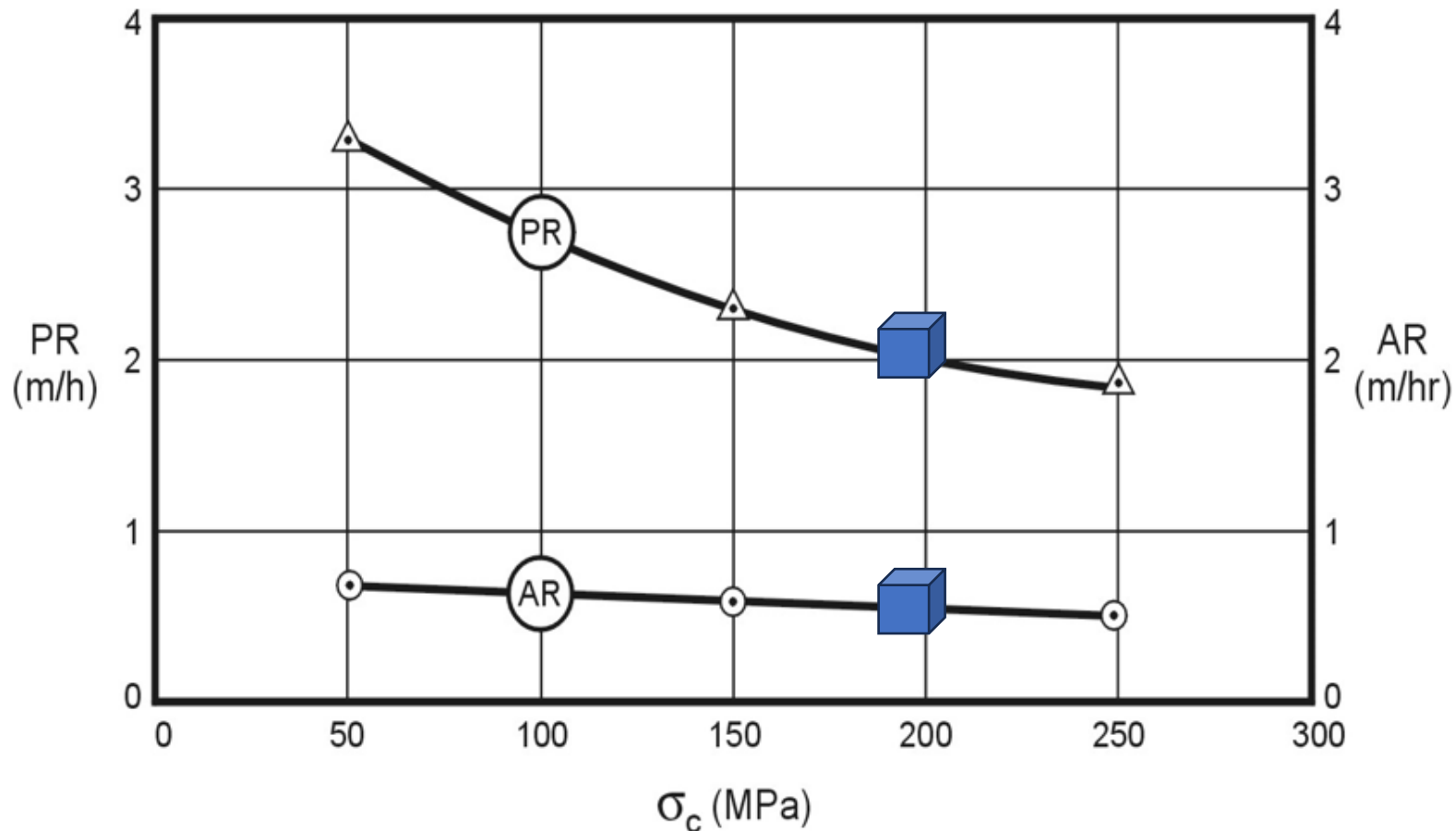
U is utilization (depends on machine-type, diameter, geological conditions and on *TIME*)

T is total time: 24hrs, 168hrs, 730hrs, 8730 hrs, etc

HINT: if each *AR* period is given in *m/hr* the influence of *TIME* and *TUNNEL LENGTH* can be better understand

Shale, tillite, sandstone: $\sigma_c = 50, 150, 250$ MPa

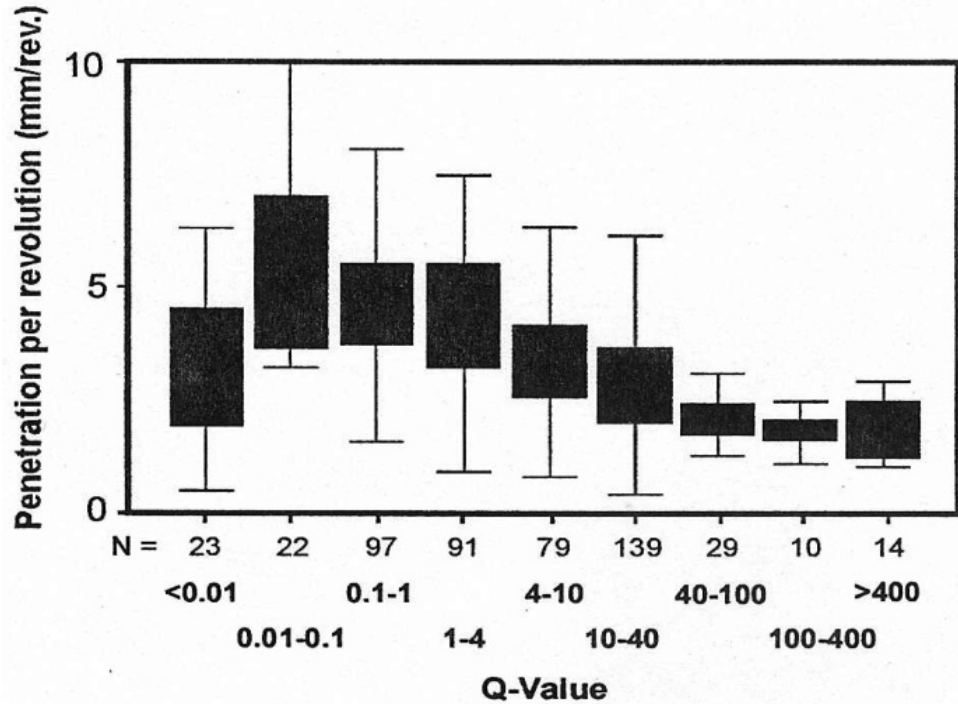
(Fawcett, 1993 data: plotted as here in Barton, 2000 book)



$$AR = PR \times U \quad (?)$$

 \approx Follo trend also!
But AR only
m/week here.

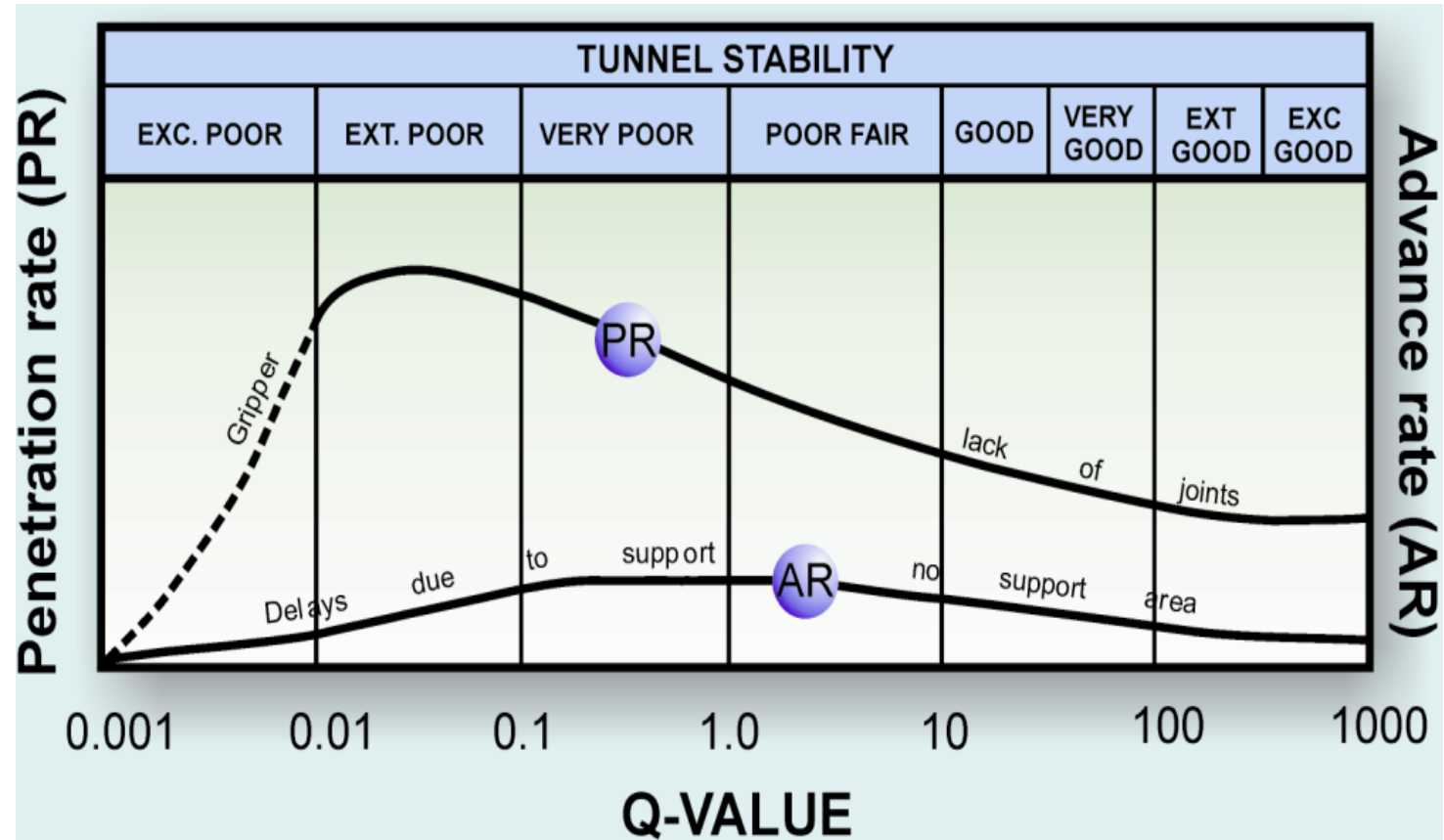
EVIDENCE LINKING (almost) BASIC Q-VALUES WITH PR: 2.85 km in granites, Malaysia.

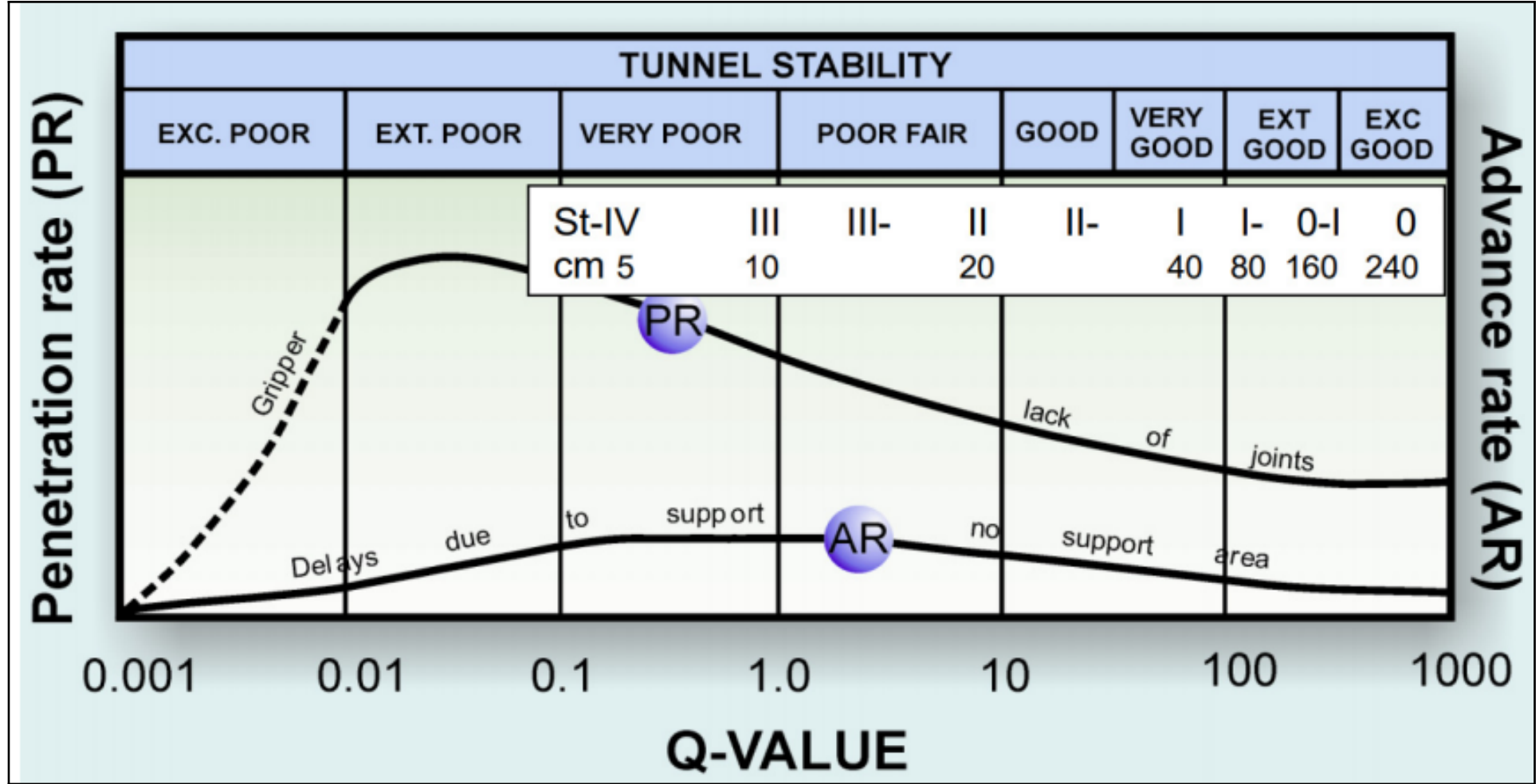


Q-values with all joints included (*not just least favourable J_r/J_a*)

(Sundaram and Rafek, 1998)

'Q-ADJECTIVES' BELOW DIFFERENT WITH TBM DUE TO PR and AR!





Q-VALUE SCALE FOR DESCRIBING ROCK MASS QUALITY.

THE NORMAL 'Q-ADJECTIVES' GOOD, VERY GOOD ETC. NEED MODIFYING FOR TBM.

INSET SHOWS VERY APPROXIMATE NTNU FRACTURING CLASSES (AND SPACINGS).

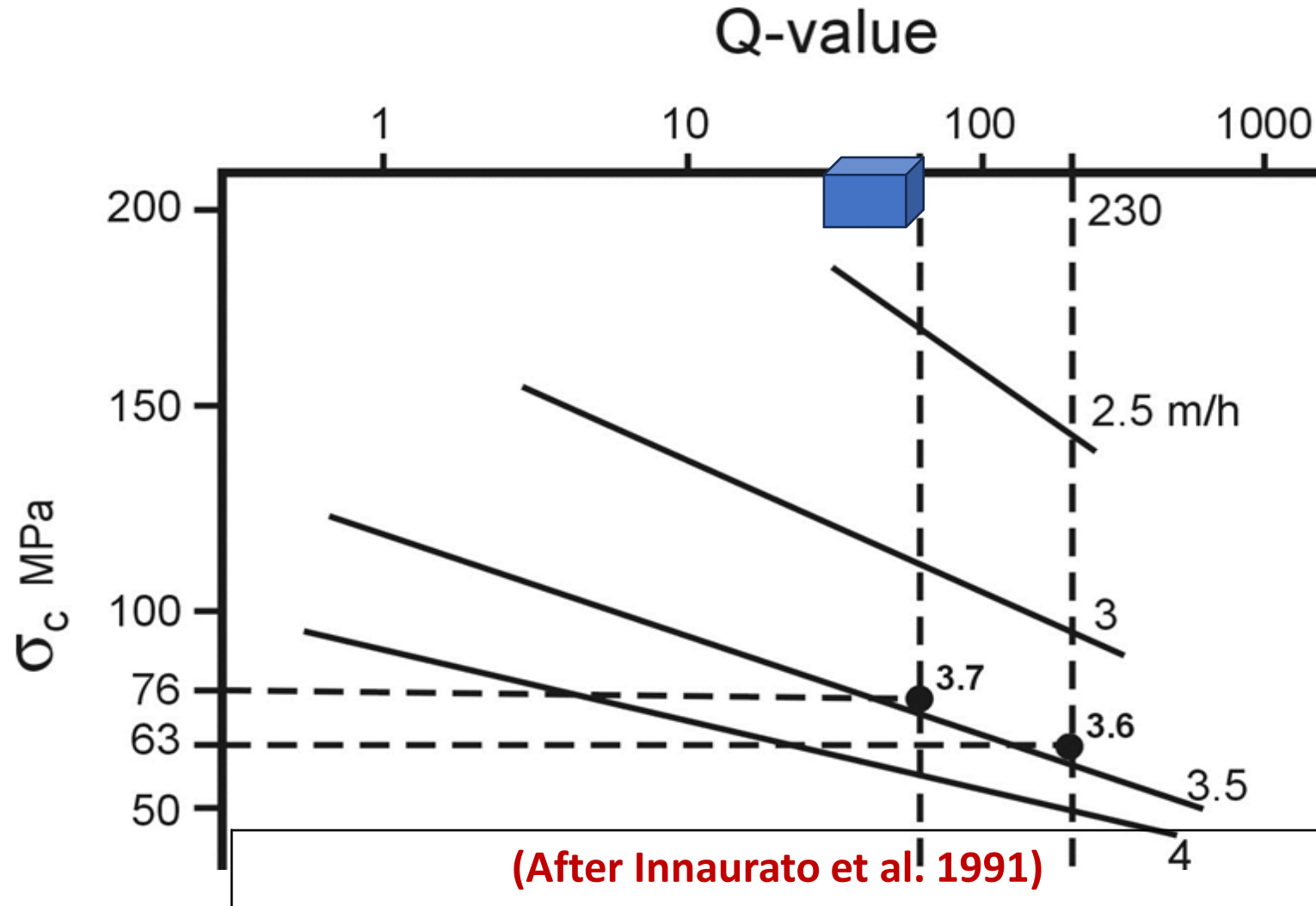
Maybe shift inset more to the left?

THIS 'ICE-AGE' PHOTO EMPHASISES THAT THE NUMBER OF JOINT SETS (NOT JUST THE ADDITION OF ALL FRACTURE SETS) PROBABLY ALSO MATTERS IN A **PR-PROGNOSIS** METHOD. (FRICTIONAL PROPERTIES LIKE J_r ALSO IMPORTANT?).



LOGICAL TRENDS: high Q, high σ_c , lower PR

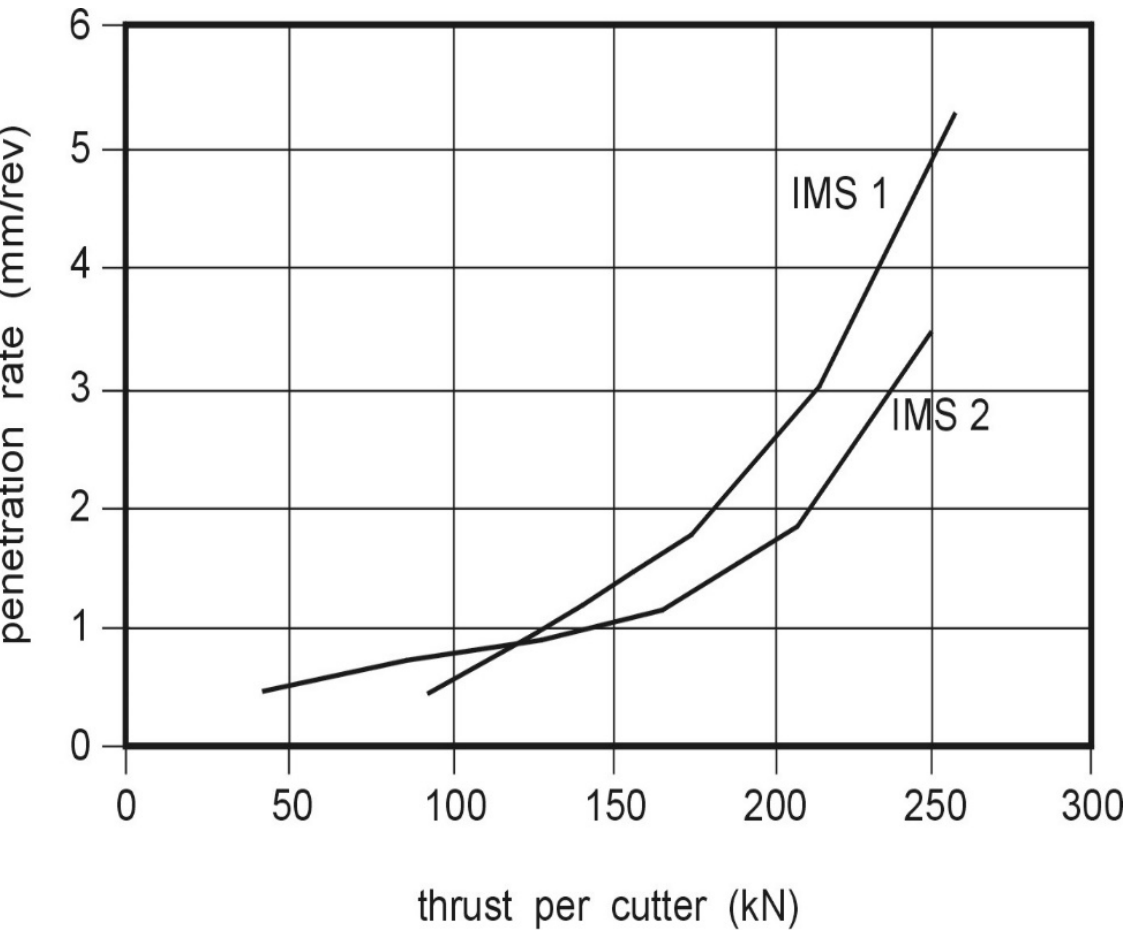
 Typ. Follobanen



2. CUTTER FORCE VERSUS ROCK MASS STRENGTH

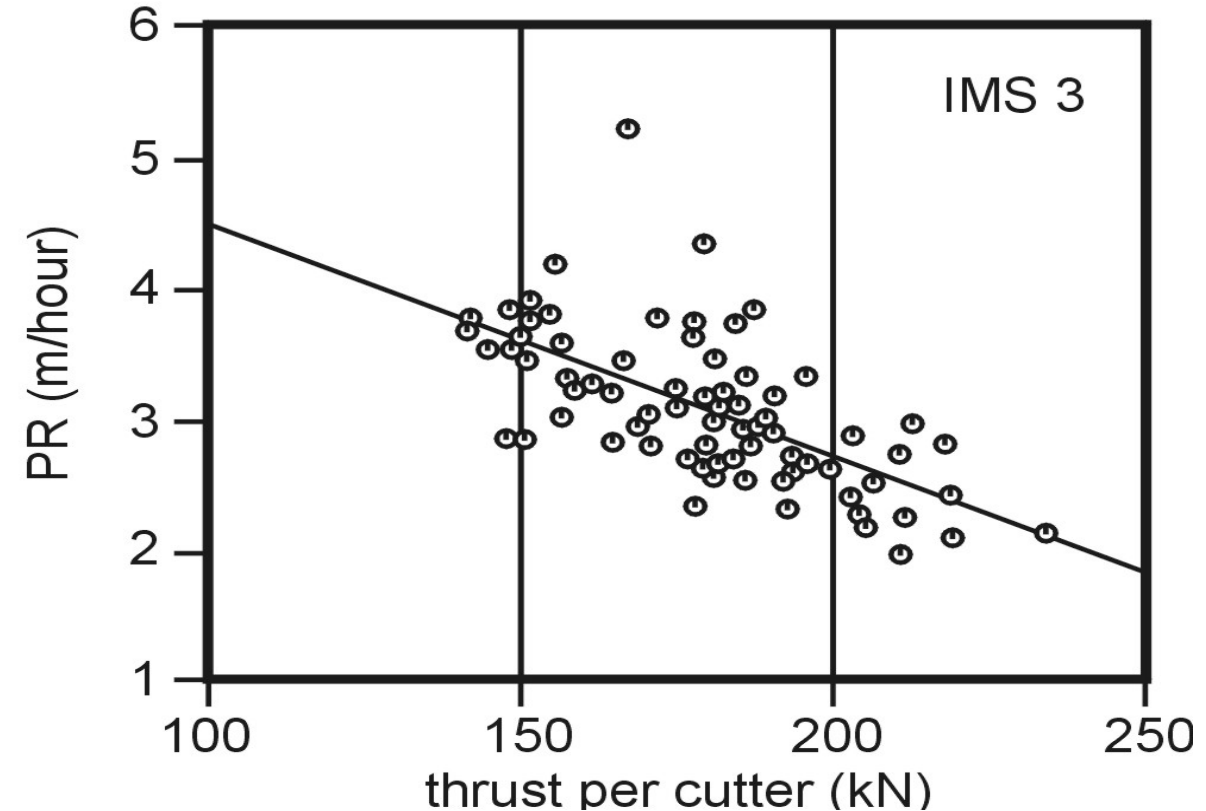
CUTTER THRUST COMPARED TO ROCK MASS STRENGTH

(Figures from Grandori et al. 1995)

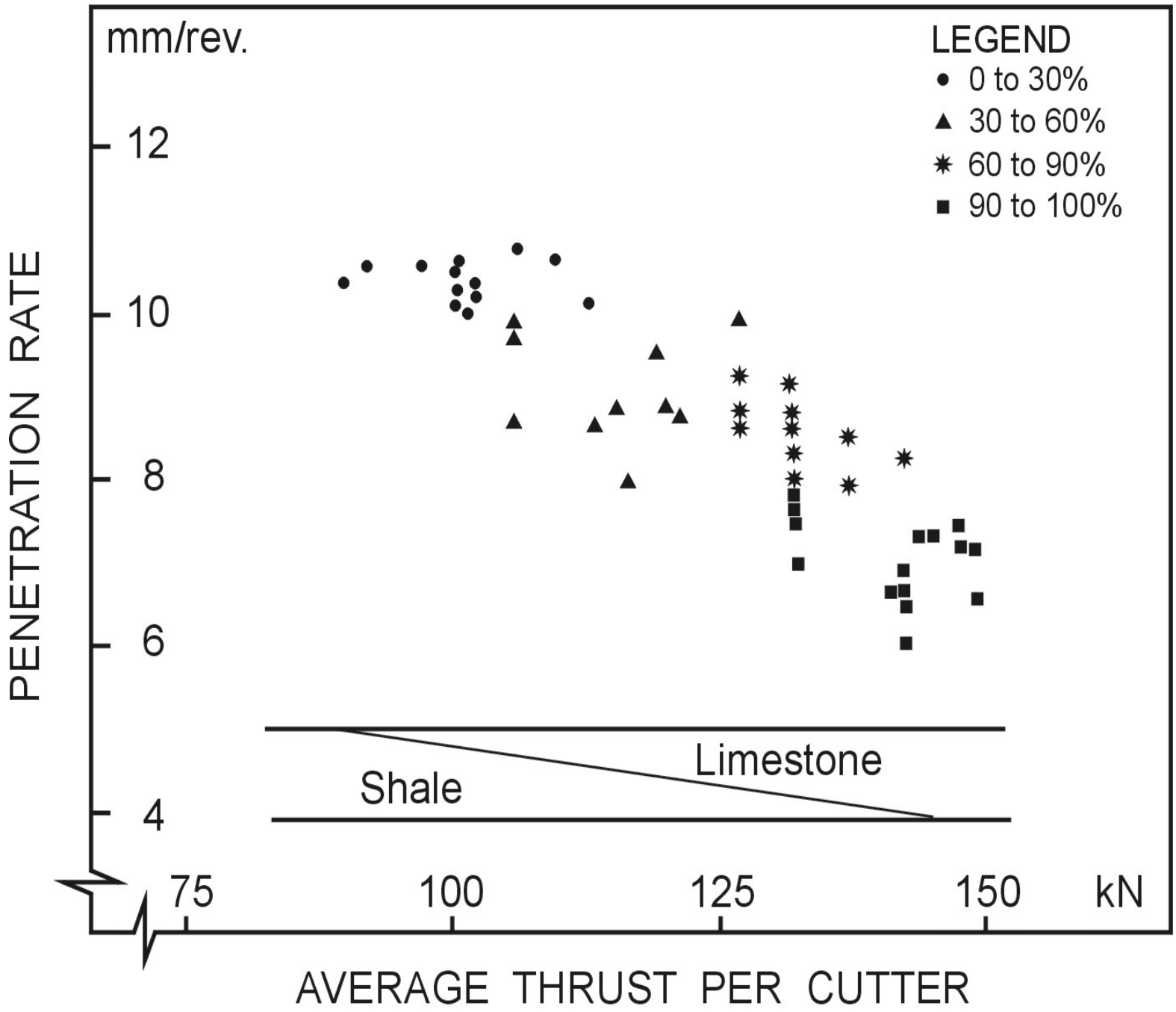


LEFT: WHAT TO EXPECT IF ENOUGH POWER for HIGH THRUST

BELOW: IF ROCK IS TOO HARD



FOR REALISTIC TBM PROGNOSIS it is logical to COMPARE CUTTER THRUST (F) WITH ROCK MASS STRENGTH



UNDER-POWERED TBM FROM 1980's.

REDUCED PR DESPITE INCREASED THRUST/CUTTER.

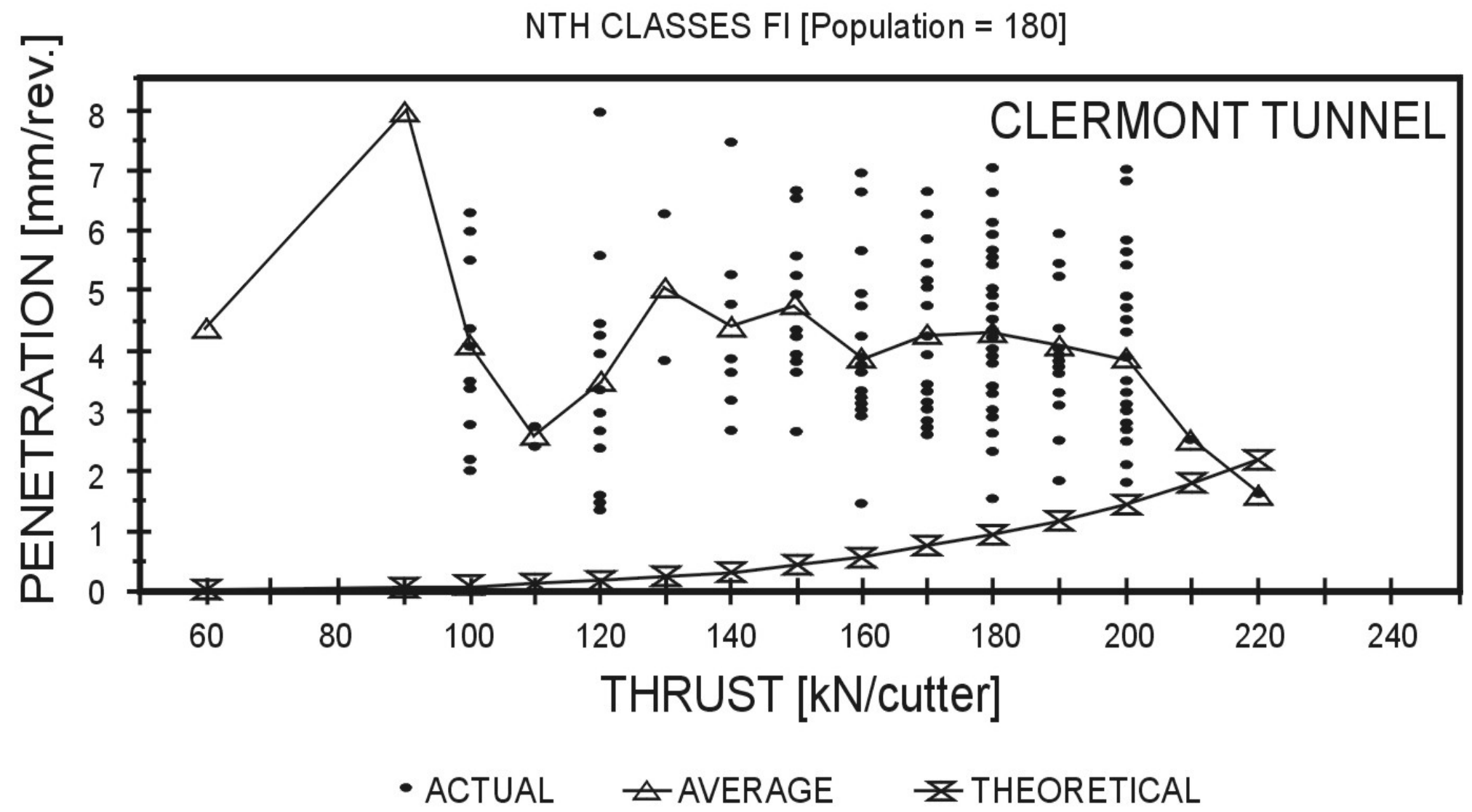
% HARD LIMESTONE SHOWN.

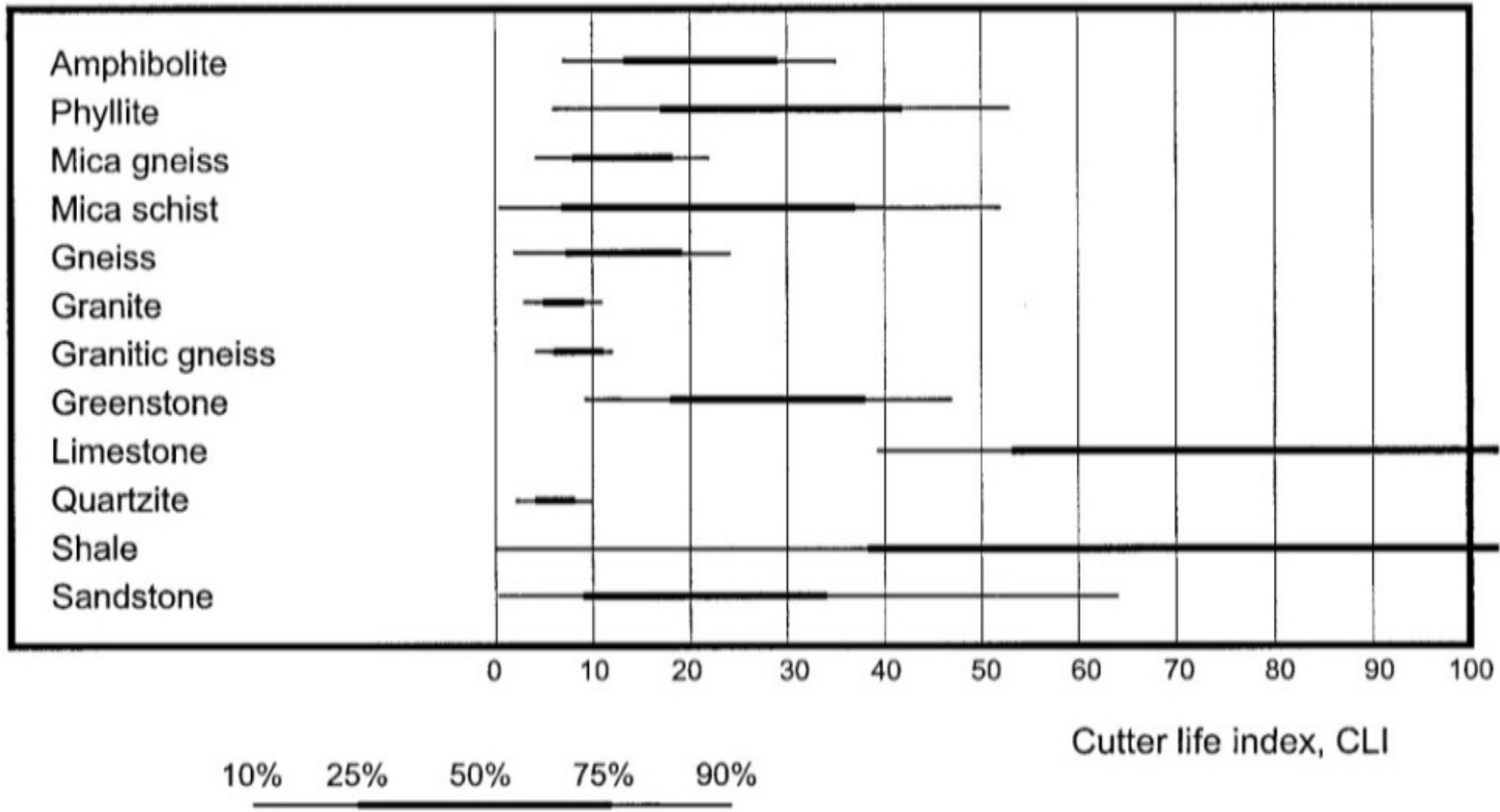
(NELSON ET AL. 1983).

(40 MPa / 130 MPa)

TBM PROGNOSIS FAILS TO PREDICT REDUCED PROGRESS WITH INCREASED CUTTER THRUST. TBM UNDER-POWERED IN RELATION TO VERY HARD META-SANDSTONES. **JOINT PROPERTIES / ROCK STRENGTH NEED MODELLING?**

(McKelvey, Blindheim et al. 1996). There should be more NTH/NTNU curves for fair comparison.

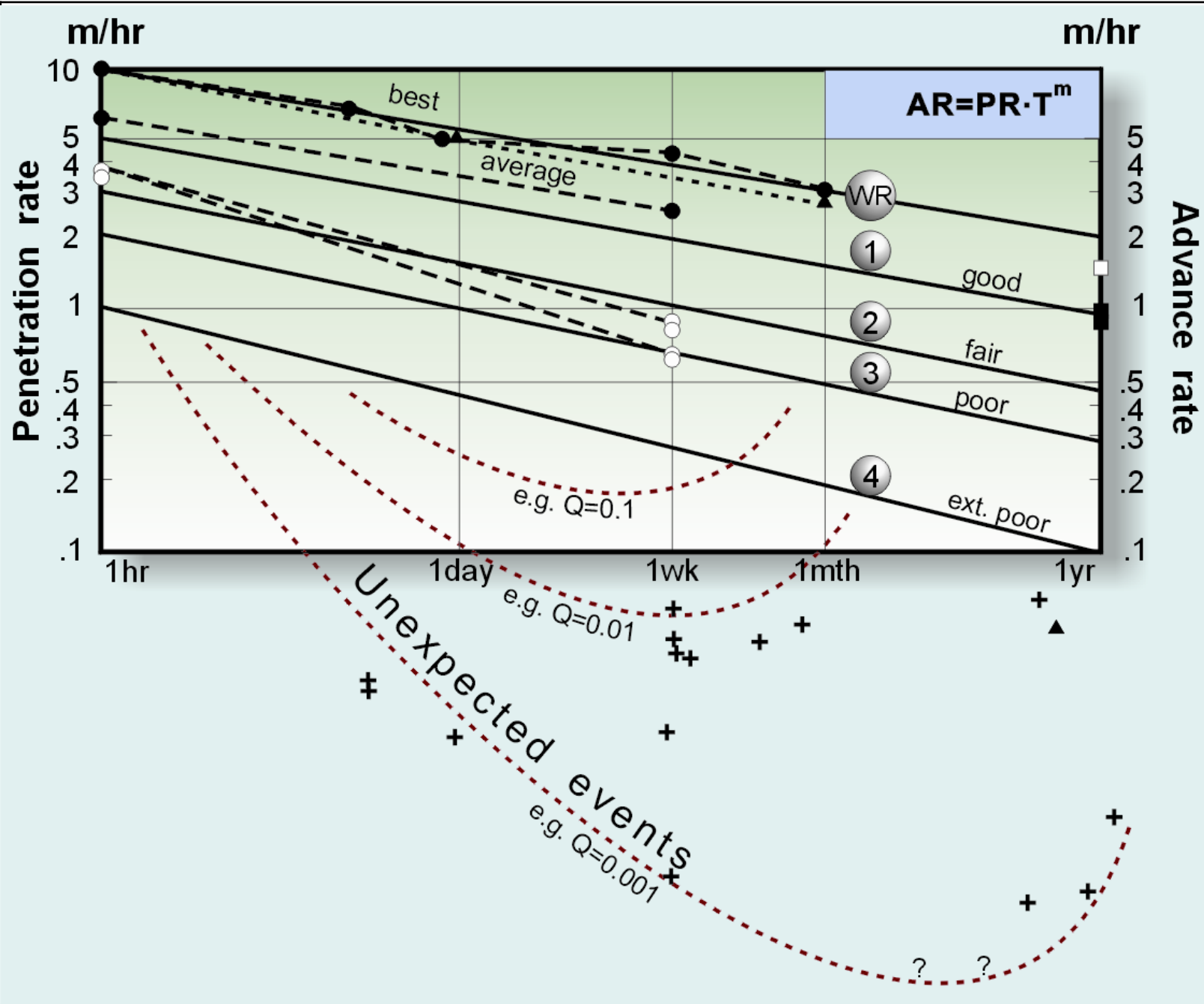




**CUTTER LIFE INDEX (CLI).....NTH/NTNU
1994.....used in two places in Qtbm**

3. CASE-RECORD SURVEY for (mostly) OPEN-GRIPPER

4. WORLD-RECORD TBM PERFORMANCES



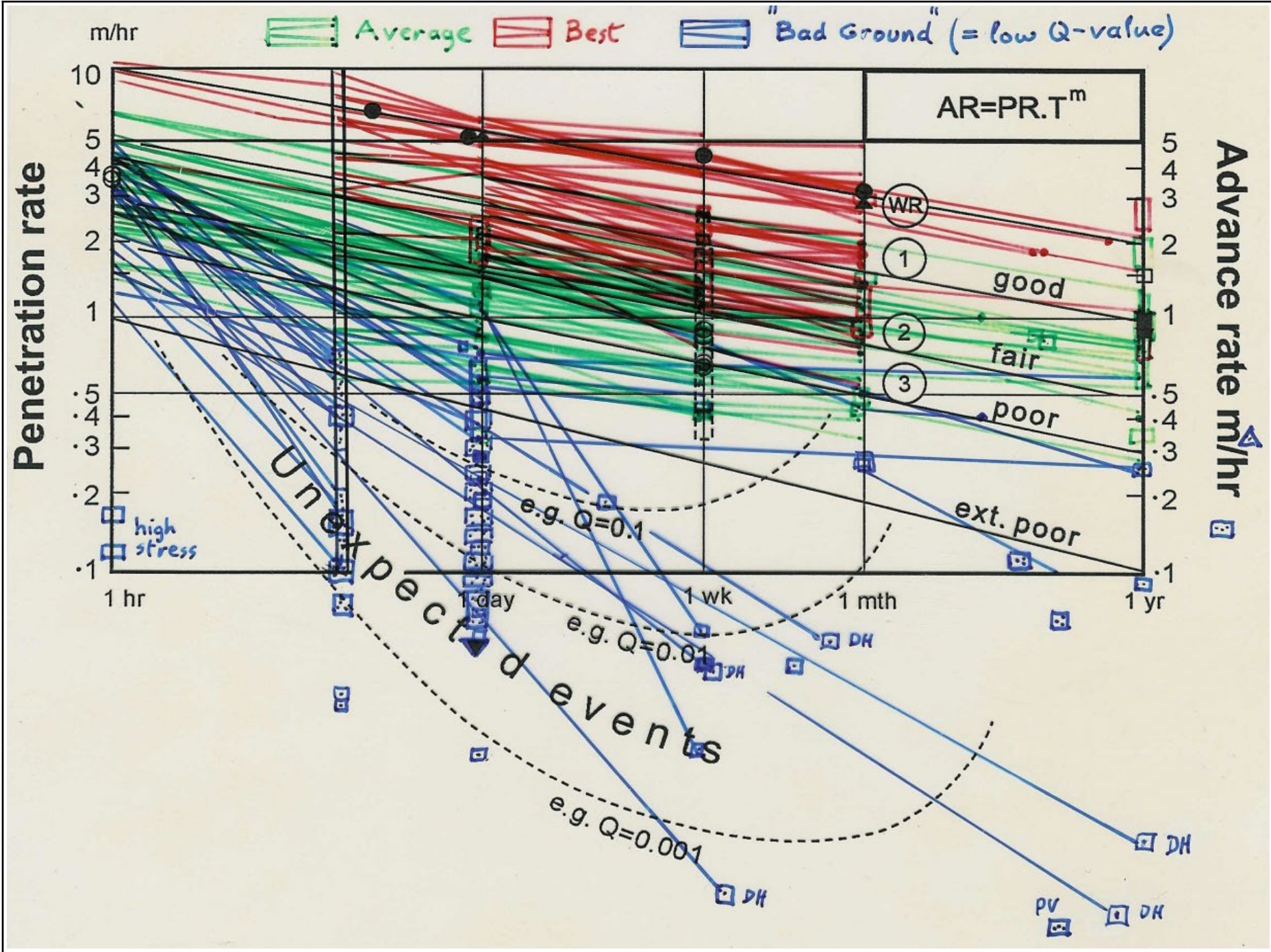
**CASE RECORD
EVIDENCE OF
DECELERATION
from 145 cases
representing
1000 km of TBM**

**(Mostly open-
gripper cases)**

**Conventional
equation:**

**$AR = PR \times U$
but reality is :**

$AR = PR \cdot T^m$



BEST

MEAN

WORST

Note: no horizontal lines. Several Norwegian TBM results are included.

(U cannot be constant WITH TIME/LENGTH)

Barton, 2000

WORLD RECORDS FOR HIGH SPEED TUNNEL EXCAVATION

DIAMETER	3 - 4 m	4 - 5 m	5 - 6 m	6 - 7 m
BEST DAY	172 m Robbins Katoomba Australia ★	128 m Robbins SSC No. 4 USA	99 m Robbins Little Calumet USA	114 m Robbins Dallas Metro USA
BEST WEEK	703 m Robbins Katoomba Australia ★	477 m Robbins SSC No. 4 USA	562 m Robbins Little Calumet USA	500 m Robbins Dallas Metro USA
BEST MONTH	2066 m Robbins Oso USA	1822 m Robbins Yellow River China	2163 m Robbins Little Calumet USA ★	1690 m Robbins Dallas Metro USA
MONTHLY AVERAGE FOR PROJECT	1189 m Robbins Katoomba Australia	1352 m Robbins Yellow River China ★	1095 m Robbins Yindaruqin China	1187 m Robbins Dallas Metro USA

★ 172m one day !
 ★ 703m one week !
 ★ 2163 m one month !
 (16 km one year !)

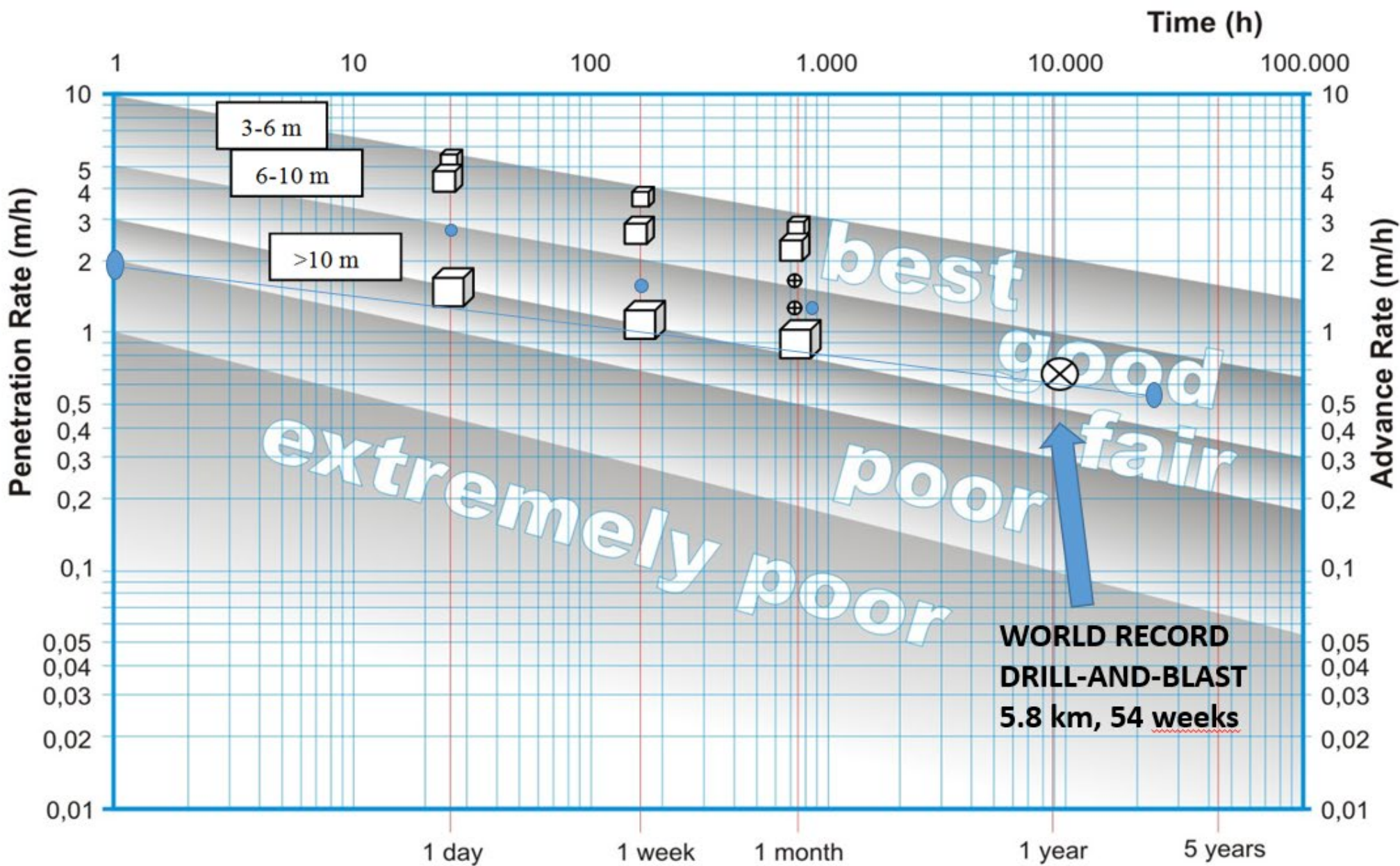
★ BEST MONTH = 2163m, BUT
 BEST MONTHLY AVERAGE
 'ONLY' 1352m.

DIAMETER	7 - 8 m	8 - 9 m	9 - 10 m	10 - 11 m	11 - 12 m
BEST DAY	115 m Robbins Karahnjukar Iceland	75 m Robbins Channel Tunnel UK	74 m Robbins TARP Chicago USA	48 m Robbins TARP Chicago USA	30 m Herrenknecht Murgenthal Switzerland
BEST WEEK	428 m Robbins Karahnjukar Iceland	428 m Robbins Channel Tunnel UK	324 m Robbins TARP Chicago USA	185 m Robbins TARP Chicago USA	100 m Robbins Bozberg Switzerland
BEST MONTH	1482 m Robbins TARP Chicago USA	1719 m Robbins Channel Tunnel UK	982 m Wirth Guadarrama Spain	685 m Robbins TARP Chicago USA	385 m Robbins Bozberg Switzerland
MONTHLY AVERAGE FOR PROJECT	770 m Robbins TARP Chicago USA	873 m Robbins Channel Tunnel UK	715 m Robbins TARP Chicago USA	none reported	none reported

↑ UK chalk marl: UCS 5-9 MPa

NOTE: **BUT BIG DELAYS**
WHERE 3 JOINT SETS AND
SEA WATER:
 $90/9 \times 1/2 \times 0.66/1$
 (over-break effected ring-
 building, water damaged
 electronics) 18m problem!





WORLD RECORDS COLLECTED IN SIZE BRACKETS:

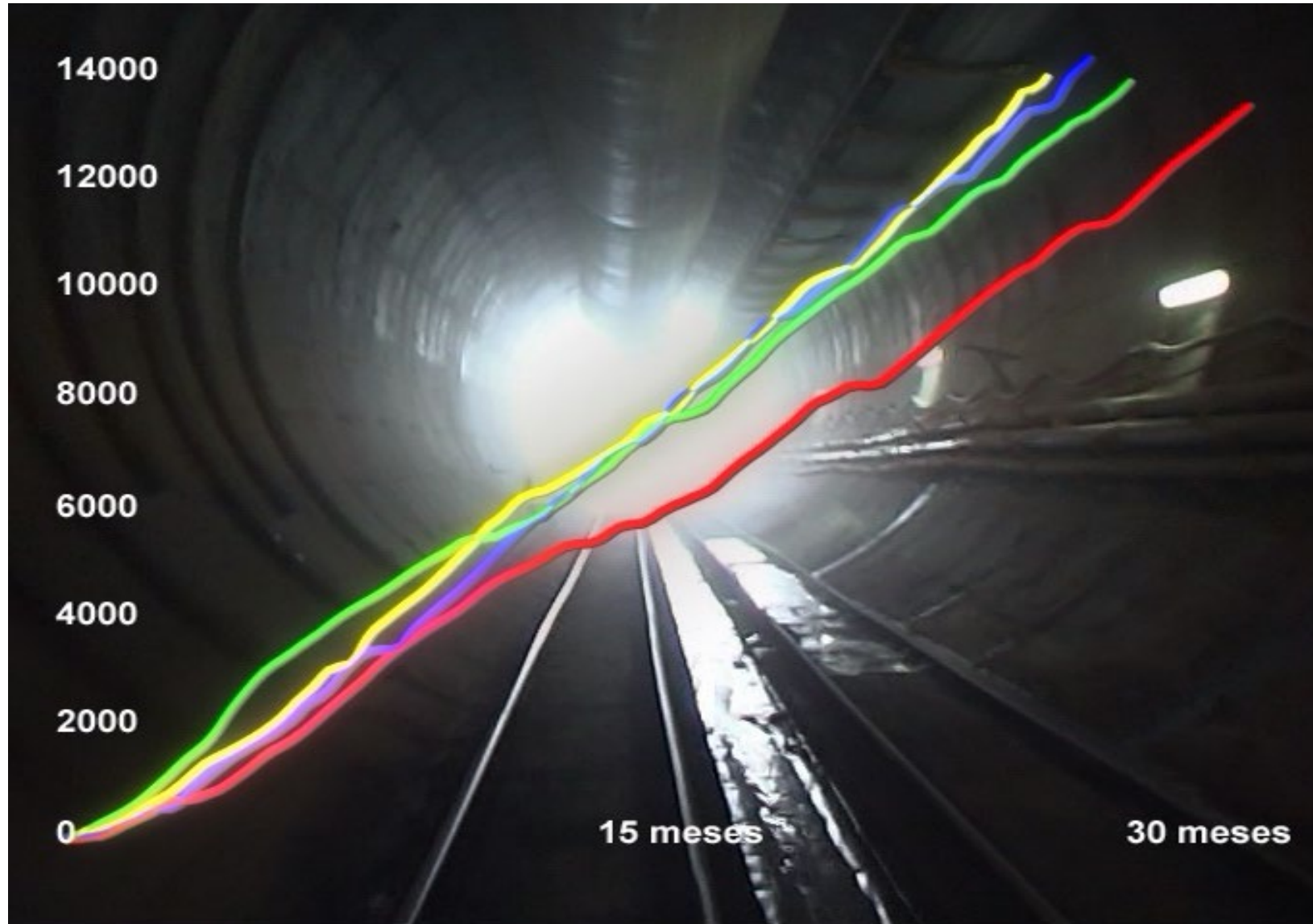
(3-6m, 6-10m, > 10m).

MOSTLY ROBBINS WORLD RECORDS)

• 4x14km best
 ● mean 56km
 ● Guadarrama 9m

(Barton, 2013)

GUADARRAMA 4 x DOUBLE-SHIELD TBM, 14 km EACH, 30-33 MONTHS.

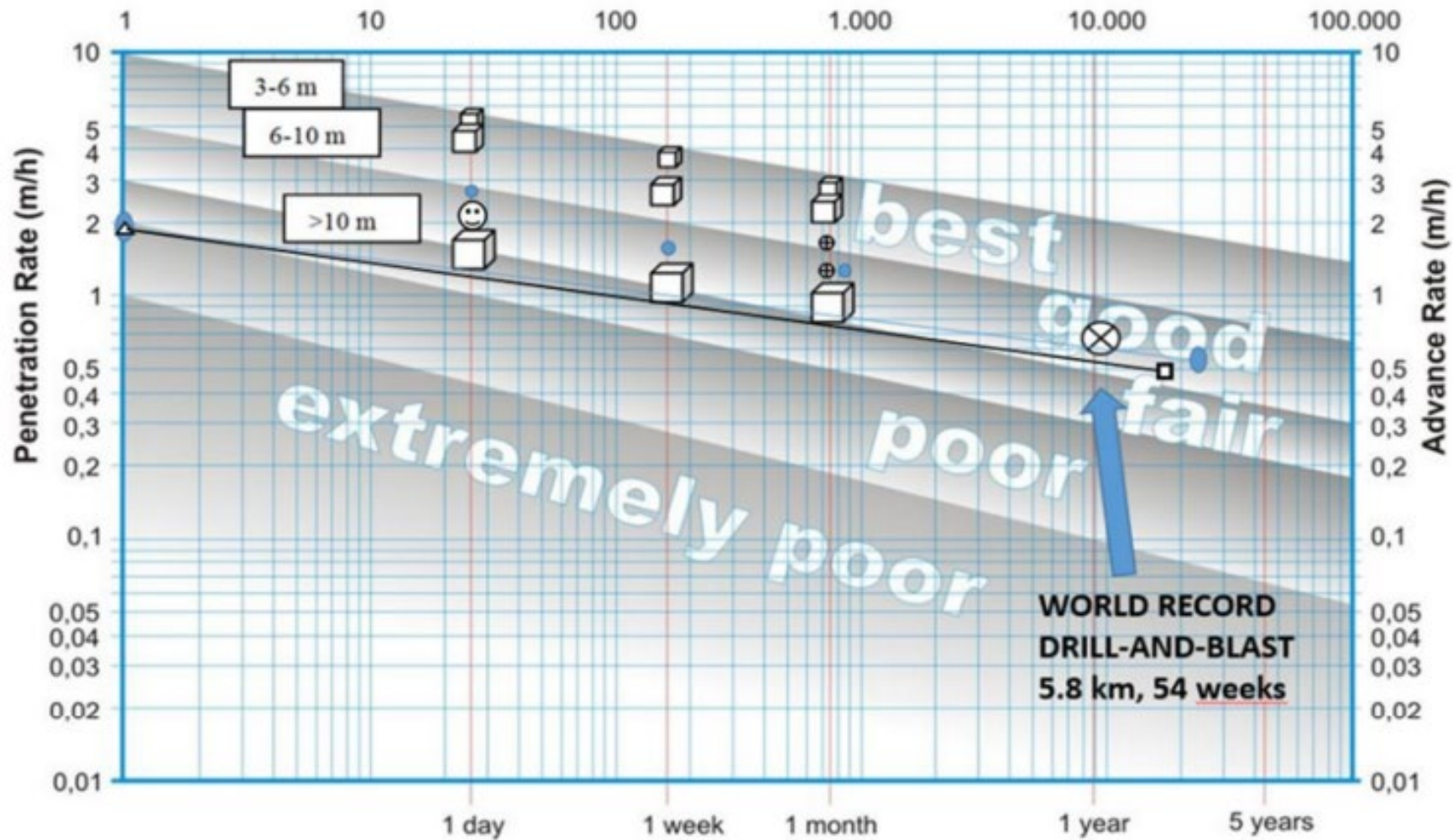


WORLD RECORD TBM PERFORMANCES ARRANGED BY SIZE (Barton, 2013).

ADDITIONAL DATA EXPLAINED IN THE TABULATION.

THE STRONGLY SIZE-RELATED RESULTS SUGGEST AN ADDITIONAL CORRECTION FOR PR BEYOND THAT ALREADY INCLUDED IN QTBM.

PR X 5/D IMPROVES PROGNOSIS. 'TODAY'S' TBM DIAMETERS INCREASING BEYOND THE EARLIER SMALLER DIAM. DATA BASE.



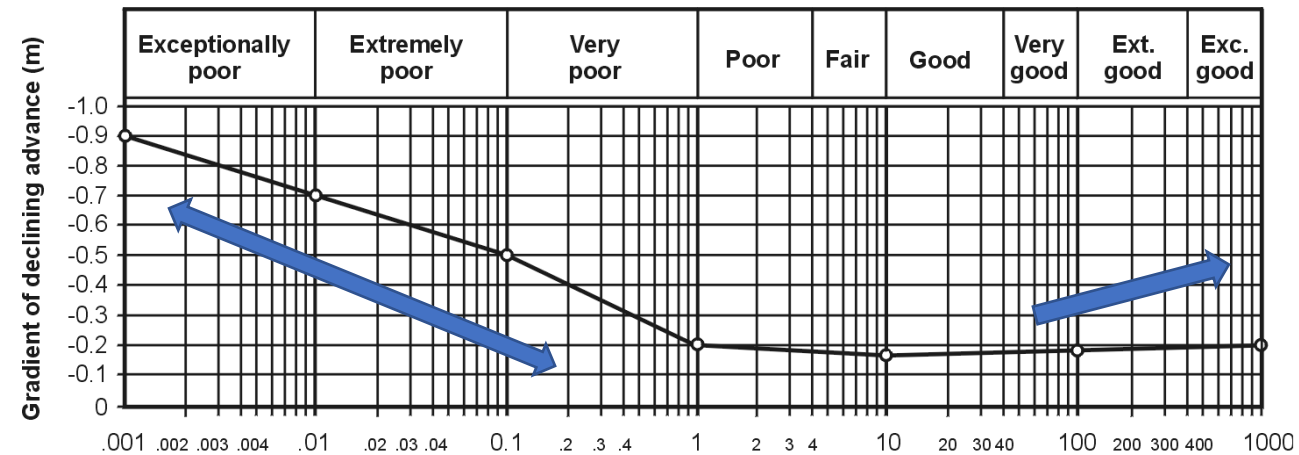
TBM World Records	<u>Acciona-Ghella</u> Legacy Way WR	<u>Guadarrama</u> mean PR, AR	<u>Guadarrama:</u> best day <u>wk</u> <u>mth</u>	PR <u>Follo</u> AR mean for 36km	Mean WR 1 month

PERFORMANCE Line # (refer to Figure)	DECELERATION Gradient (-) m (units of LT^{-2})
WR (world records) 1, 2, (good, fair) 3, 4 (poor, extremely poor) $Q \approx 0.1$ (delays) $Q \approx 0.01$ (big delays) $Q \approx 0.001$ (stuck TBM) (trends from 145 cases)	-0.13 to -0.17 -0.17, -0.19 -0.21, -0.25 -0.5 -0.7 -0.9 $(\Sigma \approx 1000 \text{ km},$ mostly open-gripper)
DOUBLE-SHIELD at <u>Guadarrama tunnels</u> (2x <u>Wirth</u> , 2x <u>Herrenknecht</u>)	-0.08 to -0.12 (best $\approx 50\%$ of open-gripper) (4 x 14 km)

DELAYS WITH LOW Q ARE EXPERIENCED IN MANY TBM PROJECTS. ALSO DELAYS WITH VERY HIGH Q!

DELAYS IN FAULT ZONES ARE RELATED WITH LOW Q-VALUES.

Q LESS IMPORTANT WHEN $Q > 1$ (but new set of problems when $Q > 50$)



$$\text{Rock mass quality } Q = \left(\frac{RQD}{J_n} \right) \times \left(\frac{J_r}{J_a} \right) \times \left(\frac{J_w}{SRF} \right)$$

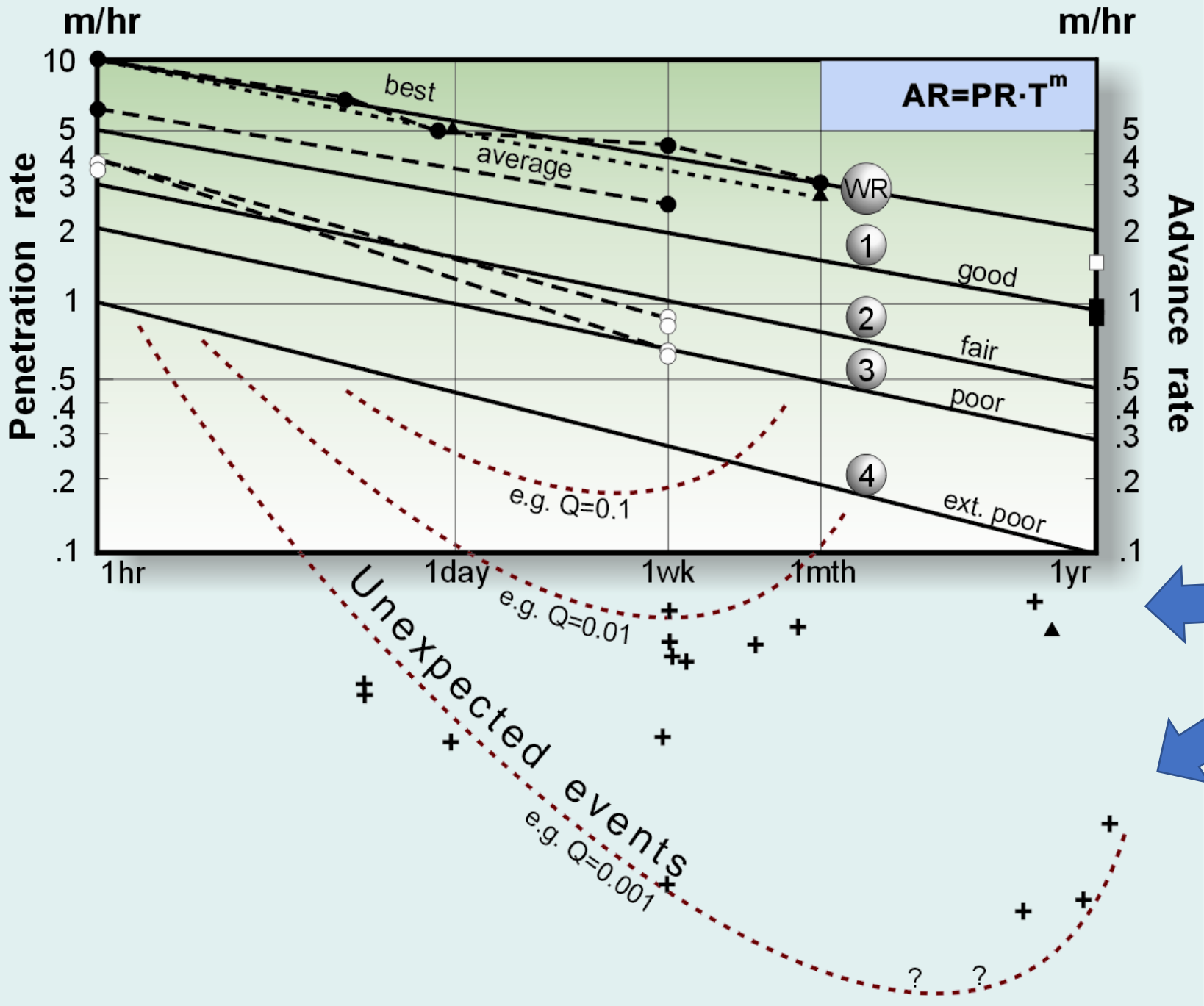
5. TBM DELAYS IN FAULT ZONES

FAULT ZONES ARE UNIQUE CHALLENGES FOR TUNNELLERS IN GENERAL (*and for TBM in particular*) BECAUSE.....



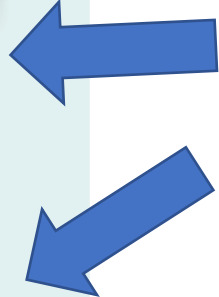
RQD, Jn, Jr, Ja, Jw, SRF.....

all the Q-parameters (*and everybody else's parameters!*) may be adverse, also **TIME + COST**



FAULT ZONES (WITH LOW Q-VALUES) ARE NOT SUPPOSED TO BE 'UNEXPECTED EVENTS'

BUT OFTEN ARE BECAUSE NO PROBE DRILLING, DUE TO THE 'TEMPTATION' OF HIGH-SPEED TBM TUNNELLING



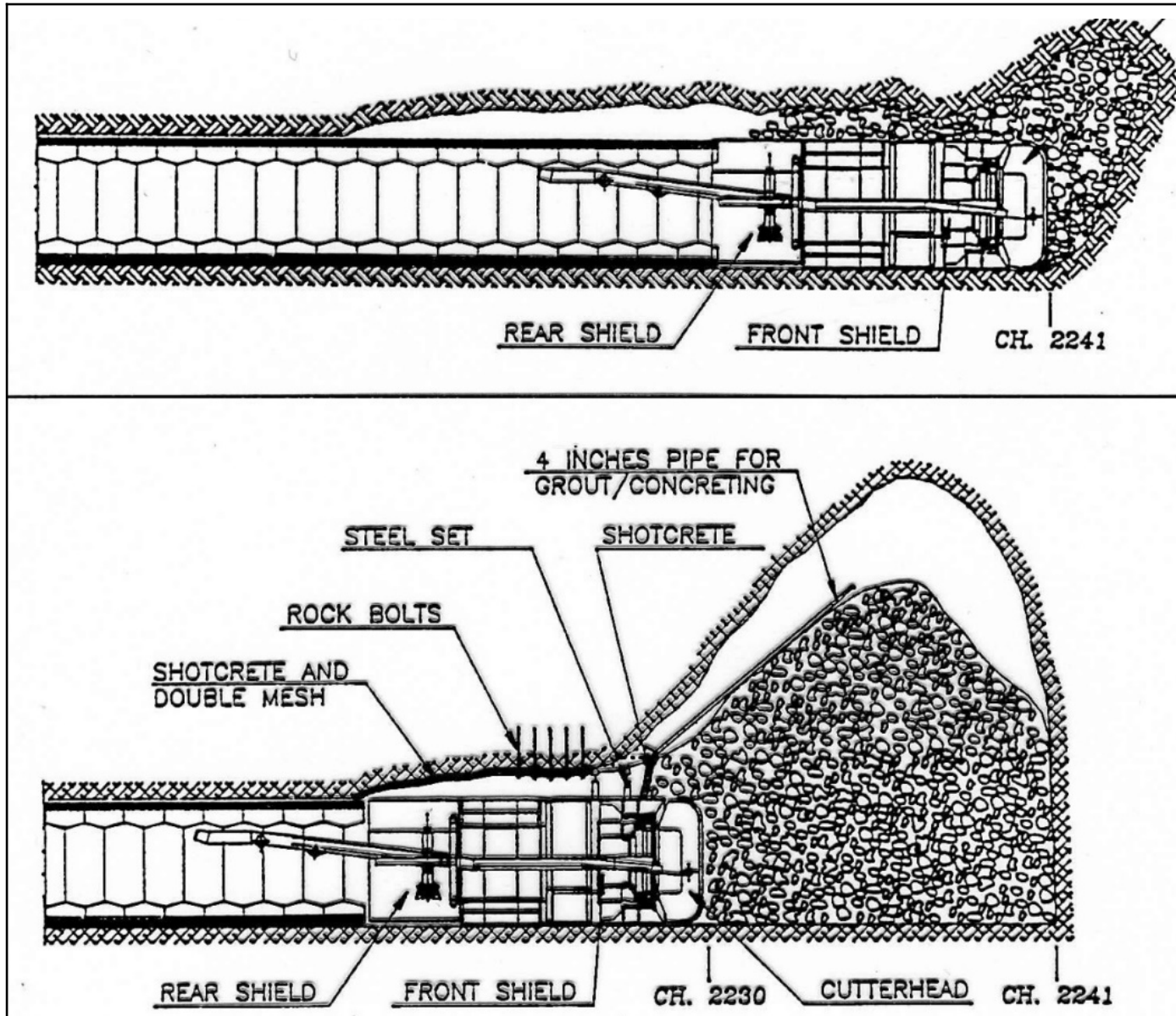
EVINOS-MORNOS WATER TUNNEL, GREECE

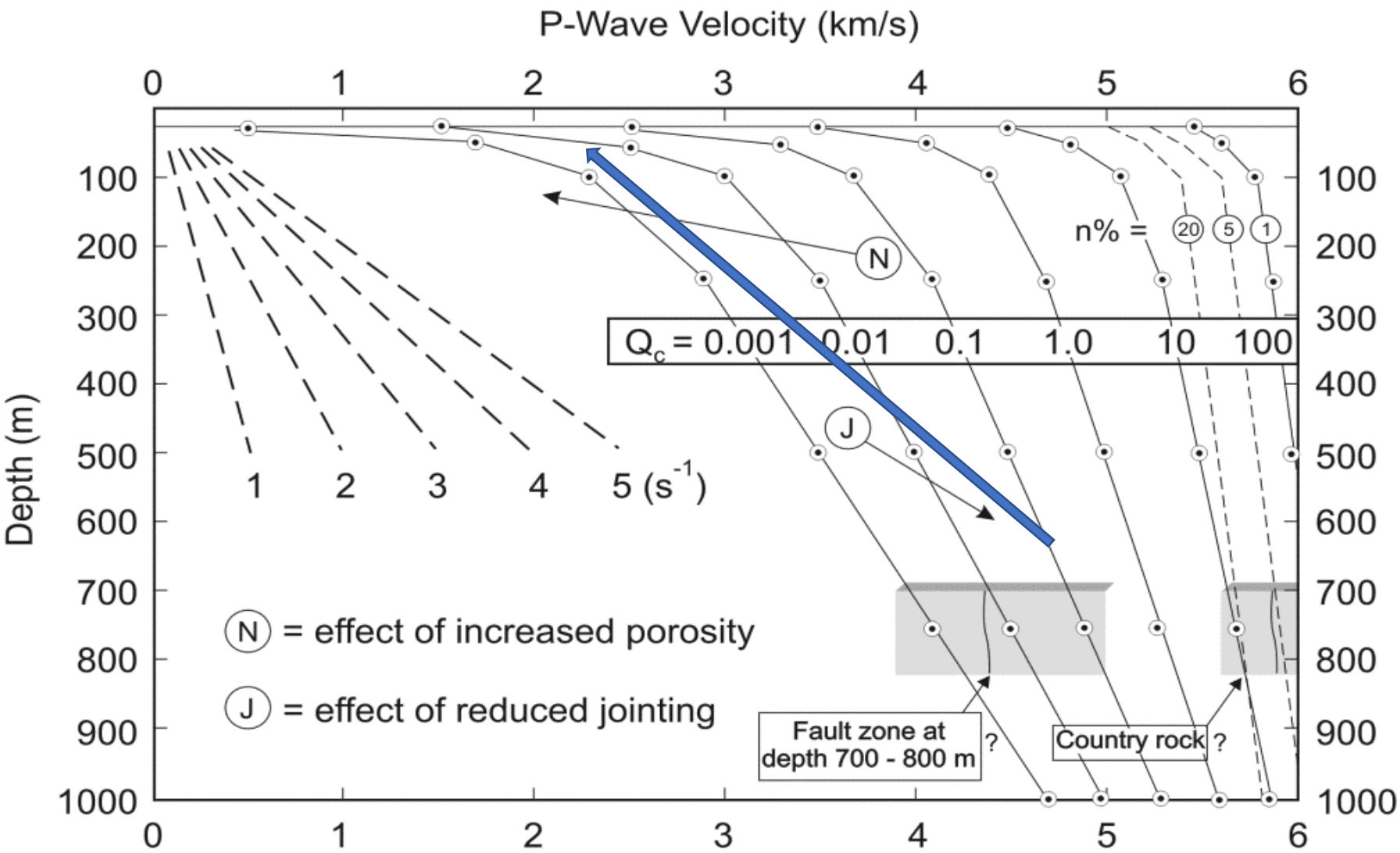
**FAULT ZONES ALSO
CREATE PROBLEMS FOR
DOUBLE-SHIELD TBM**

**– IF ZONE IS NOT PRE-
TREATED (FOLLOWING
PROBE-DRILLING
DISCOVERY)**

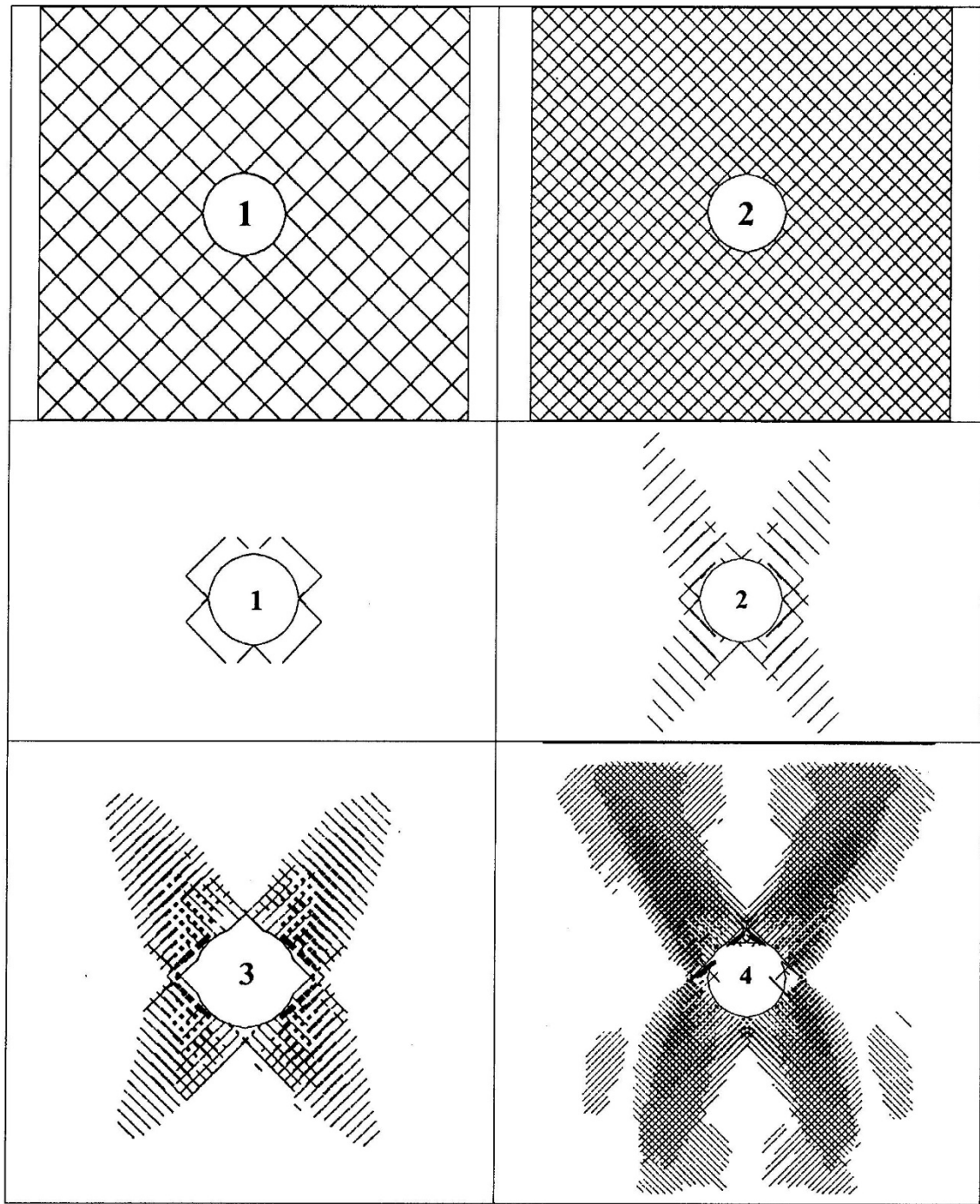
(Grandori et al., 1995).

**LESSON: AVOID
TBM WITHDRAWL**





BECAUSE VELOCITY V_p IS STRESS-DEPENDENT, STRESS RELEASE (BY WITHDRAWING A TBM) HAS AN ADVERSE EFFECT ON PROPERTIES AND STAND-UP TIME (Barton, 2006)



DISTINCT ELEMENT
UDEEC MODELS
SUGGEST POTENTIAL
'TRAUMA' IN
(heavily fractured)
FAULT ZONES

i.e. **DEEP EDZ.**

(Shen and Barton, 1997)

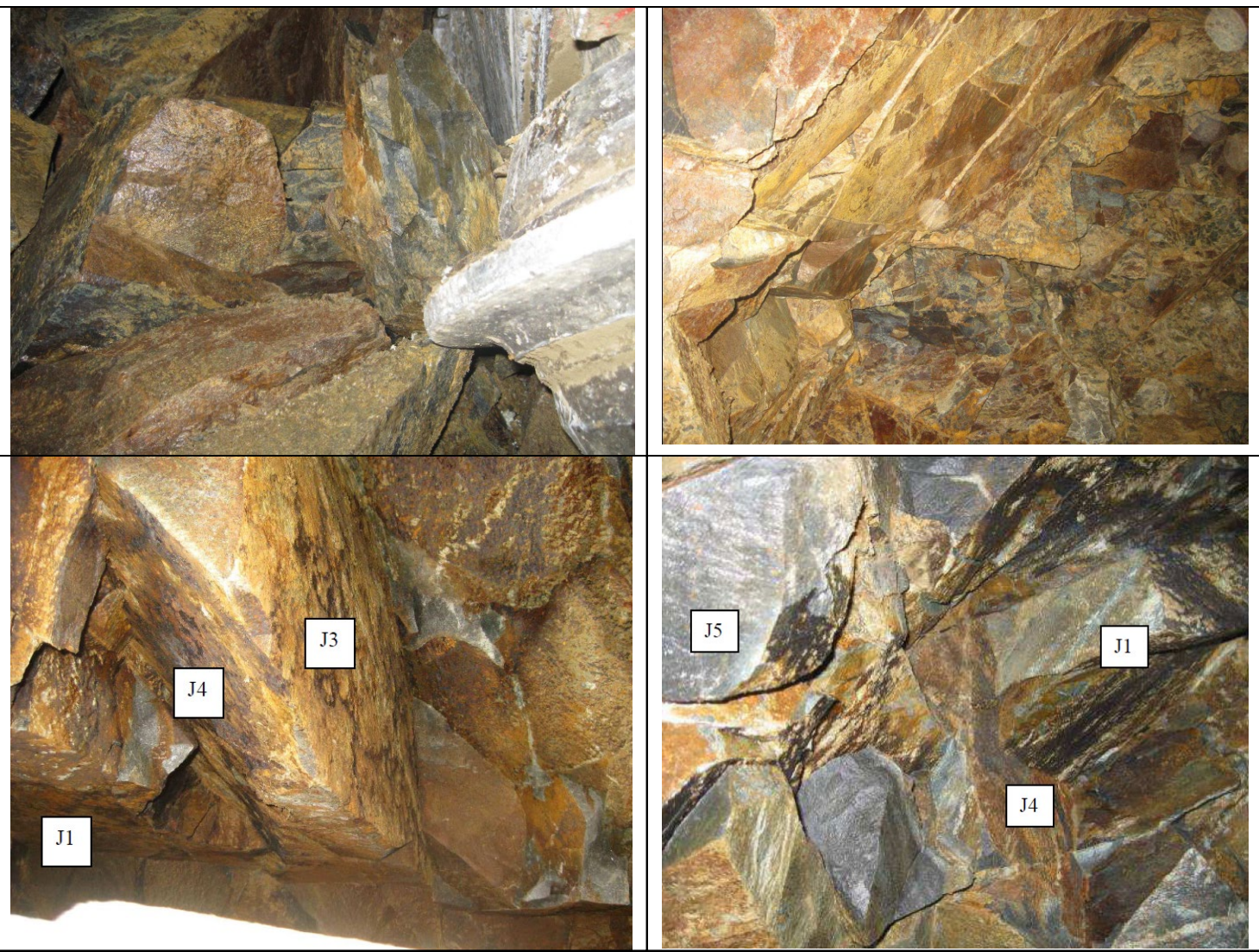
**CHILE MINE TUNNEL
DOUBLE-SHIELD MACHINE
'OVER-EXCAVATED' IN
THIS FAULTED ZONE.**

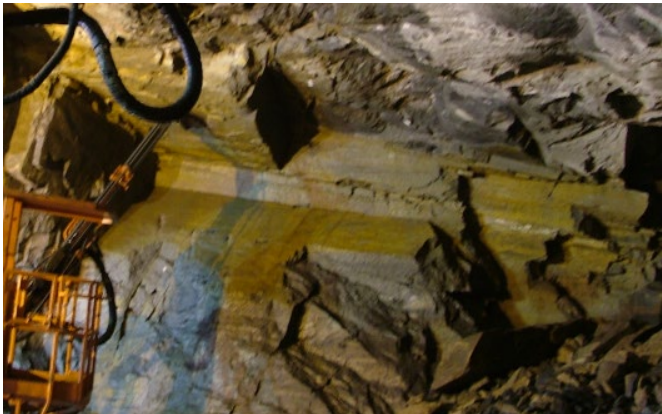
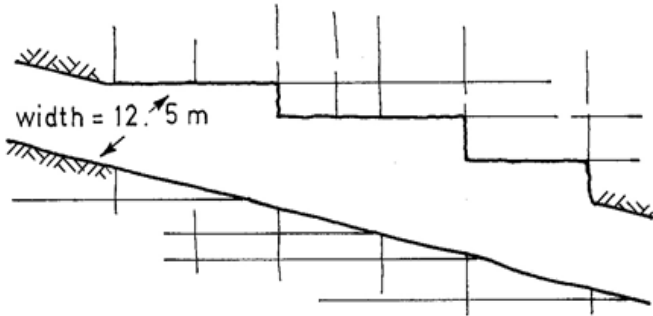
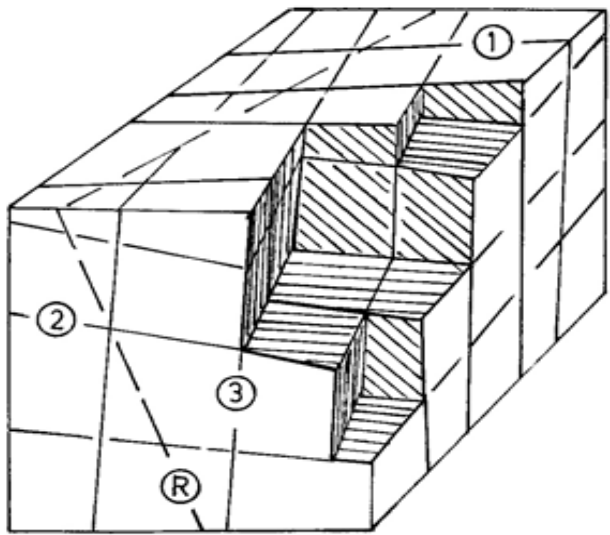
**WHEN $J_n/J_r \geq 6$, OVER-
BREAK OR OVER-BORING
IS LIKELY**

$Q \approx 40/15 \times 1.5/4 \times 1.0/2.5 = 0.4$ 'very poor'

.....(i.e. $J_n/J_r \geq 6$)

(see next screen for
'overbreak' rule from Q)





OVERBREAK (and easier chip/ block formation) with $J_n/J_r \geq 6$

J_n = number of sets
 J_r = roughness

6/1.0 9/1.5
12/2 15/3

(DESPITE FOUR JOINT
SETS, TOO MUCH
ROUGHNESS AND
DILATION)

In photos:
 $J_n/J_r = 9/(1-1.5)$

rough	$J_r = 1.5$
smooth	1.0
slickensided	0.5

PLANAR

rough	$J_r = 3$
smooth	2
slickensided	1.5

UNDULATING

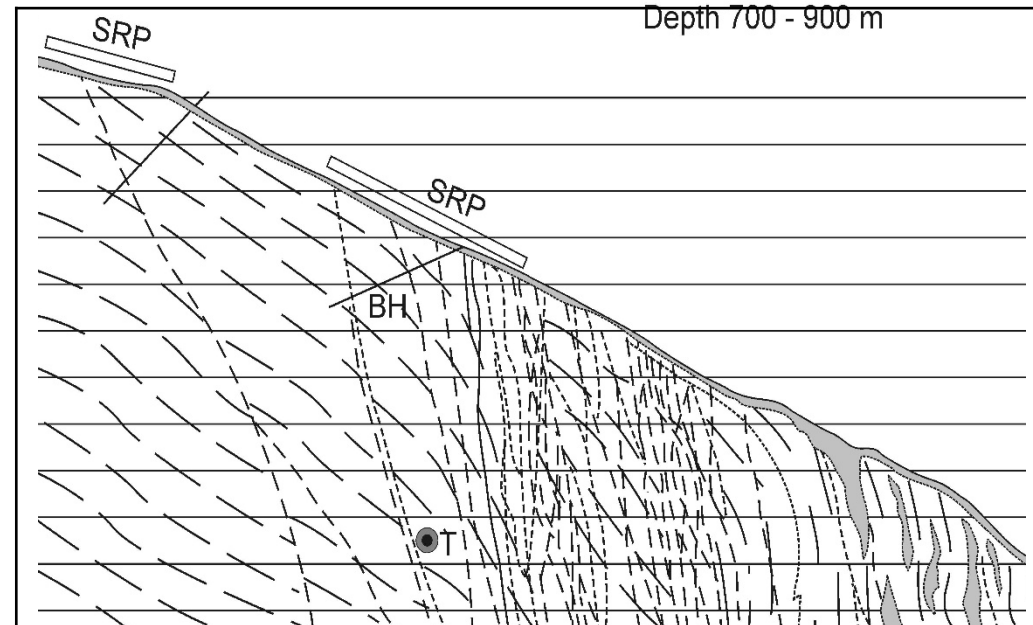


PONT VENTOUX, N.W. ITALY

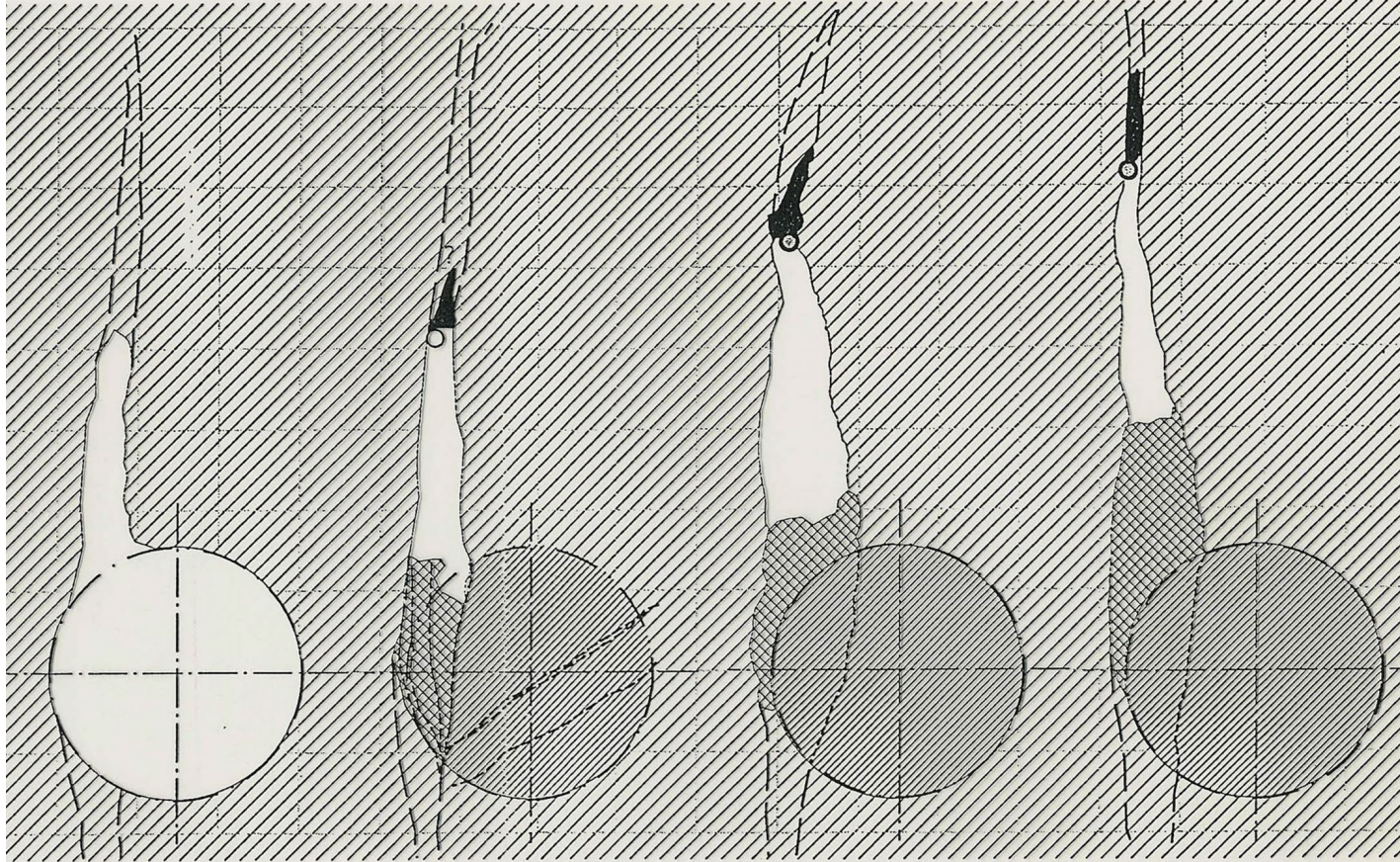
TBM STOPPED BY

MULTIPLE-FAULTS IN
WATER-BEARING SCHISTS.

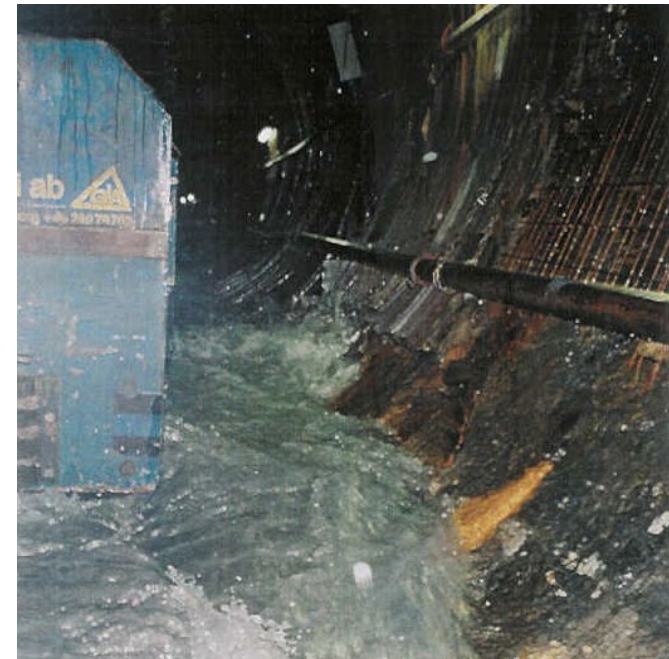
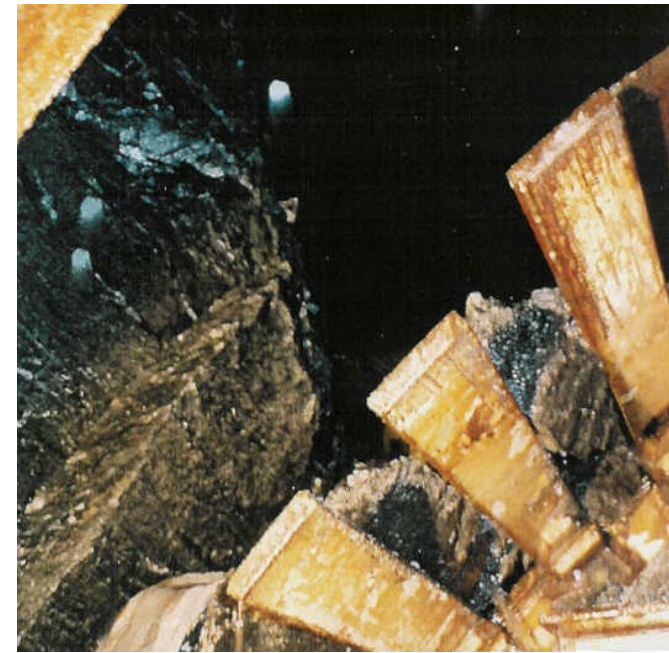
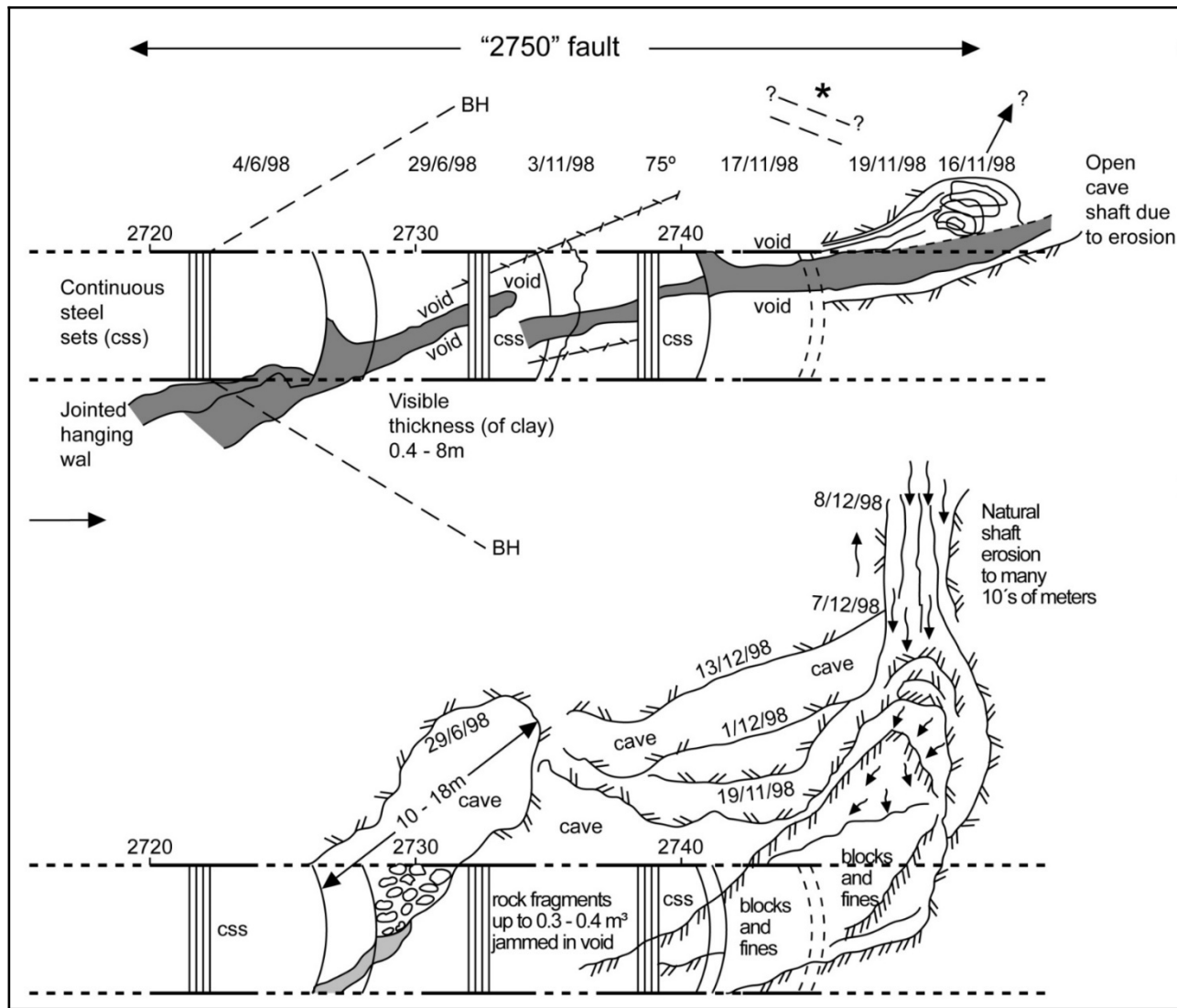
**GEOLOGIC SECTION
DRAWN AFTER TBM
STUCK!**



AN EXAMPLE of PROBLEMS : Fault at 2498-2517m



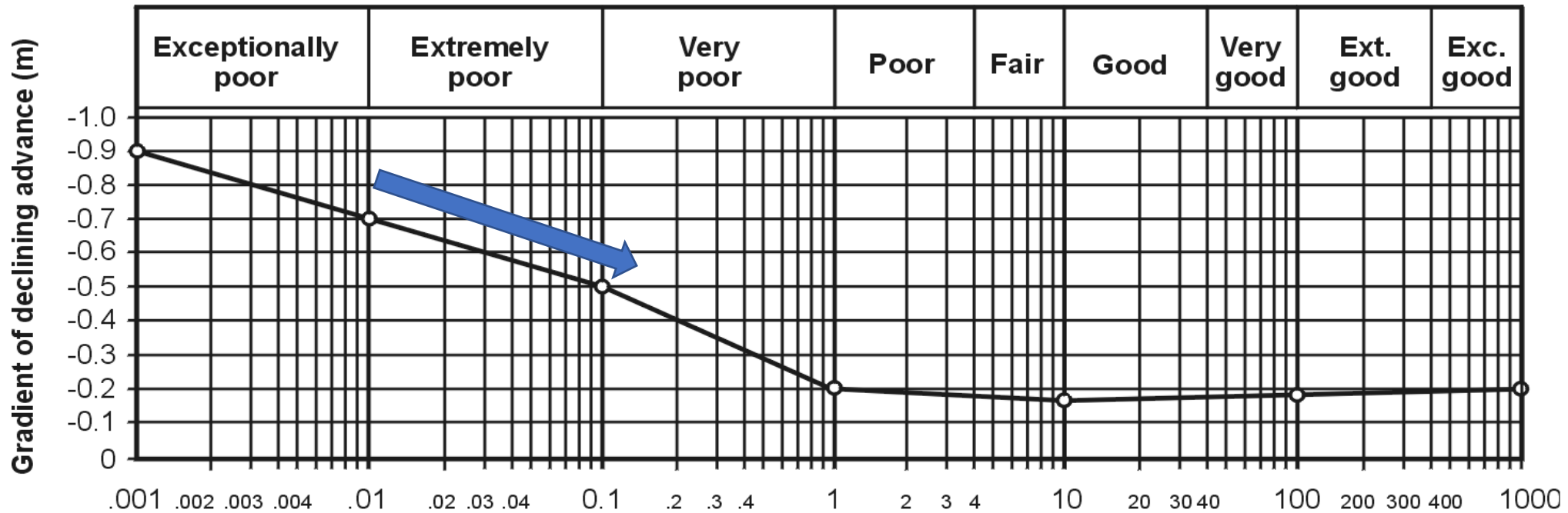
- 1. CLAY COMPROMISES GRIPPERS**
- 2. WATER ERODES SHAFT AND LOOSENS BLOCKS**
- 3. TUNNEL STABILITY REDUCES**
- 4. CUTTER-HEAD REPEATEDLY BLOCKED**



THIS SUB-PARALLEL FAULT DELAYED THE PROJECT 30m/5 months. SHAFT ERODED BY WATER AND FALLING BLOCKS. FINALLY D+B TO COMPLETE. (Figures, photos, Karl G.Holter, NB)EXTREME –m VALUE

6. DECELERATION (-m) ACCENTUATED IN FAULT ZONES

**DECELERATION GRADIENTS (-m) ARE Q-VALUE RELATED: WHEN Q < 1.
 BUT MANY Q parameters CAN BE IMPROVED BY PRE-GROUTING !
 (*improves many Q-parameters, reduces negative -m*)**



$$\text{Rock mass quality } Q = \left(\frac{\text{RQD}}{J_n} \right) \times \left(\frac{J_r}{J_a} \right) \times \left(\frac{J_w}{\text{SRF}} \right)$$

'THEO – EMPIRICAL' REASONS WHY FAULT ZONES ARE SO DIFFICULT FOR TBM.

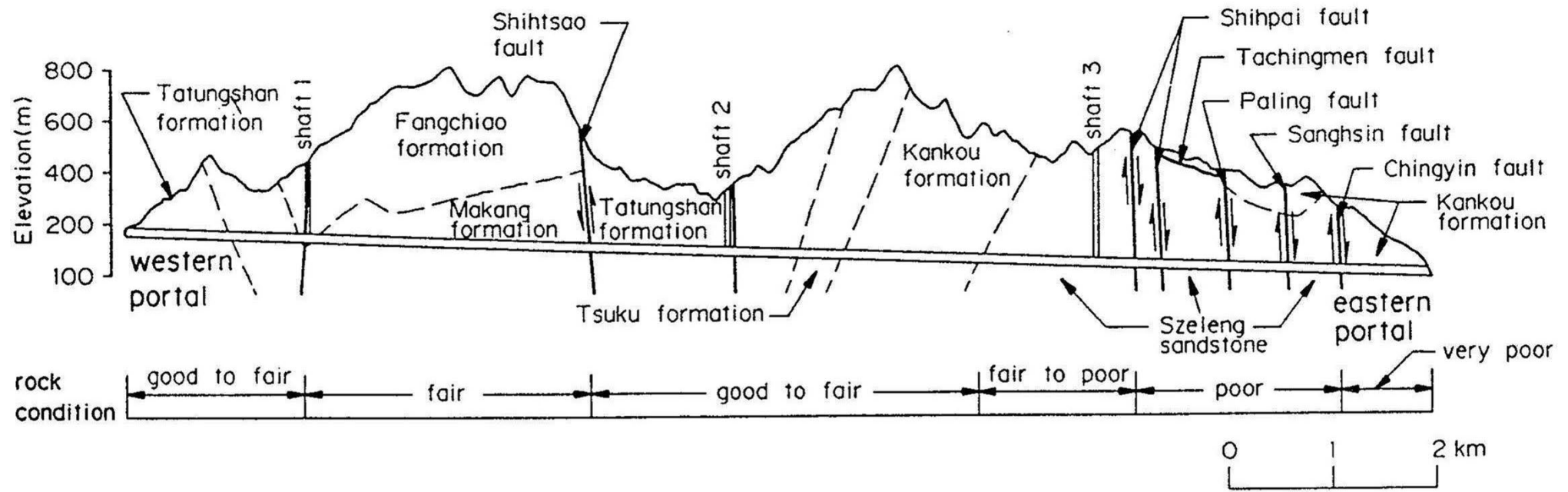
We need three basic equations:

1. $AR = PR \times U$ (all TBM must follow this)
2. $U = T^m$ (decelerating advance rate means time-dependent U)
3. $T = L / AR$ (time for length L depends on AR.....as when walking)

Therefore we have the following:

4. $T = L / (PR \times T^m)$ (from #1, #2 and #3)
5. $T = (L / PR)^{1 / (1+m)}$

VERY important for TBM.....because very *negative* (-)m values make the $1/(1+m)$ *component* TOO LARGE.....time T gets too long (months or years)!

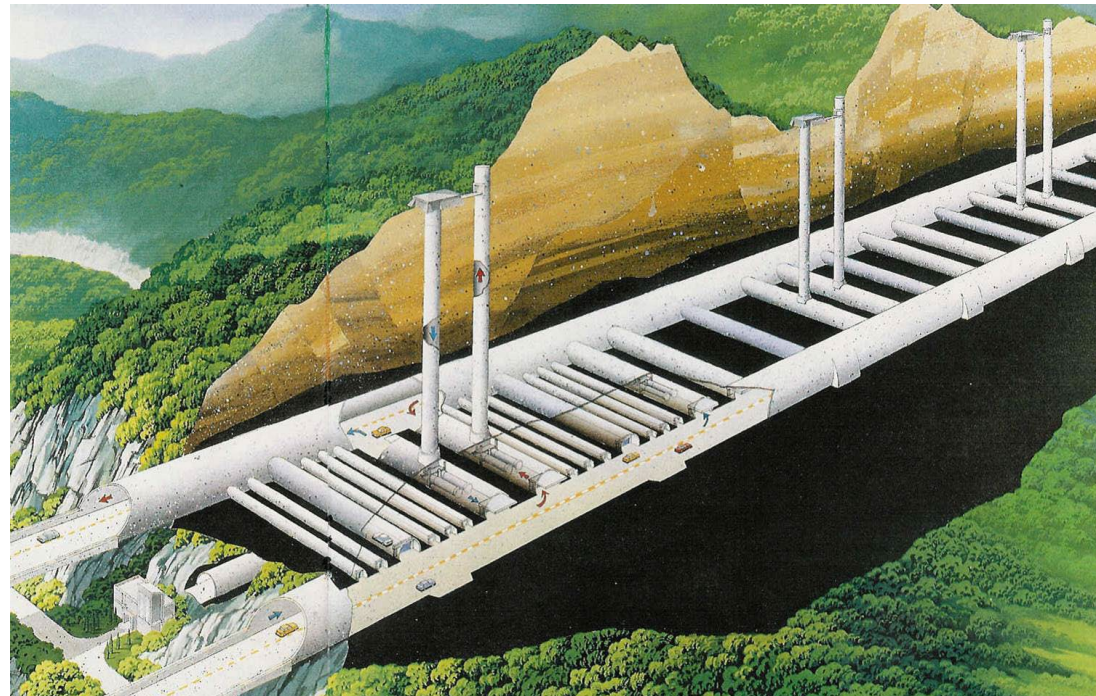


PINGLIN, TAIWAN

FAULT ZONE CHALLENGES.

INITIALLY THREE TBM FROM EASTERN PORTAL.

FINALLY all drill-and-blast.





**PILOT TBM IN CENTRE. BY-PASSED
TO FREE CUTTER-HEAD > 13 TIMES.**

**OFTEN IN FAULTED ROCK
MASS: META-SANDSTONES,
CLAY-COATINGS, WATER.**

**DIFFICULTIES TO DRILL (AND
INSERT PACKERS) INTO PRE-
INJECTION HOLES.**

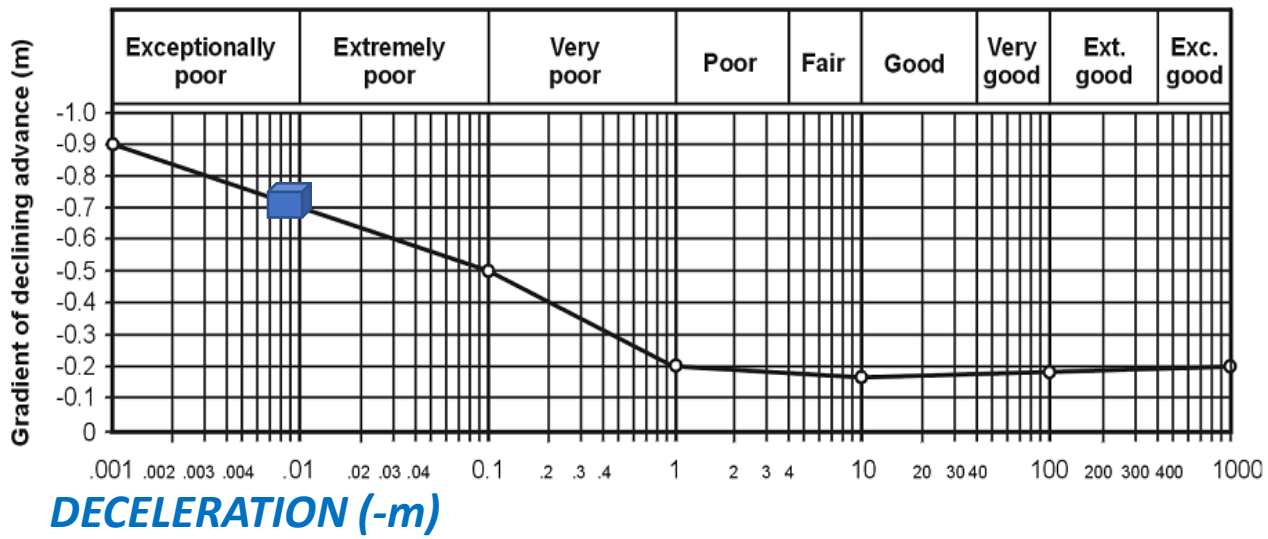


TBM, dia. 11.74 m

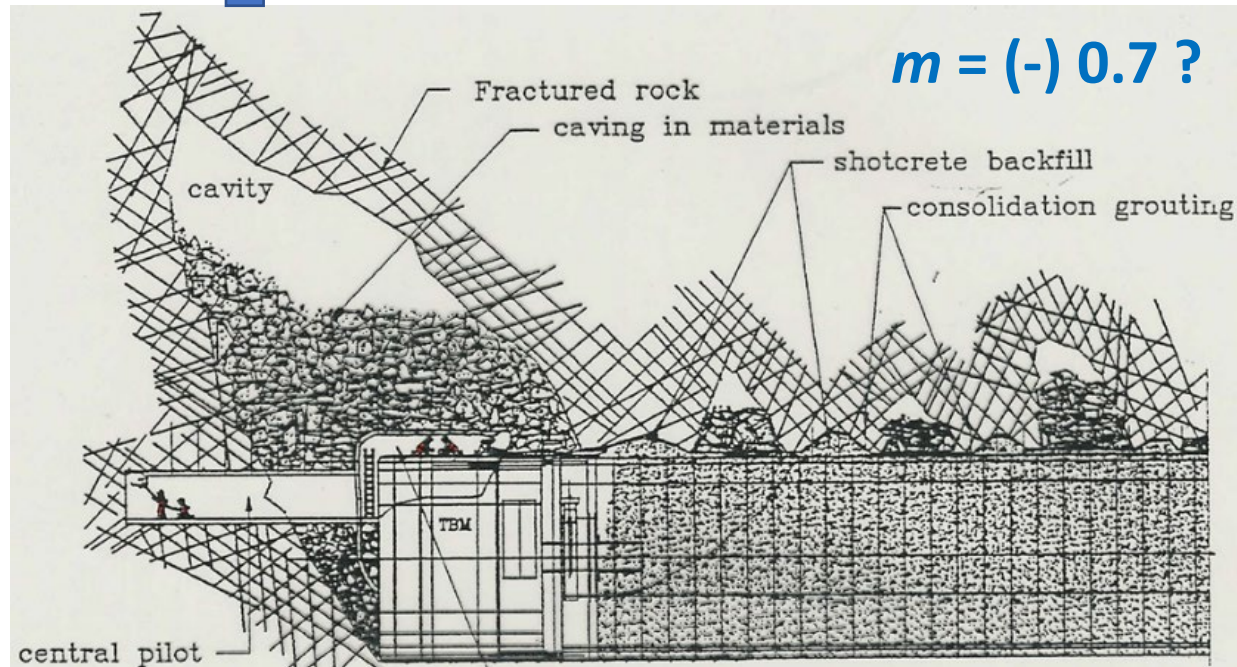
*Two giants for the
Pinglin project
made by WIRTH,
the specialist for
tunnelling machines*

WIRTH

Maschinen- und Bohrgeräte-Fabrik GmbH
Postfach 1327 • D-41803 Erkelenz
Tel. +49 2431 83-0 • Fax +49 2431 83267



Rock mass quality $Q = \left(\frac{RQD}{J_n}\right) \times \left(\frac{J_r}{J_a}\right) \times \left(\frac{J_w}{SRF}\right)$



Shen et al. 1999

1. $AR = PR \times U$
(All TBM must follow this).

2. $U = T^m$
(Reducing utilization with time,
time T must always be quoted!)

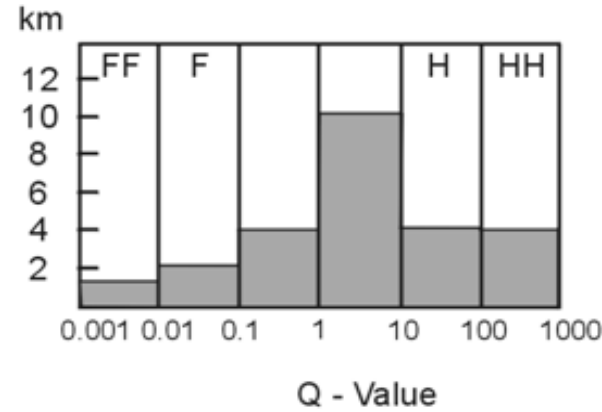
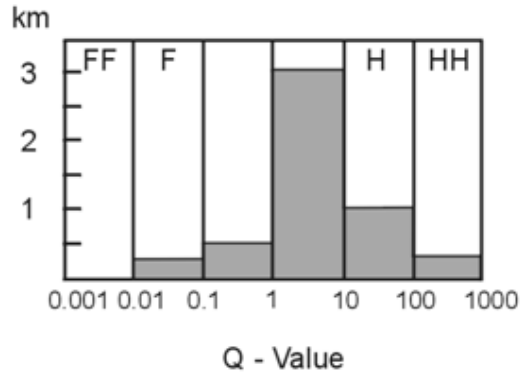
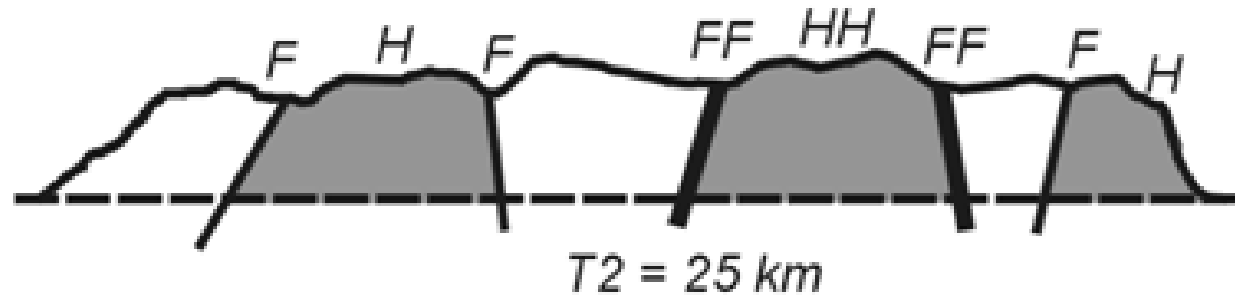
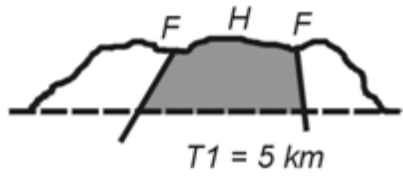
3. $T = L / AR$
Time T for advancing length L.
(Also applies to walking!)

4. $T = (L/PR)^{1/(1+m)}$
THIS IS (-ve) !!

➤ $1/(1+m) = 1/(1-0.7) = 1 / 0.3 = 3.3!$

7. IS IT CORRECT TO USE TBM: *'BECAUSE THE TUNNEL IS SO LONG'*?

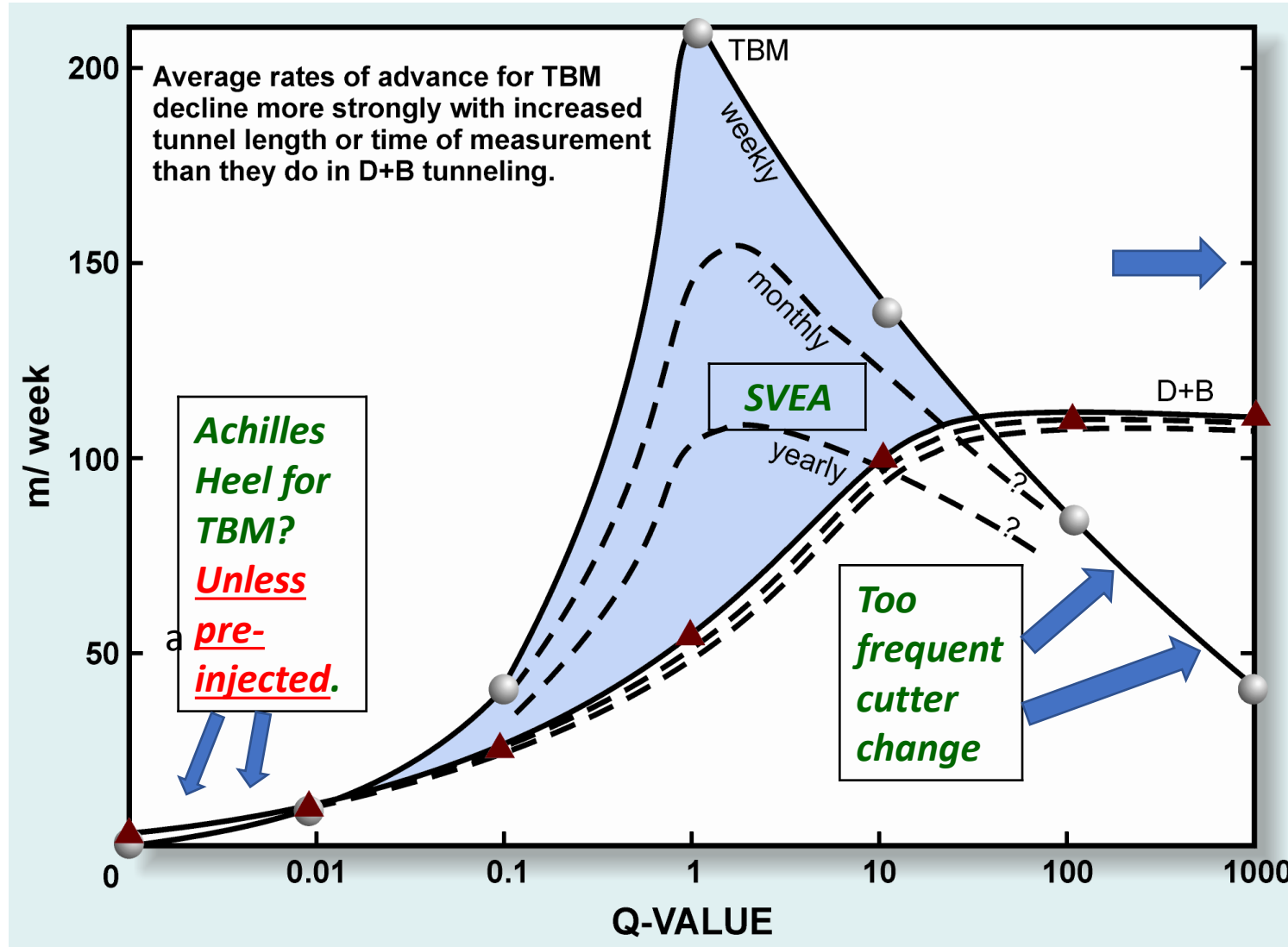
8. IS IT CORRECT TO USE TBM: *'BECAUSE ROCK CONDITIONS WILL BE SO BAD'*?



5 km, better investigated, fewer 'extremes', lower cover – probably.

25 km, much less investigated, maybe many 'extremes'

CENTRAL Q-VALUES AND Q_{TBM} VALUES BEST FOR TBM. TAIL-DISTRIBUTIONS (of Q) ARE 'faster' WITH D+B !



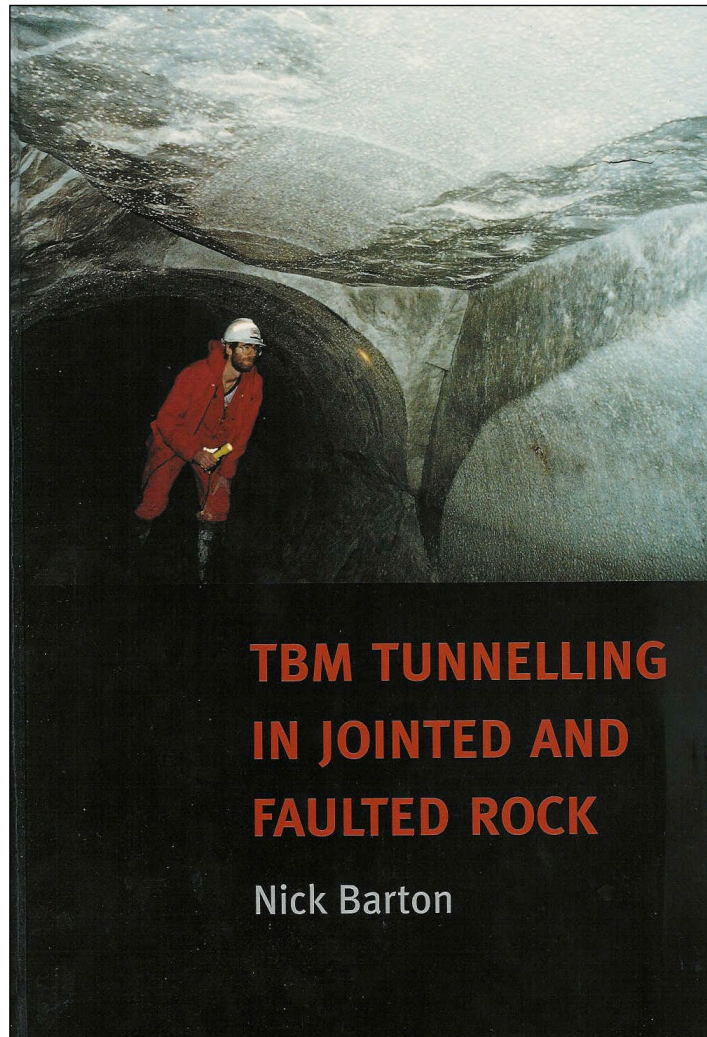
Record for drill-and-blast:

150m/BEST week (SVEA)

Whole project 104 m/week average, 5.8 km

9. Q_{TBM} PROGNOSIS DEVELOPMENT: Q WITH MACHINE-ROCK INTERACTION

DEVELOPMENT of Q_{TBM} (extra parameters appended to Q). Analysis of case records TOOK SIX MONTHS, WHILE WRITING THIS BOOK AND THE FIRST ARTICLE, both in 1999.



TBM performance estimation in rock using Q_{TBM}

Nick Barton, Technical Adviser, NGL, Norway, Visiting Professor at the University of São Paulo, Brazil, has developed a new method for predicting penetration rate (PR) and advance rate (AR) for TBM tunnelling. This method is based on an expanded Q-system of rock mass classification and average cutter force in relation to the appropriate rock mass strength. Orientation of fabric or joint structure is accounted for, together with the compressive or point load (tensile) strength of the rock. The abrasive or non-abrasive nature of the rock is incorporated via the University of Trondheim cutter life index (CLI). Rock stress level is also considered. The new parameter Q_{TBM} can be estimated during feasibility studies, and can also be back calculated from TBM performance during tunnelling.

TBM tunnelling may give extremes of 15km/year and 15m/year, sometimes even less. The expectation of fast tunnelling places great responsibility on those evaluating the geology and hydrogeology along a planned tunnel route. When rock conditions are reasonably good, a TBM may be two to four times faster than drill-blast. The problems lie in the extremes of rock mass quality, which can be both too bad, as in Fig 1, and too good (no joints), where alternatives to TBM methods may be faster.

There has been a long-standing challenge to develop a link between rock mass characterisation and essential machine characteristics such as cutter load and cutter wear, so that surprising rates of advance (or slowness) become the expected rates. Even from a 1967 TBM tunnel Robbins' could report 7.5km of advance in shale during four record breaking months. Yet, earlier in the same project, 270m of unexpected glacial debris had taken nearly seven months. Advance rates (AR) of 2.5m/h that can decline to 0.05m/h in the same project need to be explained by a quantitative rock mass classification.

A penetration rate (PR) pushing 10m/h for short periods is so different from an advance rate through a major regional fault zone as slow as 0.005 m/h that a large range of quality seems to be required. The new parameter Q_{TBM} can range over 12 orders of magnitude but each end of the scale is exceptionally unfavourable for progress and project economy.


Fig 1. The challenge of faulted rock is still causing big delays in TBM tunnelling and needs quantifying!

30

Tunnels & Tunnelling International SEPTEMBER 1999

THE Q_{TBM} MODEL FOR TBM PROGNOSIS

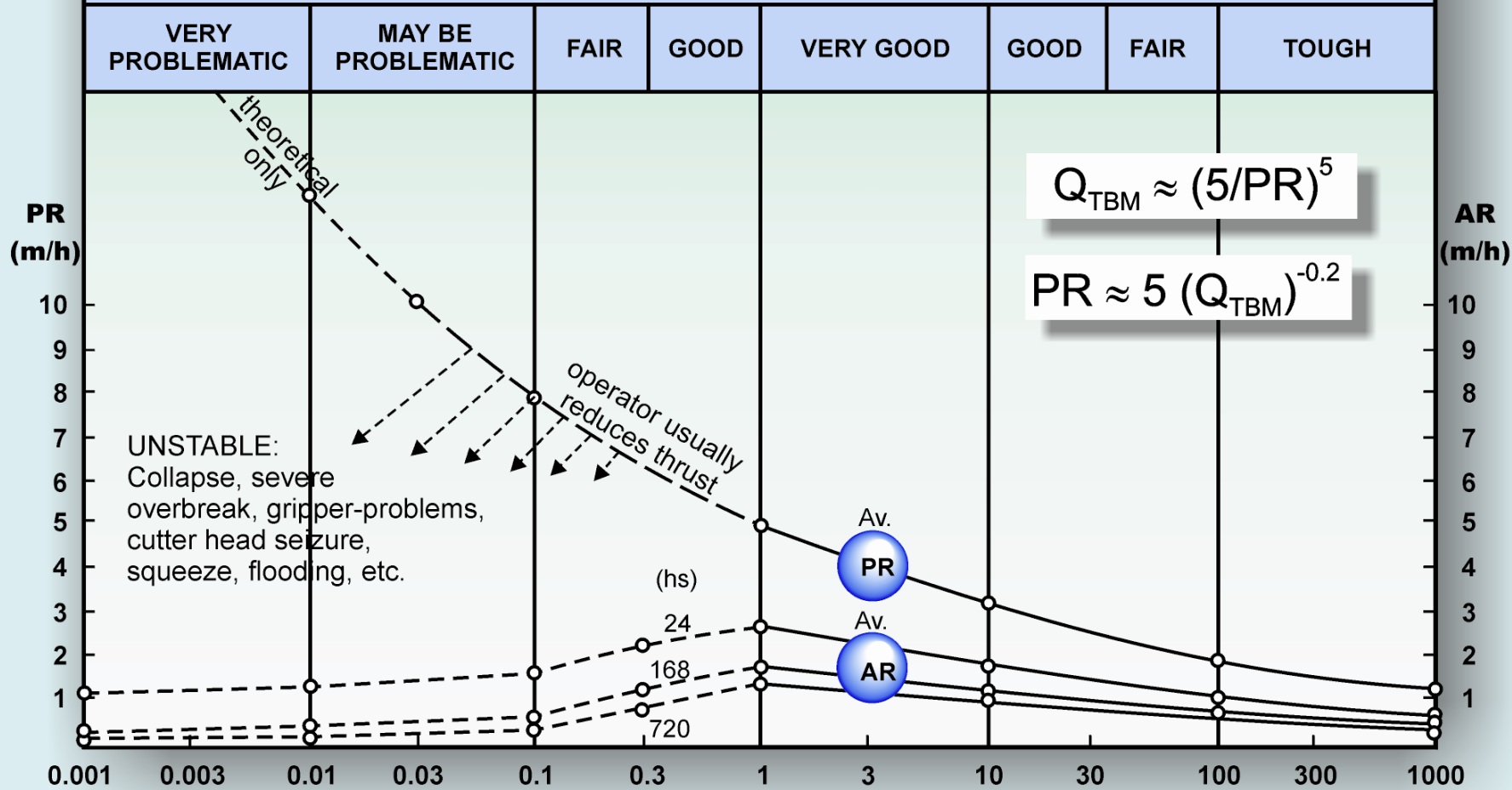
involves Q , and machine/rock interaction 'normalizations'

$$Q_{TBM} = \frac{RQD_o}{J_n} \times \frac{J_r}{J_a} \times \frac{J_w}{SRF} \times \frac{SIGMA}{\left(F^{10}/20^9\right)} \times \frac{20}{CLI} \times \frac{q}{20} \times \frac{\sigma_\theta}{5}$$


$$SIGMA \approx 5 \gamma Q_c^{1/3}$$

$$PR \approx 5 Q_{TBM}^{-1/5}$$

Relative difficulty of ground for TBM use



$$Q_{TBM} \approx (5/PR)^5$$

$$PR \approx 5 (Q_{TBM})^{-0.2}$$

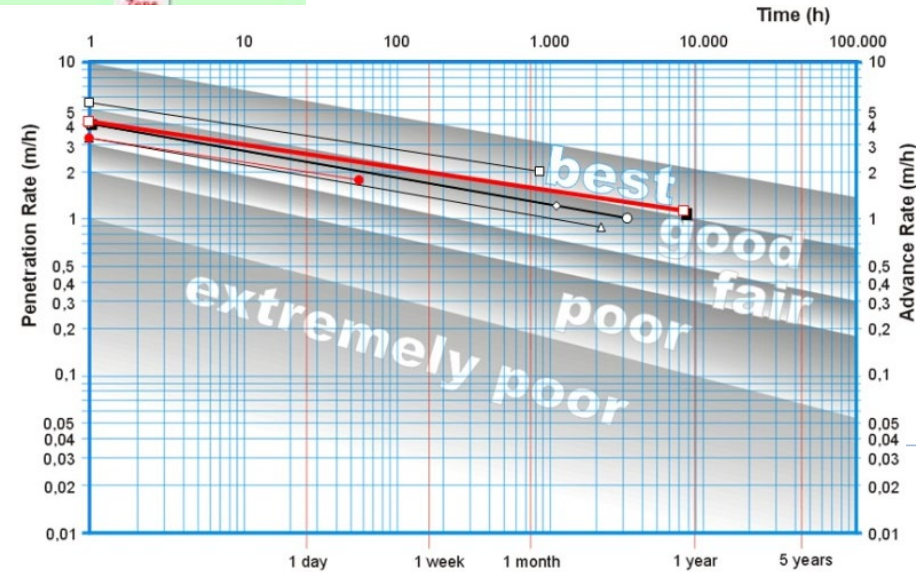
$$Q_{TBM} = \frac{RQD_o}{J_n} \times \frac{J_r}{J_a} \times \frac{J_w}{SRF} \times \frac{SIGMA}{F^{10}/20^9} \times \frac{20}{CLI} \times \frac{q}{20} \times \frac{\sigma_\theta}{5}$$

THE QTBM EQUATION WAS DEVELOPED BY TRIAL AND ERROR.

MOST 'ADDITIONS' TO Q-PARAMETERS ARE 'NORMALIZED BY CENTRAL VALUES'



THE THREE Q_{TBM} SCREENS (DETAILS SHOWN NEXT) DEVELOPED FROM NB EQUATIONS BY Ricardo Abrahão, RA Geociencias



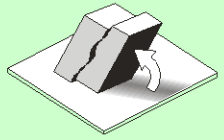
- zone 1
- zone 2
- zone 3
- zone 4
- zone 5
- zone 6
- zone 7
- zone 8
- zone 9
- zone 10
- zone 11

Nick Barton & Associates
 Q-TBM
 Contract Site Date SRK / ANGLO-AMERICAN - CHILE LOS BRONCES 19-Oct-07

INPUT DATA																					
ZONE	LITHOLOGY	RQD	J ₁	J ₂	J ₃	J ₄	SRF	m _s	RQD _s	γ	β°	c ₁	i ₁	F	CLI	q	c ₂	D	n	L	V _p
1	CUARZOMONZONITA	32.00	6.10	1.70	2.10	0.32	0.30	-0.17	32.00	2.80	60.00	200.00	10.00	27.50	10.00	15.00	4.50	2.00	3,150.00	0.00	0.00
2	ANDESITA	71.00	11.60	1.60	2.60	0.75	1.30	-0.13	71.00	2.80	60.00	150.00	7.70	22.50	55.00	10.00	25.00	4.50	2.00	1,700.00	0.00
3	PORFIDO RIODACITIC	31.00	5.50	1.50	2.30	0.32	1.00	-0.17	31.00	2.80	60.00	200.00	10.00	27.50	10.00	10.00	25.00	4.50	2.00	1,300.00	0.00
4	BRECHA TURMALINA	85.00	5.30	1.70	2.00	0.32	1.20	-0.17	85.00	2.80	60.00	150.00	7.50	22.50	10.00	10.00	25.00	4.50	2.00	1,850.00	0.00
5	BRECHA-CLORITAI-BI	31.00	6.30	1.80	2.10	0.33	1.10	-0.17	31.00	2.80	60.00	125.00	6.25	22.50	25.00	10.00	20.00	4.50	2.00	100.00	0.00
6																				0.00	0.00
7																				0.00	0.00
8																				0.00	0.00
9																				0.00	0.00
10																				0.00	0.00
11																				0.00	0.00

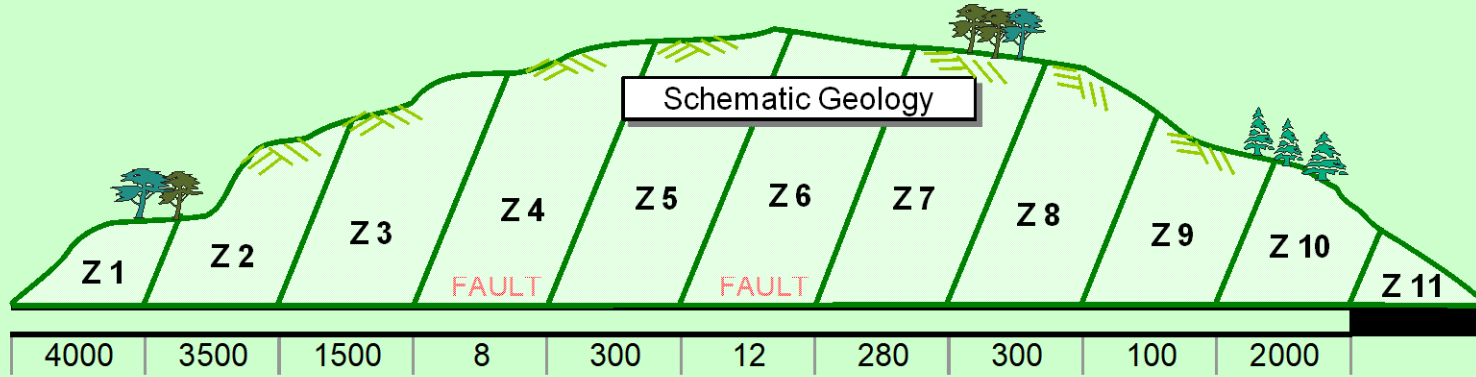
BASIC CALCULATION										
ZONE	LITHOLOGY	STABILITY		ORIENTED		ROCK MASS STRENGTH			Q	GRADIENT
		G	QD	Qc	QT	SIGMA _{1c}	SIGMA _{1T}	SIGMA _{3c}		
1	CUARZOMONZONITA	12.48	12.48	24.36	31.20	40.31	44.07	40.31	3.17	-0.17
2	ANDESITA	2.26	2.26	3.33	4.35	21.03	22.85	21.03	0.67	-0.15
3	PORFIDO RIODACITIC	8.56	8.56	11.12	14.40	36.08	38.81	36.08	3.20	-0.17
4	BRECHA TURMALINA	11.63	11.63	16.34	21.17	35.32	39.72	35.32	6.12	-0.17
5	BRECHA-CLORITAI-BI	11.16	11.16	13.35	17.43	33.70	36.30	33.70	3.26	-0.15
6									0.00	0.00
7									0.00	0.00
8									0.00	0.00
9									0.00	0.00
10									0.00	0.00
11									0.00	0.00

PERFORMANCE										
ZONE	LITHOLOGY	PENETRATION		TIME TO ADVANCE		OVERALL PERFORMANCE				
		PR	AP	T	check	ΣL	ΣT	h	h	
1	CUARZOMONZONITA	3.37	0.93	3,186.25	3,150.00					
2	ANDESITA	5.42	1.38	858.23	1,700.00					
3	PORFIDO RIODACITIC	3.36	1.13	1,035.75	1,300.00	8,100.00	7,336.26	4.10		
4	BRECHA TURMALINA	3.24	0.87	2,138.68	1,850.00					
5	BRECHA-CLORITAI-BI	3.20	1.74	57.35	100.00					
6		0.00	0.00	0.00	0.00					
7		0.00	0.00	0.00	0.00					
8		0.00	0.00	0.00	0.00	8.10	10.19			
9		0.00	0.00	0.00	0.00			month		
10		0.00	0.00	0.00	0.00			1.10		
11		0.00	0.00	0.00	0.00					



Nick Barton & Associates

Q TBM



ZONE 10

LITHOLOGY

QUARTZ MONZONITE

ZONE LENGTH

2,000

INPUT DATA

RQD	J_n	J_r	J_a	J_w	SRF	$-m_1$	RQD ₀	γ (g/cm ³)
100.0	4.0	3.0	1.0	1.00	1.0	-0.18	100.0	2.8

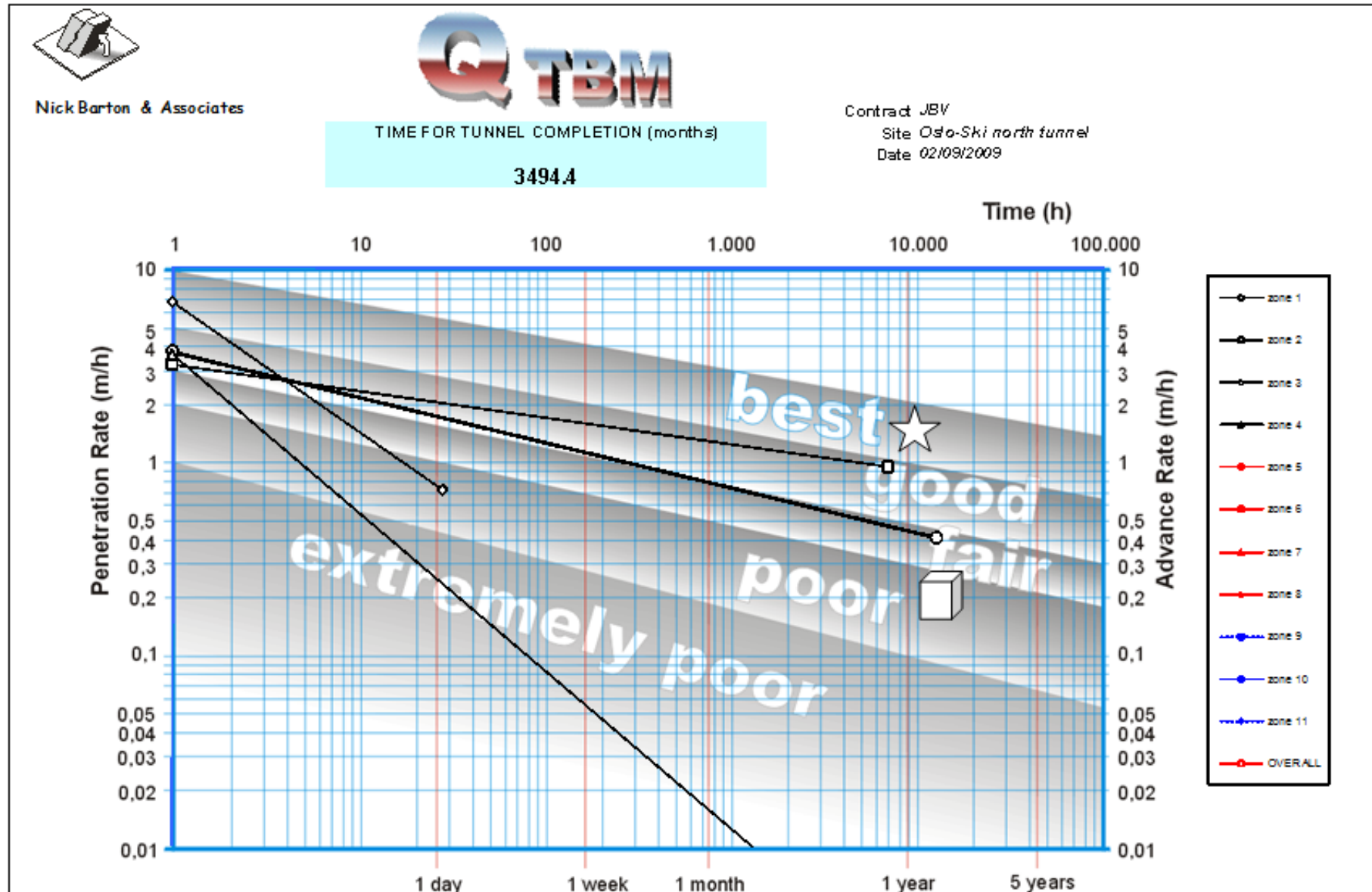
V_P (km/s)

β°	σ_c (MPa)	I_{50} (MPa)	F (tf)	CLI	q (%)	σ_θ (MPa)	D (m)	n (%)
60.0	250.0	15.0	31.0	4.0	24.0	15.0	8.0	1.0

TYPICAL
INPUT DATA
SCREEN

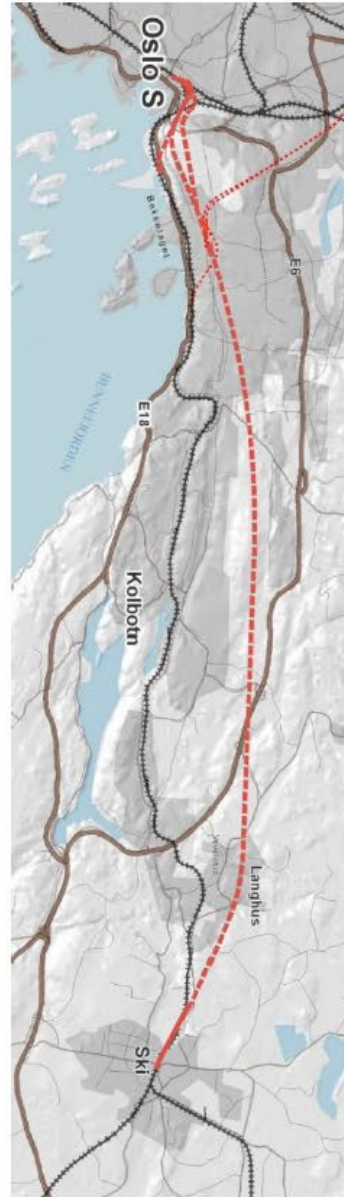
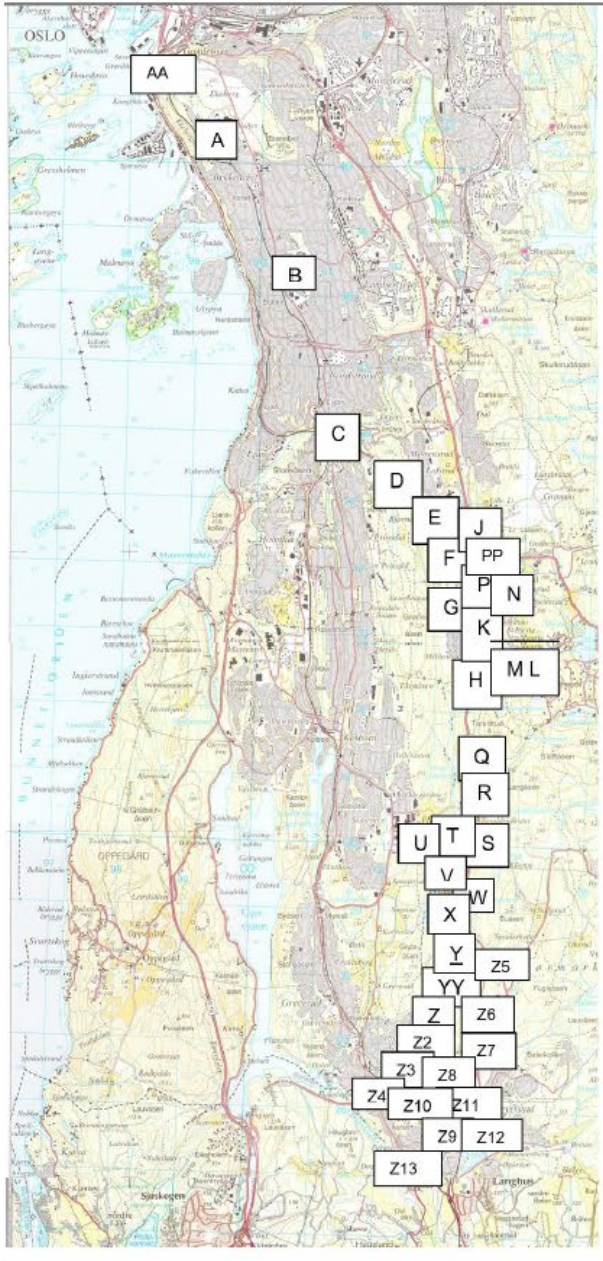
(assumed Q
and Q_{tbm}
data is
shown for
Z10)

Example of single-shield (☐) and double-shield (★) ($F = 28$ or 26 tnf).
(Note: untreated major fault (LOWEST LINE) stops TBM 'for ever' (290yr in simulation))

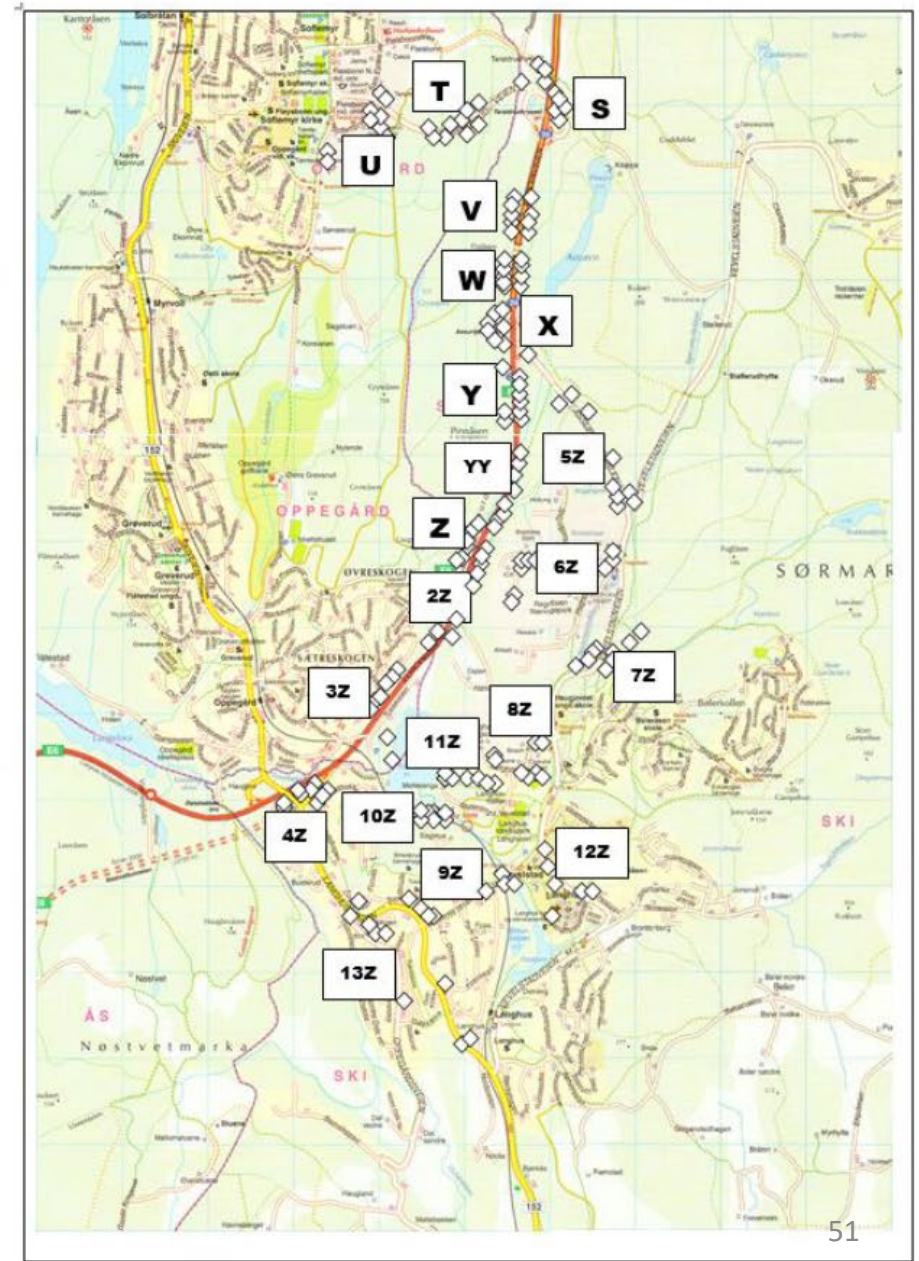


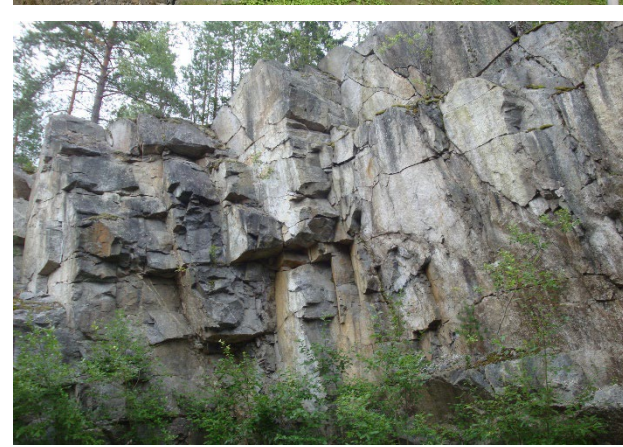
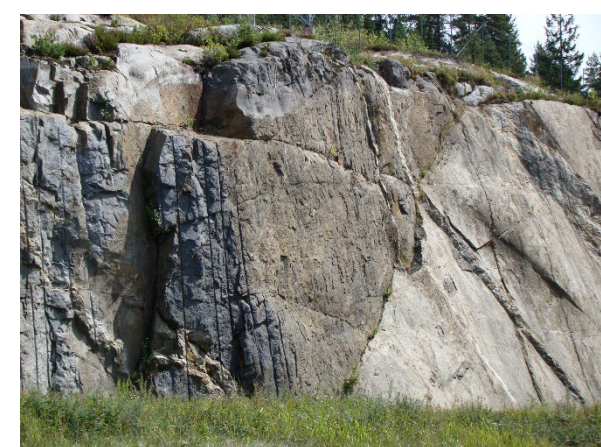
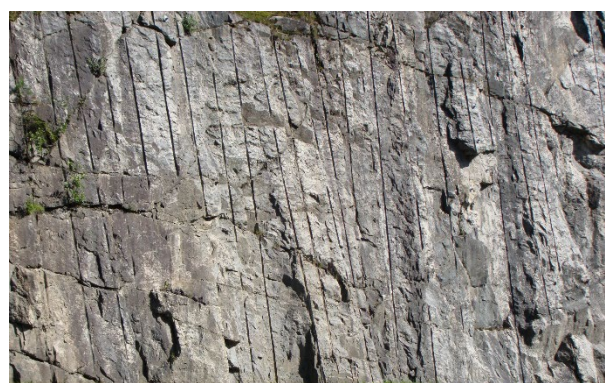
10. APPLICATION OF Q_{tbm} on FOLLOBANEN

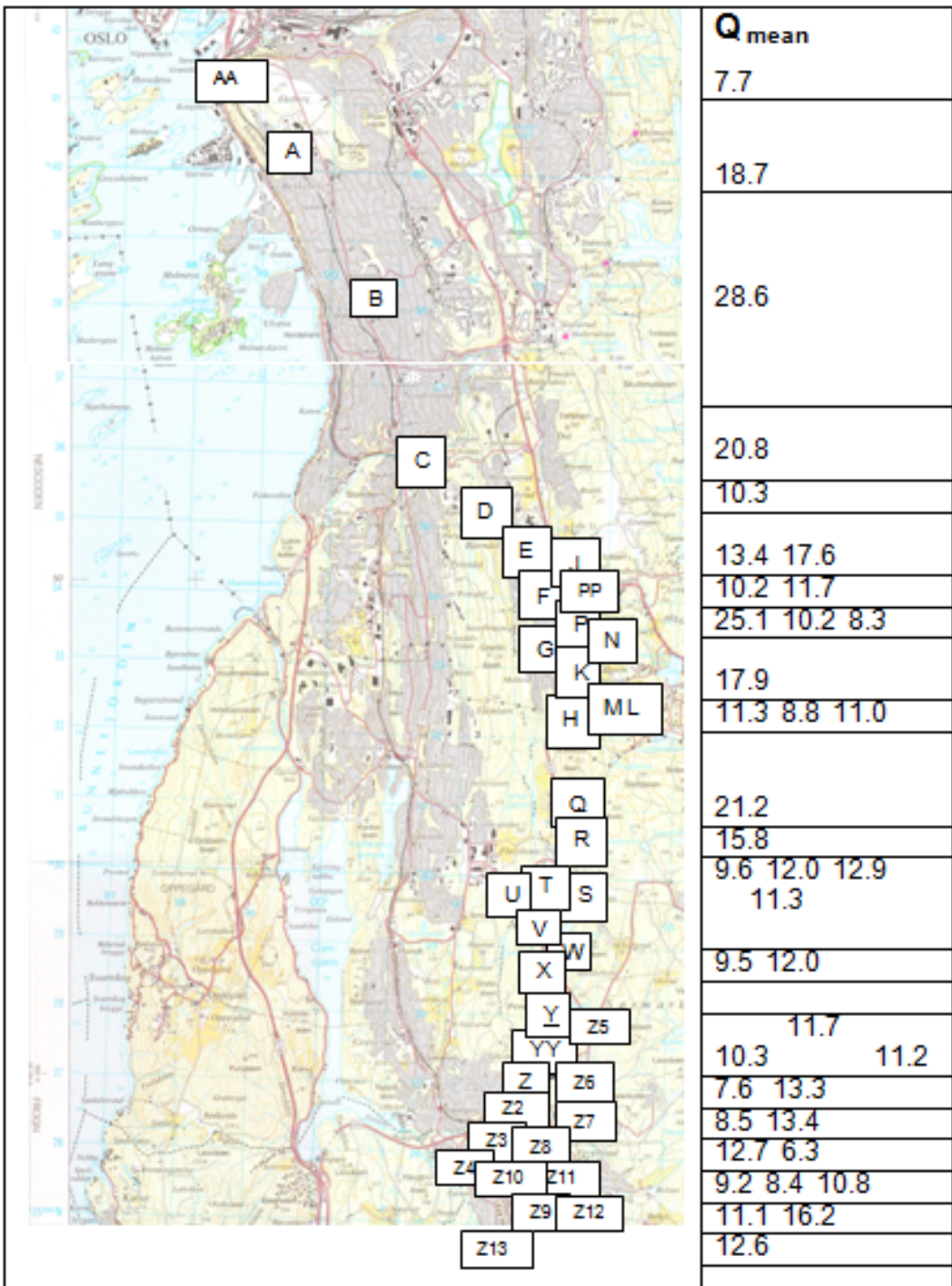
FOLLO.....330 rock cuttings Q-logged in 3 weeks in 2009



MORE EXPOSURES IN SOUTH. SOME VARIABILITY DUE TO 'WIDTH'





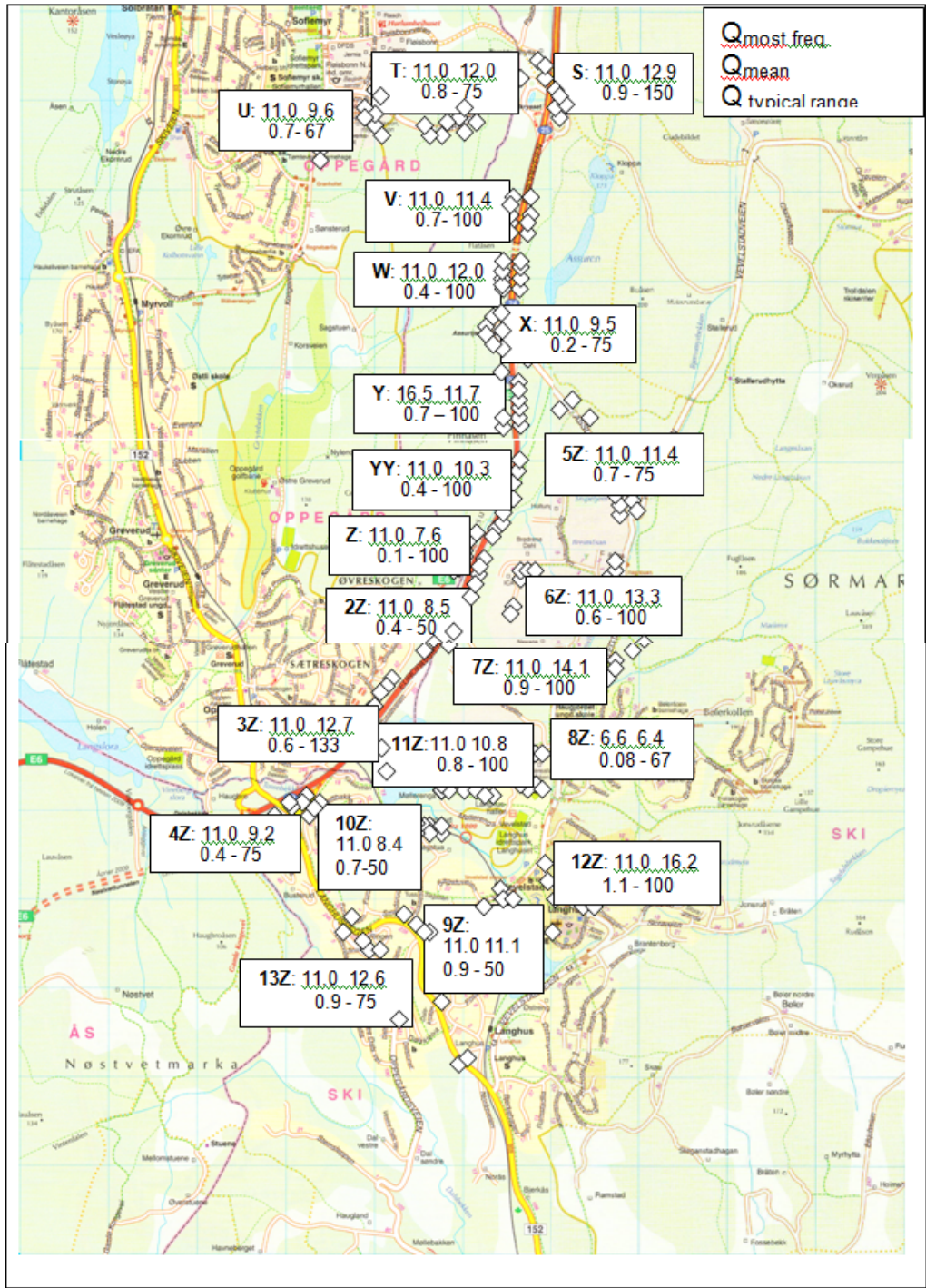


SUMMARY OF mean Q-VALUES FOR 330 ROCK CUTTINGS (nine-per-box) FOR BOTH TUNNELS

NOTE: CUTTINGS (EXPOSURES) GIVE ROCK MASS Q-CLASSES 1 TO 5

WEAKNESS ZONES / FAULTS GIVE Q-CLASSES 6 TO 8

(LOW V_P, LOW Q IN CORE-LOGGING)



SUMMARY OF Q-VALUE STATISTICS (classes 1 to 5) FOR SOUTHERN TUNNELS.

(Fault zones treated separately, using core-logging and seismic refraction)

Location: TUNNEL-NORTH		Depth / chainage:		Date: 30.8.04																																																																																																																																																																																																																																																																																																																																																																																																																																																													
JBV OSLO-ÅSLAND (ALL)		ROCK EXPOSURES LOGGED		Page: 39																																																																																																																																																																																																																																																																																																																																																																																																																																																													
Numbers for domains, core boxes, tunnel lengths	Q (typical range) = 0.6-100	Q (mean) = 15.4	Q (most freq.) = 16.7																																																																																																																																																																																																																																																																																																																																																																																																																																																														
	$(\frac{75-100}{3-15}) \times (\frac{1-3}{1-4}) \times (\frac{0.5-1.0}{1.0})$	$(\frac{96}{2.1}) \times (\frac{1.8}{1.3}) \times (\frac{0.83}{1.0})$	$(\frac{100}{9}) \times (\frac{1.5}{1.0}) \times (\frac{1.0}{1.0})$																																																																																																																																																																																																																																																																																																																																																																																																																																																														
(underline, or specify)	<table border="1"> <thead> <tr> <th>Very Poor</th> <th>Poor</th> <th>Fair</th> <th>Good</th> <th>Exc.</th> </tr> </thead> <tbody> <tr> <td>11</td> <td>10</td> <td>10</td> <td>7</td> <td>5</td> </tr> <tr> <td>13</td> <td>14</td> <td>14</td> <td>13</td> <td>14</td> </tr> <tr> <td>14</td> <td>15</td> <td>15</td> <td>14</td> <td>15</td> </tr> <tr> <td>15</td> <td>16</td> <td>16</td> <td>15</td> <td>16</td> </tr> <tr> <td>16</td> <td>17</td> <td>17</td> <td>16</td> <td>17</td> </tr> <tr> <td>17</td> <td>18</td> <td>18</td> <td>17</td> <td>18</td> </tr> <tr> <td>18</td> <td>19</td> <td>19</td> <td>18</td> <td>19</td> </tr> <tr> <td>19</td> <td>20</td> <td>20</td> <td>19</td> <td>20</td> </tr> <tr> <td>20</td> <td>21</td> <td>21</td> <td>20</td> <td>21</td> </tr> <tr> <td>21</td> <td>22</td> <td>22</td> <td>21</td> <td>22</td> </tr> <tr> <td>22</td> <td>23</td> <td>23</td> <td>22</td> <td>23</td> </tr> <tr> <td>23</td> <td>24</td> <td>24</td> <td>23</td> <td>24</td> </tr> <tr> <td>24</td> <td>25</td> <td>25</td> <td>24</td> <td>25</td> </tr> <tr> <td>25</td> <td>26</td> <td>26</td> <td>25</td> <td>26</td> </tr> <tr> <td>26</td> <td>27</td> <td>27</td> <td>26</td> <td>27</td> </tr> <tr> <td>27</td> <td>28</td> <td>28</td> <td>27</td> <td>28</td> </tr> <tr> <td>28</td> <td>29</td> <td>29</td> <td>28</td> <td>29</td> </tr> <tr> <td>29</td> <td>30</td> <td>30</td> <td>29</td> <td>30</td> </tr> <tr> <td>30</td> <td>31</td> <td>31</td> <td>30</td> <td>31</td> </tr> <tr> <td>31</td> <td>32</td> <td>32</td> <td>31</td> <td>32</td> </tr> <tr> <td>32</td> <td>33</td> <td>33</td> <td>32</td> <td>33</td> </tr> <tr> <td>33</td> <td>34</td> <td>34</td> <td>33</td> <td>34</td> </tr> <tr> <td>34</td> <td>35</td> <td>35</td> <td>34</td> <td>35</td> </tr> <tr> <td>35</td> <td>36</td> <td>36</td> <td>35</td> <td>36</td> </tr> <tr> <td>36</td> <td>37</td> <td>37</td> <td>36</td> <td>37</td> </tr> <tr> <td>37</td> <td>38</td> <td>38</td> <td>37</td> <td>38</td> </tr> <tr> <td>38</td> <td>39</td> <td>39</td> <td>38</td> <td>39</td> </tr> <tr> <td>39</td> <td>40</td> <td>40</td> <td>39</td> <td>40</td> </tr> <tr> <td>40</td> <td>41</td> <td>41</td> <td>40</td> <td>41</td> </tr> <tr> <td>41</td> <td>42</td> <td>42</td> <td>41</td> <td>42</td> </tr> <tr> <td>42</td> <td>43</td> <td>43</td> <td>42</td> <td>43</td> </tr> <tr> <td>43</td> <td>44</td> <td>44</td> <td>43</td> <td>44</td> </tr> <tr> <td>44</td> <td>45</td> <td>45</td> <td>44</td> <td>45</td> </tr> <tr> <td>45</td> <td>46</td> <td>46</td> <td>45</td> <td>46</td> </tr> <tr> <td>46</td> <td>47</td> <td>47</td> <td>46</td> <td>47</td> </tr> <tr> <td>47</td> <td>48</td> <td>48</td> <td>47</td> <td>48</td> </tr> <tr> <td>48</td> <td>49</td> <td>49</td> <td>48</td> <td>49</td> </tr> <tr> <td>49</td> <td>50</td> <td>50</td> <td>49</td> <td>50</td> </tr> <tr> <td>50</td> <td>51</td> <td>51</td> <td>50</td> <td>51</td> </tr> <tr> <td>51</td> <td>52</td> <td>52</td> <td>51</td> <td>52</td> </tr> <tr> <td>52</td> <td>53</td> <td>53</td> <td>52</td> <td>53</td> </tr> <tr> <td>53</td> <td>54</td> <td>54</td> <td>53</td> <td>54</td> </tr> <tr> <td>54</td> <td>55</td> <td>55</td> <td>54</td> <td>55</td> </tr> <tr> <td>55</td> <td>56</td> <td>56</td> <td>55</td> <td>56</td> </tr> <tr> <td>56</td> <td>57</td> <td>57</td> <td>56</td> <td>57</td> </tr> <tr> <td>57</td> <td>58</td> <td>58</td> <td>57</td> <td>58</td> </tr> <tr> <td>58</td> <td>59</td> <td>59</td> <td>58</td> <td>59</td> </tr> <tr> <td>59</td> <td>60</td> <td>60</td> <td>59</td> <td>60</td> </tr> <tr> <td>60</td> <td>61</td> <td>61</td> <td>60</td> <td>61</td> </tr> <tr> <td>61</td> <td>62</td> <td>62</td> <td>61</td> <td>62</td> </tr> <tr> <td>62</td> <td>63</td> <td>63</td> <td>62</td> <td>63</td> </tr> <tr> <td>63</td> <td>64</td> <td>64</td> <td>63</td> <td>64</td> </tr> <tr> <td>64</td> <td>65</td> <td>65</td> <td>64</td> <td>65</td> </tr> <tr> <td>65</td> <td>66</td> <td>66</td> <td>65</td> <td>66</td> </tr> <tr> <td>66</td> <td>67</td> <td>67</td> <td>66</td> <td>67</td> </tr> <tr> <td>67</td> <td>68</td> <td>68</td> <td>67</td> <td>68</td> </tr> <tr> <td>68</td> <td>69</td> <td>69</td> <td>68</td> <td>69</td> </tr> <tr> <td>69</td> <td>70</td> <td>70</td> <td>69</td> <td>70</td> </tr> <tr> <td>70</td> <td>71</td> <td>71</td> <td>70</td> <td>71</td> </tr> <tr> <td>71</td> <td>72</td> <td>72</td> <td>71</td> <td>72</td> </tr> <tr> <td>72</td> <td>73</td> <td>73</td> <td>72</td> <td>73</td> </tr> <tr> <td>73</td> <td>74</td> <td>74</td> <td>73</td> <td>74</td> </tr> <tr> <td>74</td> <td>75</td> <td>75</td> <td>74</td> <td>75</td> </tr> <tr> <td>75</td> <td>76</td> <td>76</td> <td>75</td> <td>76</td> </tr> <tr> <td>76</td> <td>77</td> <td>77</td> <td>76</td> <td>77</td> </tr> <tr> <td>77</td> <td>78</td> <td>78</td> <td>77</td> <td>78</td> </tr> <tr> <td>78</td> <td>79</td> <td>79</td> <td>78</td> <td>79</td> </tr> <tr> <td>79</td> <td>80</td> <td>80</td> <td>79</td> <td>80</td> </tr> <tr> <td>80</td> <td>81</td> <td>81</td> <td>80</td> <td>81</td> </tr> <tr> <td>81</td> <td>82</td> <td>82</td> <td>81</td> <td>82</td> </tr> <tr> <td>82</td> <td>83</td> <td>83</td> <td>82</td> <td>83</td> </tr> <tr> <td>83</td> <td>84</td> <td>84</td> <td>83</td> <td>84</td> </tr> <tr> <td>84</td> <td>85</td> <td>85</td> <td>84</td> <td>85</td> </tr> <tr> <td>85</td> <td>86</td> <td>86</td> <td>85</td> <td>86</td> </tr> <tr> <td>86</td> <td>87</td> <td>87</td> <td>86</td> <td>87</td> </tr> <tr> <td>87</td> <td>88</td> <td>88</td> <td>87</td> <td>88</td> </tr> <tr> <td>88</td> <td>89</td> <td>89</td> <td>88</td> <td>89</td> </tr> <tr> <td>89</td> <td>90</td> <td>90</td> <td>89</td> <td>90</td> </tr> <tr> <td>90</td> <td>91</td> <td>91</td> <td>90</td> <td>91</td> </tr> <tr> <td>91</td> <td>92</td> <td>92</td> <td>91</td> <td>92</td> </tr> <tr> <td>92</td> <td>93</td> <td>93</td> <td>92</td> <td>93</td> </tr> <tr> <td>93</td> <td>94</td> <td>94</td> <td>93</td> <td>94</td> </tr> <tr> <td>94</td> <td>95</td> <td>95</td> <td>94</td> <td>95</td> </tr> <tr> <td>95</td> <td>96</td> <td>96</td> <td>95</td> <td>96</td> </tr> <tr> <td>96</td> <td>97</td> <td>97</td> <td>96</td> <td>97</td> </tr> <tr> <td>97</td> <td>98</td> <td>98</td> <td>97</td> <td>98</td> </tr> <tr> <td>98</td> <td>99</td> <td>99</td> <td>98</td> <td>99</td> </tr> <tr> <td>99</td> <td>100</td> <td>100</td> <td>99</td> <td>100</td> </tr> </tbody> </table>			Very Poor	Poor	Fair	Good	Exc.	11	10	10	7	5	13	14	14	13	14	14	15	15	14	15	15	16	16	15	16	16	17	17	16	17	17	18	18	17	18	18	19	19	18	19	19	20	20	19	20	20	21	21	20	21	21	22	22	21	22	22	23	23	22	23	23	24	24	23	24	24	25	25	24	25	25	26	26	25	26	26	27	27	26	27	27	28	28	27	28	28	29	29	28	29	29	30	30	29	30	30	31	31	30	31	31	32	32	31	32	32	33	33	32	33	33	34	34	33	34	34	35	35	34	35	35	36	36	35	36	36	37	37	36	37	37	38	38	37	38	38	39	39	38	39	39	40	40	39	40	40	41	41	40	41	41	42	42	41	42	42	43	43	42	43	43	44	44	43	44	44	45	45	44	45	45	46	46	45	46	46	47	47	46	47	47	48	48	47	48	48	49	49	48	49	49	50	50	49	50	50	51	51	50	51	51	52	52	51	52	52	53	53	52	53	53	54	54	53	54	54	55	55	54	55	55	56	56	55	56	56	57	57	56	57	57	58	58	57	58	58	59	59	58	59	59	60	60	59	60	60	61	61	60	61	61	62	62	61	62	62	63	63	62	63	63	64	64	63	64	64	65	65	64	65	65	66	66	65	66	66	67	67	66	67	67	68	68	67	68	68	69	69	68	69	69	70	70	69	70	70	71	71	70	71	71	72	72	71	72	72	73	73	72	73	73	74	74	73	74	74	75	75	74	75	75	76	76	75	76	76	77	77	76	77	77	78	78	77	78	78	79	79	78	79	79	80	80	79	80	80	81	81	80	81	81	82	82	81	82	82	83	83	82	83	83	84	84	83	84	84	85	85	84	85	85	86	86	85	86	86	87	87	86	87	87	88	88	87	88	88	89	89	88	89	89	90	90	89	90	90	91	91	90	91	91	92	92	91	92	92	93	93	92	93	93	94	94	93	94	94	95	95	94	95	95	96	96	95	96	96	97	97	96	97	97	98	98	97	98	98	99	99	98	99	99	100	100	99	100	RQD % Core pieces ≥ 10 cm
	Very Poor	Poor	Fair	Good	Exc.																																																																																																																																																																																																																																																																																																																																																																																																																																																												
11	10	10	7	5																																																																																																																																																																																																																																																																																																																																																																																																																																																													
13	14	14	13	14																																																																																																																																																																																																																																																																																																																																																																																																																																																													
14	15	15	14	15																																																																																																																																																																																																																																																																																																																																																																																																																																																													
15	16	16	15	16																																																																																																																																																																																																																																																																																																																																																																																																																																																													
16	17	17	16	17																																																																																																																																																																																																																																																																																																																																																																																																																																																													
17	18	18	17	18																																																																																																																																																																																																																																																																																																																																																																																																																																																													
18	19	19	18	19																																																																																																																																																																																																																																																																																																																																																																																																																																																													
19	20	20	19	20																																																																																																																																																																																																																																																																																																																																																																																																																																																													
20	21	21	20	21																																																																																																																																																																																																																																																																																																																																																																																																																																																													
21	22	22	21	22																																																																																																																																																																																																																																																																																																																																																																																																																																																													
22	23	23	22	23																																																																																																																																																																																																																																																																																																																																																																																																																																																													
23	24	24	23	24																																																																																																																																																																																																																																																																																																																																																																																																																																																													
24	25	25	24	25																																																																																																																																																																																																																																																																																																																																																																																																																																																													
25	26	26	25	26																																																																																																																																																																																																																																																																																																																																																																																																																																																													
26	27	27	26	27																																																																																																																																																																																																																																																																																																																																																																																																																																																													
27	28	28	27	28																																																																																																																																																																																																																																																																																																																																																																																																																																																													
28	29	29	28	29																																																																																																																																																																																																																																																																																																																																																																																																																																																													
29	30	30	29	30																																																																																																																																																																																																																																																																																																																																																																																																																																																													
30	31	31	30	31																																																																																																																																																																																																																																																																																																																																																																																																																																																													
31	32	32	31	32																																																																																																																																																																																																																																																																																																																																																																																																																																																													
32	33	33	32	33																																																																																																																																																																																																																																																																																																																																																																																																																																																													
33	34	34	33	34																																																																																																																																																																																																																																																																																																																																																																																																																																																													
34	35	35	34	35																																																																																																																																																																																																																																																																																																																																																																																																																																																													
35	36	36	35	36																																																																																																																																																																																																																																																																																																																																																																																																																																																													
36	37	37	36	37																																																																																																																																																																																																																																																																																																																																																																																																																																																													
37	38	38	37	38																																																																																																																																																																																																																																																																																																																																																																																																																																																													
38	39	39	38	39																																																																																																																																																																																																																																																																																																																																																																																																																																																													
39	40	40	39	40																																																																																																																																																																																																																																																																																																																																																																																																																																																													
40	41	41	40	41																																																																																																																																																																																																																																																																																																																																																																																																																																																													
41	42	42	41	42																																																																																																																																																																																																																																																																																																																																																																																																																																																													
42	43	43	42	43																																																																																																																																																																																																																																																																																																																																																																																																																																																													
43	44	44	43	44																																																																																																																																																																																																																																																																																																																																																																																																																																																													
44	45	45	44	45																																																																																																																																																																																																																																																																																																																																																																																																																																																													
45	46	46	45	46																																																																																																																																																																																																																																																																																																																																																																																																																																																													
46	47	47	46	47																																																																																																																																																																																																																																																																																																																																																																																																																																																													
47	48	48	47	48																																																																																																																																																																																																																																																																																																																																																																																																																																																													
48	49	49	48	49																																																																																																																																																																																																																																																																																																																																																																																																																																																													
49	50	50	49	50																																																																																																																																																																																																																																																																																																																																																																																																																																																													
50	51	51	50	51																																																																																																																																																																																																																																																																																																																																																																																																																																																													
51	52	52	51	52																																																																																																																																																																																																																																																																																																																																																																																																																																																													
52	53	53	52	53																																																																																																																																																																																																																																																																																																																																																																																																																																																													
53	54	54	53	54																																																																																																																																																																																																																																																																																																																																																																																																																																																													
54	55	55	54	55																																																																																																																																																																																																																																																																																																																																																																																																																																																													
55	56	56	55	56																																																																																																																																																																																																																																																																																																																																																																																																																																																													
56	57	57	56	57																																																																																																																																																																																																																																																																																																																																																																																																																																																													
57	58	58	57	58																																																																																																																																																																																																																																																																																																																																																																																																																																																													
58	59	59	58	59																																																																																																																																																																																																																																																																																																																																																																																																																																																													
59	60	60	59	60																																																																																																																																																																																																																																																																																																																																																																																																																																																													
60	61	61	60	61																																																																																																																																																																																																																																																																																																																																																																																																																																																													
61	62	62	61	62																																																																																																																																																																																																																																																																																																																																																																																																																																																													
62	63	63	62	63																																																																																																																																																																																																																																																																																																																																																																																																																																																													
63	64	64	63	64																																																																																																																																																																																																																																																																																																																																																																																																																																																													
64	65	65	64	65																																																																																																																																																																																																																																																																																																																																																																																																																																																													
65	66	66	65	66																																																																																																																																																																																																																																																																																																																																																																																																																																																													
66	67	67	66	67																																																																																																																																																																																																																																																																																																																																																																																																																																																													
67	68	68	67	68																																																																																																																																																																																																																																																																																																																																																																																																																																																													
68	69	69	68	69																																																																																																																																																																																																																																																																																																																																																																																																																																																													
69	70	70	69	70																																																																																																																																																																																																																																																																																																																																																																																																																																																													
70	71	71	70	71																																																																																																																																																																																																																																																																																																																																																																																																																																																													
71	72	72	71	72																																																																																																																																																																																																																																																																																																																																																																																																																																																													
72	73	73	72	73																																																																																																																																																																																																																																																																																																																																																																																																																																																													
73	74	74	73	74																																																																																																																																																																																																																																																																																																																																																																																																																																																													
74	75	75	74	75																																																																																																																																																																																																																																																																																																																																																																																																																																																													
75	76	76	75	76																																																																																																																																																																																																																																																																																																																																																																																																																																																													
76	77	77	76	77																																																																																																																																																																																																																																																																																																																																																																																																																																																													
77	78	78	77	78																																																																																																																																																																																																																																																																																																																																																																																																																																																													
78	79	79	78	79																																																																																																																																																																																																																																																																																																																																																																																																																																																													
79	80	80	79	80																																																																																																																																																																																																																																																																																																																																																																																																																																																													
80	81	81	80	81																																																																																																																																																																																																																																																																																																																																																																																																																																																													
81	82	82	81	82																																																																																																																																																																																																																																																																																																																																																																																																																																																													
82	83	83	82	83																																																																																																																																																																																																																																																																																																																																																																																																																																																													
83	84	84	83	84																																																																																																																																																																																																																																																																																																																																																																																																																																																													
84	85	85	84	85																																																																																																																																																																																																																																																																																																																																																																																																																																																													
85	86	86	85	86																																																																																																																																																																																																																																																																																																																																																																																																																																																													
86	87	87	86	87																																																																																																																																																																																																																																																																																																																																																																																																																																																													
87	88	88	87	88																																																																																																																																																																																																																																																																																																																																																																																																																																																													
88	89	89	88	89																																																																																																																																																																																																																																																																																																																																																																																																																																																													
89	90	90	89	90																																																																																																																																																																																																																																																																																																																																																																																																																																																													
90	91	91	90	91																																																																																																																																																																																																																																																																																																																																																																																																																																																													
91	92	92	91	92																																																																																																																																																																																																																																																																																																																																																																																																																																																													
92	93	93	92	93																																																																																																																																																																																																																																																																																																																																																																																																																																																													
93	94	94	93	94																																																																																																																																																																																																																																																																																																																																																																																																																																																													
94	95	95	94	95																																																																																																																																																																																																																																																																																																																																																																																																																																																													
95	96	96	95	96																																																																																																																																																																																																																																																																																																																																																																																																																																																													
96	97	97	96	97																																																																																																																																																																																																																																																																																																																																																																																																																																																													
97	98	98	97	98																																																																																																																																																																																																																																																																																																																																																																																																																																																													
98	99	99	98	99																																																																																																																																																																																																																																																																																																																																																																																																																																																													
99	100	100	99	100																																																																																																																																																																																																																																																																																																																																																																																																																																																													
All areas logged for T-N.	<table border="1"> <thead> <tr> <th>Earth</th> <th>Four</th> <th>Three</th> <th>Two</th> <th>One</th> <th>None</th> </tr> </thead> <tbody> <tr> <td>9</td> <td>21</td> <td>30</td> <td>112</td> <td>74</td> <td>27</td> </tr> <tr> <td>10</td> <td>22</td> <td>31</td> <td>113</td> <td>75</td> <td>28</td> </tr> <tr> <td>11</td> <td>23</td> <td>32</td> <td>114</td> <td>76</td> <td>29</td> </tr> <tr> <td>12</td> <td>24</td> <td>33</td> <td>115</td> <td>77</td> <td>30</td> </tr> <tr> <td>13</td> <td>25</td> <td>34</td> <td>116</td> <td>78</td> <td>31</td> </tr> <tr> <td>14</td> <td>26</td> <td>35</td> <td>117</td> <td>79</td> <td>32</td> </tr> <tr> <td>15</td> <td>27</td> <td>36</td> <td>118</td> <td>80</td> <td>33</td> </tr> <tr> <td>16</td> <td>28</td> <td>37</td> <td>119</td> <td>81</td> <td>34</td> </tr> <tr> <td>17</td> <td>29</td> <td>38</td> <td>120</td> <td>82</td> <td>35</td> </tr> <tr> <td>18</td> <td>30</td> <td>39</td> <td>121</td> <td>83</td> <td>36</td> </tr> <tr> <td>19</td> <td>31</td> <td>40</td> <td>122</td> <td>84</td> <td>37</td> </tr> <tr> <td>20</td> <td>32</td> <td>41</td> <td>123</td> <td>85</td> <td>38</td> </tr> <tr> <td>21</td> <td>33</td> <td>42</td> <td>124</td> <td>86</td> <td>39</td> </tr> <tr> <td>22</td> <td>34</td> <td>43</td> <td>125</td> <td>87</td> <td>40</td> </tr> <tr> <td>23</td> <td>35</td> <td>44</td> <td>126</td> <td>88</td> <td>41</td> </tr> <tr> <td>24</td> <td>36</td> <td>45</td> <td>127</td> <td>89</td> <td>42</td> </tr> <tr> <td>25</td> <td>37</td> <td>46</td> <td>128</td> <td>90</td> <td>43</td> </tr> <tr> <td>26</td> <td>38</td> <td>47</td> <td>129</td> <td>91</td> <td>44</td> </tr> <tr> <td>27</td> <td>39</td> <td>48</td> <td>130</td> <td>92</td> <td>45</td> </tr> <tr> <td>28</td> <td>40</td> <td>49</td> <td>131</td> <td>93</td> <td>46</td> </tr> <tr> <td>29</td> <td>41</td> <td>50</td> <td>132</td> <td>94</td> <td>47</td> </tr> <tr> <td>30</td> <td>42</td> <td>51</td> <td>133</td> <td>95</td> <td>48</td> </tr> <tr> <td>31</td> <td>43</td> <td>52</td> <td>134</td> <td>96</td> <td>49</td> </tr> <tr> <td>32</td> <td>44</td> <td>53</td> <td>135</td> <td>97</td> <td>50</td> </tr> <tr> <td>33</td> <td>45</td> <td>54</td> <td>136</td> <td>98</td> <td>51</td> </tr> <tr> <td>34</td> <td>46</td> <td>55</td> <td>137</td> <td>99</td> <td>52</td> </tr> <tr> <td>35</td> <td>47</td> <td>56</td> <td>138</td> <td>100</td> <td>53</td> </tr> </tbody> </table>			Earth	Four	Three	Two	One	None	9	21	30	112	74	27	10	22	31	113	75	28	11	23	32	114	76	29	12	24	33	115	77	30	13	25	34	116	78	31	14	26	35	117	79	32	15	27	36	118	80	33	16	28	37	119	81	34	17	29	38	120	82	35	18	30	39	121	83	36	19	31	40	122	84	37	20	32	41	123	85	38	21	33	42	124	86	39	22	34	43	125	87	40	23	35	44	126	88	41	24	36	45	127	89	42	25	37	46	128	90	43	26	38	47	129	91	44	27	39	48	130	92	45	28	40	49	131	93	46	29	41	50	132	94	47	30	42	51	133	95	48	31	43	52	134	96	49	32	44	53	135	97	50	33	45	54	136	98	51	34	46	55	137	99	52	35	47	56	138	100	53	J _n Number of joint sets																																																																																																																																																																																																																																																																																					
Earth	Four	Three	Two	One	None																																																																																																																																																																																																																																																																																																																																																																																																																																																												
9	21	30	112	74	27																																																																																																																																																																																																																																																																																																																																																																																																																																																												
10	22	31	113	75	28																																																																																																																																																																																																																																																																																																																																																																																																																																																												
11	23	32	114	76	29																																																																																																																																																																																																																																																																																																																																																																																																																																																												
12	24	33	115	77	30																																																																																																																																																																																																																																																																																																																																																																																																																																																												
13	25	34	116	78	31																																																																																																																																																																																																																																																																																																																																																																																																																																																												
14	26	35	117	79	32																																																																																																																																																																																																																																																																																																																																																																																																																																																												
15	27	36	118	80	33																																																																																																																																																																																																																																																																																																																																																																																																																																																												
16	28	37	119	81	34																																																																																																																																																																																																																																																																																																																																																																																																																																																												
17	29	38	120	82	35																																																																																																																																																																																																																																																																																																																																																																																																																																																												
18	30	39	121	83	36																																																																																																																																																																																																																																																																																																																																																																																																																																																												
19	31	40	122	84	37																																																																																																																																																																																																																																																																																																																																																																																																																																																												
20	32	41	123	85	38																																																																																																																																																																																																																																																																																																																																																																																																																																																												
21	33	42	124	86	39																																																																																																																																																																																																																																																																																																																																																																																																																																																												
22	34	43	125	87	40																																																																																																																																																																																																																																																																																																																																																																																																																																																												
23	35	44	126	88	41																																																																																																																																																																																																																																																																																																																																																																																																																																																												
24	36	45	127	89	42																																																																																																																																																																																																																																																																																																																																																																																																																																																												
25	37	46	128	90	43																																																																																																																																																																																																																																																																																																																																																																																																																																																												
26	38	47	129	91	44																																																																																																																																																																																																																																																																																																																																																																																																																																																												
27	39	48	130	92	45																																																																																																																																																																																																																																																																																																																																																																																																																																																												
28	40	49	131	93	46																																																																																																																																																																																																																																																																																																																																																																																																																																																												
29	41	50	132	94	47																																																																																																																																																																																																																																																																																																																																																																																																																																																												
30	42	51	133	95	48																																																																																																																																																																																																																																																																																																																																																																																																																																																												
31	43	52	134	96	49																																																																																																																																																																																																																																																																																																																																																																																																																																																												
32	44	53	135	97	50																																																																																																																																																																																																																																																																																																																																																																																																																																																												
33	45	54	136	98	51																																																																																																																																																																																																																																																																																																																																																																																																																																																												
34	46	55	137	99	52																																																																																																																																																																																																																																																																																																																																																																																																																																																												
35	47	56	138	100	53																																																																																																																																																																																																																																																																																																																																																																																																																																																												
1=	<table border="1"> <thead> <tr> <th>Fills</th> <th>Planar</th> <th>Undulating</th> <th>Disc.</th> </tr> </thead> <tbody> <tr> <td>13</td> <td>276</td> <td>1208</td> <td>19</td> </tr> <tr> <td>14</td> <td>287</td> <td>1219</td> <td>20</td> </tr> <tr> <td>15</td> <td>298</td> <td>1230</td> <td>21</td> </tr> <tr> <td>16</td> <td>309</td> <td>1241</td> <td>22</td> </tr> <tr> <td>17</td> <td>320</td> <td>1252</td> <td>23</td> </tr> <tr> <td>18</td> <td>331</td> <td>1263</td> <td>24</td> </tr> <tr> <td>19</td> <td>342</td> <td>1274</td> <td>25</td> </tr> <tr> <td>20</td> <td>353</td> <td>1285</td> <td>26</td> </tr> <tr> <td>21</td> <td>364</td> <td>1296</td> <td>27</td> </tr> <tr> <td>22</td> <td>375</td> <td>1307</td> <td>28</td> </tr> <tr> <td>23</td> <td>386</td> <td>1318</td> <td>29</td> </tr> <tr> <td>24</td> <td>397</td> <td>1329</td> <td>30</td> </tr> <tr> <td>25</td> <td>408</td> <td>1340</td> <td>31</td> </tr> <tr> <td>26</td> <td>419</td> <td>1351</td> <td>32</td> </tr> <tr> <td>27</td> <td>430</td> <td>1362</td> <td>33</td> </tr> <tr> <td>28</td> <td>441</td> <td>1373</td> <td>34</td> </tr> <tr> <td>29</td> <td>452</td> <td>1384</td> <td>35</td> </tr> <tr> <td>30</td> <td>463</td> <td>1395</td> <td>36</td> </tr> <tr> <td>31</td> <td>474</td> <td>1406</td> <td>37</td> </tr> <tr> <td>32</td> <td>485</td> <td>1417</td> <td>38</td> </tr> <tr> <td>33</td> <td>496</td> <td>1428</td> <td>39</td> </tr> <tr> <td>34</td> <td>507</td> <td>1439</td> <td>40</td> </tr> <tr> <td>35</td> <td>518</td> <td>1450</td> <td>41</td> </tr> </tbody> </table>			Fills	Planar	Undulating	Disc.	13	276	1208	19	14	287	1219	20	15	298	1230	21	16	309	1241	22	17	320	1252	23	18	331	1263	24	19	342	1274	25	20	353	1285	26	21	364	1296	27	22	375	1307	28	23	386	1318	29	24	397	1329	30	25	408	1340	31	26	419	1351	32	27	430	1362	33	28	441	1373	34	29	452	1384	35	30	463	1395	36	31	474	1406	37	32	485	1417	38	33	496	1428	39	34	507	1439	40	35	518	1450	41	J _i Joint roughness - least favourable																																																																																																																																																																																																																																																																																																																																																													
Fills	Planar	Undulating	Disc.																																																																																																																																																																																																																																																																																																																																																																																																																																																														
13	276	1208	19																																																																																																																																																																																																																																																																																																																																																																																																																																																														
14	287	1219	20																																																																																																																																																																																																																																																																																																																																																																																																																																																														
15	298	1230	21																																																																																																																																																																																																																																																																																																																																																																																																																																																														
16	309	1241	22																																																																																																																																																																																																																																																																																																																																																																																																																																																														
17	320	1252	23																																																																																																																																																																																																																																																																																																																																																																																																																																																														
18	331	1263	24																																																																																																																																																																																																																																																																																																																																																																																																																																																														
19	342	1274	25																																																																																																																																																																																																																																																																																																																																																																																																																																																														
20	353	1285	26																																																																																																																																																																																																																																																																																																																																																																																																																																																														
21	364	1296	27																																																																																																																																																																																																																																																																																																																																																																																																																																																														
22	375	1307	28																																																																																																																																																																																																																																																																																																																																																																																																																																																														
23	386	1318	29																																																																																																																																																																																																																																																																																																																																																																																																																																																														
24	397	1329	30																																																																																																																																																																																																																																																																																																																																																																																																																																																														
25	408	1340	31																																																																																																																																																																																																																																																																																																																																																																																																																																																														
26	419	1351	32																																																																																																																																																																																																																																																																																																																																																																																																																																																														
27	430	1362	33																																																																																																																																																																																																																																																																																																																																																																																																																																																														
28	441	1373	34																																																																																																																																																																																																																																																																																																																																																																																																																																																														
29	452	1384	35																																																																																																																																																																																																																																																																																																																																																																																																																																																														
30	463	1395	36																																																																																																																																																																																																																																																																																																																																																																																																																																																														
31	474	1406	37																																																																																																																																																																																																																																																																																																																																																																																																																																																														
32	485	1417	38																																																																																																																																																																																																																																																																																																																																																																																																																																																														
33	496	1428	39																																																																																																																																																																																																																																																																																																																																																																																																																																																														
34	507	1439	40																																																																																																																																																																																																																																																																																																																																																																																																																																																														
35	518	1450	41																																																																																																																																																																																																																																																																																																																																																																																																																																																														
2=	<table border="1"> <thead> <tr> <th>Thick Fills</th> <th>Thin Fills</th> <th>Coated</th> <th>Unfilled</th> <th>Heal</th> </tr> </thead> <tbody> <tr> <td>12</td> <td>1</td> <td>59</td> <td>20</td> <td>1953</td> </tr> <tr> <td>13</td> <td>1</td> <td>60</td> <td>21</td> <td>1964</td> </tr> <tr> <td>14</td> <td>1</td> <td>61</td> <td>22</td> <td>1975</td> </tr> <tr> <td>15</td> <td>1</td> <td>62</td> <td>23</td> <td>1986</td> </tr> <tr> <td>16</td> <td>1</td> <td>63</td> <td>24</td> <td>1997</td> </tr> <tr> <td>17</td> <td>1</td> <td>64</td> <td>25</td> <td>2008</td> </tr> <tr> <td>18</td> <td>1</td> <td>65</td> <td>26</td> <td>2019</td> </tr> <tr> <td>19</td> <td>1</td> <td>66</td> <td>27</td> <td>2030</td> </tr> <tr> <td>20</td> <td>1</td> <td>67</td> <td>28</td> <td>2041</td> </tr> <tr> <td>21</td> <td>1</td> <td>68</td> <td>29</td> <td>2052</td> </tr> <tr> <td>22</td> <td>1</td> <td>69</td> <td>30</td> <td>2063</td> </tr> <tr> <td>23</td> <td>1</td> <td>70</td> <td>31</td> <td>2074</td> </tr> <tr> <td>24</td> <td>1</td> <td>71</td> <td>32</td> <td>2085</td> </tr> <tr> <td>25</td> <td>1</td> <td>72</td> <td>33</td> <td>2096</td> </tr> <tr> <td>26</td> <td>1</td> <td>73</td> <td>34</td> <td>2107</td> </tr> <tr> <td>27</td> <td>1</td> <td>74</td> <td>35</td> <td>2118</td> </tr> <tr> <td>28</td> <td>1</td> <td>75</td> <td>36</td> <td>2129</td> </tr> <tr> <td>29</td> <td>1</td> <td>76</td> <td>37</td> <td>2140</td> </tr> <tr> <td>30</td> <td>1</td> <td>77</td> <td>38</td> <td>2151</td> </tr> <tr> <td>31</td> <td>1</td> <td>78</td> <td>39</td> <td>2162</td> </tr> <tr> <td>32</td> <td>1</td> <td>79</td> <td>40</td> <td>2173</td> </tr> <tr> <td>33</td> <td>1</td> <td>80</td> <td>41</td> <td>2184</td> </tr> <tr> <td>34</td> <td>1</td> <td>81</td> <td>42</td> <td>2195</td> </tr> <tr> <td>35</td> <td>1</td> <td>82</td> <td>43</td> <td>2206</td> </tr> </tbody> </table>			Thick Fills	Thin Fills	Coated	Unfilled	Heal	12	1	59	20	1953	13	1	60	21	1964	14	1	61	22	1975	15	1	62	23	1986	16	1	63	24	1997	17	1	64	25	2008	18	1	65	26	2019	19	1	66	27	2030	20	1	67	28	2041	21	1	68	29	2052	22	1	69	30	2063	23	1	70	31	2074	24	1	71	32	2085	25	1	72	33	2096	26	1	73	34	2107	27	1	74	35	2118	28	1	75	36	2129	29	1	76	37	2140	30	1	77	38	2151	31	1	78	39	2162	32	1	79	40	2173	33	1	80	41	2184	34	1	81	42	2195	35	1	82	43	2206	J _a Joint alteration - least favourable																																																																																																																																																																																																																																																																																																																																
Thick Fills	Thin Fills	Coated	Unfilled	Heal																																																																																																																																																																																																																																																																																																																																																																																																																																																													
12	1	59	20	1953																																																																																																																																																																																																																																																																																																																																																																																																																																																													
13	1	60	21	1964																																																																																																																																																																																																																																																																																																																																																																																																																																																													
14	1	61	22	1975																																																																																																																																																																																																																																																																																																																																																																																																																																																													
15	1	62	23	1986																																																																																																																																																																																																																																																																																																																																																																																																																																																													
16	1	63	24	1997																																																																																																																																																																																																																																																																																																																																																																																																																																																													
17	1	64	25	2008																																																																																																																																																																																																																																																																																																																																																																																																																																																													
18	1	65	26	2019																																																																																																																																																																																																																																																																																																																																																																																																																																																													
19	1	66	27	2030																																																																																																																																																																																																																																																																																																																																																																																																																																																													
20	1	67	28	2041																																																																																																																																																																																																																																																																																																																																																																																																																																																													
21	1	68	29	2052																																																																																																																																																																																																																																																																																																																																																																																																																																																													
22	1	69	30	2063																																																																																																																																																																																																																																																																																																																																																																																																																																																													
23	1	70	31	2074																																																																																																																																																																																																																																																																																																																																																																																																																																																													
24	1	71	32	2085																																																																																																																																																																																																																																																																																																																																																																																																																																																													
25	1	72	33	2096																																																																																																																																																																																																																																																																																																																																																																																																																																																													
26	1	73	34	2107																																																																																																																																																																																																																																																																																																																																																																																																																																																													
27	1	74	35	2118																																																																																																																																																																																																																																																																																																																																																																																																																																																													
28	1	75	36	2129																																																																																																																																																																																																																																																																																																																																																																																																																																																													
29	1	76	37	2140																																																																																																																																																																																																																																																																																																																																																																																																																																																													
30	1	77	38	2151																																																																																																																																																																																																																																																																																																																																																																																																																																																													
31	1	78	39	2162																																																																																																																																																																																																																																																																																																																																																																																																																																																													
32	1	79	40	2173																																																																																																																																																																																																																																																																																																																																																																																																																																																													
33	1	80	41	2184																																																																																																																																																																																																																																																																																																																																																																																																																																																													
34	1	81	42	2195																																																																																																																																																																																																																																																																																																																																																																																																																																																													
35	1	82	43	2206																																																																																																																																																																																																																																																																																																																																																																																																																																																													
3=	<table border="1"> <thead> <tr> <th>Exc. Inflows</th> <th>High Press</th> <th>Wet</th> <th>Dry</th> <th>RQD =</th> </tr> </thead> <tbody> <tr> <td>35</td> <td>13</td> <td>1100</td> <td>1225</td> <td></td> </tr> <tr> <td>36</td> <td>14</td> <td>1110</td> <td>1235</td> <td></td> </tr> <tr> <td>37</td> <td>15</td> <td>1120</td> <td>1245</td> <td></td> </tr> <tr> <td>38</td> <td>16</td> <td>1130</td> <td>1255</td> <td></td> </tr> <tr> <td>39</td> <td>17</td> <td>1140</td> <td>1265</td> <td></td> </tr> <tr> <td>40</td> <td>18</td> <td>1150</td> <td>1275</td> <td></td> </tr> <tr> <td>41</td> <td>19</td> <td>1160</td> <td>1285</td> <td></td> </tr> <tr> <td>42</td> <td>20</td> <td>1170</td> <td>1295</td> <td></td> </tr> <tr> <td>43</td> <td>21</td> <td>1180</td> <td>1305</td> <td></td> </tr> <tr> <td>44</td> <td>22</td> <td>1190</td> <td>1315</td> <td></td> </tr> <tr> <td>45</td> <td>23</td> <td>1200</td> <td>1325</td> <td></td> </tr> <tr> <td>46</td> <td>24</td> <td>1210</td> <td>1335</td> <td></td> </tr> <tr> <td>47</td> <td>25</td> <td>1220</td> <td>1345</td> <td></td> </tr> <tr> <td>48</td> <td>26</td> <td>1230</td> <td>1355</td> <td></td> </tr> <tr> <td>49</td> <td>27</td> <td>1240</td> <td>1365</td> <td></td> </tr> <tr> <td>50</td> <td>28</td> <td>1250</td> <td>1375</td> <td></td> </tr> <tr> <td>51</td> <td>29</td> <td>1260</td> <td>1385</td> <td></td> </tr> <tr> <td>52</td> <td>30</td> <td>1270</td> <td>1395</td> <td></td> </tr> <tr> <td>53</td> <td>31</td> <td>1280</td> <td>1405</td> <td></td> </tr> <tr> <td>54</td> <td>32</td> <td>1290</td> <td>1415</td> <td></td> </tr> <tr> <td>55</td> <td>33</td> <td>1300</td> <td>1425</td> <td></td> </tr> </tbody> </table>			Exc. Inflows	High Press	Wet	Dry	RQD =	35	13	1100	1225		36	14	1110	1235		37	15	1120	1245		38	16	1130	1255		39	17	1140	1265		40	18	1150	1275		41	19	1160	1285		42	20	1170	1295		43	21	1180	1305		44	22	1190	1315		45	23	1200	1325		46	24	1210	1335		47	25	1220	1345		48	26	1230	1355		49	27	1240	1365		50	28	1250	1375		51	29	1260	1385		52	30	1270	1395		53	31	1280	1405		54	32	1290	1415		55	33	1300	1425		J _w Joint water pressure																																																																																																																																																																																																																																																																																																																																															
Exc. Inflows	High Press	Wet	Dry	RQD =																																																																																																																																																																																																																																																																																																																																																																																																																																																													
35	13	1100	1225																																																																																																																																																																																																																																																																																																																																																																																																																																																														
36	14	1110	1235																																																																																																																																																																																																																																																																																																																																																																																																																																																														
37	15	1120	1245																																																																																																																																																																																																																																																																																																																																																																																																																																																														
38	16	1130	1255																																																																																																																																																																																																																																																																																																																																																																																																																																																														
39	17	1140	1265																																																																																																																																																																																																																																																																																																																																																																																																																																																														
40	18	1150	1275																																																																																																																																																																																																																																																																																																																																																																																																																																																														
41	19	1160	1285																																																																																																																																																																																																																																																																																																																																																																																																																																																														
42	20	1170	1295																																																																																																																																																																																																																																																																																																																																																																																																																																																														
43	21	1180	1305																																																																																																																																																																																																																																																																																																																																																																																																																																																														
44	22	1190	1315																																																																																																																																																																																																																																																																																																																																																																																																																																																														
45	23	1200	1325																																																																																																																																																																																																																																																																																																																																																																																																																																																														
46	24	1210	1335																																																																																																																																																																																																																																																																																																																																																																																																																																																														
47	25	1220	1345																																																																																																																																																																																																																																																																																																																																																																																																																																																														
48	26	1230	1355																																																																																																																																																																																																																																																																																																																																																																																																																																																														
49	27	1240	1365																																																																																																																																																																																																																																																																																																																																																																																																																																																														
50	28	1250	1375																																																																																																																																																																																																																																																																																																																																																																																																																																																														
51	29	1260	1385																																																																																																																																																																																																																																																																																																																																																																																																																																																														
52	30	1270	1395																																																																																																																																																																																																																																																																																																																																																																																																																																																														
53	31	1280	1405																																																																																																																																																																																																																																																																																																																																																																																																																																																														
54	32	1290	1415																																																																																																																																																																																																																																																																																																																																																																																																																																																														
55	33	1300	1425																																																																																																																																																																																																																																																																																																																																																																																																																																																														
7=	<table border="1"> <thead> <tr> <th>Squeeze</th> <th>Swell</th> <th>Faults</th> <th>Stress/Strength</th> </tr> </thead> <tbody> <tr> <td>2</td> <td>5</td> <td>2</td> <td>2393</td> </tr> <tr> <td>3</td> <td>6</td> <td>3</td> <td>162</td> </tr> <tr> <td>4</td> <td>7</td> <td>4</td> <td>273</td> </tr> <tr> <td>5</td> <td>8</td> <td>5</td> <td>164</td> </tr> <tr> <td>6</td> <td>9</td> <td>6</td> <td>209</td> </tr> <tr> <td>7</td> <td>10</td> <td>7</td> <td>186</td> </tr> <tr> <td>8</td> <td>11</td> <td>8</td> <td>160</td> </tr> <tr> <td>9</td> <td>12</td> <td>9</td> <td>180</td> </tr> <tr> <td>10</td> <td>13</td> <td>10</td> <td>160</td> </tr> <tr> <td>11</td> <td>14</td> <td>11</td> <td>180</td> </tr> <tr> <td>12</td> <td>15</td> <td>12</td> <td>160</td> </tr> <tr> <td>13</td> <td>16</td> <td>13</td> <td>180</td> </tr> <tr> <td>14</td> <td>17</td> <td>14</td> <td>160</td> </tr> <tr> <td>15</td> <td>18</td> <td>15</td> <td>180</td> </tr> <tr> <td>16</td> <td>19</td> <td>16</td> <td>160</td> </tr> <tr> <td>17</td> <td>20</td> <td>17</td> <td>180</td> </tr> <tr> <td>18</td> <td>21</td> <td>18</td> <td>160</td> </tr> <tr> <td>19</td> <td>22</td> <td>19</td> <td>180</td> </tr> <tr> <td>20</td> <td>23</td> <td>20</td> <td>160</td> </tr> </tbody> </table>			Squeeze	Swell	Faults	Stress/Strength	2	5	2	2393	3	6	3	162	4	7	4	273	5	8	5	164	6	9	6	209	7	10	7	186	8	11	8	160	9	12	9	180	10	13	10	160	11	14	11	180	12	15	12	160	13	16	13	180	14	17	14	160	15	18	15	180	16	19	16	160	17	20	17	180	18	21	18	160	19	22	19	180	20	23	20	160	J _s SRF Stress reduction factor																																																																																																																																																																																																																																																																																																																																																																													
Squeeze	Swell	Faults	Stress/Strength																																																																																																																																																																																																																																																																																																																																																																																																																																																														
2	5	2	2393																																																																																																																																																																																																																																																																																																																																																																																																																																																														
3	6	3	162																																																																																																																																																																																																																																																																																																																																																																																																																																																														
4	7	4	273																																																																																																																																																																																																																																																																																																																																																																																																																																																														
5	8	5	164																																																																																																																																																																																																																																																																																																																																																																																																																																																														
6	9	6	209																																																																																																																																																																																																																																																																																																																																																																																																																																																														
7	10	7	186																																																																																																																																																																																																																																																																																																																																																																																																																																																														
8	11	8	160																																																																																																																																																																																																																																																																																																																																																																																																																																																														
9	12	9	180																																																																																																																																																																																																																																																																																																																																																																																																																																																														
10	13	10	160																																																																																																																																																																																																																																																																																																																																																																																																																																																														
11	14	11	180																																																																																																																																																																																																																																																																																																																																																																																																																																																														
12	15	12	160																																																																																																																																																																																																																																																																																																																																																																																																																																																														
13	16	13	180																																																																																																																																																																																																																																																																																																																																																																																																																																																														
14	17	14	160																																																																																																																																																																																																																																																																																																																																																																																																																																																														
15	18	15	180																																																																																																																																																																																																																																																																																																																																																																																																																																																														
16	19	16	160																																																																																																																																																																																																																																																																																																																																																																																																																																																														
17	20	17	180																																																																																																																																																																																																																																																																																																																																																																																																																																																														
18	21	18	160																																																																																																																																																																																																																																																																																																																																																																																																																																																														
19	22	19	180																																																																																																																																																																																																																																																																																																																																																																																																																																																														
20	23	20	160																																																																																																																																																																																																																																																																																																																																																																																																																																																														

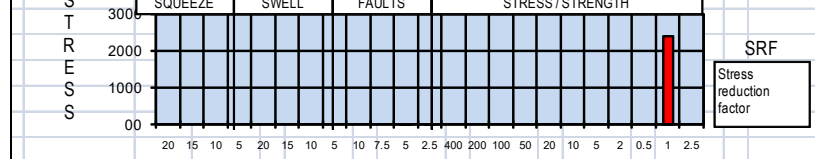
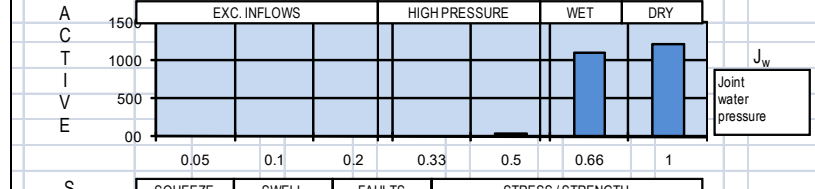
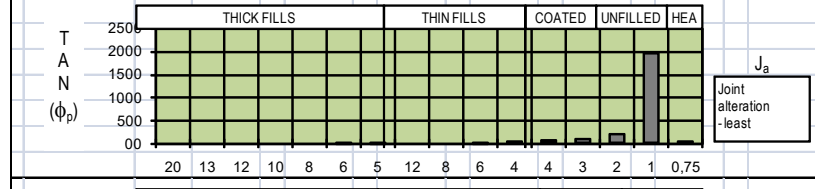
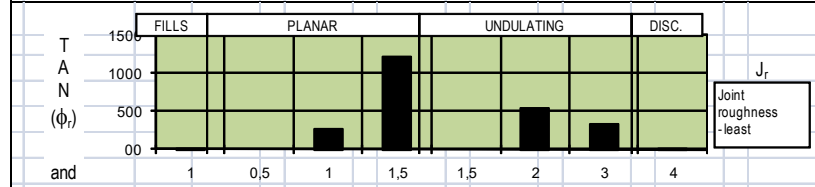
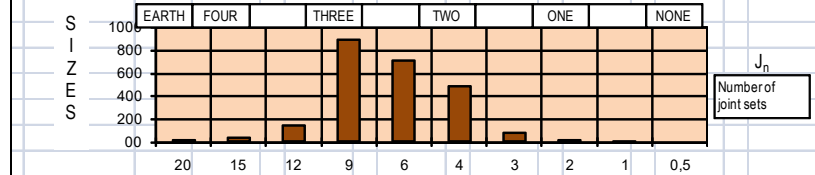
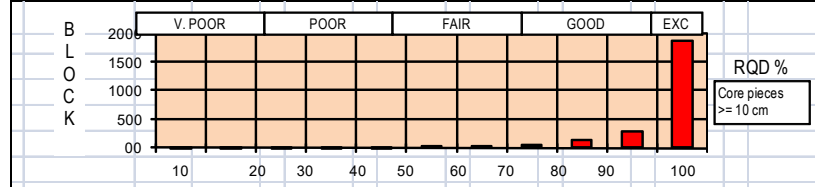
NOT EXACTLY 'ALL-PINK' WITH MINIMAL VARIATION.

LOW V_p FRACTURED ZONES NOT INCLUDED

Each letter represents nine locations.

Location: TUNNEL-SOUTH		Depth / chainage:		Date: 30.8.04																																																																																																																															
JBV ÅSLAND-LANGHUS		ROCK EXPOSURES LOGGED		Page: 40																																																																																																																															
Numbers for domains, core boxes, tunnel lengths	Q (typical range) = 0.1-100	Q (mean) = 11.1	Q (most freq.) = 11.0																																																																																																																																
	$(\frac{75-100}{4-15}) \times (\frac{1-4}{1-5}) \times (\frac{0.5-1.0}{1.0})$	$(\frac{98}{8.4}) \times (\frac{1.7}{1.3}) \times (\frac{0.75}{1.0})$	$(\frac{100}{9}) \times (\frac{1.5}{1.0}) \times (\frac{0.66}{1.0})$																																																																																																																																
(underline, or specify)	<table border="1"> <thead> <tr> <th>Very Poor</th> <th>Poor</th> <th>Fair</th> <th>Good</th> <th>Exc.</th> </tr> </thead> <tbody> <tr> <td>2</td> <td>6</td> <td>18</td> <td>46</td> <td>123</td> </tr> <tr> <td>3</td> <td>7</td> <td>19</td> <td>47</td> <td>124</td> </tr> <tr> <td>4</td> <td>8</td> <td>20</td> <td>48</td> <td>125</td> </tr> <tr> <td>5</td> <td>9</td> <td>21</td> <td>49</td> <td>126</td> </tr> <tr> <td>6</td> <td>10</td> <td>22</td> <td>50</td> <td>127</td> </tr> <tr> <td>7</td> <td>11</td> <td>23</td> <td>51</td> <td>128</td> </tr> <tr> <td>8</td> <td>12</td> <td>24</td> <td>52</td> <td>129</td> </tr> <tr> <td>9</td> <td>13</td> <td>25</td> <td>53</td> <td>130</td> </tr> <tr> <td>10</td> <td>14</td> <td>26</td> <td>54</td> <td>131</td> </tr> <tr> <td>11</td> <td>15</td> <td>27</td> <td>55</td> <td>132</td> </tr> <tr> <td>12</td> <td>16</td> <td>28</td> <td>56</td> <td>133</td> </tr> <tr> <td>13</td> <td>17</td> <td>29</td> <td>57</td> <td>134</td> </tr> <tr> <td>14</td> <td>18</td> <td>30</td> <td>58</td> <td>135</td> </tr> <tr> <td>15</td> <td>19</td> <td>31</td> <td>59</td> <td>136</td> </tr> <tr> <td>16</td> <td>20</td> <td>32</td> <td>60</td> <td>137</td> </tr> <tr> <td>17</td> <td>21</td> <td>33</td> <td>61</td> <td>138</td> </tr> <tr> <td>18</td> <td>22</td> <td>34</td> <td>62</td> <td>139</td> </tr> <tr> <td>19</td> <td>23</td> <td>35</td> <td>63</td> <td>140</td> </tr> <tr> <td>20</td> <td>24</td> <td>36</td> <td>64</td> <td>141</td> </tr> <tr> <td>21</td> <td>25</td> <td>37</td> <td>65</td> <td>142</td> </tr> <tr> <td>22</td> <td>26</td> <td>38</td> <td>66</td> <td>143</td> </tr> <tr> <td>23</td> <td>27</td> <td>39</td> <td>67</td> <td>144</td> </tr> <tr> <td>24</td> <td>28</td> <td>40</td> <td>68</td> <td>145</td> </tr> <tr> <td>25</td> <td>29</td> <td>41</td> <td>69</td> <td>146</td> </tr> <tr> <td>26</td> <td>30</td> <td>4</td></tr></tbody></table>			Very Poor	Poor	Fair	Good	Exc.	2	6	18	46	123	3	7	19	47	124	4	8	20	48	125	5	9	21	49	126	6	10	22	50	127	7	11	23	51	128	8	12	24	52	129	9	13	25	53	130	10	14	26	54	131	11	15	27	55	132	12	16	28	56	133	13	17	29	57	134	14	18	30	58	135	15	19	31	59	136	16	20	32	60	137	17	21	33	61	138	18	22	34	62	139	19	23	35	63	140	20	24	36	64	141	21	25	37	65	142	22	26	38	66	143	23	27	39	67	144	24	28	40	68	145	25	29	41	69	146	26	30	4
Very Poor	Poor	Fair	Good	Exc.																																																																																																																															
2	6	18	46	123																																																																																																																															
3	7	19	47	124																																																																																																																															
4	8	20	48	125																																																																																																																															
5	9	21	49	126																																																																																																																															
6	10	22	50	127																																																																																																																															
7	11	23	51	128																																																																																																																															
8	12	24	52	129																																																																																																																															
9	13	25	53	130																																																																																																																															
10	14	26	54	131																																																																																																																															
11	15	27	55	132																																																																																																																															
12	16	28	56	133																																																																																																																															
13	17	29	57	134																																																																																																																															
14	18	30	58	135																																																																																																																															
15	19	31	59	136																																																																																																																															
16	20	32	60	137																																																																																																																															
17	21	33	61	138																																																																																																																															
18	22	34	62	139																																																																																																																															
19	23	35	63	140																																																																																																																															
20	24	36	64	141																																																																																																																															
21	25	37	65	142																																																																																																																															
22	26	38	66	143																																																																																																																															
23	27	39	67	144																																																																																																																															
24	28	40	68	145																																																																																																																															
25	29	41	69	146																																																																																																																															
26	30	4																																																																																																																																	

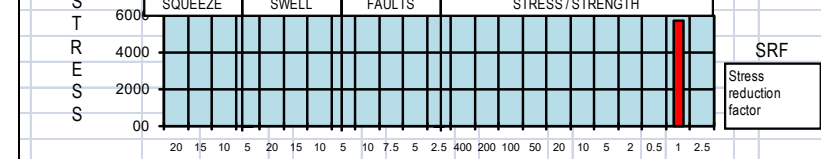
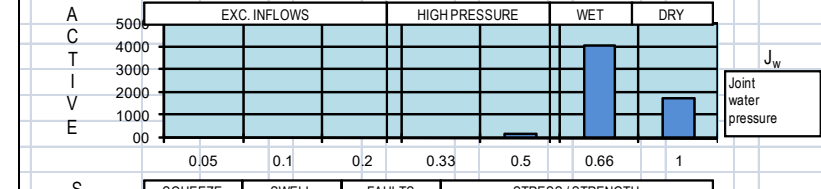
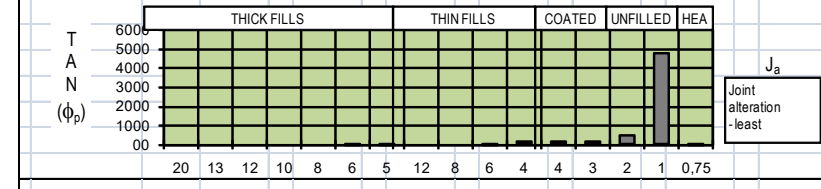
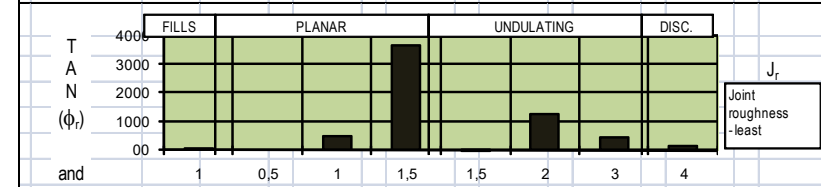
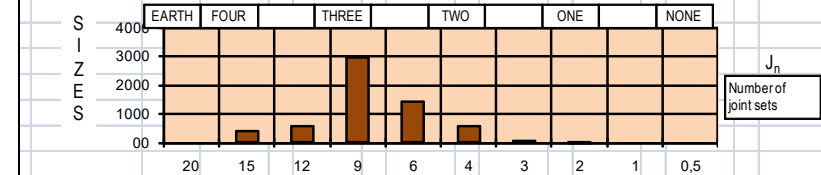
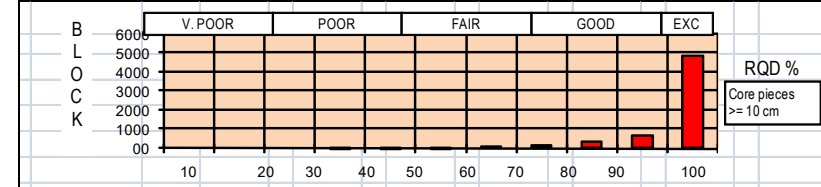
Q - VALUES=	(RQD / Jn) * (Jr / Ja) * (Jw / SRF) = Q
Q (typical min)=	75 / 15.0 * 1.0 / 4.0 * 0.50 / 1.0 = 0.625
Q (typical max)=	100 / 3.0 * 3.0 / 1.0 * 1.00 / 1.0 = 100.0
Q (mean value)=	96 / 7.1 * 1.8 / 1.3 * 0.83 / 1.0 = 15.36
Q (most frequent)=	100 / 9.0 * 1.5 / 1.0 * 1.00 / 1.0 = 16.67



JBV OSLO-SKI	Rev.	Report No.	Figure No.
		NB&A #1	9
	Borehole No. :	Drawn by	Date
	rock exposures	NB&A	30.8.09
Q-histogram based on compilation of all rock-exposure logging for TUNNEL-NORTH, therefore excluding core and weakness zones.	Depth zone (m)	Checked	
	near-surface	nrb	
	Approved		

NORTH + SOUTH TUNNELS

Q - VALUES=	(RQD / Jn) * (Jr / Ja) * (Jw / SRF) = Q
Q (typical min)=	75 / 15.0 * 1.0 / 5.0 * 0.50 / 1.0 = 0.500
Q (typical max)=	100 / 4.0 * 4.0 / 1.0 * 1.00 / 1.0 = 100.0
Q (mean value)=	98 / 8.4 * 1.7 / 1.3 * 0.75 / 1.0 = 11.07
Q (most frequent)=	100 / 9.0 * 1.5 / 1.0 * 0.66 / 1.0 = 11.00

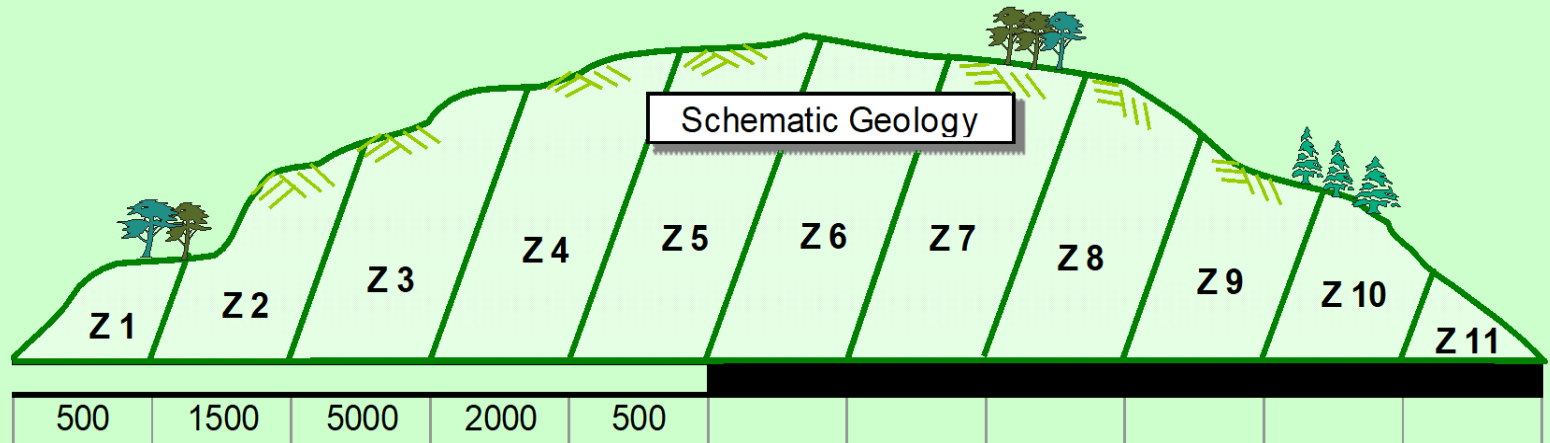


JBV OSLO-SKI	Rev.	Report No.	Figure No.
		NB&A #1	10
	Borehole No. :	Drawn by	Date
	Rock slopes	NB&A	31.8.09
Q-histogram based on compilation of all rock-exposure logging for TUNNEL-SOUTH, therefore excluding core and weakness zones.	Depth zone (m)	Checked	
	near-surface	nrb	
	Approved		

Values given in Javier Macias lecture.

(JM and NB,2022)





ZONE 5

LITHOLOGY Class 1 granitic gneiss

ZONE LENGTH 500

INPUT DATA

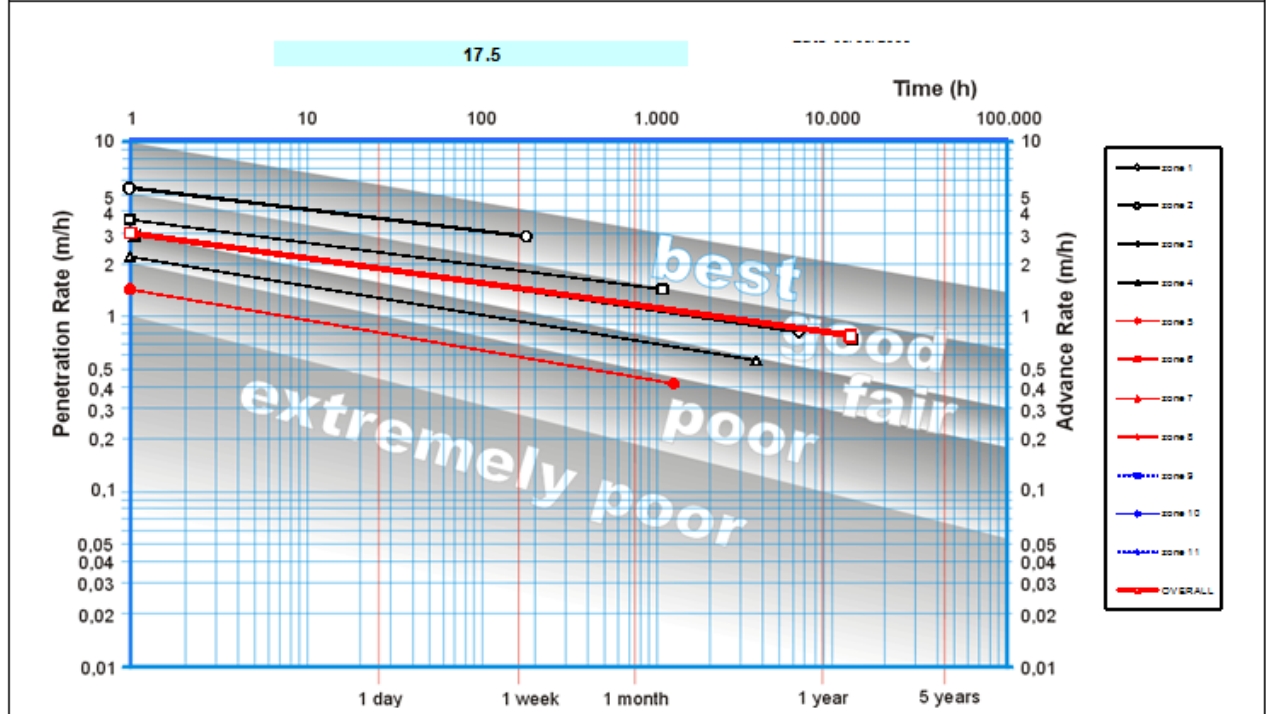
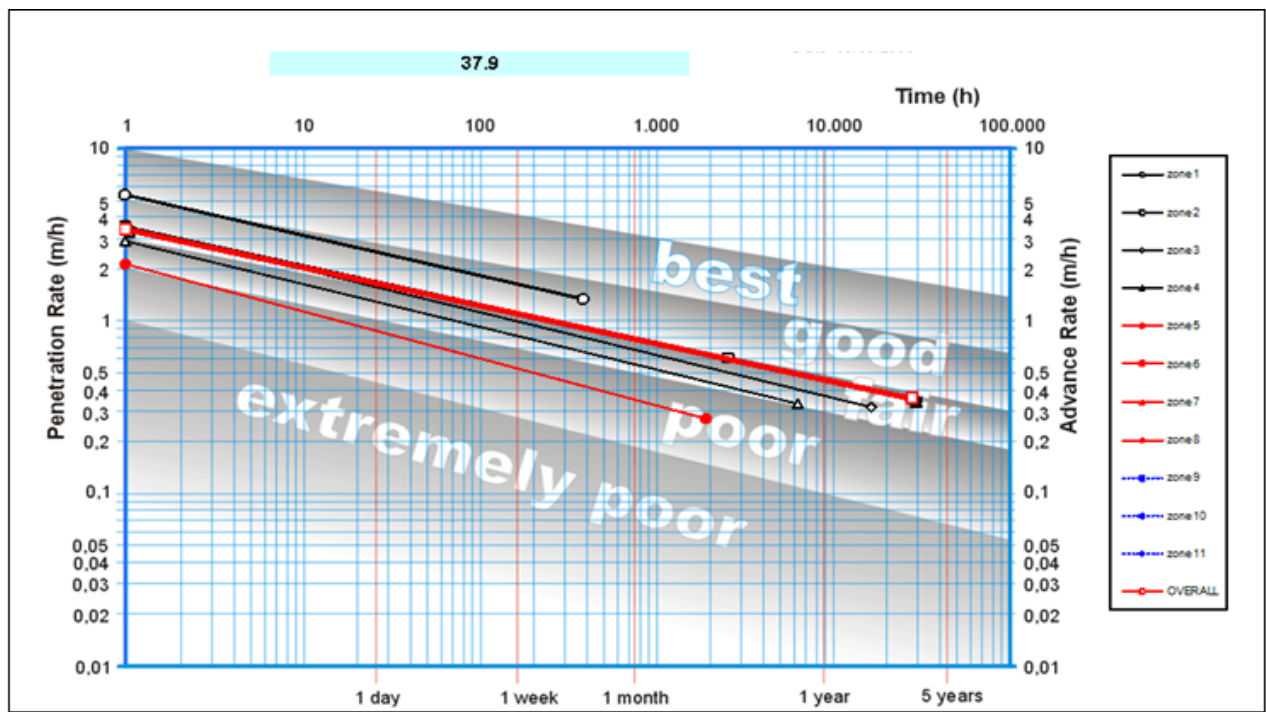
RQD	J_n	J_r	J_a	J_w	SRF	$-m_1$	RQD ₀	γ (g/cm ³)
100.0	2.0	3.0	1.0	1.00	1.0	-0.19	100.0	2.8

V_P
(km/s)

β°	σ_c (MPa)	I_{50} (MPa)	F (tf)	CLI	q (%)	σ_θ (MPa)	D (m)	n (%)
	250.0		32.0	5.0	35.0	8.0	10.0	1.0

**INPUT-DATA
SCREEN FOR
ASSUMED (in 2009)
CLASS 1
ROCK MASS.**

**MANY ADVERSE
CHARACTERISTICS
FOR TBM: hard
rock, too few joints,
LOW PR).**



NORTH TUNNELS

Comparing open-gripper TBM (top) and double-shield TBM (bottom).

(37.9 months or optimistic $1/2 \times -m$)
 17.5 months,
 both without weakness zones).

Assumed distribution of rock classes in the North and South tunnels (in 2009 analyses)

(Representative mean depths are shown in parentheses).

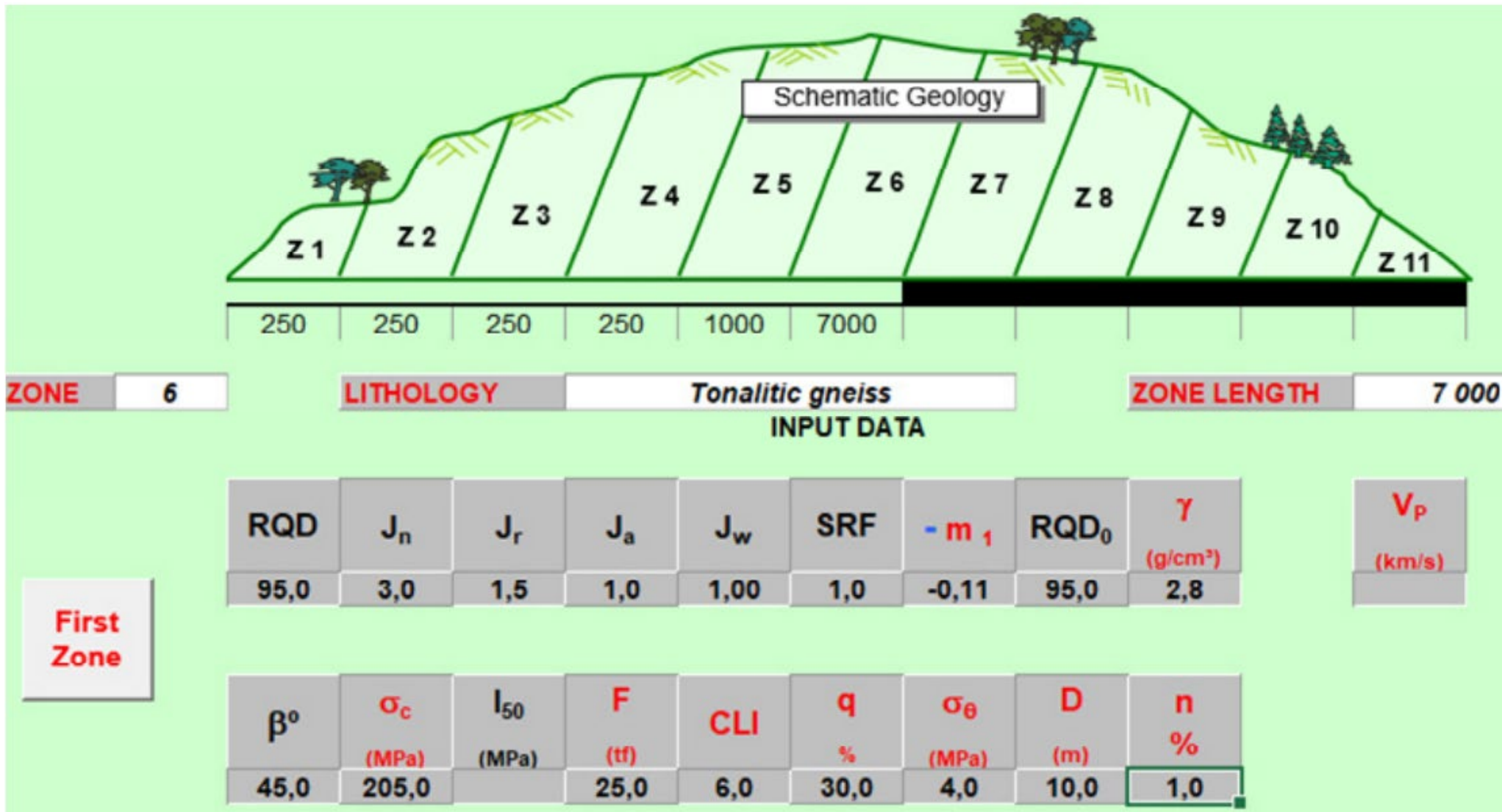
Poorer rock classes Q6, Q7 and Q8 were evaluated by means of V_p from refraction seismic profiles in known weakness zones, and logging of relevant lengths of core.

Much more Q2, less Q3, less Q4...with benefit of more Vp data

TUNNEL	Q1 Q > 100	Q2 Q 40-100	Q3 Q 10-40	Q4 Q 10-4	Q5 Q 4-1
North L \approx 9.6km	500 <i>(160)</i>	2000 <i>(120)</i>	5000 <i>(100)</i>	1500 <i>(80)</i>	500 <i>(70)</i>
South L \approx 7.9 km	200 <i>(130)</i>	1000 <i>(110)</i>	2500 <i>(80)</i>	1750 1750 <i>(60) (30)</i>	500 <i>(30)</i>

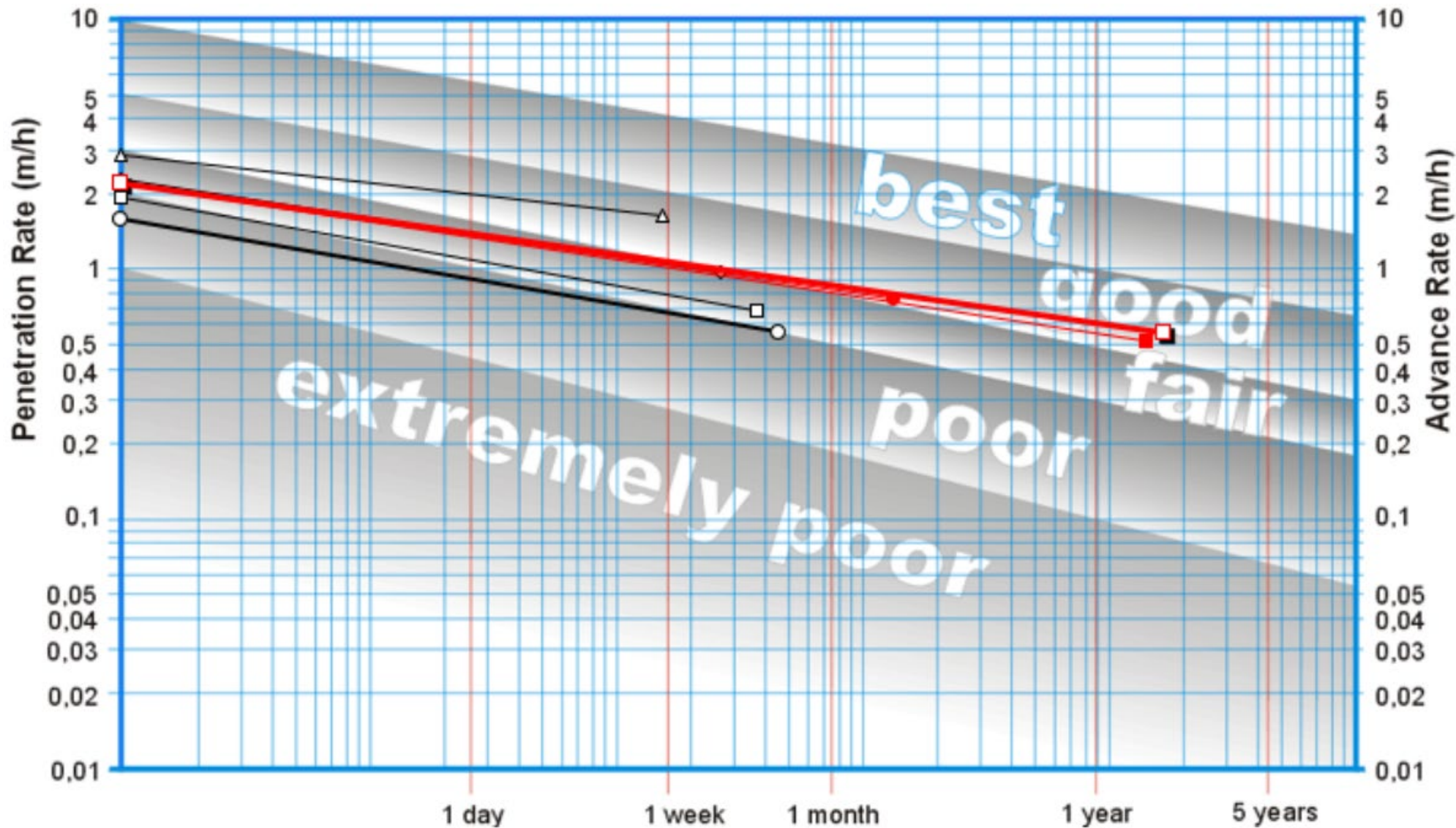
In 2009 this was the seismic data available.
Here focussed on low-velocity zones.

Approx. Q-value if 25 m depth	0.01- 0.03	0.03- 0.1	0.1- 0.3	0.3- 1.0	1.0-3.2	3.2- 10	10-32	32-100	100-320
Vp km/s	1.5 – 2.0	2.0 – 2.5	2.5 – 3.0	3.0 – 3.5	3.5 – 4.0	4.0 – 4.5	4.5 – 5.0	5.0 – 5.5	5.5 – 6.0
No. of measurements In range	I (1)	III (3)	IIII IIII (9)	IIII (5)	IIII IIII IIII (14)	IIII IIII IIII II (17)	IIII IIII IIII (14)	IIII IIII IIII IIII IIII (25)	IIII (5)
Thickness of Weakness Zones ≈ (m)	15 22	13 20 31 30 8	8 35 6 10 11 9 17 40	16 40 15 8	8 15	<i>regular</i>	<i>jointed</i>	<i>rock</i>	<i>massive</i>
Sum of thicknesses ≈ (m)	37	102	136	79	23	Σ= 377 m recorded with various seismic profile directions, typically NNE and WSW in 'focused' lows			



THIS 'INPUT DATA' SCREEN OF THE QTBM MODEL (Barton and Abrahaao, 2003) PRESENTS THE FINAL 7KM OF A TEST FIT TO FOLLO LINE CONDITIONS, WITH UPDATED (GENERALLY HIGHER) Q-VALUES FROM PROJECT LOGGING DATA AND A MORE COMPLETE SEISMIC VELOCITY DATA BASE THAN WAS AVAILABLE IN 2009. (Here: $Q = 95/3 \times 1.5/1.0 \times 1/1 = 48$)

THE FOUR INITIAL TRIAL 250M LENGTHS INCLUDED VARIATIONS OF CUTTER THRUST (F), QUARTZ % (q) AND CLI.



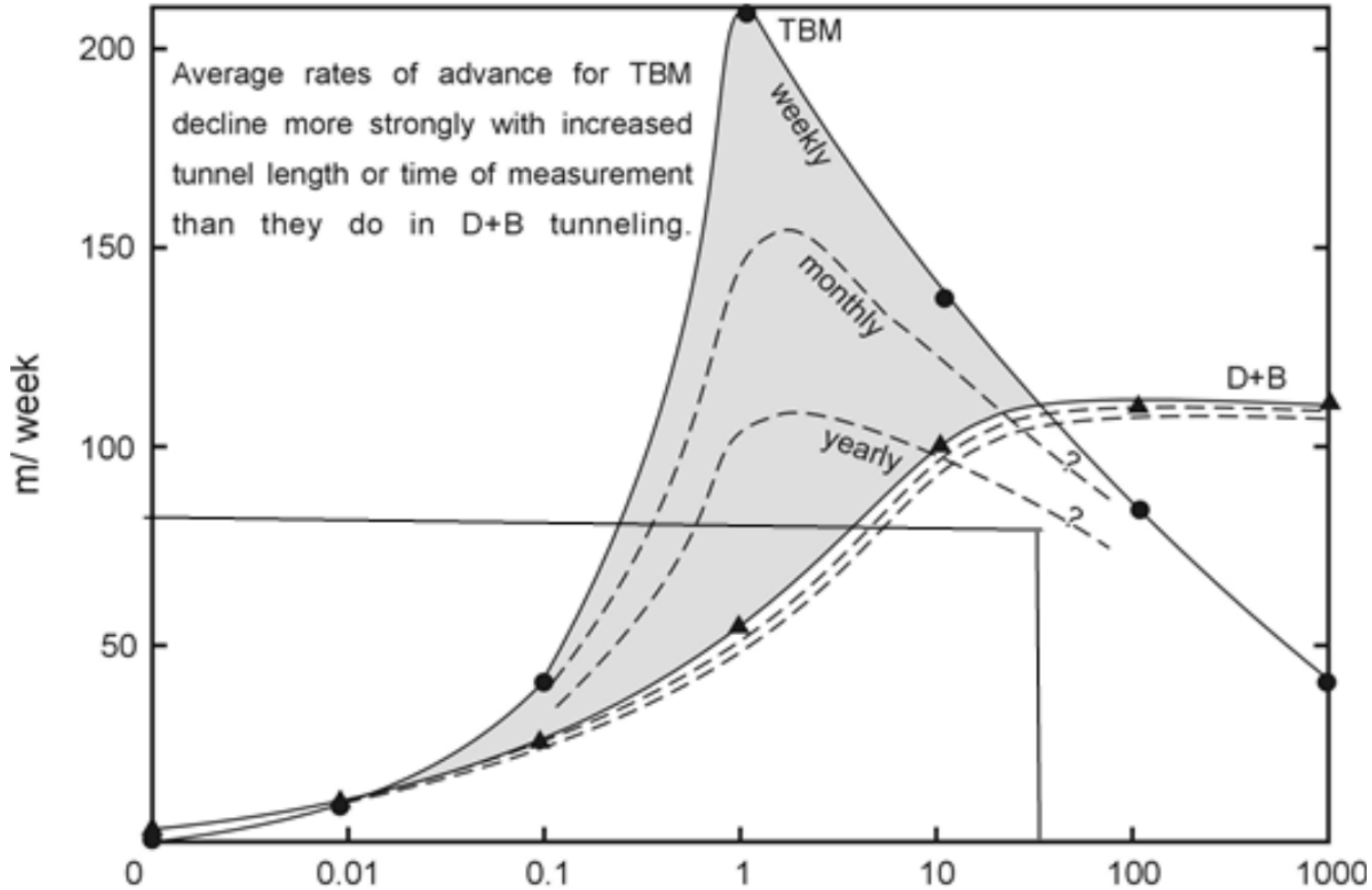
The six modelled lengths (with the dominant 7km) from last figure demonstrate PR mean = 2.3m/hr (slightly high).

AR mean = 0.5m/hr, is as experienced on average in the 36km of Follo Line TBM tunnelling.

BASIC CALCULATION

ZONE	LITHOLOGY	STABILITY	ORIENTED	ROCK MASS STRENGTH					Q	GRADIENT
		Q	Q0	Qc	QT	SIGMA _{CM}	SIGMA _{TM}	SIGMA	TBM	m
1	Tonalitic gneiss	150,00	150,00	315,00	0,00	95,26	0,00	95,26	345,49	-0,17
2	Granitic gneiss	71,25	71,25	171,00	0,00	77,71	0,00	77,71	130,04	-0,18
3	Biotite gneiss	45,00	45,00	69,75	0,00	59,69	0,00	59,69	57,36	-0,15
4	Amphibolite	37,50	37,50	103,13	0,00	70,34	0,00	70,34	17,75	-0,11
5	Granitic gneiss	45,00	45,00	108,00	0,00	66,67	0,00	66,67	64,43	-0,15
6	Tonalitic gneiss	47,50	47,50	97,38	0,00	64,41	0,00	64,41	65,70	-0,15
7									0,00	0,00
8									0,00	0,00
9									0,00	0,00
10									0,00	0,00
11									0,00	0,00

ZONE	LITHOLOGY	PENETRATION		TIME TO ADVANCE		OVERALL PERFORMANCE		
		PR	AR	T	check	ΣL	ΣT	
1	Tonalitic gneiss	1,55	0,54	458,85	250,00	9 000,00 m	16 382,39 h	PRL(av)
2	Granitic gneiss	1,89	0,67	373,19	250,00			
3	Biotite gneiss	2,22	0,94	264,89	250,00			
4	Amphibolite	2,81	1,61	155,23	250,00			
5	Granitic gneiss	2,17	0,75	1 326,33	1 000,00			
6	Tonalitic gneiss	2,16	0,51	13 803,89	7 000,00			
7		0,00	0,00	0,00	0,00	9,00 km	22,75 month	ART(av)
8		0,00	0,00	0,00	0,00			
9		0,00	0,00	0,00	0,00			
10		0,00	0,00	0,00	0,00			
11		0,00	0,00	0,00	0,00			

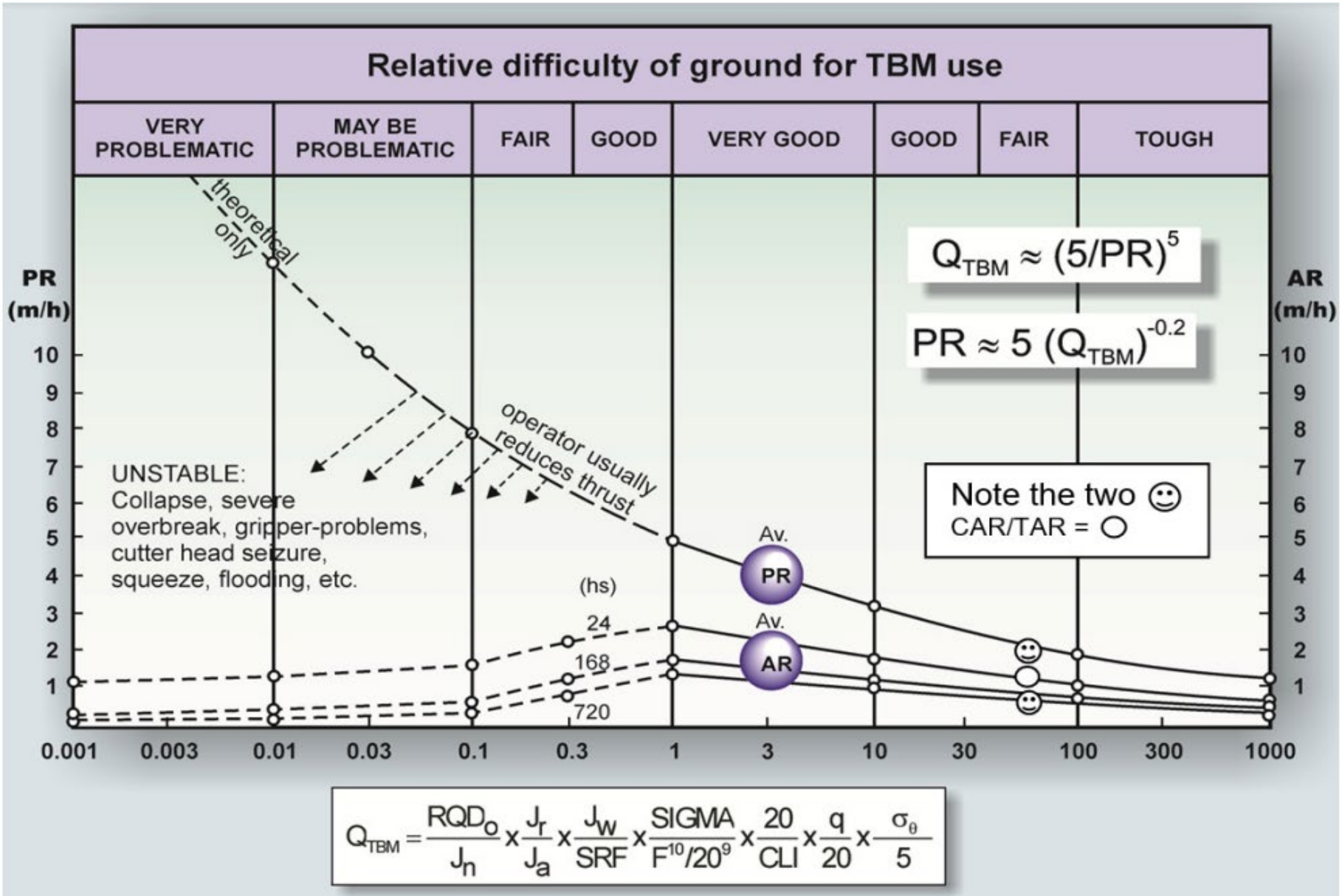


Comparison of TBM and drill-and-blast from Barton, 2000.

Added 'rectangle' assumes a Q-value of ≈ 40 , intersecting an approx. 2 years result and with mean $\approx 80\text{m/week}$ on the vertical axis.

The mean completion time for the four 9km tunnels was 110 weeks.

$(80 \times 110 \approx 9.0\text{km})$.



The two 'smiley' symbols drawn at a Q (and QTBM) value of 60 show approx. PR = 2m/hr and AR = 0.5m/hr.

These are relevant to the mean PR and AR of the 4 x ≈9km of the double-shield TBM used at the Follobanen.

CONCLUSIONS

1.NB beliefs: Need rock mass strength to compare with cutter force, number of joint sets and joint Jr (affect over-break and cutter action)

2. Pre-injection helps to improve most of the six Q-parameters, so (-m) less negative. This means fewer long delays for the TBM, despite the time needed for the pre-injections.

3.Do not ‘automatically’ choose TBM for long tunnels. A ‘hybrid’ solution might have advantages. Drill-and-blast the deeper and less investigated sections, if intermediate access is possible. Help maintain the good reputation of TBM!

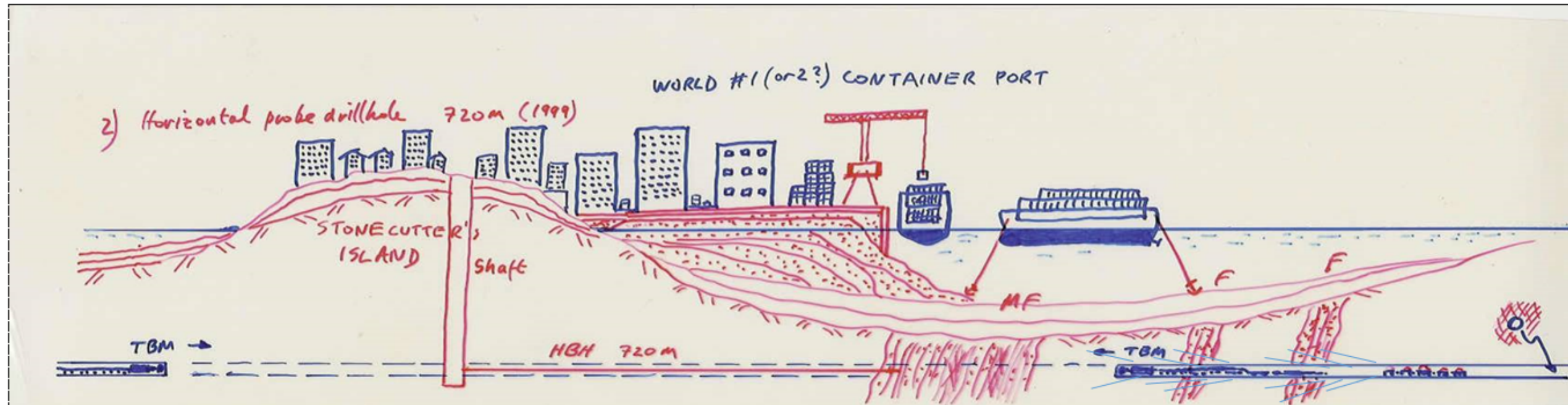
4. Descriptions of the rock mass are limited to each 24 hours (stand-still) in double-shield with PC-elements. So double-shield case records are unreliable in relation to rock mass descriptions. Critics (of TBM prognoses) should be careful using such ‘data’!

APPENDIX

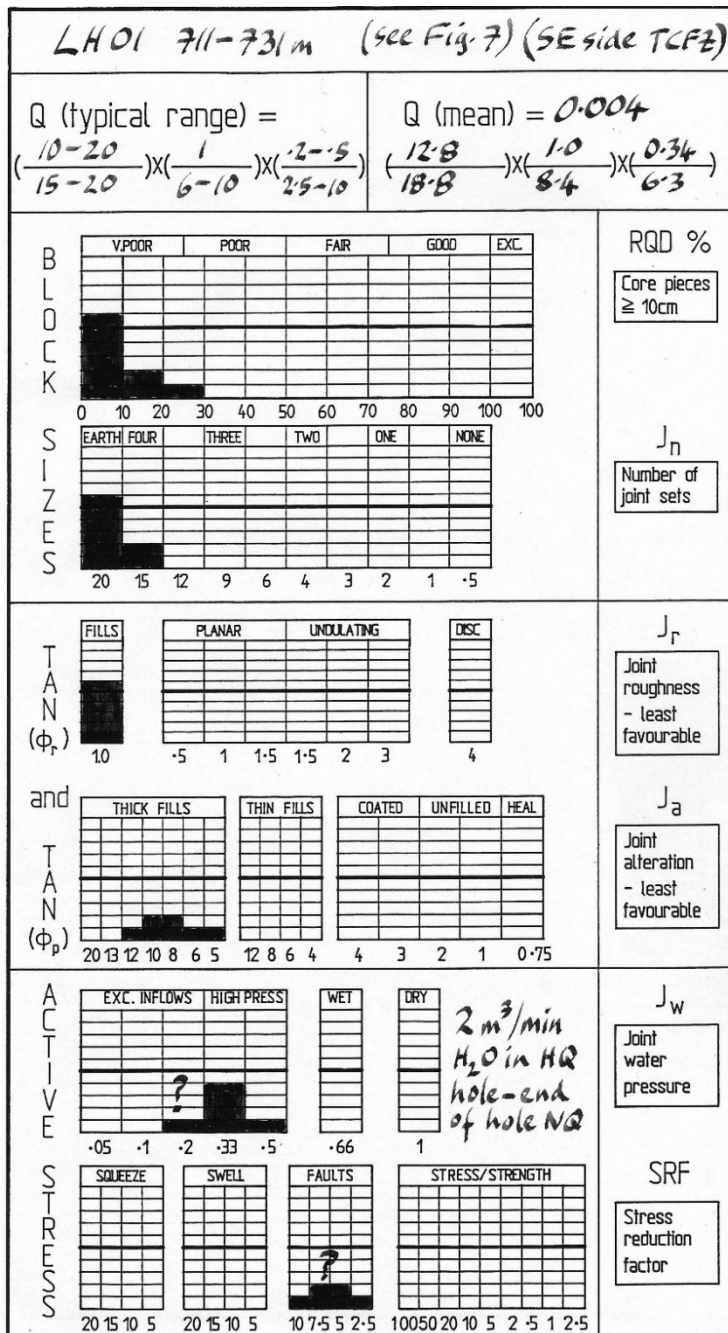
(if time!)

FAULTED SUB-SEA ROCK MASS: HONG KONG (SSDS, TUNNEL 'F' BY Skanska)

- MAJOR REGIONAL (TOLO CHANNEL) FAULT ZONE AHEAD – BUT UNKNOWN!
- NOT DRILLED: SUB-SEA SEISMIC INVESTIGATION STOPPED BY CONTAINER-PORT TRAFFIC.
- 'PILOT' HOLE: (DRILLED BACKWARDS FROM SHAFT). HOLE ONLY 731m..... STOPPED BY THE TOLO CHANNEL FAULT ZONE.
- BUT..! PRE-INJECTION ALLOWED THE 3.3m TBM TO GET THROUGH THE ZONE

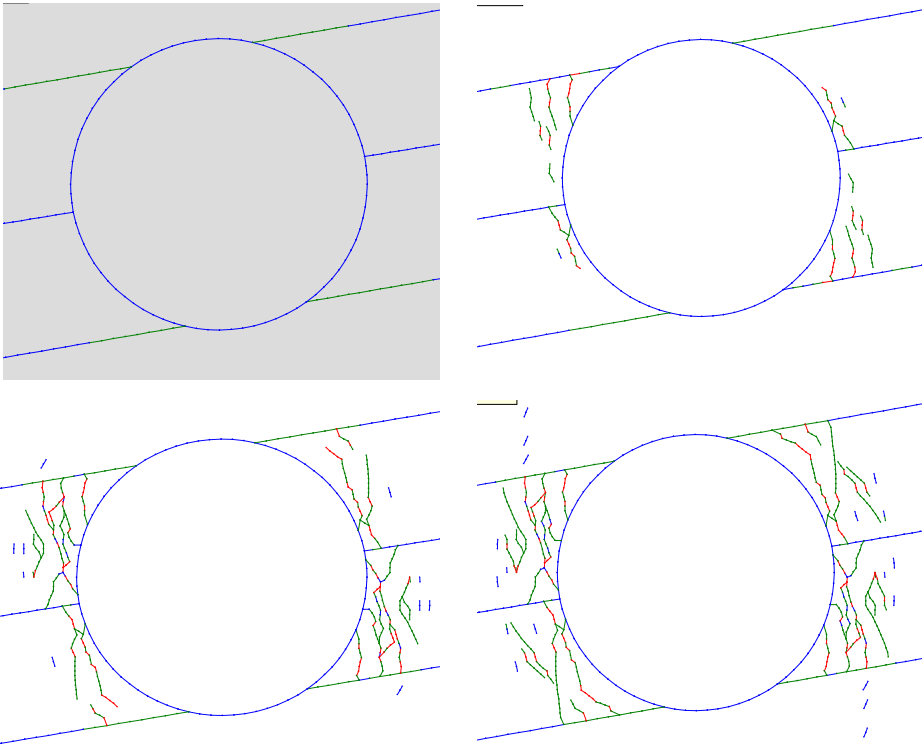


Q-PARAMETER STATISTICS FOR THE (FAULT ZONE) AT THE END OF THE 720m LONG BOREHOLE



CHARACTERISTICS OF THE ZONE ALL PLOT 'TO THE LEFT
Q_{MEAN} = 0.004.....NEEDS PRE-GROUTING IMPROVEMENT

Fig. 8. Q-parameter log of TCFZ material, ch. 711-731, LH01.



CRACKING IS ACTUALLY CAUSED BY EXCEEDING THE CRITICAL EXTENSION STRAIN:

**Cracking in tension, then shear:
(Not 'compression' failure)**

(Stacey, 1981 and Baotang Shen.....Barton and Shen, 2017)

$$\sigma_{critical\ tangential\ stress} \approx (0.4 \times UCS) \approx \sigma_t / \nu$$

(derived from $\epsilon_3 = [\sigma_3 - \nu \cdot \sigma_1] / E$ and:)

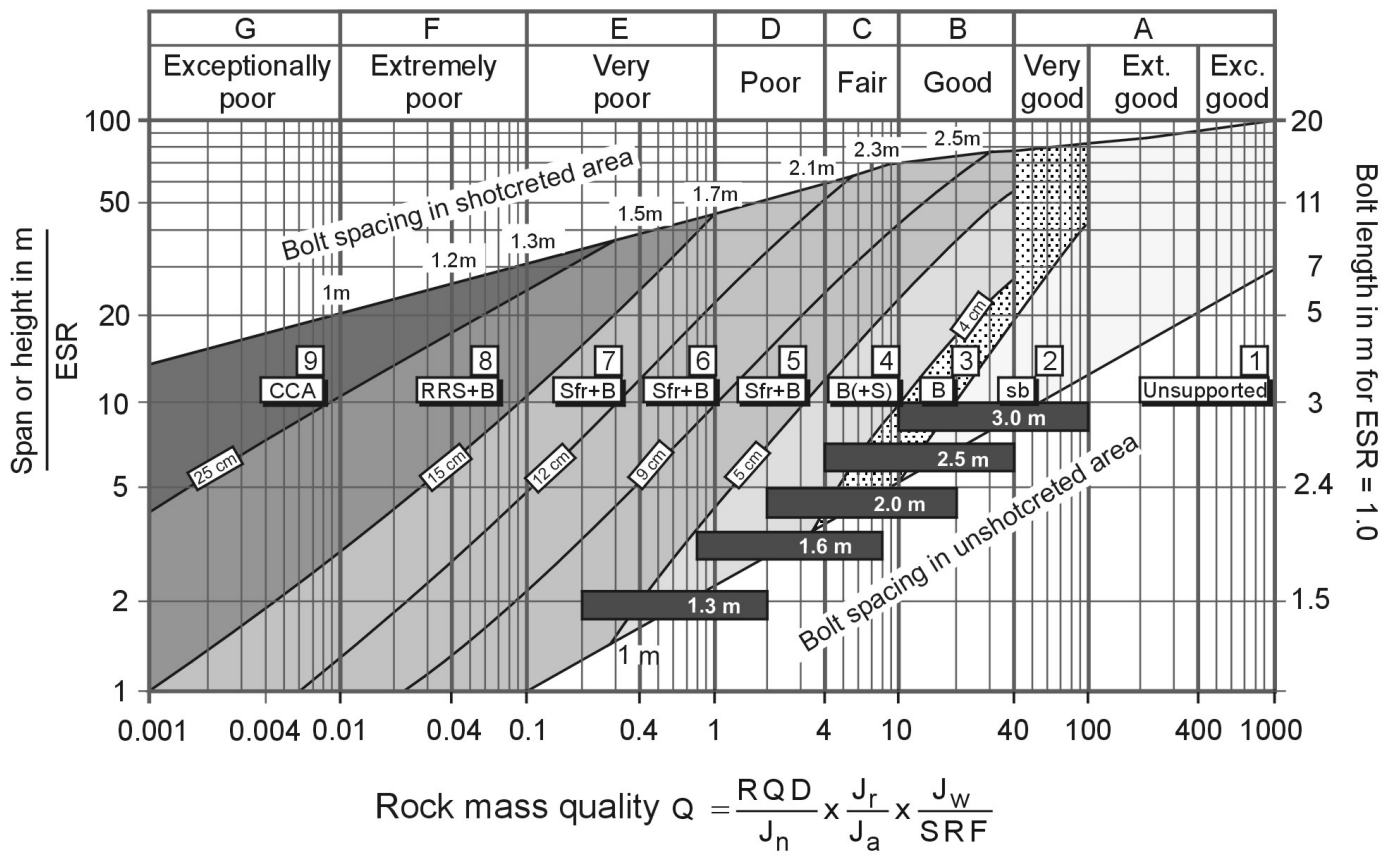
$$\sigma_t / \nu \approx \frac{UCS}{10\nu} = \frac{UCS}{10 \times 0.25} = 0.4 \times UCS$$



RMR \approx 9 lnQ+44 (Bieniawski, 1989) $Q \gg e^{\frac{(RMR-44)}{9}}$ **1**

RMR \approx 15 logQ+50 (Barton, 1995) $Q \gg 10^{\frac{(RMR-50)}{15}}$ **2**

1	RMR \approx -18.2	2.6	23.3	44	56.5	64.7	77.2	85.4	97.9	106.2					
2	RMR \approx 5	V	20	IV	35	50	III	59	65	II	74	80	89	I	95



Appropos: origin of 'central threshold' diagram (black area where rock quality assessment in TBM tunnel is changed due to lack of damage compared to D+B is:

Barton, N. 2000. *TBM Tunnelling in Jointed and Faulted Rock*. 173p. Balkema, Rotterdam.



Norsk Bergmekanikkgruppe

Bergteknikk for TBM - Boring i hardt fjell

Erfart stabilitetssikring i TBM-drevne tunneler i typisk norsk bergmassekvalitet (åpne, hard rock tbm'er)

Eivind Grøv

Chief Scientist SINTEF



Erfart stabilitetssikring i TBM-drevne tunneler i typisk norsk bergmassekvalitet

Postulat og bakgrunn for presentasjonen

Postulat som syntes å ha versert i fagmiljøet noen tid:

“I den gode enden av bergmassekvalitet er det liten forskjell på nødvendig bergforsterkning mellom en boret og en sprengt tunnel – likeså i den dårlige enden av skalaen – mens det i et rom derimellom kan være fordelaktig med TBM kontra B&S med tanke på omfanget av bergforsterkning!!!”

Hvor stort dette mulighetsrommet er – kan være vanskelig å være konkret på!



SINTEF

Erfart stabilitetssikring i TBM-drevne tunneler i typisk norsk bergmassekvalitet

Postulat/bakgrunn for presentasjonen

“Central Threshold” i figuren – beskriver de samme mulighetsrommet av Barton&Grimstad, 2014

Q-verdien her multipliseres med 2 eller 5, når hhv. $D > 5$ og $D < 5$

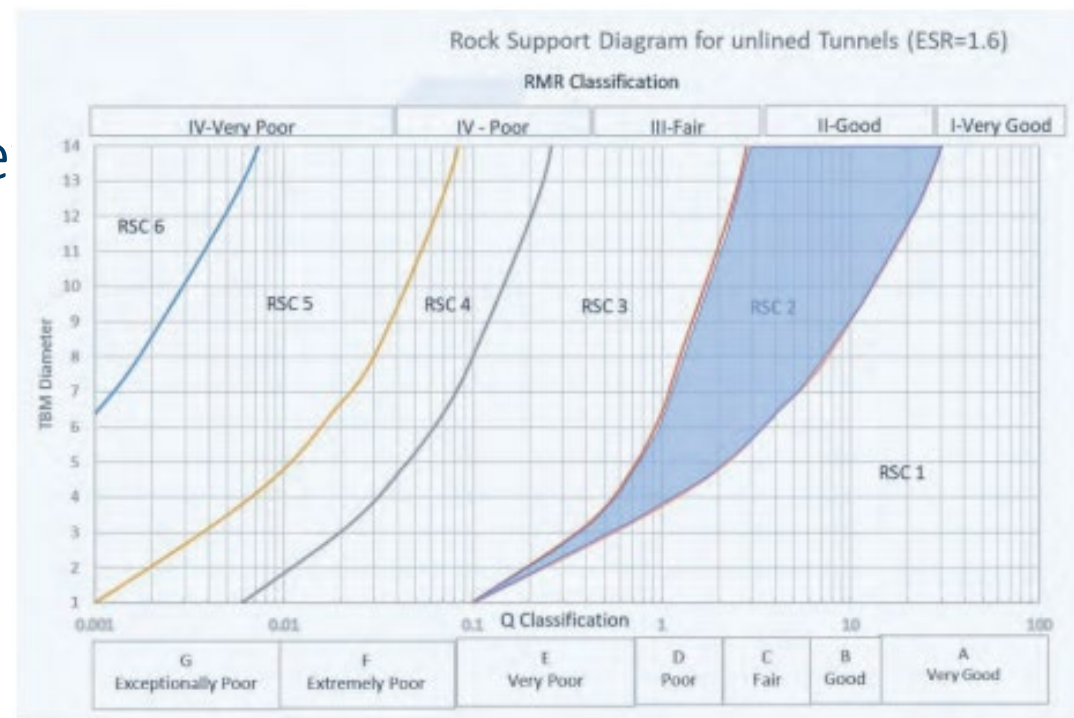
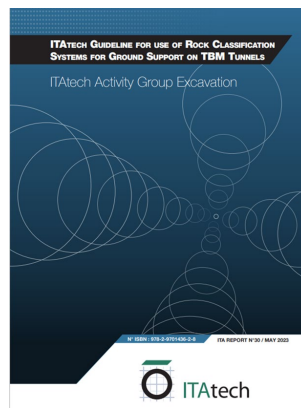


Figure 2: Rock Support Diagram for Unlined Tunnels, with the central threshold highlighted in blue.

Fra ITAtech rapport mai 2023



SINTEF

Erfart stabilitetssikring i TBM-drevne tunneler i typisk norsk bergmassekvalitet

Hva med tilgjengelighet på data?

Det er vanskelig å finne data på erfart sikringsomfang på TBM-prosjekter

- Ikke så mange å velge mellom idag i Norge – Nyere tunneler er få, 20 tomrom
- Ofte er det noe kontraktuelt/hemmelighetskremmeri omkring dette
- De fleste skribenter er opptatt av inndrift, matekraft, kutterslitasje
- Sikringsomfang og –bestemmelse kommer ofte dårlig frem
- Det er ofte det samme med kartleggingsskjema
- Og så har vi de prosjektene som velger hel segmentforing



Erfart stabilitetssikring i TBM-drevne tunneler i typisk norsk bergmassekvalitet

Før vi går videre; Hva mener vi egentlig med stabilitetssikring?

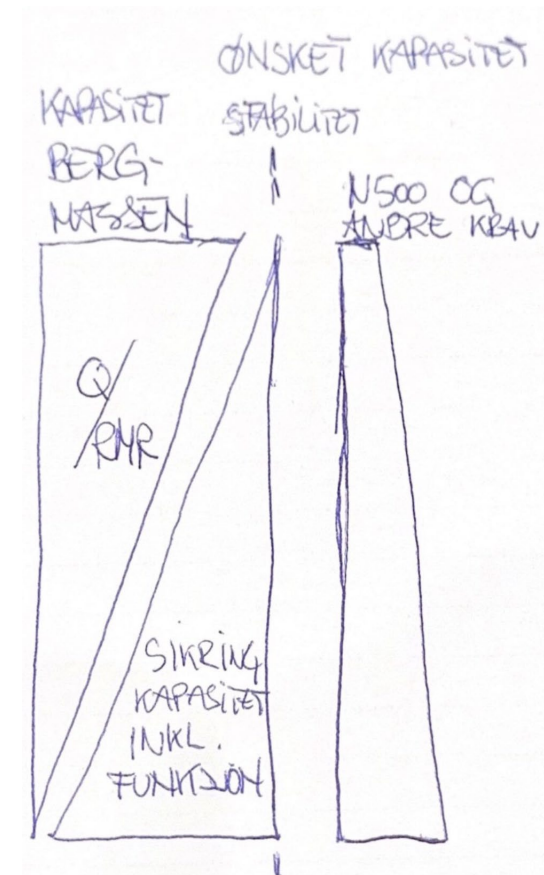
Bergforsterkning kontra Tunnelsikring:

Bergforsterkning = supplement til bergets egen kapasitet for å oppnå ønsket sikkerhet mtp stabilitet = eks. Basert på Q/RMR eller lign. for å bestemme supplement til bergets egen kapasitet.

Forhold (eks. ESR) knyttet til funksjon

Tunnelsikring = for eks. Sikringsklasser i hht. N500 eller tilsvarende.

Nødvendig bergforsterkning \neq (ofte $<$) antunnelsikring

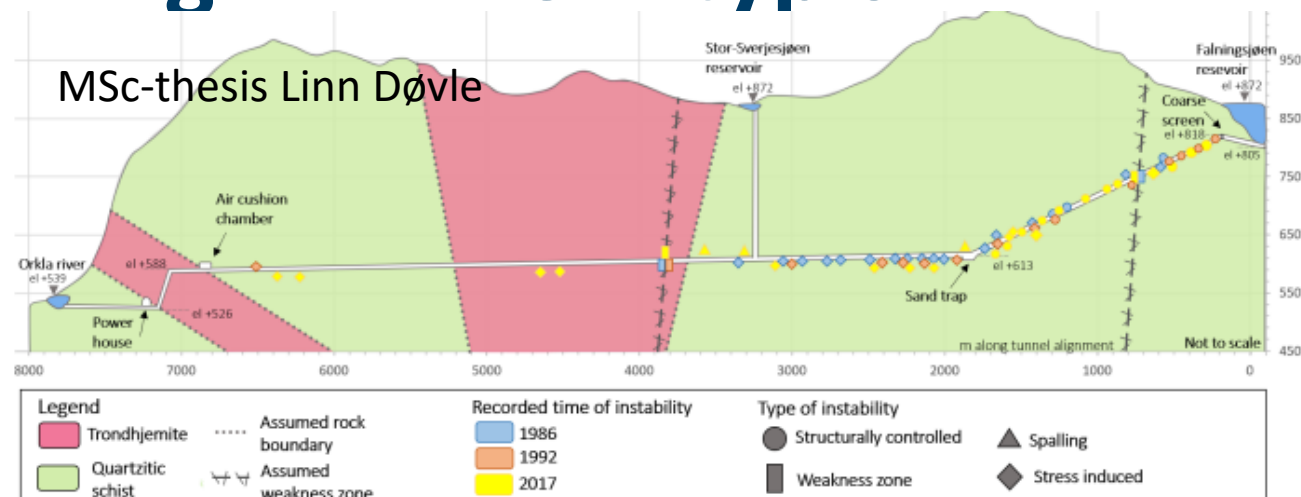




SINTEF

Erfart stabilitetssikring i TBM'er i typisk norsk bergmasse

Innledning



- Mitt først møte med TBM'er (-84)
- Kartla overføringstunnel til Falningsjøen og tilløpstunnel til Ulset kraftverk
- Husker det som svært krevende øvelse – hva skulle nedtegnes og hva ikke
- Husker at det var langt mellom hver bolt og sprøytebetong
- Rapport senere 25m lengde med sprøytebetong og 35m lengde boltet
- Men strekninger med senere instabilitet ble registrert – spenningsrelaterte årsaker – nedfall og flak på sålen

BUDSKAPET er: vanskelig å ha fantasi til å få med alt – og ikke for nybegynnere



Erfart stabilitetssikring i TBM'er i typisk norsk bergmasse

Så fulgte TBM i Saudi Arabia

- TBM – åpen HP, diameter 4,25 meter (ombygd Robbins 257??)
- Grundig geologisk kartlegging underveis – gjengs for hele SSSP-prosjektet
- Sikring som sådan og i hht gjeldende standard da – bolteboring bak stuff
- Utstyr ettermontert for boring foran stuff – pga vannproblemer tidligere
- Nært tilslutning til D&B-seksjonen går det ras på stuff – Palm Wadi
- 13 m bred svakhetssone ble forsøkt boret gjennom uten forbehandling – påvist ved sonderboring - maskinen stod flere dager i sonen og raset – snurret ikke
- TBM'en ble demontert der og da og gjennomslag ble utført fra D&B-siden etter at sonen var 'gjenfylt' med betong

BUDSKAPET er: til tross for nitidig oppfølging – løs problemet, ikke vent

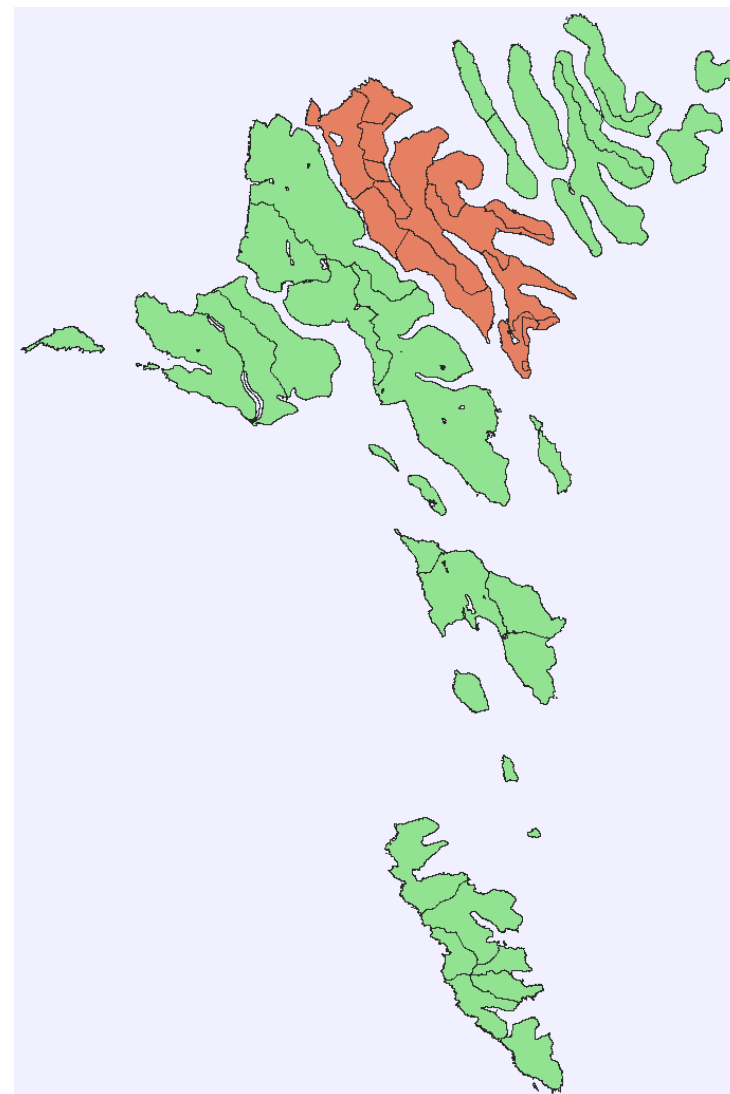


SINTEF

Erfart stabilitetssikring i TBM'er i typisk norsk bergmasse

En kjapp tur innom Færøyene

- SEV har egen TBM – en ordinær maskin fra 80-tallet (Robbins)
- Benyttet hovedsaklig på Eidi-prosjektet – et vannkraftprosjekt
- Siste utvidelsen var ca. 15 år tilbake
- Det er generelt lite sikringsbehov i TBM-tunnelen – i størrelsesorden 200 stk bolter over 8200 meter TBM-tunnel



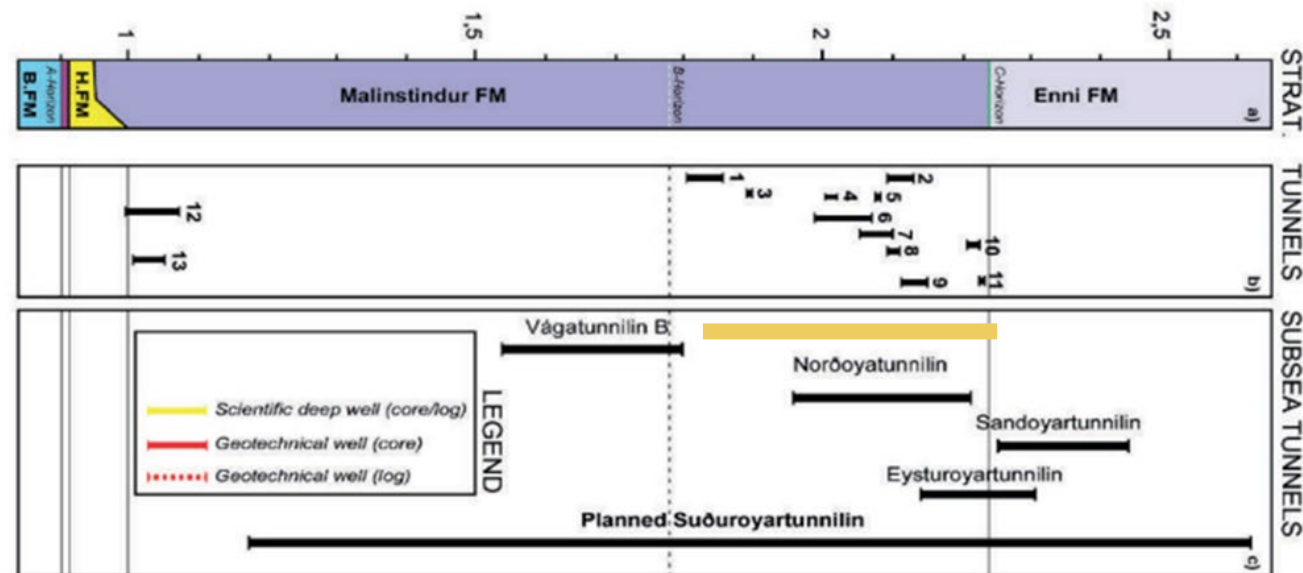


SINTEF

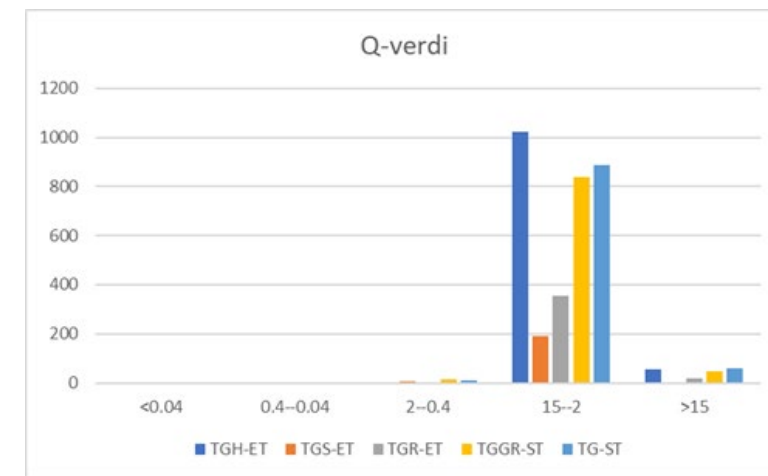
Erfart stabilitetssikring i TBM'er i typisk norsk bergmasse

En kjapp tur innom Færøyene

- Godt tallmateriale fra nye vegtunneler på Færøyene



Sikringselement	Erfarte mengder			
	Vagatunnelen	Nordøya-tunnelen	Eysturøy-tunnelen	Sandøy-tunnelen
Tverrsnitt (m3)	65	65	75	71
Tetthetskrav (l/min/100m)	30	30	20	20
Målt innlekkasje (l/min/100m)	8,5	16,8	12	12
Bolter (stk pr lm)	5,5	5,4	4,42	4,02
Sprøytebetong (m3 pr lm)	0,5	0,9	1,58	1,44



BUDSKAPET her: postulatet er OK



SINTEF

Erfart stabilitetssikring i TBM'er i typisk norsk bergmasse

Ulriken Jernbanetunnel



9,3 meter DIA TBM i
granittiske gneiser – 6,9 km
TBM



Erfart stabilitetssikring i TBM'er i typisk norsk bergmasse

Ulriken jernbanetunnel

Bergmasseklasse	Prosentfordeling
A	5,5
B	80,5
C	11,0
D	3,0
E	0,0
F	0,0

Bergmasseklasse	Prosentfordeling
A	26 %
B	35 %
C	24 %
D	12,9 %
E	1,9 %
F	0,3 %

Q-verdi	Bergforhold
40-100	Svært godt
10-40	Godt
4-10	Middels
1-4	Dårlig
0,1-1	Svært dårlig
0,01-0,1	Ekstremt dårlig
0,001-0,01	Eksepsjonelt dårlig

Tabellene viser kartlagte bergmasseklasser for ulike strekninger i prosjektet

Overveiende Middels bergmassekvalitet eller bedre



SINTEF

Erfart stabilitetssikring i TBM'er i typisk norsk bergmasse

Ulriken jernbanetunnel

Sikringsbolter i L1*, endeforankrede med polyester, 3,0 m	stk	666,00	19 982,00
Sikringsbolter i L1*, endeforankrede med polyester, 4,0 m	stk	908,00	
Sikringsbolter i L1*, kombinasjonsbolter, 3,0 m	stk	14 547,00	
Sikringsbolter i L1*, kombinasjonsbolter, 4,0 m	stk	2 751,00	
Sikringsbolter i L2*, endeforankrede med polyester, 3,0 m	stk	175,00	
Sikringsbolter i L2*, endeforankrede med polyester, 4,0 m	stk	54,00	
Sikringsbolter i L2*, kombinasjonsbolter, 3,0 m	stk	748,00	
Sikringsbolter i L2*, kombinasjonsbolter, 4,0 m	stk	133,00	
sprøytebetong uten fiber i L1*, Sikringsklasse 5	m3	47,00	12 531,70
sprøytebetong med fiber i L1*, E1000, Sikringsklasse 4 - 5	m3	7,00	
sprøytebetong uten fiber i L2*, Sikringsklasse 1 - 3	m3	27,50	
sprøytebetong uten fiber i L2*, Sikringsklasse 4 - 5	m3	266,50	
sprøytebetong med fiber i L2*, E700, Sikringsklasse 1 - 3	m3	8 229,70	
sprøytebetong med fiber i L2*, E1000, Sikringsklasse 4 - 5	m3	3 850,50	
sprøytebetong med fiber i L3, E700	m3	103,50	

$$= 19982/7\text{km} = 2,9 \text{ stk/m}$$

$$= 12531/7\text{km} = 1,8\text{m}^3/\text{m}$$

Relativt store mengder - så her slår krav til funksjon til! ESR= 0,5



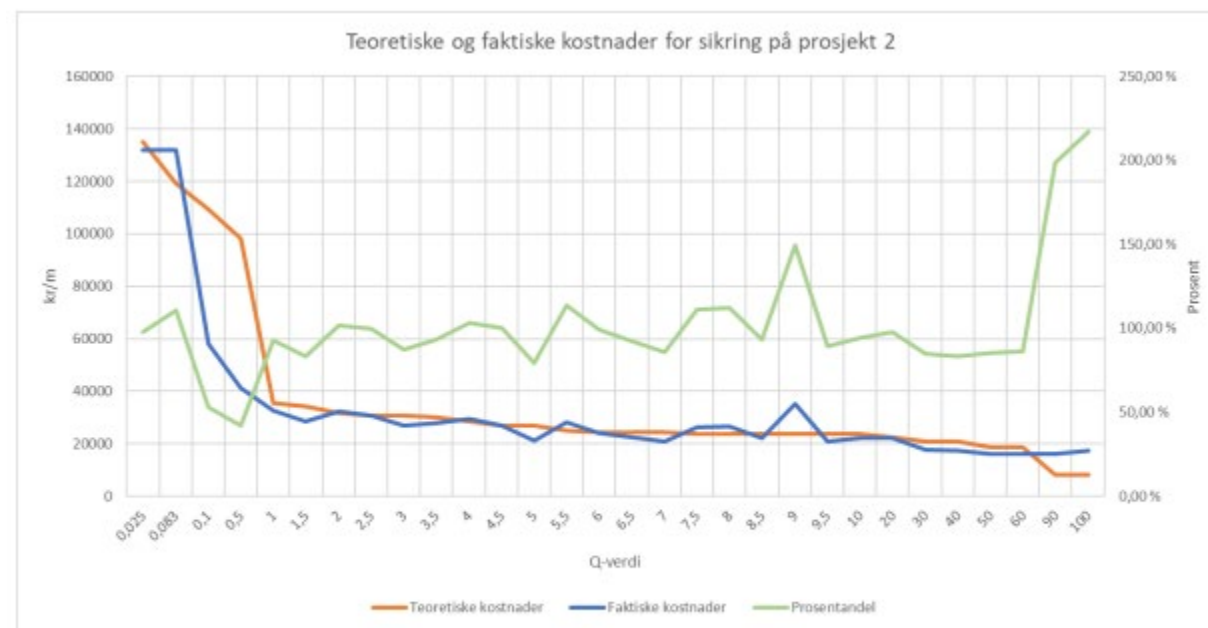
SINTEF

Erfart stabilitetssikring i TBM'er i typisk norsk bergmasse

Ulriken jernbanetunnel

Figuren viser at forventet kostnad knyttet til de ulike Q-verdiene stemte godt med det faktisk ble.

Men det sier ingenting om sikringen som sådan ble mer omfattende totalt sett eller ikke enn det som var planlagt



Figur 7.4 - Teoretiske og faktiske sikringskostnader i forhold til Q-verdi for prosjekt 2. Faktiske kostnader er tegnet i blå, mens teoretiske i oransje. Den grønne linjen indikerer prosentvis forskjell i fra faktisk til teoretiske kostnader.

Fra MSc-thesis Helle Nilsen



Erfart stabilitetssikring i TBM'er i typisk norsk bergmasse

Røssåga

Veldig begrenset informasjon – hevdet å bli sikret med 1 bolt per 1m

Områdene som ble permanent sikret hadde

$0,07 < Q < 2,7$



Foto: Ådne Homleid

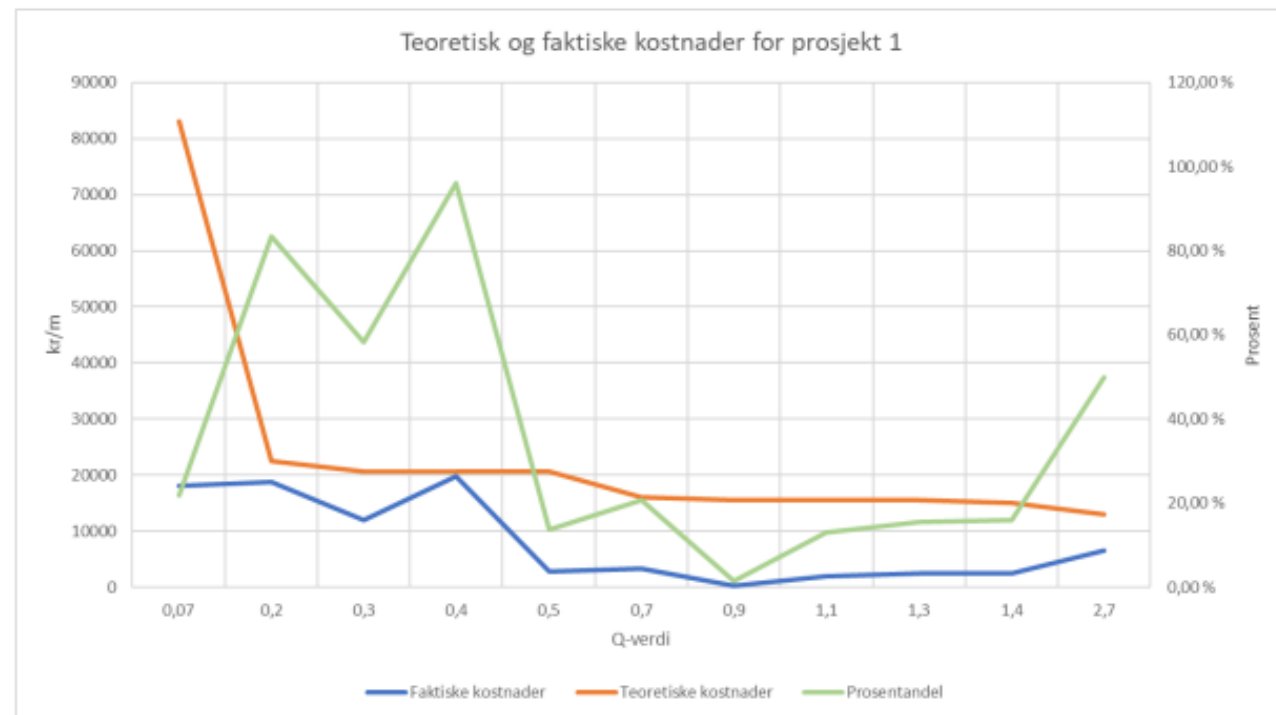


SINTEF

Erfart stabilitetssikring i TBM'er i typisk norsk bergmasse

Røssåga

Dette er et interessant bilde: Forventet kostnad (som sier noe mengden sikring knyttet til hver Q-verdi) ble betydelig redusert for nært alle Q-verdier $> 0,5$, ikke så mye for de $< 0,5$



Figur 7.1 - Teoretiske og faktiske sikringskostnader i forhold til Q-verdi for prosjekt 1. Faktiske kostnader er tegnet i blå, mens teoretiske i oransje. Den grønne linjen indikerer prosentvis forskjell i fra faktisk til teoretiske kostnader.

Fra MSc-thesis Helle Nilsen



Erfart stabilitetssikring i TBM'er i typisk norsk bergmasse

Glendoe HEP project in Scotland

8 mnd etter oppstart kraft-Produksjon opptrer uregelmessigheter under drift – Urent vann renner ut i Loch Ness – effekten i verket avtar og driften stoppes helt



Photograph from Woolman (20

Ved nedtømming finner man propp oppstrøms og steinrøys nedstrøms

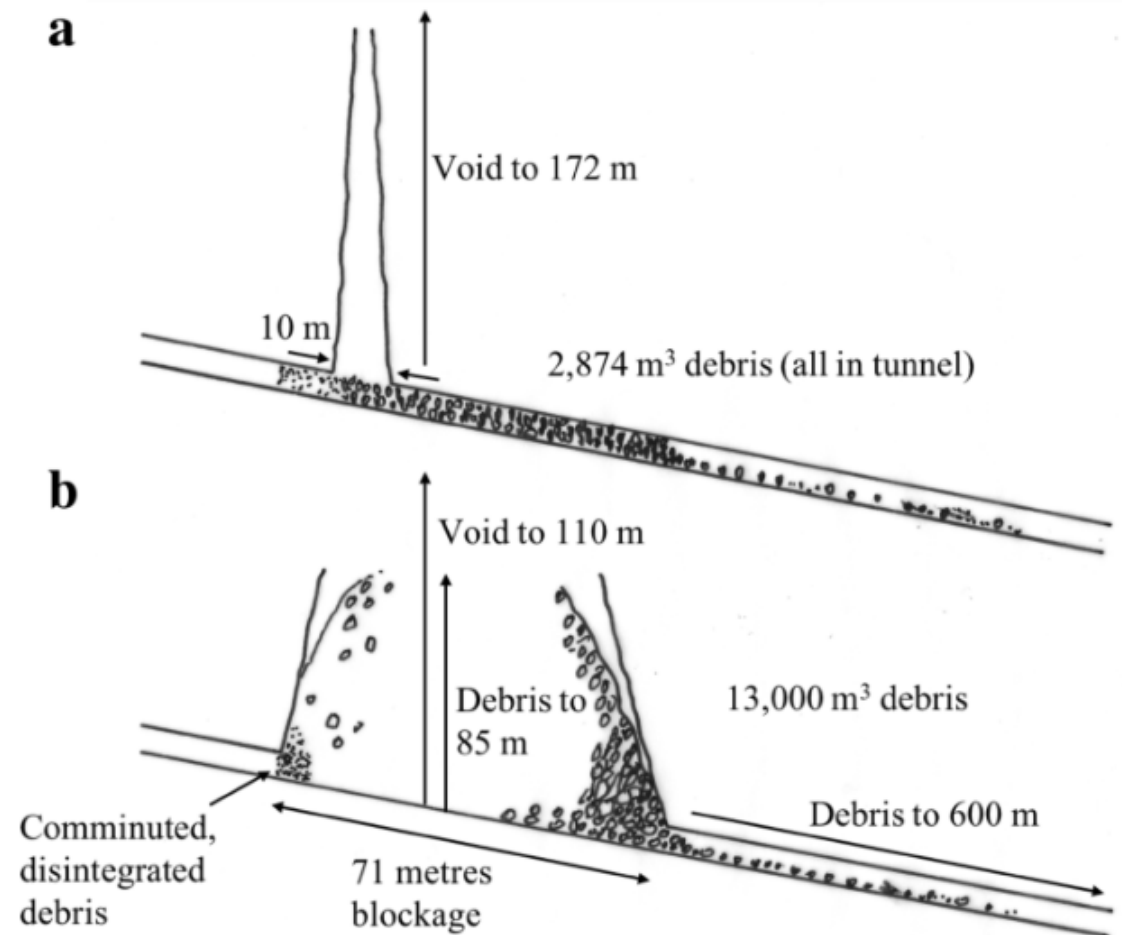


Erfart stabilitetssikring i TBM'er i typisk norsk bergmasse

Glendoe HEP project in Scotland

To vesentlig ulike tolkninger av Rasomfanget – uansett store mengder masse

Woolman (2016)





SINTEF

Erfart stabilitetssikring i TBM'er i typisk norsk bergmasse

Glendoe HEP project in Scotland



Photo BGS – nature er en stor kunstner

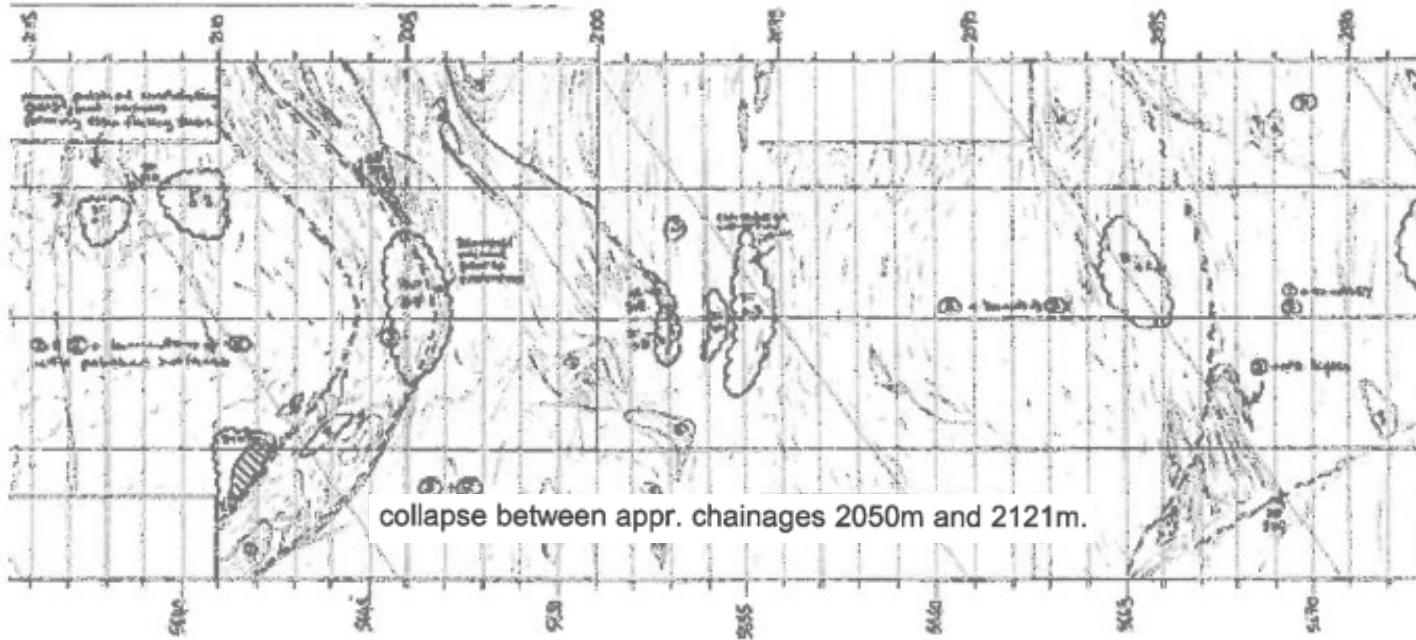




SINTEF

Erfart stabilitetssikring i TBM'er i typisk norsk bergmasse

Glendoe HEP project in Scotland



		HRT TBM				Rock Excavation Classification			
		Chainage Start		Chainage End		Chainage Start		Chainage End	
		2117		2134		2101		2134	
		5634		5634		5634		5634	
		Class I		Class II		Class III		Class IV	
General	General Description	None or local small wedges/holes <0.2m	Blocky to silty to weakly silty sandstone (formation due to small scale faulting) (intermediate joint, columnar, presence of secondary fractures. High potential for systematic rock wedges affecting the upper half of the excavation)	Unstable roof & side walls / settling under atmospheric conditions	Unstable roof & side walls / settling under atmospheric conditions				
	Typical Occurrences	No faults / shear zones or discontinuities	Unfavorably oriented (secondary bedding) shear with microfracturing and secondary fracturing	Fault / shear / hydrocarbonally altered zones. Very unfavourable discontinuities	Block cover <0.5m. Fault zones with weak beds, strongly stressed zones. Very unfavourable discontinuities				
Typical Parameters	Wedge Potential	None	Individual <1m height local small	Multiple <0.5m height multiple <0.5m height	Multiple <0.5m height multiple large blocks				
	Unravelling	above collar head	considered towards where excavated	seafour where rockwork	freely & progressive downward				
Typical Properties	Unravelling	above collar head	negligible or very small (columnar)	moderate deformation	extensive expansion				
	General Description	Good	Fair to poor	Poor	Poor to very poor				
Rock Mass Description	Rock Mass	Good. No clay coating joints	Blocky / moderately stressed. Closely spaced joints	Blocky / moderately stressed. Closely spaced joints	Blocky / moderately stressed. Closely spaced joints. Weak rock mass				
	Fracture / Shear / Fault Zones	None	Blocky Non-splittable <10cm	Multiple <0.5m	Multiple <0.5m				
Water	Fracture potential	None	Yes	Variable <0.5m / weak	Good evidence in all groups				
	Water	None	None	High water / seepage	High water / seepage				
<p>Comments / Notes: Some shear zones with some local slab formation & blockfall in section. Category CII support to LHS from CH 2117 - 2134. Extend. Collapse to maximum extent in blockfall voids.</p>									
Overall Excavation Class	Support Category	Class I	Class II	Class III	Class IV				
	Overall Excavation Class	Class I	Class II	Class III	Class IV				
Overall Support Category	Support Category	Class I	Class II	Class III	Class IV				
	Overall Support Category	Class I	Class II	Class III	Class IV				
Optional Additional	Support Materials and Recommendations	None	None	None	None				
	Support Materials and Recommendations	None	None	None	None				

Budskap: Mye rett ble gjort, grundig kartlegging og relevante systemer, men sviktet i 'nedslaget' – viktige ting ble oversett/utelatt



SINTEF

Erfart stabilitetssikring i TBM'er i typisk norsk bergmasse

ITATECH GUIDELINE FOR USE OF ROCK CLASSIFICATION SYSTEMS FOR GROUND SUPPORT ON TBM TUNNELS

ITAtch Activity Group Excavation

N° ISBN : 978-2-9701436-2-8

ITA REPORT N°30 / MAY 2023



ROCK SUPPORT CLASSES (RSC)

Rock Support Class 1

Rock Support Class 1 is in a very competent rock mass that requires no or very limited rock support. If needed, rock support measures are spot bolting if there is any local occurrence of fractures that intersect with the tunnel.

Rock Support Class 2

Rock Support Class 2 applies where the rock masses are competent. The rock mass in Rock Support Class 2 has some fissures, joints and fractures that gives a need for local rock support on a limited amount of the tunnel circumference. The rock support consists of some spot bolting, McNally slats and/or wire mesh or similar when needed locally.

Rock Support Class 3

Rock Support Class 3 applies in a fairly competent rock mass where there is a need for systematic rock support. The rock support used is systematic bolting with varying patterns, McNally slats, wire mesh and/or reinforced shotcrete when needed.

Rock Support Class 4

Rock Support Class 4 applies in a less competent rock mass with a need for continuous rock support.

The rock support methodology typically consists of systematic bolting, McNally slats, wire mesh and/or shotcrete with fiber or ring beams.

Rock Support Class 5

Rock Support Class 5 applies in weaker rock masses where there is a continuous need for heavy rock support. In such conditions the support methodology should be carefully evaluated and determined on a case-to-case basis.

Typical rock support is systematic bolting, McNally slats with or without heavy steel ribs, ring beams, wire mesh and fiber reinforced shotcrete.

If longer stretches of Rock Support Class 5 are expected, special capabilities on the TBM should be considered:

- A) The TBM should have the capability to operate in closed mode, which usually means installing precast concrete segmental lining concurrent to advance. Considerations for a fully equipped Crossover-type TBM should be evaluated.
- B) The TBM should have sufficient torque to rotate the cutterhead with a full load of loose material against the excavation face.
- C) Alternatively, special features should be implemented to efficiently pretreat the ground prior to excavation.

Rock Support Class 6

Rock Support Class 6 applies in severe conditions where special considerations and evaluations need to be made with regard to rock support on a case-to-case basis. Typically, these conditions are running and collapsing ground, high water ingress, etc. Typical support measures include installation of precast concrete segments or other continuous lining like steel lining. In some conditions, pre-treatment of the ground such as grouting, forepoling, etc., should be considered even though precast concrete segments are being installed.

If longer stretches of Class 6 are expected, special capabilities on the TBM are strongly recommended such as:

1. The TBM should be fully shielded with the capability to operate in closed mode. Considerations for a fully equipped Crossover-type TBM should be evaluated to facilitate advancing while holding water pressure.
2. The TBM should have sufficient torque to rotate the cutterhead with full pressure of material against the excavation face.

Alternatively, special customization of the TBM should be implemented to efficiently detect and pre-treat the ground prior to excavation, through probe drilling and pre-excavation grouting.

It is strongly recommended that special features for control of difficult ground be built into the TBM design.

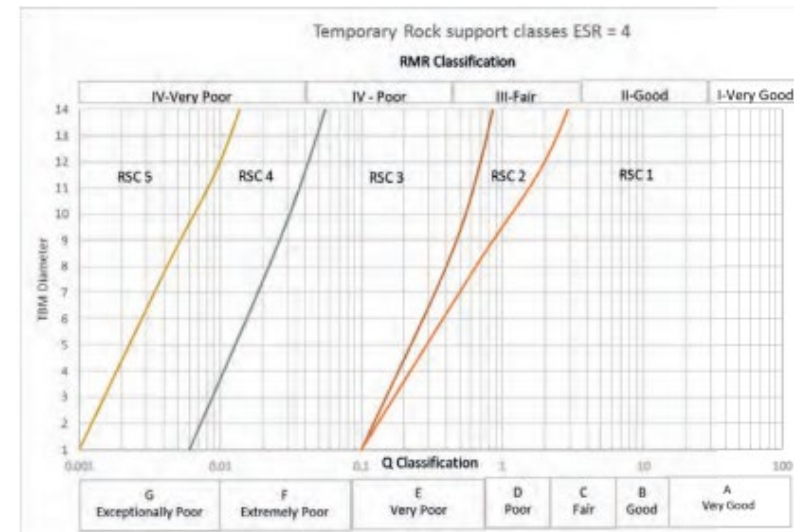
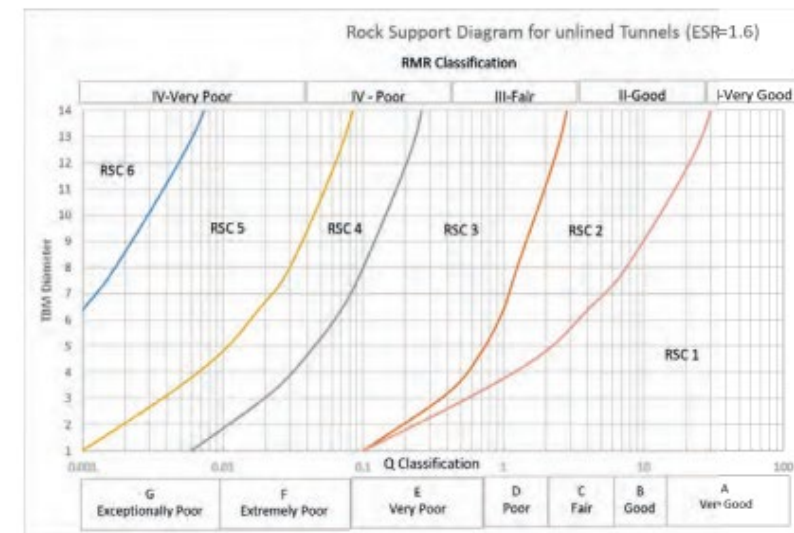


Figure 4: Rock Support Diagram for temporary support (ESR = 4).





SINTEF

Erfart stabilitetssikring i TBM'er i typisk norsk bergmasse

ITATech Activity Group Excavation

Risiko-matriser og tiltaksforslag tabellarisk

PHENOMENA HAZARDS	LEVEL OF DIFFICULTY TO IMPLEMENT THE MITIGATION MEASURE			EXAMPLE OF MITIGATION MEASURES TO IMPLEMENT
				Not concerned
	✓			Easy to implement on site, to be previously considered in the design
	▲			Medium difficulty of implementation
	◆			Very difficult to implement, (could have an impact on the requirements)
Brittle behaviour: Rockburst, spalling				
2- Rock-burst	✓			2.7) Passive protection: <ul style="list-style-type: none"> • Finger shields, that allows bolting in between • Mesh and bolts with or without ribs. In all cases, these added protection should be done under the protection of a finger shield • Create safe and protected walkways
	✓			2.8) Installation of radial bolting (friction anchors or other energy absorbing bolts, e.g. D-bolts) combined with wire mesh and ribs, and shotcrete in the machine zone
			✓	1.1) Selection of the appropriate type of the telescope in order to limit the material accumulation, and so prevent its blockage
			▲	1.2) Operation of the double shield TBM as a single shield TBM. (The prediction of spalling is difficult, so these changes of mode will probably require cleaning of the telescopic section before)
		▲	▲	1.3) Improvement of the annular void filling in order to stabilize the ring as early as possible: <ul style="list-style-type: none"> • by a correct design of the method of injection • by calibrating the methods on site (changing the materials, the location, using bi-component, injection from laskin or segments)
	✓	✓	✓	1.4) Appropriate torque reserve (high torque low speed gear)
Highly deformable behaviour				
	✓	✓	✓	3.1) Advance exploration to detect the phenomena - systematic sub-horizontal probe drilling survey ahead of the machine, with registration of parameters, and eventually geophysics survey
	✓	✓	✓	3.2) Non-stop operations (requiring modification of the shift system)
	✓	▲	▲	3.3) Increase the radial over-cutting (and consequently the annular gap around the shield). The difficulty to implement the measure increases with the increase of the amount of overcutting (lessen up to 5 cm on radius, more difficult requiring stop of the machine for more than 10 cm on the radius)
3- Squeezing and buckling		✓	✓	3.4) Appropriate shield geometry (conical shape, reduction of the shield length). The choice of this geometry is a compromise of different constraints and a key point of the design. The use of Double shield TBM is not recommended for small tunnel diameter for which the ratio between diameter and shield length is unfavourable in respect to jamming
		✓	✓	3.5) Lubrication of the shield extrados
		✓	✓	3.6) Installation of a high thrust force - with sufficiently high factor of safety (overdesign). The high (axial) thrust force has to be considered in the design of the lining
		✓	✓	1.4) Appropriate torque reserve (high torque low speed gear)
			▲	3.7) Increase of steel ratio in the pre-cast concrete, use high strength concrete, identify different type of rings
			▲	3.8) Double lining concept (cf. [4]); this concept allows a reduction of the load acting on the final lining
		▲		3.9) Installation of a yielding support (e.g. sliding ribs, openings in the shotcrete, closed or not closed with compressive elements)
			▲	1.3) Improvement of the annular void filling in order to stabilize the ring as early as possible: <ul style="list-style-type: none"> • by a correct design of the method of injection • by calibrating the methods on site (changing the materials, the location, using bi-component, injection from laskin or segments)
			◆	3.10) Deformable annular filling in extreme squeezing conditions (the low stiffness of the embedment has to be considered in the design of the lining)

Table 6: TBM Tunnelling Related Hazards & Mitigations Measures (cont'd).

PHENOMENA HAZARDS	LEVEL OF DIFFICULTY TO IMPLEMENT THE MITIGATION MEASURE			EXAMPLE OF MITIGATION MEASURES TO IMPLEMENT
				Not concerned
	✓			Easy to implement on site, to be previously considered in the design
	▲			Medium difficulty of implementation
	◆			Very difficult to implement, (could have an impact on the requirements)
Presence of water				
4.1- Extremely high water inflow	✓	✓	✓	3.1) Advance exploration to detect the phenomena - systematic sub-horizontal probe drilling survey ahead of the machine, with registration of parameters, and eventually geophysics survey
	▲	▲	▲	4.1.1) Reduction of the permeability by grouting ahead of the machine. It is suitable to grout before the water flows into the tunnel. Maybe unsuccessful due to the layout imposed by the TBM equipment or by the quantity of water inflow.
		▲		4.1.2) Closed mode operation in the case of using a Single Shield Multimode TBM, and low water table (up to 15 bar)
	✓	✓	✓	4.1.3) Installation of a muck chute closure gate
	▲	◆	◆	4.1.4) Try to separate the water inflow from the mucking material, in order to manage mucking-out difficulties. Drainage solution could be implemented to collect the water
	◆	◆	◆	4.1.5) Reduction of the permeability by freezing (in advance)
4.2- High water pressure	▲	◆	◆	3.1) Advance exploration to detect the phenomena - systematic sub-horizontal probe drilling survey ahead of the machine, with registration of parameters, and eventually geophysics survey. It is mandatory to do it with preventer in case of high water pressure
	▲	◆	◆	4.2.1) Long advance drainage, at least 2 diameter long, in the periphery and /or front the face of the machine to release the pressure
	▲	◆	◆	4.2.2) Improve the ground characteristic by grouting ahead of / and around the machine
		▲		4.1.2) Closed mode operation in the case of a mix-shield TBM and low water table (up to 15 bar)
	◆	◆	◆	4.1.4. Reduction of the permeability by freezing (in advance)
	◆	◆	◆	4.2.3) Improve the ground characteristic by grouting around the segmental lining
	▲	◆	◆	4.2.4) Drainage boreholes around the lining
	▲	▲	4.2.5) Double lining concept	

Table 7: Working Group 17 recommendations for water inflows.

PHENOMENA HAZARDS	LEVEL OF DIFFICULTY TO IMPLEMENT THE MITIGATION MEASURE			EXAMPLE OF MITIGATION MEASURES TO IMPLEMENT
				Not concerned
	✓			Easy to implement on site, to be previously considered in the design
	▲			Medium difficulty of implementation
	◆			Very difficult to implement, (could have an impact on the requirements)
Brittle behaviour: Rockburst, spalling				
1- Spalling			✓	1.1) Selection of the appropriate type of the telescope in order to limit the material accumulation, and so prevent its blockage
			▲	1.2) Operation of the double shield TBM as a single shield TBM. (The prediction of spalling is difficult, so these changes of mode will probably require cleaning of the telescopic section before)
		▲	▲	1.3) Improvement of the annular void filling in order to stabilize the ring as early as possible: <ul style="list-style-type: none"> • by a correct design of the method of injection • by calibrating the methods on site (changing the materials, the location, using bi-component, injection from laskin or segments)
	✓			1.4) Installation of radial bolting (friction anchors) in combination with wire mesh and eventually ribs
	✓	✓	✓	1.5) Appropriate torque reserve (high torque low speed gear)
2- Rock-burst	✓	✓	✓	2.1) Execution of subhorizontal destructive drilling eventually combined with blasting around the perimeter of the TBM (in order to release the in-situ stresses)
	✓	▲		2.2) Drilling of large diameter holes (approximately 100 mm), as close as possible to the cutterhead (in order to release the in-situ stresses)
	✓	✓	✓	2.3) Avoid front loading cutterhead; change cutter tools from inside (back-loading cutterhead)
	◆	◆	◆	2.4) Avoid face inspections and work in front of the cutterhead in risk zone.
	✓	✓	✓	2.5) Install face inspection cameras and wear cutters tools
	✓			2.6) Depending on the level and the location of risk, the presence of workers in the machine zone (0- 2 diameters) should be analysed (statistics, geological, stress monitoring). Over high risk stretches, avoid the presence of workers close to exposed rock surfaces during the first hours lapsing after excavation

Table 6: TBM Tunnelling Related Hazards & Mitigations Measures.



SINTEF

Erfart stabilitetssikring i TBM'er i typisk norsk bergmasse

Det kunne vært interesssant med grundige studier av Ulriken/Røssåga vs Blixtunnelen/VAV-tunnelene Tid/kost/stabilitet/utslipp – alt omgjort til sammenlignbare equivalenter Vanskelig å sammenlikne direkte - velger vi objektivt rett maskintype??

NFF Temadag 2013, trusselbildet

MODERNE VEG- OG JERNBANETUNNELER

Follobanen: TBM med segmentføring gjennomgående; erstatter injeksjon-, berg-, vann- og frostsikring i hht JBV
Vegtunneler: alle tunneler over ÅDT=4000 skal ha plass-støpt betong

- Overreaksjon på FDV-spøkelset
 - Feil teknologi og gal anvendelse
 - Misforstått norsk tunnelbyggetode
 - Miljømessig tilbakesteg
 - Gammeldags og teknologiskonserverende
- BEVEGER OSS I FEIL RETNING I FHT SCL



FJELLSPRENGNING - VEI - TUNNEL OG JERNBANE

Norske grunnprinsipper må gjelde

Grunnleggende prinsipper ved norsk tunnelteknologi må gjelde også ved TBM som drivmetode.

KOMMENTAR

Edvard Geir

Edvard Geir

Edvard Geir

Edvard Geir

Edvard Geir

Edvard Geir

Edvard Geir

Edvard Geir

Edvard Geir

Edvard Geir

Edvard Geir

Edvard Geir

Edvard Geir

Edvard Geir

Edvard Geir

Edvard Geir

Edvard Geir

Edvard Geir

Edvard Geir

Edvard Geir

Edvard Geir

Edvard Geir

Edvard Geir

Edvard Geir

Edvard Geir

Edvard Geir

Edvard Geir

Edvard Geir

Edvard Geir

De TBM'er som har i dag som defineres som "nye", det vil si de som er bygget etter de samme grunnleggende prinsippene som de som er bygget etter de gamle prinsippene, er bygget etter de gamle prinsippene. De TBM'er som har i dag som defineres som "nye", det vil si de som er bygget etter de samme grunnleggende prinsippene som de som er bygget etter de gamle prinsippene, er bygget etter de gamle prinsippene.

De TBM'er som har i dag som defineres som "nye", det vil si de som er bygget etter de samme grunnleggende prinsippene som de som er bygget etter de gamle prinsippene, er bygget etter de gamle prinsippene.

De TBM'er som har i dag som defineres som "nye", det vil si de som er bygget etter de samme grunnleggende prinsippene som de som er bygget etter de gamle prinsippene, er bygget etter de gamle prinsippene.

De TBM'er som har i dag som defineres som "nye", det vil si de som er bygget etter de samme grunnleggende prinsippene som de som er bygget etter de gamle prinsippene, er bygget etter de gamle prinsippene.

De TBM'er som har i dag som defineres som "nye", det vil si de som er bygget etter de samme grunnleggende prinsippene som de som er bygget etter de gamle prinsippene, er bygget etter de gamle prinsippene.

De TBM'er som har i dag som defineres som "nye", det vil si de som er bygget etter de samme grunnleggende prinsippene som de som er bygget etter de gamle prinsippene, er bygget etter de gamle prinsippene.

De TBM'er som har i dag som defineres som "nye", det vil si de som er bygget etter de samme grunnleggende prinsippene som de som er bygget etter de gamle prinsippene, er bygget etter de gamle prinsippene.

De TBM'er som har i dag som defineres som "nye", det vil si de som er bygget etter de samme grunnleggende prinsippene som de som er bygget etter de gamle prinsippene, er bygget etter de gamle prinsippene.

De TBM'er som har i dag som defineres som "nye", det vil si de som er bygget etter de samme grunnleggende prinsippene som de som er bygget etter de gamle prinsippene, er bygget etter de gamle prinsippene.

De TBM'er som har i dag som defineres som "nye", det vil si de som er bygget etter de samme grunnleggende prinsippene som de som er bygget etter de gamle prinsippene, er bygget etter de gamle prinsippene.

De TBM'er som har i dag som defineres som "nye", det vil si de som er bygget etter de samme grunnleggende prinsippene som de som er bygget etter de gamle prinsippene, er bygget etter de gamle prinsippene.

De TBM'er som har i dag som defineres som "nye", det vil si de som er bygget etter de samme grunnleggende prinsippene som de som er bygget etter de gamle prinsippene, er bygget etter de gamle prinsippene.

De TBM'er som har i dag som defineres som "nye", det vil si de som er bygget etter de samme grunnleggende prinsippene som de som er bygget etter de gamle prinsippene, er bygget etter de gamle prinsippene.

De TBM'er som har i dag som defineres som "nye", det vil si de som er bygget etter de samme grunnleggende prinsippene som de som er bygget etter de gamle prinsippene, er bygget etter de gamle prinsippene.

De TBM'er som har i dag som defineres som "nye", det vil si de som er bygget etter de samme grunnleggende prinsippene som de som er bygget etter de gamle prinsippene, er bygget etter de gamle prinsippene.

De TBM'er som har i dag som defineres som "nye", det vil si de som er bygget etter de samme grunnleggende prinsippene som de som er bygget etter de gamle prinsippene, er bygget etter de gamle prinsippene.

De TBM'er som har i dag som defineres som "nye", det vil si de som er bygget etter de samme grunnleggende prinsippene som de som er bygget etter de gamle prinsippene, er bygget etter de gamle prinsippene.

De TBM'er som har i dag som defineres som "nye", det vil si de som er bygget etter de samme grunnleggende prinsippene som de som er bygget etter de gamle prinsippene, er bygget etter de gamle prinsippene.

De TBM'er som har i dag som defineres som "nye", det vil si de som er bygget etter de samme grunnleggende prinsippene som de som er bygget etter de gamle prinsippene, er bygget etter de gamle prinsippene.

De TBM'er som har i dag som defineres som "nye", det vil si de som er bygget etter de samme grunnleggende prinsippene som de som er bygget etter de gamle prinsippene, er bygget etter de gamle prinsippene.

De TBM'er som har i dag som defineres som "nye", det vil si de som er bygget etter de samme grunnleggende prinsippene som de som er bygget etter de gamle prinsippene, er bygget etter de gamle prinsippene.

De TBM'er som har i dag som defineres som "nye", det vil si de som er bygget etter de samme grunnleggende prinsippene som de som er bygget etter de gamle prinsippene, er bygget etter de gamle prinsippene.

De TBM'er som har i dag som defineres som "nye", det vil si de som er bygget etter de samme grunnleggende prinsippene som de som er bygget etter de gamle prinsippene, er bygget etter de gamle prinsippene.

De TBM'er som har i dag som defineres som "nye", det vil si de som er bygget etter de samme grunnleggende prinsippene som de som er bygget etter de gamle prinsippene, er bygget etter de gamle prinsippene.

De TBM'er som har i dag som defineres som "nye", det vil si de som er bygget etter de samme grunnleggende prinsippene som de som er bygget etter de gamle prinsippene, er bygget etter de gamle prinsippene.

De TBM'er som har i dag som defineres som "nye", det vil si de som er bygget etter de samme grunnleggende prinsippene som de som er bygget etter de gamle prinsippene, er bygget etter de gamle prinsippene.

De TBM'er som har i dag som defineres som "nye", det vil si de som er bygget etter de samme grunnleggende prinsippene som de som er bygget etter de gamle prinsippene, er bygget etter de gamle prinsippene.

De TBM'er som har i dag som defineres som "nye", det vil si de som er bygget etter de samme grunnleggende prinsippene som de som er bygget etter de gamle prinsippene, er bygget etter de gamle prinsippene.

De TBM'er som har i dag som defineres som "nye", det vil si de som er bygget etter de samme grunnleggende prinsippene som de som er bygget etter de gamle prinsippene, er bygget etter de gamle prinsippene.

De TBM'er som har i dag som defineres som "nye", det vil si de som er bygget etter de samme grunnleggende prinsippene som de som er bygget etter de gamle prinsippene, er bygget etter de gamle prinsippene.

De TBM'er som har i dag som defineres som "nye", det vil si de som er bygget etter de samme grunnleggende prinsippene som de som er bygget etter de gamle prinsippene, er bygget etter de gamle prinsippene.

Ulrikke har brutt igjennom – 635 dager etter at tunnelboremaskinen startet

Boret seg gjennom 6896 meter med fjell.



Mari Geivold Solberg Journalist

Eirik Helland Urke Journalist / foto

29. aug. 2017 - 10:41

BERGEN: Trsdag formiddag kom den enorme tunnelboremaskinen "Ulrikke" ut gjennom fjellveggen i Floen, i Bergen. Hundrevis av mennesker var samlet seg ved Floen for å se gjennomslaget.

Maskinen, som er den største tunnelboremaskinen brukt i en samferdselstunnel i Norge noen gang, har i løpet av 635 dager boret seg gjennom 6896 meter med fjell.



Erfart stabilitetssikring i TBM'er i typisk norsk bergmasse

Konklusjoner

- Det er åpenbart potensielle fallgruver knyttet til overestimering av bergmassekvalitet i TBM-drevne tunneler og derav for snau bergforsterkning
 - Jevn kamuflerende overflate, ingen sekundær oppsprekking, tangentialspenningene tett på kontur, eroderbart materiale ikke lett å identifisere
- Det setter krav til kvalitetsmessig god beskrivelse av bergmassekvalitet og funksjonell forståelse av berg og forsterkningsbehov
- Lett å bli revet med i fremdriftsjaget – rekorder i antall m per t/dag/uke/mnd
- Risikabelt å legge til grunn postulatet som en forutsetning
- Skulle hatt mer data og nøyaktig data tilgjengelig fra prosjektene



SINTEF

Erfart stabilitetssikring i TBM'er i typisk norsk bergmasse

De har vært bannlyst i Norge - nå er monstermaskinene tilbake

Nå skal fem tunnelboremaskiner først ta Ulriken - så Follobanen. Det skaper både begeistring og sinne.

Publisert: 17. oktober 2015



Takk for oppmerksomheten

Oppsummerende:

Mye ny lærdom de siste 10-15 årene

Dette må foredles, forstås og praktiseres i bransjen

Til å bli et attraktivt verktøy

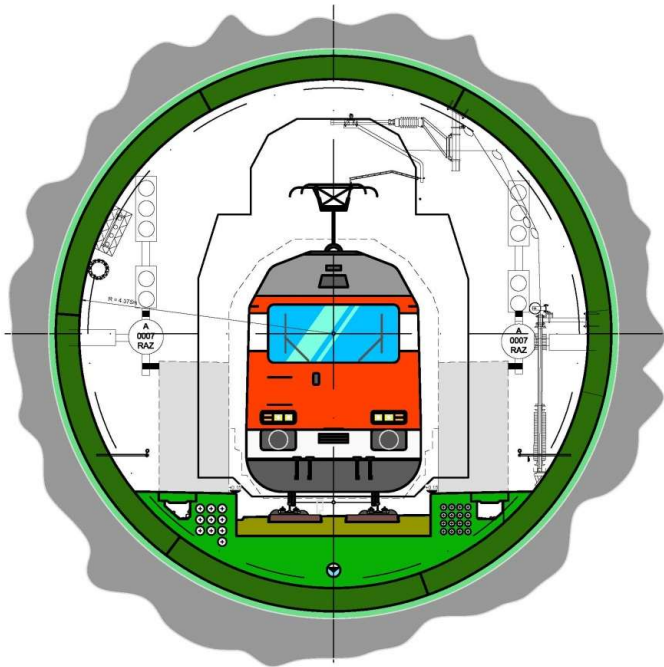


Bergmasseparameter for design av lining

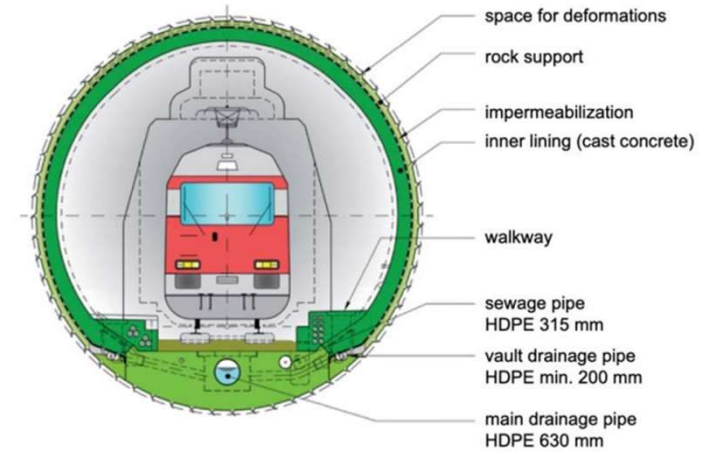
- Bergteknikk for TBM – Boring i hardt fjell, 09. – 10. Januar 2024
- Johannes Gollegger, Acaraho Consulting AS



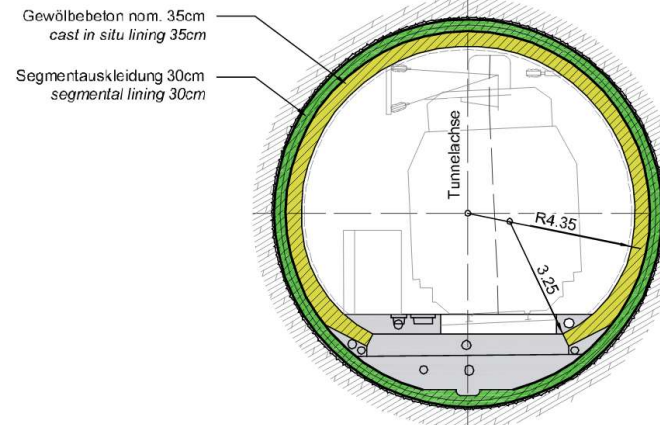
Follo Line Tunnel



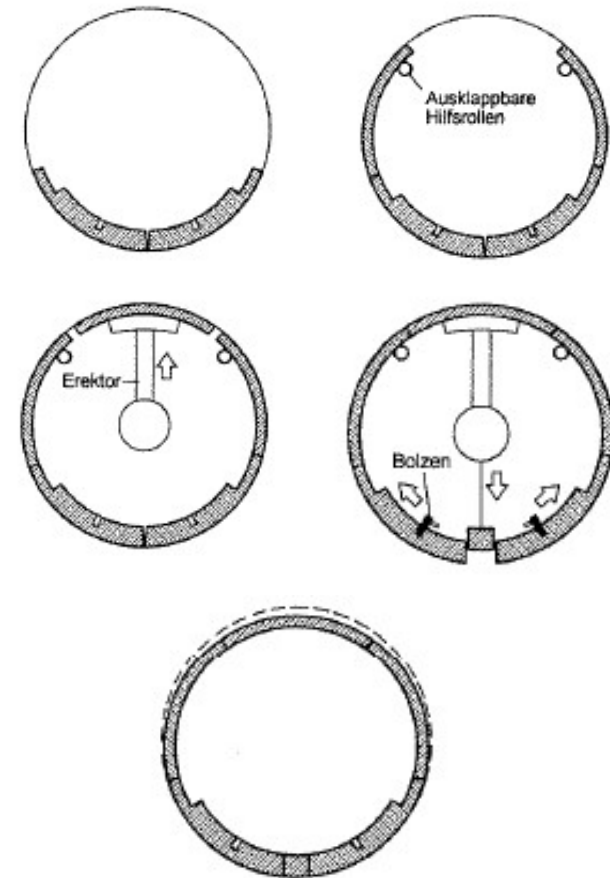
Gotthard Basetunnel



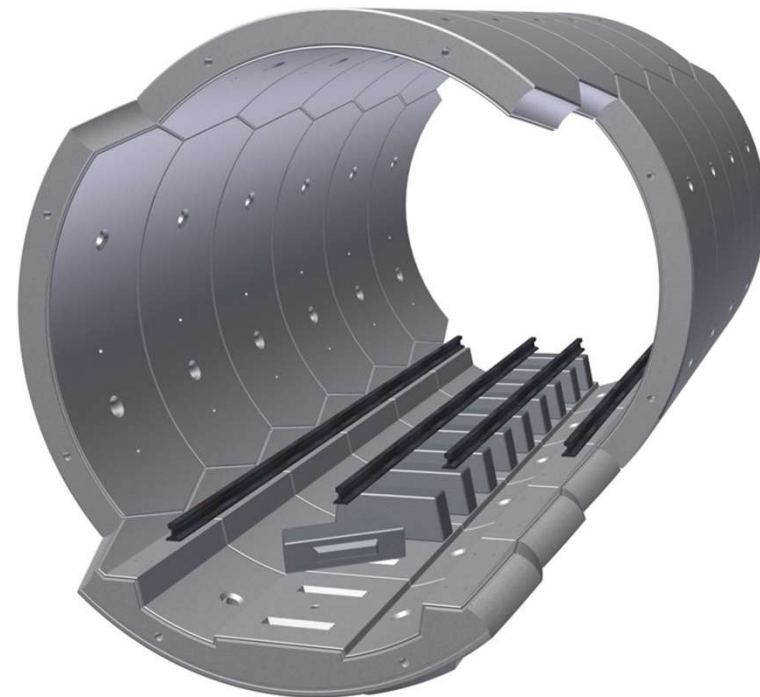
Wienerwald Tunnel

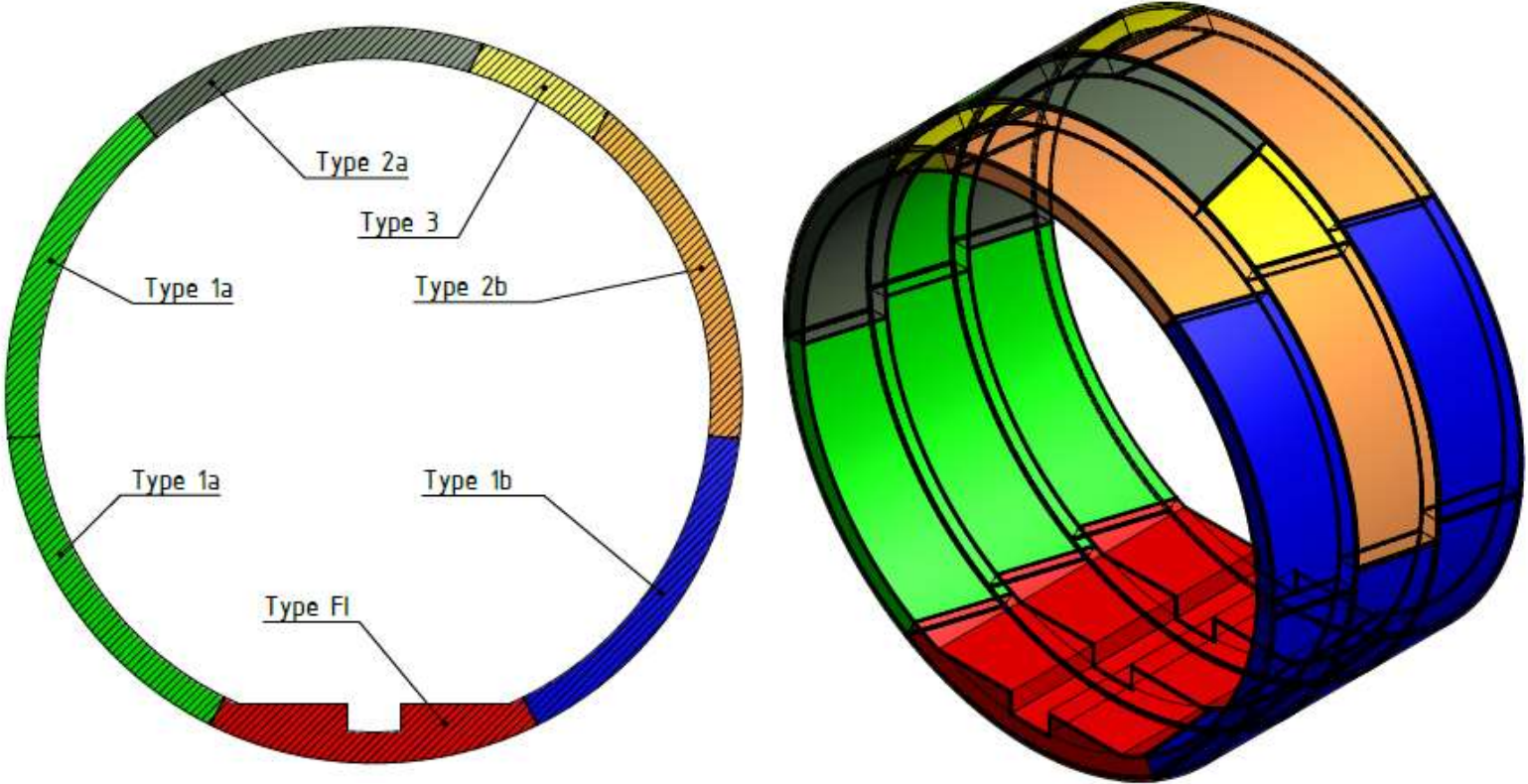


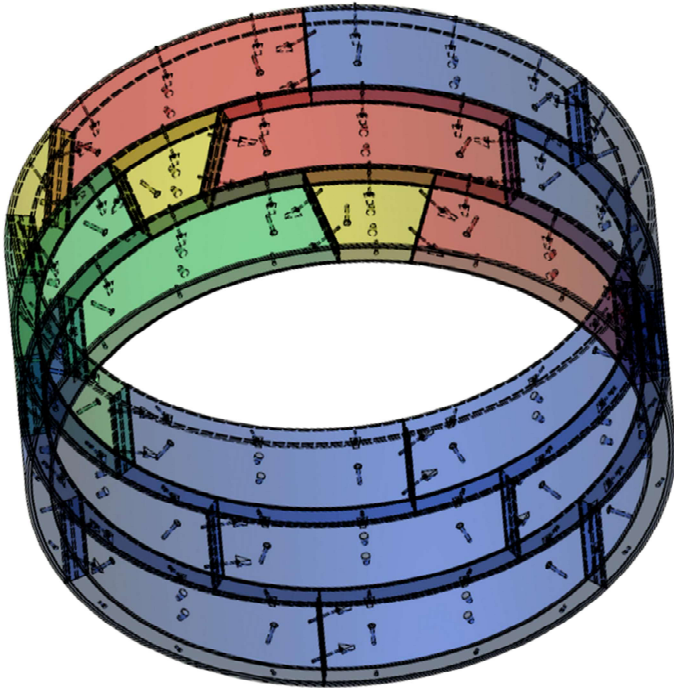
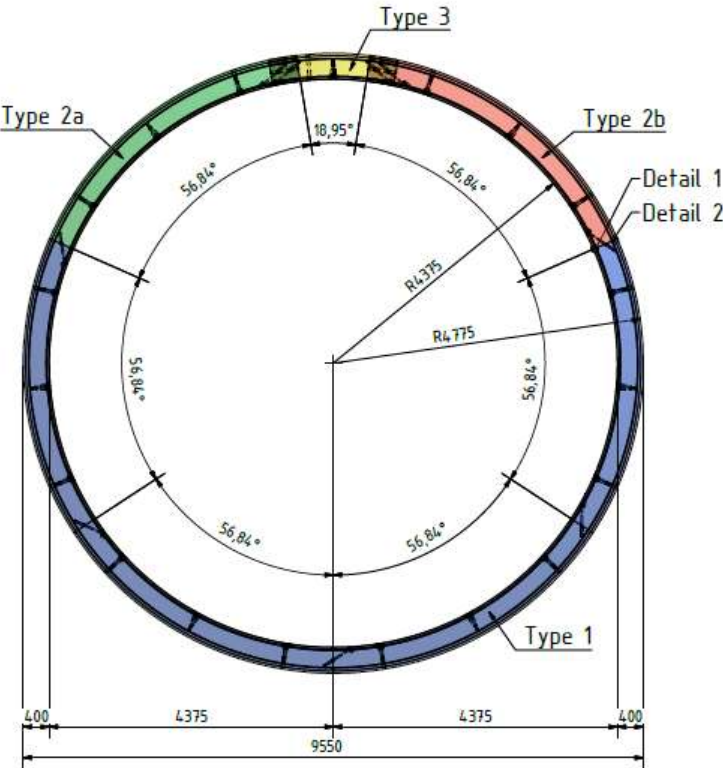
- Ring consists of 6 segments
- No bolts or dowels
- No gasket
- Key stone always at the bottom
- Especially used for project with low requirements to segmental lining (double shell lining)



- Ring consists of 4 segments
- Especially used for hydropower projects (i.e. headrace tunnel)
- The joints are not planar, but convex/concave







Ring geometry

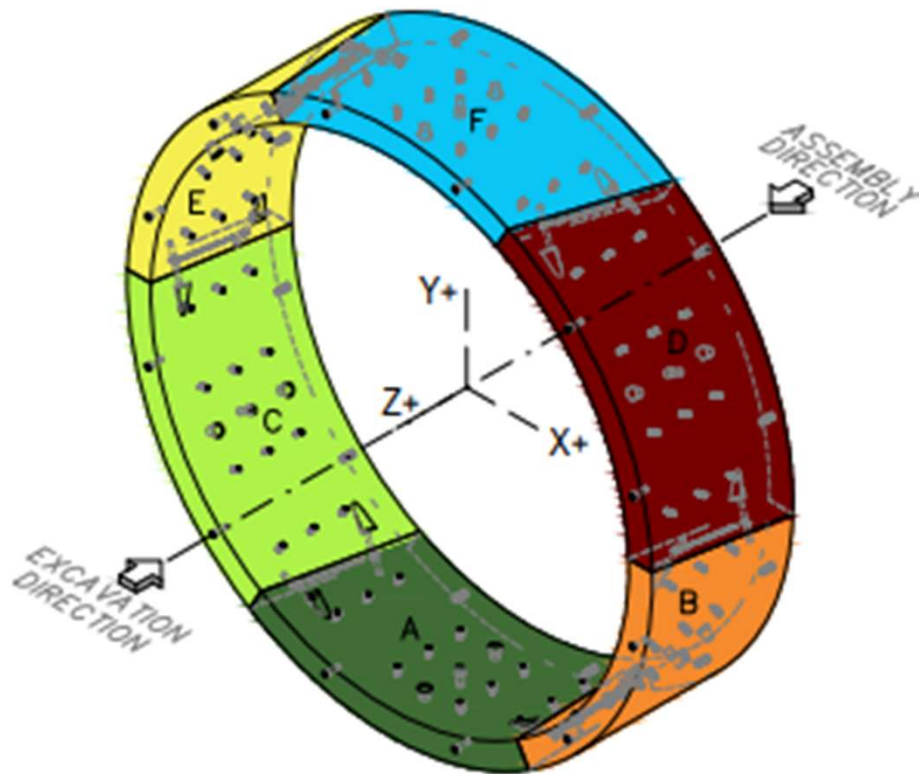
- Ring consists of 5 to 8 segments
- Optimization according to project specific factors

Ring division is influenced by

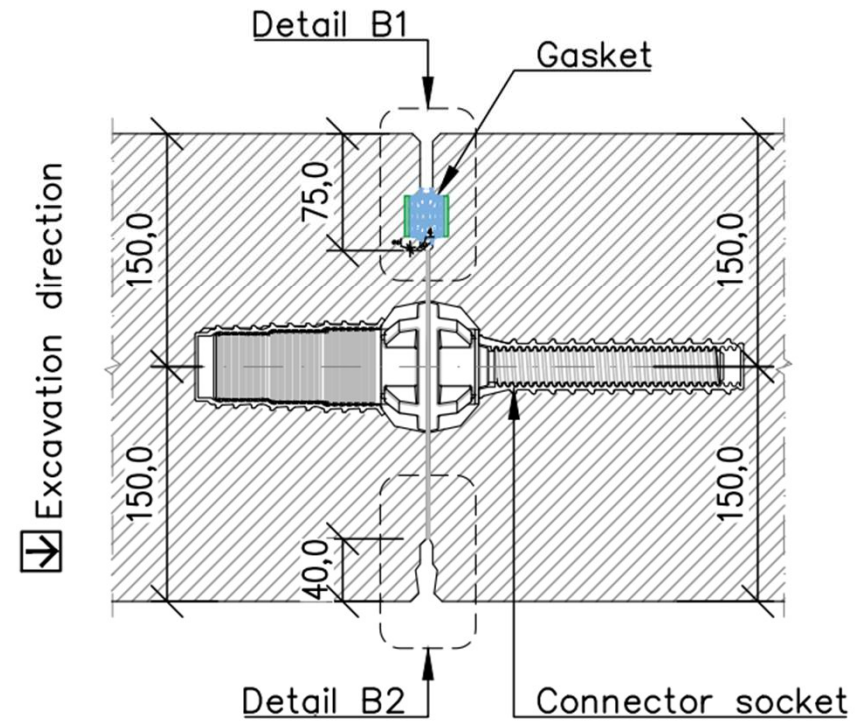
- Tunnel diameter
- Max. permissible size of segments for intended transport
- Mechanical mechanisms for installing segments by erector
- Number of thrust jacks and their distribution over range of ring

Ring conicity

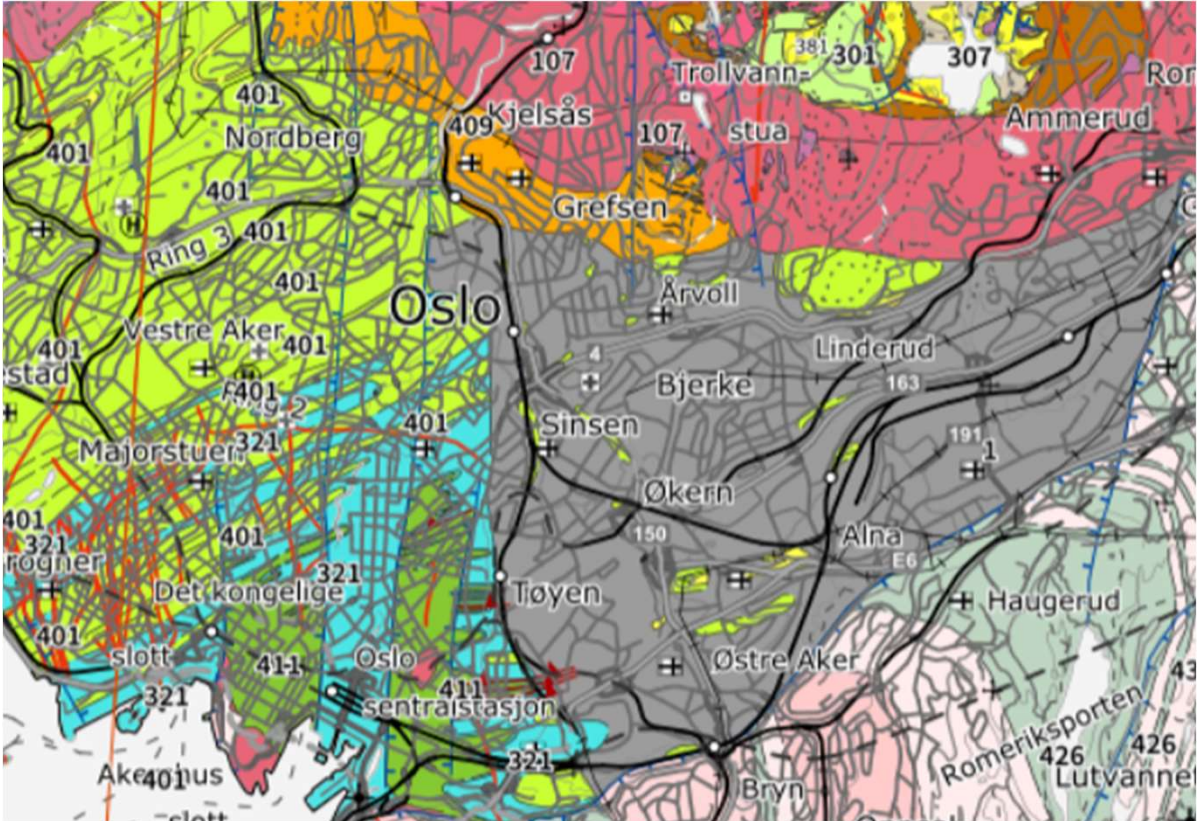
- Tunnel alignment
- Each curve can be produced by rotating rings
- Water tightness



CIRCUMFERENTIAL JOINTS AT CONNECTOR Scale 1:5



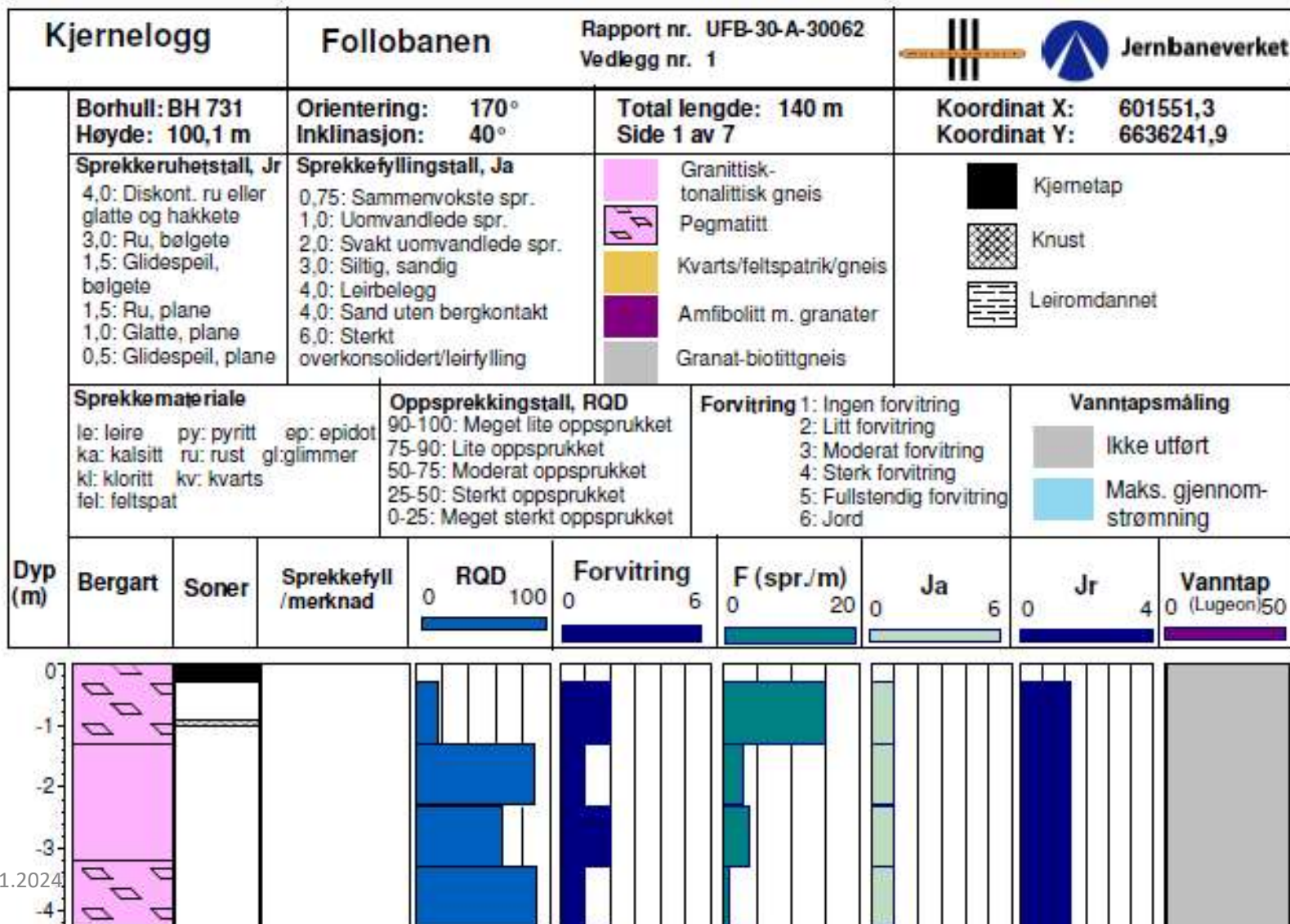
Geological overview (NGU)





BH 731. Box 4. 17.4 – 23.2 m.

Core drill logging



12.01.2024

Rock mass parameters

- Young's modulus
- Poisson's ratio
- Uniaxial strength
- Friction angle
- Cohesion
- Fractures with their properties
- Stress conditions

Ring gap filling

- Bi-component grout
- Pea gravel
- Pea gravel injected with cement-based grout
- Mortar
- Mechanical properties of the ring gap filling

Prove nr.	Diameter [mm]	Lengde [mm]	Lengde/diameter forhold	Densitet [kg/m ³]	E-modul [GPa]	Poisson's forhold	Trykkfasthet [MPa]	Bruddvinkel [°]	Bruddtype (visuell evaluering)
1-1	50,6	116,3	2,30 ¹⁾	2692	19,4	0,20	63,0	20	Skjær
1-2	50,6	118,6	2,34 ¹⁾	2693	22,2	0,24	54,5	-	Langs glidespeil
1-3	50,5	100,6	1,99 ¹⁾	2869	22,7	0,25	27,8	-	Langs glidespeil
1-Res.	50,5	98,1	1,94 ¹⁾	2681	22,4	0,17	79,9	40	Skjær
Gjennomsnitt				2734	21,7	0,22	56,3	30	
St. avvik				90	1,54	0,04	21,7	14	

¹⁾ Ihht. ISRM skal prøvens lengde/diameter forhold være 2,5, pga. begrenset lengde på mottatt kjerneseksjon var det ikke mulig å preparere kjerneprøven ihht. standarden.

Bilder av enaksiale trykkfasthetsbrudd



1-1 etter testing



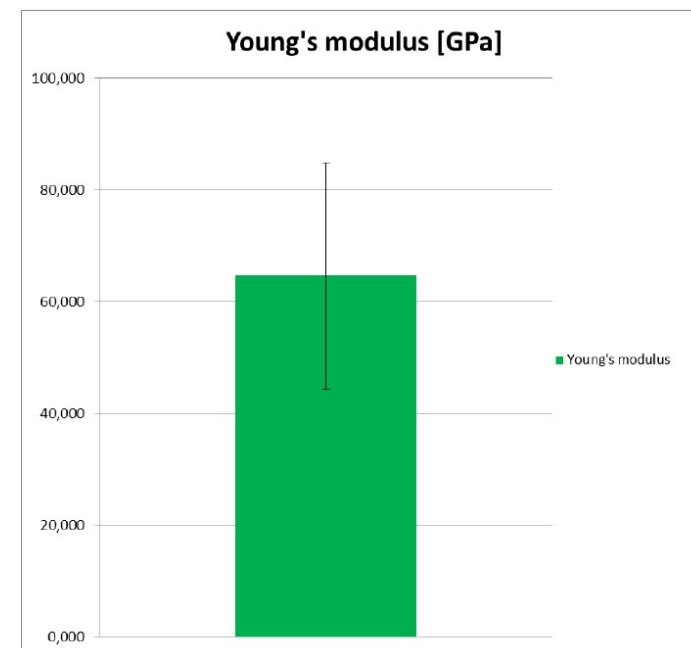
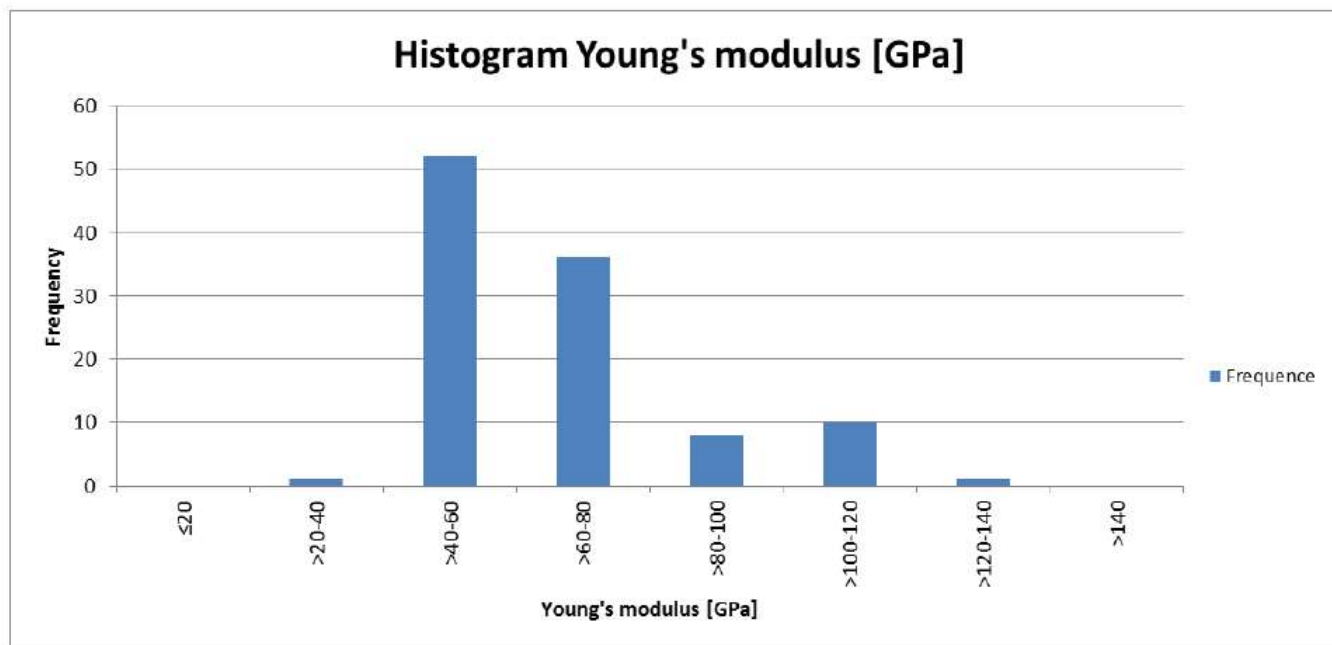
1-2 etter testing



1-3 etter testing



1-Res. etter testing

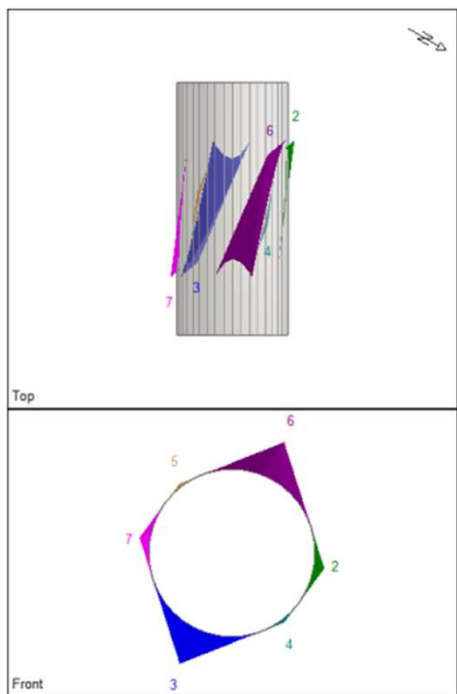


Geotechnical parameters

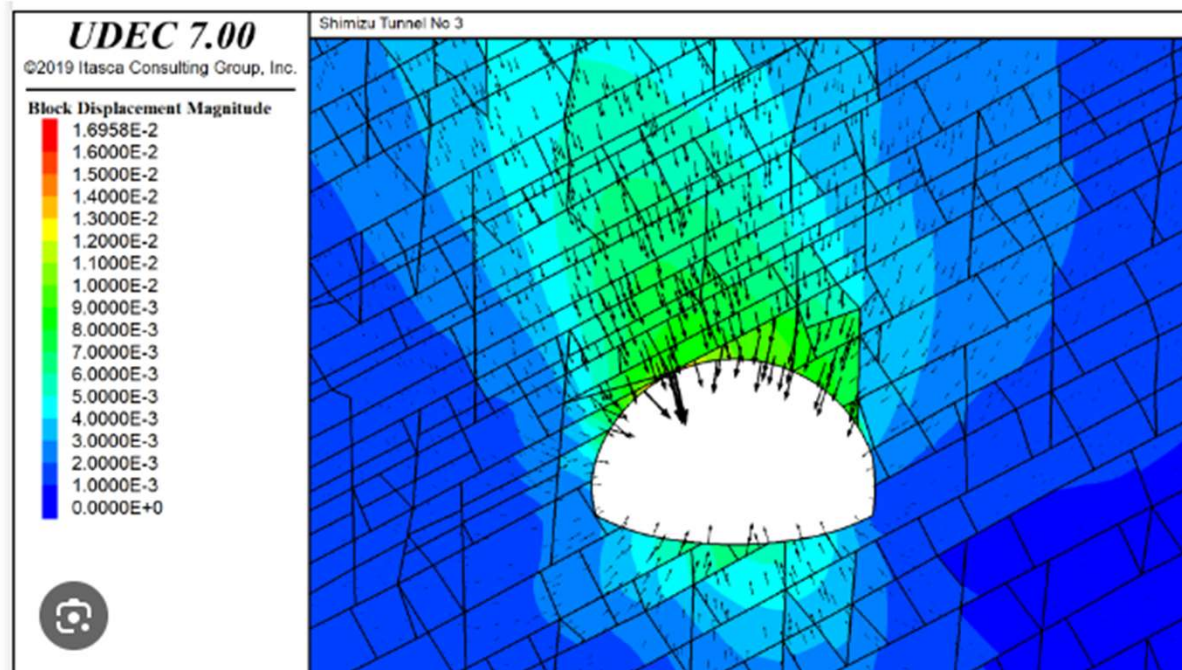


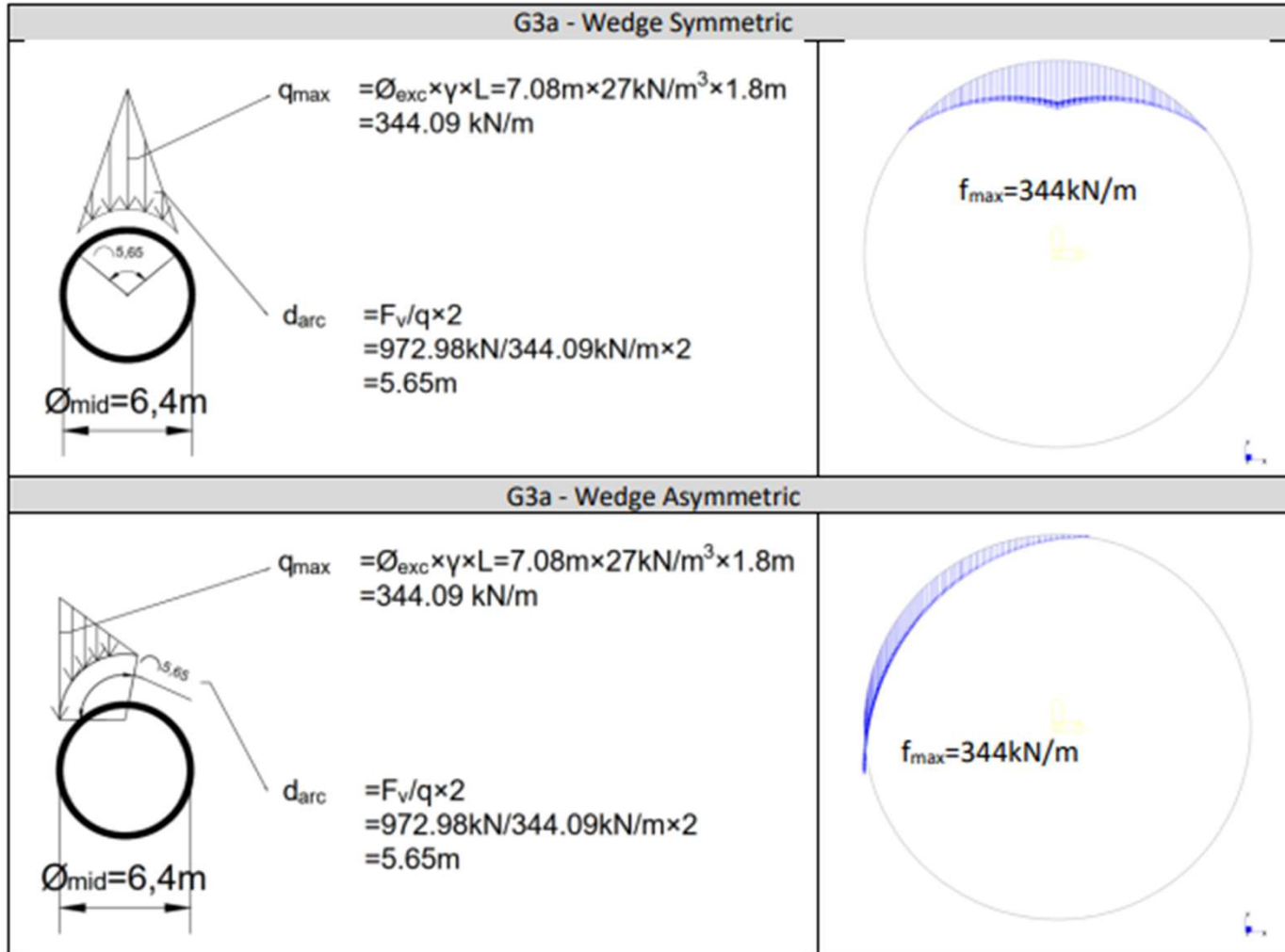
Rock Mechanical Properties		Borehole number (core section)		BH 839	BH 731	BH 831	BH 734			
				(111.82 - 112.73 m)	(129.6 - 131.6 m)	(86 - 88 m)	(56.4 - 58.4 m)			
Laboratory testing of rock samples from core drillings	Rock type description			granitic - tonalitic gneiss		mica rich amphibolite with garnets	granitic - tonalitic gneiss	banded mica gneiss with garnets		
	DRI = Drilling Rate Index			43		39	42	39		
	CLI = Cutter Life Index			6.0		8.1	4.8	7.7		
	UCS [MPa] = Uniaxial Compressive Strength			129.6		148.3	152	81.8		
	PLT (f_{100}) [MPa] = Point Load Test			8.7		10.5	10	7.5		
	CAI = Cerchar Abrasivity Index			4.0		3.3	4.2	3.1		
	Quartz [%]			36		6	38	21		
	γ [kN/m ³]			27.6		30.2	28.3	27.3		
	E [GPa]			46.2		44.3	41.6	41.6		
	ν [-]			0.17		0.18	0.18	0.18		
	RQD, medium value (%)	Weakness zones excl.			41		81	81	73	
		Weakness zones incl.			87		88	86	86	
Discontinuities	Jointing [strike/dip]			Ekeberg to Nordstrand: 1. Isolation NW-SE 2. Joint ENE-WSW/steeply sloping	Nordstrand to Bjørnas: 1. Isolation NNW-SSE/35°-50° 2. Joint E-W/steeply sloping					
	Spacing [m]			Ekeberg to Nordstrand: 1. 0.5 m 2. 0.8 m	Nordstrand to Bjørnas: 1. 0.6 m 2. 0.9 m					
Hydrogeology	Sensitive areas	Locations		Below Ekeberg (to Holtet)	Holtet - Lambertseter	Nordstrandsplataet		Ljanselva - Ojersubekken	Bjørnerud	
		Area classification		Small sensitivity	Moderate sensitivity	Sensitive		Small sensitivity	Moderate Sensitivity	
		Sensitivity		Small sensitivity	Moderate sensitivity	Sensitive		Small sensitivity	Moderate Sensitivity	
	Hydraulic conductivity	Rock type description		2001 Gneiss	3002 Gneiss	3003 Gneiss	BH 839 Mica rich amphibolite and some pegmatite	5004 Gneiss	BH 731 Granitic-tonalitic gneiss, amphibolite gneiss, pegmatite and some amphibolite	BH 831 Granitic-tonalitic gneiss, amphibolite with garnets
	Average [m/s] (Lugeon value)		3.6·10 ⁻⁷ (1.5)	1.3·10 ⁻⁷ (0.98)	3.3·10 ⁻⁸ (14.2)	2.6·10 ⁻⁷ (1.1)	1.1·10 ⁻⁷ (0.49)	5.1·10 ⁻⁷ (2.20)	6.1·10 ⁻⁷ (2.62)	3.7·10 ⁻⁷
	Max / Min [m/s] (Lugeon value)		2.0·10 ⁻⁸ (8.8) / 0	3.26·10 ⁻⁸ (1.41) / 0		1.4·10 ⁻⁸ (6.1) / 0	8.43·10 ⁻⁸ (3.67) / 0	>3.1·10 ⁻⁷ (133) / 0	>2.76·10 ⁻⁸ (12) / 5.6·10 ⁻⁷ (0.42)	1.0710 ⁻⁷ (High value due to 1.27%)

Unwedge



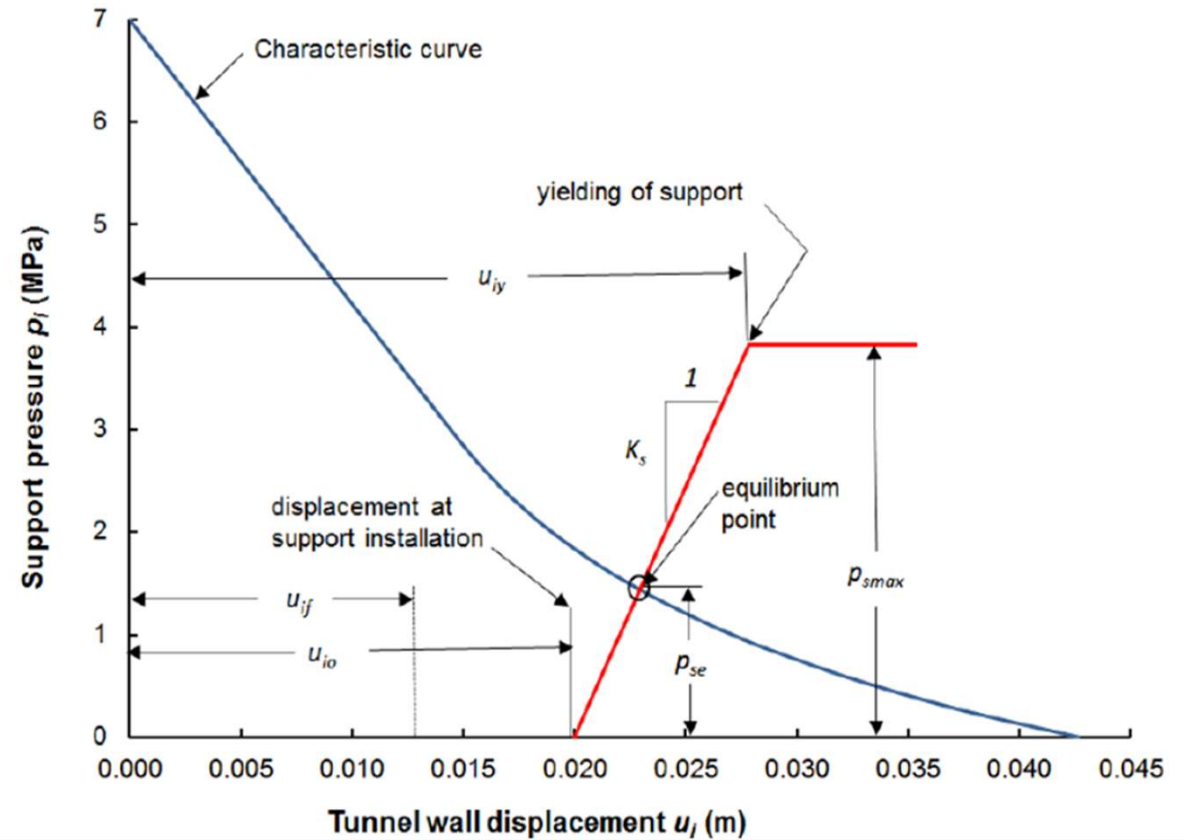
UDEC



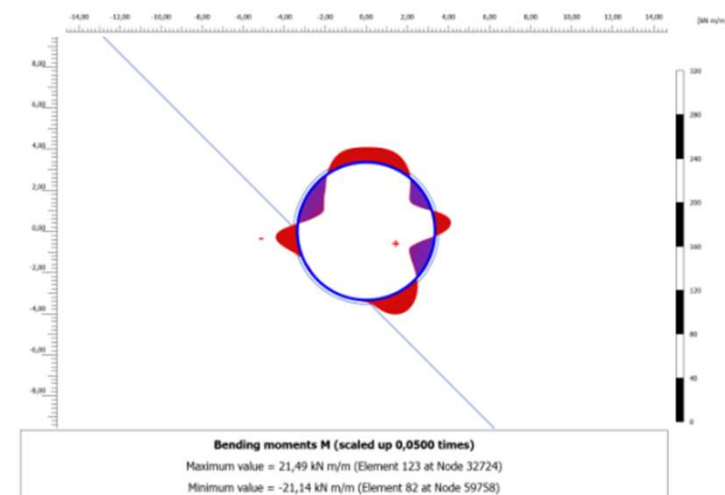
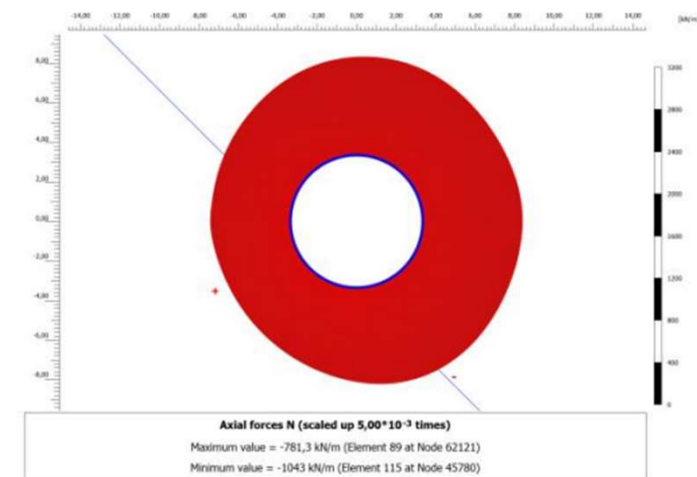
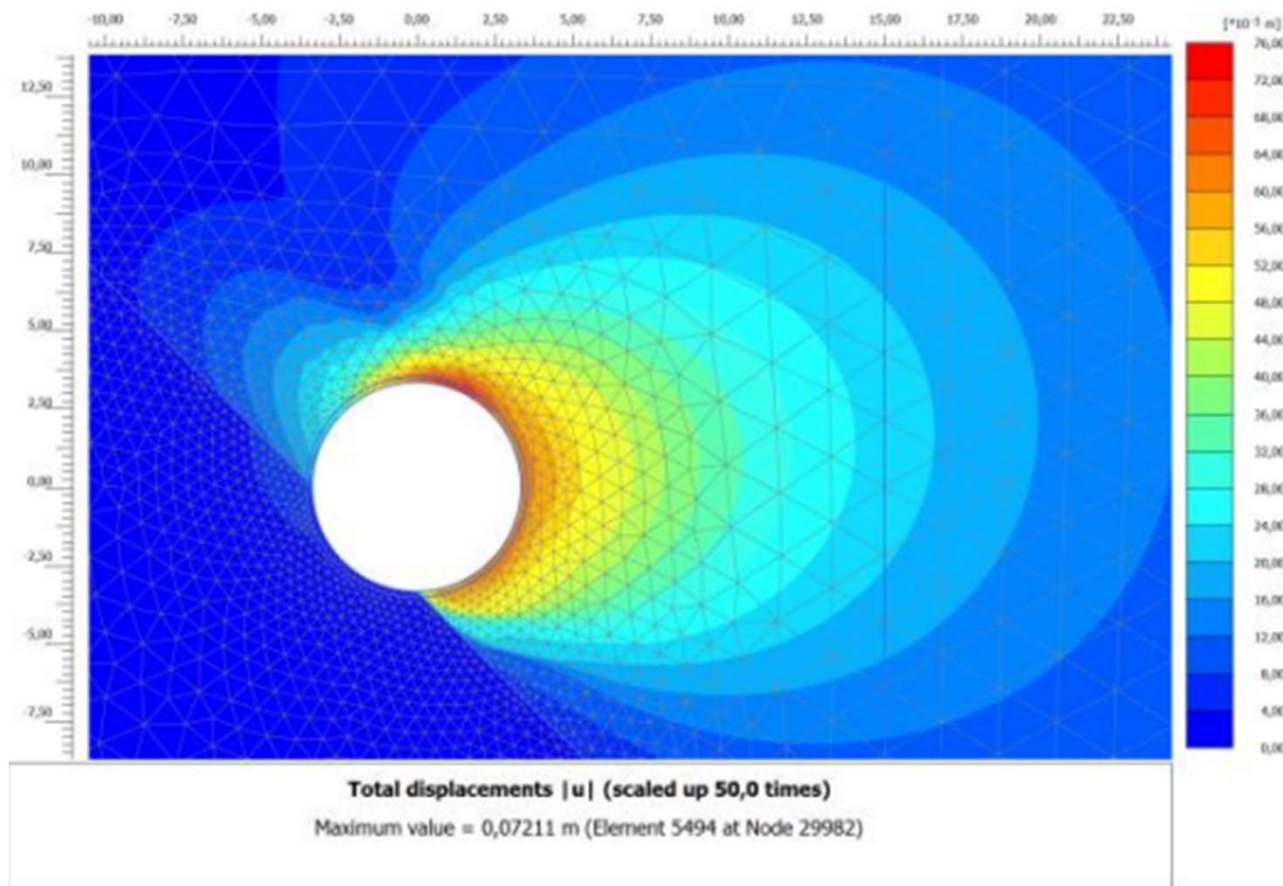


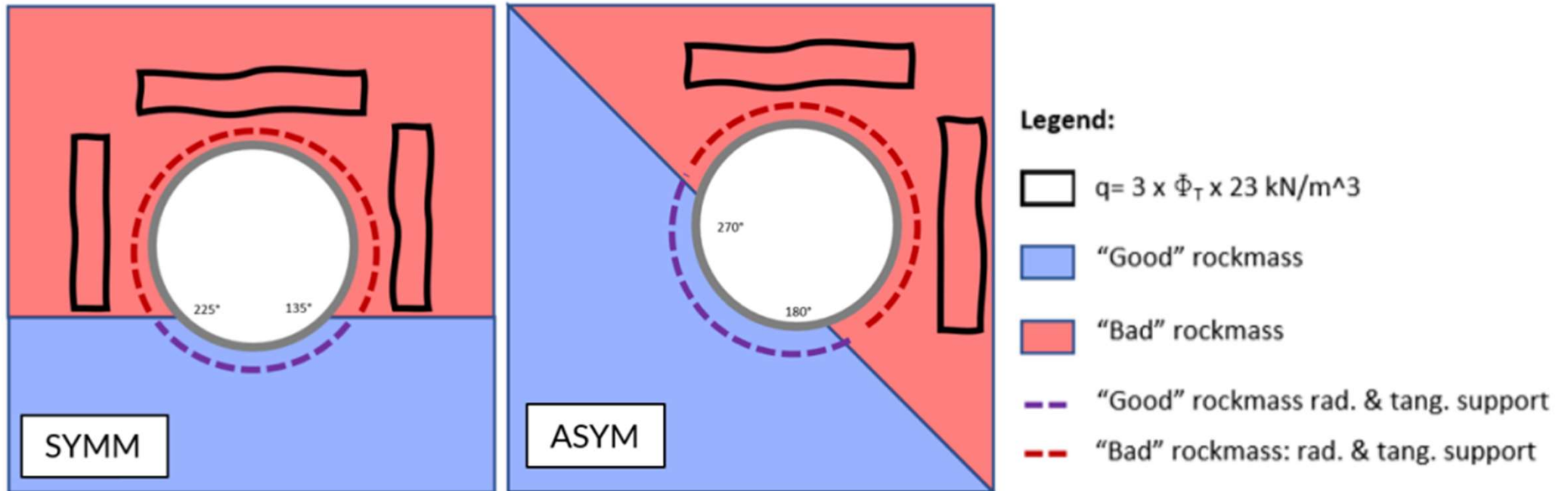
Ground reaction curve

- Empirical formulas
- Numerical calculation

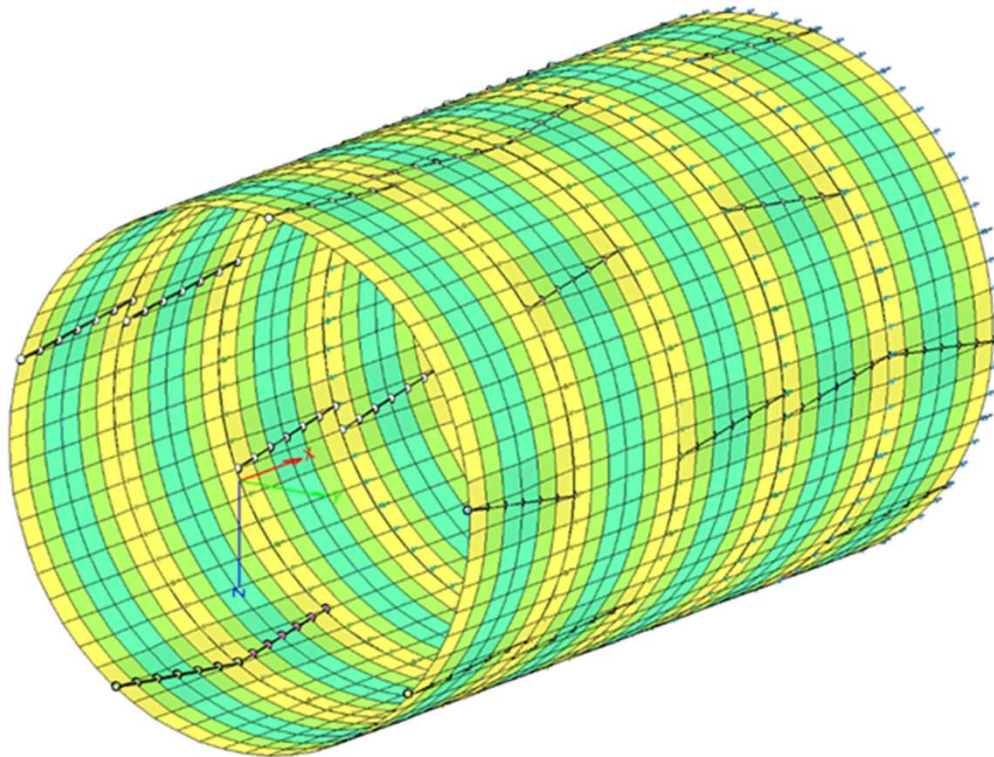


Numerical modelling of rock mass and lining

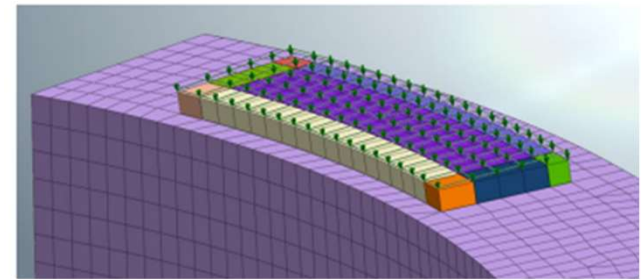




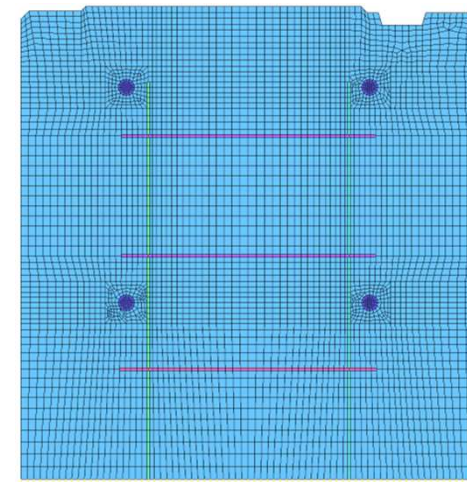
Shell model

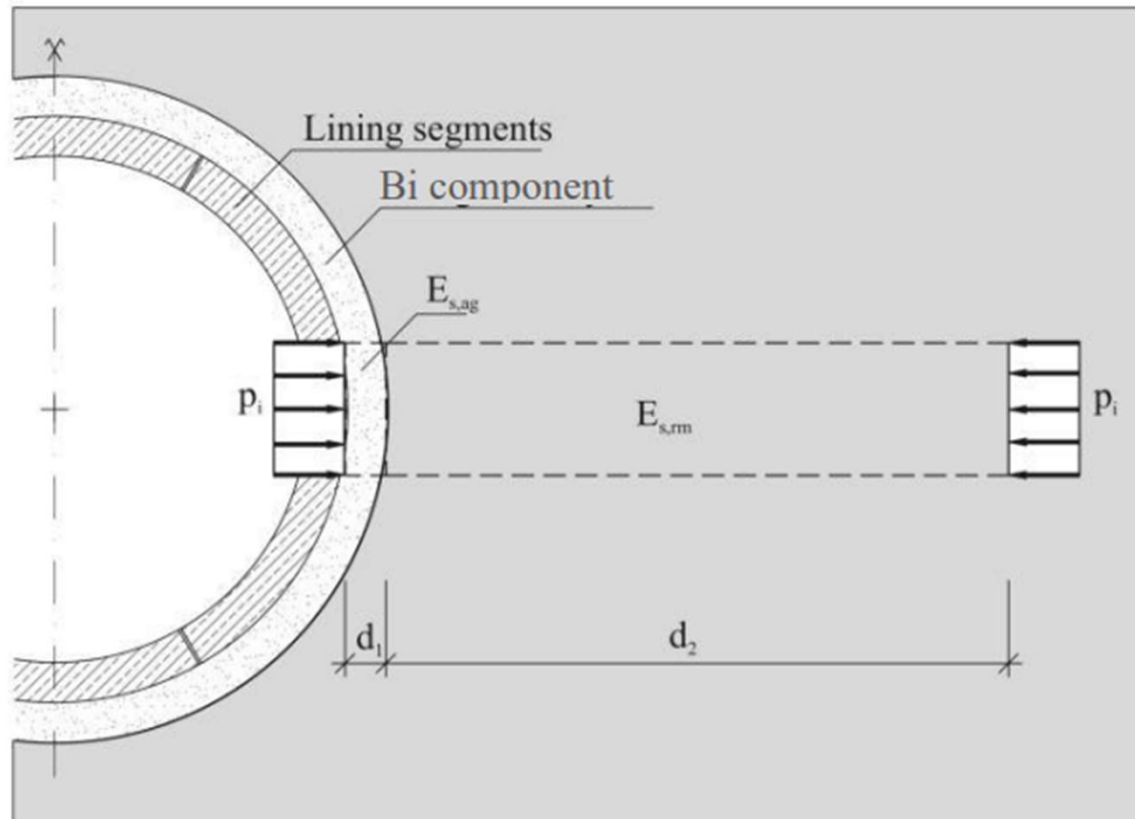


Segment joint with loaded thrust cylinders



Joint with reinforcement





$$k_r = \frac{1}{\frac{d_{ag}}{E_{s,ag}} + \frac{d_{rm}}{E_{s,rm}}}$$

k_r : bedding modulus [MPa/m]

d_{ag} : width of the annular gap [m]

d_{rm} : influence depth of the rock mass [m]

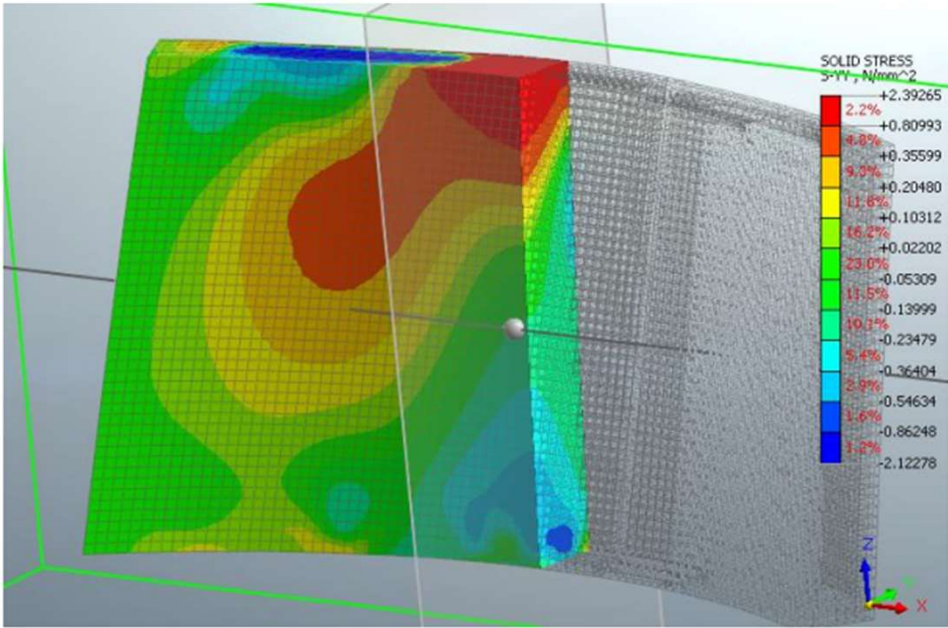
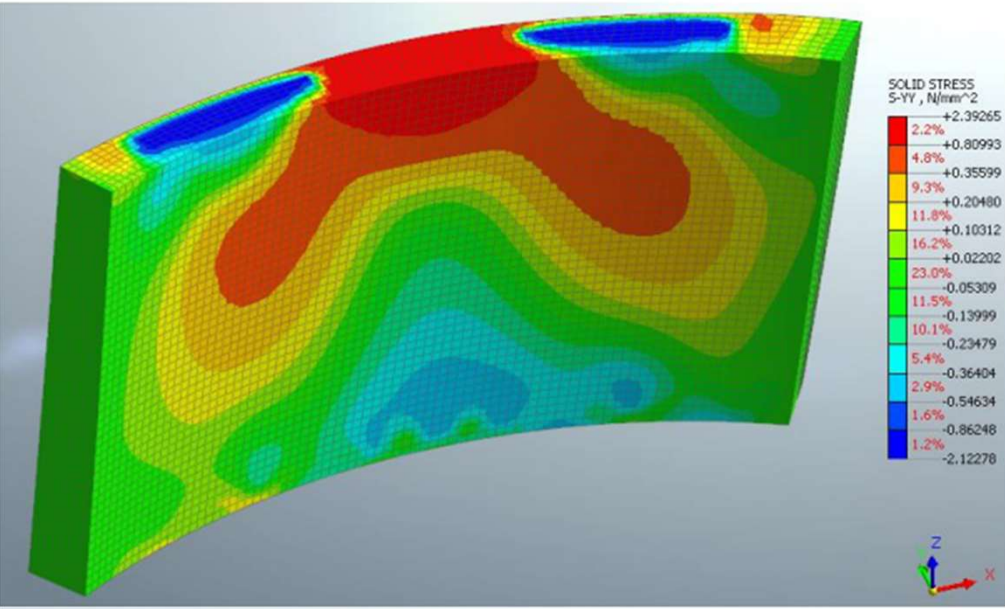
$E_{s,ag}$: constrained modulus of backfilled material [MPa]

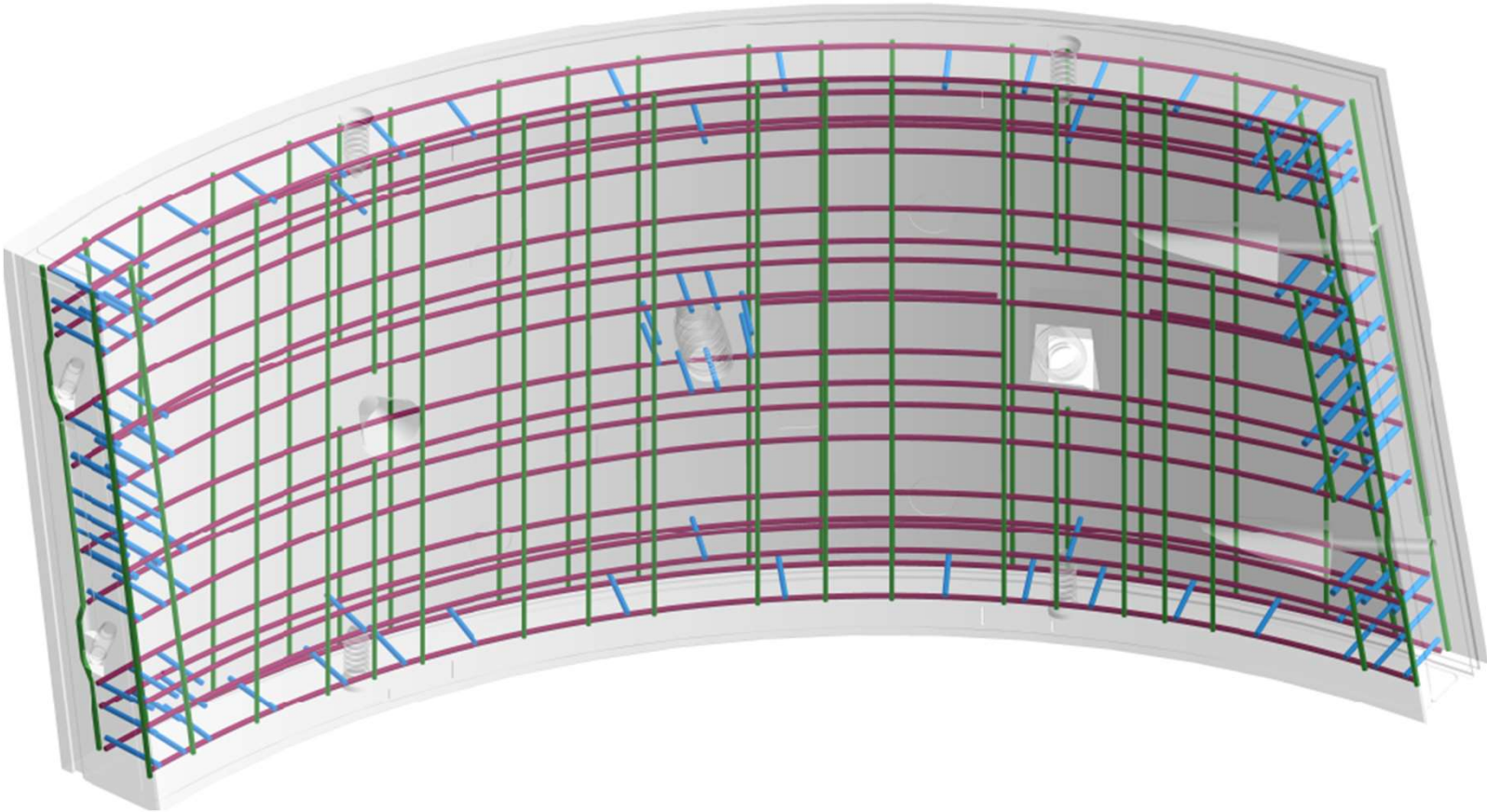
$E_{s,rm}$: constrained modulus of the rock mass [MPa]

Equation presented by different researchers

Number	Reference	Equation	Considerations
1	Bieniawski (1978)	$E_{rm} = 2RMR - 100$ (GPa)	RMR > 50
2	Serafim and Pereira (1983)	$E_{rm} = 10^{\frac{(RMR-10)}{40}}$ (GPa)	30 < RMR ≤ 50
3	Nicholson and Bieniawski (1990)	$E_{rm} = Ei \left[0.0028RMR^2 + 0.9e^{\frac{(RMR)}{27.971}} \right]$	-
4	Mehrotra (1992)	$E_{rm} = 10(RMR - 20)/38$	-
5	Grimstad and Barton (1993)	$E_{rm} = 25 \log Q$ (GPa)	Q > 1
6	Mitri et al. (1994)	$E_{rm} = Ei \left[0.5 \left(1 - \left\{ \cos \pi \frac{RMR}{100} \right\} \right) \right]$ (GPa)	-
7		$E_{rm} = H^{0.2} \cdot Q^{0.36}$	Q < 10
8	Read et al. (1999)	$E_{rm} = 0.1 \left(\frac{RMR}{10} \right)^3$ (GPa)	-
9	Palmstrom and Singh (2001)	$E_{rm} = 5.6 Rmi^{0.375}$	0.1 < Rmi < 1
10		$E_{rm} = 7 Rmi^{0.5}$	1 < Rmi ≤ 30
11		$E_{rm} = 7 Rmi^{0.4}$	Rmi > 30
12	Palmstrom and Singh (2001)	$E_{rm} = 0.5MR \sigma_{ci}$	-
13	Barton (2002)	$E_{rm} = 10Q_C^{1/3}$ (GPa)	Q _c = Q (σ _{ci} /100)
14	Hoek et al. (2002)	$E_{rm} = \left(1 - \frac{D}{2} \right) \sqrt{\frac{\sigma_{ci}}{100}} 10^{(GSI-10)/40}$	σ _{ci} ≤ 100 Mpa
15		$E_{rm} = \left(1 - \frac{D}{2} \right) 10^{(GSI-10)/40}$	σ _{ci} > 100 Mpa
16	Kayabasi et al. (2003)	$E_{rm} = 0.135 \left(Ei \left(1 + \frac{RQD}{100} \right) / WD \right)^{1.911}$	-
17	Gokceoglu et al. (2003)	$E_{rm} = 0.001 \left(\frac{Ei}{\sigma_{ci}} \left(1 + \frac{RQD}{100} \right) / WD \right)^{1.5528}$	-
18	Sonmez et al. (2004)	$E_{rm} = Ei (s^a)^{0.4}$ (GPa)	S = e ^($\frac{GSI-100}{9}$) a = 0.5 + $\frac{1}{8} e^{(GSI-15)} - e^{(\frac{-20}{9})}$
19	Zhang & Einstein (2004)	$E_{rm} = Ei (10^{0.0186RQD-1.91})$	-
20	Jose et al. (2005)	$E_{rm} = Ei e^{(RMR-100)/36}$	-
21	Hoek and Diederichs (2006)	$E_{rm} = 100 \left(\frac{1-D/2}{1+e^{(0.75+2.5D-GSI/11)}} \right)$ (GPa)	-

Calculation results - stresses

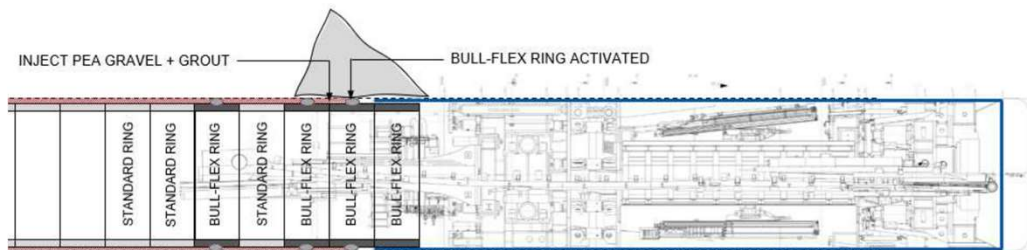




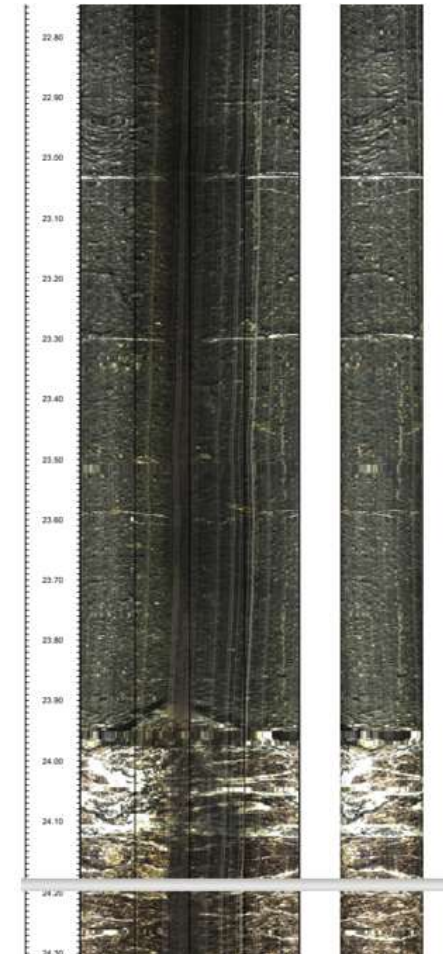
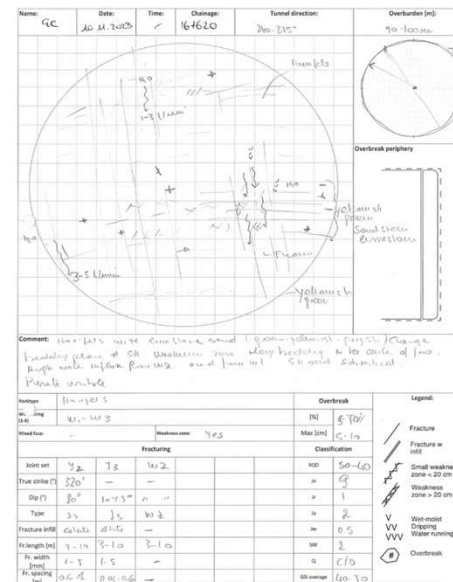
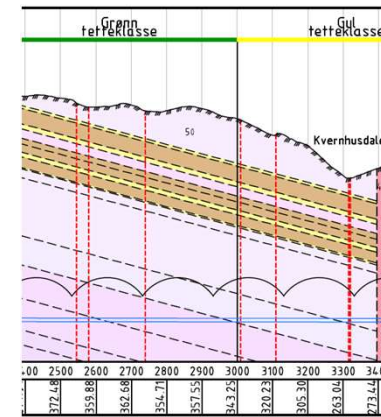
- A combination of steel bars, wire mesh and steel fibres maybe used. However, the minimum reinforcement requirement shall be provided by steel bars.
- For fire protection PP-fibres shall be added, if required.
- The combination of steel bars, steel fibres and PP fibres make the concrete very difficult to work.
- Suitable excavated muck to be used for segment production.

Verification during construction

- Longitudinal geological profile
- Probe holes with MWD
- Probe holes with OTV
- Face mapping
- Machine data (penetration, thrust force, torque, electrical power consumption,...)



12.01.2024



- Constant segment thickness
- Different amount of reinforcement to account for different load situations
- Different concrete grade to account for different load situations

- Follow-up the design assumptions are met during construction (tolerances, thrust cylinder loads, load assumptions,..)
- Develop a clear procedure how to choose different segment types
- Secure the ring gap is properly filled

Thank you very much for your attention!



Erfaringer med bruk av TBM i Norge over de siste 50 år

Thor Skjeggedal
Oslo, januar 2024



SCS Skjeggedal
Construction
Services AS



NORSK BERGMEKANIKKGRUPPE

Oversikt

- ❖ Historie
- ❖ Spesielle forhold i Norge
- ❖ Valg av TBM som drivemetode og type TBM
- ❖ Kontraktsmessige forhold
- ❖ TBM design
- ❖ Risiko



TBM boring i Norge

- Trondheim 1972, Demag maskin, 4,3 km, Ø2,3 m
- VEAS prosjektet, over 40 km på 70 – 80 tallet
- Vannkraft, mange prosjekter
- Fløyfjellet, veitunnel i Bergen, midten av 80 tallet
- NVE/Statkraft, Ulla Førre, Jostedal og Svartisen
- Skråsjakter (45 gr.) for vannkraft
- Jernbaneverket/BaneNOR, Follo og Ulrikken
- NVO, ny vannforsyning til Oslo

- Totalt boret lengde i Norge, ca. 330 km

Norske forhold



- ❖ Stort sett harde og stabile bergarter
- ❖ Tradisjonelle sikringsmetoder, bolter og SFR, senere også betongutforing
- ❖ Lange tunneler
- ❖ Behov for vanntetting (forinjeksjon)

Valg av drivemetode



Viktig, vurder drivemetode i en tidlig planleggingsfase

- ❖ Tunnllengde
- ❖ Krav til tverrsnitt
- ❖ Geologi
- ❖ Adkomst, logistikk

Men som alltid, kostnader er som regel avgjørende

Type TBM



Velge rett TBM ut fra prosjektets særegenhet

- ❖ Åpne maskiner, mest vanlig i Norge. God inndrift i harde bergarter som ikke krever spesiell tung sikring
- ❖ Skjoldmaskiner. God inndrift, men bergforholdene krever tyngre stabilitets- og vannsikring
- ❖ EPB. Ikke i Norge så langt. I løsmasser og/eller kombinasjon løsmasser/berg



Kontraktsmessige forhold



Byggherren må velge drivemetode

- ❖ Er TBM valgt må prosjektet spesifisere for det
- ❖ Ikke la entreprenør velge maskintype
- ❖ Byggherren bør/må sette krav til spesifikasjoner
- ❖ Risikofordeling byggherre/entreprenør. Geologisk risk tilhører byggherren, det operative entreprenøren
- ❖ Enhetspriskontrakt med oppgjør etter medgåtte mengder for stabilitets- og vannsikring

Kontraktsmessige forhold



Geologi og grunnforhold

Grundige geologiske undersøkelser er viktig

- **Dårlige og ustabile soner /overdekning spesielt**
- **Borbarhet**
- **Mengdeberegninger**

For fremdrifts- og kostnadsanalyser:

- **Bruk av NTNU modellen for netto inndrift**
- **Ekvivalenttidsregnskap**

Kontraktsmessige forhold

TBM design

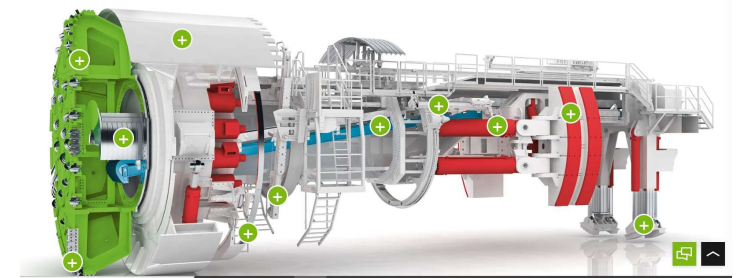


- **Hvorfor spesifisere dette?**
- Vi ønsker oss en maskiner som er «skreddersydd» til de spesifikke geologiske forholdene på prosjektet fordi bl. annet:
- Eventuelle internasjonale entreprenører kjenner ikke de harde norske bergartene og kan ha liten erfaring med forinjeksjon. Risiko for at de kan tilby maskiner som ikke mestrer forholdene

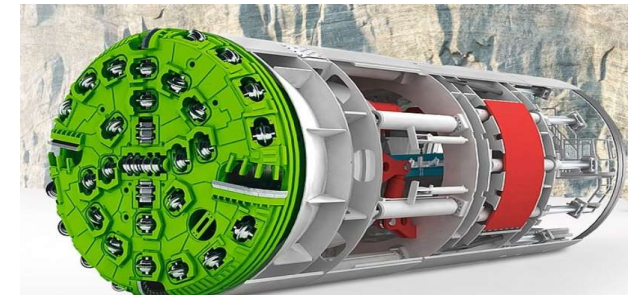
TBM valg/design



- *Åpen gripper TBM*
- Passerer der hvor en har harde og stabile bergarter



- *Dobbelt skjold TBM*
- Effektiv maskintype der en kan forvente partier som vil kreve mye stabilitetssikring og betongutforing er nødvendig. Kan bore mens betongsegmentene plasseres



TBM valg/design



Enkeltskjold TBM

Brukes der hvor en forventer ustabile bergforhold. Krever at der installeres betongutforing. Enklest adkomst frem mot stuff for sonderboring. Kan ikke bore mens betongelementene plasseres. Lavere fremdrift enn DS maskiner.

EPB maskiner

Mer komplekse maskiner med lav inndrift og høye driftskostnader. Ikke benyttet i Norge så langt



Kontraktsmessige forhold

TBM spec.



Inn i kontrakts bestemmelsene som minimumskrav

Pt. 1

Type TBM basert på geologiske forhold

Diameter etter prosjektets krav

Pt. 2

Tekniske krav, åpen maskin

Tilgjengelig sikringsutstyr, boltet, SFR, buer, mfl.

Event. Injeksjonsutstyr inkl. kapasiteter

TBM spec.



Inn i kontrakts bestemmelsene

Pt. 3

For åpne og skjoldmaskiner i hardt berg

Kutterhode og drivverk

- Vekt, ønsker et solid kutterhode
- Kutterstørrelse, 19 tommer, event. 20 tommer
- Matertrykk, må tåle nominell belastning på 315 kN
- Avstand kutterspor, så lav som mulig (spesielt viktig i hardt og massivt berg)
- Omdreiningstall, variabelt opp til 170 m/min. periferhastighet
- Inst. Effekt, avhengig av Ø
- Størrelse på hovedlager, 0,6 – 0,7 X Ø
- Levetid på hovedlager, 15 – 20 000 timer

TBM spec.



Inn i kontrakts bestemmelsene

Pt. 3 forts.

To trinns girkasser for å kunne øke dreiemoment i vanskelige soner

Eventuelt injeksjonsutrustning

Antall boremaskiner

Krav til hullengde, 30 m eller mer

Avstand mellom hull, helst rundt 1 m

Hullvinkel, 5 – 8 grader

Pumpekapasitet og trykk

TBM spec.



Inn i kontrakts bestemmelsene

Pt. 3 forts.

Bakrigg

- Kurveradius
- Kapasitet på transportbånd
- Ventilasjonsanlegget
- Høyspentanlegget, Cosinus fi, osv.
- Drenasjekapasitet, spesielt dersom det bores på synk
- Navigasjonssystemet, nøyaktighet
- Nettforbindelse for oppfølging, feilsøking, mm
- Dataloggingssystem

Øvrig spec.



Inn i kontrakts bestemmelsene

Helse, miljø og sikkerhet (HMS)

Redningskammer:

- Et så langt frem mot stuff som mulig
- Et kjørbart bak bakriggen
- Et kjørbart i portal for nødetatene

Øvrig:

- Selvreddere
- Gassdeteksjon
- Merking av evakueringsrute
- Sikkerhetsrutiner for kutterbytte
- TV overvåkning og kommunikasjon
- Vanngardiner
- mm.



Øvrig spec.



Inn i kontrakts bestemmelsene

Reservedeler

Krav til beholdning og lagringsplass for 3 forskjellige kategorier av reservedeler

Liste med minimum beholdning skal til enhver tid kunne fremlegges for byggherren

Kutterverksted skal etableres rimelig avstand fra tunnelportalen



Øvrig krav



Inn i kontrakts bestemmelsene

Entreprenøren skal fremlegge all teknisk informasjon, inklusive tegninger av dette for byggherren, også vedlikeholds- og brukermanualer

Prosedyrer for montasje/demontasje, injeksjon, mm.

Ventilasjonsberegninger

Entreprenøren skal dokumentere for byggherren at TBM og bakrigg tilfredsstillende de tekniske kravene som spesifisert innen at 500 m tunnel er boret mm.

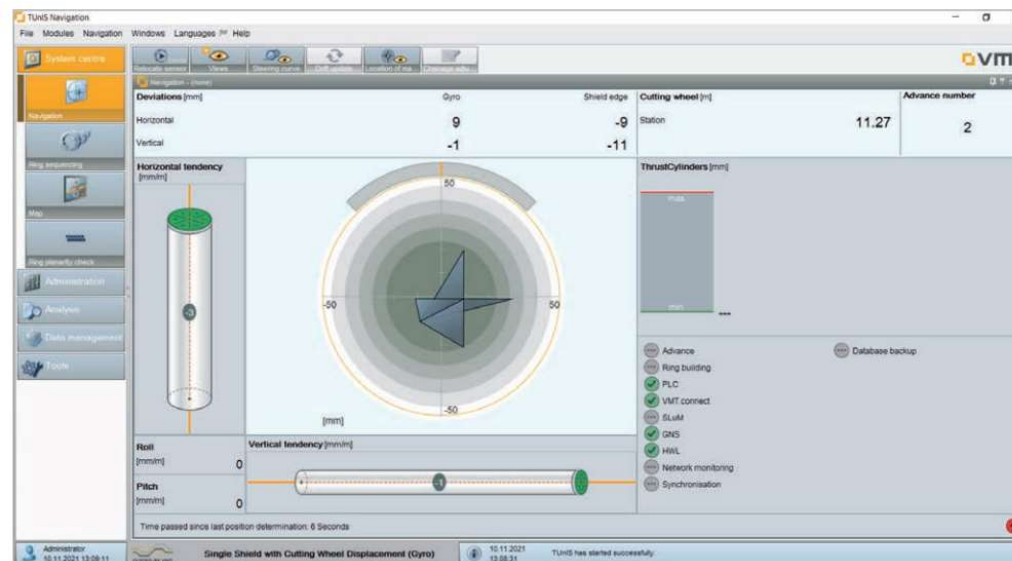
SCS

Øvrig krav



Inn i kontrakts bestemmelsene *Datalogging*

- Produksjonsdata fra tunnelboremaskinen
- Event. montering av betongelementer
- Bakrigg aktiviteter
- Sonderboring og forinjeksjon
- Stikningsdata
- Luftkvalitetsmålinger
- Mfl.



Oppsummert



Basert på > 50 års TBM erfaring i Norge

1. Gjør valg av drivemetode tidlig i prosjektfasen
2. Velg maskintype hovedspesifikasjoner etter de geologiske forholdene
3. Kontraktfest hovedspesifikasjonene til TBMen i hht. Prosjektets spesifikke krav («skreddersøm»)

Takk for oppmerksomheten!



SCS

Bergmassensborbarhet i Hardt Fjell

Javier Macias, PhD

Rock Engineering Consultant and Researcher

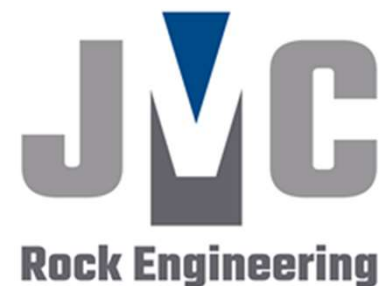
JMConsulting-Rock Engineering AS

Bergteknikk for TBM - Boring i hardt fjell

09.01.2024, Oslo



NORSK BERGMEKANIKKGRUPPE



Rock boreability

- What is rock boreability?

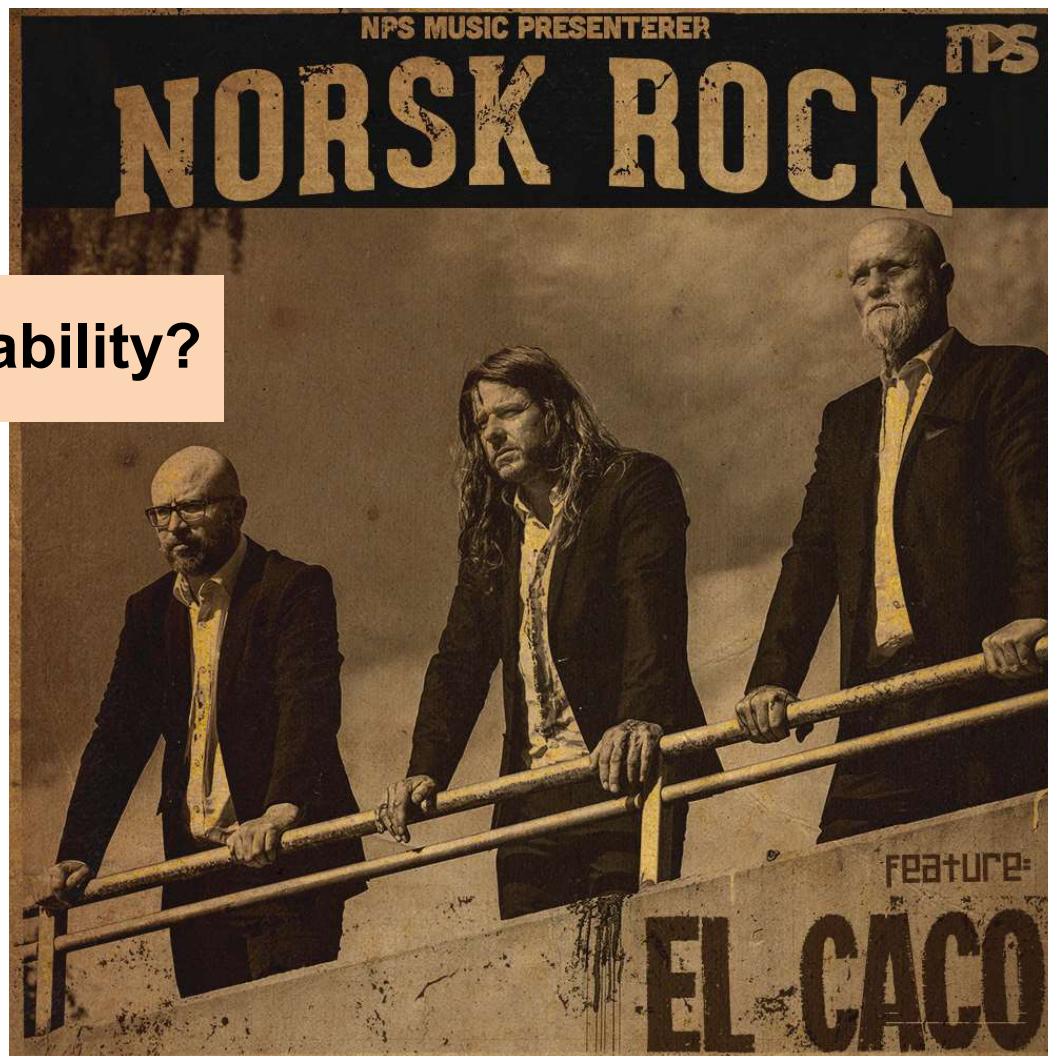
Rock boreability

Boredom ability?

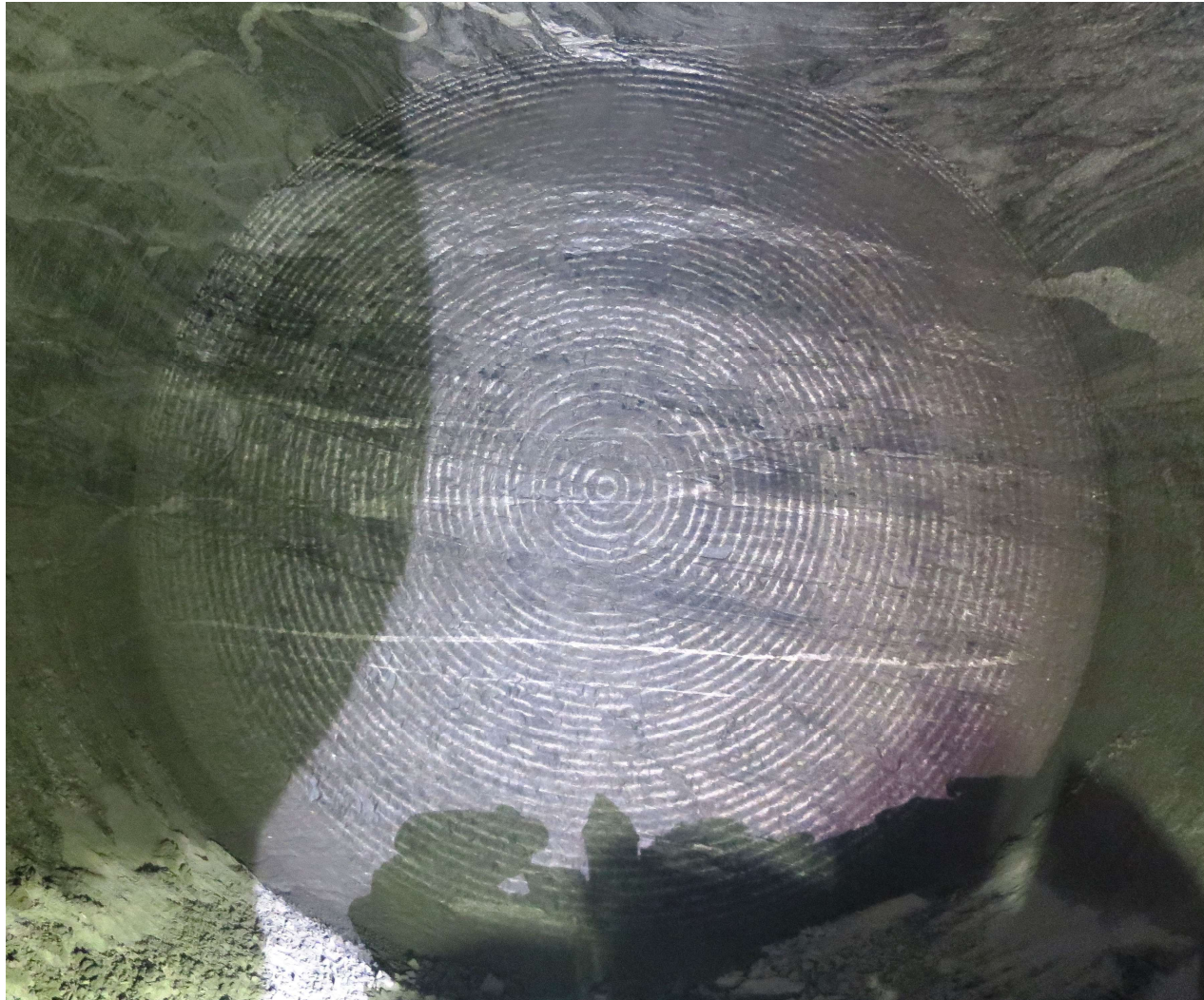


Rock Boreability?

“Rock” boredom? ability?



Rock Boreability?



Outline

- What is rock boreability?
 - Intact Rock Boreability
 - Rock mass Boreability
- Understanding rock boreability
- Conclusive remarks

Outline

- What is rock boreability?
 - Intact Rock Boreability
 - Rock mass Boreability
- Understanding rock borability
- Conclusive remarks

Rock Boreability

- **What is ‘Rock Boreability’?**

It is a comprehensive parameter of rocks under excavation and expresses the result of the interaction between a given rock mass and Tunnel Boring Machine (TBM).

- **How can be defined ‘Rock Boreability’?**

The resistance (in terms of ease or difficulty) encountered by a TBM as it penetrates a rock mass (intact rock containing planes of weakness)

“There is no single parameter that can fully represent the properties of jointed rock masses. Different parameters have different emphases and can only provide a satisfactory description of a rock mass in an integrated form” (Singh and Goel, 2011).

Rock Boreability

- **What is ‘Rock Boreability’?**

It is a comprehensive parameter of rocks under excavation and expresses the result of the interaction between a given rock mass and Tunnel Boring Machine (TBM).

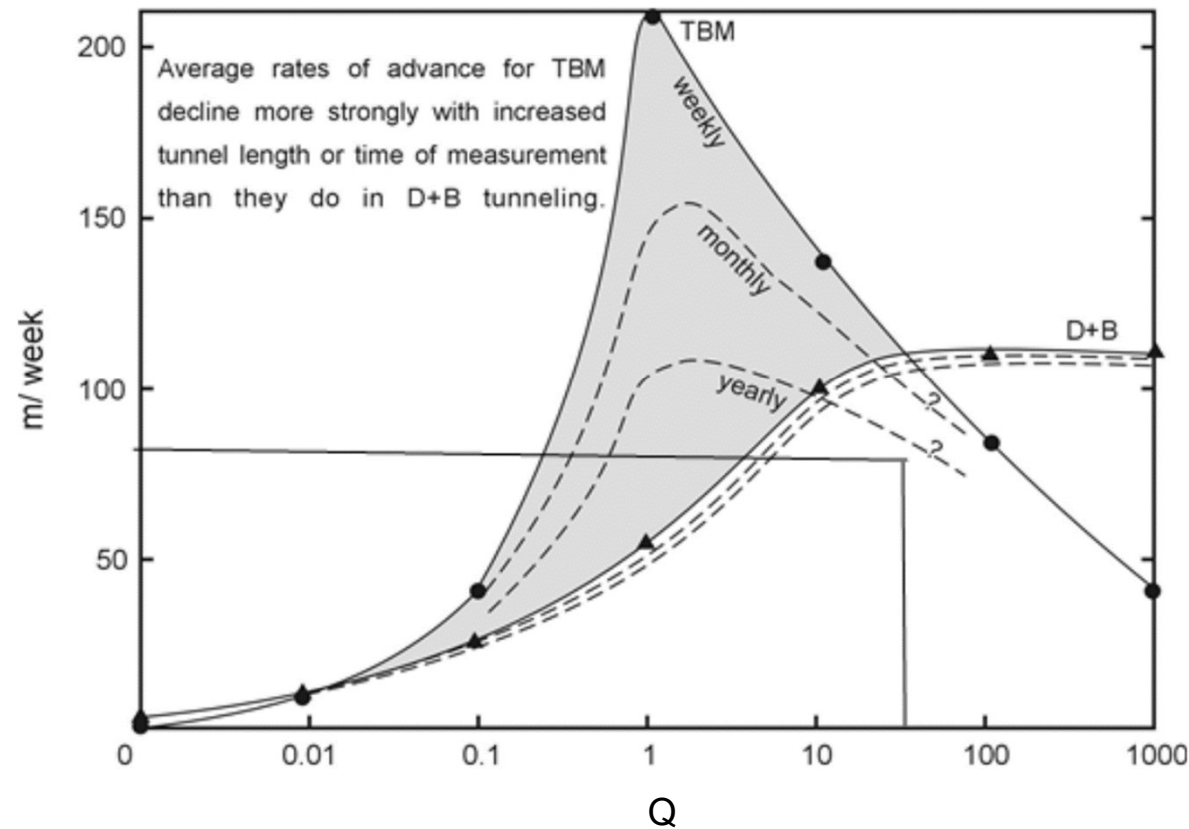
- **How can be defined ‘Rock Boreability’?**

The resistance (in terms of ease or difficulty) encountered by a TBM as it penetrates a rock mass (intact rock containing planes of weakness)

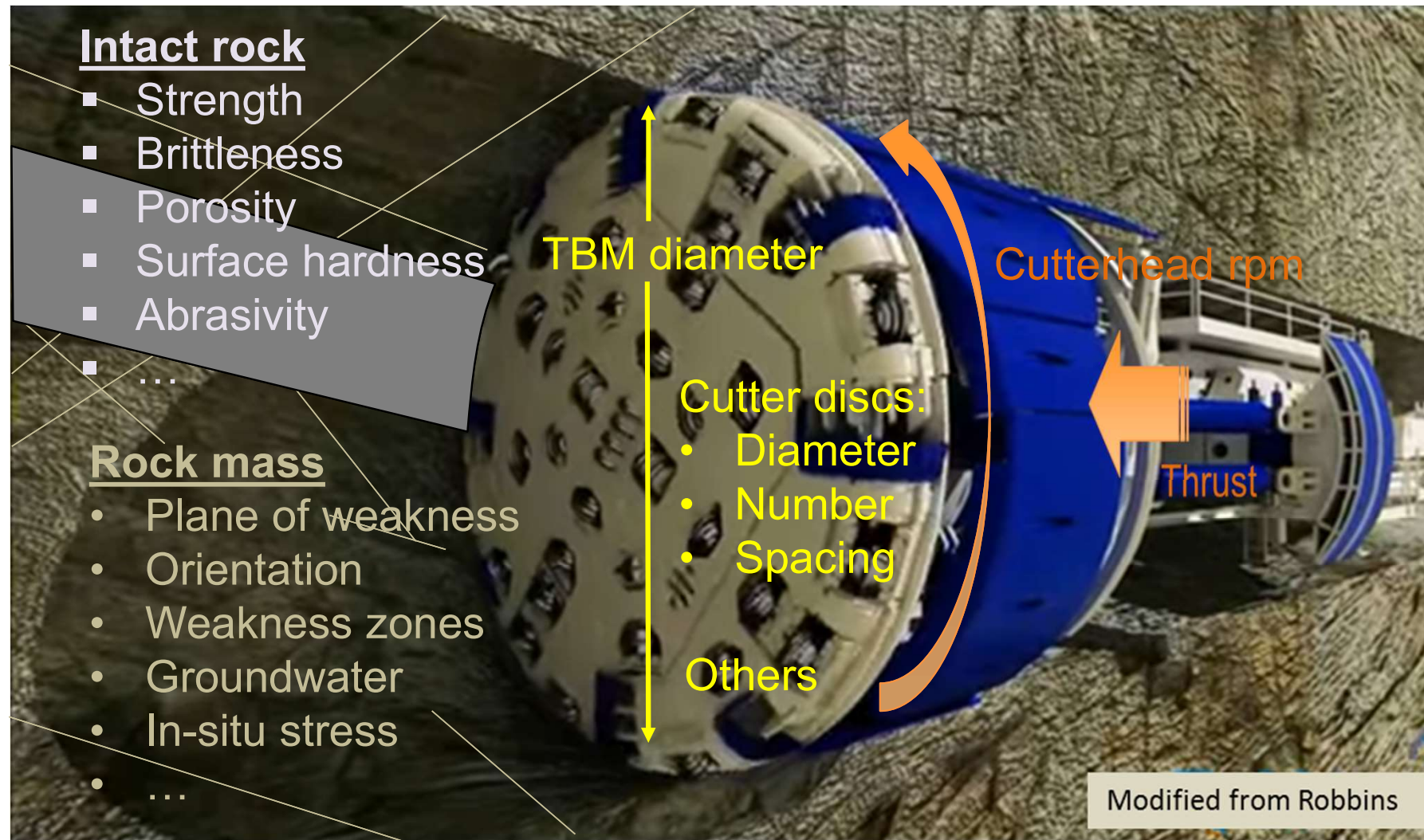
- **Intact rock boreability**
- **Rock mass boreability**

Rock Boreability

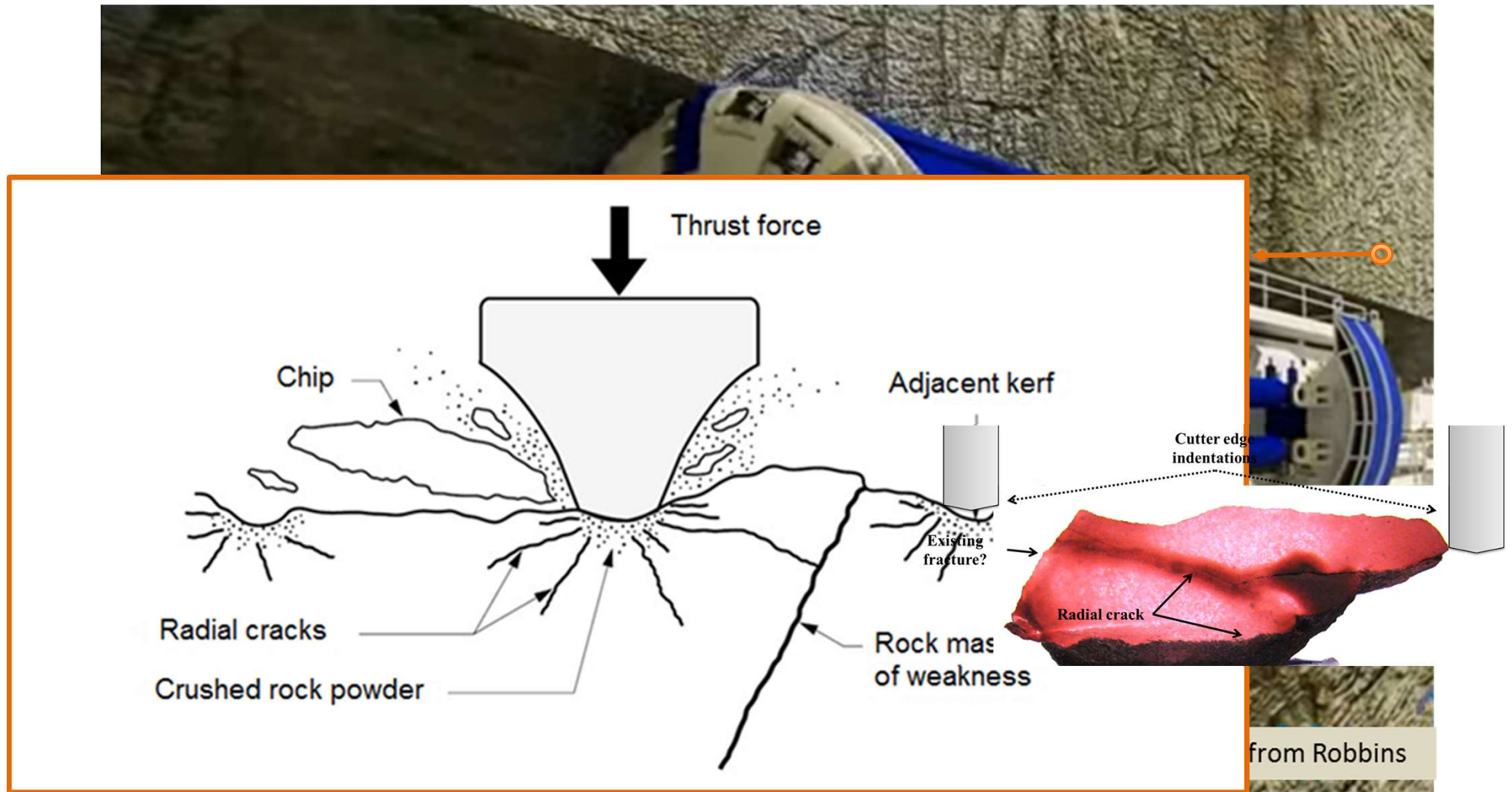
- Why is important 'Rock Boreability'?



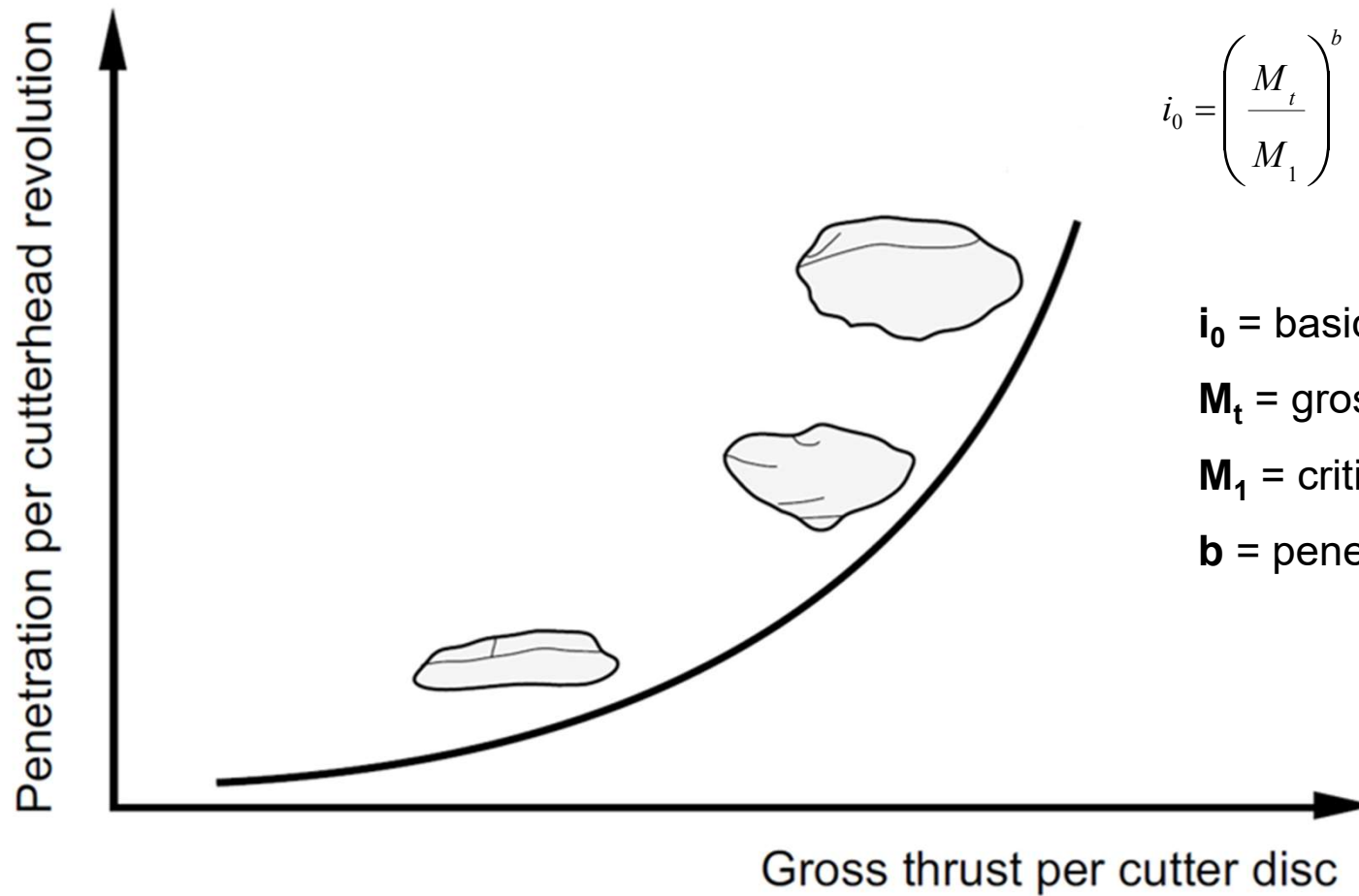
Hard rock tunnel boring



Hard rock tunnel boring



Rock boreability



$$i_0 = \left(\frac{M_t}{M_1} \right)^b \quad (\text{mm/rev})$$

i_0 = basic penetration rate

M_t = gross cutter thrust

M_1 = critical cutter thrust

b = penetration coefficient

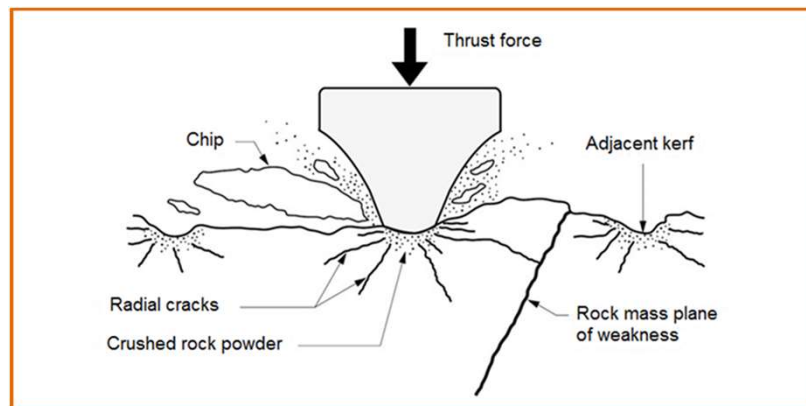
Outline

- What is rock boreability?
 - Intact Rock Boreability
 - Rock mass Boreability
- Understanding rock boreability
- Conclusive remarks

Intact Rock Boreability

- Ability of the *intact rock* to be bored
- Influence that intact rock properties has on machine performance and penetration rate

Breakability



Abrasivity



Intact Rock Boreability

Main intact rock properties

- Strength
- Brittleness
- Surface hardness
- Wear capacity

Intact Rock Boreability

Main intact rock properties

- Strength
- Brittleness
- Surface hardness
- Wear capacity



Intact Rock Boreability

Main intact rock properties

- Strength
- Brittleness
- Surface hardness
- Wear capacity



SINTEF

Intact Rock Boreability

Main intact rock properties

- Strength
- Brittleness
- Surface hardness
- Wear capacity



Intact Rock Boreability

Main intact rock properties

- Strength
- Brittleness
- Surface hardness
- Wear capacity



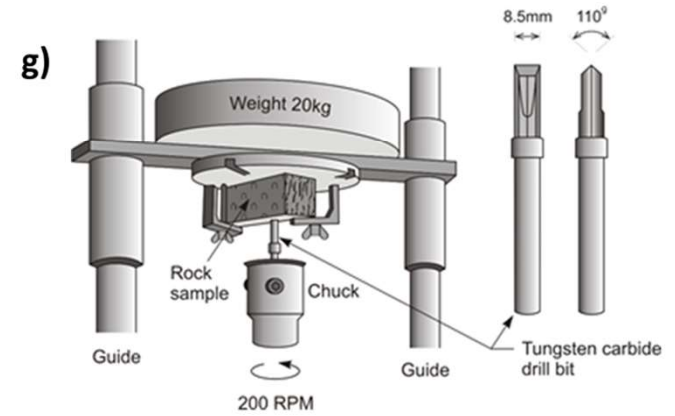
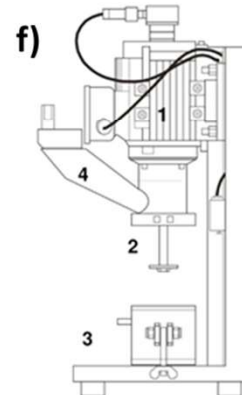
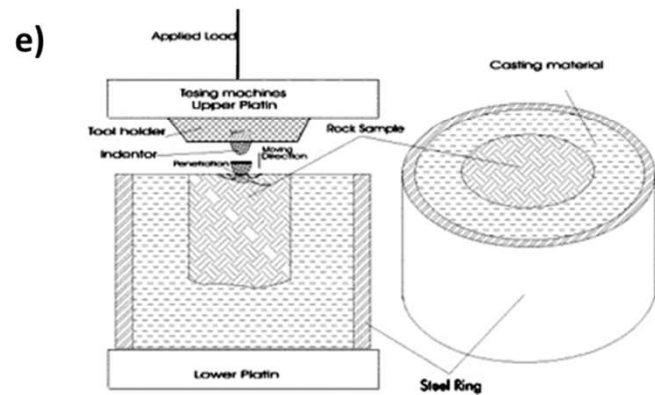
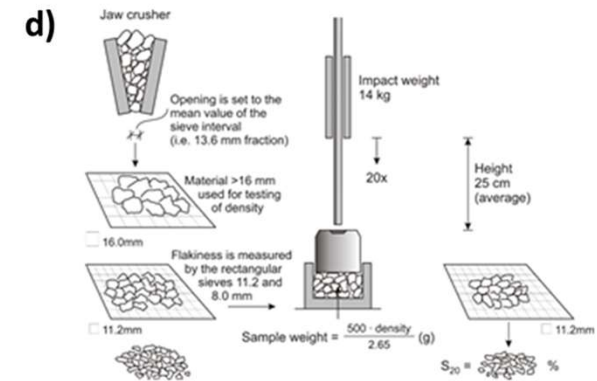
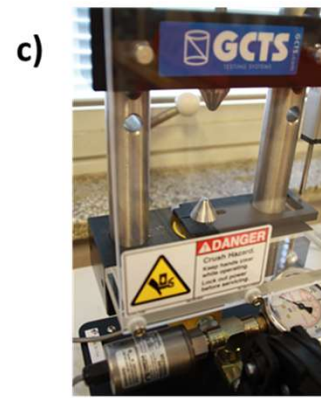
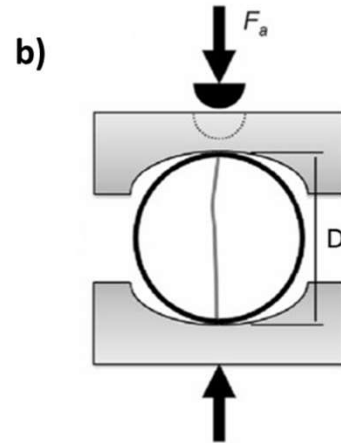
Intact Rock Boreability

Lab assessments for Intact Rock Boreability:

- **Uniaxial Compressive Strength (UCS)**
- **Rock Toughness**
- **Drilling Rate Index (DRI)**
- **Cutter Life Index (CLI)**
- **Cerchar (CAI)**

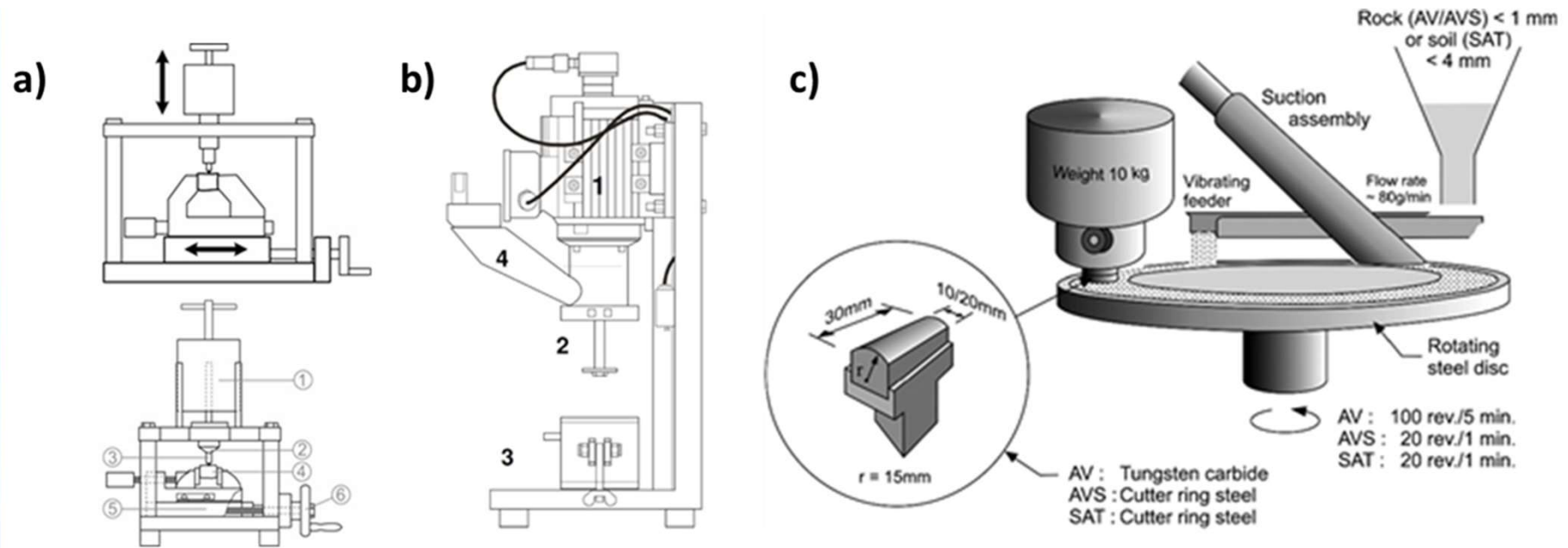
Intact Rock Boreability

Laboratory test methods: "Breakability"



Intact Rock Boreability

Laboratory test methods: "Abrasivity"



Outline

- What is rock boreability?
 - Intact Rock Boreability
 - Rock mass Boreability
- Understanding rock boreability
- Conclusive remarks

Rock Mass Boreability

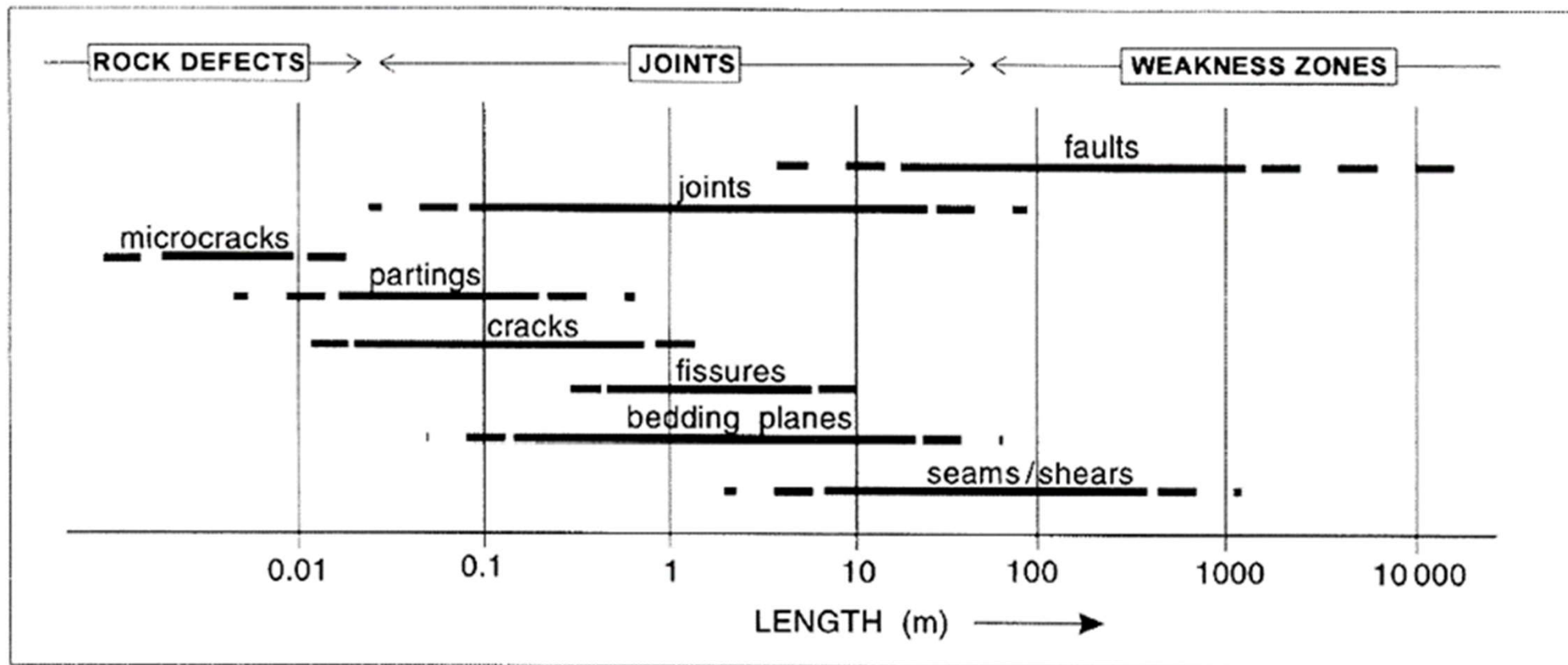
- In hard rock tunnel boring, discontinuities or planes of weakness in a rock mass contribute considerably to net penetration rate and cutter wear



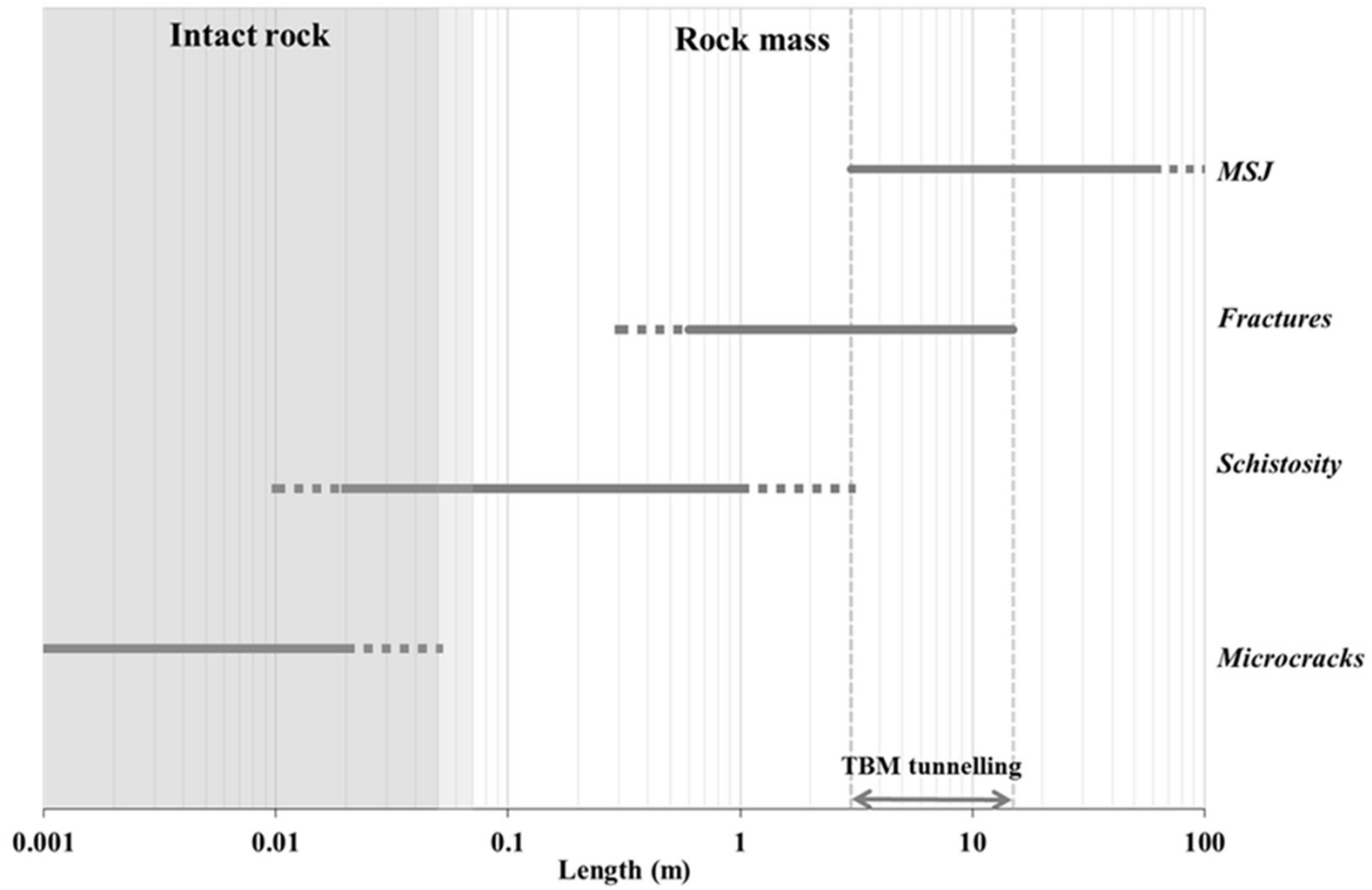
Rock Mass Boreability

- **Type of Discontinuities**
- **Degree of fracturing**
- **Fracture/joint orientation**
- **Number of fracture/joint sets**
- **Fracture/joint characteristics (e.g., persistence, aperture, filling...)**
- **Fabric anisotropy (e.g., Schistosity...)**
- **Rock mass classification methods (RQD, RMR, Q, k_{ekv} ...)**
- **Others:**
 - **Rock Stress**
 - **Mixed Face Conditions (MFC)**
 - **Blocky Ground**
 - **...**

Rock Mass Boreability



Rock Mass Boreability

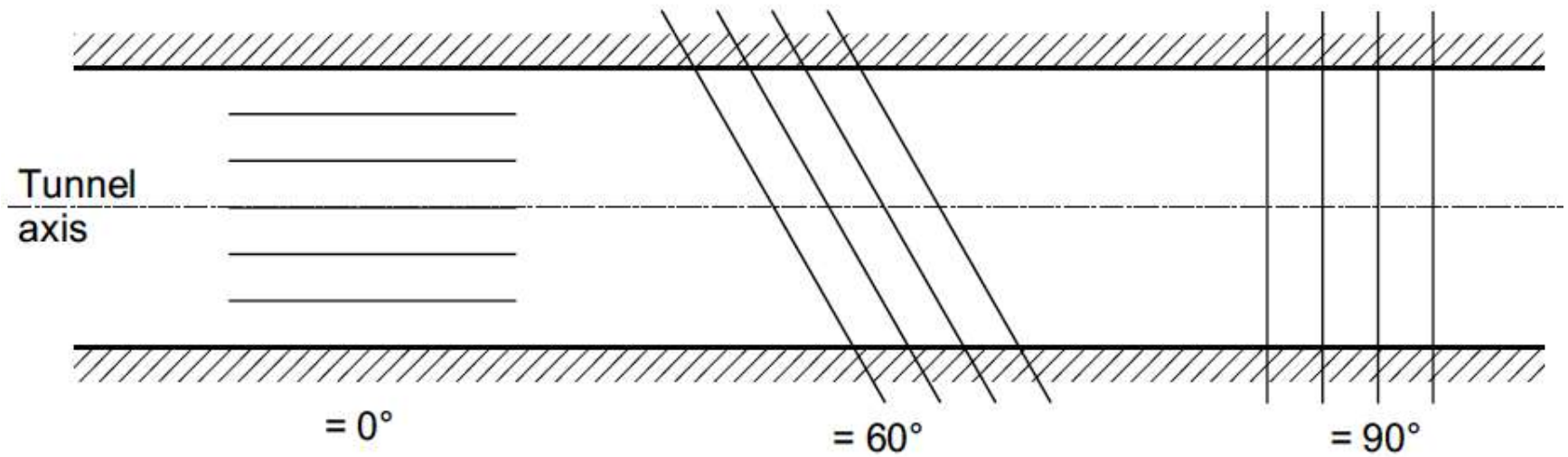


Degree of fracturing

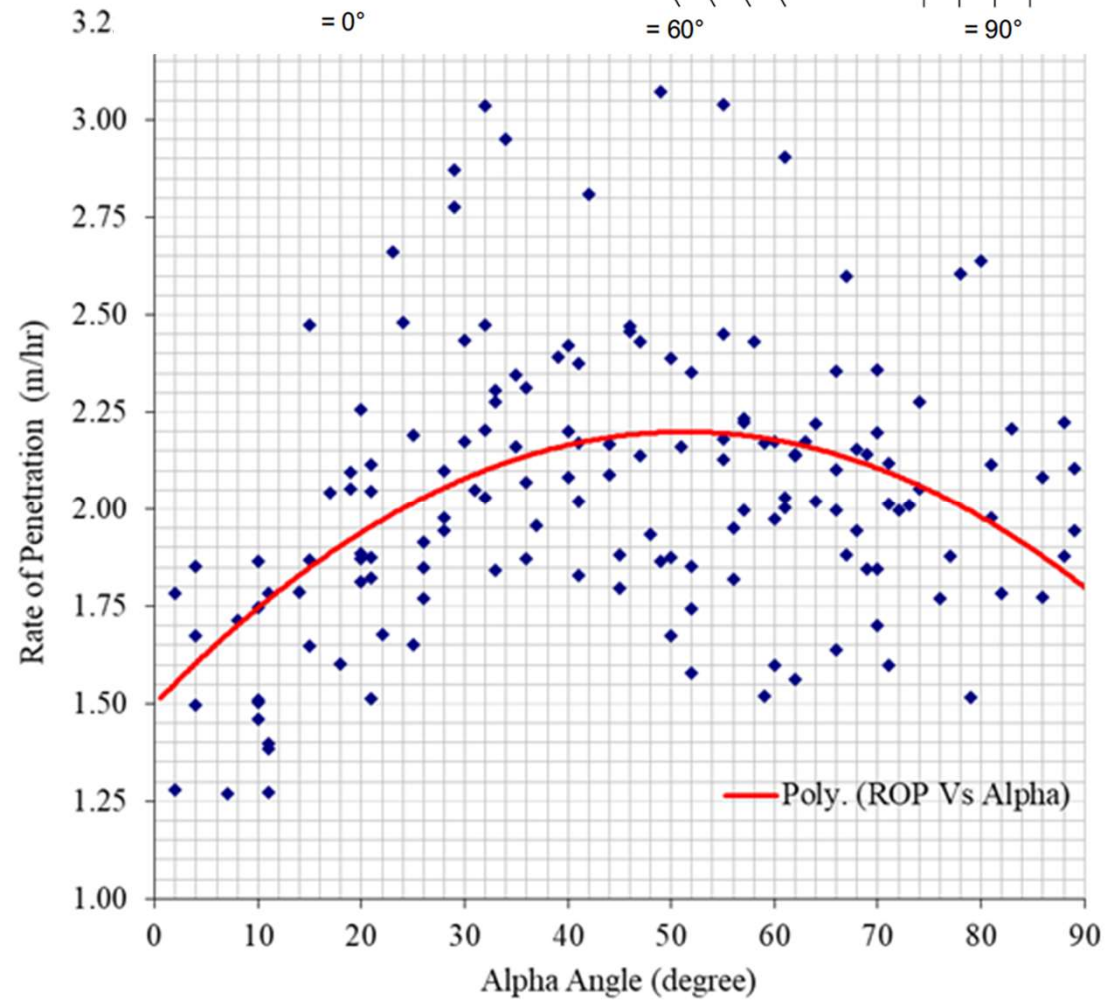
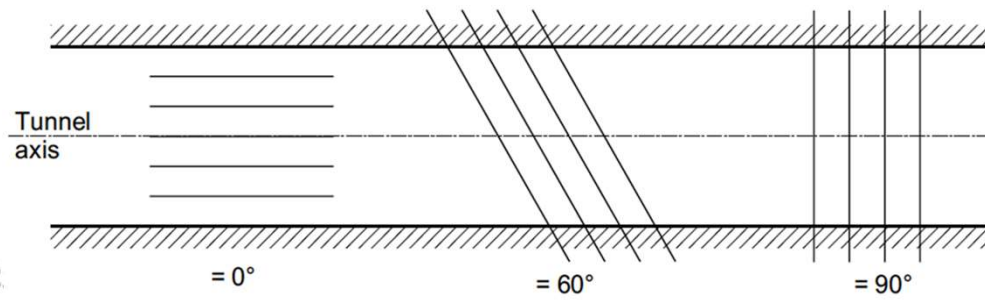
Fracture Class (Sf)	Average spacing between fractures a_f (cm)	Range class (cm)	Degree of fracturing
0	∞	480 – ∞	Non-fractured
1	320	240 – 480	Extremely low
2	160	120 – 240	Very low
3	80	60 – 120	Low
4	40	30 – 60	Medium
5	20	15 – 30	High
6	10	7.5 – 15	Very high
7	5	4 – 7.5	Extremely high

Macias (2016)

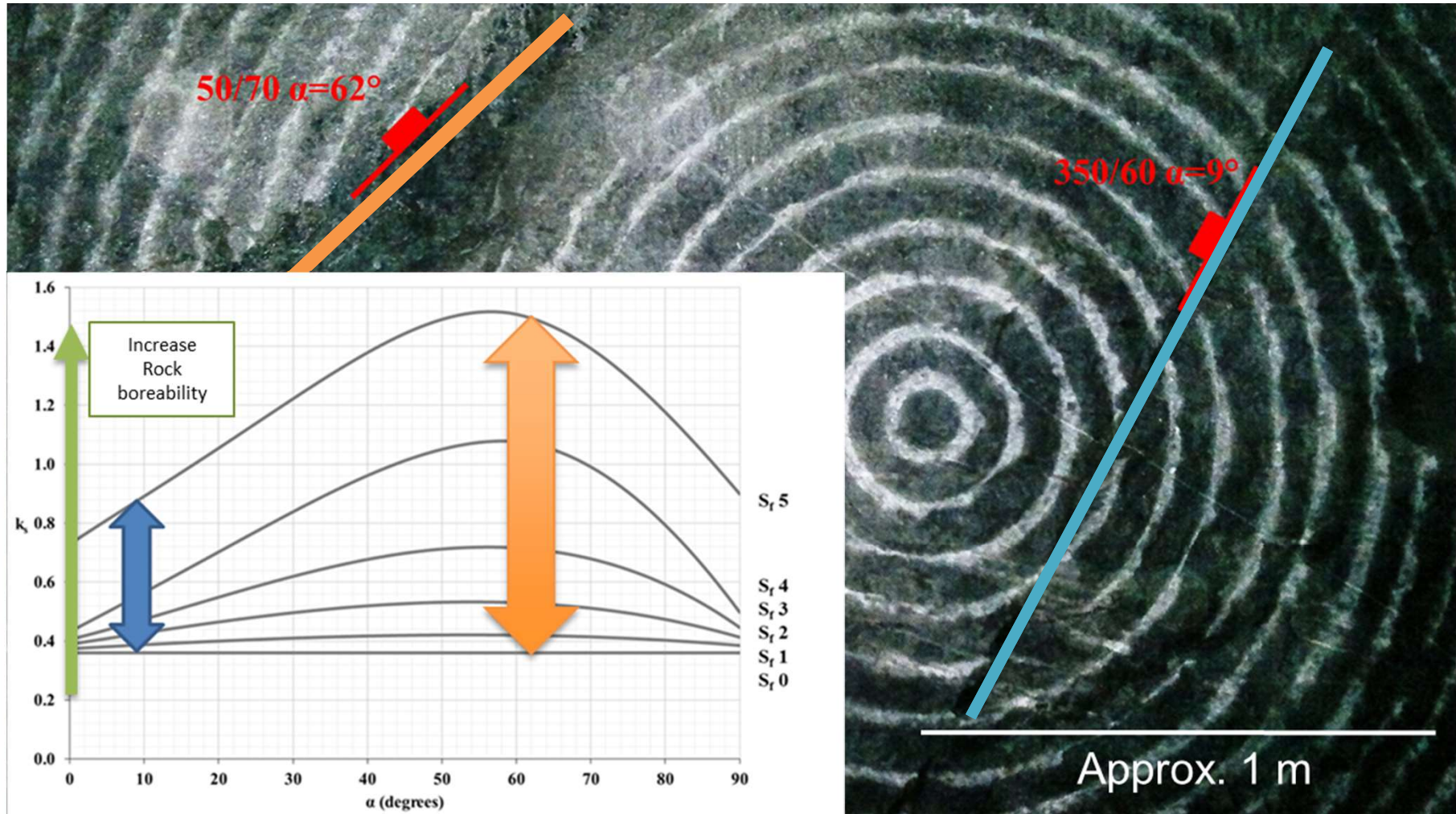
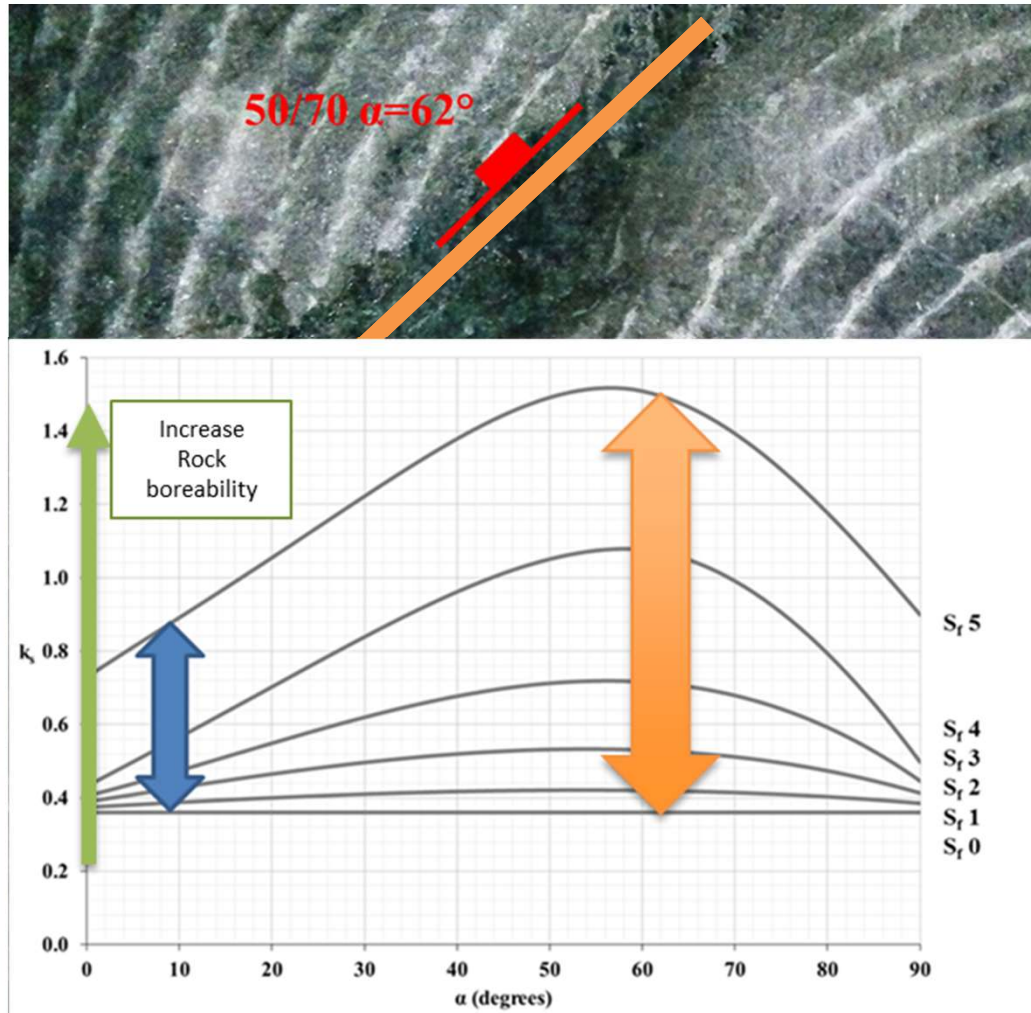
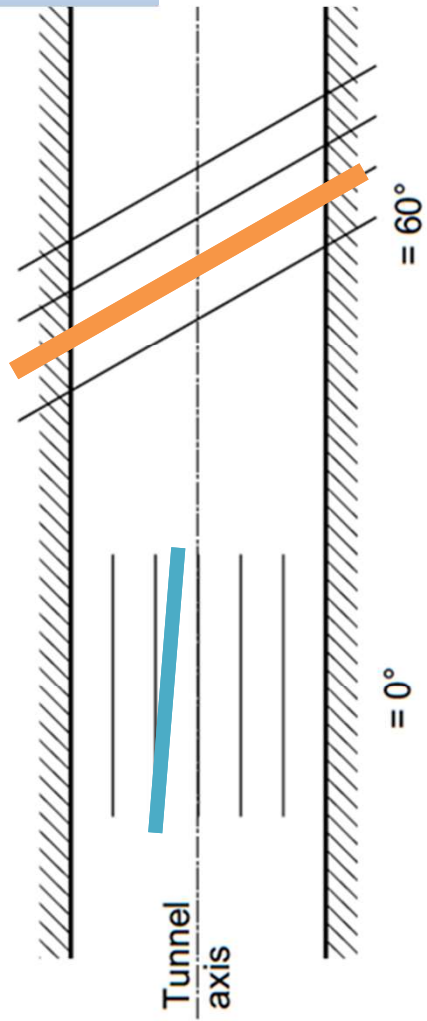
Orientation



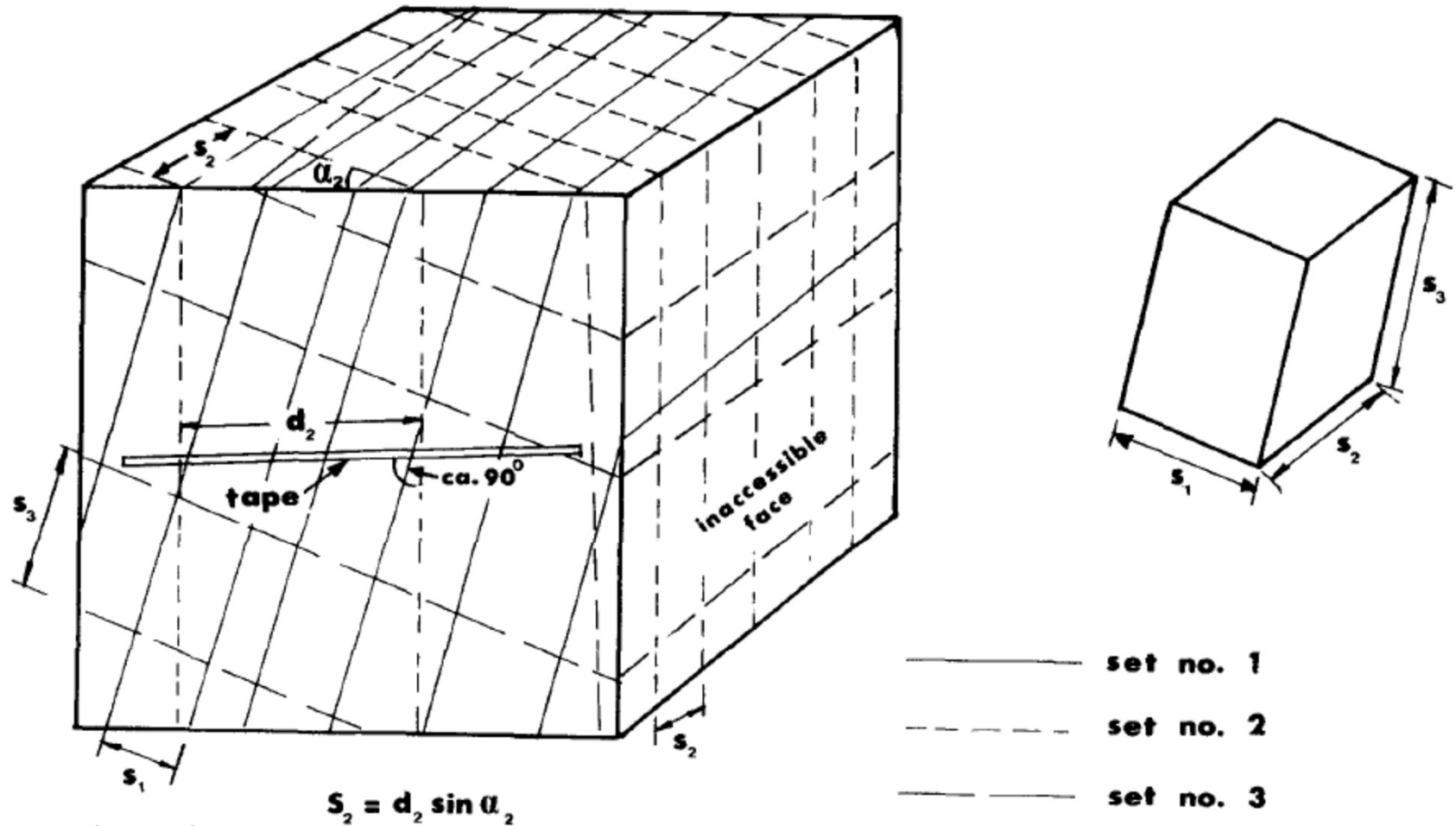
Orientation



Rock Mass Boreability

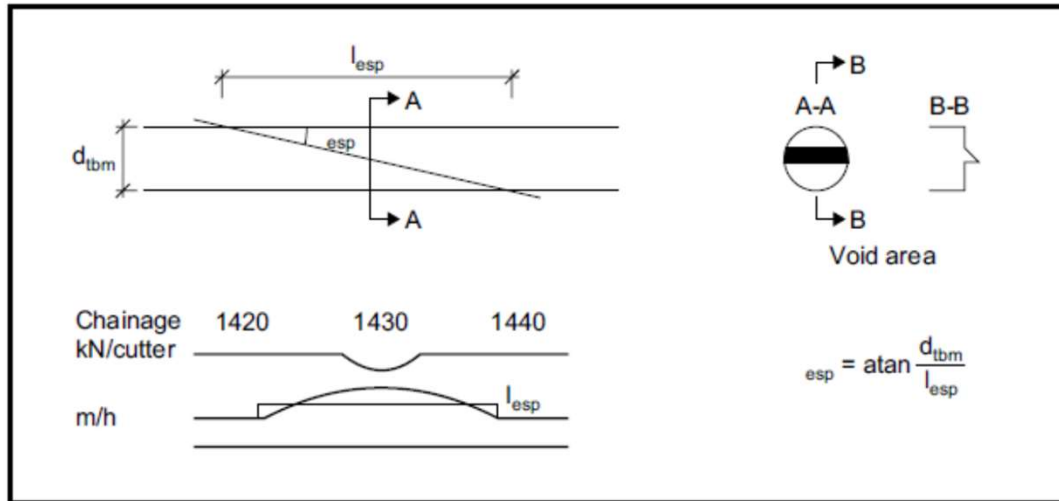


Rock Mass Boreability – Joint sets

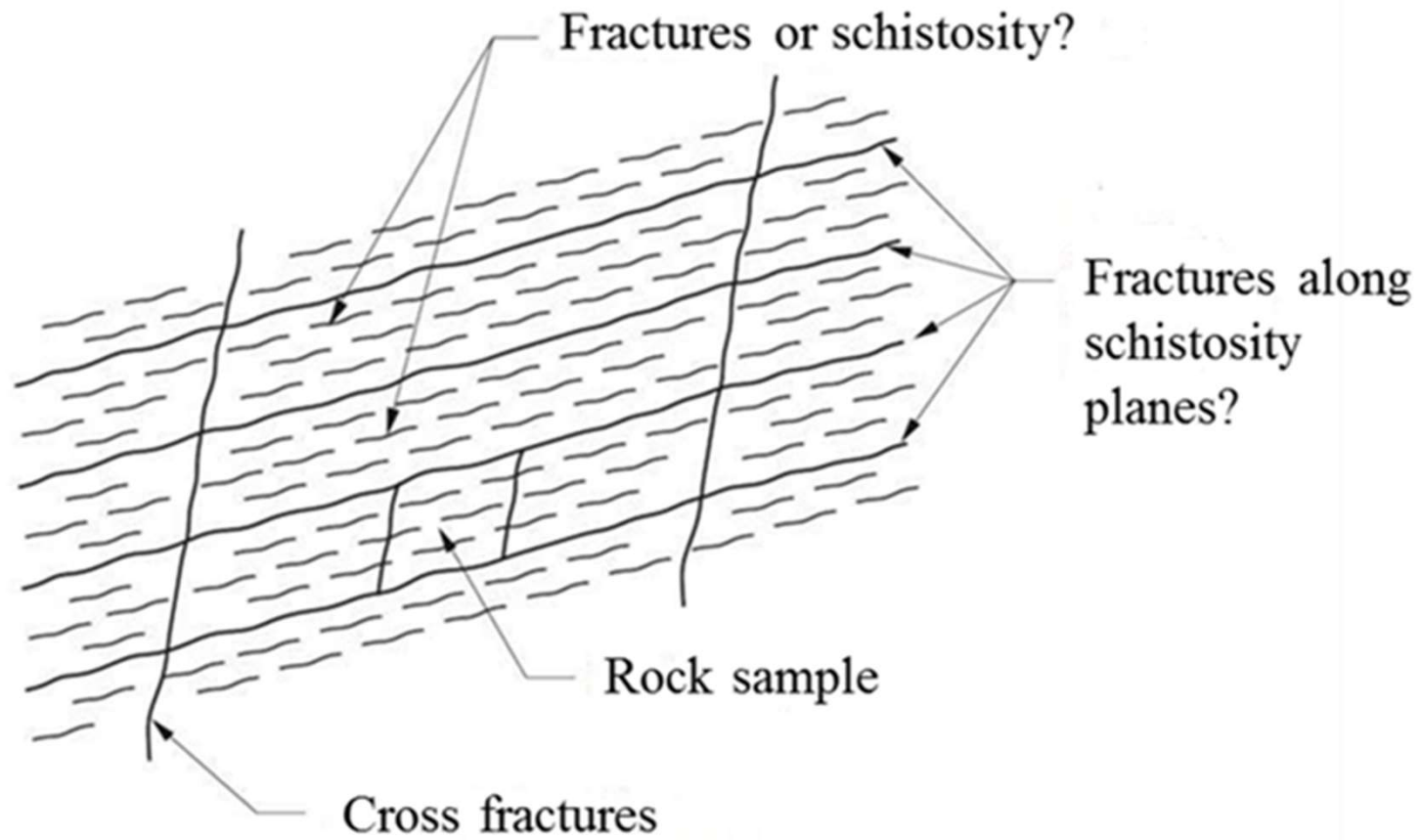


ISRM (1978)

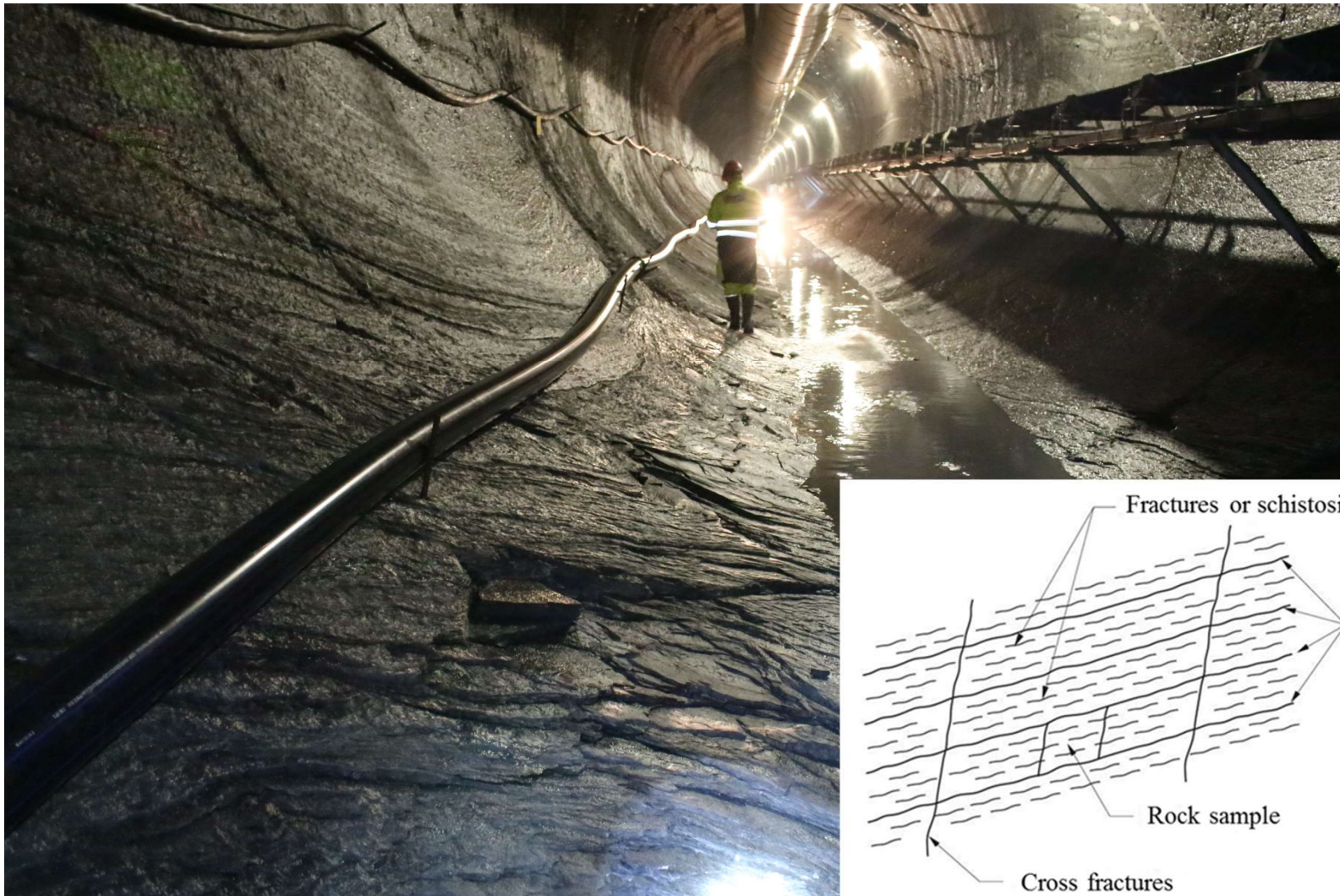
Rock Mass Boreability



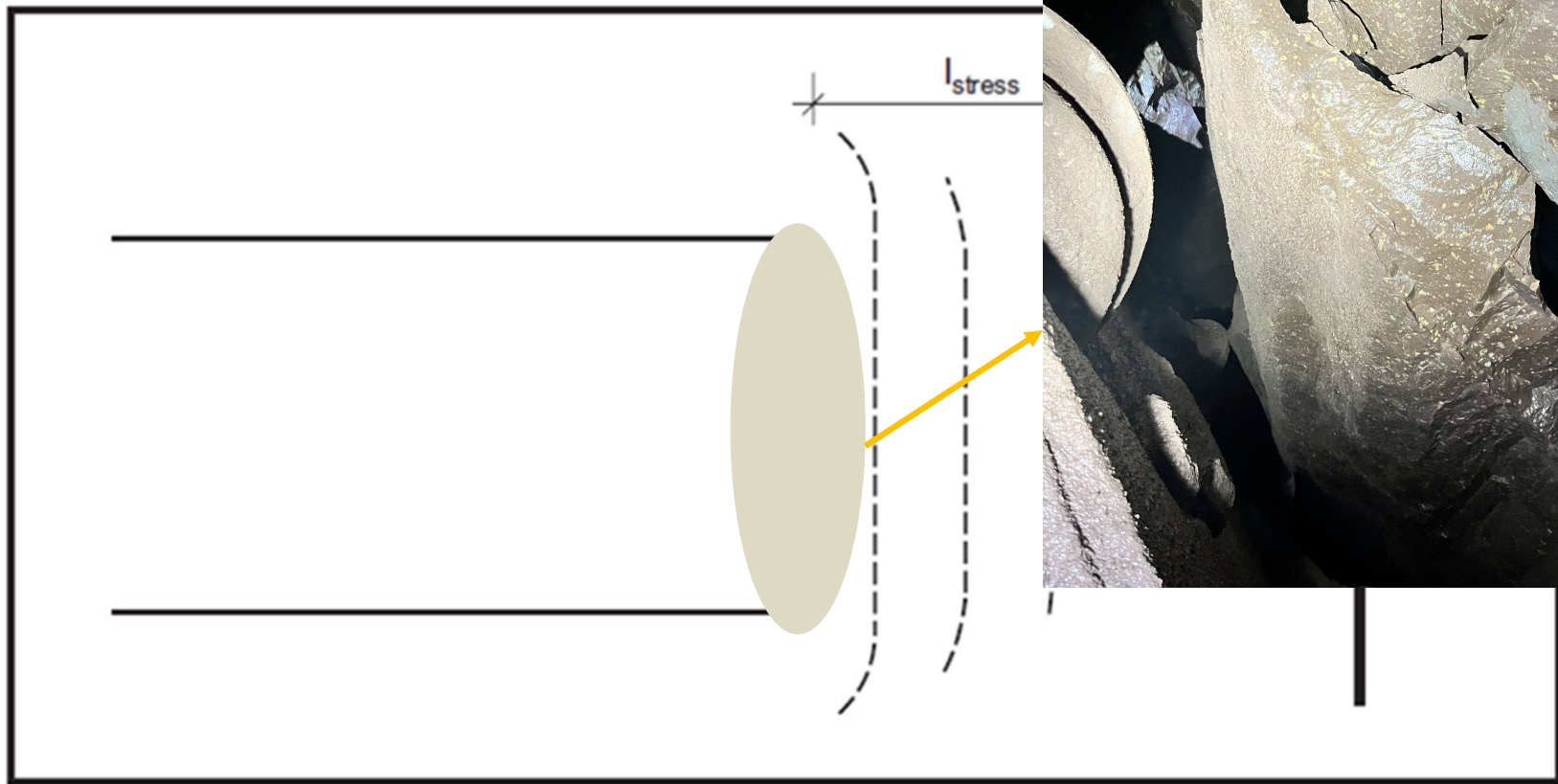
Fabric Anisotropy



Fabric Anisotropy



Rock Stress

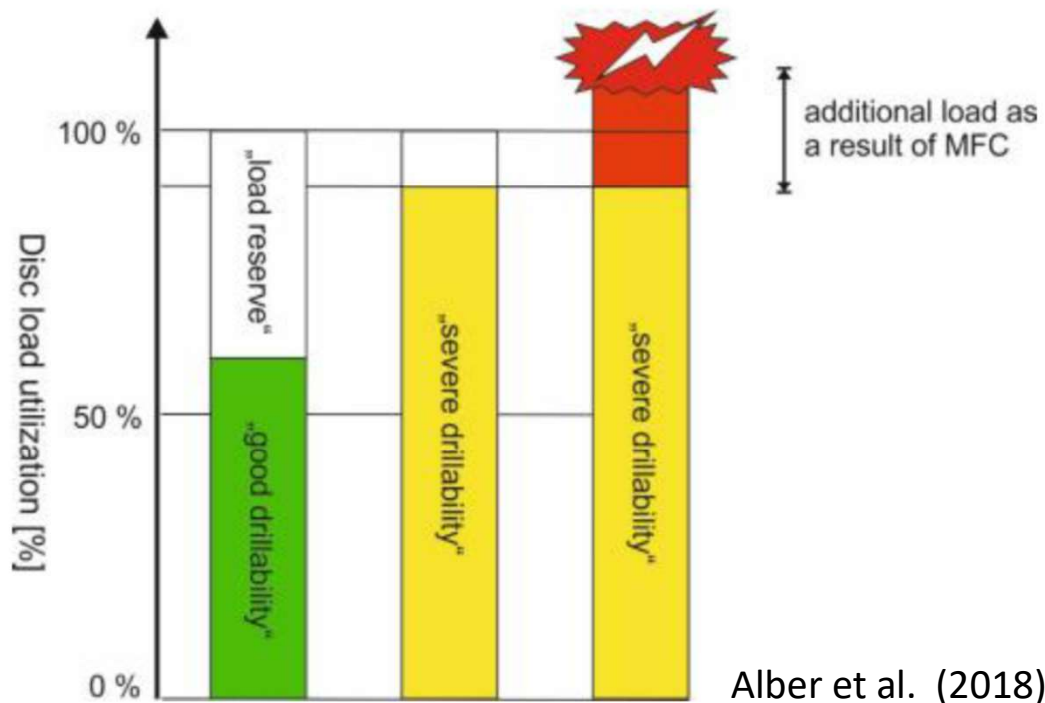


Blocky ground

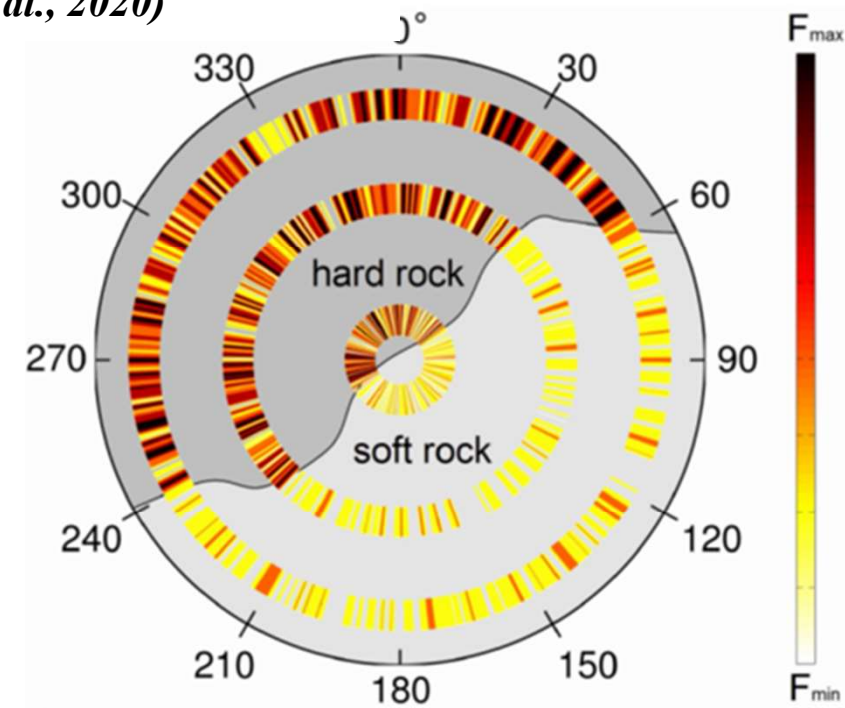


MFC/Blocky rock mass

“MFC in hard rock tunnelling occurs in case of the existence of two or more rock mass bodies with significantly different boreability parameters encountered at the tunnel face and occurs at the interaction of the cutterhead and rock mass while cutting the rock. MFC is a handicap for TBM tunnelling which affects the operational parameters, penetration rate and/or affects the cutter consumption and/or affects the TBM cutterhead or main body” (Macias et al., 2020)

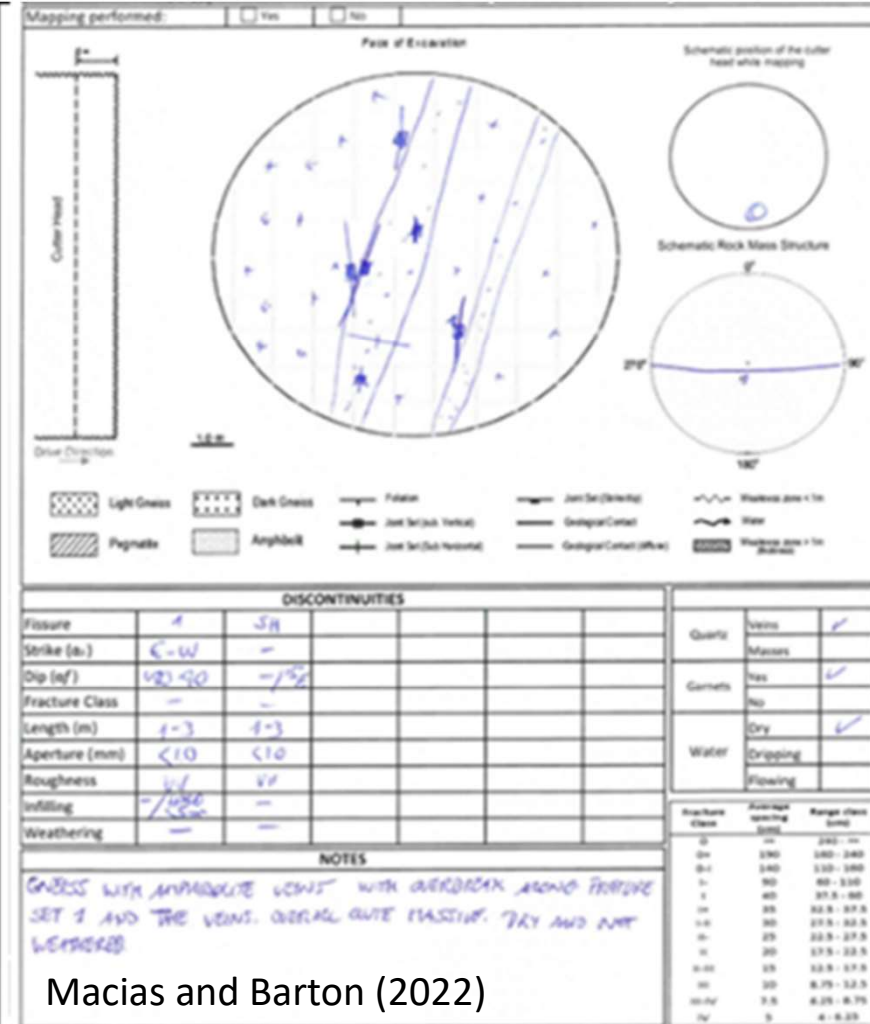


Alber et al. (2018)



Entacher (2013)

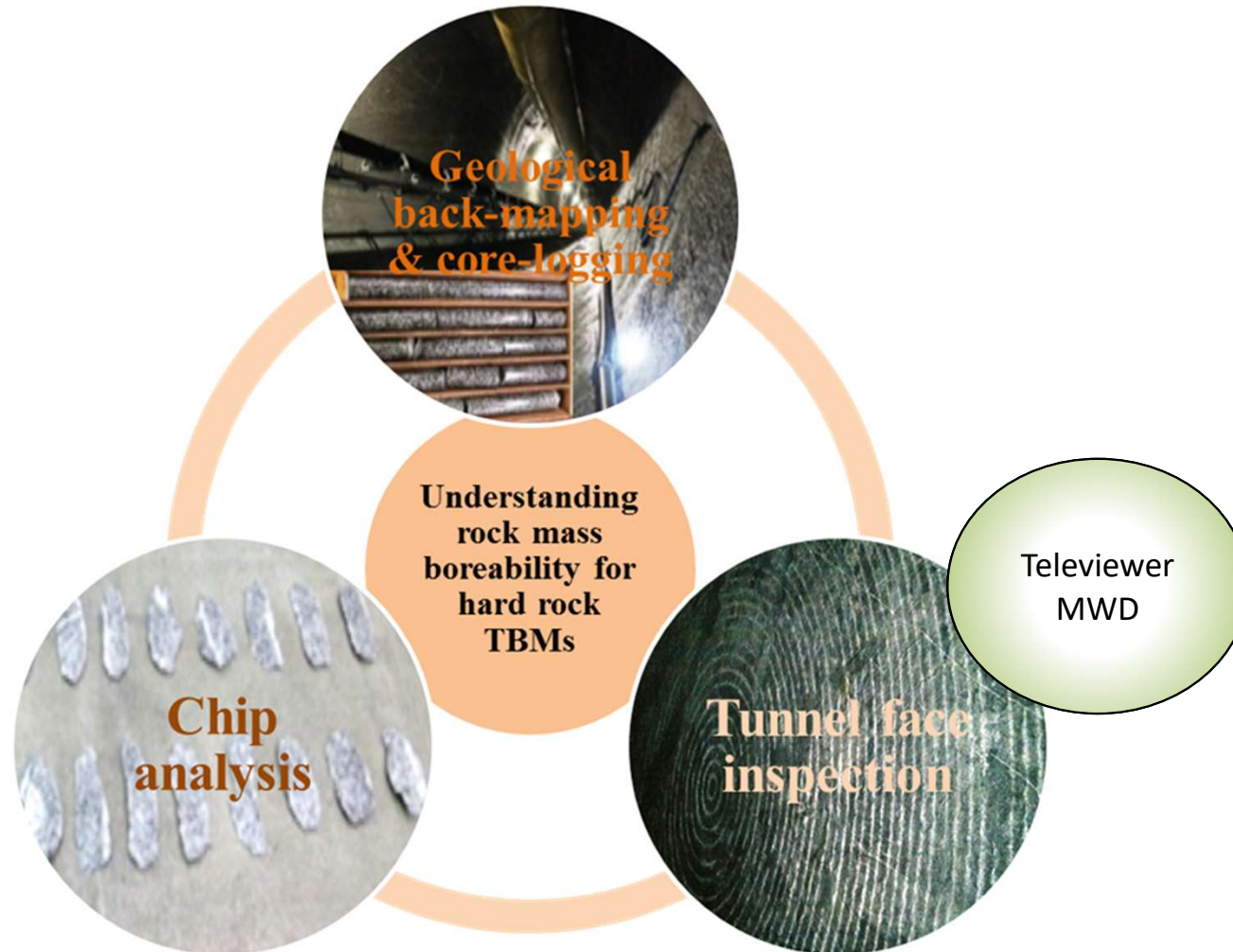
Hard Rock Mixed Face Conditions (MFC)



Outline

- What is rock boreability?
 - Intact Rock Boreability
 - Rock mass Boreability
- **Understanding rock boreability**
- Conclusive remarks

Understanding Rock Boreability

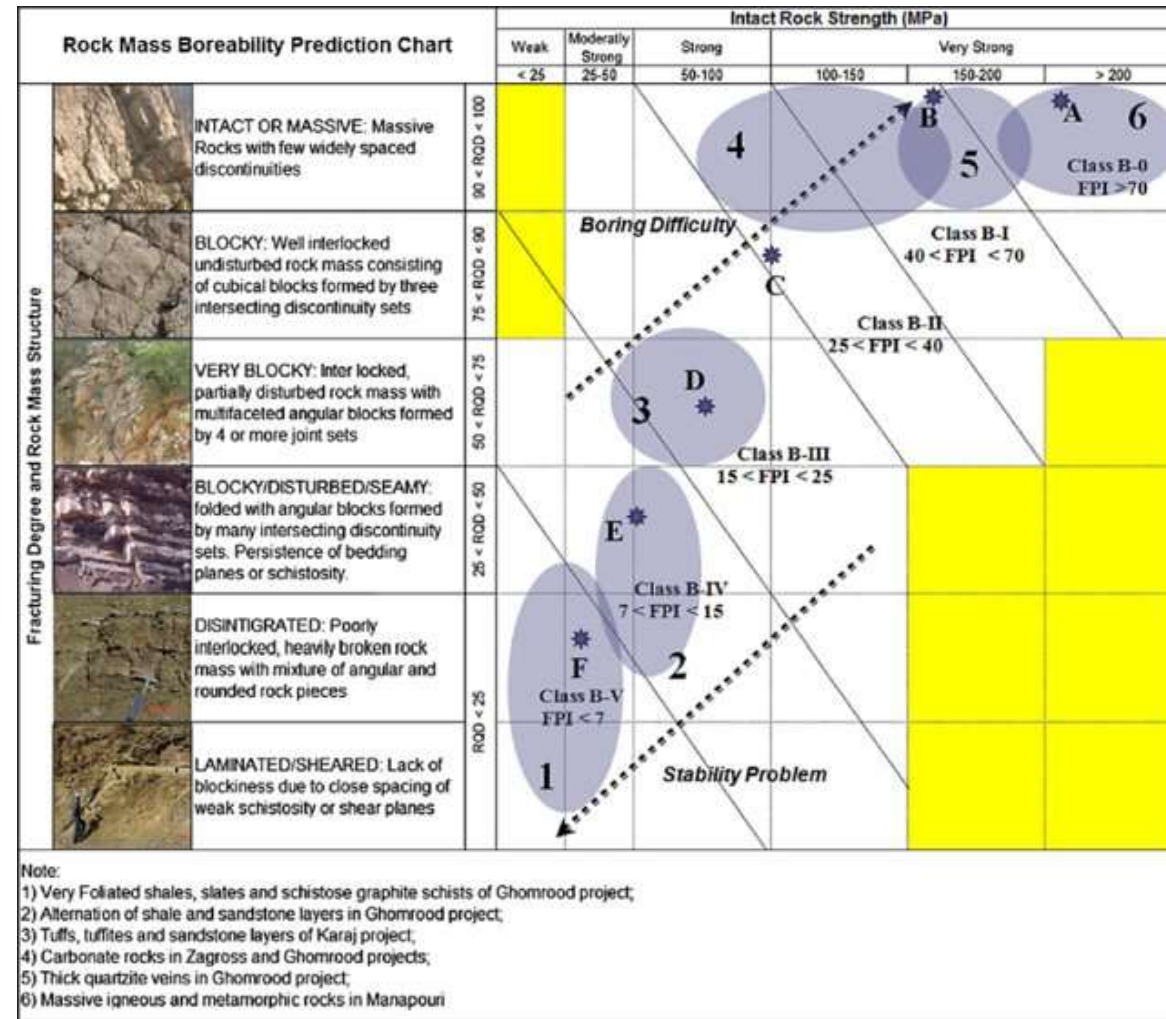
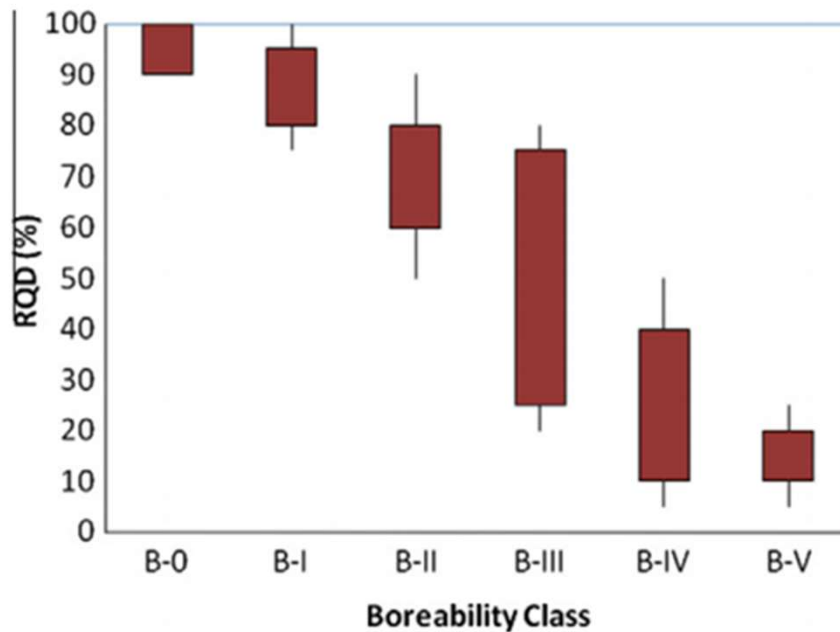


Understanding Rock Boreability

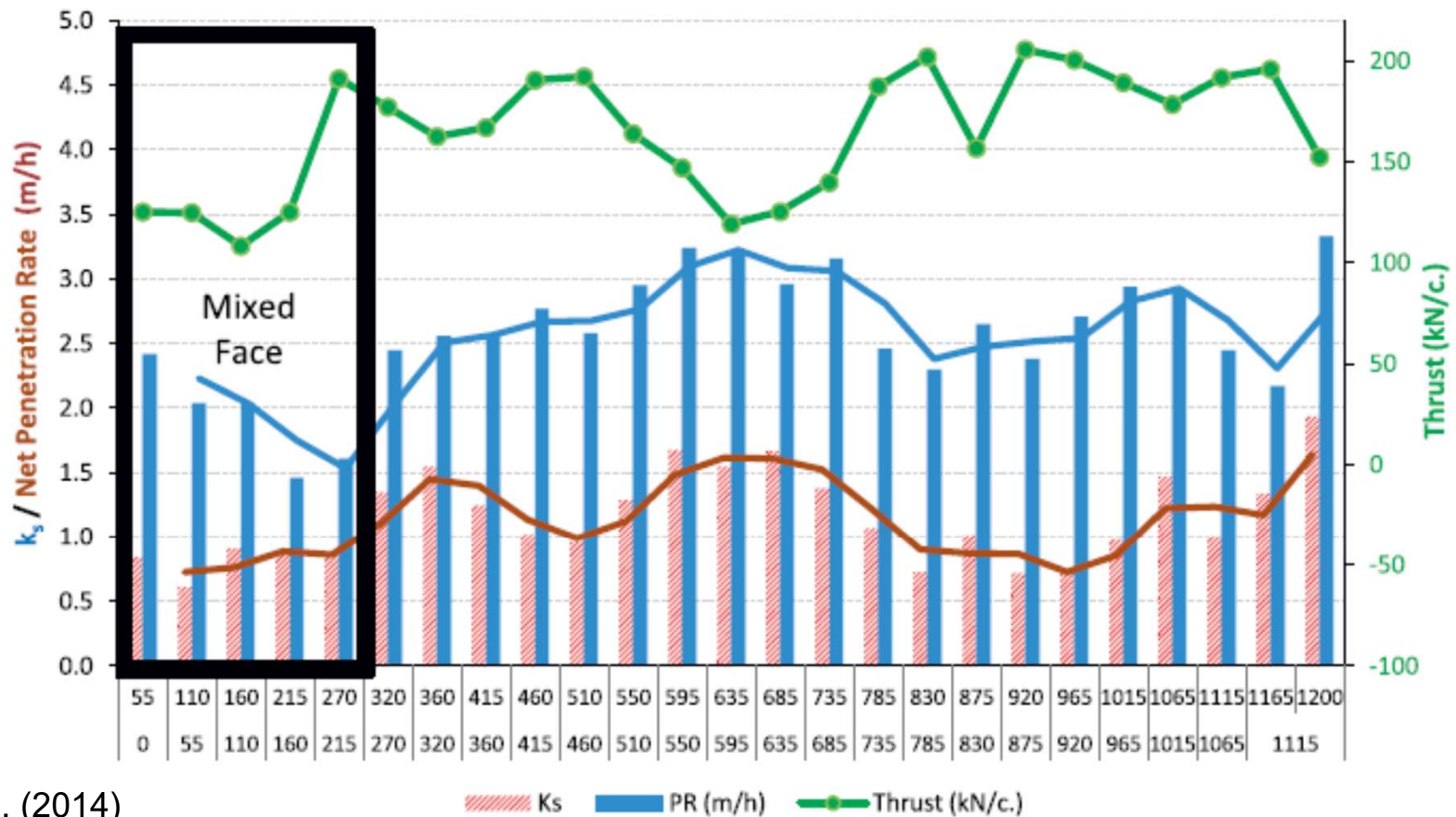
- There is no single parameter that can fully represent the properties of jointed rock masses

Rock mass classification	Author	Year
Rock Quality Designation (RQD)	D.U. Deere	1964
Rock Mass Rating (RMR)	Z.T. Bieniawki	1973
Rock Tunnelling Quality Index (Q)	N. Barton, R. Lien and J. Lunde	1974
Degree of fracturing (k_s factor)	NTNU (NTH)	1981
Rock Mass Index (RMi)	A. Palmström	1995
Geological Strength Index (GSI)	E. Hoek and E.T. Brown	1997

Understanding Rock Boreability

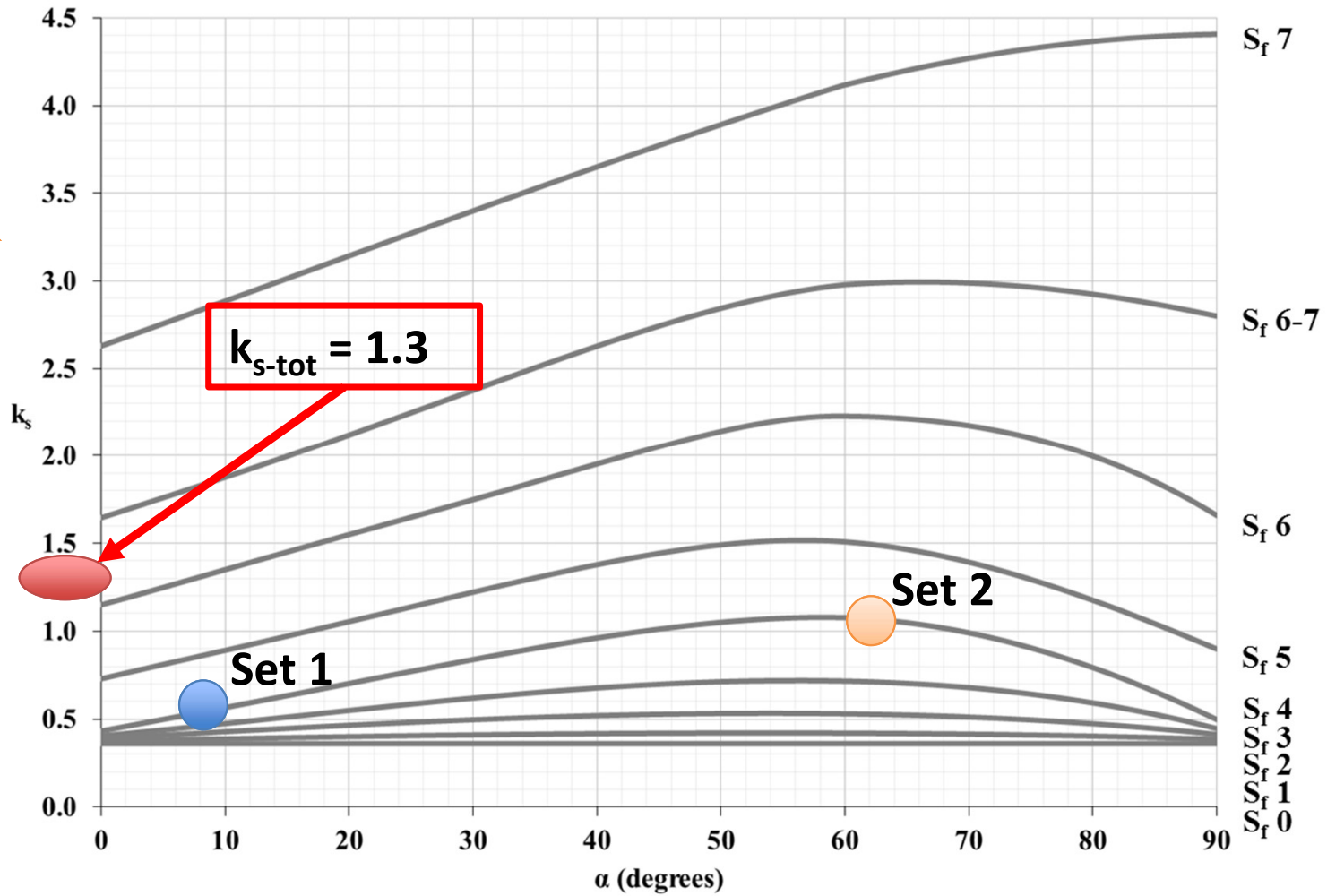


Understanding Rock Boreability



Macias et al. (2014)

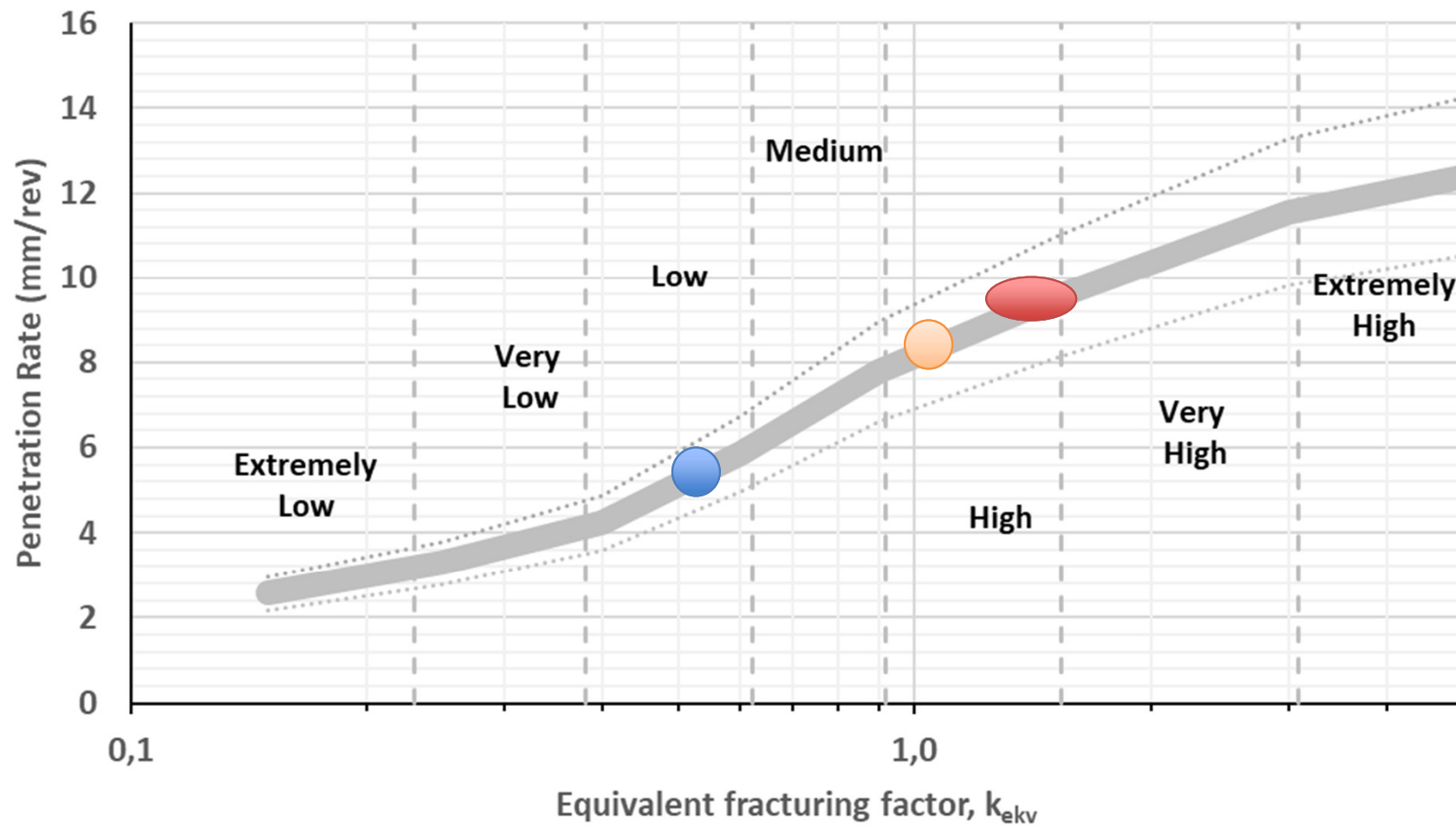
Rock Mass Boreability



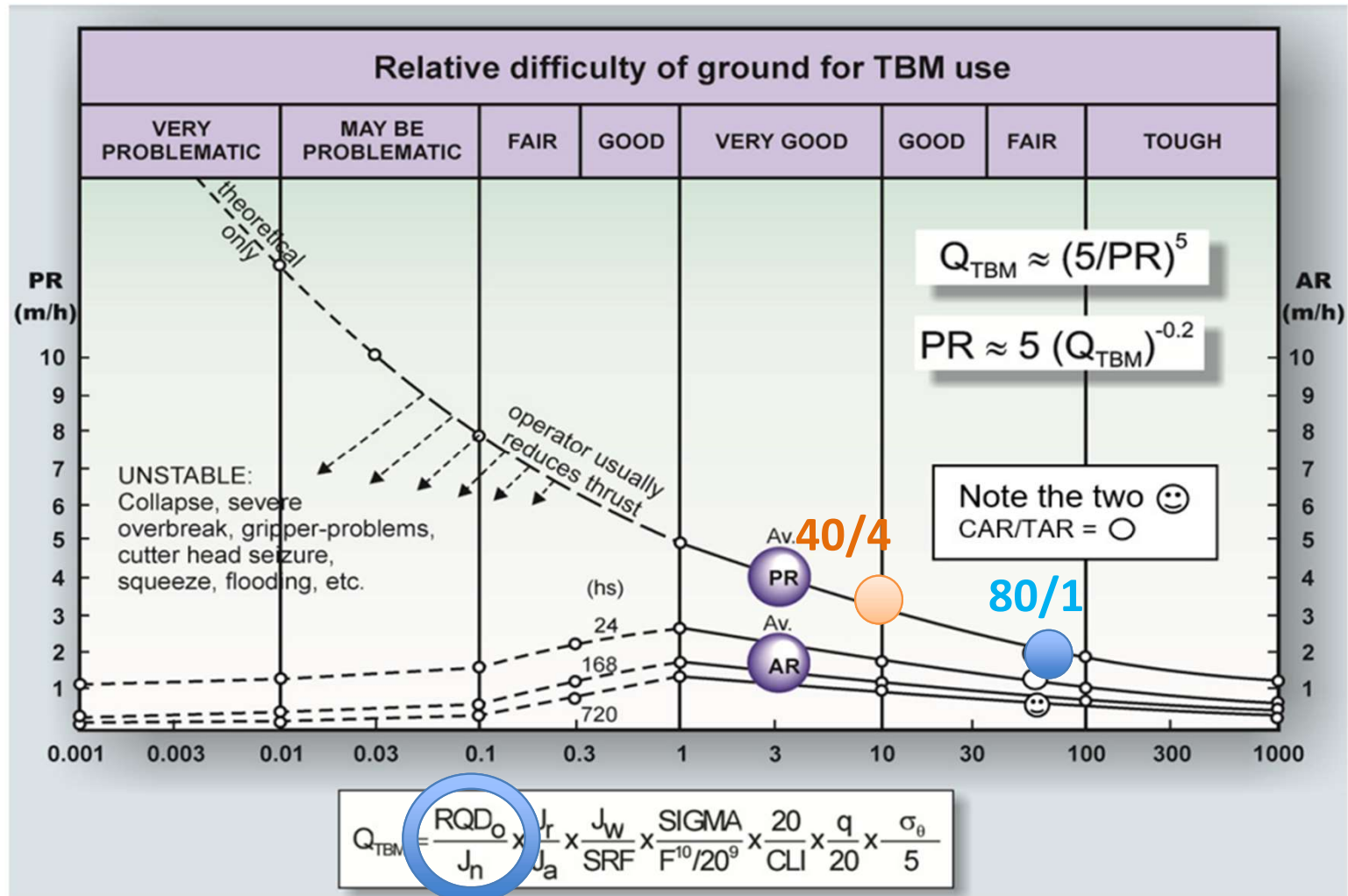
Increase
rock mass
boreability

Understanding Rock Boreability

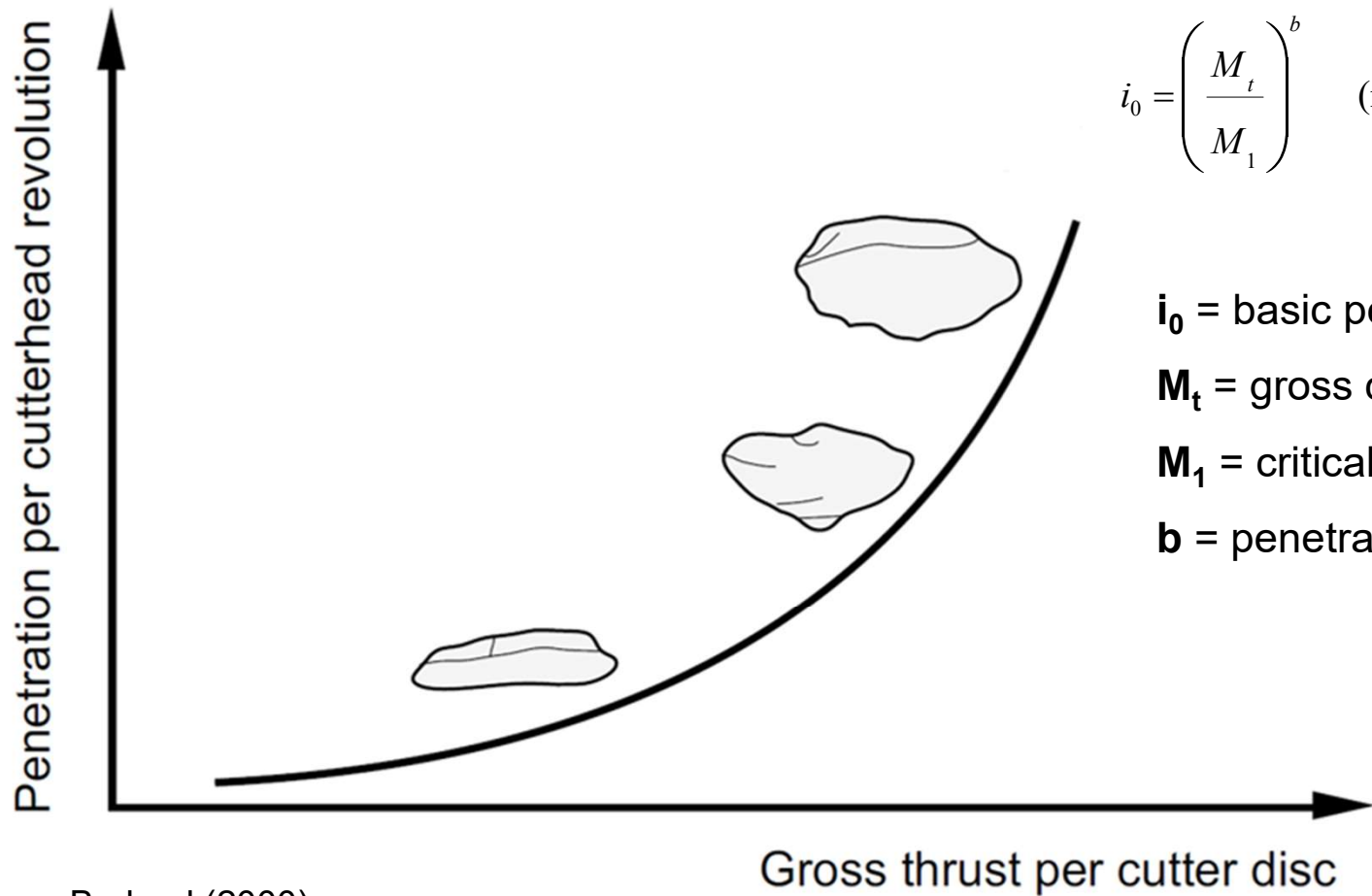
NTNU model 2016,
recommended thrust/RPM



Rock Mass Boreability



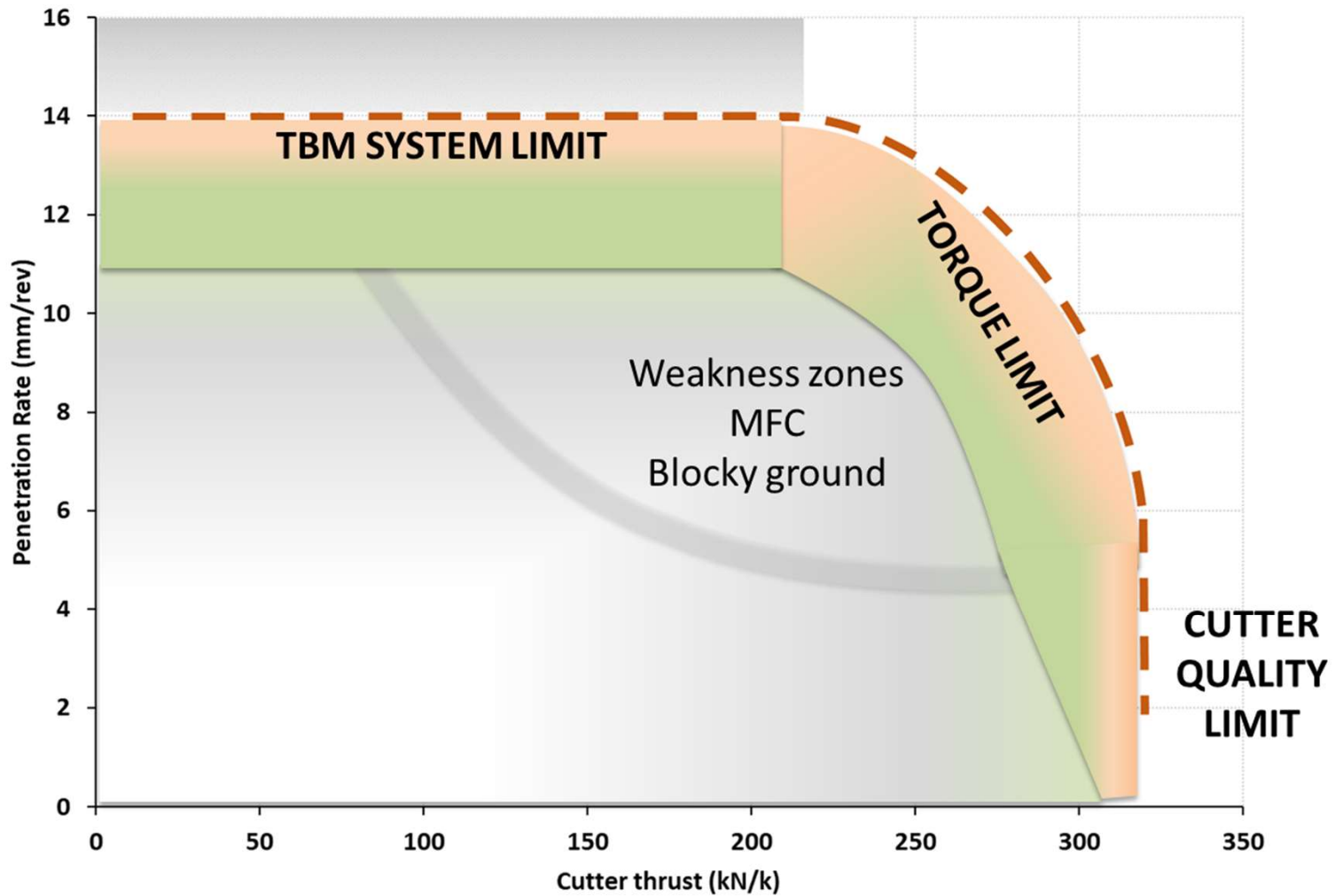
Understanding Rock Boreability



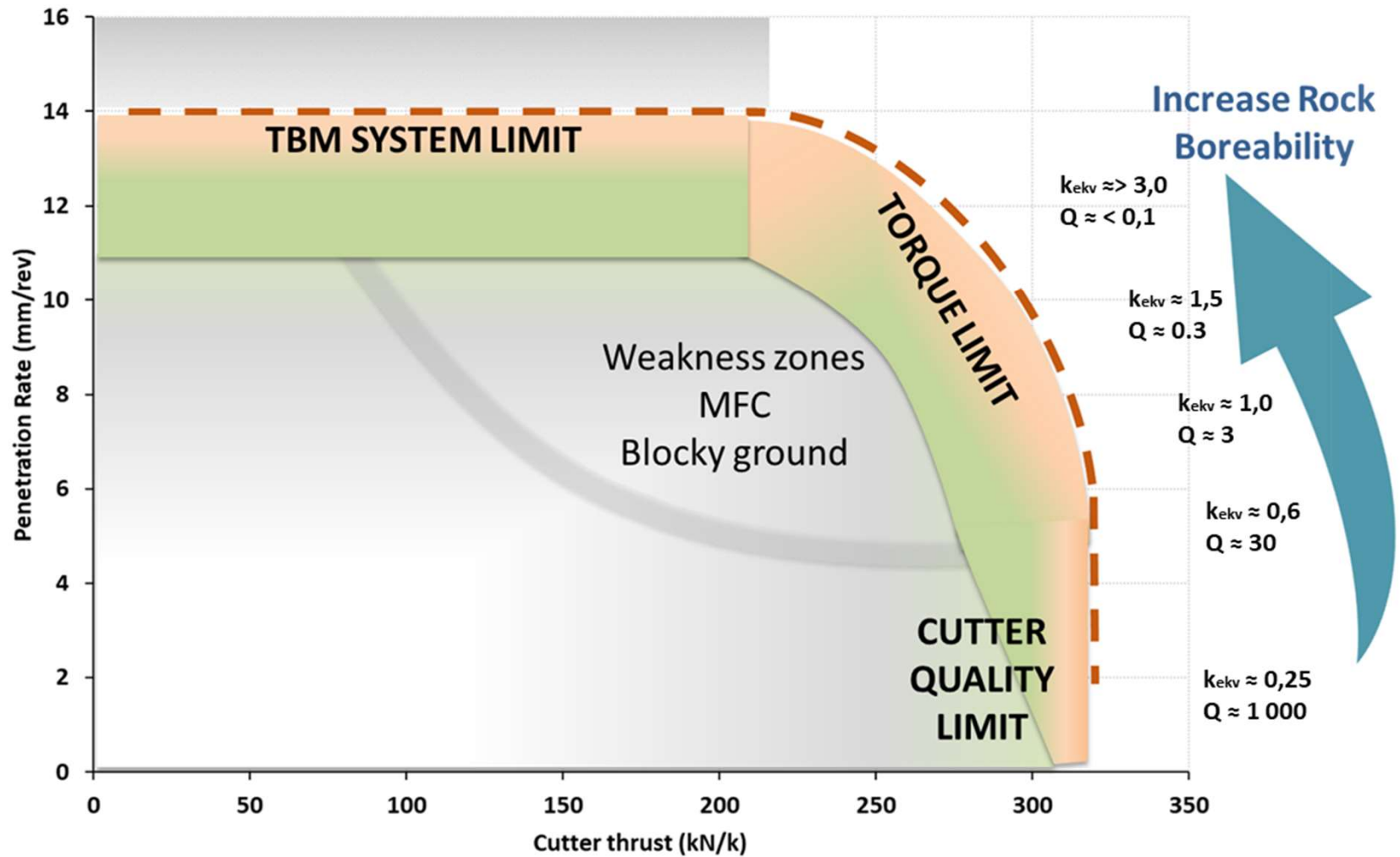
$$i_0 = \left(\frac{M_t}{M_1} \right)^b \quad (\text{mm/rev})$$

- i_0 = basic penetration rate
- M_t = gross cutter thrust
- M_1 = critical cutter thrust
- b = penetration coefficient

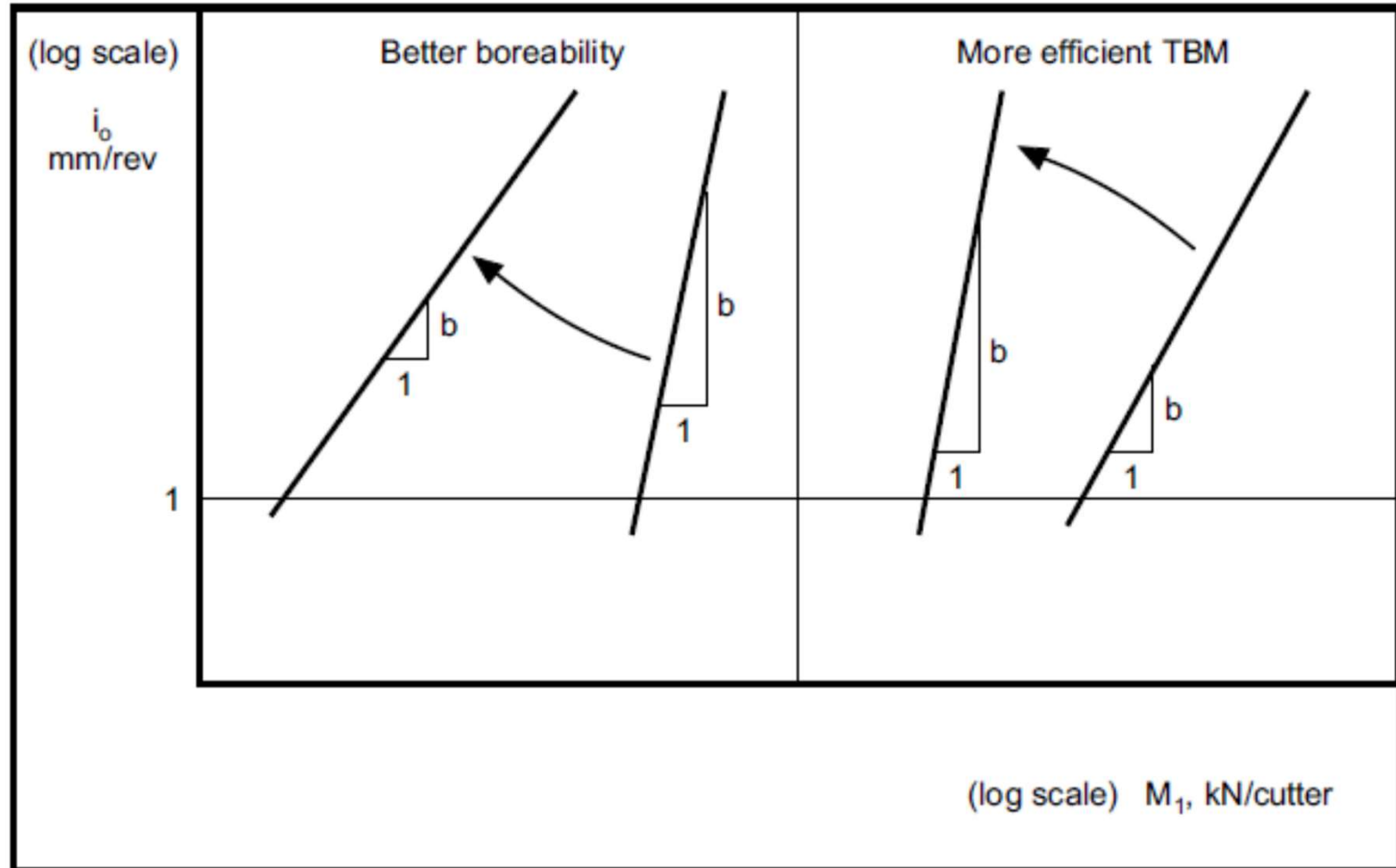
Understanding Rock Boreability



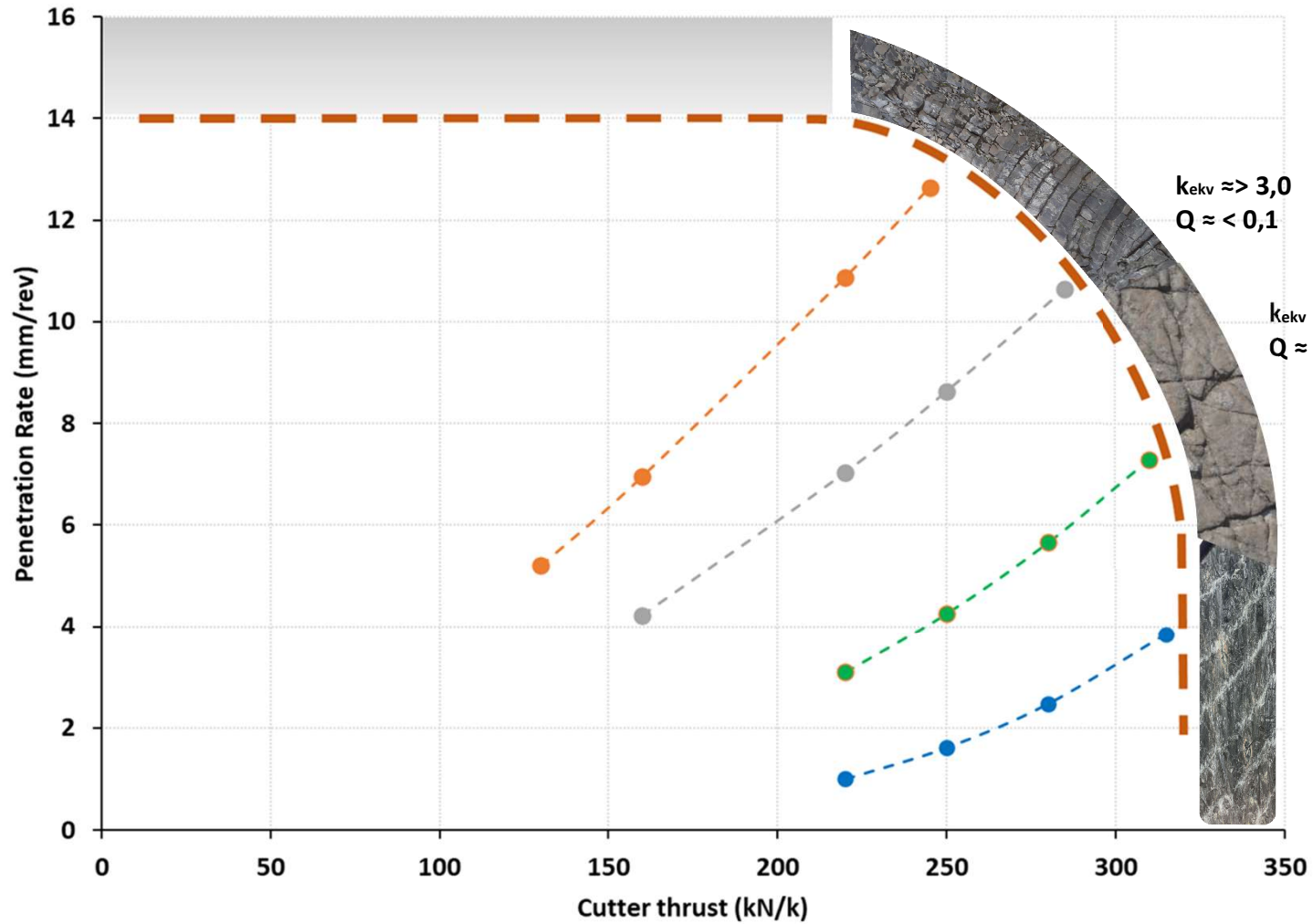
Understanding Rock Boreability



Understanding Rock Boreability

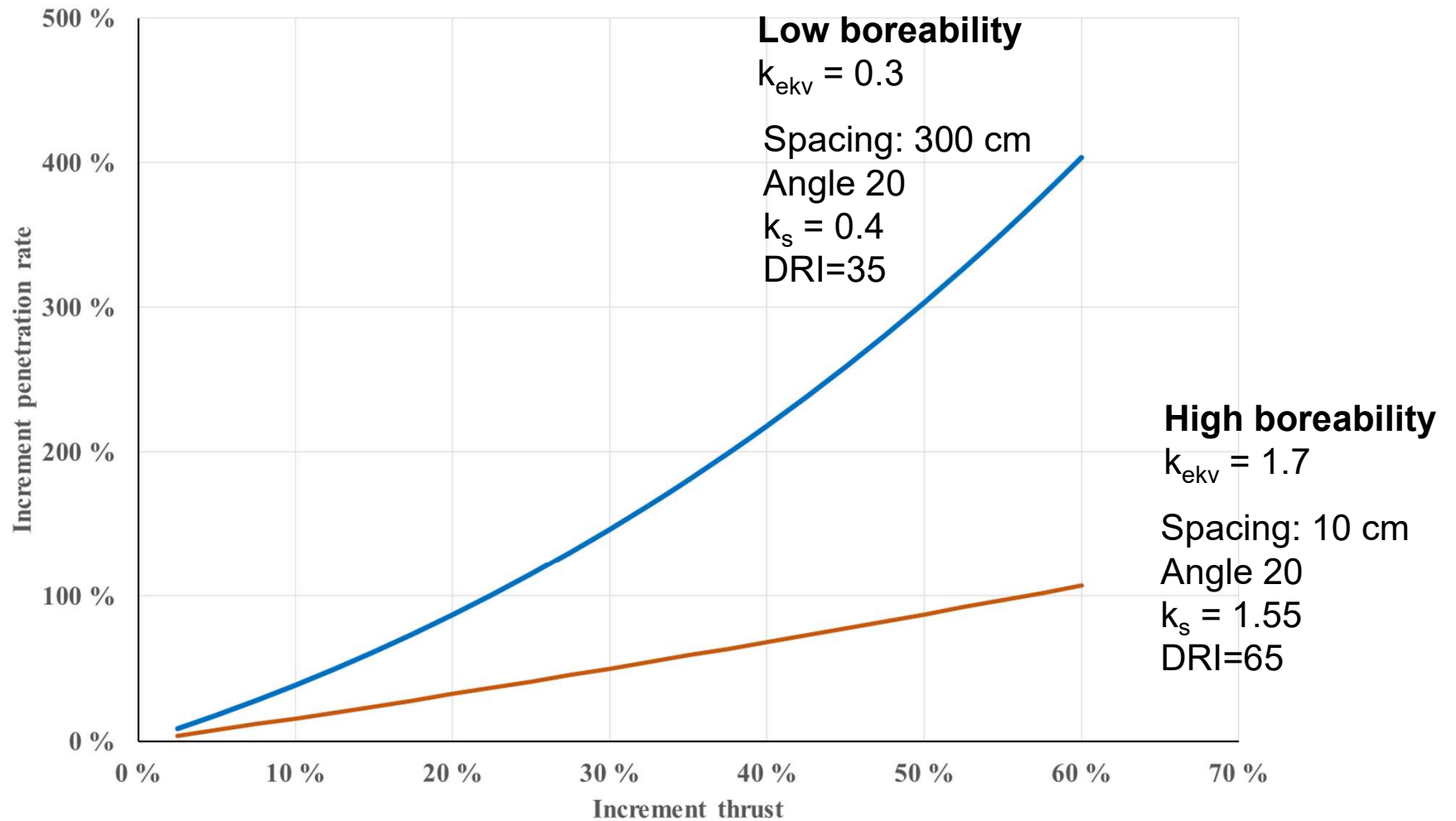


Understanding Rock Boreability

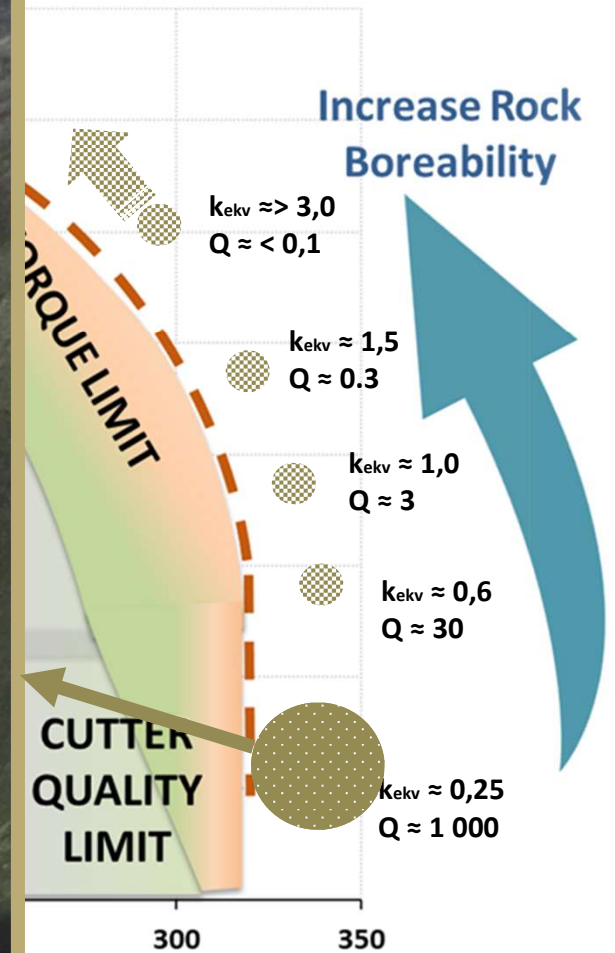


Increase Rock Boreability

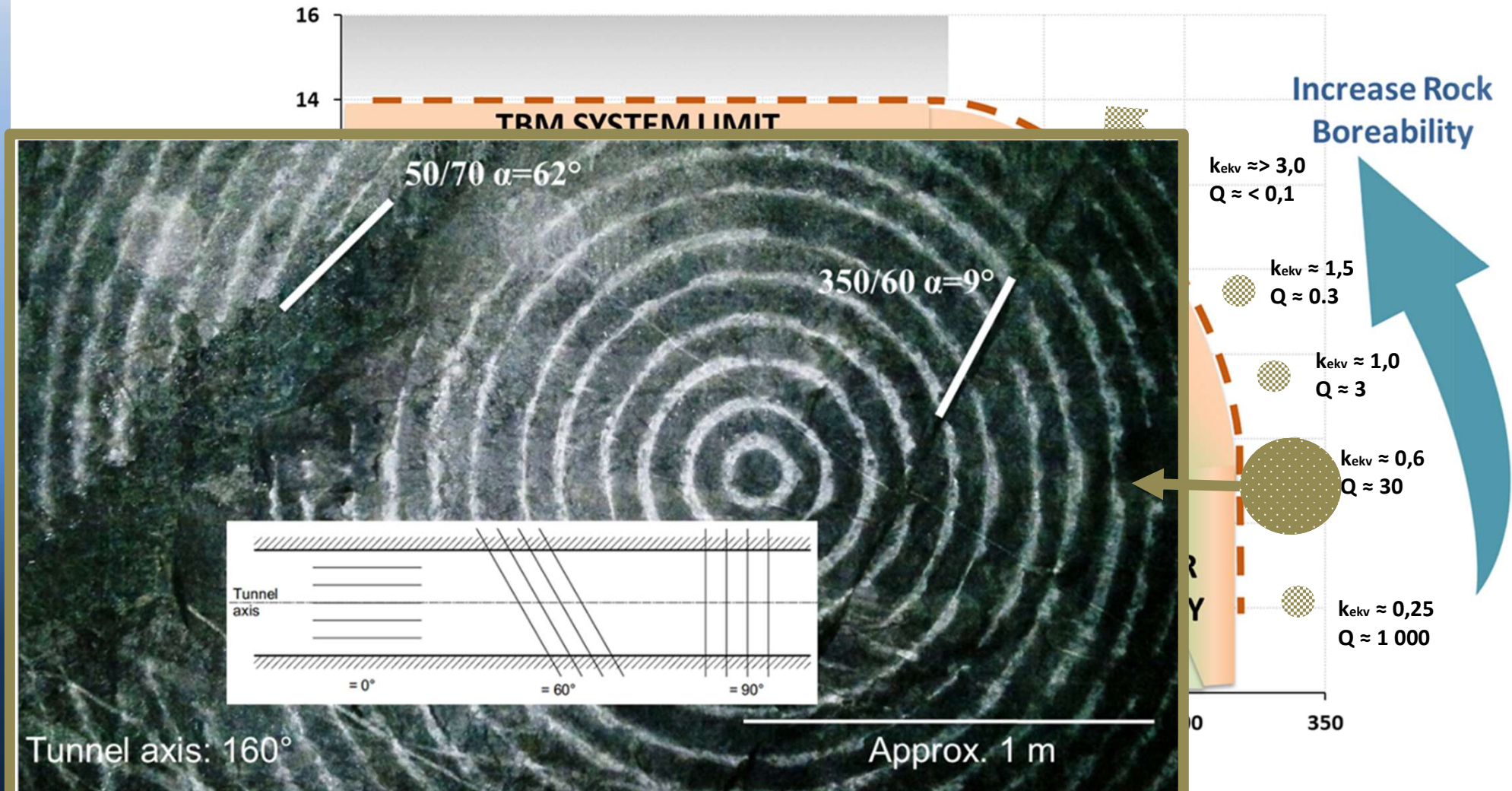
Understanding Rock Boreability



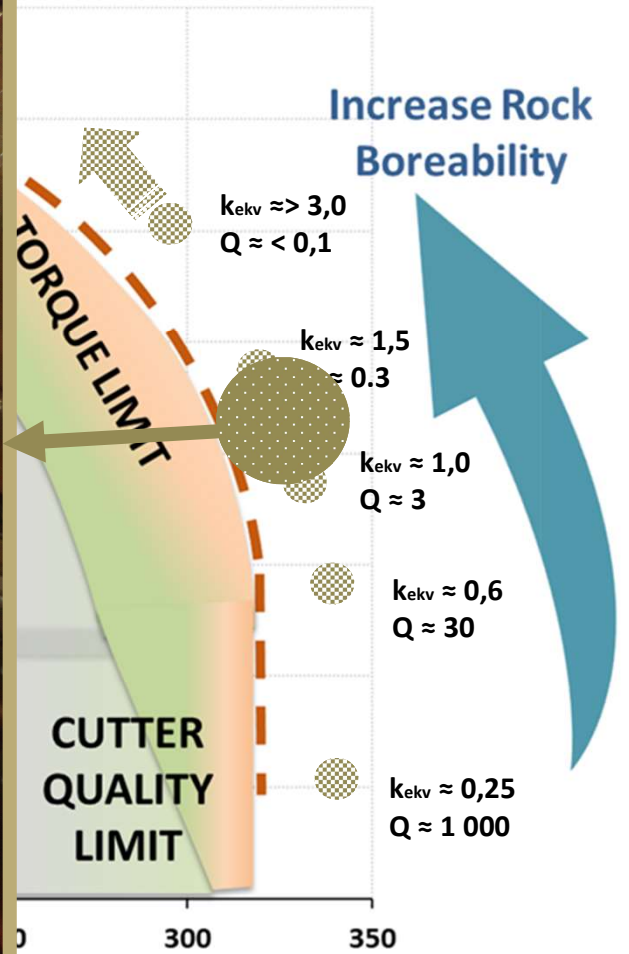
Understanding Rock Boreability



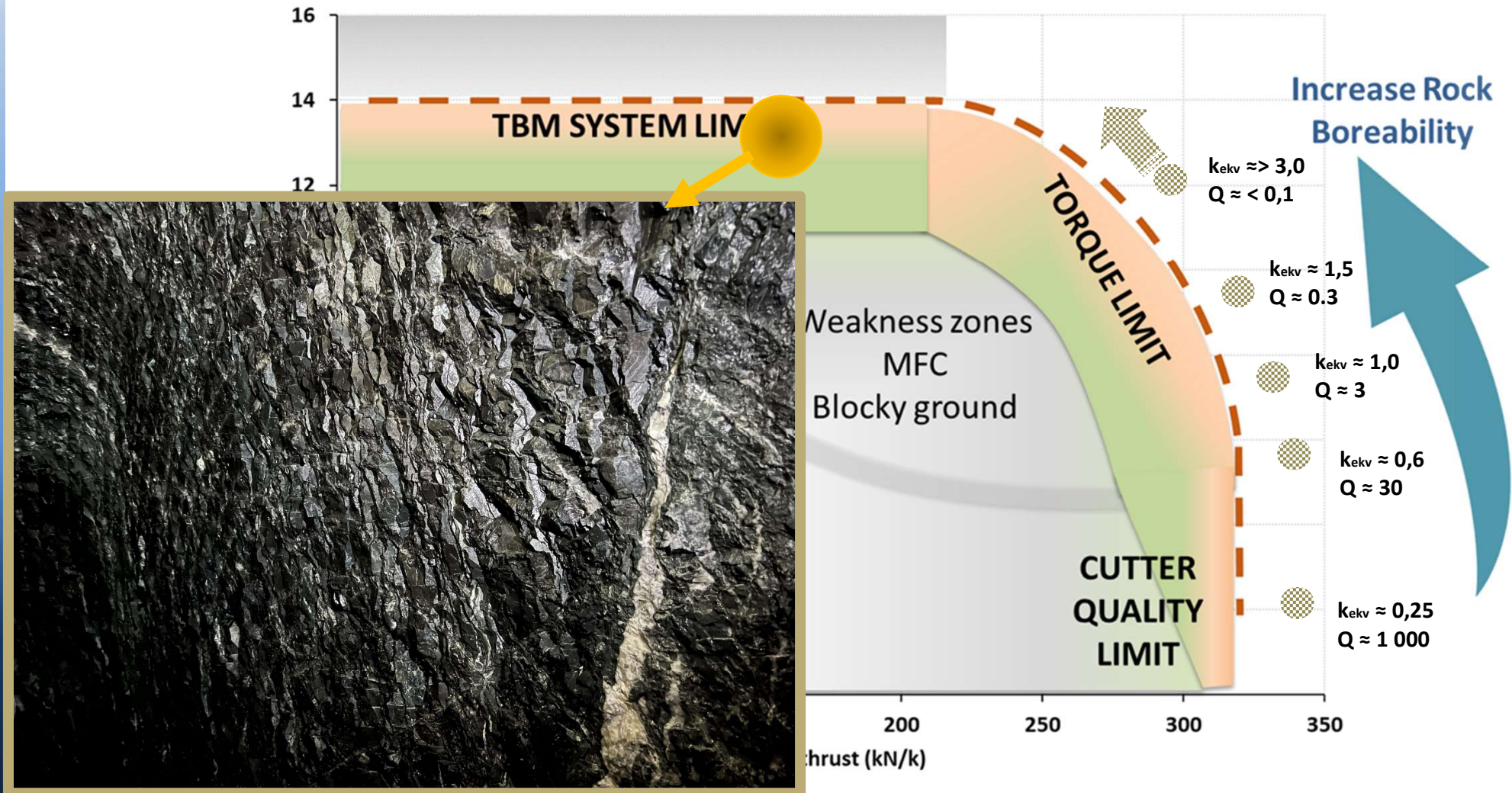
Understanding Rock Boreability



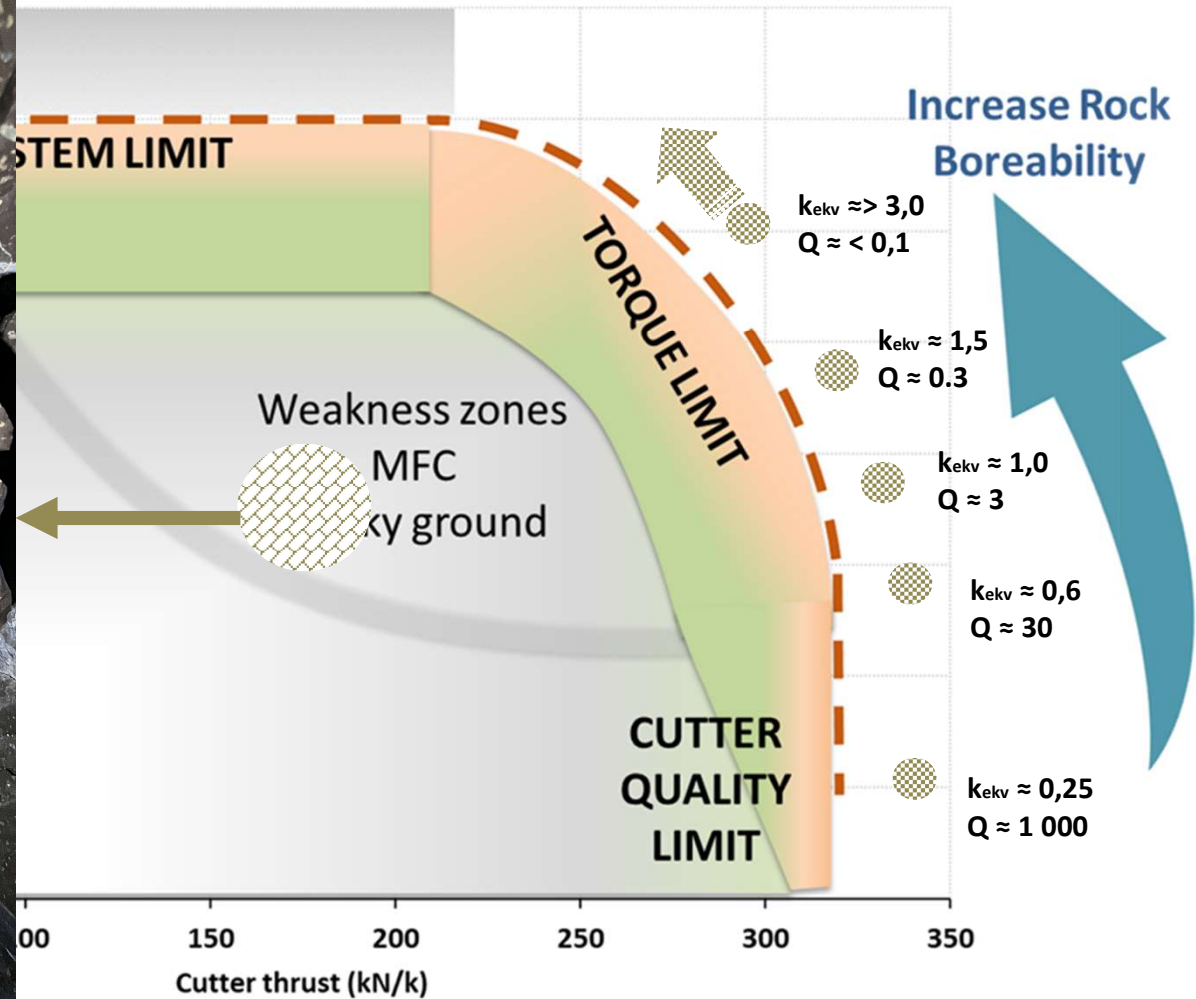
Understanding Rock Boreability



Understanding Rock Boreability



Understanding Rock Boreability



Rock boreability and cutter wear

DRI = 20
CLI=5
Abrasive minerals = 60%

Increase rock boreability



ks	Hh (h/c)	Hm (m/c)	Hf (m ³ /c)
0,36	0,72	1,0	38
0,5		1,4	52
1		2,9	112
1,5		4,6	177
2		4,8	185
2,5		5,6	215
3		6,1	236

Over 500%!

DRI = 60
CLI=20
Abrasive minerals = 10%

Increase rock boreability



ks	Hh (h/c)	Hm (m/c)	Hf (m ³ /c)
0,36	2,60	4,5	172
0,5		6,3	241
1		8,8	337
1,5		10,9	420
2		12,3	473
2,5		13,3	511
3		14,3	552

Over 200%!

Outline

- What is Rock Boreability?
 - Intact Rock Boreability
 - Rock Mass Boreability
- Understanding Rock Boreability
- **Conclusive remarks**

Conclusive remarks

- ‘Rock Boreability’ is the resistance (in terms of ease or difficulty) encountered by a TBM as it penetrates a rock mass (intact rock containing planes of weakness)
- ‘Rock boreability’ is a comprehensive parameter:
 - Intact rock properties
 - Rock mass parameters
- Rock mass fracturing is found to be the geological factor that exerts the greatest influence on net penetration rate and cutter wear

Takeways

- There is no single parameter that can fully represent the properties of jointed rock masses
 - Rock mass assessments
- Recognize the significance of rock mass on TBM performances
- Understand the influence of rock boreability on tunnel boring operation and TBM performances

*Tusen Takk!
Spørsmål?*

Javier.Macias@JMC-RockEng.com



Foreløpige erfaringer fra Ny vannforsyning Oslo - Råvannstunnelen (E5)

Til NBG-kurs 09-10 januar 2024
Bergteknikk for TBM - Boring i hardt fjell

Martin Stormoen
Geolog, VAV Oslo Kommune

Med bidrag fra flere kolleger i VAV og Skanska



Agenda



- ▶ Kort om prosjektet
- ▶ Geologi
- ▶ Fremdrift og status
- ▶ Sonderboring og forinjeksjon fra TBM
- ▶ Svakhetssoner
- ▶ Oppsummering og videre arbeider

Råvannstunnelen – E5



Betzy og Anne Brit



TBM:

- ◆ 2 stk TBM - 5,2 m diameter dobbeltskjold
- ◆ 320m lang TBM

Tunnel:

- ◆ 19 km TBM-driving
- ◆ Ferdig tunnel vil ha en diameter på 4,3m

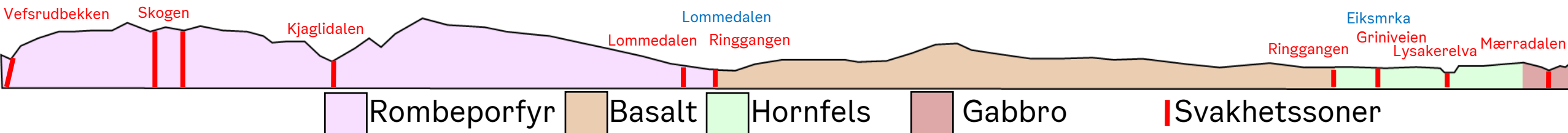
Tunnelkledning:

- ◆ Betongsegmenter, med bakfyll av ertegrus og industrisement

Geologi - råvannstunnel

Vefsrud

Huseby



- ▶ Høye vanntrykk og stor vannledningsevne, spesielt mellom lavastrømmer
- ▶ Flattliggende geologiske lag
 - Økt usikkerhet på tunnelnivå
 - Flattliggende svake og permeable lag over lengre strekker
- ▶ Enkelte urbane områder med høy setningsømfintlighet



Oslo

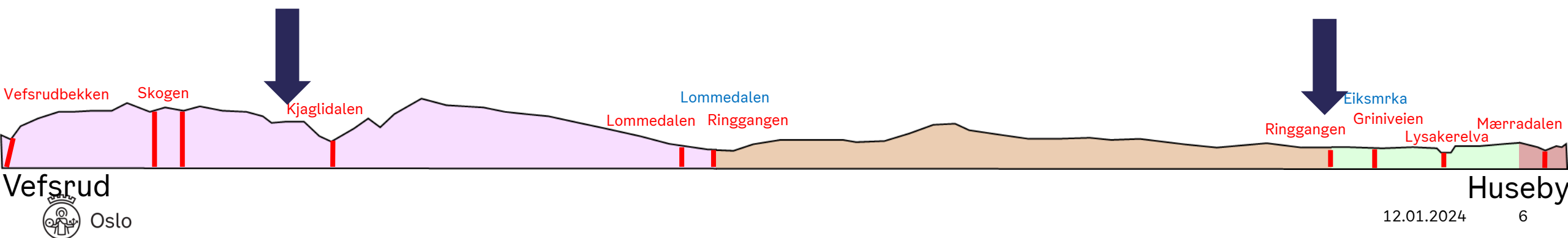
Fremdrift og status – E5 TBM

Betzy (fra Vefsrud):

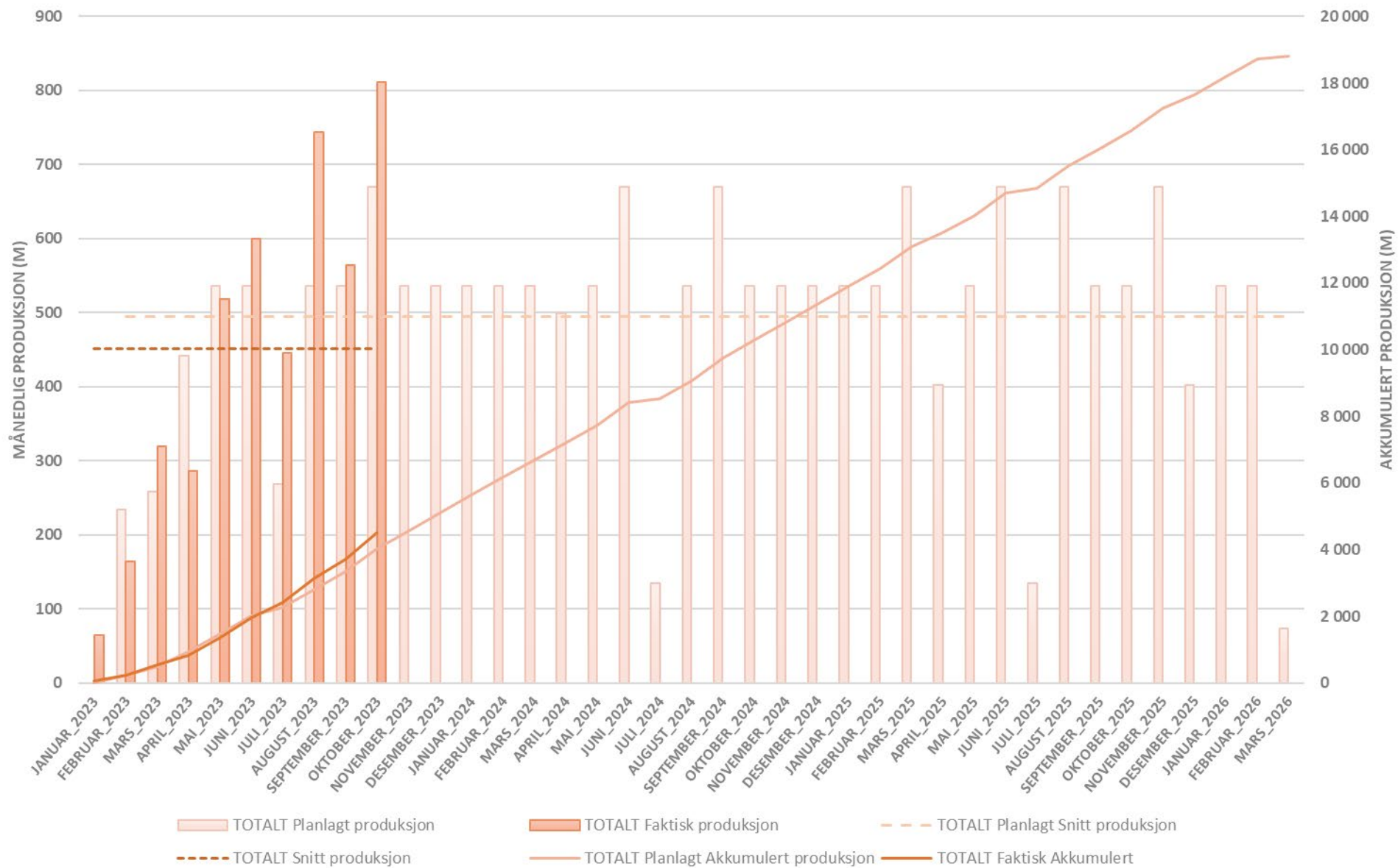
- Drevet 3410m, satt 2274ringer
- Pumpet 1255294 kg microsement
 - snitt per skjerm 10729kg
- Boret 1317 langhull, snitt 36,8m
- Maks ukesproduksjon TBM: 164m

Anne Brit (fra Huseby):

- Drevet 2852m, satt 1902 ringer
- Pumpet 888690 kg microsement
 - snitt per skjerm 11849kg
- Boret 1272 langhull, snitt 37,4m
- Maks ukesproduksjon TBM 115m

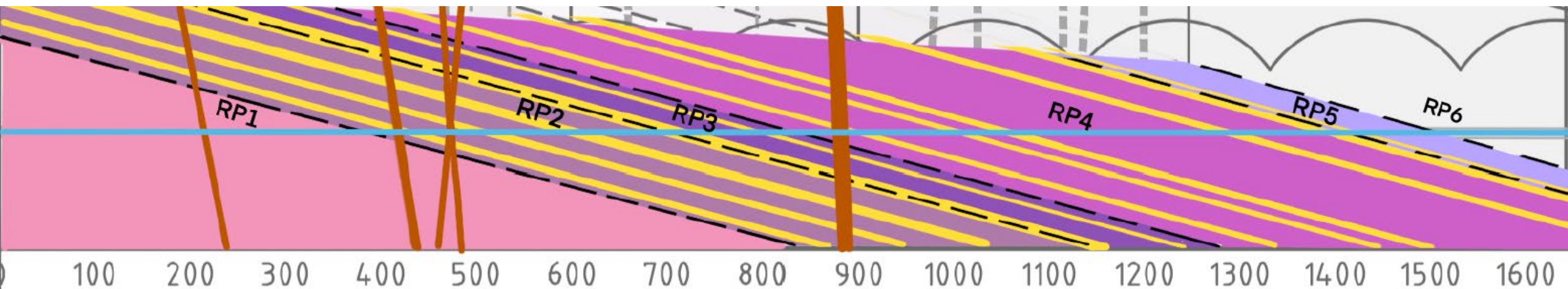


MÅNEDLIG PRODUKSJON - TOTALT

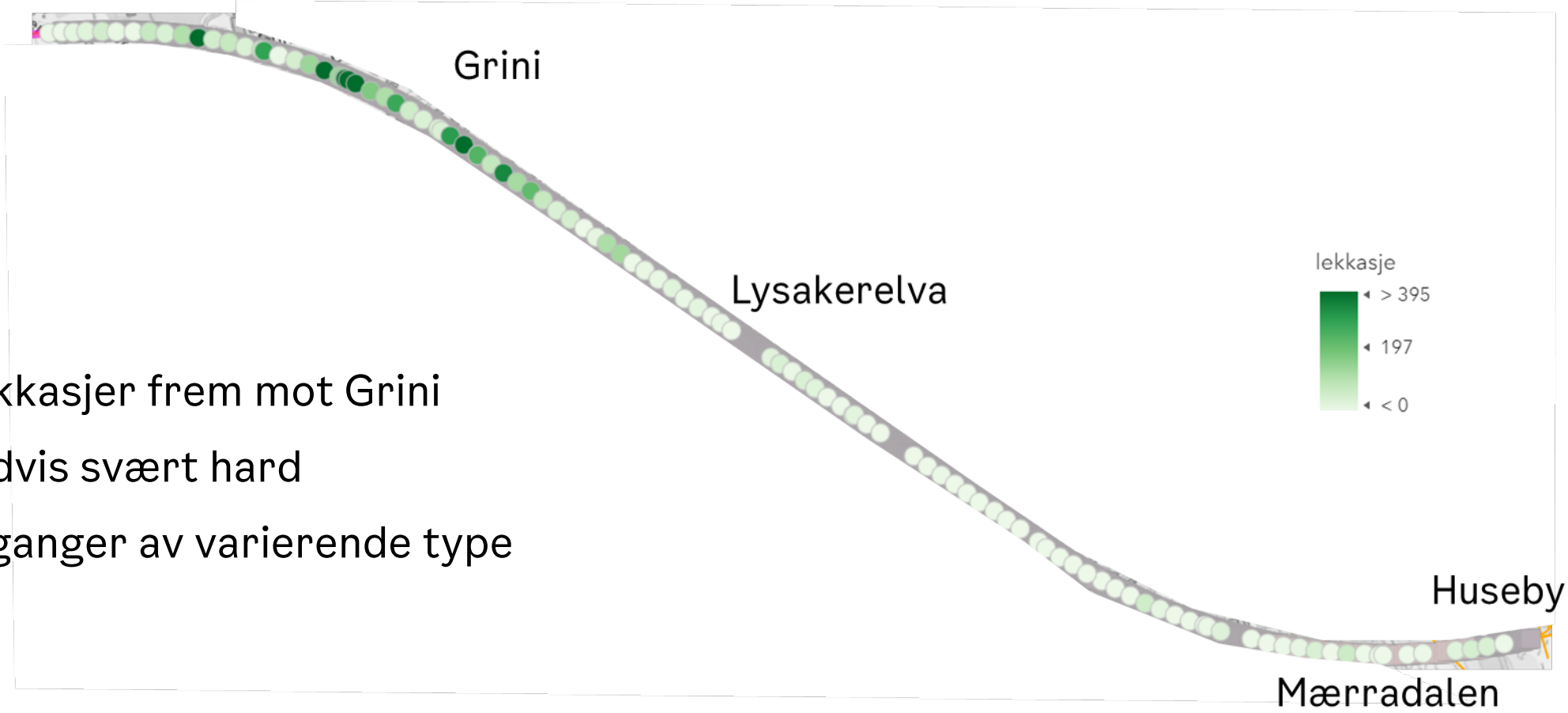


Påtruffede grunnforhold Krokskogen

- ▶ Geologien har i stor grad vært i tråd med forventningene
- ▶ Krevende vannforhold i rombeporfyren, også lengre tørre strekker
- ▶ Store lekkasjer i tilknytning til «lavatopper»

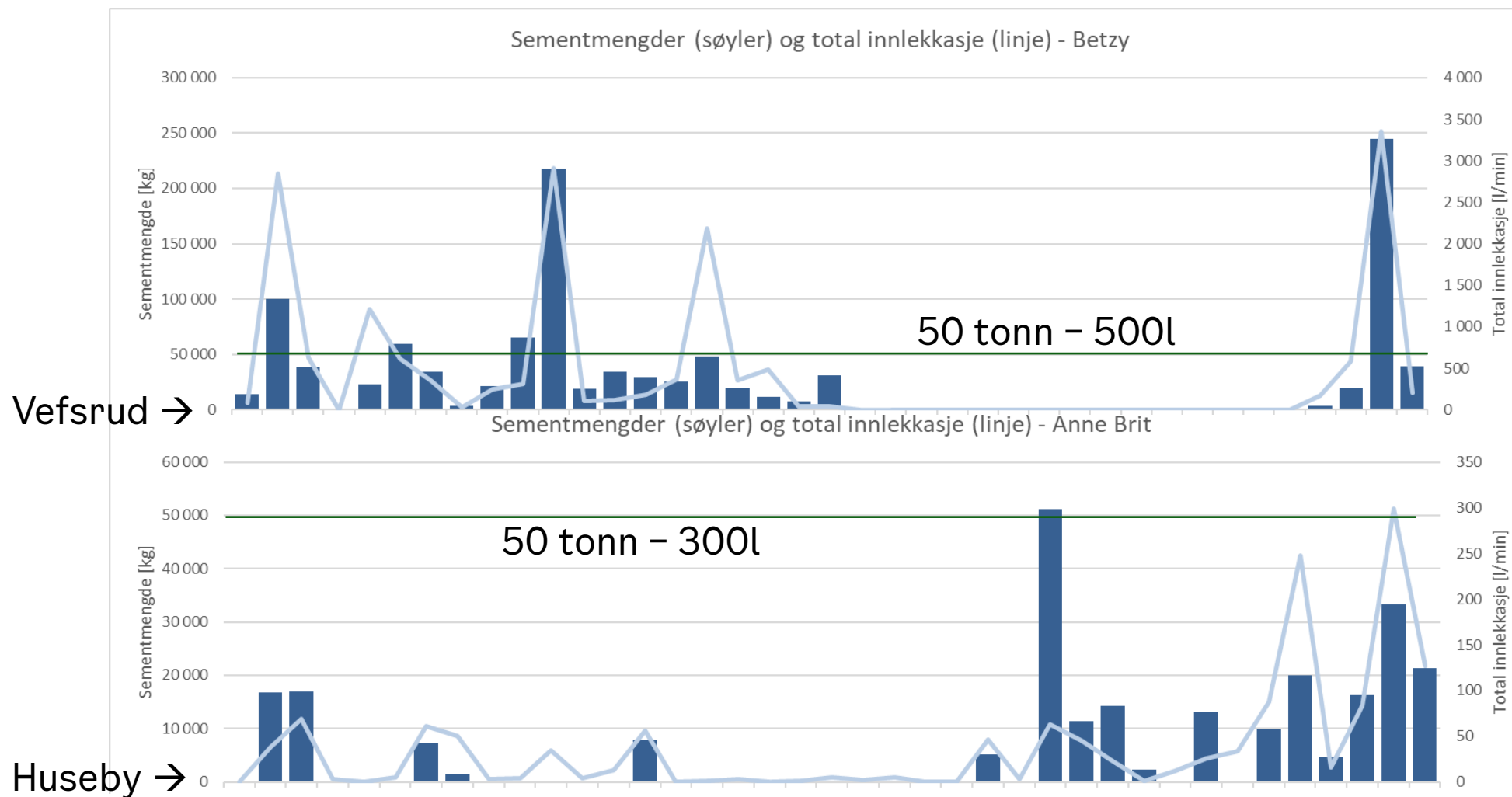


Påtruffede grunnforhold Huseby-Grini



- ▶ Svært lite lekkasjer frem mot Grini
- ▶ Hornfels stedvis svært hard
- ▶ Mye intrusivganger av varierende type

Innlekkasje og sementforbruk (nov 2023)



Påtruffede grunnforhold

- ▶ Sprakefjell i rombeporfyren
 - Kan være relatert til diabasganger
- ▶ Kartlagte svakhetssoner
 - Generelt bedre bergmassekvalitet enn fryktet
 - Lite problemer med å bore gjennom med TBM
- ▶ Innlekkasjer og injeksjon har vært det mest krevende



(Foto: I. Kvarstein)

Påtruffede grunnforhold



Hornfels



Druserom, i rombeporfyr
(Foto: I. Kvarstein)



Typisk face i rombeporfyr
(Foto: I. Kvarstein)

Påtruffede grunnforhold

(foto: Skanska)

Innlekkasje fra borehull



Sone med høye bergspenninger, Vefsrud



Langhullsboring og injeksjon -forventninger og erfaringer

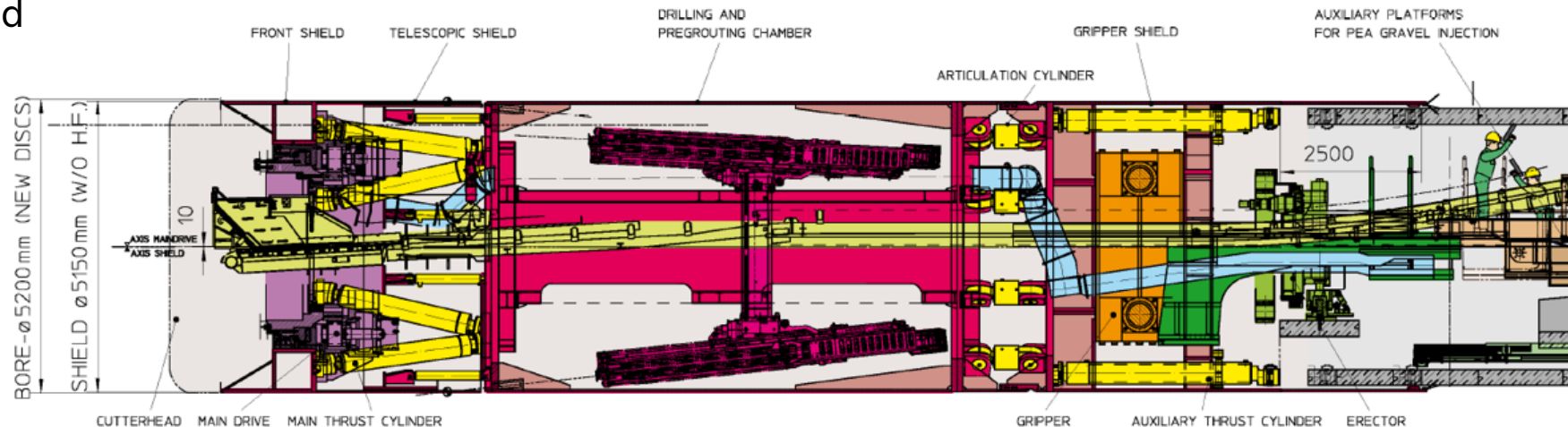
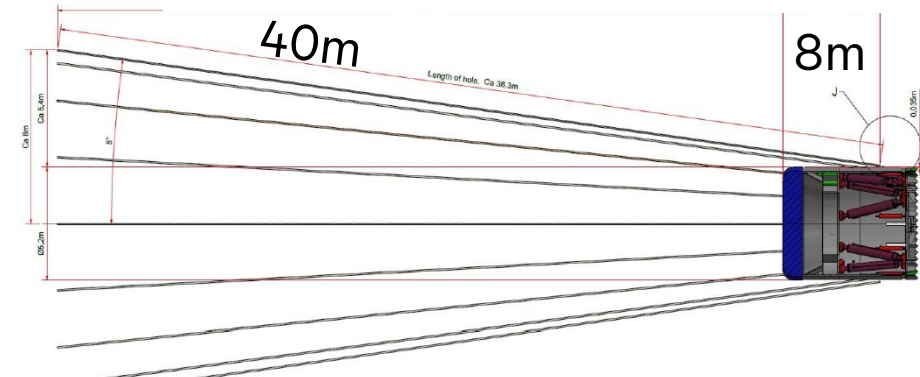
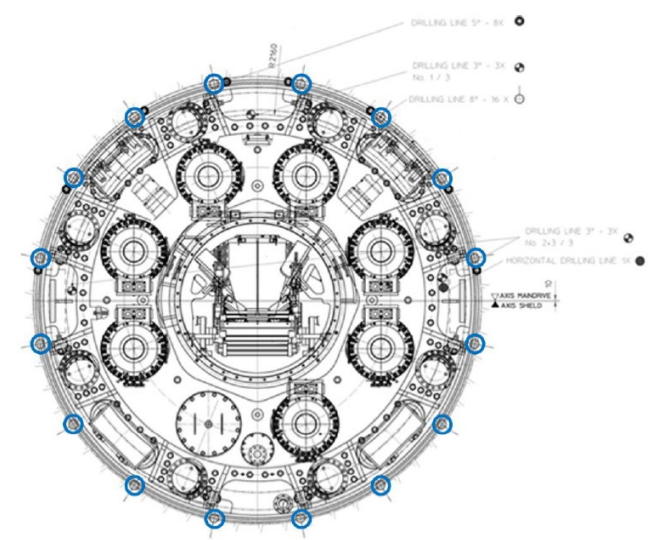
- ▶ Langhullsboring og injeksjon ofte argumentet mot TBM i krevende hydrogeologiske forhold
- ▶ Bore- og injeksjonsutstyret på TBM har historisk vært av dårligere kvalitet enn D&B.
- ▶ Strengt kontraktskrav → AMV og Herrenknecht med innovativt TBM-design med et eget boreskjold



Foto: E. Larsen

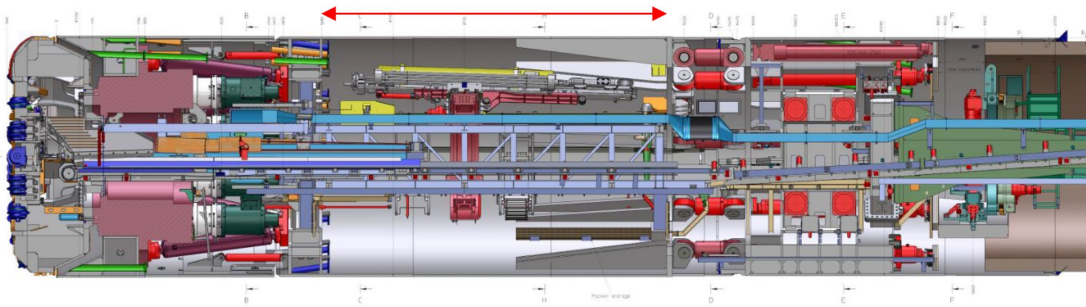
Forinjeksjon fra TBM

- ▶ 16 boreporter, 8 grader
- ▶ 8 boreporter, 5 grader
- ▶ Øvrige boremuligheter ved krevende forhold
- ▶ Borerigger tilsvarende D&B, lett tilgjengelig, godt tilpasset for parallelle aktiviteter
- ▶ Langhullsboring fra TBM er krevende
 - Lav vinkel og blindt arbeid

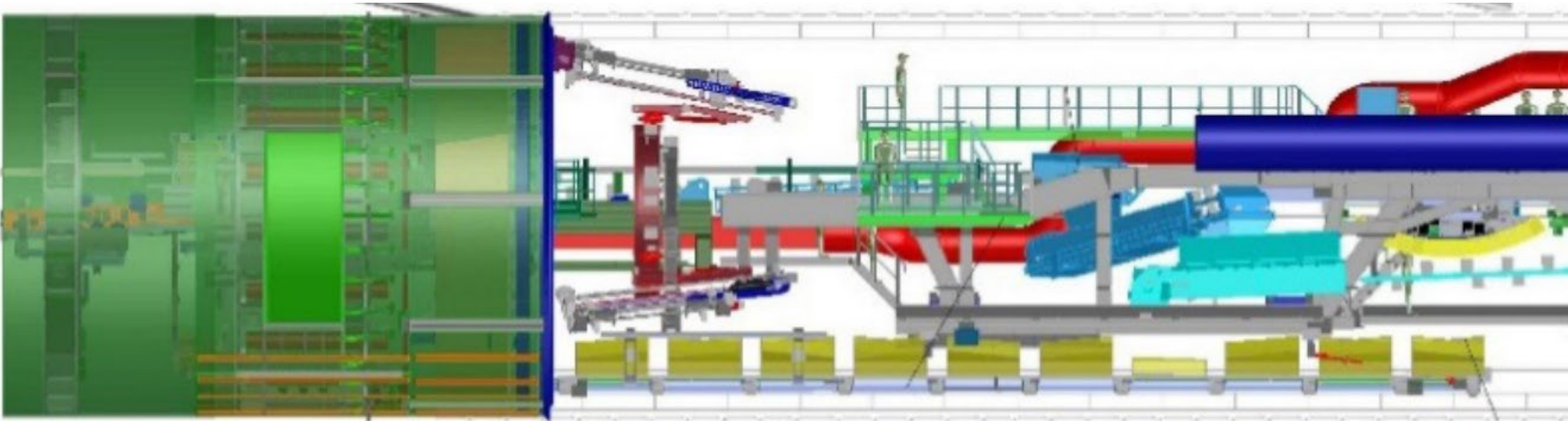


TBM med boreskjold

- ▶ Eget boreskjold – svært langt skjold totalt
- ▶ Spesielt gunstig med eget boreskjold når TBM er såpass liten



NVO
(Skanska)



Follobanen
(Herrenknecht)

Langhullsboring og injeksjon -positive erfaringer

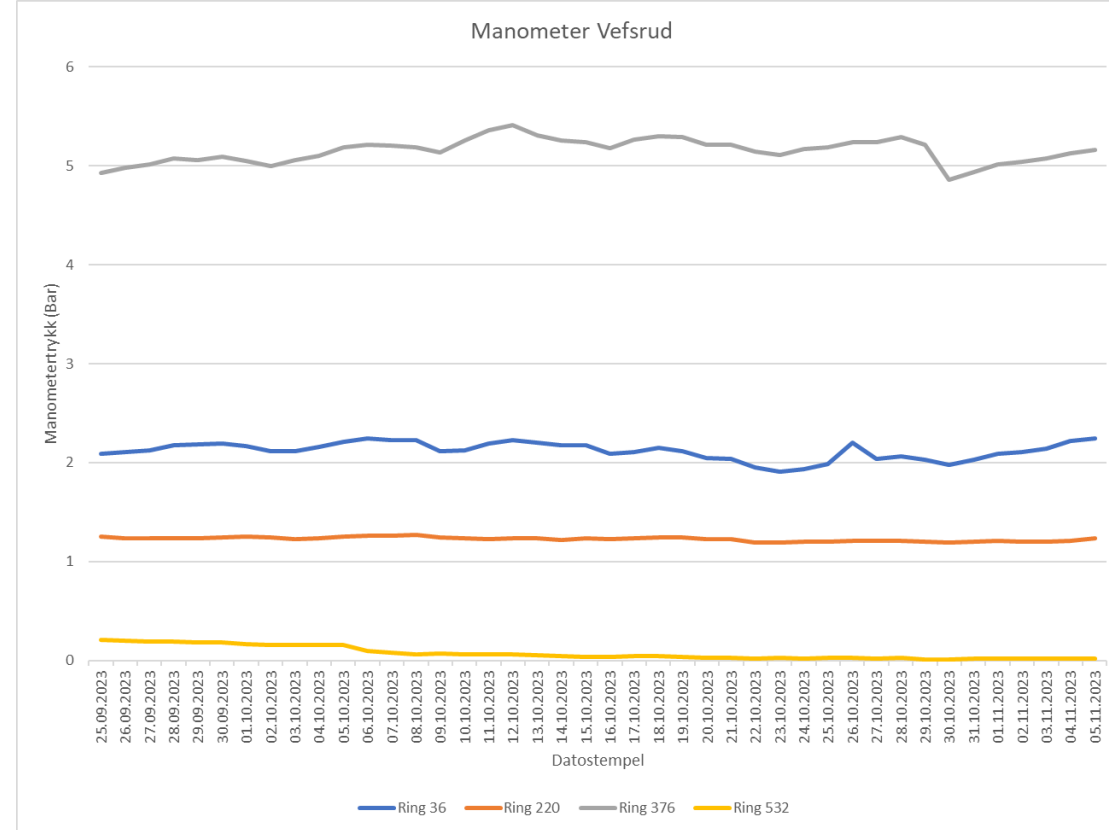
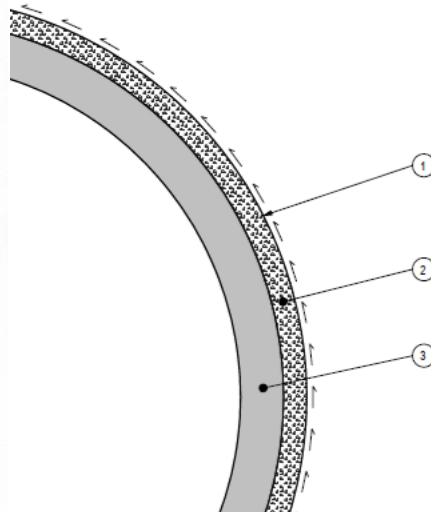
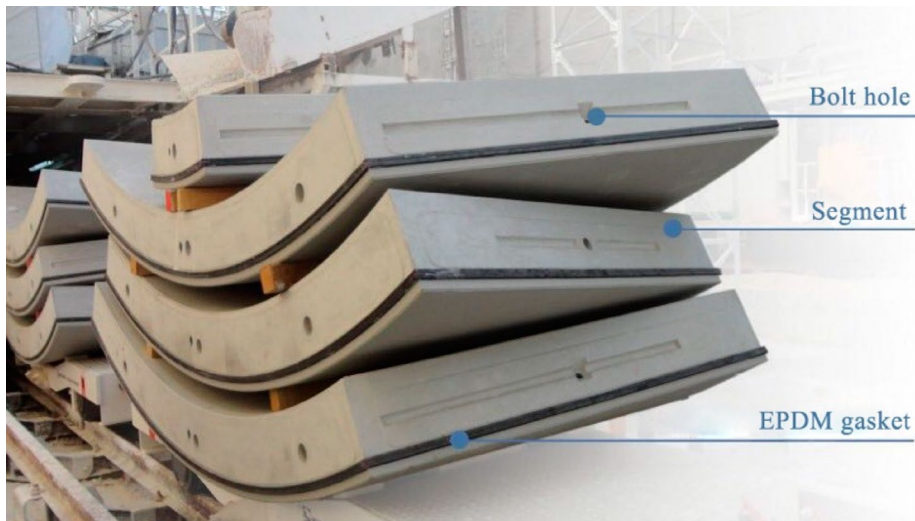
- 40 meter langhull med automatisk stanghåndtering.
- Fanger opp vanskelige soner tidligere
- Slanke hydrauliske pakkere
- MWD-data sammen med OTV gitt god informasjon om bergforhold.



Foto: H. Enersvold

Betongkledning med backfill

- Henger sammen med injeksjonskonseptet
- EPDM-pakninger gjør at tunnelen kan bygges vanntett
- Tett løsning ved vanntrykk under 120m



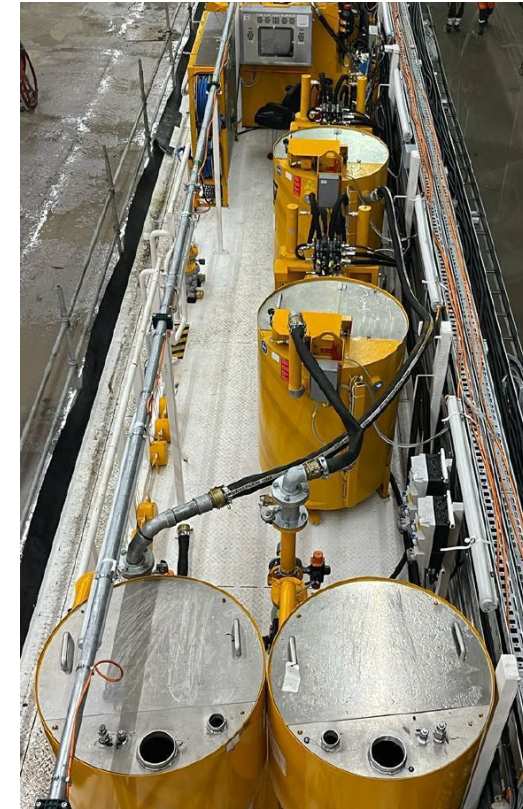
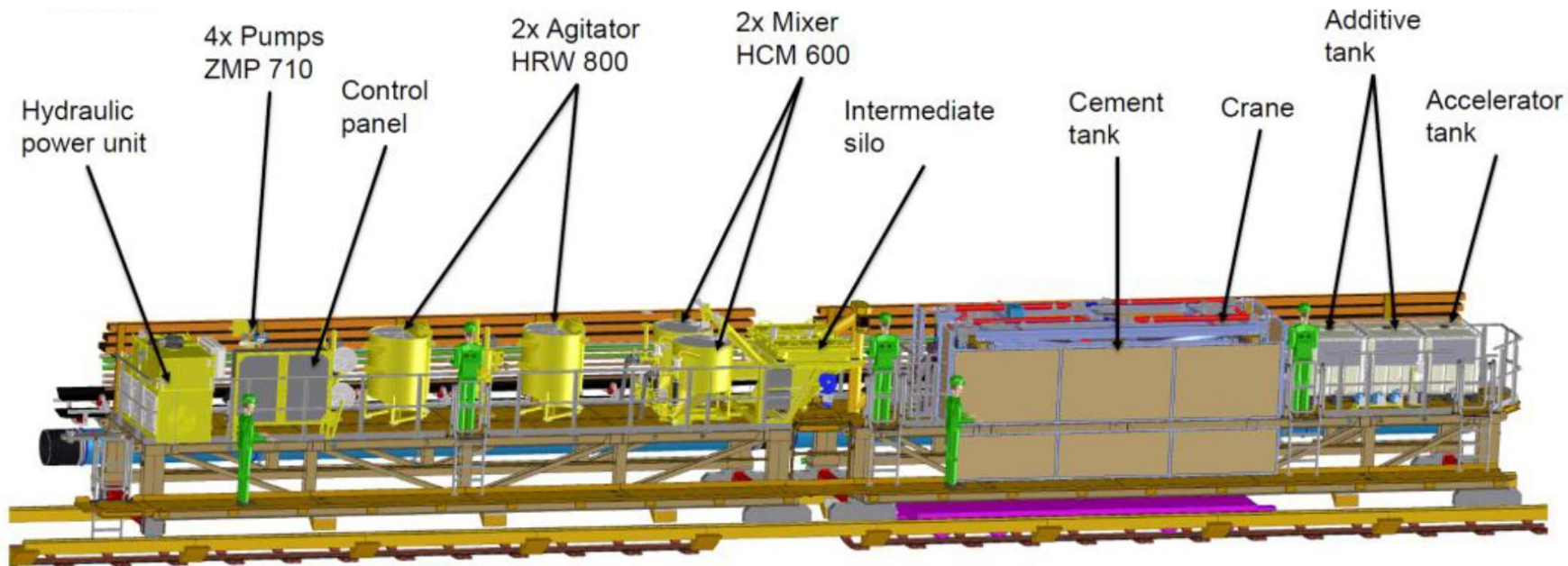
Barrierer

- ▶ Settes omtrent hver 200m
 - ▶ Begrenser vanngjennomstrømning og lekkasjer
 - ▶ Bidrar til mindre utvasking bak segmenter
-
- ▶ Øvrige tiltak for å redusere midlertidige lekkasjer:
 - Unngå å ha boreporter åpne over lengre tid
 - Sette pakker raskt



Forinjeksjon fra TBM

- ▶ Slangelengder 130m, 9m injeksjonsstaver, dypepakkerplasseringer
- ▶ Høy temperatur i TBM
- ▶ Omfattende logistikk
- ▶ Ventetid er kostbart



Forinjeksjon fra TBM

- Typisk oppsett av skjerm

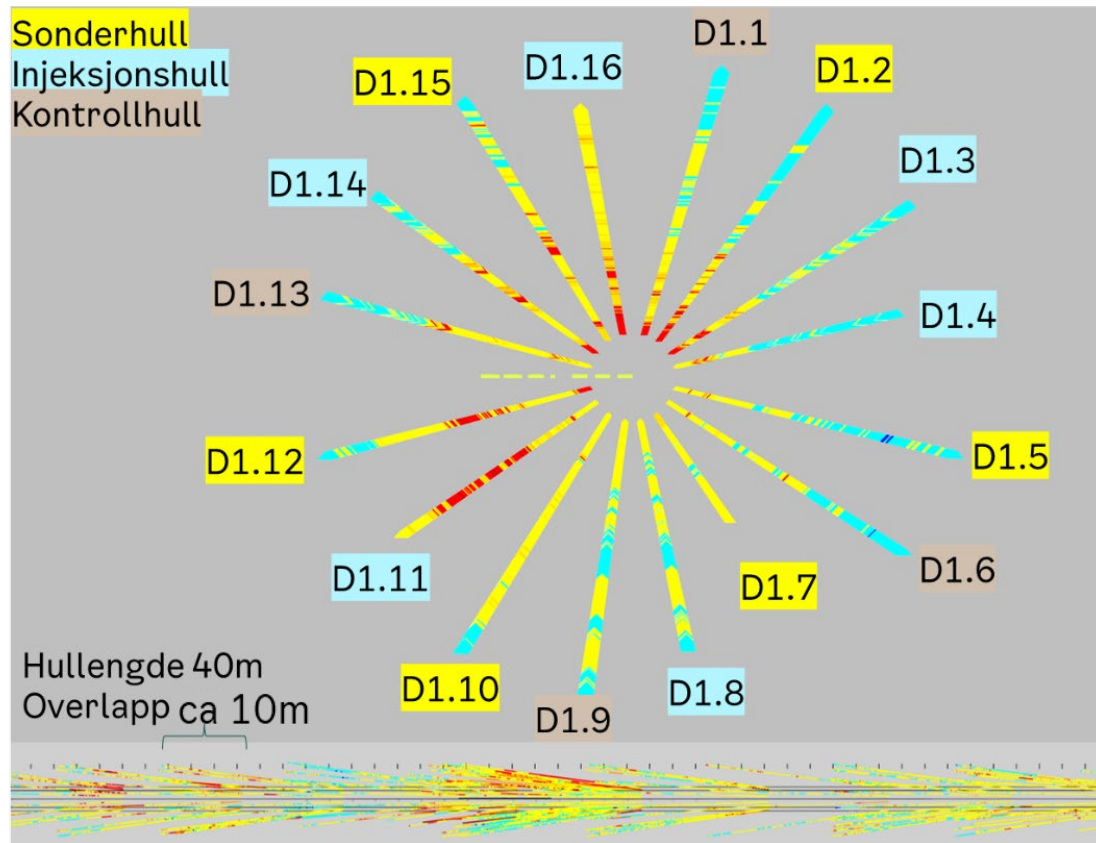


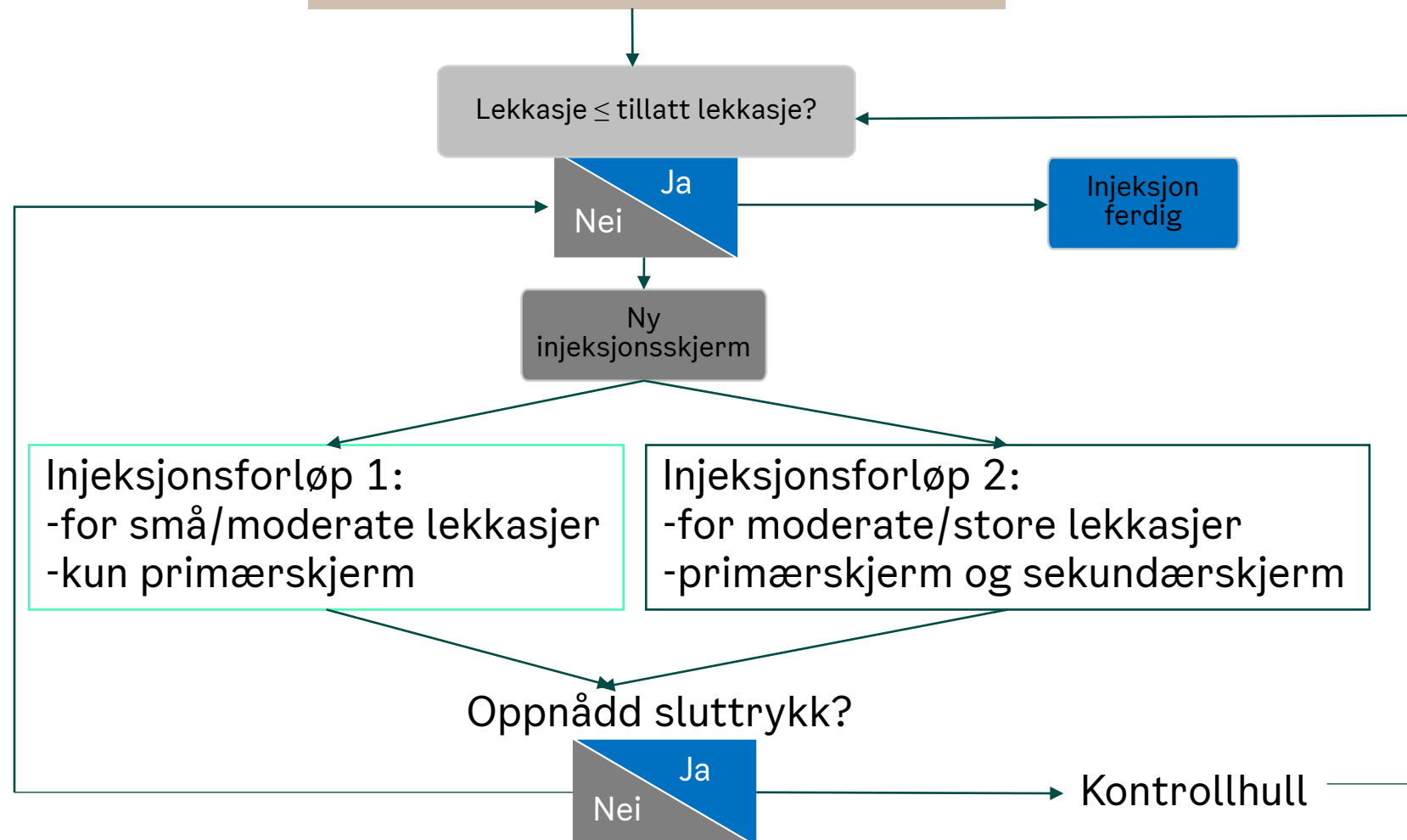
Foto: A. Hansen

Injeksjonsprosedyre

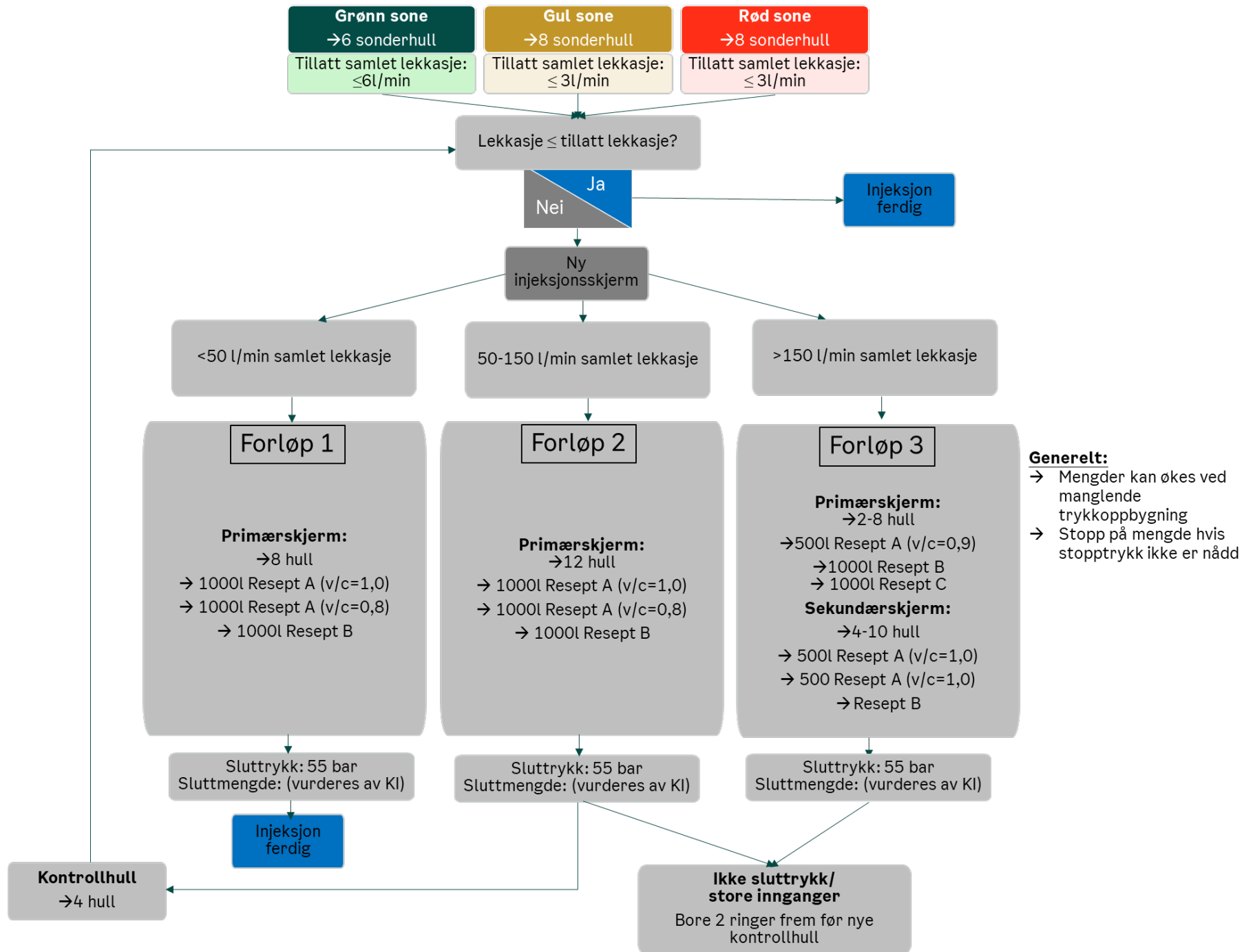
Resepter:

- ▶ Microsement
- ▶ v/c-tall 0,6-1,0
- ▶ Avbindingstid 45-120 min
- ▶ Hydratiseringsakselerator

Antall sonderhull styres av forhåndsdefinert innlekkasjekrav.
Innlekkasje måles i alle sonderhull



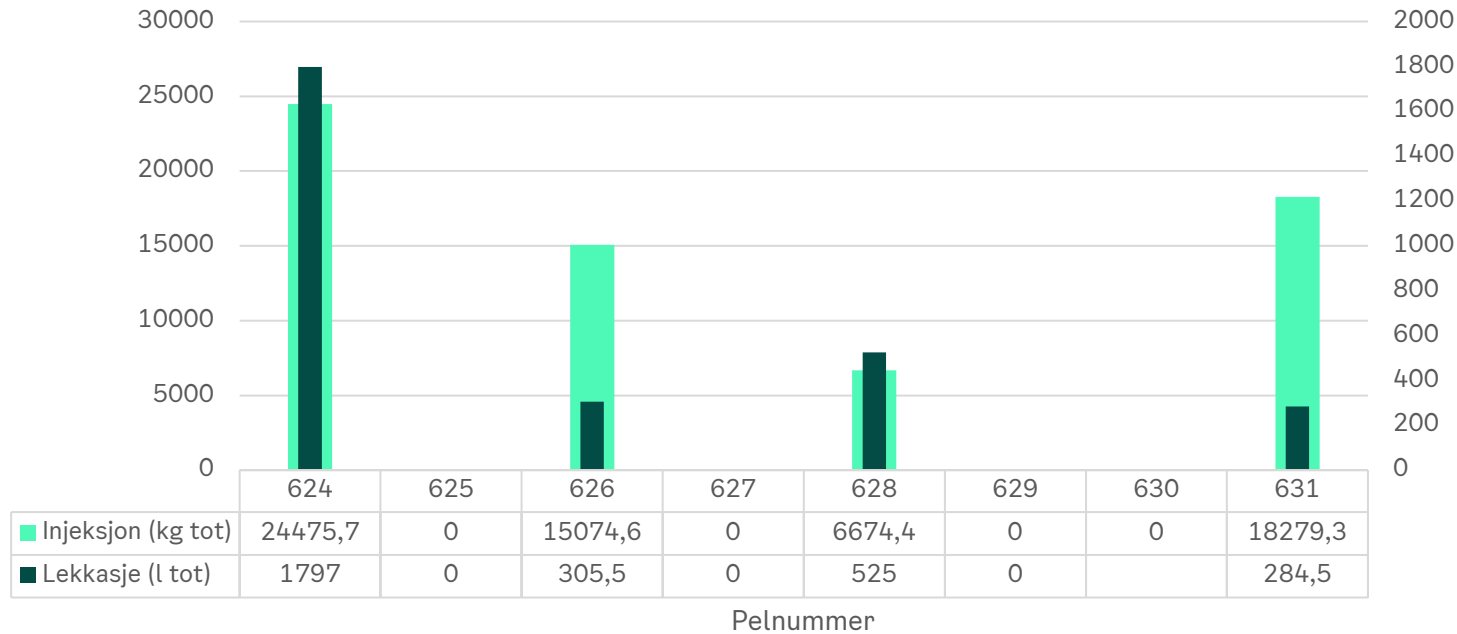
Prosedyre for TBM-injeksjon fra Vefsrud (drenert løsning)



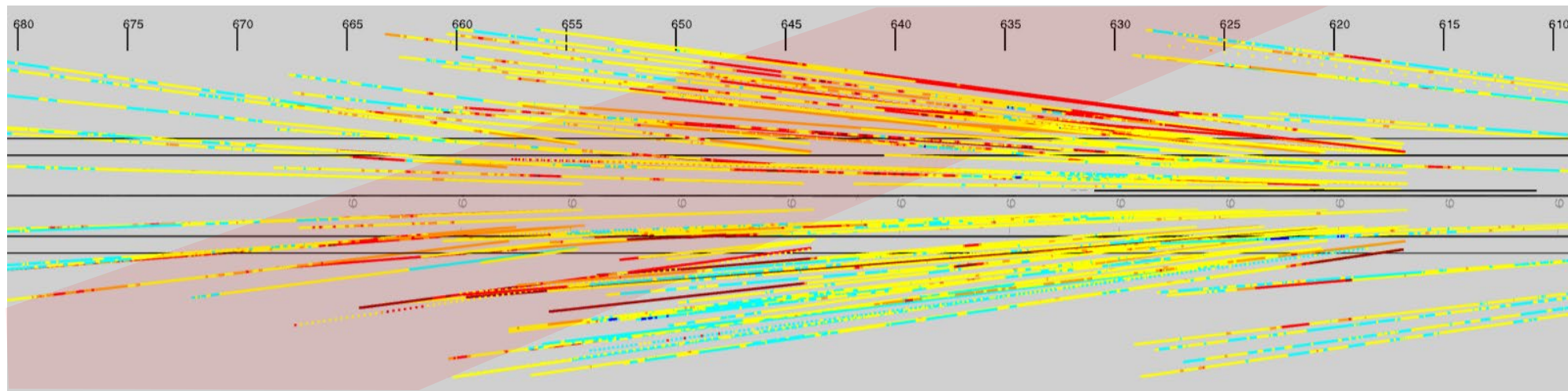
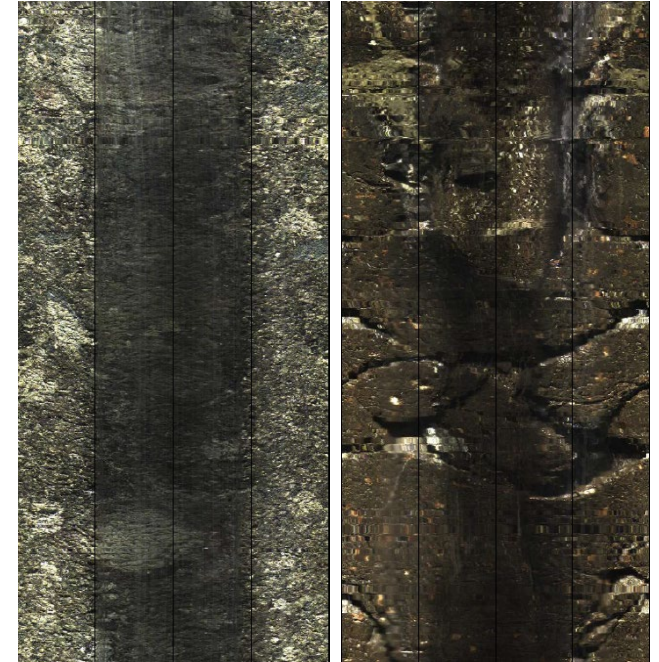
Generelt:

- Mengder kan økes ved manglende trykkoppbygning
- Stopp på mengde hvis stopptrykk ikke er nådd

Injeksjon - lavatopp i RP2

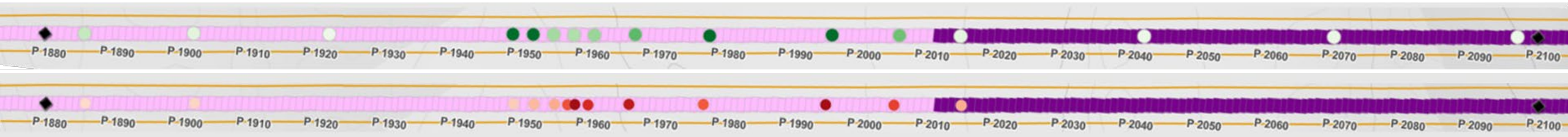


Optisk televiever

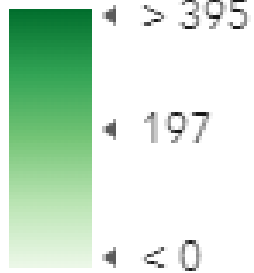


MWD
(Bever)

Forinjeksjon fra TBM



Lekkasje (l/min/skjerm)



Injeksjon (kg/skjerm)



Barriere



Bergart



Resultater og vannlekkasjer

- ▶ Noe restlekkasjer mellom pakninger og i porter
- ▶ Lekkasjeverdier i tråd med krav mht. omgivelser
- ▶ Punktvis etterinjeksjon i kledningen med PU i områder med tett kledning

- ▶ Overvåkning av trykkoppbygning bak betongkledningen
 - Vurderinger av behov for punktering av kledning i drenert del av tunnel

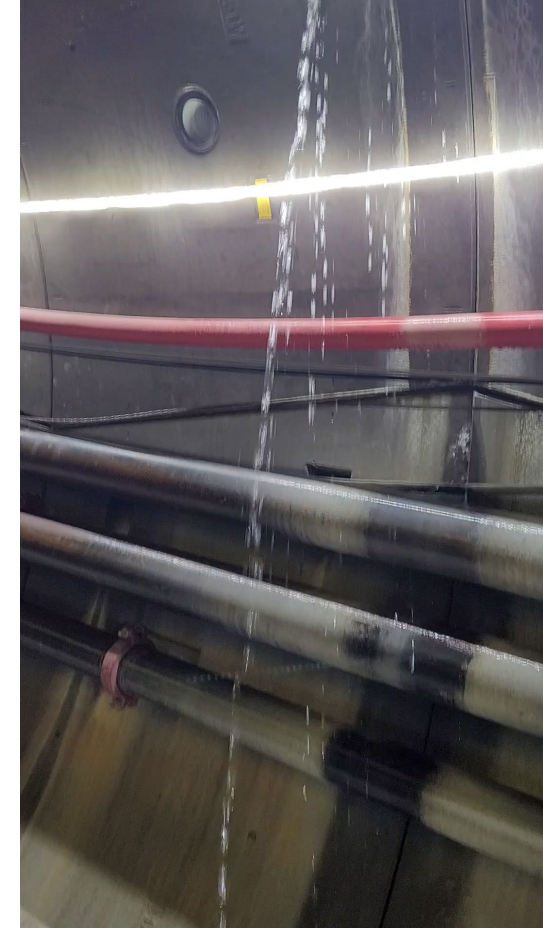
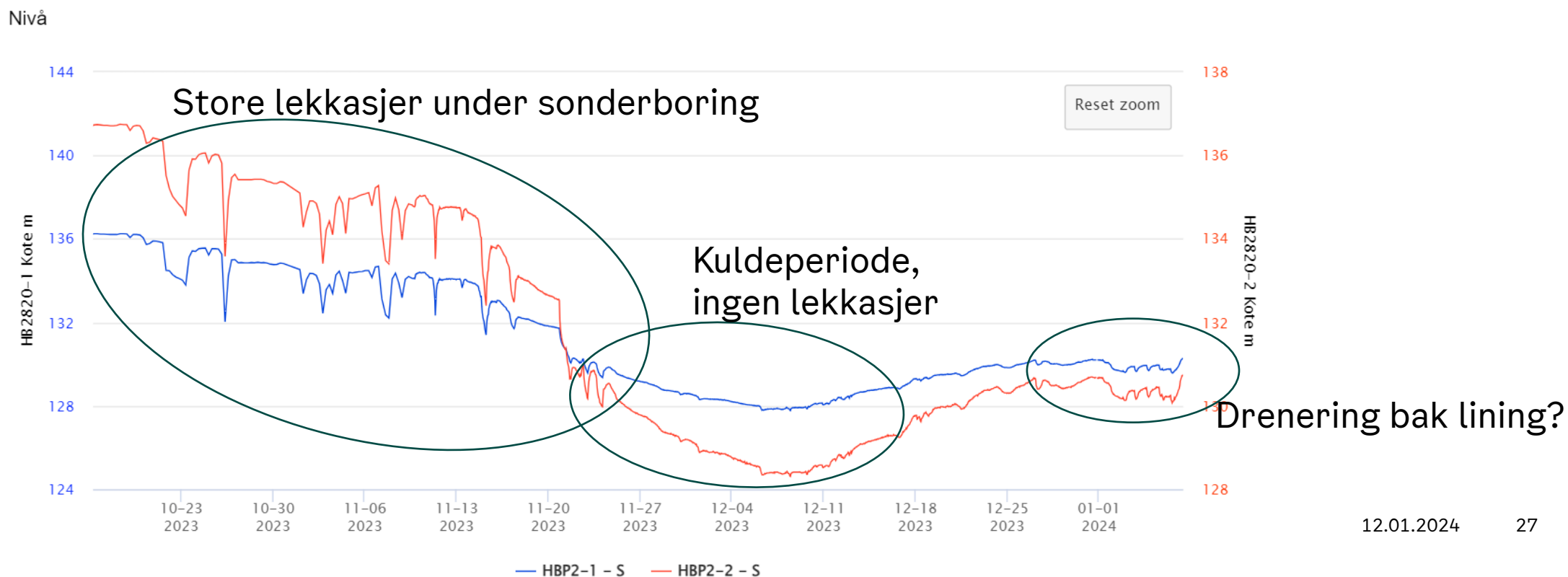


Foto: E. Larsen

Påvirkning av grunnvann

- ▶ Lekkasjer under sonderboring
- ▶ Drenering bak betonglining før bakfylling



Kutterlevetid

Vefsrud →

Huseby →

Prognosis cutter life			Avvik		
h/c	m/c	m3/c	h/c	m/c	m3/c
6,1	25,0	530,9	28 %	-4 %	
4,0	14,4	305,1	-5 %	-9 %	

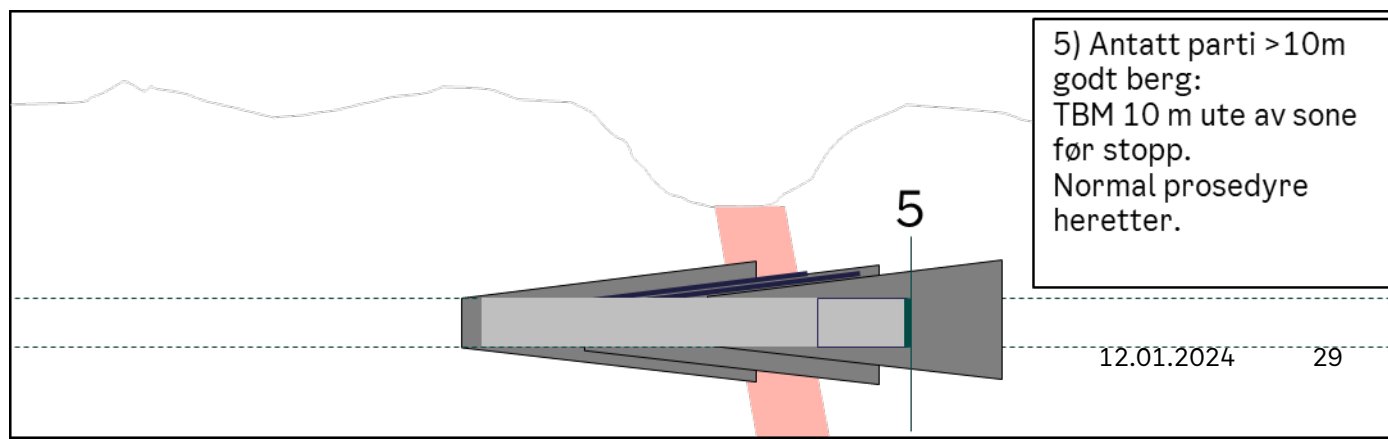
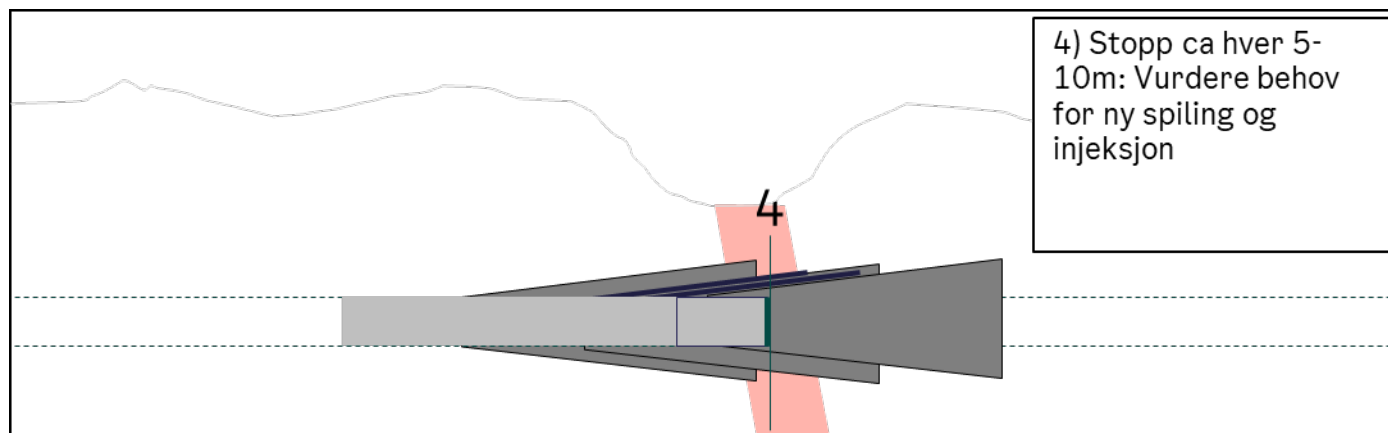
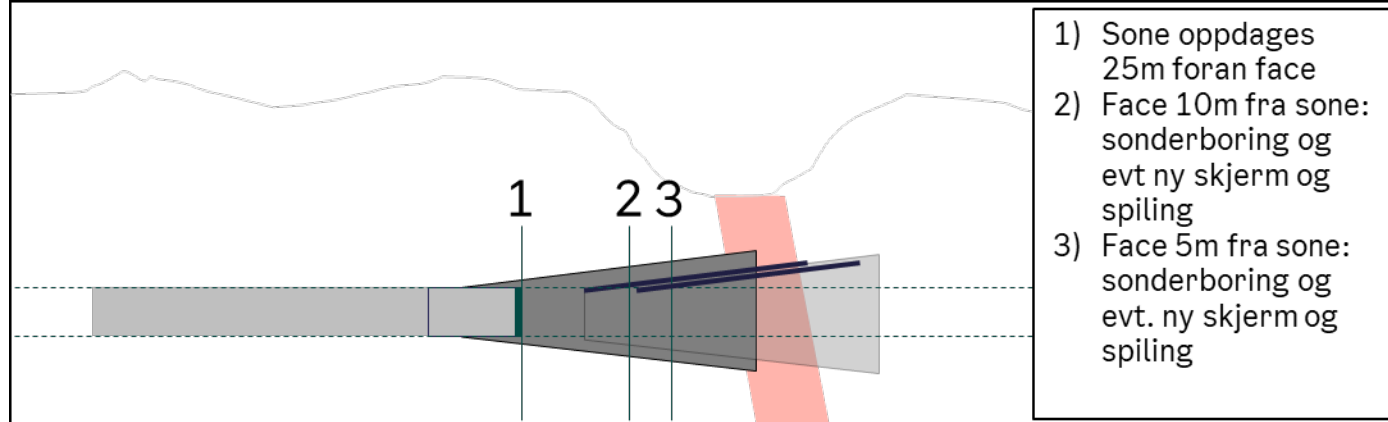


Bergart	Prøve	Lokalitet	DRI	BWI	CLI	CAI
Hornfels	K1, 149 m	Huseby, Oslo	41	19	11,8	3,4
Hornfels	K0518, 127 m	Huseby, Oslo	37	27	15	2,4
Hornfels	K0618, 178 m	Huseby, Oslo	35	22	32	2,8
Hornfels	K0118, 114 m	Grini, Bærum	50	15	56,5	1,8
Gabbro/monzodioritt	K1, 187 m	Huseby, Oslo	47	26	18,1	3,8
Gabbro/monzodioritt	K0418, 199 m	Huseby, Oslo	43	18	-	-
Gabbro/monzodioritt	K0518, 163 m	Huseby, Oslo	41	24	-	-
Syenitt	K3, 57 m	Huseby, Oslo	41	19	40,2	2,7
Syenittporfyr	K1, 107 m	Huseby, Oslo	31	56	6,2	4,6
Syenittporfyr	K0118, 79 m	Grini, Bærum	32	53	5,6	4,6
Basalt	K0718, 95 m	Kleiva, Bærum	46	17	51,7	2,4
Basalt	K0718, 139 m	Kleiva, Bærum	42	27	16,3	4
Basalt	K0818, 122 m	Mellom, Bærum	42	18	56,6	2,5
Basalt	K0818, 133 m	Mellom, Bærum	46	16	78,3	2,4
Rombeporfyr	K1018, 143 m	Bjerkevn., Bærum	54	14	97,3	1,6
Rombeporfyr	K1018, 163 m	Bjerkevn., Bærum	51	15	97,4	1,5
Rombeporfyr	K1018, 175 m	Bjerkevn., Bærum	48	16	85,7	2,6
Rombeporfyr	K0318, 31 m	Vefsrud, Lier	52	14	60,1	1,9
Rombeporfyr	K0318, 59 m	Vefsrud, Lier	58	12	60,3	2,5
Rombeporfyr	K0318, 86 m	Vefsrud, Lier	49	15	52,5	2,8



Svakhetssoner

- Prosjektet har utarbeidet en generell angrepsplan
- Spesifikke forberedelser og planer i forkant av hver sone



Sonderboringer avgjørende for vurderinger i dårlige soner

- Borerapporter, MWD og OTV gir informasjon om kommende bergforhold
- Vurderinger av bergmassekvalitet gjennom svakhetssoner
- Planlegging av neste stans for sonderboring.
- Viktig for å vurdere spesielle tiltak (ikke behov enda)
 - Enkeltskjoldmodus
 - Forsterket lining
 - Spiling

RP8

RP4

RP4

RP3

RP2

RP1

Mærradalen

Lysakerelva

Griniveien

Ringgangen



Oslo

Oppsummering

- ▶ Råvannstunnelen ca 30 % ferdig boret, godt an i forhold til fremdriftsplanen
- ▶ Forinjeksjon fra TBM i krevende hydrogeologiske forhold er fullt mulig
- ▶ Tidlige forberedelser og fokus på utstyr, injeksjonsstrategi og kompetanse er viktig
- ▶ Utvikling og tilpasning – innkjøring av ny maskin, utveksling av kompetanse
- ▶ Jevnlige gjennomganger av injeksjonsopplegg og geologiske forhold, i dialog med entreprenør



Takk for oss!

